

SOUTHERN TIBET

BY SVEN HEDIN



SOUTHERN TIBET

BY

SVEN HEDIN

VOL. VI

STOCKHOLM

LITHOGRAPHIC INSTITUTE OF THE GENERAL STAFF

OF THE SWEDISH ARMY

SVEN HEDIN

SOUTHERN TIBET

1906 1908

SOUTHERN TIBET

DISCOVERIES IN FORMER TIMES COMPARED WITH
MY OWN RESEARCHES IN 1906–1908

BY

SVEN HEDIN

VOL. VI PART I

DIE METEOROLOGISCHEN BEOBACHTUNGEN

BEARBEITET VON

PROF. DR. NILS EKHOLM

STOCKHOLM

LITHOGRAPHIC INSTITUTE OF THE GENERAL STAFF OF THE SWEDISH ARMY

STOCKHOLM 1920

KUNGL. BOKTRYCKERIET. P. A. NORSTEDT & SÖNER

173940

VOL. VI PART I

DIE
METEOROLOGISCHEN
BEOBACHTUNGEN

B E A R B E I T E T

VON

PROF. DR. NILS EKHOLM

Meteorologie von Dr. Nils Ekholm.

Vorwort.

Die hier veröffentlichten Beobachtungen Dr. Sven Hedins umfassen, wie ersichtlich, die Dauer seiner letzten Reise in Tibet vom 28. Juni 1906 bis zum 25. August 1908. Diese Reise wurde in zwei Abschnitte geteilt; der erstere dauerte bis zum Ende von November 1907, als er nach Drugub in Ladak zurückgekehrt hatte. Dort rüstete er eine neue Karawane aus, zog am 4. December nach Norden und dann nach Osten wieder in Tibet hinein. Von diesen Beobachtungen wurden die meisten in Gegenden ausgeführt, die bisher in meteorologischer Hinsicht ganz unerforscht waren. Nur die Beobachtungen vom 28. Juni bis zum 19. August 1906 wurden im Britischen Ostindien, Kaschmir und Ladak, gemacht, und zwar zum Teil an Orten, wo die Engländer regelmässig meteorologische Beobachtungen ausführen; dadurch gewinnen wir eine wertvolle Vergleichung mit diesen Beobachtungen. Besonders für die Station Leh ist dies wichtig, weil, wie wir sehen werden, die Seehöhen von Dr. Hedins Stationen mit Hilfe der in Leh ausgeführten englischen Beobachtungen berechnet worden sind. Ausser den dort ausgeführten Beobachtungen wurden für diesen Zweck auch die in Simla und Darjeeling gemachten englischen Beobachtungen benutzt, für diese beiden Stationen aber gibt es leider keine Vergleichung mit den Beobachtungen Hedins. Die meteorologischen Beobachtungen, die Hedin während seiner früheren Reise von Juni bis December 1901 in Tibet gemacht hat,¹ gestatten eine interessante Vergleichung mit den hier veröffentlichten, die ich jedoch der Zukunft überlassen muss, weil dieselbe nur in Verbindung mit der sehr mühsamen klimatischen Bearbeitung aller dieser Beobachtungen ausgeführt werden kann.

Erläuterungen zu den Tabellen der Beobachtungen.

Die Beobachtungen sind nach Zeit und Ort geordnet; wo die Breite und Länge fehlen, kann man also dieselben näherungsweise durch Interpolation bestimmen.

Die Seehöhen sind aus den meteorologischen Beobachtungen berechnet; es bezeichnet n die Zahl dieser Beobachtungen. Wo n nicht angegeben ist, ist für die Berechnung der Seehöhe auch andere Methoden, wie gemessene oder geschätzte Höhendifferenzen, Gefälle der Flüsse, zur Hilfe genommen. Für Srinagar und Leh sind die Seehöhen nach den Höhenmessungen der Engländer angegeben.

¹ Sven Hedin. Scientific Results of a Journey in Central Asia 1899—1902, Vol. V. Part. I. a: Meteorologie von Dr. Nils Ekholm, I. Die Beobachtungen 1894—1897 und 1899—1902 und Vol. V. Part. I. b: II. Die Bearbeitung der Beobachtungen 1894—1897 und 1899—1902.

Die mit dem Siedethermometer bestimmten Luftdrücke sind fett gedruckt; die übrigen Werte sind an den Aneroiden abgelesen und mit Hilfe des Siedethermometers korrigiert.

In einigen Fällen ist der Ablesung des feuchten Thermometers ein kleines *w* vorangesetzt. Dasselbe bezeichnet, dass bei der Berechnung der Feuchtigkeit die Annahme gemacht wurde, dass die Thermometerkugel, obgleich deren Temperatur unter dem Gefrierpunkte lag, mit flüssigem Wasser bedeckt war.

Die Windstärke wurde von Dr. Hedin und seinen Gehülfen nach einer zehngradigen Skala geschätzt. Vermittelt vieler während seiner früheren Reisen ausgeführten Vergleichen dieser Schätzungen mit gleichzeitigen Anemometerablesungen, ist es möglich gewesen, die geschätzten Windstärken näherungsweise in Windgeschwindigkeit umzurechnen, wie die folgende Tabelle anzeigt. Zum Vergleich sind die entsprechenden Werte der Beaufort-Skala zugefügt.¹

Dr. Hedins Windstärke- skala.	Windgeschwindigkeit, Meter pro Sekunde.	Beauforts Windstärke- skala.
0	0 bis 0,5	0
1	0,5 > 1,5	1/2
2	1,5 > 3,5	1 1/2
3	3,5 > 5	2 1/2
4	5 > 7	3 1/2
5	7 > 8,5	4 1/2
6	8,5 > 10,5	5 1/4
7	10,5 > 12	6
8	12 > 13,5	7
9	13,5 > 16	8
10	mer als 16	9 und mehr.

Die Windrichtung wurde in gewöhnlicher Weise nach wahren Himmelsstrichen angegeben.

In die Kolumne der Bemerkungen sind verschiedene Bemerkungen über die Witterung eingeführt, wobei zur Abkürzung die folgenden internationalen Witterungszeichen benutzt werden.²

Regen	●	Reif	┌
Schnee	✱	Rauh frost, Duft	∇
Gewitter	⚡	Tau	∩
Blitz ohne Donner oder Wetterleuchten	⚡	Regenbogen	∩
Hagel	▲	Höhenrauch	∞
Graupel	△	Staubnebel	☼
Nebel	≡		

In Beziehung auf die Stärke werden die einzelnen Erscheinungen durch die Zahlen 0, 1 und 2 unterschieden, welche als Exponenten dem Symbol beigefügt werden in der Art, dass 0 sehr schwach, 2 stark bedeutet, z. B. ●⁰ schwacher Regen, ●² starker Regen.

¹ Siehe die in der Note 1 citierte Meteorologie I. p. XI, und II. p. 12—13.

² Internationaler Meteorologischer Kodex. Im Auftrage des internationalen Meteorologischen Komitees bearbeitet von G. Hellmann, Berlin, und H. H. Hildebrandsson, Upsala. Deutsche Ausgabe besorgt von dem Königlich Preussischen Meteorologischen Institut. Berlin 1907, p. 16. Das Symbol für Staubnebel findet sich nicht dort, sondern ist von mir zugefügt.

Der Tag wird von Mitternacht bis Mitternacht gerechnet.

Übrigens hat man, um die Tageszeit anzugeben, sich der folgenden Buchstaben bedient: n, das die Nacht, d. h. die Zeit von 9 p. m. bis 7 a. m. bezeichnet.

a oder a. m., das den Vormittag bezeichnet.

p oder p. m., das den Nachmittag bezeichnet.

Dabei ist zu bemerken, dass der Buchstabe n die vorhergehende Nacht bezeichnet, nur mit Ausnahme des Falles, dass dem n ein a oder p unmittelbar vorangeht, z. B. \odot apn, das bedeutet: Regen ist während des Vormittages, des Nachmittages und der nachfolgenden Nacht gefallen. Zwischen dem Wort oder dem Zeichen, das die meteorologische Erscheinung angiebt, und einem der obigen Buchstaben findet man oft eine Zahl eingeschoben, entweder einsam oder mit nachfolgenden Decimalen; dann bezeichnet die ganze Zahl die Stunde und die Decimalen die Minuten, z. B. * 3 p — 6.₃₀ p bedeutet: Schneefall von 3 Uhr nachmittags bis 6 Uhr und 30 Minuten nachmittags.

Die Zeitangaben sind überall nach Ortzeit.

Kursiv bedeutet, dass ein Wert durch Interpolation erhalten oder sonst unsicher ist.

Am Ende, p. 125—133, sind die Beobachtungen an einigen Stationen, wo ein längerer Aufenthalt gemacht wurde, je einzeln zusammengestellt, um Mittelwerte der verschiedenen meteorologischen Elemente berechnen zu können. Es bedeuten dort φ die Breite, λ die Länge und H_s die Seehöhe: übrigens ist die Bezeichnung dieselbe wie in den vorhergehenden Tabellen.

Die Bearbeitung der Beobachtungen.

1. Luftdruck.

Für die Luftdruckbeobachtungen wurden ein Siedethermometer und 3 Aneroide benutzt. Das Siedethermometer war von R. Fuess in Steglitz-Berlin geliefert und von der Physikalisch-Technischen Reichsanstalt in Charlottenburg geprüft; dasselbe ist von 2 zu 2 mm der Spannungskurve des Wasserdampfes geteilt. Nach Anbringung der in der Prüfungs-Bescheinigung der Reichsanstalt angegebenen Korrekturen dürfte der Ablesungsfehler im Allgemeinen nicht 0,5 mm betragen.

Die Korrekturen der Aneroide wurden bei der Bearbeitung der Beobachtungen für die zwischen den Ablesungen des Siedethermometers liegenden Zeiten mit Berücksichtigung der Temperaturkorrekturen der Aneroide durch Interpolation bestimmt. Bei dem in Tibet obwaltenden niedrigen Luftdruck gab es indessen für diese Aneroide keine Temperaturkorrektur.¹ Die Beobachtungsfehler der in dieser Weise berichtigten Barometerstände dürften nicht mehr als etwa 0,5 mm betragen.

2. Die Berechnung der Höhen der Stationen über der Meeresoberfläche.

Für diese Berechnung wurde dieselbe barometrische Höhenformel und auch übrigens wesentlich dieselbe Methode verwendet, über die ich schon einen ausführlichen Bericht erstattet habe.² Da es indessen nicht möglich war für eine Niveau von 3 000 Meter über der Meeres-

¹ Siehe die in der Note 1 citierte Meteorologie II. p. 7. Es wurden nämlich dieselben Aneroide während der beiden Reisen verwendet.

² L. c. p. 28 bis 47.

oberfläche oder eine noch höhere Niveau in Tibet Isobaren zu zeichnen, so habe ich für die Berechnung die beobachteten Werte von Luftdruck und Temperatur an den drei obengenannten britischen Stationen Leh, Simla und Darjeeling benutzt, und zwar so, dass ich für jede Station Hedins den mittleren Luftdruck berechnete und mit den gleichzeitigen mittleren Werten von Luftdruck und Temperatur an den 3 englischen Stationen verglich. Somit wurden dabei die von Hedins beobachteten Lufttemperaturen nicht berücksichtigt, und zwar weil es nicht möglich war deren tägliche Schwankung zu eliminieren.¹

Die an den drei genannten britischen Stationen ausgeführten Beobachtungen habe ich durch die gefällige Hilfe vom Direktor des Meteorological Office in London Dr. W. N. Shaw bekommen.

Die geographischen Koordinaten dieser Stationen sind:

Station	Breite N.	Länge E. von Greenwich.	Seehöhe m.
Leh	34 10'	77 35'	3 500
Simla	31 20'	77 15'	2 202
Darjeeling	27° 0'	88 10'	2 248

Also wurde die Seehöhe jeder Station Hedins mit Hilfe der Beobachtungen der 3 Vergleichsstationen je einzeln berechnet, und aus den 3 Werten das Mittel genommen, um die wahrscheinlichste Seehöhe zu bekommen. Die Abweichungen dieser Werte vom Mittel erlauben eine angenäherte Schätzung des wahrscheinlichen Fehlers dieses Mittels. Es seien A_1 , A_2 und A_3 die Abweichungen der 3 Werte der Seehöhe einer Station vom Mittel, und ferner f der wegen des Beobachtungsfehlers des Barometerstandes an der Station Hedins entstehende mittlere Fehler des Mittels, und R der wahrscheinliche Fehler dieses Mittels. Dann haben wir näherungsweise

$$R = \pm 0.6745 \sqrt{\frac{A_1^2 + A_2^2 + A_3^2}{2 \times 3} + f^2}.$$

Den Wert von f habe ich folgendermassen geschätzt. Aus 14 Vergleichen der Ableisungen des Siedethermometers und der Aneroide mit dem Quecksilber-Barometer der britischen Station in Leh (1. bis 14. Aug. 1906) ergeben sich Differenzen, die zwischen 0.6 und 0.7 mm liegen und im Mittel 0.4 mm betragen, und deshalb habe ich den mittleren Barometerfehler Hedins ± 0.4 mm angenommen. Diesem Fehler entspricht bei verschiedenen Werten des Luftdruckes B und der Lufttemperatur T die folgenden Werte von f in Metern.

B mm	T in Celsius-Graden					
	20	- 10	0	10	20	30
700	4.1	4.3	4.6	4.7	4.9	5.1
650	4.1	4.3	4.6	5.1	5.2	5.4
600	5.1	5.3	5.4	5.7	5.7	5.8

¹ Vergleiche die Bemerkung I. c. p. 29: »Immerhin bleibt es bei solchen Berechnungen zweifelhaft, was für eine Temperatur die Luftschicht zwischen den Horizontalflächen der beiden Stationen hat. In der Tat ist ohne Zweifel die tägliche Temperaturschwankung, die an den Stationen beobachtet wird, viel grösser als diejenige in dieser Luftschicht. Anfangs (für Pamir) rechnete ich mit der Temperatur der Beobachtungsstunde, bald aber fand ich es besser mit der mittleren Tages-temperatur zu rechnen.«

Z in Celsius-Graden

B_{mm}	-20	-10	0	10	20	30
550	5.4	5.6	5.8	5.9	6.1	6.4
500	5.2	6.1	6.3	6.5	6.7	6.8
450	6.2	6.7	7.0	7.2	7.4	7.5
400	7.1	7.3	7.5	7.8	8.0	8.2

Diese Werte von f sind bei der Berechnung von K zu verwenden.

Da die Anzahl der Vergleichsstationen nur 3 ist, und übrigens es unbekannt ist, ob zwischen diesen einen barometrischen Gradient im Niveau der Station Hedins vorhanden ist, so wird die Berechnung von K nur eine erste Annäherung sein, welche die Grössenordnung des wahrscheinlichen Fehlers der Seehöhe anzeigt. Deshalb wird es genügen hier einige Stichproben dieses Fehlers mitzuteilen, wobei vorzugsweise die grössten Seehöhen gewählt worden sind. In die folgende Tabelle haben wir diese Stichproben zusammengestellt, die mit den *Tabellen der Beobachtungen* zu vergleichen sind.

Ort	Monat und Tag 1906	A_1	A_2	A_3	f	Seehöhe m	K m
Marsimik-la	Aug. 25	+ 41	- 31	- 9	± 8	5 593	± 15
Der höchste Gipfel	Sept. 1	+ 25	- 27	+ 2	± 8	5 846	± 11
Pass Changlung-yogma	Sept. 1	+ 22	- 22	+ 1	± 8	5 780	± 10
Lager XLVI	Okt. 21—22	- 1	- 2	+ 3	± 7	5 390	± 5
Chakchom-la	Nov. 17	+ 16	- 5	- 12	± 7	5 433	± 7
1907							
Dolma-la	Sept. 4	+ 14	- 17	+ 2	± 8	5 660	± 8
Jukti-hloma-la	» 25	+ 14	- 10	- 5	± 8	5 821	± 7
Gartok	Sept. 17—Okt. 20	+ 2	- 1	± 0	± 7	4 469	± 5
Tseti-la	Sept. 8	+ 22	- 14	- 8	± 8	5 628	± 9
Lager CCXXXVI, Singi-kahab	Sept. 10	+ 5	- 6	+ 2	± 8	5 165	± 6
Lamo-latse-la	» 11	- 2	- 2	+ 5	± 8	5 426	± 6
1908							
Lager CCCXVI	Jan. 29—30	- 49	+ 15	+ 35	± 7	5 480	± 18
Lager CCCXXX	Febr. 15—16	+ 1	+ 20	- 20	± 7	5 556	± 9
Lager CCCIII, Sangmo-bertik	Mai 11—12	- 22	3	+ 26	± 7	5 586	± 11
1906							
Srinagar	Juni 1—16	- 13	4	+ 16	± 6	1 620	± 7

Aus dieser Tabelle scheint hervorzugehen, dass der wahrscheinliche Fehler einer der Seehöhen meistens weniger als ± 10 m beträgt, selbst bei einer Seehöhe von nahezu 6 000 m. Dieses schöne Resultat erklärt sich aus der bemerkenswerten Geringheit der zufälligen Luft-

druckschwankungen in dieser Gegend, und natürlich auch aus der Genauigkeit der Beobachtungen Hedins. Schätzen wir den grösstmöglichen Fehler zu drei Mal des wahrscheinlichen, so ist in sehr ungünstigen Ausnahmefällen ein Fehler von etwa ± 50 m zu befürchten.

Um ein absolutes Mass der Genauigkeit zu erhalten, habe ich in der letzten Zeile der Tabelle auch die Seehöhe von Srinagar in dieser Weise aus den dort von Hedin gemachten meteorologischen Beobachtungen berechnet, und 1 620 m gefunden, während die genaue Seehöhe 1 606 m ist; der wirkliche Fehler ist also 14 m, d. h. das Doppelte des wahrscheinlichen Fehlers. Indessen wird der Fehler fast nur von der in Darjeeling gemachten Beobachtungen verursacht, was sich aus dem grossen Abstand zwischen Srinagar und Darjeeling erklärt. Die drei berechneten Seehöhen von Srinagar sind in der Tat:

gemäss den Beobachtungen in Leh	1 607 m
Simla	1 616 m
Darjeeling	1 636 m

Folglich gibt die Vergleichung mit den in Leh gemachten brittischen Beobachtungen einen Fehler von nur 1 m, und diejenige mit den in Simla gemachten einen Fehler von 10 m, wogegen der Fehler für Darjeeling 30 m beträgt.

Aus dieser Untersuchung ist zu schliessen, dass die wirklichen Fehler der berechneten Seehöhen nicht merklich grösser sind als die in der obigen Weise berechneten wahrscheinlichen Fehler, d. h. anders gesagt, dass keine nennenswerte konstante Fehler zu befürchten sind.

3. Temperatur, Wind, Bewölkung, Niederschlag.

Die wichtigsten und vollständigsten Temperaturbeobachtungen Dr. Hedins beziehen sich auf die Lufttemperatur, indem er dieselbe regelmässig um 7 a. m., 1 p. m. und 9 p. m. beobachtete und gelegentlich an anderen Tageszeiten, ferner auch das tägliche Minimum und ausnahmsweise das tägliche Maximum. Weiter beobachtete er die Insolationstemperatur in vacuo, und gelegentlich die Temperatur des Wassers in Seen, Flüssen und Quellen.

Für die Beobachtungen der Lufttemperatur verwendete er teils das Assmann'sche Aspirations-Psychrometer, teils ein Schleuder-Psychrometer. Das Assmann'sche Psychrometer wurde in vorgeschriebener Weise mit Ventilation benutzt, so lange das Laufwerk aushielt. Leider wurde dies, wie während seiner vorigen Reise,¹ allmählig verschlechtert und zuletzt ganz unbrauchbar, musste dann ohne künstliche Ventilation benutzt werden. Das Schleuder-Psychrometer dagegen hielt die Beschwerden der Reise aus. Die Länge des Schleuderarmes betrug etwa $\frac{2}{3}$ m, und das Psychrometer wurde horizontal über dem Kopfe des Beobachters geschleudert. Die Schleudergeschwindigkeit betrug etwa 10 m sek. Es wurde bei jeder Beobachtung mehrmals abgelesen, bis die zwei letzten Beobachtungen dieselbe Temperatur gaben. Die Thermometer waren denjenigen des Assmann'schen Psychrometers ähnlich. In den beiden Psychrometern war der eine Thermometerbehälter mit Leinwand überzogen und wurde vor der Beobachtung befeuchtet, um die Luftfeuchtigkeit zu bestimmen, was im folgenden Abschnitt besprochen wird.

Das Minimum-Thermometer wurde der Regel nach um 7 a. m. abgelesen und eingestellt, das Maximum-Thermometer um 9 p. m.

¹ L. c. p. 11.

Die Insolationsthermometer in vacuo (Aktinometer) waren in einer Höhe von 1 bis 2 m über dem Boden aufgestellt: dieselben geben das Maximum der Temperatur an; sie wurden am Abend abgelesen.

Alle die von Dr. Hedin verwendeten Thermometer, von R. Fuess in Steglitz-Berlin geliefert, waren von der Physikalisch-Technischen Reichsanstalt geprüft.

Über die Windbeobachtungen ist schon oben (p. 02) ein Bericht erstattet.

Die Bewölkung wurde in gewöhnlicher Weise geschätzt: 0 = ganz klar, 10 = ganz bewölkt.

Die Hydrometeore wurden in gewöhnlicher Weise aufgezeichnet. Die oben angeführten internationalen Witterungszeichen (p. 02), die in die Tabellen der Beobachtungen zur Abkürzung eingeführt sind, wurden nicht von Dr. Hedin benutzt.

4. Feuchtigkeit der Luft.

Die Feuchtigkeit der Luft wurde in der oben beschriebenen Weise mittelst des Assman'schen Aspirations-Psychrometers und des Schleuder-Psychrometers beobachtet. Für die Methode aus den Beobachtungen den Dampfdruck, die relative Feuchtigkeit und das Sättigungsdefizit zu berechnen, verweise ich auf die oben angeführte Abhandlung.¹ Nur ist zu bemerken, dass bei dieser Berechnung statt der dort (p. 18—23) verzeichneten Werte der Spannkraft des Wasserdampfes diejenigen benutzt wurden, die in Landolt, Börnstein, Roth, Physikalisch-chemische Tabellen, 4. Auflage, Berlin 1912, Tabellen 105 bis 106 b (p. 358 bis 361) veröffentlicht sind. Weil aber diese Tabellen den Sättigungsdruck über flüssigem Wasser nicht für Temperaturen unter -16° Cels. angeben, so wurden für tiefere Temperaturen die von mir berechneten Werte (l. c. p. 18) beibehalten. Gegen die von Aron Svensson und mir entwickelte Psychrometer-Theorie haben H. A. Hazen, Love und Smeal und Andere mehrere Einwände gehoben, und deshalb habe ich es unternommen die ganze Hygrometrie eingehend durchzuforschen, und dadurch hat sich ergeben, dass diese Einwände hinfällig sind und jeden wirklichen Grund entbehren, so dass in der Tat die von uns aufgestellte Psychrometer-Theorie wesentlich richtig ist. Die Abhandlung, wo dies dargelegt wird, ist in englischer Sprache von mir geschrieben, und wird bald unter dem Titel: *Hygrometric Investigations* erscheinen.

L. c. p. 14—27.

TABELLEN DER BEOBACHTUNGEN.

O r t.	Breite N.	Länge E. v. Gr.	Seehöhe		Monat und Tag 1906.	Stun- de.	Luft- druck bei 0° und Normal- schwere mm.	Luft- tempe- ratur Cels.	Feuchtes Thermo- meter Cels.
			Meter.	n.					
Srinagar	34 6'	74 48'	1608	—	Juni 28	9 p	621'7	27'6	20'1
»	»	»	»	—	» 29	11 a	621'2	26'6	20'1
»	»	»	»	—	» 29	1 p	620'3	29'2	19'9
»	»	»	»	—	» 30	11 a	621'9	25'9	19'2
»	»	»	»	—	Juli 1	1 p	620'9	28'7	20'2
»	»	»	»	—	» 2	7 a	622'5	24'6	18'9
»	»	»	»	—	» 2	1 p	625'0	24'5	17'8
»	»	»	»	—	» 2	9 p	624'6	22'8	18'4
»	»	»	»	—	» 3	7 a	624'8	21'1	16'8
»	»	»	»	—	» 3	1 p	624'5	26'8	20'3
»	»	»	»	—	» 3	9 p	623'3	22'4	18'4
»	»	»	»	—	» 4	7 a	624'3	22'6	17'8
»	»	»	»	—	» 4	1 p	627'4	18'1	15'3
»	»	»	»	—	» 4	9 p	625'2	17'3	15'6
»	»	»	»	—	» 5	7 a	625'3	16'2	15'0
»	»	»	»	—	» 5	1 p	624'3	25'2	19'3
»	»	»	»	—	» 5	9 p	621'8	22'5	19'0
»	»	»	»	—	» 6	7 a	622'3	21'6	17'0
»	»	»	»	—	» 6	1 p	621'5	27'5	20'4
»	»	»	»	—	» 6	12 p	621'7	21'8	16'7
»	»	»	»	—	» 7	7 a	622'2	21'0	16'8
»	»	»	»	—	» 7	1 p	622'3	26'8	18'4
»	»	»	»	—	» 7	12 p	622'4	19'7	16'7
»	»	»	»	—	» 8	7 a	623'0	20'8	16'6
»	»	»	»	—	» 8	1 p	622'5	24'0	18'2
»	»	»	»	—	» 8	11 p	622'7	23'5	17'4
»	»	»	»	—	» 9	7 a	623'5	22'6	17'8
»	»	»	»	—	» 9	1 p	623'3	27'2	19'4
»	»	»	»	—	» 9	11 p	624'0	23'5	17'8
»	»	»	»	—	» 10	7 a	624'1	22'6	17'4
»	»	»	»	—	» 10	1 p	624'5	28'1	19'7
»	»	»	»	—	» 10	9 p	624'7	21'3	18'4
»	»	»	»	—	» 11	7 a	625'6	21'4	17'6
»	»	»	»	—	» 11	1 p	624'7	28'0	20'2
»	»	»	»	—	» 11	11 p	625'1	19'9	15'9
»	»	»	»	—	» 12	7 a	625'0	21'0	16'8
»	»	»	»	—	» 12	1 p	623'9	25'8	19'9
»	»	»	»	—	» 12	9 p	623'4	21'3	15'9
»	»	»	»	—	» 13	7 a	623'3	20'6	15'7
»	»	»	»	—	» 13	1 p	623'4	24'6	18'7

Luftfeuchtigkeit.			Temperatur- extreme.		Aktinometer.		Wind.		Bewöl- kung 0-10 und Nieder- schlag.	Bemerkungen.
Dampf- druck mm.	Relat. %.	Sätti- gungs- deficit mm.	Min. Cels.	Max. Cels.	Schwarz- kugel Cels.	Blank- kugel Cels.	Rich- tung.	Stärke.		
14.4	52	13.3	—	—	—	—	S	1	8	Dünnes Gewölk.
14.8	57	11.3	—	—	—	—	S	1	1	Sturm, ☉
13.6	45	16.9	—	—	—	—	—	0	1	
13.8	55	11.3	17.1	—	—	—	—	0	1	
14.2	48	15.4	17.9	—	—	—	—	0	1	Wölken am Horizonte.
13.9	60	9.3	15.2	—	—	—	SW	1	10	☉ 10 a-12 a.
12.4	54	10.7	—	—	—	—	S	2	10	
13.8	67	7.1	—	—	—	—	—	0	0	Leichter Dunst.
12.4	66	6.4	—	—	—	—	S	1	5	Dünnes Gewölk.
15.0	57	11.4	—	—	—	—	—	0	1	
14.0	69	6.4	—	—	—	—	—	0	1	
13.1	64	7.5	15.0	—	—	—	NE	2	9	
11.7	75	3.9	—	—	—	—	SW	2	10	☉ 9 a-1 p.
12.3	83	2.5	—	—	—	—	—	0	2	
12.0	87	1.8	13.0	—	—	—	—	0	0	
14.2	59	9.9	—	—	66.20	51.23	—	0	1	
14.8	72	5.7	—	—	—	—	—	0	0	
12.5	64	6.9	15.3	—	—	—	—	0	0	
14.9	54	12.7	—	—	—	—	—	0	2	
12.0	61	7.6	—	—	72.6	51.7	—	0	8	
12.4	67	6.3	14.9	—	—	—	—	0	9	
12.4	46	14.1	—	—	—	—	—	0	9	
12.8	74	4.4	—	—	65.0	46.6	—	0	5	
12.3	67	6.1	14.8	—	—	—	—	0	1	
13.1	59	9.3	—	—	—	—	—	0	2	
12.3	57	9.4	—	—	67.1	49.9	—	0	6	
13.1	63	7.5	17.5	—	—	—	—	0	9	
13.6	50	13.5	—	—	—	—	—	0	6	
12.8	59	8.9	—	—	67.4	53.5	—	0	1	
12.6	61	8.0	17.1	—	—	—	—	0	2	
13.7	48	14.9	—	—	—	—	—	0	9	
14.4	76	4.6	—	—	45.3	36.6	—	0	3	
13.3	70	5.8	16.5	—	—	—	—	0	9	
14.4	51	14.0	—	—	—	—	—	0	2	
11.7	67	5.7	—	—	66.8	52.3	N	1	0	Starker N Sturm 6-6.3 p.
12.4	67	6.3	14.9	—	—	—	—	0	0	
14.8	59	10.1	—	—	—	—	E	1	3	Heftiger N Wind und ☉ 6 p-7 p.
11.2	59	7.8	—	—	67.1	51.3	—	0	0	
11.2	62	7.0	13.2	—	—	—	—	0	0	
13.6	59	9.6	—	—	—	—	—	0	1	Heftiger W Wind und ☉ 6 p-7 p.

O r t.	Breite N.	Länge E. v. Gr.	Seehöhe		Monat und Tag 1906.	Stun- de.	Luft- druck bei 0 und Normal- schwere mm.	Luft- tempe- ratur Cels.	Feuchtes Thermo- meter Cels.
			Meter.	n.					
Srinagar	34° 6'	74° 48'	1668	—	Juli 13	9 p	624'5	21'5	15'5
»	»	»	»	—	» 14	7 a	625'2	21'7	15'1
»	»	»	»	—	» 14	9 p	622'5	20'5	17'9
»	»	»	»	—	» 15	7 a	622'5	21'5	16'0
»	»	»	»	—	» 15	1 p	622'2	25'4	19'4
»	»	»	»	—	» 15	9 p	621'3	24'4	20'0
»	»	»	»	—	» 16	7 a	626'1	21'0	15'9
»	»	»	»	—	» 16	2 p	626'7	25'8	19'2
Ganderbal	34° 14'	74° 46'	1600	3	» 16	10 p	627'3	18'1	16'6
»	»	»	»	»	» 17	7 a	625'8	21'3	16'7
»	»	»	»	»	» 17	1 p	626'1	26'4	18'6
Kangan	34° 16'	74° 53'	1819	2	» 17	9 p	610'0	18'2	16'4
»	»	»	»	»	» 18	7 a	610'5	25'2	14'8
Karwatsiwan	34° 15'	74° 56'	1844	1	» 18	1 p	608'4	26'3	17'7
Gund	34° 15'	75° 6'	2100	2	» 18	9 p	589'4	18'3	13'5
»	»	»	»	»	» 19	7 a	590'1	17'2	12'5
Rezam	34° 16'	75° 11'	2256	1	» 19	1 p	578'5	25'8	17'1
Sonamarg	34° 18'	75° 18'	2680	2	» 19	9 p	550'0	9'7	8'2
»	»	»	»	»	» 20	7 a	549'4	12'5	10'0
Serbal	34° 17'	75° 20'	2758	1	» 20	1 p	544'3	20'6	12'8
Baltal	34° 15'	75° 25'	2892	2	» 20	9 p	536'0	10'2	9'6
»	»	»	»	»	» 21	7 a	535'6	12'4	8'9
Unterwegs	—	—	3526	1	» 21	1 p	496'8	20'2	11'0
Mataiun	34° 22'	75° 36'	3247	2	» 21	9 p	513'9	13'9	9'6
»	»	»	»	»	» 22	7 a	514'6	14'9	7'8
Unterhalb Brandras	34° 25'	75° 38'	3156	1	» 22	1 p	520'1	20'8	10'3
Dras	34° 26'	75° 45'	3115	2	» 22	9 p	522'0	17'8	10'6
»	»	»	»	»	» 23	7 a	522'4	20'1	9'9
Halbwegs (bei Dundul)	34° 24'	75° 24'	2968	1	» 23	1 p	530'5	24'6	12'2
Karbu	34° 33'	76° 0'	2832	2	» 23	9 p	538'0	22'2	11'8
»	»	»	»	»	» 24	7 a	539'1	19'4	11'4
Unterwegs	—	—	2710	1	» 24	1 p	546'1	28'7	13'8
Kargil	34° 34'	76° 8'	2691	5	» 24	9 p	548'0	23'6	12'8
»	»	»	»	»	» 25	7 a	549'3	22'2	12'4
»	»	»	»	»	» 25	1 p	546'2	25'2	15'2
»	»	»	»	»	» 25	9 p	546'1	25'5	13'4
Pashkyum	34° 31'	76° 11'	2899	1	» 26	7 a	548'8	22'0	12'8
»	»	»	»	»	» 26	1 p	535'1	27'9	12'5

Luftfeuchtigkeit.			Temperatur-extreme.		Aktinometer.		Wind.		Bewöl- kung 6-10 und Nieder- schlag.	Bemerkungen.
Dampf- druck mm.	Relat. %.	Sätti- gungs- deficit mm.	Min. Cels.	Max. Cels.	Schwarz- kugel Cels.	Blank- kugel Cels.	Rich- tung.	Stärke.		
10.7	56	8.5	—	—	—	—	N	1	3	
10.1	52	9.4	13.4	—	—	—	—	0	1	
14.0	78	4.1	—	—	67.0	53.5	—	0	0	
11.3	59	7.9	13.2	—	—	—	—	0	0	
14.3	59	10.0	—	—	—	—	—	0	1	
15.5	68	7.4	—	—	67.2	52.9	—	0	6	11 12 p. N Orkan.
11.3	61	7.3	15.9	—	—	—	N	2	10	
13.8	55	11.1	—	—	—	—	W	1	1	
13.3	85	2.4	—	—	—	—	W	1	0	
12.2	64	6.8	—	—	—	—	E	1	0	
12.8	49	13.1	—	—	—	—	—	0	10	
9.4	60	6.3	—	—	—	—	—	0	0	Absolut klarer Himmel, nachher absteigender Thalwind.
8.5	35	15.5	14.4	—	—	—	E	1	7	☉ 9.30 a—10 a.
11.7	46	14.0	—	—	—	—	NW	1	9	Temperatur 11.4 in Fluss 2.30 p.
9.6	61	6.2	—	—	—	—	ENE	1	0	
9.0	60	5.8	11.2	—	—	—	ENE	1	0	Temperatur 6.8 in Fluss, 9.8 in Bach.
11.3	45	13.7	—	—	—	—	—	0	9	Temperatur 9.5 in Fluss.
7.5	83	1.6	—	—	—	—	ESE	1	3	Temperatur 5.8 in Fluss.
8.2	75	2.7	7.3	—	—	—	SE	1	9	Temperatur 4.6 in Fluss.
8.3	46	9.9	—	—	—	—	NW	1	9	Temperatur 7.5 in Fluss. ☉ 3 p—n.
8.6	91	0.8	—	—	—	—	NE	1	10	Temperatur 3.6 in Fluss.
7.2	67	3.6	8.2	—	—	—	S	1	2	Temperatur 3.3 in Fluss.
6.9	39	10.9	—	—	—	—	S	3	9	Temperatur 0.0 in Bach.
7.4	62	4.6	—	—	—	—	S	3	1	
5.6	44	7.1	9.0	—	—	—	S	2	1	Temperatur 3.3 in Fluss.
5.9	32	12.5	—	—	—	—	S	2	2	Temperatur 8.5 in Fluss.
7.1	47	8.3	—	—	—	—	E	1	0	
5.8	33	11.9	10.8	—	—	—	—	0	1	Temperatur 4.5 in Fluss.
6.5	28	16.8	—	—	—	—	SW	2	9	Temperatur 7.5 in Fluss.
6.8	34	13.3	—	—	—	—	S	2	1	
7.3	43	9.6	15.9	—	—	—	SSE	2	10	Temperatur 5.4 in Fluss.
6.7	23	22.9	—	—	—	—	W	2	7	Temperatur 9.0 in Fluss.
7.3	33	14.6	—	—	—	—	N	4	0	Temperatur 10.6 in Fluss.
7.3	36	12.8	11.5	—	—	—	N	2	1	Temperatur 8.5 in Fluss.
9.4	39	14.7	—	—	—	—	—	0	9	Temperatur 10.4 in Fluss.
7.3	30	17.2	—	—	61.0	43.6	N	4	0	Temperatur 10.5 in Fluss.
7.9	40	11.9	14.4	—	—	—	N	1	0	Temperatur 9.0 in Fluss.
5.7	20	22.5	—	—	—	—	N	1	1	Temperatur 16.8 in Fluss.

O r t.	Breite N.	Länge E. v. Gr.	Sechöhe		Monat und Tag 1906.	Stun- de.	Luft- druck bei 0° und Normal- schwere mm.	Luft- tempe- ratur Cels.	Feuchtes Thermo- meter Cels.
			Meter.	n.					
Moolbekh	34° 23'	76° 23'	3 288	2	Juli 26	9 p	510'1	21'2	10'8
'	'	'	'	'	' 27	7 a	510'5	17'9	10'4
Namika-la	34° 23'	76° 28'	3 846	1	' 27	12 a	477'1	18'4	13'7
Karbu (Kharboo)	34° 21'	76° 33'	3 513	3	' 27	1 p	496'5	24'9	11'5
'	'	'	'	'	' 27	9 p	495'9	19'1	8'8
'	'	'	'	'	' 28	7 a	495'7	14'0	8'6
Sumchen	—	—	3 780	1	' 28	1 p	480'2	22'1	10'0
Fotu-la	34° 17'	76° 42'	4 136	1	' 28	2 p	460'0	22'2	9'4
Lamaiuru (Lamayooroo)	34° 17'	76° 46'	3 502	2	' 28	9 p	496'7	17'8	9'4
'	'	'	'	'	' 29	7 a	497'4	15'2	8'4
Sumto	—	—	3 140	1	' 29	1'45 p	519'7	26'9	10'9
Nurla (Snurla)	34° 18'	76° 59'	3 078	2	' 29	9 p	523'8	24'1	10'6
'	'	'	'	'	' 30	7 a	526'2	20'7	11'0
Lardo	34° 14'	77° 7'	3 140	1	' 30	2 p	521'9	33'1	12'4
Saspul	34° 15'	77° 10'	3 180	2	' 30	9 p	519'9	24'4	10'4
'	'	'	'	'	' 31	7 a	521'7	21'9	10'9
Kongo, Pass	—	—	3 504	1	' 31	10'30 a	501'0	24'4	10'2
Niemo (Snemo)	34° 12'	77° 20'	3 196	3	' 31	2'30 p	518'8	29'6	12'2
'	'	'	'	'	' 31	9 p	518'6	22'4	9'6
'	'	'	'	'	Aug. 1	7 a	519'7	17'9	11'6
Pass	—	—	3 216	1	' 1	11 a	516'6	23'4	8'8
Unterhalb Pittak	34° 8'	77° 31'	3 247	1	' 1	1 p	514'1	30'4	13'7
Leh	34° 10'	77° 35'	3 506	—	' 1	9 p	siehe unten		
'	'	'	'	'	bis 14	7 a			
Shay-sagra	34° 5'	77° 38'	3 311	1	' 14	1 p	511'4	27'4	10'4
Tikse (Tikzay)	34° 3'	77° 10'	3 327	2	' 14	9 p	510'0	21'9	9'6
'	'	'	'	'	' 15	7 a	513'3	13'6	10'4
Krümmung von Indus	'	'	3 379	1	' 15	1 p	509'0	21'6	10'6
Jimre (Chimray)	33° 58'	77° 47'	3 651	2	' 15	9 p	492'5	14'6	8'3
'	'	'	'	'	' 16	7 a	493'0	12'4	7'6
Kurz unterhalb Singrul	'	'	4 454	1	' 16	1 p	446'6	16'6	4'8
Singrul (Zingral)	34° 2'	77° 52'	4 760	2	' 16	9 p	429'0	7'6	1'5
'	'	'	'	'	' 17	7 a	428'9	3'3	0'0
Chang-la	34° 2'	77° 55'	5 355	1	' 17	12 a	398'3	5'2	— 10'4
Unterwegs	—	—	4 952	1	' 17	2 p	418'9	5'3	0'8
Soltak	—	—	4 822	2	' 17	9 p	425'1	5'2	0'3
'	—	—	'	'	' 18	7 a	426'3	4'6	— 11'5
Kleiner Pass	—	—	4 227	1	' 18	0'30 p	458'5	18'6	3'3
Drugub	34° 7'	78° 4'	3 874	10	' 18	9 p	477'2	15'9	4'0
'	'	'	'	'	' 19	7 a	478'0	6'6	— 10'4

¹⁾ Endgültiges Resultat von sämtlichen Beobachtungen, auch aus dem Jahr 1902.

Luftfeuchtigkeit.			Temperatur- extreme.		Aktinometer.		Wind.		Bewöl- kung 0-10 und Nieder- schlag.	Bemerkungen.
Dampf- druck mm.	Relat. %.	Sätti- gungs- deficit mm.	Min. Cels.	Max. Cels.	Schwarz- kugel Cels.	Blank- kugel Cels.	Rich- tung.	Stärke.		
6.3	33	12.6	—	—	—	—	W	2	1	Temperatur 12.2 in Fluss.
6.9	45	8.5	12.8	—	—	—	W	1	2	Temperatur 8.2 in Fluss.
7.3	46	8.6	—	—	—	—	WSW	5	9	
6.0	35	17.6	—	—	—	—	W	1	3	Temperatur 9.6 in Quelle.
5.2	32	11.4	—	—	—	—	NW	1	0	
6.6	55	5.4	9.4	—	—	—	N	1	1	Temperatur 6.5 in Fluss.
5.5	28	14.4	—	—	—	—	W	3	9	Temperatur 12.9 in Bach.
5.1	26	15.0	—	—	—	—	NW	3	7	☉ im Osten vom Pass.
6.2	41	9.1	—	—	—	—	NW	1	4	
6.1	47	6.9	10.8	—	—	—	—	0	1	
4.6	17	22.0	—	—	—	—	ENE	2	2	Temperatur 13.2 in Fluss.
5.2	23	17.3	—	—	—	—	W	2	1	
6.6	36	11.7	16.0	—	—	—	W	1	1	Temperatur 10.5 in Fluss.
4.1	11	33.9	—	—	—	—	N	2	2	Temperatur 11.4 in Fluss.
4.6	20	18.3	—	—	—	—	NE	1	0	
6.4	33	13.3	18.9	—	—	—	NW	1	1	Temperatur 10.6 in Fluss.
4.9	21	18.0	—	—	—	—	NW	2	5	
5.0	16	26.1	—	—	—	—	NNW	2	3	
4.9	24	25.4	—	—	—	—	NW	1	1	Dünner Schleier.
8.0	52	7.4	17.4	—	—	—	—	0	0	
3.8	18	17.8	—	—	—	—	NNE	1	1	
6.4	20	26.2	—	—	—	—	—	0	2	Temperatur 19.0 in Fluss.
4.0	15	23.4	—	—	—	—	WNW	2	3	Temperatur 21.4 in Fluss.
5.0	25	14.7	—	—	—	—	NW	4	0	
8.2	70	3.5	12.9	—	—	—	S	1	10	☉ 6 a und 12 a.
6.0	31	13.4	—	—	—	—	S	1	8	Temperatur 15.8 in Indus.
6.2	49	6.3	—	—	—	—	N	1	0	
6.2	58	4.6	11.2	—	—	—	S	1	9	
3.1	22	11.1	—	—	—	—	SW	2	7	
3.4	44	4.4	—	—	—	—	SW	1	10	Temperatur 2.9 in Quellenbach.
3.6	62	2.2	-6.1	—	—	—	—	0	9	Temperatur 2.5 in Bach.
3.0	45	3.6	—	—	—	—	N	4	9	Δ 12 a - 1 p.
3.6	54	3.1	—	—	—	—	—	0	9	
3.3	50	3.3	—	—	—	—	—	0	1	
2.5	39	3.9	-7.1	—	—	—	—	0	0	Temperatur 2.6 in Fluss.
1.4	9	14.7	—	—	—	—	N	1	2	
2.6	19	11.0	—	—	—	—	—	0	0	Temperatur 12.0 in Fluss.
2.4	32	4.9	3.8	—	—	—	—	0	0	Temperatur 7.5 in Fluss.

O r t.	Breite N.	Länge E. v. Gr.	Seehöhe		Monat und Tag 1906.	Stun- de.	Luft- druck bei 0 und Normal- schwere mm.	Luft- tempe- ratur Cels.	Feuchtes Thermo- meter Cels.
			Meter.	n.					
Tankse ¹⁾	34 3'	78° 7'	3 985	6	Aug. 19	1 p	472·6	20·1	5·9
„	„	„	„	„	„ 19	9 p	471·2	14·0	3·4
„	„	„	„	„	„ 20	7 a	472·0	10·7	3·3
„	„	„	„	„	„ 20	1 p	471·0	19·9	6·3
„	„	„	„	„	„ 20	9 p	470·2	15·4	5·4
„	„	„	„	„	„ 21	7 a	471·3	13·2	6·0
Muglib	34° 3'	78° 16'	4 140	3	„ 21	2 p	463·7	17·2	6·6
„	„	„	„	„	„ 21	9 p	463·0	13·6	3·9
„	„	„	„	„	„ 22	7 p	464·4	7·8	2·6
Griesskegel	33 58'	78 24'	4 329	1	„ 22	2 p	454·2	18·1	4·7
Pass	33 58'	78 25'	4 331	1	„ 22	2 35 p	454·0	17·7	4·5
Panggong-tso	33 58'	78 26'	4 317	1	„ 22	3 40 p	455·1	16·4	5·1
Pobrang	34 7'	78 27'	4 468	5	„ 22	9 p	445·2	8·8	1·0
„	„	„	„	„	„ 23	7 a	446·6	7·8	1·1
„	„	„	„	„	„ 23	1 p	447·2	14·6	3·9
„	„	„	„	„	„ 23	9 p	446·0	8·6	1·2
„	„	„	„	„	„ 24	7 a	447·5	8·6	1·2
Schwelle	—	—	4 673	1	„ 24	11 45 a	435·3	18·4	—
Halbwegs	34 6'	78 31'	4 841	1	„ 24	1 p	426·3	14·9	1·9
Lunkar	34 5'	78 35'	5 151	2	„ 24	9 p	410·7	8·2	0·3
„	„	„	„	„	„ 25	7 a	410·6	0·1	— w 0·5
Marsimik-la	34 6'	78 38'	5 593	1	„ 25	0 30 p	387·7	1·5	— w 1·4
Thal-Ecke	34 9'	78 40'	5 319	1	„ 25	3 p	401·2	11·1	2·5
Spanglung	34 9'	78 42'	5 108	2	„ 25	9 p	410·9	5·3	0·2
„	„	„	„	„	„ 26	7 a	411·1	4·2	0·0
Lungnak	34 13'	78 46'	4 747	1	„ 26	1 p	429·6	14·0	2·6
Pamsal	34 16'	78 47'	4 529	5	„ 26	9 p	440·0	11·9	3·0
„	„	„	„	„	„ 27	7 a	441·3	6·9	1·7
„	„	„	„	„	„ 27	1 p	441·0	15·7	5·3
„	„	„	„	„	„ 27	9 p	441·5	10·6	3·8
„	„	„	„	„	„ 28	7 a	442·9	7·1	1·4
Fluss-Passage	34 17'	78 52'	4 598	1	„ 28	11 30 a	437·4	14·7	5·3
Mankook-la	34 18'	78 54'	4 839	1	„ 28	1 p	424·6	16·9	4·1
Gogra	34 20'	78 53'	4 740	2	„ 28	9 p	420·8	9·8	1·1
„	„	„	„	„	„ 29	7 a	430·5	6·8	1·9
Chuta	34 26'	78 57'	4 882	1	„ 29	1 p	422·7	16·0	4·4
Chang-lung-yogma	34 27'	78 59'	4 952	5	„ 29	9 p	418·3	5·6	0·9
„	„	„	„	„	„ 30	7 a	418·8	1·2	— w 0·9

¹⁾ Die Zahl 3 952 auf der Karte (Pl. 1) ist unrichtig.

Luftfeuchtigkeit.			Temperatur-extreme.		Aktinometer.		Wind.		Bewölkung 0-10 und Nieder- schlag.	Bemerkungen.
Dampf- druck mm.	Relat. %.	Sätti- gungs- deficit mm.	Min. Cels.	Max. Cels.	Schwarz- kugel Cels.	Blank- kugel Cels.	Rich- tung.	Stärke.		
2'8	16	14'9	—	—	—	—	—	0	3	
2'7	23	9'3	—	24'4	69'9	44'0	—	0	0	
3'7	39	6'0	7'4	—	—	—	—	0	1	Dunnen Schleier. ☉ 11 a.
3'3	19	14'1	—	—	—	—	N	1	7	
3'8	29	9'3	—	22'8	71'3	59'5	—	0	0	
4'8	42	6'6	10'1	—	—	—	—	0	5	
5'5	37	9'2	—	—	—	—	NW	1	8	
3'2	27	8'5	—	—	—	—	NW	2	1	
4'0	50	3'9	5'5	—	—	—	NW	1	4	
2'6	17	13'0	—	—	—	—	N	4	9	
2'6	17	12'6	—	—	—	—	NW	3	9	
3'4	24	10'6	—	—	—	—	SW	4	6	0'5 m über dem See.
2'7	32	5'8	—	—	—	—	S	1	1	
3'1	39	4'8	0'9	—	—	—	SE	1	1	
3'1	25	9'4	—	—	—	—	SE	3	5	Temperatur 17'2 in Fluss.
2'9	35	5'5	—	—	52'7	36'3	NNE	1	1	Temperatur 9'0° in Fluss.
2'9	35	5'5	2'4	—	—	—	NNE	1	9	Temperatur 6'6° in Fluss.
—	—	—	—	—	—	—	SW	3	4	
1'8	15	10'9	—	—	—	—	S	2	3	
2'6	32	5'6	—	—	—	—	NE	3	9	
4'2	91	0'4	0'1	—	—	—	NE	1	10	* n. □ 4 cm.
3'4	66	1'7	—	—	—	—	SE	1	6	
3'3	33	6'6	—	—	—	—	SW	1	4	
3'3	49	3'4	—	—	—	—	SW	3	1	
3'4	55	2'8	1'0	—	—	—	SW	2	8	Temperatur 1'2° in Fluss.
2'5	21	9'5	—	—	—	—	N	1	5	
3'2	31	7'2	—	—	—	—	W	1	0'1	Temperatur 8'1 in Fluss.
3'7	50	3'8	1'6	—	—	—	NE	1	10	Temperatur 4'0° in Fluss.
3'9	29	9'5	—	—	—	—	W	3	4	Temperatur 12'5° in Fluss.
4'1	43	5'5	—	—	57'9	36'1	E	2	1	Temperatur 8'2 in Fluss.
3'4	46	4'2	0'6	—	—	—	E	1	9	Temperatur 3'1 in Fluss.
4'1	33	8'4	—	—	—	—	NW	2	3	Temperatur 11'0° in Fluss.
5'3	37	9'1	—	—	—	—	SW	3	8	
2'6	29	6'5	—	—	—	—	—	0	6	
3'9	52	3'5	—	—	—	—	NE	1	4	Temperatur 3'2 in Fluss.
3'2	24	10'4	—	—	—	—	S	4	5	Temp. 51'0 in der wärmsten Quelle
3'6	53	3'2	—	—	—	—	NE	1	8	Temperatur 5'0 in Fluss. ☉ 6-7 30 a.
3'7	74	1'3	-1'3	—	—	—	SW	1	9	Temperatur 4'5 in Fluss.

O r t.	Breite N.	Länge E. v. Gr.	Seehöhe		Monat und Tag 1906.	Stun- de.	Luft- druck bei 0° und Normal- schwere mm.	Luft- temper- atur Cels.	Feuchtes Thermo- meter Cels.
			Meter.	n.					
			Assmann's Psychrometer.						
Chang-lung-yogma	34° 27'	78° 59'	4952	5	Aug. 30	1 p	418'6	9'8	3'2
„	„	„	„	„	30	9 p	418'8	2'8	— w'0'2
„	„	„	„	„	31	7 a	419'0	1'2	— 2'2
Lager I	34° 28'	79° 0'	5170	3	31	1 p	408'3	7'8	0'6
„	„	„	„	„	31	9 p	407'5	3'7	0'3
„	„	„	„	„	Sept. 1	7 a	407'9	0'6	— w'1'3
Der höchste Gipfel	—	—	5846	1	1	11 a	375'2	— 2'1	— 5'4
Pass Chang-lung-yogma	34° 32'	79° 3'	5780	1	1	12 a	378'0	1'1	— 3'3
Lager II	34° 34'	79° 6'	5552	3	1	3 p	389'0	4'6	— 3'2
„	„	„	„	„	1	9 p	389'3	— 2'6	— 3'4
„	„	„	„	„	2	7 a	389'4	— 2'9	— 4'9
Lager III	34° 39'	79° 13'	5382	3	2	1 p	397'9	3'8	— 1'4
„	„	„	„	„	2	9 p	397'6	— 0'2	— 3'2
„	„	„	„	„	3	7 a	397'3	— 2'4	— 3'9
Lager IV	34° 38'	79° 25'	5284	3	3	1 p	403'0	7'5	2'9
„	„	„	„	„	3	9 p	403'0	1'1	— w'0'7
„	„	„	„	„	4	7 a	403'3	0'9	— w'0'7
Halbwegs	34° 43'	79° 30'	5212	1	4	1 p	406'6	1'6	0'9
Lager V	34° 43'	79° 36'	5206	2	4	9 p	406'3	— 0'3	— w'1'1
„	„	„	„	„	5	7 a	406'8	— 0'6	— w'1'2
Kleiner Pass	34° 48'	79° 40'	5367	1	5	1 p	397'8	6'6	— w'0'6
Thal	34° 49'	79° 42'	5223	1	5	3 p	405'1	7'9	1'0
Lager VI	34° 51'	79° 42'	5110	5	5	9 p	410'0	1'3	0'2
„	„	„	„	„	6	7 a	411'0	1'2	— w'0'6
„	„	„	„	„	6	1 p	411'0	7'6	1'1
„	„	„	„	„	6	9 p	411'2	2'6	— w'1'4
„	„	„	„	„	7	7 a	411'6	1'6	— 2'5
Ebene	34° 54'	79° 43'	4953	1	7	11'30 a	419'2	8'8	0'4
Halbwegs	34° 56'	79° 43'	4935	1	7	1 p	420'2	12'1	1'2
Trockenes Bett	34° 59'	79° 42'	4914	1	7	3 p	421'3	—	—
Lager VII	35° 2'	79° 35'	4953	2	7	9 p	419'1	5'6	0'2
„	„	„	„	„	8	7 a	419'1	2'1	— w'0'9
Ebene, Hügelfuss	35° 7'	79° 37'	4889	1	8	0'35 p	422'8	13'7	2'2
Lager VIII (= Lager CCCI, 10 Jan. 1908)	35° 7'	79° 38'	4916	9	8	1 p	421'7	16'9	3'4
„	„	„	„	„	8	9 p	421'4	5'9	1'1
„	„	„	„	„	9	7 a	421'1	1'0	0'4
Hügel	35° 6'	79° 40'	5223	1	9	0'20 p	404'6	10'0	1'9

Luftfeuchtigkeit.			Temperatur-extreme.		Aktinometer.		Wind.		Bewölkung 0-10 und Nieder- schlag.	Bemerkungen.
Dampf- druck mm.	Relat. %.	Sätti- gungs- deficit mm.	Min. Cels.	Max. Cels.	Schwarz- kugel Cels.	Blank- kugel Cels.	Rich- tung.	Stärke.		
4'0	44	5'1	—	—	—	—	SW	3	5	Temperatur 12'1 in Fluss. 0'30 p—2 p Δ recht lebhaft.
3'7	65	1'9	—	—	53'6	30'0	NE	3	2	Temperatur 4'9 in Fluss. * 2 a—7 a.
3'0	60	2'0	-6'1	—	—	—	ENE	1	9	Temperatur 4'2 in Fluss.
2'9	37	5'0	—	—	—	—	S	2	9	Temperatur 11'8 in Bach.
3'8	63	2'2	—	—	45'2	28'5	S	1	10	Temperatur 3'6 in Bach.
3'6	76	1'2	-4'8	—	—	—	NNE	1	10	Temperatur 1'6 in Bach. * n. □ 5 cm.
2'2	56	1'7	—	—	—	—	SSW	4	6	
2'5	51	2'5	—	—	—	—	SSW	3	9	
1'8	29	4'6	—	—	—	—	SW	3	7	Temperatur 11'8 in Fluss.
3'2	85	0'6	—	—	—	—	NNE	1	9	
2'6	69	1'1	-7'4	—	—	—	NW	1	9	Temperatur -0'7 in Fluss.
2'9	48	3'1	—	—	—	—	ESE	4	9	Δ 10 a—1 p.
2'8	62	1'7	—	—	—	—	N	2	6	
2'9	76	0'9	—	—	—	—	NNW	1	9	Temperatur 1'0 in Fluss.
4'4	57	3'4	—	—	—	—	NNE	2	8	
3'8	77	1'2	—	—	—	—	E	1	6	* n.
3'9	79	1'0	-6'1	—	—	—	NE	1	9	
4'6	90	0'5	—	—	—	—	NE	1	9	Drei Schneestürme 10 a—2 p.
4'0	88	0'5	—	—	—	—	SE	1	8	* 7 p—8'30 p.
4'0	90	0'4	-5'6	—	—	—	—	0	8	* n.
2'6	35	4'7	—	—	—	—	SSW	1	9	
3'2	40	4'8	—	—	—	—	N	1	7	* 3 p.
4'3	85	0'7	—	—	—	—	NW	1	10	
3'8	77	1'2	-2'8	—	—	—	NW	1	6	
3'3	42	4'5	—	—	—	—	NE	1	6	
3'1	56	2'4	—	—	57'1	30'2	—	0	0	
2'8	54	2'3	-7'1	—	—	—	W	1	0	
2'5	30	6'0	—	—	—	—	NNW	1	10	
2'2	20	8'4	—	—	—	—	SE	1	1	
—	—	—	—	—	—	—	—	—	—	
3'2	47	3'6	—	—	—	—	SW	1	5	Dünner Schleier.
3'4	65	1'9	-7'6	—	—	—	—	0	2	
2'3	20	7'5	—	—	—	—	NW	2	3	
2'3	16	12'1	—	—	—	—	SW	3	8	
3'7	52	3'3	—	—	—	—	E	3	5	
4'5	91	0'4	-0'6	—	—	—	NE	1	6	Dünner Schleier.
3'2	35	6'0	—	—	—	—	NE	1	4	

O r t.	Breite N.	Länge E. v. Gr.	Seehöhe		Monat und Tag 1906	Stunde	Luft-	Luft-	Feuchtes
			Meter	n.			druck bei 0 und Normal- schwere mm.	tempe- ratur Cels.	Thermo- meter Cels.
								Assmann's Psychrometer.	
Lager VIII (Lager CCCL, 10 Jan. 1908)	35° 7'	79° 38'	4916	9	Sept. 9	2:15 p	420'4	12'5	1'9
"	"	"	"	"	" 9	9 p	419'8	3'7	-2'4
"	"	"	"	"	" 10	7 a	420'3	0'7	-2'2
Lager IX (Lager CCCII, Jan. 11-13 1908)	35° 7'	79° 49'	4914	9	" 10	1 p	421'0	10'6	1'9
"	"	"	"	"	" 10	9 p	421'6	1'9	-1'9
"	"	"	"	"	" 11	7 a	421'9	1'7	-2'9
Lager X	35° 5'	80° 5'	4894	3	" 11	1 p	421'4	14'6	3'0
"	"	"	"	"	" 11	9 p	421'6	5'6	-w1'3
"	"	"	"	"	" 12	7 a	421'6	3'6	-1'9
Lager XI	35° 4'	80° 18'	4936	3	" 12	1 p	419'0	13'1	1'7
"	"	"	"	"	" 12	9 p	419'6	4'8	-2'1
"	"	"	"	"	" 13	7 a	419'3	1'8	-1'5
Halbwegs	35° 3'	80° 22'	4927	1	" 13	1 p	419'7	6'6	2'3
Nahe bei dem Lager	—	—	4954	1	" 13	4 p	418'3	—	—
Lager XII	35° 3'	80° 27'	4981	2	" 13	9 p	417'0	2'9	-w0'2
"	"	"	"	"	" 14	7 a	417'1	1'2	-1'1
Halbwegs	35° 2'	80° 31'	4981	1	" 14	1 p	416'9	3'9	1'7
Lager XIII	35° 2'	80° 35'	5018	2	" 14	9 p	415'5	0'7	-w0'2
"	"	"	"	"	" 15	7 a	414'8	3'3	1'0
Halbwegs	35° 2'	80° 40'	5132	1	" 15	1 p	409'1	4'5	1'3
Lager XIV	35° 2'	80° 44'	5170	2	" 15	9 p	408'0	1'4	-w0'4
"	"	"	"	"	" 16	7 a	406'8	0'9	-1'9
Pass	35° 0'	80° 50'	5273	1	" 16	1 p	402'0	9'7	0'1
Lager XV 5 m über »Lake Lighten«	35° 0'	80° 54'	5100	17	" 16	9 p	410'0	1'1	-4'9
"	"	"	"	"	" 17	7 a	409'1	-0'9	-5'1
"	"	"	"	"	" 17	1 p	410'0	6'5	-3'9
"	"	"	"	"	" 17	9 p	411'8	-2'9	-7'2
"	"	"	"	"	" 18	7 a	412'4	-4'9	-9'2
"	"	"	"	"	" 18	1 p	413'4	1'9	-2'7
"	"	"	"	"	" 18	9 p	411'8	-3'0	-7'7
"	"	"	"	"	" 19	7 a	412'2	-3'4	-9'1
"	"	"	"	"	" 19	1 p	412'7	7'5	-3'1
"	"	"	"	"	" 19	9 p	412'0	-1'5	-8'1
"	"	"	"	"	" 20	7 a	412'9	-1'2	-6'8
Halbwegs (auf dem See)	—	—	5095	"	" 20	1 p	413'1	5'1	-2'8
Lager XVI 1 m über dem See	35° 1'	81° 0'	5096	"	" 20	9 p	412'3	-0'4	-6'1
"	"	"	"	"	" 21	7 a	411'8	-3'3	-7'4
Halbwegs (auf dem See)	34° 57'	81° 0'	5095	"	" 21	1 p	412'2	11'7	-w0'5

Luftfeuchtigkeit			Temperatur extreme		Aktinometer		Wind		Bewölkung 0—10 und Nieder- schlag.	Bemerkungen
Dampf- druck mm.	Relat. %	Sätti- gungs- deficit mm.	Min. Cels.	Max. Cels.	Schwarz- kugel Cels.	Blank- kugel Cels.	Rich- tung.	Stärke.		
2'5	23	8'4	—	—	—	—	N	3	9	
2'3	39	3'7	—	—	54'4	37'1	NNE	1	1	
3'1	64	1'7	- 7'9	—	—	—	N	1	1	
3'0	31	6'6	—	—	—	—	NE	2	2	Temperatur 17'6° in See.
3'0	57	2'3	—	—	—	—	SW	2	1 ¹⁰	
2'5	48	2'7	1'1	—	—	—	NW	1	9	Temperatur 8'5° in See. 1'1° in Quelle.
2'7	21	9'8	—	—	—	—	SW	4	8	
2'4	34	4'4	—	—	—	—	SW	3	1 ¹⁰	
2'6	44	3'3	- 1'0	—	—	—	NE	1	4	8 a—8 p starker WSW Wind.
2'2	20	9'1	—	—	—	—	WSW	7	9	
2'2	35	4'2	—	—	—	—	SW	2	9	Δ° 9 p.
3'2	62	2'0	- 3'1	—	—	—	ESE	2	9	
3'1	42	4'2	—	—	—	—	W	3	10	* den ganzen Tag bis 7 p.
—	—	—	—	—	—	—	—	—	—	
3'7	65	2'0	—	—	—	—	W	1	10	
3'6	72	1'4	- 2'1	—	—	—	E	1	8	
4'5	75	1'6	—	—	—	—	—	0	10	* 3 p—6'30 p ununterbrochen.
4'2	87	0'6	—	—	—	—	—	0	4	
4'3	73	1'5	- 1'0	—	—	—	NE	2	9	
4'1	66	2'2	—	—	—	—	E	3	10	Drei Schneestürme von E wäh- rend des Tages.
3'9	77	1'2	—	—	—	—	SW	1	6	
3'2	66	1'7	- 5'1	—	—	—	E	1	1	
2'2	25	6'8	—	—	—	—	SW	4	3	
1'7	34	3'3	—	—	—	—	NW	1	1	
2'0	47	2'3	- 12'0	—	—	—	NNW	2	1	
1'0	14	6'3	—	—	—	—	SW	4	9	
1'5	41	2'2	—	—	56'7	31'4	W	2	0	
1'1	35	2'1	- 12'8	—	—	—	NW	2	0	
2'6	49	2'7	—	—	—	—	W	3	0	
1'3	36	2'4	—	—	49'4	27'6	WSW	2	0	
0'2	6	3'4	- 18'4	—	—	—	SW	2	0	
1'2	15	6'6	—	—	—	—	W	2	0	
0'8	20	3'3	—	—	51'4	27'8	WSW	4	0	Sturm 4'30 p—8 p.
1'3	31	2'9	- 16'8	—	—	—	E	1	0	
1'9	28	4'7	—	—	—	—	SW	2	0	
1'5	33	3'0	—	—	—	—	WSW	6	0	
1'5	42	2'1	- 11'4	—	—	—	NE	1	0	
1'3	13	9'0	—	—	—	—	S	2	0	

O r t.	Breite N.	Länge E. v. Gr.	Seehöhe		Monat und Tag 1906.	Stun- de.	Luft- druck bei 0 und Normal- schwere mm.	Luft- temper- atur Cels.	Feuchtes Thermo- meter Cels.
			Meter.	n.				Assmann's Psychrometer.	
Lager XVII 1 m über dem See	35 0'	81 16'	5 096	17	Sept. 21	9 p	411'9	1'6	- 4'9
„	„	„	„	„	„ 22	7 a	411'9	1'3	- 4'4
Halbwegs	34 58'	81 19'	5 257	1	„ 22	1 p	404'6	7'5	- 3'8
Pass	34 57'	81° 22'	5 301	1	„ 22	3'45 p	402'0	8'1	- 2'9
Lager XVIII	34 57'	81' 23'	5 168	2	„ 22	9 p	408'7	-2'9	- 7'8
„	„	„	„	„	„ 23	7 a	408'9	-0'6	- 3'4
Lager XIX 1 m über dem See Veshil-köl	34 56'	81' 29'	4 946	6	„ 23	2 p	420'3	10'1	- 2'8
„	„	„	„	„	„ 23	9 p	420'4	1'4	- 5'2
„	„	„	„	„	„ 24	7 a	421'6	0'4	- 4'6
Nördliches Ufer	34 57'	81' 33'	4 945	„	„ 24	1 p	419'0	10'3	1'7
Lager XX an Veshil-köl	34 54'	81 37'	4 945	„	„ 24	9 p	418'8	-0'5	- 4'9
„	„	„	„	„	„ 25	7 a	421'2	3'5	- 3'5
Lager XXI	34 53'	81 37'	4 955	3	„ 25	1 p	420'2	14'4	-w 0'3
„	„	„	„	„	„ 25	9 p	421'0	-1'8	- 7'3
„	„	„	„	„	„ 26	7 a	422'7	-2'2	- 6'2
Halbwegs (Panorama)	34° 53'	81 43'	5 037	1	„ 26	1 p	416'0	4'1	- 4'7
Lager XXII	34 54'	81 46'	5 040	2	„ 26	9 p	415'7	-3'4	- 6'5
„	„	„	„	„	„ 27	7 a	416'1	-4'8	- 8'2
Nahе bei dem Pass	34 54'	81 51'	5 049	1	„ 27	1 p	414'3	5'1	- 4'2
Pass	34 54'	81° 53'	5 080	1	„ 27	1'45 p	412'6	5'5	- 3'8
Lager XXIII 1 m über dem See Pool-tso	34 53'	81 55'	5 078	8	„ 27	9 p	413'5	-2'4	- 4'4
„	„	„	„	„	„ 28	7 a	414'3	-2'1	- 5'4
Auf dem See	—	—	5 077	„	„ 28	1 p	412'7	3'5	- 3'1
Lager XXIV am See	34 51'	81 58'	5 077	„	„ 28	9 p	411'8	-3'2	- 5'1
„	„	„	„	„	„ 29	7 a	412'4	-3'6	- 5'2
Der kleinere See	34 50'	81° 58'	5 077	„	„ 29	1 p	411'9	1'9	- 4'7
Lager XXV 1 m über dem See	34 54'	81 59'	5 078	„	„ 29	9 p	412'4	-5'4	- 6'7
„	„	„	„	„	„ 30	7 a	412'6	-2'4	- 6'5
Pass	34 55'	82° 8'	5 239	1	„ 30	1 p	404'7	-0'7	- 5'6
Lager XXVI	34 55'	82 9'	5 141	2	„ 30	9 p	409'0	-7'4	-10'1
„	„	„	„	„	Okt. 1	7 a	410'1	-7'5	-11'4
An Seeufer	34 57'	82° 13'	5 078	1	„ 1	11 a	412'0	-1.6	- 8'7
Lager XXVII	34 57'	82° 15'	5 081	3	„ 1	1 p	413'1	2'9	- 1'8
„	„	„	„	„	„ 1	9 p	413'3	-9'5	-12'4
„	„	„	„	„	„ 2	7 a	413'3	-6'8	-10'6
Halbwegs	34° 9'	82° 20'	5 110	1	„ 2	1 p	411'8	0'3	- 7'5
Lager XXVIII	35° 0'	82° 25'	5 137	2	„ 2	9 p	410'3	-6'2	-10'5
„	„	„	„	„	„ 3	7 a	410'3	-5'5	-10'6
Halbwegs	35 3'	82° 28'	5 122	1	„ 3	1 p	411'1	4'8	- 4'4

1) Die Zahl 5 095 auf der Karte (Pl. 2) ist unrichtig.

Luftfeuchtigkeit			Temperatur-extreme		Aktinometer		Wind		Bewölkung 0—10 und Nieder- schlag.	Bemerkungen.
Dampf- druck mm.	Relat. %.	Sätti- gungs- deficit mm.	Min. Cels.	Max. Cels.	Schwarz- kugel Cels.	Blank- kugel Cels.	Rich- tung.	Stärke.		
1'6	30	3'6	—	—	—	—	SW	3	0	
1'9	37	3'1	—	—	—	—	—	0	0	
0'9	11	6'9	—	—	—	—	W	3	0	
1'2	15	6'9	—	—	—	—	W	4	0	
1'3	34	2'4	—	—	—	—	S	2	0	
2'8	63	1'6	-17'5	—	—	—	—	0	0	
0'7	8	8'6	—	—	—	—	W	1	0	
1'5	29	3'6	—	—	—	—	W	4	0	
1'9	41	2'8	-12'6	—	—	—	—	0	0	
2'9	31	6'5	—	—	—	—	E	2	0	Temperatur 9'5 im Sec.
2'0	45	2'4	—	—	—	—	W	5	0	
1'8	31	4'1	—	—	—	—	ENE	1	0	
0'7	6	11'6	—	—	—	—	SW	2	0	
1'2	30	2'8	—	—	—	—	W	2	0	
1'8	46	2'1	-12'1	—	—	—	E	1	0	
1'1	18	5'1	—	—	—	—	W	2	10	
1'9	54	1'7	—	—	—	—	NE	3	0	
1'5	47	1'7	-10'2	—	—	—	NE	1	0	
1'1	17	5'5	—	—	—	—	—	0	1	
1'2	18	5'6	—	—	—	—	NE	1	1	
2'7	70	1'2	—	—	—	—	ENE	10	0	Sturm beginnt um 6'45 p.
2'1	54	1'8	-7'5	—	—	—	ENE	3	0	
2'0	34	3'9	—	—	—	—	NNE	2	1	Temperatur 6'7 im Sec.
2'5	70	1'1	—	—	—	—	E	7	1	E Sturm.
2'6	83	0'9	-9'1	—	—	—	E	2	0	
1'6	30	3'7	—	—	—	—	—	0	5	Temperatur 6'5 im Sec.
2'5	74	0'8	—	—	—	—	E	8	5	Dünne Wolken.
2'1	56	1'7	9'1	—	—	—	E	3	7	Sturm während 51 Stunden.
1'8	41	2'6	—	—	—	—	ENE	5	8	
1'4	54	1'2	—	—	—	—	E	4	9	Dünne Wolken.
0'9	33	1'7	-12'9	—	—	—	E	4	5	Dünne Wolken.
0'6	15	3'5	—	—	—	—	E	4	9	Temperatur -0'2 im Sec.
2'8	50	2'8	—	—	—	—	E	2	8	
0'9	41	1'3	—	—	—	—	E	2	3	
1'0	66	1'8	-20'2	—	—	—	E	2	10	
0'7	15	4'0	—	—	—	—	E	1	3	
0'9	31	2'9	—	—	—	—	E	1	2	
0'7	24	2'3	-22'2	—	—	—	SE	1	0	
1'1	17	5'4	—	—	—	—	WSW	4	1	

O r t.	Breite N.	Länge E. v. Gr.	Seehöhe		Monat und Tag 1906.	Stun- de.	Luft- druck bei 0 und Normal- schwere mm.	Luft- tempe- ratur Cels.	Feuchtes Thermo- meter Cels.	
			Meter.	n.						
Lager XXIX	37 7'	82 30'	5091	2	Okt. 3	9 p	413'1	- 3'3	- 8'6	
						4	411'9	- 3'1	- 7'4	
Halbwegs	35 7'	82 35'	5051	1		4	414'2	6'7	- 4'0	
Lager XXX	35 8'	82 39'	5024	2		4	415'5	- 6'0	- 10'1	
						5	415'5	- 6'1	- 9'1	
Halbwegs	35 8'	82 43'	4978	1		5	418'1	2'7	- 5'1	
Lager XXXI	35 10'	82 48'	4939	2		5	420'3	- 7'7	- 10'4	
						6	421'1	- 7'1	- 10'2	
Halbwegs	35 12'	82 53'	4906	1		6	422'6	- 1'3	- 6'1	
Lager XXXII	35 14'	82 56'	4877	2		6	423'6	- 6'3	- 9'9	
						7	425'1	- 9'6	- 12'2	
Hügel bei See	35 16'	83 2'	4932	1		7	420'7	1'1	- 6'6	
Lager XXXIII	35 17'	83 3'	4923	2		7	422'8	- 8'5	- 11'8	
						8	422'1	- 7'6	- 12'1	
Halbwegs	35 18'	83 8'	4912	1		8	423'3	2'3	- 6'6	
Lager XXXIV	35 19'	83 13'	4996	5		8	420'5	- 6'1	- 10'6	
						9	419'8	- 5'1	- 10'1	
						9	419'3	7'1	- 3'1	
						9	417'5	- 7'9	- 11'8	
						10	416'8	- 9'5	- 12'6	
Halbwegs	35 18'	83 17'	5017	1		10	417'3	3'4	- 5'4	
Lager XXXV	35 18'	83 20'	5033	2		10	416'2	- 7'1	- 10'7	
						11	416'7	- 7'6	- 9'7	
Pass	35 16'	83 23'	5253	1		11	405'5	- 0'4	- 8'0	
Hauptfurche	35 14'	83 25'	5034	1		11	2'30 p	416'4	- 0'9	- 6'5
Pass 2	35 12'	83 27'	5055	1		11	3'20 p	415'3	—	—
Lager XXXVI	35 12'	83 27'	4978	2		11	9 p	418'5	- 6'7	- 11'1
						12	7 a	420'1	10'5	- 11'4
Lager XXXVII	35 8'	83 30'	5129	3		12	1 p	411'8	1'1	- 7'1
						12	9 p	411'8	- 6'3	- 10'9
						13	7 a	411'6	- 7'5	- 10'4
Pass	—	—	5314	1		13	11'45 a	401'7	- 0'7	- 7'9
2. Pass	—	—	5312	1		13	0'15 p	401'8	—	—
3. Pass, unterwegs	35 4'	83 32'	5306	1		13	1'30 p	402'1	0'2	- 7'4
Lager XXXVIII	35 3'	83 34'	5207	2		13	9 p	407'0	- 9'4	- 12'3
						14	7 a	407'4	- 9'7	- 11'9
Pass	—	—	5163	1		14	11'45 a	409'4	—	—
Unterwegs	35 1'	83 40'	5113	1		14	1 p	411'9	- 3'2	- 8'7
Lager XXXIX	35 0'	83 41'	5100	2		14	9 p	412'1	- 10'2	- 12'4
						15	7 a	413'8	- 9'3	- 12'1

Luftfeuchtigkeit			Temperatur- extreme		Aktinometer		Wind		Bewöl- kung 0—10 und Nieder- schlag.	Bemerkungen.
Dampf- druck mm.	Relat. %	Sätti- gungs- deficit mm.	Min. Cels.	Max. Cels.	Schwarz- kugel Cels.	Blank- kugel Cels.	Rich- tung.	Stärke.		
1'0	28	2'6	—	—	—	—	E	1	7	
1'5	40	2'2	—	—	—	—	—	0	1	
0'9	12	6'5	—	—	—	—	SW	3	2	
1'0	65	1'9	—	—	—	—	NNE	3	7	
1'4	48	1'5	-14'4	—	—	—	—	0	1	
1'2	22	4'4	—	—	—	—	SW	4	9	
1'2	47	1'4	—	—	—	—	—	0	8	
1'2	44	1'5	-21'0	—	—	—	SW	2	1	
1'5	37	2'7	—	—	—	—	NW	7	10	
1'1	40	1'8	—	—	—	—	E	1	10	
1'0	45	1'2	-24'8	—	—	—	SW	1	0	
0'9	18	4'1	—	—	—	—	SW	3	3	
0'9	37	1'5	—	—	—	—	E	1	0	
0'6	23	2'0	-19'8	—	—	—	SW	1	0	
0'6	11	4'8	—	—	—	—	W	3	0	
0'8	29	2'1	—	—	—	—	—	0	0	
0'8	25	2'3	-17'4	—	—	—	W	1	0	
1'2	16	6'4	—	—	—	—	W	5	0	
0'8	30	1'7	—	—	46'8	26'9	E	1	0	
0'8	38	1'4	-23'0	—	—	—	W	1	0	
0'9	16	5'0	—	—	—	—	W	4	3	
1'0	38	1'7	—	—	—	—	E	1	2	
1'5	58	1'1	-14'1	—	—	—	—	0	1	
0'7	15	3'8	—	—	—	—	W	2	5	
1'4	32	2'9	—	—	—	—	W	4	6	
—	—	—	—	—	—	—	—	—	—	
0'8	28	2'0	—	—	—	—	E	1	10	
1'5	72	0'6	-20'8	—	—	—	WSW	1	0	* n.
0'7	14	4'3	—	—	—	—	W	4	8	
0'8	27	2'1	—	—	—	—	E	1	3	
1'2	47	1'4	-21'8	—	—	—	W	1	0	
0'8	18	3'6	—	—	—	—	WSW	4	3	
—	—	—	—	—	—	—	—	—	—	
0'8	17	3'9	—	—	—	—	NW	4	8	
0'9	42	1'3	—	—	—	—	NE	4	1	
1'2	52	1'0	-23'4	—	—	—	S	1	1	
—	—	—	—	—	—	—	—	—	—	
1'0	27	2'6	—	—	—	—	SSW	1	8	* i p.
1'1	51	1'0	—	—	—	—	NNE	4	0	
1'0	43	1'3	-13'4	—	—	—	SE	1	3	* n.

O r t .	Breite N.	Länge E. v. Gr.	Seehöhe		Monat und Tag 1906.	Stun- de.	Luft- druck bei 0 und Normal- schwere mm.	Luft- tempe- ratur Cels.	Feuchtes Thermo- meter Cels.
			Meter.	n.				Assmann's Psychrometer.	
Pass	35° 0'	83° 42'	5 092	1	Okt. 15	10 ⁴⁰ a	413.4	—	—
Bachfurche	35° 0'	83° 43'	4 963	1	» 15	1 p	420.1	- 1.9	- 7.1
Lager XL	34° 58'	83° 47'	5 000	2	» 15	9 p	418.7	- 10.1	- 12.3
»	»	»	»	»	» 16	7 a	418.3	- 6.9	- 9.8
Lager XLI	34° 57'	83° 52'	5 061	3	» 16	1 p	414.7	1.3	- 5.5
»	»	»	»	»	» 16	9 p	415.7	- 8.9	- 11.1
»	»	»	»	»	» 17	7 a	415.3	- 10.7	- 12.6
Unterwegs	—	—	5 227	1	» 17	1 p	406.6	- 5.1	- 8.6
Lager XLII	34° 52'	83° 59'	5 247	2	» 17	9 p	405.1	- 12.5	- 15.6
»	»	»	»	»	» 18	7 a	405.3	- 9.3	- 12.5
Pass	34° 50'	84° 1'	5 357	1	» 18	11 ¹⁵ a	399.0	- 5.5	- 10.7
Lager XLIII	34° 49'	84° 3'	5 292	3	» 18	1 p	403.7	- 2.6	- 8.5
»	»	»	»	»	» 18	9 p	403.0	- 11.9	- 15.9
»	»	»	»	»	» 19	7 a	401.1	- 6.7	- 11.1
Furche	34° 49'	84° 5'	5 187	1	» 19	11 a	407.4	- 0.3	- 7.4
Schwelle	34° 49'	84° 7'	5 159	1	» 19	0 ³⁵ p	408.9	- 2.4	- 9.1
Lager XLIV	34° 48'	84° 7'	5 346	3	» 19	1 p	400.0	- 2.5	- 9.7
»	»	»	»	»	» 19	9 p	399.5	- 9.6	- 9.8
»	»	»	»	»	» 20	7 a	399.4	- 11.9	- 13.1
Pass	34° 48'	84° 10'	5 611	1	» 20	0 ¹⁵ p	386.0	- 10.1	- 12.3
Furche	34° 49'	84° 11'	5 400	1	» 20	2 p	396.4	- 7.3	- 10.1
Lager XLV	34° 50'	84° 12'	5 386	2	» 20	9 p	397.7	- 11.1	- 12.8
»	»	»	»	»	» 21	7 a	396.5	- 15.7	- 16.3
Pass	34° 49'	84° 15'	5 491	1	» 21	11 ⁴⁰ a	391.6	- 11.5	- 12.4
Lager XLVI	34° 49'	84° 16'	5 390	3	» 21	1 p	396.4	- 8.9	- 11.3
»	»	»	»	»	» 21	9 p	396.5	- 15.3	- 16.4
»	»	»	»	»	» 22	7 a	397.2	- 17.5	- 18.4
Pass	34° 47'	84° 18'	5 501	1	» 22	1 p	391.0	- 9.9	- 11.7
Lager XLVII	34° 45'	84° 21'	5 223	5	» 22	9 p	405.7	- 13.8	- 15.6
»	»	»	»	»	» 23	7 a	405.7	- 12.0	- 13.7
»	»	»	»	»	» 23	1 p	405.4	- 2.3	- 10.1
»	»	»	»	»	» 23	9 p	404.3	- 13.1	- 15.2
»	»	»	»	»	» 24	7 a	403.5	- 11.7	- 14.9
Lager XLVIII	34° 44'	84° 24'	5 153	12	» 24	1 p	407.4	- 3.5	- 9.7
»	»	»	»	»	» 24	9 p	408.5	- 10.3	- 12.3
»	»	»	»	»	» 25	7 a	408.0	- 12.1	- 13.8
»	»	»	»	»	» 25	1 p	408.8	- 8.3	- 10.7
»	»	»	»	»	» 25	9 p	409.1	- 21.1	- 22.2
»	»	»	»	»	» 26	7 a	408.6	- 12.9	- 15.1
»	»	»	»	»	» 26	1 p	408.7	- 2.9	- 8.2

Luftfeuchtigkeit			Temperatur- extreme		Aktinometer		Wind		Bewöl- kung 0-10 und Nieder- schlag.	Bemerkungen.
Dampf- druck mm.	Relat. %	Sätti- gungs- deficit mm.	Min. Cels.	Max. Cels.	Schwarz- kugel Cels.	Blank- kugel Cels.	Rich- tung.	Stärke.		
—	—	—	—	—	—	—	—	—	—	
1'3	33	2'7	—	—	—	—	SW	3	6	
1'1	51	1'0	—	—	—	—	—	0	0	
1'3	48	1'4	-21'4	—	—	—	E	1	1	
1'4	27	3'7	—	—	—	—	SW	1	3	
1'3	54	1'0	—	—	—	—	ENE	3	10	* 6 p-7 p.
1'1	55	0'9	-22'8	—	—	—	—	0	0	
1'4	45	1'7	—	—	—	—	W	3	3	
0'5	28	1'5	—	—	—	—	NNE	2	0	
0'9	37	1'4	-28'2	—	—	—	—	0	0	
0'7	23	2'3	—	—	—	—	NW	3	1	
0'9	25	2'9	—	—	—	—	S	1	1	
0'3	15	1'5	—	—	—	—	—	0	0	
0'8	29	2'0	-20'4	—	—	—	SE	1	0	
0'9	20	3'6	—	—	—	—	S	4	4	
0'6	16	3'2	—	—	—	—	SE	4	9	
0'5	12	3'3	—	—	—	—	SE	2	9	
1'9	86	0'3	—	—	—	—	—	0	* 9	* 7 p-12 p.
1'2	65	0'6	-17'4	—	—	—	NE	1	5	
1'1	52	1'0	—	—	—	—	W	3	* 9' 2	* 0'15 p.
1'3	50	1'4	—	—	—	—	W	3	9' 2	
1'1	56	0'9	—	—	—	—	E	1	3	
1'0	71	0'3	-18'9	—	—	—	W	1	1	* n.
1'4	71	0'5	—	—	—	—	W	4	* 9' 2	* 11'40 a.
1'2	52	1'1	—	—	—	—	W	4	5	
0'8	60	0'6	—	—	—	—	—	0	≡ 10	≡ 9 p.
0'7	60	0'5	-27'4	—	—	—	—	0	0	
1'3	59	0'9	—	—	—	—	W	4	* 10	* 1 p.
0'8	50	0'8	—	—	—	—	WNW	1	0	
1'0	56	0'8	-25'0	—	—	—	—	0	0	
0'2	6	3'7	—	—	—	—	SW	3	7	
0'7	45	1'0	—	—	29'4	10'0	—	0	0	Frischer Wind von 9p bis 6a.
0'6	30	1'5	-21'4	—	—	—	W	2	1	
0'6	18	2'9	—	—	—	—	SW	3	9	
1'1	54	1'0	—	—	—	—	NE	2	5	
1'0	55	0'8	-19'4	—	—	—	NNE	1	4	
1'5	51	1'2	—	—	—	—	WNW	6	10	
0'4	45	0'5	—	—	—	—	—	0	0	
0'7	44	1'0	-28'1	—	—	—	SE	1	0	
1'1	30	2'6	—	—	—	—	WNW	5	10	

O r t.	Breite N.	Länge E. v. Gr.	Seehöhe		Monat und Tag 1906.	Stun- de.	Luft- druck bei 0° und Normal- schwere mm.	Luft- tempe- ratur Cels.	Feuchtes Thermo- meter Cels.
			Meter.	n.					
			Assmann's Psychrometer.						
Lager XLVIII	34° 44'	84° 24'	5 153	12	Okt. 26	9 p	408·2	-15·2	-18·1
„	„	„	„	„	„ 27	7 a	408·3	-17·3	-18·7
„	„	„	„	„	„ 27	1 p	407·6	- 1·1	- 7·5
„	„	„	„	„	„ 27	9 p	406·0	-12·1	-15·1
„	„	„	„	„	„ 28	7 a	407·0	-11·5	-15·3
See	34° 43'	84° 26'	5 147	1	„ 28	10·30 a	408·6	—	—
Halbwegs	34° 40'	84° 29'	5 185	1	„ 28	1 p	406·7	- 3·1	-10·3
Lager XLIX	34° 36'	84° 33'	5 205	2	„ 28	9 p	405·6	-11·4	-15·5
„	„	„	„	„	„ 29	7 a	406·3	-14·0	-16·9
Halbwegs (Panorama)	34° 34'	84° 37'	5 153	1	„ 29	1 p	409·0	- 4·2	-10·4
Lager I.	34° 32'	84° 38'	5 125	2	„ 29	9 p	409·4	-12·1	-15·5
„	„	„	„	„	„ 30	7 a	411·6	-13·4	-16·1
Lager LI	34° 29'	84° 38'	5 040	12	„ 30	1 p	414·8	- 1·5	- 8·3
„	„	„	„	„	„ 30	9 p	415·0	-15·0	-17·9
„	„	„	„	„	„ 31	7 a	413·9	-13·0	-16·7
„	„	„	„	„	„ 31	1 p	414·2	0·9	- 7·3
„	„	„	„	„	„ 31	9 p	413·8	-10·9	-15·9
„	„	„	„	„	Nov. 1	7 a	414·9	-11·3	-15·2
„	„	„	„	„	„ 1	1 p	415·2	2·9	- 6·8
„	„	„	„	„	„ 1	9 p	414·0	-12·8	-16·7
„	„	„	„	„	„ 2	7 a	415·0	-14·7	-17·5
„	„	„	„	„	„ 2	1 p	414·2	0·5	- 7·1
„	„	„	„	„	„ 2	9 p	414·1	-11·2	-16·2
„	„	„	„	„	„ 3	7 a	413·9	- 9·8	-14·7
Furche in See ausmündend	34° 27'	84° 40'	4 986	1	„ 3	11 a	416·6	—	—
Pass nahe bei See	34° 25'	84° 44'	5 082	1	„ 3	1 p	411·7	- 0·2	- 7·4
Lager LII	34° 23'	84° 47'	5 019	2	„ 3	9 p	415·0	- 8·3	-13·7
„	„	„	„	„	„ 4	7 a	415·9	-12·7	-15·3
Kleiner Pass	34° 23'	84° 47'	5 010	1	„ 4	11 a	416·0	—	—
Pass	34° 20'	84° 48'	5 082	1	„ 4	0·15 p	412·3	- 2·9	- 7·7
Halbwegs, trockenes Bett	34° 19'	84° 50'	5 041	1	„ 4	1 p	414·4	- 3·4	- 9·7
Lager LIII	34° 17'	84° 51'	5 046	2	„ 4	9 p	414·2	-14·5	-18·1
„	„	„	„	„	„ 5	7 a	413·7	- 9·9	-14·8
Halbwegs (Panorama)	34° 14'	84° 53'	5 207	1	„ 5	1 p	406·2	- 2·9	- 9·6
Lager LIV	34° 12'	84° 55'	5 158	2	„ 5	9 p	409·2	-11·2	-15·6
„	„	„	„	„	„ 6	7 a	409·4	- 8·4	-13·7
Furche nahe bei Lager LV	34° 12'	84° 57'	5 017	1	„ 6	1 p	416·6	1·2	- 6·7
Lager LV	34° 9'	84° 59'	5 011	2	„ 6	9 p	416·2	- 8·3	-13·9
„	„	„	„	„	„ 7	7 a	416·1	- 8·5	-13·1
Nahe bei See	34° 6'	84° 59'	4 912	1	„ 7	1 p	421·3	- 2·0	- 7·7

Luftfeuchtigkeit			Temperatur- extreme		Aktinometer		Wind		Bewöl- kung 0—10 und Nieder- schlag.	Bemerkungen.
Dampf- druck mm.	Relat. %	Sätti- gungs- dampf mm.	Min. Cels.	Max. Cels.	Schwarz- kugel Cels.	Blank- kugel Cels.	Rich- tung.	Stärke.		
0'3	21	1'1	—	—	37'1	16'0	—	0	1	* a p.
0'6	49	0'6	-28'4	—	—	—	—	0	0	
1'0	24	3'2	—	—	—	—	W	5	8	
0'6	31	1'2	—	—	36'5	14'7	NE	1	9	
0'4	19	1'5	-20'4	—	—	—	NW	2	0	
—	—	—	—	—	—	—	—	—	—	
0'3	9	3'4	—	—	—	—	SW	7	8	
0'3	15	1'6	—	—	—	—	SW	3	3	Sturm 7 a—9 p.
0'4	16	1'2	-27'2	—	—	—	—	0	0	
0'5	15	2'9	—	—	—	—	SW	5	6	
0'4	24	1'4	—	—	—	—	SW	4	1	
0'5	33	1'1	-22'5	—	—	—	ENE	1	1	
0'7	18	3'4	—	—	—	—	SSW	3	1/10	
0'3	22	1'1	—	—	—	—	—	0	0	
0'3	15	1'4	-26'6	—	—	—	—	0	0	
0'6	13	4'3	—	—	—	—	SW	7	0	
0'04	2	1'96	—	—	37'3	16'1	WNW	1	1/10	
0'4	18	1'5	-28'6	—	—	—	—	0	0	
0'4	7	5'2	—	—	—	—	SW	7	1	
0'2	12	1'5	—	—	38'2	18'5	—	0	0	
0'4	24	1'1	-29'0	—	—	—	E	1	0	
0'8	17	3'9	—	—	—	—	SW	6	0	
0'2	12	1'7	—	—	33'8	15'5	SW	1	0	
0'2	9	2'0	-22'0	—	—	—	SW	5	0	
—	—	—	—	—	—	—	—	—	—	
0'8	19	3'7	—	—	—	—	WSW	8	8	
0'2	8	2'3	—	—	—	—	SW	2	6	
0'6	36	1'1	-21'2	—	—	—	SW	1	0	
—	—	—	—	—	—	—	—	—	—	
1'3	35	2'4	—	—	—	—	SW	4	0	
0'6	17	3'0	—	—	—	—	SW	5	0	
0'1	9	1'4	—	—	—	—	SW	2	0	
0'2	8	2'0	-24'4	—	—	—	S	1	0	
0'6	15	3'1	—	—	—	—	SW	4	1	
0'2	11	1'8	—	—	—	—	SW	4	0	
0'2	10	2'2	-21'2	—	—	—	SW	3	0	
0'8	16	4'2	—	—	—	—	SW	4	0	Temperatur 14'1 in Fluss.
0'1	5	2'4	—	—	—	—	WSW	1	0	
0'5	19	1'9	-19'4	—	—	—	NNW	1	0	
1'1	28	2'9	—	—	—	—	SSW	—	1/10	

O r t.	Breite N.	Länge E. v. Gr.	Seehöhe		Monat und tag 1906.	Stun- de.	Luft- druck bei 0 und Normal schwere mm.	Luft- tempe- ratur Cels.	Feuchtes Thermo- meter Cels.
			Meter.	n.					
			Assmann's Psychrometer.						
Lager LXI	34 3'	84 57'	5 016	2	Nov. 7	9 p	415.3	-13.2	-17.1
"	"	"	"	"	" 8	7 a	415.9	-15.1	-16.7
Pass	34 0'	84 59'	5 161	1	8	1 p	408.0	- 6.9	-12.1
Lager LXII	33 58'	85 1'	4 994	2	" 8	9 p	416.4	-17.6	-20.5
"	"	"	"	"	" 9	7 a	416.1	-14.9	-18.1
Halbwegs	33 56'	85 5'	4 899	1	" 9	1 p	421.0	- 3.6	- 9.1
Lager LXIII	33 54'	85 10'	4 889	2	" 9	9 p	422.2	-13.5	-17.1
"	"	"	"	"	" 10	7 a	420.9	-14.9	-17.8
Halbwegs	33 51'	85 13'	4 902	1	" 10	1 p	421.2	- 1.4	- 7.3
Lager LX, Lung-nak	33 48'	85 14'	4 992	5	" 10	9 p	416.3	- 8.8	-13.7
"	"	"	"	"	" 11	7 a	415.8	- 6.8	-11.3
"	"	"	"	"	" 11	1 p	415.5	- 1.7	- 8.1
"	"	"	"	"	" 11	9 p	415.9	-10.5	-13.8
"	"	"	"	"	" 12	7 a	417.8	-12.2	-13.4
Furche	33 44'	85 18'	4 935	1	" 12	1 p	419.3	- 4.5	- 9.4
Lager LX, Gomo	33 41'	85 21'	4 843	5	" 12	9 p	424.2	-13.3	-16.8
"	"	"	"	"	" 13	7 a	424.1	-15.5	-18.3
"	"	"	"	"	" 13	1 p	426.5	- 1.5	- 7.7
"	"	"	"	"	" 13	9 p	425.4	- 9.1	-14.1
"	"	"	"	"	" 14	7 a	424.6	-17.3	-19.4
Lager LXI	33 35'	85 24'	4 950	3	" 14	1.30 p	422.1	- 1.6	- 8.3
"	"	"	"	"	" 14	9 p	419.8	- 9.9	-14.5
"	"	"	"	"	" 15	7 a	419.3	-10.5	-14.6
Lager LXII	33 30'	85 26'	5 038	3	" 15	1 p	416.2	- 2.2	- 8.0
"	"	"	"	"	" 15	9 p	415.9	-11.9	-15.3
"	"	"	"	"	" 16	7 a	414.1	-15.5	-17.6
Lager LXIII	33 24'	85 27'	5 211	3	" 16	1 p	406.9	- 6.1	-11.3
"	"	"	"	"	" 16	9 p	406.0	-12.9	-15.2
"	"	"	"	"	" 17	7 a	405.5	-14.7	-17.9
Chakchom-la	33 20'	85 28'	5 433	1	" 17	1 p	395.0	-10.2	-13.7
Lager LXIV	33 17'	85 29'	5 042	5	" 17	9 p	415.0	-15.3	-18.2
"	"	"	"	"	" 18	7 a	414.8	-15.3	-17.7
"	"	"	"	"	" 18	1 p	415.8	- 5.1	- 9.7
"	"	"	"	"	" 18	9 p	415.1	-19.5	-21.2
"	"	"	"	"	" 19	7 a	413.3	-14.9	-17.1
See	33 15'	85 31'	4 973	1	" 19	10.15 a	418.9	- 3.5	- 8.7
Lager LXV	33 12'	85 31'	4 914	3	" 19	1 p	423.2	- 2.1	- 8.3
"	"	"	"	"	" 19	9 p	421.8	-17.1	-19.5
"	"	"	"	"	" 20	7 a	421.2	-19.4	-20.3
Halbwegs	33 9'	85 35'	4 946	1	" 20	1 p	420.8	- 3.3	- 9.1

Luftfeuchtigkeit			Temperatur- extreme		Aktinometer		Wind		Bewöl- kung 0—10 und Nieder- schlag.	Bemerkungen.
Dampf- druck mm.	Relat. %.	Sätti- gungs- deficit mm.	Min. Cels.	Max. Cels.	Schwarz- kugel Cels.	Blank- kugel Cels.	Rich- tung.	Stärke.		
0'2	10	1'5	—	—	—	—	SW	1	0	
0'7	50	0'7	-27'0	—	—	—	—	0	0	
0'5	17	2'2	—	—	—	—	WSW	2	1	
0'5	46	0'6	—	—	—	—	—	0	0	
0'2	15	1'2	-27'2	—	—	—	—	0	0	
0'9	24	2'6	—	—	—	—	SW	5	9	
0'2	13	1'4	—	—	—	—	—	0	1/10	
0'5	21	1'1	—	—	—	—	—	0	0	
1'1	27	3'0	—	—	—	—	WSW	7	6	
0'3	13	2'1	—	—	—	—	WSW	7	1	Sturm vom 10. 8 p bis zum 11'5 p.
0'7	26	2'0	-13'1	—	—	—	WSW	9	0	
0'9	21	3'2	—	—	—	—	WSW	9	9	
0'6	31	1'5	—	—	22'2	10'3	—	0	2	
1'2	64	0'6	-16'1	—	—	—	—	0	10	* n.
0'9	29	2'4	—	—	—	—	SW	6	6	
0'3	16	1'3	—	—	—	—	SW	1	0	
0'3	20	1'1	-26'6	—	—	—	E	1	0	
1'0	23	3'1	—	—	—	—	E	1	0	
0'2	9	2'1	—	—	37'2	15'5	SW	3	0	
0'3	29	0'9	-27'1	—	—	—	SW	1	0	
0'7	18	3'4	—	—	—	—	E	1	3	
0'3	12	1'9	—	—	—	—	SW	3	1	
0'4	18	1'7	-21'7	—	—	—	—	0	0	
1'0	26	2'9	—	—	—	—	SW	1	8	
0'5	24	1'3	—	—	—	—	—	0	3	
0'5	36	0'9	-25'9	—	—	—	—	0	1	
0'6	35	1'1	—	—	—	—	SW	3	5	
0'7	42	1'0	—	—	—	—	NW	8	9	
0'3	28	1'2	-30'4	—	—	—	SW	1	0	Sturm die ganze Nacht.
0'7	31	1'4	—	—	—	—	SW	3	3	
0'3	20	1'1	—	—	—	—	—	0	0	
0'4	31	1'0	-26'8	—	—	—	—	0	0	
1'0	31	2'1	—	—	—	—	WNW	1	2	
0'3	32	0'7	—	—	35'1	13'9	—	0	0	
0'5	37	0'9	-30'6	—	—	—	—	0	0	
1'0	28	2'5	—	—	—	—	S	1	0	
0'8	21	3'1	—	—	—	—	S	1	1	
0'3	23	0'9	—	—	—	—	—	0	0	
0'6	56	0'4	-32'9	—	—	—	—	0	0	
0'8	22	2'8	—	—	—	—	SW	5	4	

O r t	Breite N.	Länge E. v. Gr.	Seehöhe		Monat und Tag 1906.	Stun- de.	Luft- druck bei 0 und	Luft- tempe- ratur Cels.	Feuchtes Thermo- meter Cels.
			Meter.	n.			Normal schwere mm.	Assmann's Psychrometer.	...
Kleiner Pass	33 7'	85° 36'	4 980	1	Nov. 20	1'15 p	419°0	—	—
Lager LXXVI, Ngenba-tokchen	33 8'	85° 39'	4 928	2	› 20	9 p	421°9	-16°5	-18°9
›	›	›	›	›	› 21	7 a	421°8	-20°5	-21°3
Pass	33 4'	85° 40'	5 169	1	› 21	1 p	408°7	- 4°7	- 9°3
Lager LXXVII, Chupcha-karmo-lungpa	33 3'	85° 41'	5 167	2	› 21	9 p	409°0	-11°2	-15°6
›	›	›	›	›	› 22	7 a	407°6	-10°9	-14°7
Lager LXXVIII, Kebe-chungu	32 59'	85° 44'	5 003	3	› 22	1 p	418°0	- 2°3	- 8°7
›	›	›	›	›	› 22	9 p	416°8	-13°9	-17°5
›	›	›	›	›	› 23	7 a	413°9	-13°3	-16°7
Pass	32 58'	85° 45'	5 103	1	› 23	12 a	409°9	—	—
Lager LXXIX	32 53'	85° 45'	4 999	3	› 23	1 p	415°7	- 2°5	- 9°1
›	›	›	›	›	› 23	9 p	416°0	- 9°7	-14°1
›	›	›	›	›	› 24	7 a	414°9	-12°6	-15°5
Pass	32 48'	85° 47'	4 965	1	› 24	0'30 p	417°4	- 3°1	- 8°7
Lager LXX	32 47'	85° 47'	4 904	3	› 24	1 p	420°9	- 5°1	-11°4
›	›	›	›	›	› 24	9 p	419°8	-13°5	-16°9
›	›	›	›	›	› 25	7 a	421°9	-14°7	-17°8
Halbwegs (Panorama)	32 44'	85° 48'	4 745	1	› 25	11'30 a	430°1	- 4°8	-10°1
Nahe bei See (Quelle)	32 42'	85° 50'	4 692	1	› 25	1 p	433°1	- 3°7	-10°0
Lager LXXI, Rinek-chutsau	32 41'	85° 50'	4 700	2	› 25	9 p	433°0	-20°0	-21°9
›	›	›	›	›	› 26	7 a	432°1	-20°1	-21°7
Lager LXXII	32 39'	85° 50'	4 819	3	› 26	1 p	427°9	- 0°3	- 8°5
›	›	›	›	›	› 26	9 p	427°4	-12°8	-16°7
›	›	›	›	›	› 27	7 a	425°9	-15°1	-18°1
Pass Yumrang-lopchangs	32 36'	85° 50'	5 032	1	› 27	12 a	415°8	- 1°1	- 8°3
Halbwegs, 40 m über See	32 33'	85° 49'	4 869	1	› 27	1 p	424°8	- 0°3	- 7°8
Lager LXXIII	32° 32'	85° 48'	4 753	2	› 27	9 p	431°5	-15°2	-17°7
›	›	›	›	›	› 28	7 a	430°1	-12°3	-16°1
Lager LXXIV, Bogar-yung	32 27'	85° 46'	4 643	3	› 28	1 p	436°9	- 0°3	- 7°4
›	›	›	›	›	› 28	9 p	436°5	-12°1	-15°9
›	›	›	›	›	› 29	7 a	435°6	-17°1	-18°5
Ebene	32 23'	85° 47'	4 490	1	› 29	1 p	444°5	- 0°7	- 7°5
Lager LXXV	32 21'	85° 46'	4 503	5	› 29	9 p	445°5	-18°3	-20°9
›	›	›	›	›	› 30	7 a	443°5	-22°5	-23°6
›	›	›	›	›	› 30	1 p	444°5	- 0°2	- 7°7
›	›	›	›	›	› 30	9 p	442°2	-17°7	-20°3
›	›	›	›	›	Dec. 1	7 a	441°0	-21°1	-22°1
Lager LXXVI, Chu-minyung	32° 15'	85° 48'	4 673	3	› 1	1 p	434°1	- 1°8	- 8°9
›	›	›	›	›	› 1	9 p	432°7	- 8°7	-13°3
›	›	›	›	›	› 2	7 a	431°2	-14°2	-15°1

¹ Das Tagebuch hat -21°1.

Luftfeuchtigkeit			Temperatur- extreme		Aktinometer		Wind		Bewöl- kung 0—10 und Nieder- schlag.	Bemerkungen.
Dampf- druck mm.	Relat. %.	Sätti- gungs- deficit mm.	Min. Cels.	Max. Cels.	Schwarz- kugel Cels.	Blank- kugel Cels.	Rich- tung.	Stärke.		
—	—	—	—	—	—	—	—	—	—	
0'3	25	1'0	—	—	—	—	SW	1	0	
0'5	56	0'4	-32'1	—	—	—	—	0	0	
1'1	33	2'1	—	—	—	—	SW	4	1	
0'2	11	1'7	—	—	—	—	SW	2	1	
0'4	22	1'6	-18'5	—	—	—	SW	2	0	
0'7	19	3'2	—	—	—	—	SW	4	1	
0'2	13	1'4	—	—	—	—	SW	1	0	
0'3	19	1'3	-20'4	—	—	—	SW	3	1	Starker Wind die ganze Nacht.
—	—	—	—	—	—	—	—	—	—	
0'6	16	3'2	—	—	—	—	SW	10	10	Sturm den ganzen Tag.
0'4	17	1'8	—	—	—	—	SW	1	9	≡ und Staubnebel p.
0'5	31	1'2	-20'9	—	—	—	SW	3	1	
0'9	25	2'7	—	—	—	—	SW	10	7	
0'3	10	2'8	—	—	—	—	SW	9	8	
0'3	17	1'3	—	—	—	—	—	0	6	
0'3	17	1'2	-26'8	—	—	—	—	0	0	
0'7	22	2'5	—	—	—	—	SW	3	0	
0'5	14	3'0	—	—	—	—	WNW	3	0	
0'2	22	0'7	—	—	—	—	—	0	0	
0'3	31	0'6	-33'2	—	—	—	—	0	0	
0'3	7	4'2	—	—	—	—	SW	3	0	
0'2	10	1'5	—	—	—	—	—	0	0	
0'3	18	1'1	-24'6	—	—	—	—	0	0	
0'6	15	3'6	—	—	—	—	SW	4	2	
0'6	14	3'9	—	—	—	—	SW	3	4	
0'4	27	1'0	—	—	—	—	WNW	1	0	
0'3	14	1'5	-25'4	—	—	—	WNW	2	0	
0'8	17	3'7	—	—	—	—	SW	4	0	
0'3	14	1'5	—	—	—	—	—	0	0	
0'6	47	0'6	-23'9	—	—	—	N	5	0	N Sturm die ganze Nacht.
0'8	18	3'6	—	—	—	—	—	0	0	
0'1	8	1'0	—	—	—	—	—	0	0	
0'3	37	0'5	-31'4	—	—	—	—	0	0	
0'6	13	3'9	—	—	—	—	—	0	1	
0'2	13	0'9	—	—	42'8	22'8	—	0	0	
0'4	48	0'5	-31'3	—	—	—	—	0	0	
0'5	12	3'5	—	—	—	—	NW	2	9	
0'4	16	2'0	—	—	—	—	W	1	10	Dünnes Gewölk.
1'0	66	0'5	-21'6	—	—	—	SW	1	2	

O r t.	Breite N.	Länge E. v. Gr.	Seehöhe		Monat und Tag 1906.	Stun- de.	Luft- druck bei 0 und Normal- schwere mm.	Luft- tempe- ratur Cels.	Feuchtes Thermo- meter Cels.
			Meter.	n.					
Halbwegs	32 12'	85 51'	4743	1	Dec. 2	1 p	428.3	- 5.3	- 9.4
Lager LXXVII, Chulu-rang	32 10'	85 48'	4891	2	» 2	9 p	421.9	-12.1	-14.7
»	»	»	»	»	» 3	7 a	419.5	-14.9	-15.7
Pass Kalok-la (Kardo-la)	32 9'	85 46'	5013	1	» 3	11 a	414.0	-11.4	-12.5
Ebene	32 7'	85 46'	4821	1	» 3	1 p	424.3	- 6.5	- 8.4
Lager LXXVIII	32 5'	85 46'	4784	2	» 3	9 p	426.3	-12.9	-13.1
»	»	»	»	»	» 4	7 a	426.5	-16.9	-17.1
See	32 1'	85 45'	4772	1	» 4	11 a	427.3	—	—
Ebene	31 59'	85 45'	4808	1	» 4	1 p	425.4	- 4.7	- 9.4
Pass	31 58'	85 45'	4854	1	» 4	1 30 p	423.1	- 4.4	- 9.8
Lager LXXIX	31 57'	85 45'	4816	2	» 4	9 p	425.0	-10.3	-14.2
»	»	»	»	»	» 5	7 a	425.0	-18.3	-19.1
Pass	31 56'	85 45'	4843	1	» 5	11 30 a	423.7	- 2.9	- 8.3
Ebene	31 53'	85 45'	4710	1	» 5	0 30 p	431.3	- 0.7	- 7.3
Lager LXXX, Shurang	31 51'	85 45'	4760	5	» 5	9 p	428.1	- 7.8	-11.3
»	»	»	»	»	» 6	7 a	426.6	-10.1	-14.4
»	»	»	»	»	» 6	1 p	427.3	- 4.1	-10.1
»	»	»	»	»	» 6	9 p	428.2	-15.1	-17.7
»	»	»	»	»	» 7	7 a	426.1	-23.9	-24.4
Ebene	31 52'	85 49'	4733	1	» 7	1 p	428.2	- 3.8	-10.1
Lager LXXXI	31 54'	85 51'	4788	2	» 7	9 p	426.7	-10.5	-14.7
»	»	»	»	»	» 8	7 a	425.3	-11.1	-13.7
Pass-Schwelle	31 53'	85 51'	4765	1	» 8	11 a	427.7	—	—
Lager LXXXII, Pati-bo	31 53'	85 56'	4707	3	» 8	1 p	429.8	- 7.4	-10.3
»	»	»	»	»	» 8	9 p	432.5	-14.5	-15.7
»	»	»	»	»	» 9	7 a	433.4	-23.0	-23.7
Lager LXXXIII	31 54'	86 0'	4652	3	» 9	1 p	435.2	- 1.9	- 8.7
»	»	»	»	»	» 9	9 p	437.0	-13.9	-16.8
»	»	»	»	»	» 10	7 a	435.2	-20.8	-21.7
Lager LXXXIV	31 55'	86 6'	4696	3	» 10	1 p	435.5	- 0.2	- 7.9
»	»	»	»	»	» 10	9 p	435.1	-13.7	-16.1
»	»	»	»	»	» 11	7 a	433.7	-22.2	-22.8
Trockene Schlucht	—	—	4675	1	» 11	1 p	435.3	0.5	- 6.7
Lager LXXXV	31 54'	86 12'	4664	2	» 11	9 p	437.1	-18.7	-20.1
»	»	»	»	»	» 12	7 a	433.4	-25.7	-26.3
Pass	—	—	4746	1	» 12	0 45 p	428.6	- 2.1	- 7.4
Lager LXXXVI, Nasa	31 51'	86 16'	4770	3	» 12	1 p	429.6	0.5	- 3.1
»	»	»	»	»	» 12	9 p	427.6	- 1.3	- 7.1
»	»	»	»	»	» 13	7 a	425.3	- 5.4	- 9.9
Pass Gyanyak-la	31 49'	86 17'	5161	1	» 13	1 p	406.4	- 4.7	-10.1

Luftfeuchtigkeit			Temperatur-extreme		Aktinometer		Wind		Bewölkung 0—10 und Nieder- schlag.	Bemerkungen.
Dampfdruck mm.	Relat. %.	Sättigungs- deficit mm.	Min. Cels.	Max. Cels.	Schwarz- kugel Cels.	Blank- kugel Cels.	Rich- tung.	Stärke.		
1'1	32	2'0	—	—	—	—	N	3	1	
0'7	38	1'1	—	—	—	—	—	0	7	
1'0	67	0'4	-22'9	—	—	—	S	2	8	
1'3	68	0'6	—	—	—	—	SW	3	9	
1'8	63	1'0	—	—	—	—	SW	3	10	* 11 a—12 a. * 4 p—5 p.
1'4	83	0'3	—	—	—	—	W	1	6	
1'0	80	0'2	-24'6	—	—	—	—	0	0	
—	—	—	—	—	—	—	—	—	—	
1'0	30	2'2	—	—	—	—	SW	5	1	
0'8	23	2'5	—	—	—	—	SW	5	1	
0'5	22	1'6	—	—	—	—	—	0	9	
0'7	61	0'4	-25'4	—	—	—	—	0	1	
1'0	28	2'7	—	—	—	—	S	4	0	
1'0	22	3'4	—	—	—	—	SSW	4	0	
0'9	36	1'7	—	—	—	—	SSW	5	0	
0'3	15	1'8	-15'8	—	—	—	SSW	5	1	
0'6	16	2'8	—	—	—	—	SSW	4	9	
0'4	26	1'0	—	—	35'3	15'4	—	0	0	
0'4	59	0'3	-27'5	—	—	—	—	0	0	
0'5	14	3'0	—	—	—	—	E	1	2	
0'3	16	1'8	—	—	—	—	—	0	2	
0'8	41	1'2	-26'4	—	—	—	WSW	4	10	
—	—	—	—	—	—	—	—	—	—	
1'2	46	1'4	—	—	—	—	SW	10	9	
0'9	59	0'6	—	—	—	—	SW	8	0	
0'4	53	0'3	-29'0	—	—	—	—	0	0	
0'6	15	3'4	—	—	—	—	NW	5	0	
0'4	24	1'2	—	—	—	—	—	0	0	
0'4	50	0'4	-24'2	—	—	—	NW	1	0	
0'5	12	4'0	—	—	—	—	SW	4	0	SW Sturmischer Wind 2 p—6 p.
0'6	35	1'0	—	—	—	—	SW	1	0	
0'5	58	0'3	-26'2	—	—	—	SW	1	0	
0'9	19	3'9	—	—	—	—	SW	4	0	
0'4	42	0'7	—	—	—	—	—	0	0	
0'3	50	0'3	-31'5	—	—	—	—	0	0	
1'2	31	2'7	—	—	—	—	NW	1	2	
2'7	56	2'1	—	—	—	—	—	0	1	
1'2	28	3'0	—	—	—	—	SW	8	10	
0'9	30	2'2	-10'3	—	—	—	SW	8	9	Sturm die ganze Nacht.
0'8	23	2'4	—	—	—	—	SW	8	4	

Luftfeuchtigkeit			Temperatur extreme		Aktinometer		Wind		Bewölkung 0—10 und Nieder- schlag.	Bemerkungen.
Dampf- druck mm.	Relat. %	Sätti- gungs- deficit mm.	Min. Cels.	Max. Cels.	Schwarz- kugel Cels.	Blank- kugel Cels.	Rich- tung.	Stärke.		
0'9	19	3'5	—	—	—	—	SW	8	3	
1'1	55	0'9	—	—	—	—	SW	5	* 10	* 9 p.
0'5	62	0'3	-31'1	—	—	—	—	0	0	* n.
0'4	13	2'7	—	—	—	—	SW	3	4	
0'4	25	1'3	—	—	36'6	16'6	—	0	0	
0'3	57	0'3	-29'5	—	—	—	—	0	0	
1'2	35	2'1	—	—	—	—	SW	5	2	
0'7	21	2'4	—	—	—	—	SW	4	9	
1'0	47	1'1	—	—	—	—	SW	1	5	
1'1	65	1'6	-15'1	—	—	—	SW	2	10	
1'1	60	1'8	—	—	—	—	WSW	7	* 10	* 10'15 a.
0'8	27	2'2	—	—	—	—	SW	5	8	
0'8	50	0'8	—	—	—	—	SW	2	0	
0'4	29	1'1	-21'6	—	—	—	SW	1	0	
1'3	29	3'1	—	—	—	—	SW	5	9	
0'5	18	2'5	—	—	—	—	WSW	9	9	
0'5	23	1'9	-13'8	—	—	—	SW	8	2	Sturm die ganze Nacht.
0'4	10	3'9	—	—	—	—	WSW	10	1	
0'3	15	1'6	—	—	31'0	12'2	WSW	3	0	
0'6	53	0'5	-22'1	—	—	—	WSW	1	0	
1'2	29	2'9	—	—	—	—	WSW	6	1	
0'5	24	1'7	—	—	29'1	15'4	WSW	9	0	
0'5	29	1'3	-15'9	—	—	—	WSW	7	0	
0'4	9	3'5	—	—	—	—	SW	4	2	
0'4	15	2'2	—	—	—	—	SW	7	0	
0'6	25	1'7	-14'1	—	—	—	SW	10	0	Sturm die ganze Nacht und ebenso während des Tages (d. 21.
0'6	16	3'3	—	—	—	—	SW	10	1	
0'3	13	1'8	—	—	—	—	SW	2	0	
0'5	27	1'3	-19'6	—	—	—	SW	1	0	
0'8	19	3'1	—	—	—	—	WSW	8	2	
0'5	12	3'7	—	—	—	—	WSW	8	1	
0'3	13	1'8	—	—	—	—	WSW	8	0	
0'9	45	1'1	-18'2	—	—	—	WSW	6	0	
0'1	3	4'1	—	—	—	—	SW	8	0	
0'7	17	3'2	—	—	—	—	SW	9	0	
0'5	34	1'1	-18'4	—	—	—	SW	3	0	
0'6	19	2'3	—	—	—	—	SW	6	0	
1'1	39	1'6	—	—	—	—	SW	1	0	
0'8	32	1'8	—	—	—	—	SW	4	0	
0'6	30	1'4	-16'6	—	—	—	SW	1	0	

O r t	Breite N.	Länge E. v. Gr.	Seehöhe		Monat und Tag 1906.	Stun- de.	Luft- druck bei 0° und Normal- schwere mm.	Luft- tempe- ratur Cels.	Feuchtes Thermo- meter Cels.
			Meter.	n.					
Lager XCV, Kachen	31 25'	86 52'	4828	6	Dec. 25	1 p	426.2	- 3.1	- 7.5
"	"	"	"	"	" 25	9 p	424.4	-10.2	-12.1
"	"	"	"	"	" 26	7 a	423.7	-10.1	-13.9
Pass 1. Gyanglam-la	31 23'	86 54'	4922	1	" 26	11 a	419.5	- 2.1	- 7.2
Thalboden	31 22'	86 54'	4791	1	" 26	1 p	426.6	- 3.6	- 9.3
Pass 2. Laen-La	31 21'	86 54'	4933	1	" 26	2 p	419.0	- 3.3	-10.1
Lager XCVI, Laen	31 20'	86 54'	4824	2	" 26	9 p	425.7	-12.3	-14.6
"	"	"	"	"	" 27	7 a	424.7	-22.0	-22.5
Lager XCVII	31 18'	86 53'	4770	27	" 27	1 p	428.6	- 2.4	- 9.3
"	"	"	"	"	" 27	9 p	427.9	-16.3	-18.9
"	"	"	"	"	" 28	7 a	426.4	-19.1	-20.2
"	"	"	"	"	" 28	1 p	428.4	- 0.7	- 8.5
"	"	"	"	"	" 28	9 p	426.5	-10.9	-14.1
"	"	"	"	"	" 29	7 a	425.3	-16.9	-18.1
"	"	"	"	"	" 29	1 p	426.6	- 0.5	- 6.5
"	"	"	"	"	" 29	9 p	425.5	-10.5	-12.9
"	"	"	"	"	" 30	7 a	425.1	-15.7	-17.3
"	"	"	"	"	" 30	1 p	425.0	- 2.5	- 8.3
"	"	"	"	"	" 30	9 p	425.5	- 8.9	-11.9
"	"	"	"	"	" 31	7 a	426.5	-16.6	-17.8
"	"	"	"	"	" 31	1 p	428.4	- 3.1	-10.3
"	"	"	"	"	" 31	9 p	427.6	-14.3	-16.6
1907									
"	"	"	"	"	Jan. 1	7 a	427.1	-15.3	-16.7
"	"	"	"	"	" 1	1 p	427.8	- 0.1	- 6.7
"	"	"	"	"	" 1	9 p	427.0	- 4.3	-10.4
"	"	"	"	"	" 2	7 a	425.6	-13.1	-14.4
"	"	"	"	"	" 2	1 p	428.5	- 2.3	- 8.5
"	"	"	"	"	" 2	9 p	429.2	-13.6	-16.8
"	"	"	"	"	" 3	7 a	428.4	-18.2	-19.3
"	"	"	"	"	" 3	1 p	430.0	0.9	- 5.9
"	"	"	"	"	" 3	9 p	429.5	-10.5	-13.8
"	"	"	"	"	" 4	7 a	428.8	-17.6	-18.9
"	"	"	"	"	" 4	1 p	431.5	- 0.6	- 3.5
"	"	"	"	"	" 4	9 p	429.8	-11.1	-15.2
Halbwegs	31 16'	86 55'	4717	1	" 5	7 a	428.1	-17.9	-19.4
Lager CVII	31 14'	86 57'	4767	35	" 5	9 p	430.5	0.5	- 6.2
"	"	"	"	"	bis " 17	7 a	siehe unten		

Luftfeuchtigkeit			Temperatur-extreme		Aktinometer		Wind		Bewöl- kung 0—10 und Nieder- schlag.	Bemerkungen.
Dampf- druck mm.	Relat. %	Sätti- gungs- deficit mm.	Min. Cels.	Max. Cels.	Schwarz- kugel Cels.	Blank kugel Cels.	Rich- tung.	Stärke.		
1'4	38	2'2	—	—	—	—	SW	6	8	
1'2	55	0'9	—	—	41'4	19'8	SW	3	8	
0'5	23	1'6	-16'9	—	—	—	SW	1	0	
1'3	34	2'6	—	—	—	—	SW	3	2	
0'8	22	2'7	—	—	—	—	SW	5	3	
0'4	11	3'2	—	—	—	—	SW	9	2	
0'8	43	1'0	—	—	—	—	NE	2	8	Dünnes Gewölk.
0'5	63	0'3	-31'2	—	—	—	ENE	1	0	
0'5	13	3'3	—	—	—	—	SW	3	0	
0'3	21	1'0	—	—	—	—	SW	1	0	
0'5	49	0'5	-25'2	—	—	—	—	0	0	
0'4	10	4'0	—	—	—	—	SW	4	0	
0'6	30	1'4	—	—	37'3	15'3	—	0	1	
0'7	53	0'5	-21'9	—	—	—	SW	1	1	
1'3	28	3'1	—	—	—	—	SW	2	8	
0'9	46	1'2	—	—	35'9	16'4	WNW	1	0	
0'6	47	0'8	-22'7	—	—	—	—	0	0	
0'9	24	2'9	—	—	—	—	SW	4	2	
1'0	41	1'5	—	—	35'3	17'5	SW	1	0	Stosswind.
0'7	54	0'6	-20'4	—	—	—	WNW	1	0	
0'3	7	3'3	—	—	—	—	WNW	7	0	
0'5	36	1'0	—	—	31'9	12'6	WNW	2	0	
0'7	53	0'7	-22'9	—	—	—	—	0	2	
1'1	23	3'4	—	—	—	—	WNW	6	10	
0'5	14	2'8	—	—	30'5	10'9	WNW	8	0	
1'0	60	0'7	-20'5	—	—	—	WNW	1	0	
0'8	20	3'1	—	—	—	—	WNW	5	0	
0'3	20	1'5	—	—	35'3	15'9	WNW	3	0	
0'6	52	0'5	-26'4	—	—	—	—	0	0	
1'2	25	3'7	—	—	—	—	WNW	5	0	
0'6	30	1'5	—	—	35'6	18'7	WNW	3	2	
0'6	49	0'6	-24'6	—	—	—	—	0	0	
2'7	62	1'7	—	—	—	—	SW	2	4	
0'3	14	1'7	—	—	35'4	17'4	WNW	1	0	
0'5	42	0'6	-23'8	—	—	—	—	0	0	
1'2	24	3'6	—	—	—	—	WSW	5	4	

O r t	Breite N.	Länge E. v. Gr.	Seehöhe		Monat und Tag 1906.	Stun- de.	Luft- druck bei 0 und Normal- schwere mm.	Luft- tempe- ratur Cels.	Feuchtes Thermo- meter Cels.
			Meter.	n.					
Exkursion auf Ngangtse-tso.									
Lager XCVIII, circa 5 m über dem See	31 14'	86 54'	4699	27	Dec. 29	9 p	427.9	-11.9	-14.8
"	"	"	"	"	" 30	8 a	428.8	-11.0	-12.1
Auf dem Eise	39' 9'	86 54'	4694	"	30	1 p	428.3	-3.8	-7.0
Lager XCIX, circa 8 m über dem See	31 6'	86 54'	4702	"	30	9 p	427.9	-8.2	-12.0
"	"	"	"	"	31	8 a	430.0	-9.8	-12.3
Auf dem Eise	31 7'	86 50'	4694	"	31	1 p	431.1	-3.9	-7.6
Lager CI	31 9'	86 47'	4694	"	31	9 p	430.5	-16.6	-17.7
1907									
"	"	"	"	"	Jan. 1	8 a	429.8	-8.2	-9.2
Lager CI	31 3'	86 49'	4694	"	" 1	1 p	430.3	-0.6	-6.4
"	"	"	"	"	" 1	9 p	429.8	-3.9	-8.7
"	"	"	"	"	" 2	8:30 a	431.0	-5.6	-9.2
Auf dem Eise	31 2'	86 44'	4694	"	2	1 p	430.8	-4.9	-9.0
Lager CII	31 1'	86 41'	4694	"	" 2	9 p	432.0	-9.0	-13.2
"	"	"	"	"	" 3	8:30 a	434.5	-6.5	-11.1
Auf dem Eise	31 3'	86 46'	4694	"	" 3	1 p	433.6	-2.9	-6.8
Lager CIII, 5 m über dem See	31 6'	86 52'	4699	"	" 3	9 p	432.0	-5.8	-10.3
"	"	"	"	"	" 4	9:30 a	436.5	-9.3	-10.8
"	"	"	"	"	4	1 p	434.8	-4.9	-6.6
Lager CIV, Panglung	31 6'	86 56'	4694	"	4	9 p	432.0	-8.6	-11.2
"	"	"	"	"	5	8 a	433.5	-12.2	-13.4
Lager CV, circa 6 m über dem See	31 11'	86 58'	4700	"	5	1 p	431.2	1.0	-1.5
"	"	"	"	"	5	9 p	430.5	-14.6	-16.6
"	"	"	"	"	6	8 a	431.6	-10.6	-12.4
Auf dem Eise	31 10'	87 0'	4694	"	6	1 p	430.0	-2.0	-5.0
Lager CVI, 1/2 m über dem See	31 9'	87 2'	4695	"	6	9 p	429.1	-7.0	-10.0
"	"	"	"	"	7	9 a	433.8	-8.5	-10.0
"	"	"	"	"	7	1 p	430.8	—	—
Exkursion auf Ngangtse-tso beendigt.								Assmann's Psychrometer.	
Ufer von Ngangtse-tso	31 10'	87 0'	4694	"	17	1 p	428.1	-12.1	-14.3
Lager CVIII, 5 m über dem See	31 5'	87 3'	4699	"	17	9 p	429.5	-18.2	-19.4
"	"	"	"	"	18	7 a	430.1	-25.4	-26.1
Nach oben in einem Thale	31 3'	87 2'	4956	1	18	1 p	416.5	-9.3	-12.4
Lager CIX	31 2'	87 2'	5189	2	18	9 p	403.5	-17.1	-18.9
"	"	"	"	"	19	7 a	403.6	-14.6	-16.1
Pass Chapkar-la	31 2'	87 1'	5326	1	19	10:30 a	396.5	-7.6	-10.5
Bach	30 59'	87 0'	4882	1	19	1 p	419.8	-0.5	-4.7

Luftfeuchtigkeit			Temperatur- extreme		Aktinometer		Wind		Bewöl- kung 0—10 und Nieder- schlag.	Bemerkungen.
Dampf- druck mm.	Relat. %	Sätti- gungs- deficit mm.	Min. Cels.	Max. Cels.	Schwarz- kugel Cels.	Blank kugel Cels.	Rich- tung.	Stärke.		
0'6	32	1'2	—	—	—	—	W	1	0	Absolut klarer Himmel.
1'3	67	0'7	-25'1	—	—	—	—	0	0	
1'7	51	1'8	—	—	—	—	SW	1	1	Temp. - 0'3 in einer Wake des Sees.
0'7	29	1'8	—	—	—	—	SW	3	0	Stosswind 9 p.
1'0	45	1'2	-15'5	—	—	—	W	1	0	Starker Wind die ganze Nacht.
1'5	44	1'9	—	—	—	—	S 60 W	4	1'10	Temp. - 1'0° in einer Wake des Sees.
0'7	55	0'6	—	—	—	—	—	0	0	
1'8	74	0'7	-26'2	—	—	—	—	0	2	
1'3	29	3'1	—	—	—	—	WSW	3	10	
1'0	30	2'4	—	—	—	—	WSW	10	0	Staubnebel, Salznebel.
1'2	40	1'8	-22'2	—	—	—	—	0	0	
1'1	36	2'1	—	—	—	—	WSW	8	1	Temp. - 0'8° in einer Wake des Sees.
0'5	20	1'8	—	—	—	—	S 70 W	2	5	Leichter Dunst.
0'7	28	2'1	-23'4	—	—	—	S	3	1	
1'6	44	2'1	—	—	—	—	WSW	3	1'10	Temp. - 0'75 in einer Wake des Sees.
0'8	27	2'2	—	—	—	—	SW	4	0	Starke Stosswinde 9 p.
1'4	63	0'9	-24'6	—	—	—	N	1	1'10	
2'2	69	1'0	—	—	—	—	—	0	1	
1'1	46	1'3	—	—	—	—	—	0	0	
1'1	63	0'7	-22'1	—	—	—	—	0	0	
3'4	68	1'5	—	—	—	—	W	3	1'10	
0'6	40	0'9	—	—	—	—	N	2	0	
1'1	55	0'9	-22'6	—	—	—	—	0	0	
2'3	57	1'7	—	—	—	—	WSW	3	1'10	Temp. - 0'8 in einer Wake des Sees.
1'2	45	1'5	—	—	—	—	W	3	0	
1'6	65	0'8	-22'3	—	—	—	—	0	0	
—	—	—	—	—	—	—	WSW	3	0	Stürmischer Wind nach 1 p.
0'8	44	1'0	—	—	—	—	SW	1	10	Nach 1 p Wind SW 4. *ap.
0'5	50	0'6	—	—	—	—	W	1	0	
0'3	45	0'3	-34'4	—	—	—	NE	1	0	
0'9	38	1'4	—	—	—	—	SW	2	2	
0'5	39	0'7	—	—	—	—	SW	4	0	
0'8	53	0'7	-19'9	—	—	—	SW	3	0	
1'2	48	1'4	—	—	—	—	SW	8	8	
2'1	48	2'3	—	—	—	—	SW	8	7	

O r t .	Breite N.	Länge E. v. Gr.	Seehöhe		Monat und Tag 1907.	Stun- de.	Luft- druck bei 0 und Normal schwere mm.	Luft- tempe- ratur Cels.	Feuchtes Thermo- meter Cels.
			Meter.	n.					
Lager CX. Lamblung	30 57'	87 1'	4 895	8	Jan. 19	9 p	419'0	- 8'7	-11'8
„	„	„	„	„	„ 20	7 a	417'8	-10'8	-13'3
„	„	„	„	„	„ 20	1 p	418'7	- 6'8	- 8'7
„	„	„	„	„	„ 20	9 p	419'4	-16'6	-17'1
„	„	„	„	„	„ 21	7 a	419'6	-17'1	-18'4
„	„	„	„	„	„ 21	1 p	420'2	- 0'9	- 7'5
„	„	„	„	„	„ 21	9 p	418'8	-13'5	-14'9
„	„	„	„	„	„ 22	7 a	417'6	-13'4	-14'9
Pass Pong-chen-la	30 57'	87 4'	5 371	1	„ 22	12 a	392'6	- 4'3	- 9'1
Nahe bei dem Lager	—	—	5 189	1	„ 22	1 p	402'0	- 3'4	- 7'6
Lager CXI	30 55'	87 6'	5 055	2	„ 22	9 p	408'1	- 8'2	-11'2
„	„	„	„	„	„ 23	7 a	407'5	-12'5	-13'4
Lager CXII, Kapchor	30 50'	87 8'	4 959	3	„ 23	1 p	413'2	- 6'6	- 8'7
„	„	„	„	„	„ 23	9 p	411'9	-17'2	-17'6
„	„	„	„	„	„ 24	7 a	413'2	-17'1	-18'2
Fluss. Tagrak-tsangpo	30 45'	87 9'	4 914	1	„ 24	1 p	414'0	- 5'6	- 8'7
Lager CXIII, Kayi-pangbuk	30 43'	87 12'	4 930	2	„ 24	9 p	414'9	-14'2	-15'2
„	„	„	„	„	„ 25	7 a	415'3	-18'7	-19'5
Pass	—	—	4 945	1	„ 25	10 a	413'8	- 6'1	-10'5
Lager CXIV, Nadsum	30 38'	87 16'	4 986	3	„ 25	1 p	411'8	- 5'5	-10'3
„	„	„	„	„	„ 25	9 p	411'7	-12'6	-14'7
„	„	„	„	„	„ 26	7 a	411'6	-13'9	-16'3
Naong-sung	30 35'	87 29'	5 088	1	„ 26	1 p	406'0	- 5'1	- 8'4
Lager CXV	30 34'	87 24'	5 134	2	„ 26	9 p	403'6	- 9'3	-12'1
„	„	„	„	„	„ 27	7 a	403'3	-14'3	-16'5
Pass	30 31'	87 28'	5 199	1	„ 27	10 a	400'4	- 7'1	-12'2
Nahe bei dem Lager	30 29'	87 30'	5 399	1	„ 27	1 p	390'1	- 8'3	-13'5
Lager CXVI	30 29'	87 31'	5 344	2	„ 27	9 p	393'0	-22'7	-24'1
„	„	„	„	„	„ 28	7 a	394'6	-19'7	-21'4
Halbwegs	30 27'	87 35'	5 408	1	„ 28	1 p	390'9	- 6'9	-12'3
Pass.	30 26'	87 38'	5 484	1	„ 28	1'30 p	387'0	- 9'1	-14'5
Pass 2. Sela-la	30 26'	87 40'	5 506	1	„ 28	3 p	386'0	- 9'5	-14'7
Lager CXVII	30 25'	87 41'	5 225	2	„ 28	9 p	400'5	-15'7	-17'8
„	„	„	„	„	„ 29	7 a	399'9	-11'7	-14'9
Lager CXVIII, Selin-do	30 18'	87 42'	4 832	3	„ 29	1 p	419'1	1'1	- 4'3
„	„	„	„	„	„ 29	9 p	419'9	-11'5	-14'4
„	„	„	„	„	„ 30	7 a	420'3	-23'9	-24'8
Halbwegs (Panorama)	30 15'	87 47'	4 926	1	„ 30	1 p	413'4	- 4'1	- 9'5
Shib-la	30 11'	87 50'	5 349	1	„ 30	4 p	391'5	- 8'3	-12'9
Lager CXIX, Tagar-ogma	30 9'	87 48'	4 998	5	„ 30	9 p	410'6	-17'3	-19'6

¹⁾ Die Höhe 4910 auf der Karte (Pl. 7) ist unrichtig.

Luftfeuchtigkeit			Temperatur- extreme		Aktinometer		Wind		Bewöl- kung 0-10 und Nieder- schlag.	Bemerkungen.
Dampf- druck mm.	Relat. %	Sätti- gungs- deficit mm.	Min. Cels.	Max. Cels.	Schwarz- kugel Cels.	Blank- kugel Cels.	Rich- tung.	Stärke.		
1'0	40	1'4	—	—	—	—	—	0	0	
0'9	44	1'1	-20'2	—	—	—	—	0	10	
1'7	63	1'0	—	—	—	—	SW	2	10	
0'9	72	0'4	—	—	—	—	—	0	3	
0'6	50	0'6	-24'8	—	—	—	E	1	0	
0'9	21	3'4	—	—	—	—	SW	5	3	
0'9	57	0'7	—	—	33'7	16'0	SE	1	2	
0'9	56	0'7	-20'6	—	—	—	—	0	1	
1'1	42	2'2	—	—	—	—	W	8	7	
1'5	41	2'1	—	—	—	—	W	7	7	Sturm den ganzen Tag.
1'1	44	1'4	—	—	—	—	WSW	8	* 2	* 9 p.
1'2	70	0'6	-17'3	—	—	—	W	2	* 10	* 7 a. Schneesturm den ganzen Tag.
1'7	60	1'1	—	—	—	—	WSW	4	8	
0'9	73	0'3	—	—	—	—	—	0	7	
0'7	56	0'5	-24'8	—	—	—	E	1	7	
1'5	49	1'5	—	—	—	—	W	5	7	
1'0	64	0'5	—	—	—	—	—	0	8	
0'6	60	0'5	-27'9	—	—	—	—	0	0	
0'9	30	2'0	—	—	—	—	W	4	3	
0'8	27	2'2	—	—	—	—	NW	6	7	
0'8	47	0'9	—	—	—	—	SW	5	0	
0'6	37	1'0	-21'8	—	—	—	—	0	4	
1'5	48	1'6	—	—	—	—	W	7	10	
1'0	44	1'5	—	—	—	—	WSW	8	10	
0'6	40	0'9	-19'2	—	—	—	WSW	5	0	
0'5	19	2'2	—	—	—	—	NW	8	3	
0'3	13	2'2	—	—	—	—	NW	8	4	
0'2	31	0'5	—	—	—	—	WSW	1	0	
0'3	33	0'7	-33'9	—	—	—	—	0	0	
0'5	17	2'2	—	—	—	—	WSW	5	0	
0'2	7	2'1	—	—	—	—	WSW	8	0	
0'2	9	2'0	—	—	—	—	WSW	8	0	
0'5	37	0'9	—	—	—	—	WNW	2	0	
0'6	30	1'3	-21'9	—	—	—	WNW	2	0	
1'9	39	3'1	—	—	—	—	SW	5	2	
0'7	34	1'2	—	—	—	—	SW	1	0	
0'3	42	0'4	-27'8	—	—	—	—	0	0	
0'8	25	2'6	—	—	—	—	SW	2	0	
0'5	22	2'0	—	—	—	—	SW	3	1	
0'3	25	0'9	—	—	—	—	—	0	9	

Luftfeuchtigkeit			Temperatur- extreme		Aktinometer		Wind		Bewöl- kung 0—10 und Nieder- schlag.	Bemerkungen.
Dampf- druck mm.	Relat. %	Sätti- gungs- deficit mm.	Min. Cels.	Max. Cels.	Schwarz- kugel Cels.	Blank- kugel Cels.	Rich- tung.	Stärke.		
0'3	42	0'4	-34'4	—	—	—	E	1	0	
0'4	14	2'4	—	—	—	—	SW	4	9	
0'4	34	0'9	—	—	33'3	13'5	—	0	4	Dünne Wölkchen.
0'5	55	0'4	-32'5	—	—	—	—	0	0	
0'5	34	0'9	—	—	—	—	SSW	7	10	
0'9	53	0'8	—	—	—	—	SSW	3	10	
0'5	38	0'7	-22'3	—	—	—	—	0	9	Dünne Wölkchen
1'2	37	2'0	—	—	—	—	SW	4	9	
0'7	20	2'8	—	—	—	—	SW	1	9	
0'7	25	2'0	—	—	—	—	—	0	3	
0'8	28	1'9	-11'6	—	—	—	—	0	10	
1'0	38	1'7	—	—	—	—	SW	4	10	* rings umher.
0'5	32	1'1	—	—	—	—	E	1	0	
0'4	48	0'4	-28'4	—	—	—	—	0	0	
1'1	41	1'7	—	—	—	—	S	2	8	
0'9	28	2'2	—	—	—	—	SW	4	9	
0'7	35	1'3	—	—	—	—	SW	3	0	
0'7	37	1'1	-19'2	—	—	—	—	0	10	
1'4	31	3'0	—	—	—	—	SW	3	10	
1'9	68	0'9	—	—	—	—	SSE	2	0	
1'0	49	1'1	-15'6	—	—	—	NE	2	10	
2'0	58	1'5	—	—	—	—	SW	2	10	
1'5	41	2'1	—	—	—	—	SE	2	9	
2'4	59	1'7	—	—	—	—	SE	3	10	
—	—	—	—	—	—	—	—	—	—	
1'8	48	1'8	—	—	—	—	—	0	10	
1'3	50	1'3	-15'8	—	—	—	—	0	10	
2'6	60	1'8	—	—	—	—	SW	4	10	Temp. 1'1° im Flusse.
0'8	26	2'3	—	—	—	—	W	2	0	
0'6	28	1'4	-18'8	—	—	—	W	2	0	
2'0	43	2'6	—	—	—	—	SW	9	2	
0'7	23	2'4	—	—	—	—	SW	5	0	
1'1	54	0'9	-15'5	—	—	—	—	0	0	
0'7	17	3'4	—	—	—	—	E	1	0	Temp. 0'9° im Flusse.
2'0	51	1'8	—	—	—	—	E	2	0	
—	—	—	—	—	—	—	—	—	—	
1'1	12	8'1	—	—	—	—	SW	9	7	Sturm p.
1'5	30	3'4	—	—	—	—	SW	2	0	
2'3	52	2'0	-15'8	—	—	—	E	2	0	

O r t.	Breite N.	Länge E. v. Gr.	Seehöhe		Monat und Tag 1907.	Stun- de.	Luft- druck bei 0 und Normal- schwere mm.	Luft- tempe- ratur Cels.	Feuchtes Thermo- meter Cels.
			Meter.	n.				Assmann's Psychrometer.	
Halbwegs	29° 22'	88 44'	3 909	1	März 28	1 p	473·8	9·1	— 3·2
Lager CXXX, Sta-nakpu	29 21'	88 36'	3 876	2	› 28	9 p	474·0	0·2	— 6·1
›	›	›	›	›	› 29	7 a	476·6	2·3	— 5·3
Halbwegs	29° 22'	88 31'	3 940	1	› 29	1 p	472·5	10·0	— 2·1
Lager CXXXI, Rungma	29 20'	88 25'	3 950	4	› 29	9 p	472·5	1·7	— 4·9
›	›	›	›	›	› 30	7 a	474·1	— 1·5	— 7·1
Lager CXXXII, Karu	29 22'	88 16'	3 997	3	› 30	1 p	471·4	14·5	w 0·0
›	›	›	›	›	› 30	9 p	471·6	2·7	— 5·3
›	›	›	›	›	› 31	7 a	473·2	0·3	1) — 4·5
Tarting-gompa	29 26'	88 17'	4 237	1	› 31	1 p	458·8	9·7	— 2·1
Lager CXXXIII, Ye	29 28'	88 14'	3 988	11	› 31	9 p	472·8	— 0·4	— 6·7
›	›	›	›	›	April 1	7 a	475·5	— 3·9	— 9·9
›	›	›	›	›	› 1	1 p	474·3	3·7	— 5·3
›	›	›	›	›	› 1	9 p	471·5	— 0·3	— 6·1
›	›	›	›	›	› 2	7 a	473·1	— 0·5	— 6·3
›	›	›	›	›	› 2	1 p	470·6	9·9	— 1·5
›	›	›	›	›	› 2	9 p	468·3	— 0·5	— 6·4
›	›	›	›	›	› 3	7 a	472·2	0·1	— 5·9
Kleiner Pass	29 23'	88 9'	4 130	1	› 3	12 a	464·2	7·5	— 3·9
Brahmaputra, 8 m über dem Fluss	29° 22'	88° 8'	4 027	1	› 3	1 p	470·2	10·5	— 2·3
Lager CXXXIV, Pusum	29 23'	88° 5'	4 062	2	› 3	9 p	467·9	5·3	— 3·5
›	›	›	›	›	› 4	7 a	468·5	2·7	— 5·0
Lager CXXXV, Chaga	29 24'	88° 0'	4 032	3	› 4	1 p	469·2	12·1	— 0·7
›	›	›	›	›	› 4	9 p	471·4	1·5	— 3·9
›	›	›	›	›	› 5	7 a	470·9	1·9	— 3·7
Pass	›	›	4 048	1	› 5	9 30 a	468·0	4·3	— 3·2
An einem Fluss	—	—	3 966	1	› 5	10 a	472·8	—	—
Dokchu	—	—	4 033	1	› 5	1 p	468·9	4·3	— 2·3
Lager CXXXVI, Tangna	29 27.	87 52'	4 038	2	› 5	9 p	469·5	— 2·1	— 5·8
›	›	›	›	›	› 6	7 a	470·5	— 0·5	— 2·9
Zusammenfluss von Dokchu und Tsangpo	—	—	4 013	2	› 6	1 p	470·5	9·9	0·4
›	—	—	›	›	› 6	4 p	468·9	10·4	—w 0·5
Lager CXXXVI, Tangna	29 27'	87 52'	4 038	2	› 6	9 p	467·0	5·2	— 3·1
›	›	›	›	›	› 7	7 a	469·9	2·8	— 4·1
Halbwegs	29° 27'	87 46'	4 065	1	› 7	1 p	467·2	13·3	0·3
Lager CXXXVII, Lingö	29° 26'	87° 43'	4 070	3	› 7	5 p	465·7	11·5	—w 0·2
›	›	›	›	›	› 7	9 p	467·4	7·9	— 2·8
›	›	›	›	›	› 8	7 a	471·2	4·5	— 3·9
Halbwegs	29 30'	87 40'	4 030	2	› 8	1 p	467·2	11·4	— 1·5
Lager CXXXVIII, Tong	29 33'	87 40'	4 167	5	› 8	9 p	462·3	4·1	— 3·8

1) Das Tagebuch hat — 9·5.

Luftfeuchtigkeit			Temperatur-extreme		Aktinometer		Wind		Bewölkung 0—10 und Nieder- schlag.	Bemerkungen.
Dampfdruck mm.	Relat. %	Sättigungs- deficit mm.	Min. Cels.	Max. Cels.	Schwarz- kugel Cels.	Blank- kugel Cels.	Rich- tung.	Stärke.		
0.4	4	8.6	—	—	—	—	SW	7	6	Sturm p
1.1	24	3.6	—	—	—	—	SW	2	0	
1.0	18	4.4	-14.8	—	—	—	E	1	0	
0.8	8	8.4	—	—	—	—	SW	9	2	Sturm beginnt 10 a.
1.3	26	3.9	—	—	—	—	SW	7	0	
1.1	26	3.0	-15.9	—	—	—	—	0	0	
0.4	3	12.0	—	—	—	—	SW	9	3	Sturm beginnt 1 p.
0.9	16	4.7	—	—	—	—	SW	1	0	
1.9	41	2.8	-14.2	—	—	—	E	1	0	
0.9	10	8.1	—	—	—	—	SW	8	5	
1.0	22	3.5	—	—	—	—	N	8	9	
0.4	13	3.0	-16.8	—	—	—	—	0	0	
0.6	11	5.4	—	—	—	—	E	2	2	
1.3	28	3.2	—	—	44.5	26.4	N	2	0	
1.2	27	3.2	-12.2	—	—	—	SW	1	2	
1.1	12	8.1	—	—	—	—	SW	7	3	
1.2	27	3.2	—	—	47.9	27.2	ENE	1	4	
1.3	27	3.3	-10.8	—	—	—	E	1	0	
0.5	6	7.3	—	—	—	—	SW	2	4	
0.5	6	9.0	—	—	—	—	SW	1	5	
1.2	18	5.5	—	—	—	—	W	5	1	Zeitweilig Windstöße.
1.1	19	4.5	-10.2	—	—	—	W	2	0	
1.1	10	9.5	—	—	—	—	W	3	5	
1.9	37	3.2	—	—	—	—	N	3	10	* abends.
1.3	25	4.0	-6.9	—	—	—	N	4	6	Dünne Wolken.
1.6	26	4.6	—	—	—	—	E	2	6	
—	—	—	—	—	—	—	—	—	—	
2.1	33	4.1	—	—	—	—	W	9	10	* nach 1 p.
1.8	47	2.1	—	—	—	—	N	2	0	
2.9	67	1.5	-9.8	—	—	—	W	1	3	
2.0	21	7.2	—	—	—	—	E	1	6	
1.3	14	8.2	—	—	—	—	W	2	7	* 3.15 p.
1.4	22	5.2	—	—	57.2	36.9	N	1	1	Dünne Wo ken.
1.5	27	4.1	-6.9	—	—	—	—	0	3	Dünne Wolken.
1.0	8	10.5	—	—	—	—	W	1	4	Temp. 9.6 im Fluss.
1.2	11	9.0	—	—	—	—	W	3	8	
0.9	12	7.1	—	—	—	—	WNW	4	7	
1.2	18	5.1	—	—	—	—	W	1	0	Temp. 3.5 im Fluss.
0.8	8	9.3	—	—	—	—	NNW	1	10	Temp. 6.8 im Fluss.
2.0	32	4.1	—	—	—	—	NNW	1	3	

O r t.	Breite N.	Länge E. v. Gr.	Seehöhe		Monat und Tag 1907.	Stun- de.	Luft- druck bei 0 und Normal- schwere mm.	Luft- temper- atur Cels.	Feuchtes Thermo- meter Cels.
			Meter.	n.					
Lager CXXXVIII. Tong	29° 33'	87° 40'	4 167	5	April 9	7 a	463·2	1·4	- 4·9
„	„	„	„	„	„ 9	1 p	462·3	14·1	0·6
„	„	„	„	„	„ 9	9 p	459·8	6·9	- 3·1
„	„	„	„	„	„ 10	7 a	460·6	5·9	- 1·3
Lager CXXXIX. Ge.	29° 37'	87° 41'	4 204	3	„ 10	1 p	456·4	9·2	- 0·5
„	„	„	„	„	„ 10	9 p	458·1	4·6	- 3·1
„	„	„	„	„	„ 11	7 a	459·1	4·5	- 2·7
Halbwegs (Flussübergang)	29° 41'	87° 42'	4 185	1	„ 11	1 p	459·3	11·5	-w 0·6
Lager CXL. Sirchung	29° 45'	87° 41'	4 177	2	„ 11	9 p	459·1	4·8	- 1·3
„	„	„	„	„	„ 12	7 a	460·7	1·5	- 5·1
Lelung-gompa	29° 47'	87° 41'	4 396	1	„ 12	0·30 p	447·3	7·3	- 3·7
Fluss-Passage	29° 47'	87° 40'	4 210	1	„ 12	1 p	457·9	8·9	- 1·5
Lager CXXI. Kating	29° 50'	87° 37'	4 229	2	„ 12	9 p	456·0	1·7	- 3·3
„	„	„	„	„	„ 13	7 a	456·1	3·2	-w 0·6
Halbwegs	29° 55'	87° 39'	4 291	1	„ 13	1 p	451·9	9·2	- 1·7
Lager CXXII. Linga	29° 58'	87° 39'	4 302	10	„ 13	9 p	449·5	3·5	- 3·3
„	„	„	„	„	„ 14	7 a	451·9	9·9	- 2·5
„	„	„	„	„	„ 14	1 p	449·5	6·1	- 2·3
„	„	„	„	„	„ 14	9 p	450·9	- 2·1	- 4·9
„	„	„	„	„	„ 15	7 a	452·7	- 3·7	- 5·8
Zusammenfluss	29° 59'	87° 39'	4 293	2	„ 15	12 a	451·7	6·2	- 2·1
„	„	„	„	„	„ 15	1 p	451·4	5·4	- 3·1
Lager CXXIII. Linga	29° 58'	87° 39'	4 302	10	„ 15	9 p	450·5	- 1·9	- 6·2
„	„	„	„	„	„ 16	7 a	451·7	- 2·7	- 7·7
„	„	„	„	„	„ 16	1 p	450·2	4·7	- 2·9
„	„	„	„	„	„ 16	9 p	450·7	- 0·2	- 1·5
„	„	„	„	„	„ 17	7 a	451·6	0·2	- 2·7
Lager CXXIII. Langmar	30° 2'	87° 38'	4 405	„	„ 17	1 p	444·4	9·7	- 2·7
„	„	„	„	„	„ 17	9 p	444·6	2·1	- 4·9
„	„	„	„	„	„ 18	7 a	445·3	0·9	- 4·9
Halbwegs (Panorama)	30° 5'	87° 35'	4 513	1	„ 18	1 p	438·6	7·1	- 4·3
Lager CXXIV. Govo	30° 5'	87° 32'	4 524	6	„ 18	9 p	438·8	- 1·7	- 6·3
„	„	„	„	„	„ 19	7 a	440·5	- 2·3	- 7·1
„	„	„	„	„	„ 19	1 p	440·6	3·9	- 5·5
„	„	„	„	„	„ 19	9 p	441·0	- 1·3	- 5·5
„	„	„	„	„	„ 20	7 a	443·1	- 0·8	- 5·3
Halbwegs	30° 5'	87° 25'	4 626	1	„ 20	1 p	435·7	2·7	- 5·1
Lager CXXV. Chomo-sumdo,	30° 5'	87° 21'	4 795	2	„ 20	9 p	426·5	- 5·0	- 6·7
„	„	„	„	„	„ 21	7 a	426·5	- 2·9	- 6·7
Chang-la-Pod-la	30° 6'	87° 17'	5 572	1	„ 21	1 p	368·8	- 2·1	- 7·5

¹⁾ Die Höhe 4 331 auf der Karte (Pl. 8) ist unrichtig.

Luftfeuchtigkeit			Temperatur- extreme		Aktinometer		Wind		Bewöl- kung 0—10 und Nieder- schlag.	Bemerkungen.
Dampf druck mm.	Relat. %	Sätti- gungs- deficit mm.	Min. Cels.	Max. Cels.	Schwarz- kugel Cels.	Blank- kugel Cels.	Rich- tung.	Stärke.		
1'4	28	3'7	-10'6	—	—	—	NW	1	1	
1'0	8	11'1	—	—	—	—	SW	2	4	
1'1	14	6'4	—	—	50'7	31'9	SE	2	0	Bodennebel 9 p.
2'3	33	4'7	-7'8	—	—	—	SSE	1	10	Dünne Wolken.
2'0	23	6'7	—	—	—	—	E	3	10	* 12 a.
1'6	25	4'8	—	—	—	—	E	1	10	Dünne Wolken.
1'9	29	4'4	-8'1	—	—	—	W	1	10	Dünne Wolken.
1'0	10	9'2	—	—	—	—	SW	4	6	Temp. 7'6 im Fluss.
2'6	40	5'9	—	—	—	—	SSW	2	0	
1'3	26	3'8	-13'0	—	—	—	N	2	8	
0'7	9	7'0	—	—	—	—	SW	3	9	
1'5	17	7'1	—	—	—	—	SSW	4	8	Temp. 5'2 im Fluss.
2'2	43	3'0	—	—	—	—	SW	1	0	
3'3	56	2'5	-5'9	—	—	—	E	1	≡ 9	≡ 7 a.
1'3	15	7'4	—	—	—	—	S	3	10	Temp. 3'9 im Fluss.
1'8	31	4'1	—	—	—	—	WNW	1	4	
0'7	8	8'5	-10'6	—	—	—	S	1	1	
1'7	25	5'4	—	—	—	—	S	3	9	
2'3	69	1'6	—	—	44'9	26'9	—	0	* 10	* p und die ganze Nacht.
2'3	65	1'2	-17'2	—	—	—	—	0	1	
1'8	25	5'3	—	—	—	—	SW	2	9	Temp. 7'4 im Fluss.
1'5	22	5'2	—	—	—	—	SW	1	9	Temp. 6'5 im Fluss.
1'7	41	2'3	—	—	53'1	30'3	—	0	0	
1'2	31	2'6	-16'8	—	—	—	—	0	5	Dünne Wolken.
1'7	27	4'7	—	—	—	—	—	0	10	▲ 11 a.
3'7	81	0'8	—	—	53'3	35'5	N	1	0	
2'9	62	1'8	-15'8	—	—	—	NNE	1	0	
0'7	8	8'3	—	—	—	—	NE	1	9	
1'3	25	4'0	—	—	—	—	NE	1	0	
1'6	33	3'3	-13'8	—	—	—	NE	1	0	
0'5	6	7'1	—	—	—	—	W	1	8	
1'6	39	2'4	—	—	—	—	W	4	0	
1'4	35	2'5	-11'8	—	—	—	WNW	1	2	
0'7	11	5'4	—	—	—	—	WSW	2	10	
1'9	45	2'3	—	—	51'2	28'5	NW	1	7	
1'8	42	2'5	-10'1	—	—	—	NW	2	4	
1'1	20	4'5	—	—	—	—	W	1	8	Temp. 0'0 im Fluss.
2'2	69	1'0	—	—	—	—	W	1	1	
1'7	46	2'0	-15'1	—	—	—	E	1	3	
1'3	33	2'6	—	—	—	—	W	4	8	

O r t.	Breite N.	Länge E. v. Gr.	Seehöhe		Monat und Tag 1907.	Stun- de.	Luft- druck bei 0 und Normal- schwere mm.	Luft- temper- atur Cels.	Feuchtes Thermo- meter Cels.
			Meter.	n.					
Lager CXLVI, Cha-oktsang	30 7'	87 13'	5 233	2	April 21	9 p	403'5	- 9'5	- 10'1
"	"	"	"	"	" 22	7 a	405'0	0'4	- 4'9
Lapsen-tari	30 8'	87 9'	5 163	1	" 22	1 p	407'8	5'3	- 4'4
Lager CXLVII, Kyang-dam	30 10'	87 5'	5 050	5	" 22	9 p	414'1	- 2'9	- 7'8
"	"	"	"	"	" 23	7 a	414'0	- 0'5	- 4'8
"	"	"	"	"	" 23	1 p	413'3	5'1	- 4'4
"	"	"	"	"	" 23	9 p	413'1	- 1'8	- 5'7
"	"	"	"	"	" 24	7 a	413'6	- 1'5	- 6'1
Halbwegs (Panorama)	30 13'	87 3'	5 042	1	" 24	1 p	413'1	2'9	- 4'5
Pass Chumar-la	30 17'	87 0'	5 108	1	" 24	2'30 p	409'8	1'2	- 5'3
Lager CXLVIII, Bumnak	30 19'	86 57'	4 945	2	" 24	9 p	417'6	- 1'0	- 5'4
"	"	"	"	"	" 25	7 a	418'8	- 0'1	- 5'4
Pass Ting-la	30 19'	86 55'	5 105	1	" 25	9'30 a	409'8	0'0	- 6'9
Lager CXLIX, Kokbo	30 22'	86 51'	5 110	3	" 25	1 p	409'3	3'3	- 5'1
"	"	"	"	"	" 25	9 p	409'5	- 5'0	- 9'1
"	"	"	"	"	" 26	7 a	410'0	- 2'1	- 7'1
Pass Tarbung-la	30 23'	86 48'	5 267	1	" 26	10'30 a	401'2	0'1	- 5'1
Halbwegs	30 25'	86 44'	4 873	1	" 26	1 p	421'4	4'7	- 3'9
Lager CL, Targo-tsangpo	30 27'	86 40'	4 708	10	" 26	9 p	428'5	0'0	- 6'3
"	"	"	"	"	" 27	7 a	430'4	3'6	- 4'1
"	"	"	"	"	" 27	1 p	430'0	5'6	- 3'9
"	"	"	"	"	" 27	9 p	430'5	- 1'9	- 3'3
"	"	"	"	"	" 28	7 a	433'8	0'6	- 5'3
"	"	"	"	"	" 28	1 p	432'7	7'1	- 3'6
"	"	"	"	"	" 28	9 p	431'6	- 0'5	- 6'1
"	"	"	"	"	" 29	7 a	432'6	1'9	- 5'9
Hügel	30 30'	86 40'	4 978	1	" 29	1 p	417'3	7'3	- 4'4
Fluss	30 28'	86 41'	4 717	1	" 29	3'30 p	430'9	8'6	- 2'7
Lager CL, Targo-tsangpo	30 27'	86 40'	4 708	10	" 29	9 p	431'0	- 1'1	- 6'5
"	"	"	"	"	" 30	7 a	430'6	1'9	- 4'5
Am Targo-gangri	—	—	4 909	1	" 30	11'30 a	420'0	8'6	- 3'3
Halbwegs (Panorama)	30 26'	86 37'	4 826	1	" 30	1 p	424'3	7'9	- 3'4
Lager CLII, Tsangdam	30 23'	86 37'	4 758	2	" 30	9 p	427'2	- 1'2	- 5'6
"	"	"	"	"	Mai 1	7 a	428'0	3'6	- 2'9
Pass-Schwelle	30 20'	86 33'	4 763	1	" 1	11 a	426'7	7'9	- 3'1
Halbwegs	30 20'	86 33'	4 820	1	" 1	1 p	423'8	9'3	- 3'0
Lager CLIII, Parva	30 15'	86 30'	4 753	2	" 1	9 p	427'0	1'3	- 4'1
"	"	"	"	"	" 2	7 a	428'2	4'9	- 4'5
Halbwegs	30 13'	86 30'	4 745	1	" 2	1 p	427'5	8'2	- 2'3
Lager CLIII Kyangdam am See Shuvu-tso	30 10'	86 28'	4 739	5	" 2	9 p	427'6	0'2	- 7'3

Luftfeuchtigkeit			Temperatur- extreme		Aktinometer		Wind		Bewöl- kung 0—10 und Nieder- schlag.	Bemerkungen.
Dampf druck mm.	Relat. %	Sätti- gungs- deficit mm.	Min. Cels.	Max. Cels.	Schwarz- kugel Cels.	Blank- kugel Cels.	Rich- tung.	Stärke.		
1'8	79	0'4	—	—	—	—	S	1	1	
1'9	39	2'8	-23'2	—	—	—	—	0	0	
1'0	15	5'7	—	—	—	—	SW	4	3	
1'3	34	2'4	—	—	—	—	SW	4	1	
2'1	47	2'3	-21'6	—	—	—	E	1	2	
1'1	16	5'5	—	—	—	—	NW	4	10	
1'9	48	2'1	—	—	43'7	22'7	SW	2	9	Sturm den ganzen Tag.
1'7	41	2'4	-12'9	—	—	—	NE	1	7	
1'5	26	4'2	—	—	—	—	SW	4	10	
1'5	30	3'5	—	—	—	—	WNW	4	10	
1'9	44	3'4	—	—	—	—	SE	2	8	
1'7	37	2'8	-10'6	—	—	—	SW	3	9	
1'0	22	3'6	—	—	—	—	SW	4	8	
1'1	19	4'7	—	—	—	—	—	0	9	
1'2	38	2'0	—	—	—	—	S	2	4	
1'4	35	2'5	-14'8	—	—	—	W	1	1	
1'8	40	2'8	—	—	—	—	WNW	3	6	
1'3	21	5'1	—	—	—	—	WSW	5	9	
1'2	27	3'4	—	—	—	—	SW	6	2	
1'5	24	4'4	-7'2	—	—	—	SSW	4	2	
1'1	16	5'7	—	—	—	—	WNW	6	9	
3'1	78	0'9	—	—	46'2	27'5	NNW	2	7	* p.
1'5	32	3'3	-16'2	—	—	—	NNW	2	2	Dünne Wolken.
0'9	12	6'7	—	—	—	—	NNW	7	6	Dünne Wolken.
1'4	32	3'0	—	—	54'1	29'8	—	0	2	
1'1	20	4'2	-14'2	—	—	—	NNW	3	5	
0'5	7	7'2	—	—	—	—	NNW	7	9	
1'0	12	7'4	—	—	—	—	NNW	3	9	
1'4	33	2'8	—	—	54'2	32'0	NNW	1	2	
1'6	31	3'7	-14'6	—	—	—	SW	1	1	
0'8	9	7'6	—	—	—	—	—	0	9	
0'9	11	7'1	—	—	—	—	SW	1	9	
1'8	43	2'4	—	—	—	—	WSW	2	1	
2'1	35	3'8	-12'7	—	—	—	WSW	3	2	
1'0	13	7'0	—	—	—	—	WSW	1	5	
0'8	9	8'0	—	—	—	—	SW	1	8	
2'0	39	3'0	—	—	—	—	NE	2	0	
1'0	15	5'5	-12'1	—	—	—	NE	1	0	
1'4	17	6'8	—	—	—	—	NW	7	6	Temp. 12'3 im See.
0'7	16	4'0	—	—	—	—	SSW	2	0	

O r t .	Breite N.	Länge E. v. Gr.	Seehöhe		Monat und Tag 1907.	Stun- de.	Luft- druck bei 0° und Normal- schwere mm.	Luft- tempe- ratur Cels.	Feuchtes Thermo- meter Cels.
			Meter.	n.					
			Assmann's Psychrometer.						
Lager CLIII, Kyangdam am See Shuvu-tso	30 10'	86 28'	4739	5	Mai 3	7 a	429.2	2.7	- 1.5
„	„	„	„	„	„ 3	1 p	427.8	7.5	- 2.7
„	„	„	„	„	„ 3	9 p	427.3	-2.3	- 8.1
„	„	„	„	„	„ 4	7 a	427.5	4.9	- 5.5
Pass Dunka-la	30 9'	86 25'	5030	1	„ 4	10 a	412.9	6.5	- 4.7
Halbwegs	30 7'	86 23'	4978	1	„ 4	1 p	415.6	8.4	- 4.3
Lager CLIV, Sabuk	30 2'	86 22'	4947	2	„ 4	9 p	417.1	-2.3	- 8.6
„	„	„	„	„	„ 5	7 a	417.8	4.8	- 3.7
Pass Bäng-la	30 0'	86 22'	5237	1	„ 5	10 a	402.7	4.5	- 6.7
Lager CLV, Angdjun	29 57'	86 20'	5186	3	„ 5	1 p	404.8	9.1	- 2.3
„	„	„	„	„	„ 5	9 p	406.4	-5.3	- 7.4
„	„	„	„	„	„ 6	7 a	406.4	2.3	- 5.4
Pass Angden-la	29 54'	86 20'	5634	1	„ 6	12 a	383.6	3.9	- 5.4
Halbwegs	—	—	5179	1	„ 6	1 p	406.6	4.1	- 5.7
Lager CLVI, Kyam	29 48'	86 18'	4954	2	„ 6	9 p	417.9	-4.1	- 7.5
„	„	„	„	„	„ 7	7 a	418.4	1.7	- 4.4
Halbwegs, Amchok-yung	29 42'	86 16'	4893	1	„ 7	1 p	421.3	8.1	- 3.9
Lager CLVII Hramsang t m über dem See Amchok-tso	29 40'	86 15'	4870	8	„ 7	9 p	421.0	-3.8	- 7.4
„	„	„	„	„	„ 8	7 a	421.5	1.1	- 4.3
„	„	„	„	„	„ 8	1 p	420.7	6.2	- 4.7
„	„	„	„	„	„ 8	9 p	421.3	-5.8	- 8.4
„	„	„	„	„	„ 9	7 a	421.5	-2.1	- 6.3
„	„	„	„	„	„ 9	1 p	422.1	5.7	- 4.9
„	„	„	„	„	„ 9	9 p	421.5	-4.9	- 9.7
„	„	„	„	„	„ 10	7 a	422.5	-0.9	- 3.5
Lager CLVIII, Serme-lartsa	29 38'	86 12'	5310	3	„ 10	1 p	401.2	4.8	- 5.1
„	„	„	„	„	„ 10	9 p	400.5	-7.3	-10.4
„	„	„	„	„	„ 11	7 a	400.3	-4.6	- 8.9
Pass Sao-lungring	29 35'	86 12'	5387	1	„ 11	11.45 a	396.1	-4.1	- 7.5
Pass	29 31'	86 9'	5384	1	„ 11	12 a	396.4	-4.4	- 8.1
Halbwegs	—	—	5129	1	„ 11	1 p	409.3	-1.4	- 6.2
Lager CLIX, Tsarok	29 30'	86 9'	4861	2	„ 11	9 p	423.6	-8.1	- 9.4
„	„	„	„	„	„ 12	7 a	424.3	-0.9	- 5.8
Pass	29 30'	86 6'	4883	1	„ 12	—	422.8	5.3	- 4.7
Halbwegs	29 30'	86 2'	4913	1	„ 12	1 p	421.3	2.9	- 3.1
Lager CLX, Yo'on	29 29'	85 58'	4919	2	„ 12	9 p	421.0	-6.3	- 8.5
„	„	„	„	„	„ 13	7 a	422.8	-0.7	- 5.1
Lager CLXI, Raga-tasam	29 26'	85 53'	4948	24	„ 13	1 p	420.0	0.0	- 5.3
„	„	„	„	„	„ 13	9 p	420.9	-7.1	-11.9
„	„	„	„	„	„ 14	7 a	421.1	-2.2	- 7.3

¹⁾ Die Zahl 5180 auf der Karte (Pl. 9) ist unrichtig.

Luftfeuchtigkeit			Temperatur-extreme		Aktinometer		Wind		Bewöl- kung 0—10 und Nieder- schlag.	Bemerkungen.
Dampf- druck mm.	Relat. %	Sätti- gungs- deficit mm.	Min. Cels.	Max. Cels.	Schwarz- kugel Cels.	Blank- kugel Cels.	Rich- tung.	Stärke.		
3 ^o	54	2.6	-15.1	—	—	—	NE	1	0	
1 ³	17	6.5	—	—	—	—	SW	6	1	Temp. 7.7 im See.
1 ^o	25	2.9	—	—	49.5	29.1	SW	1	0	
1 ⁵	23	5.0	-12.8	—	—	—	S	3	0	
0.6	8	6.7	—	—	—	—	SW	6	1	
0.4	4	7.9	—	—	—	—	SW	7	0	Sturm den ganzen Tag.
0.8	20	3.1	—	—	—	—	SW	2	0	
1.4	22	5.1	-9.5	—	—	—	SW	3	0	
0.2	3	6.1	—	—	—	—	SW	7	4	
1.3	15	7.4	—	—	—	—	SW	5	0	Sturm den ganzen Tag.
1.5	42	2.1	—	—	—	—	SW	6	0	
1.2	22	4.2	-7.4	—	—	—	SW	5	0	
1.0	16	5.1	—	—	—	—	SW	7	0	
0.7	11	5.4	—	—	—	—	SW	5	0	Sturm den ganzen Tag und die folgende Nacht.
1.6	48	1.8	—	—	—	—	SW	6	0	
1.8	34	3.4	-13.5	—	—	—	SW	7	0	
0.6	7	7.5	—	—	—	—	SW	4	1	
1.6	46	1.9	—	—	—	—	SW	5	0	
1.9	39	3.1	-15.3	—	—	—	SE	4	0	
0.6	9	6.5	—	—	—	—	SW	6	2	
1.6	55	1.4	—	—	44.5	23.4	SW	2	0	
1.7	44	2.2	-17.4	—	—	—	SW	4	0	
0.6	9	6.3	—	—	—	—	SW	5	2	
0.9	29	2.3	—	—	47.2	28.1	SW	6	0	
2.8	65	1.5	-15.1	—	—	—	S	4	0	
0.8	13	5.7	—	—	—	—	SW	3	7	
1.2	45	1.5	—	—	—	—	SW	6	0	
1.2	37	2.1	-12.3	—	—	—	SW	3	9	Dünne Wolken.
1.8	52	1.6	—	—	—	—	SW	4	* 8	
1.5	45	1.8	—	—	—	—	SW	6	* 9	
1.6	40	2.5	—	—	—	—	SW	5	* 8	* a p.
1.7	69	0.8	—	—	—	—	SW	4	3	
1.7	39	2.6	-18.2	—	—	—	SW	6	2	
0.8	12	5.9	—	—	—	—	SW	3	8	
2.1	38	3.6	—	—	—	—	SW	7	9	* p.
1.7	59	1.2	—	—	—	—	SW	2	0	
2.0	45	2.4	-20.1	—	—	—	SW	4	7	
1.7	37	2.9	—	—	—	—	SW	5	9	
0.6	21	2.1	—	—	—	—	—	0	0	
1.3	33	2.6	-20.1	—	—	—	—	0	0	

O r t.	Breite N.	Länge E. v. Gr.	Seehöhe		Monat und Tag 1907.	Stun- de.	Luft- druck bei 0 und Normal- schwere mm.	Luft- tempe- ratur Cels.	Feuchtes Thermo- meter Cels.
			Meter.	n.					
Lager CLXI, Raga-tasam	29° 26'	85 53'	4948	24	Mai 14	1 p	419'8	7'5	- 3'8
„	„	„	„	„	„ 14	9 p	420'0	-7'4	-11'8
„	„	„	„	„	„ 15	7 a	420'7	0'4	- 3'2
„	„	„	„	„	„ 15	1 p	420'9	6'2	- 5'5
„	„	„	„	„	„ 15	9 p	420'0	-2'7	- 8'3
„	„	„	„	„	„ 16	7 a	421'2	4'7	- 3'8
„	„	„	„	„	„ 16	1 p	420'2	7'2	- 3'8
„	„	„	„	„	„ 16	9 p	419'5	5'4	- 3'6
„	„	„	„	„	„ 17	7 a	420'9	0'7	- 5'1
„	„	„	„	„	„ 17	1 p	419'7	6'1	- 2'8
„	„	„	„	„	„ 17	9 p	420'0	-5'8	- 7'6
„	„	„	„	„	„ 18	7 a	421'1	2'5	- 3'3
„	„	„	„	„	„ 18	1 p	419'1	10'1	- 1'5
„	„	„	„	„	„ 18	9 p	419'0	-2'4	- 4'5
„	„	„	„	„	„ 19	7 a	420'0	0'0	- 5'4
„	„	„	„	„	„ 19	1 p	419'0	8'2	- 2'3
„	„	„	„	„	„ 19	9 p	418'4	-1'9	- 5'3
„	„	„	„	„	„ 20	7 a	419'4	2'1	- 5'3
„	„	„	„	„	„ 20	1 p	418'1	5'6	- 2'9
„	„	„	„	„	„ 20	9 p	418'3	-3'9	- 4'6
„	„	„	„	„	„ 21	7 a	418'9	0'0	- 4'6
Halbwegs	29 27'	85 49'	5 032	1	„ 21	1 p	415'0	6'3	- 3'5
Lager CLXII, Chosang-jung	29° 28'	85 44'	5 006	2	„ 21	9 p	415'3	-5'0	- 7'6
„	„	„	„	„	„ 22	7 a	416'4	5'5	- 2'3
Pass Ravak-la	29 29'	85 39'	5 227	1	„ 22	11'30 a	404'6	3'7	- 4'5
Lager CLXIII, Kichung-sumna	29 29'	85° 39'	5 198	3	„ 22	1 p	405'0	6'1	- 3'2
„	„	„	„	„	„ 22	9 p	406'0	-3'0	- 6'3
„	„	„	„	„	„ 23	7 a	406'0	2'4	- 3'2
Pass Kichung-la	29 28'	85 37'	5 504	1	„ 23	11'45 a	390'5	4'7	- 2'8
3. Pass	29 28'	85 36'	5 480	„	„ 23	1 p	391'8	4'1	- 3'1
4. Pass Kangling-la	29 29'	85° 35'	5 528	„	„ 23	2 p	389'1	-1'1	- 5'7
Lager CLXIV, Lungle	29 29'	85 34'	5 251	2	„ 23	9 p	403'2	-2'1	- 4'5
„	„	„	„	„	„ 24	7 a	403'0	-0'9	- 2'5
Halbwegs	29 31'	85° 29'	5 011	1	„ 24	1 p	415'7	1'9	- 3'9
Lager CLXV, Pangsetak	29 29'	85° 28'	4 916	2	„ 24	9 p	420'7	-2'1	- 5'6
„	„	„	„	„	„ 25	7 a	421'3	0'3	- 3'5
Lager CLXVI, Basang	29 27'	85 24'	4 796	6	„ 25	1 p	426'6	10'3	- 1'9
„	„	„	„	„	„ 25	9 p	427'5	2'8	- 2'8
„	„	„	„	„	„ 26	7 a	428'9	5'2	- 1'5
„	„	„	„	„	„ 26	1 p	427'0	11'5	- w'0'3

Luftfeuchtigkeit			Temperatur- extreme		Aktinometer		Wind		Bewöl- kung 0—10 und Nieder- schlag.	Bemerkungen.
Dampf- druck mm.	Relat. %.	Sätti- gungs- deficit mm.	Min. Cels.	Max. Cels.	Schwarz- kugel Cels.	Blank- kugel Cels.	Rich- tung.	Stärke.		
0'3	3	7'5	—	—	—	—	SW	8	10	Sturm während des Tages.
0'7	25	1'9	—	—	54'3	29'5	SW	1	0	
2'6	56	2'1	-25'8	—	—	—	—	0	0	
0'2	3	6'9	—	—	—	—	NE	3	8	
1'0	26	2'8	—	—	56'8	32'8	SE	1	8	
1'4	22	5'0	-15'3	—	—	—	SSE	2	7	Dünne Wolken.
0'8	11	6'8	—	—	—	—	SE	4	9	
1'3	20	5'4	—	—	55'0	30'7	SE	1	0	
1'7	34	3'1	-11'6	—	—	—	—	0	-9	Dünne Wolken.
1'6	23	5'5	—	—	—	—	SE	6	-9	Bodennebel ap.
2'0	66	1'0	—	—	55'6	28'8	—	0	0	
2'1	39	3'4	-17'8	—	—	—	NE	1	2	
1'4	15	7'9	—	—	—	—	SW	4	8	
2'6	68	1'2	—	—	61'0	43'5	—	0	1	
1'7	36	2'9	-16'9	—	—	—	SE	1	2	
1'4	18	6'6	—	—	—	—	S	3	10	
2'1	54	1'9	—	—	47'5	26'7	S	5	4	
1'3	23	4'0	-13'1	—	—	—	S	5	4	
1'7	24	5'1	—	—	—	—	S	7	8	
2'9	85	0'5	—	13'9	52'6	31'0	SSW	1	2	
2'1	45	2'5	-14'9	—	—	—	—	0	2	
1'2	17	6'0	—	—	—	—	W	5	8	
1'8	57	1'4	—	—	—	—	W	1	1	
2'0	29	4'8	-15'3	—	—	—	W	2	5	
1'3	22	4'7	—	—	—	—	S	3	8	
1'5	21	5'6	—	—	—	—	SW	6	8	
1'9	53	1'8	—	—	—	—	W	1	8	
2'3	41	3'2	-15'4	—	—	—	SE	2	4	
2'0	32	4'4	—	—	—	—	WSW	3	9	
2'0	32	4'1	—	—	—	—	S	2	* 9	* 1 p.
1'8	44	2'4	—	—	—	—	WNW	3	10	* 2 p.
2'6	66	1'3	—	—	—	—	WNW	2	9	
3'3	77	1'0	-11'4	—	—	—	WNW	1	* 10	* n und den ganzen folgenden Tag.
2'0	37	3'3	—	—	—	—	SW	6	* 10	
2'0	52	1'9	—	—	—	—	ENE	1	0	
2'5	54	2'2	-10'4	—	—	—	ENE	1	0	
1'1	12	8'3	—	—	—	—	S	1	9	
2'3	40	3'3	—	—	—	—	—	0	2	
2'6	39	4'0	-10'2	—	—	—	E	1	0	
1'4	14	8'7	—	—	—	—	S	4	4	

Luftfeuchtigkeit			Temperatur-extreme		Aktinometer		Wind		Bewol- kung 0--10 und Nieder- schlag.	Bemerkungen.
Dampf- druck mm.	Relat. %	Sätti- gungs- deficit mm.	Min. Cels.	Max. Cels.	Schwarz- kugel Cels.	Blank- kugel Cels.	Rich- tung.	Stärke.		
2'6	50	2'5	—	—	55'2	36'8	S	1	2	
2'0	31	4'3	- 5'0	—	—	—	—	0	0	
1'9	23	6'5	—	—	—	—	S	4	7	
2'2	17	10'7	—	—	—	—	S	5	4	
3'2	46	3'8	—	—	—	—	SW	2	10	Dünne Wolken.
3'3	46	3'9	- 5'4	—	—	—	SW	3	8	
2'3	25	7'0	—	—	—	—	NW	8	10	
2'8	44	3'5	—	—	—	—	E	1	3	
2'5	36	4'3	- 7'1	—	—	—	W	3	4	
2'4	29	5'9	—	—	—	—	SE	3	8	▲ und Sturm.
3'2	61	2'1	—	—	54'2	34'7	W	6	7	
3'1	52	2'8	- 7'3	—	—	—	W	4	9	
1'0	8	11'3	—	—	—	—	W	5	6	
1'2	26	3'6	—	—	—	—	W	1	0	
1'6	25	4'0	-12'1	—	—	—	—	0	0	
1'9	16	9'7	—	—	—	—	W	4	7	
2'0	37	3'5	—	—	—	—	WNW	1	1	
2'0	23	6'6	- 7'6	—	—	—	W	3	0	
1'1	17	5'4	—	—	—	—	SW	3	4	
1'6	16	8'1	—	—	—	—	SW	2	4	
1'5	17	7'7	—	—	—	—	SW	4	6	
1'5	29	3'6	—	—	—	—	SW	3	0	
2'4	35	4'5	-12'9	—	—	—	SW	2	1	
1'4	12	10'1	—	—	—	—	SW	4	6	
2'0	41	2'9	—	—	51'9	31'7	—	0	0	
2'3	37	3'8	-14'1	—	—	—	—	0	0	
1'2	10	10'8	—	—	—	—	SW	6	2	
1'5	25	3'7	—	—	50'8	34'5	SW	2	0	
1'4	22	4'9	-14'6	—	—	—	SW	4	0	
1'1	10	10'4	—	—	—	—	SW	5	2	
1'7	33	3'4	—	—	49'5	29'0	SW	2	0	
1'2	19	5'2	-11'3	—	—	—	—	0	0	
1'8	14	11'5	—	—	—	—	SW	6	3	
2'1	30	4'8	—	—	51'4	38'1	—	0	0	
2'3	26	6'7	- 8'2	—	—	—	SW	3	0	
1'8	13	12'8	—	—	—	—	SW	6	3	
2'5	36	4'4	—	—	55'8	36'5	—	0	1	
2'6	28	6'5	- 7'2	—	—	—	SW	1	0	
1'0	5	17'9	—	—	—	—	W	5	2	
2'4	33	5'0	—	—	—	—	W	2	0	

O r t.	Breite N.	Länge E. v. Gr.	Seehöhe		Monat und Tag 1907.	Stun- de.	Luft- druck bei 0 und Normal- schwere mm.	Luft- tempe- ratur Cels.	Feuchtes- Thermo- meter Cels.
			Meter.	n.					
Lager CLXXI, Targyaling-gompa	29° 30'	85° 5'	4 574	3	Juni 8	7 a	436'9	11'7	w0'0
Lager CLXXII, Pasa-guk	29 33'	85 4'	4 586	6	» 8	1 p	435'8	16'5	3'3
»	»	»	»	»	» 8	9 p	435'5	6'3	- 2'9
»	»	»	»	»	» 9	7 a	436'4	7'3	- 0'8
»	»	»	»	»	» 9	1 p	435'1	13'5	0'9
»	»	»	»	»	» 9	9 p	435'9	4'6	- 2'5
»	»	»	»	»	» 10	7 a	437'8	5'6	- 2'7
Lager CLXXIII, Churu	29 34'	84 55'	4 628	3	» 10	1 p	434'3	10'2	0'3
»	»	»	»	»	» 10	9 p	435'4	0'0	- 4'1
»	»	»	»	»	» 11	7 a	437'0	6'3	- 1'7
Pass	29 34'	84° 54'	4 622	1	» 11	10 a	436'5	10'7	- 2'1
Lager CLXXIV, Rok-shung	29 35'	84 48'	4 609	3	» 11	1 p	436'5	15'3	1'9
»	»	»	»	»	» 11	9 p	437'5	-1'2	- 5'4
»	»	»	»	»	» 12	7 a	437'7	5'2	- 2'6
Lager CLXXV, Nyuku	29° 32'	84 41'	4 600	6	» 12	1 p	437'0	12'6	1'5
»	»	»	»	»	» 12	9 p	437'8	3'4	- 1'7
»	»	»	»	»	» 13	7 a	438'8	7'2	2'1
»	»	»	»	»	» 13	1 p	437'5	14'6	3'9
»	»	»	»	»	» 13	9 p	437'5	4'5	- w0'7
»	»	»	»	»	» 14	7 a	438'5	4'7	2'1
Lager CLXXVI, Kyam-ngoya	29 36'	84 34'	4 670	3	» 14	1 p	433'7	17'3	4'5
»	»	»	»	»	» 14	9 p	434'2	0'7	- 2'1
»	»	»	»	»	» 15	7 a	433'8	9'8	2'9
Lager CLXXVII, Konak	29 40'	84 29'	4 729	3	» 15	1 p	429'8	11'1	3'5
»	»	»	»	»	» 15	9 p	430'4	3'1	w0'0
»	»	»	»	»	» 16	7 a	430'2	7'9	2'8
Kilung-la	29 46'	84 34'	5 318	1	» 16	1 p	399'5	7'8	- w0'9
Kilung-karmo	—	—	5 095	1	» 16	3 p	410'5	6'8	- w0'3
Lager CLXXVII, Konak	29 40'	84 29'	4 729	2	» 16	9 p	430'0	2'4	0'1
»	»	»	»	»	» 17	7 a	430'5	5'5	1'1
Pass Särchung-la	29 39'	84 25'	5 188	1	» 17	12 a	406'1	8'3	- 2'7
Unterwegs (Tüchu)	29 37'	84° 22'	4 817	1	» 17	1 p	425'3	13'1	0'9
Lager CLXXVIII, Dambok-rong	29° 38'	84° 18'	4 657	2	» 17	9 p	433'0	- 0'9	- 3'1
»	»	»	»	»	» 18	7 a	435'1	6'3	0'4
Lager CLXXIX, Tradum	29 39'	84 11'	4 591	6	» 18	1 p	437'3	15'3	0'9
»	»	»	»	»	» 18	9 p	438'0	4'1	0'9
»	»	»	»	»	» 19	7 a	438'8	7'1	2'6
»	»	»	»	»	» 19	1 p	436'8	19'2	5'8
»	»	»	»	»	» 19	9 p	437'7	6'3	4'5
»	»	»	»	»	» 20	7 a	438'1	9'1	5'0

Luftfeuchtigkeit			Temperatur- extreme		Aktinometer		Wind		Bewöl- kung 0—10 und Nieder- schlag.	Bemerkungen.
Dampf- druck mm.	Relat. %	Sätti- gungs- deficit mm.	Min. Cels.	Max. Cels.	Schwarz- kugel Cels.	Blank- kugel Cels.	Rich- tung.	Stärke.		
1'4	14	8'9	- 5'5	—	—	—	W	3	0	
1'3	9	12'8	—	—	—	—	N	2	0	
1'4	20	5'8	—	—	—	—	NW	1	0	
2'3	31	5'4	- 5'4	—	—	—	S	1	0	
1'5	13	10'1	—	—	—	—	S	1	0	
2'0	32	4'4	—	—	51'9	34'9	NW	1	0	
1'7	25	5'1	- 9'3	—	—	—	NNW	1	0	
2'0	32	4'4	—	—	—	—	WSW	4	0	
2'3	49	2'3	—	—	—	—	WSW	1	0	
2'1	29	5'1	- 9'8	—	—	—	WSW	2	0	
0'8	9	8'9	—	—	—	—	WSW	3	0	
1'6	13	11'4	—	—	—	—	WSW	2	0	
1'9	45	2'3	—	—	—	—	—	0	0	
1'8	27	4'8	-14'6	—	—	—	—	0	0	
2'1	19	8'8	—	—	—	—	SW	5	7	
2'7	47	3'2	—	—	—	—	—	0	0	
3'9	51	3'7	- 6'9	—	—	—	N	2	0	
3'1	25	9'4	—	—	—	—	S	2	8	
2'9	46	3'4	—	—	60'7	36'2	N	1	1	
4'5	71	1'9	- 5'9	—	—	—	—	0	0	
2'9	19	11'9	—	—	—	—	W	3	8	
3'1	65	1'7	—	—	—	—	N	1	2	
3'7	41	5'4	- 8'1	—	—	—	NW	2	1	
3'8	38	6'1	—	—	—	—	WSW	2	8	
3'7	64	2'0	—	—	—	—	WSW	1	7	
4'2	52	3'8	- 5'1	—	—	—	NW	1	8	
2'1	27	5'8	—	—	—	—	WSW	6	8	
2'7	36	4'7	—	—	—	—	WSW	3	9	
3'9	72	1'6	—	—	—	—	WSW	3	* 10	* 0 p.
3'7	55	3'1	- 2'8	—	—	—	WSW	7	9	
1'2	15	7'0	—	—	—	—	SW	8	3	
1'7	15	9'6	—	—	—	—	SW	4	1	
3'0	69	1'3	—	—	—	—	—	0	0	
3'1	43	4'1	-10'5	—	—	—	—	0	1	
1'0	8	12'0	—	—	—	—	NW	2	3	
4'0	61	2'1	—	—	—	—	SW	4	0	
4'2	56	3'4	- 2'6	—	—	—	SW	2	1	
3'3	20	13'4	—	—	—	—	SW	1	2	
5'7	80	1'5	—	—	55'7	40'4	SSW	6	9	
5'3	61	3'4	- 1'8	—	—	—	—	0	9	

Luftfeuchtigkeit			Temperatur- extreme		Aktinometer		Wind		Bewöl- kung 0—10 und Nieder- schlag.	Bemerkungen.
Dampf- druck mm.	Relat. %.	Sätti- gungs- deficit mm.	Min. Cels.	Max. Cels.	Schwarz- kugel Cels.	Blank- kugel Cels.	Rich- tung.	Stärke.		
5.2	50	5.3	—	—	—	—	SW	7	9	Temp. 15.4 im Fluss.
5.0	75	1.6	—	—	—	—	SSW	7	6	Temp. 9.2 im Fluss.
4.6	57	3.3	3.2	—	—	—	—	0	8	Temp. 9.1 im Fluss.
3.5	31	7.6	—	—	—	—	SSW	8	2	
3.7	27	9.8	—	—	—	—	SSW	4	3	
3.9	35	7.4	—	—	—	—	SW	5	3	
4.4	34	8.5	—	—	—	—	SW	9	2	
4.7	81	1.1	—	—	—	—	SW	8	10	
4.7	66	2.4	— 0.3	—	—	—	SW	8	9	
4.7	69	2.1	—	—	—	—	S	4	8	
5.2	40	7.9	—	—	—	—	S	3	4	Temp. 10.9 im Fluss.
6.2	47	6.8	—	—	—	—	S	3	3	Temp. 15.2 im Fluss.
6.3	72	2.4	—	—	—	—	S	2	10	
6.0	65	3.2	7.4	—	—	—	N	1	9	
4.9	36	8.5	—	—	—	—	S	3	2	Temp. 13.2 im Fluss.
5.3	60	3.6	—	—	—	—	S	8	3	
4.7	52	4.3	—	—	—	—	S	4	2	
4.8	90	0.5	—	—	—	—	S	7	10	
5.2	90	0.6	1.3	—	—	—	S	2	10	⊙ 7 a.
4.0	40	6.0	—	—	—	—	S	5	6	
4.9	88	0.6	—	—	—	—	S	3	5	
4.0	53	3.5	— 2.1	—	—	—	—	0	8	
3.2	25	9.4	—	—	—	—	SE	4	5	
3.4	65	1.8	—	—	—	—	WNW	1	1	
3.2	33	6.6	— 5.6	—	—	—	WNW	4	3	
2.9	32	6.2	—	—	—	—	—	0	5	
3.4	19	14.5	—	—	—	—	W	2	4	
3.7	47	4.1	—	—	—	—	E	1	1	
4.4	49	4.6	— 0.5	—	—	—	W	1	2	
4.9	51	4.6	—	—	—	—	W	2	9	⊙ 12 a.
3.7	73	1.3	—	—	—	—	E	1	10	
5.0	52	4.6	— 7.8	—	—	—	NW	2	4	
5.9	37	10.2	—	—	—	—	—	0	8	
5.8	74	2.0	—	—	—	—	W	1	4	Temp. 10.3 im Fluss.
5.0	59	3.6	— 1.9	—	—	—	WNW	2	3	Temp. 9.9 im Fluss.
4.3	25	13.4	—	—	—	—	WSW	2	7	
3.8	53	3.5	—	—	—	—	W	2	2	
4.2	54	3.6	— 3.1	—	—	—	—	0	9	
3.2	29	7.8	—	—	—	—	NW	1	8	

4 620 ist fehlerhaft.

O r t	Breite N.	Länge E. v. Gr.	Seehöhe.		Monat und Tag 1907.	Stun- de.	Luft- druck bei 0 und Normal- schwere mm.	Luft- tempe- ratur Cels.	Feuchtes Thermo- meter Cels.
			Meter.	a.					
Ganju-gompa	29° 54'	83° 38'	4631	1	Juni 30	1 p	433'9	17'6	4'2
Lager CNC. Tuksum	29° 58'	83° 33'	4596	5	30	9 p	435'5	6'3	1'4
„	„	„	„	„	Juli 1	7 a	436'7	9'9	3'1
„	„	„	„	„	1	1 p	434'7	15'7	5'5
„	„	„	„	„	1	9 p	436'0	5'0	0'8
„	„	„	„	„	2	7 a	437'3	9'4	1'5
Unterwegs	—	—	4638	1	2	1 p	434'2	14'4	4'0
Lager CNCI	30° 0'	83° 27'	4608	2	2	9 p	435'8	7'3	1'9
„	„	„	„	„	3	7 a	436'8	5'9	—'0'5
Arm von Brahmapatra	29° 57'	83° 23'	4612	1	3	1 p	436'2	—	—
Lager CNCII. Yari	29° 56'	83° 19'	4655	2	3	9 p	436'3	3'1	—'0'1
„	„	„	„	„	4	7 a	437'4	6'6	1'7
Unterwegs (Ara-martsuk)	27° 57'	83° 13'	4626	1	4	1 p	435'8	15'1	5'3
Lager CNCIII. Nangi	30° 0'	83° 1'	4627	2	4	9 p	435'3	3'8	0'6
„	„	„	„	„	5	7 a	436'7	9'5	3'1
Lager CNCIV. Gyang-chu-kamar	30° 4'	83° 1'	4661	3	5	1 p	433'1	18'5	5'6
„	„	„	„	„	5	9 p	434'2	3'1	—'0'3
„	„	„	„	„	6	7 a	434'9	6'5	1'3
Pass Rubi-la	30° 8'	82° 59'	4675	1	6	10'30 a	433'5	15'2	3'1
Unterwegs (Sabsang-chu)	30° 10'	82° 58'	4679	1	6	1 p	433'3	21'7	6'5
Lager CNCV. Chärok	30° 14'	82° 57'	4657	2	6	9 p	433'8	2'1	—'1'0
„	„	„	„	„	7	7 a	435'2	11'2	3'1
Pass Penge-la	30° 14'	82° 57'	4683	1	7	10'30 a	433'0	13'7	3'4
Lager CNCVI. Shamsang	30° 17'	82° 55'	4697	3	7	1 p	431'5	14'2	4'9
„	„	„	„	„	7	9 p	433'0	1'5	—'0'3
„	„	„	„	„	8	7 a	432'3	7'9	2'5
Unterwegs	—	—	4715	1	8	1 p	431'1	15'0	2'8
Lager CNCVII. Umboo	30° 19'	82° 52'	4702	2	8	9 p	431'6	1'9	—'1'7
„	„	„	„	„	9	7 a	432'2	7'4	2'9
Unterwegs (Fluss Chema-yundung)	30° 19'	82° 45'	4752	1	9	1 p	429'1	13'2	3'2
Lager CNCVIII. Tok-jonsung	30° 19'	82° 43'	4732	2	9	9 p	429'9	2'0	—'1'1
„	„	„	„	„	10	7 a	431'2	9'8	1'6
Lager CNCIX. Shäryak	30° 16'	82° 36'	4874	3	10	1 p	422'9	9'6	2'7
„	„	„	„	„	10	9 p	423'0	1'0	—'1'1
„	„	„	„	„	11	7 p	423'6	6'4	1'5
Pass Tso-niti-kargang	30° 14'	82° 33'	5138	1	11	11 a	409'0	10'7	2'9
Lager CC. Hlayak	30° 13'	82° 30'	4861	3	11	1'30 p	422'5	9'9	0'9
„	„	„	„	„	11	9 p	423'3	0'8	—'1'1
„	„	„	„	„	12	7 a	423'0	5'9	1'5
Lager CCI. Shapka	30° 6'	82° 22'	4841	5	12	1 p	423'5	9'4	3'2

Luftfeuchtigkeit.			Temperatur-extreme.		Aktinometer.		Wind.		Bewölkung 0-10 und Nieder- schlag.	Bemerkungen.
Dampf- druck mm.	Relat. %.	Sätti- gungs- deficit mm.	Min. Cels.	Max. Cels.	Schwarz- kugel Cels.	Blank- kugel Cels.	Rich- tung.	Stärke.		
2'6	17	12'5	—	—	—	—	W	2	6	
3'7	51	3'5	—	—	—	—	W	2	9	
3'8	42	5'4	1'1	—	—	—	—	0	3	
4'0	30	9'4	—	—	—	—	SW	2	7	
3'6	55	2'9	—	—	63'7	41'4	E	1	5	
2'9	33	6'0	0'6	—	—	—	E	1	2	
3'3	27	9'0	—	—	—	—	W	4	2	
3'7	49	4'0	—	—	—	—	WNW	2	1	
2'7	38	4'3	-10'2	—	—	—	—	0	2	Temp. 9'6' im Fluss
—	—	—	—	—	—	—	WSW	3	4	
3'6	63	2'1	—	—	—	—	—	0	0	
3'8	52	3'5	-7'3	—	—	—	—	0	7	Temp. 7'6' im Fluss.
3'0	23	9'9	—	—	—	—	WSW	4	3	Temp. 15'9 im Fluss
3'9	64	2'1	—	—	—	—	—	0	2	
3'9	44	5'0	-4'6	—	—	—	—	0	4	
3'3	21	12'7	—	—	—	—	WSW	3	1	Temp. 12'7 im Fluss.
3'5	61	2'2	—	—	—	—	NW	2	0	Temp. 7'8' im Fluss.
3'6	49	3'7	-8'2	—	—	—	—	0	1	Temp. 4'5 im Fluss.
2'5	19	10'5	—	—	—	—	—	0	0	
3'2	16	16'3	—	—	—	—	WSW	1	1	
3'4	64	1'9	—	—	—	—	—	0	0	Temp. 9'7' im Fluss.
3'5	35	6'5	-6'1	—	—	—	—	0	2	Temp. 6'4 im Fluss.
3'1	26	8'7	—	—	—	—	—	0	2	
4'0	33	8'2	—	—	—	—	SSW	7	4	
3'9	77	1'2	—	—	—	—	—	0	0	
4'0	50	4'0	-5'8	—	—	—	—	0	8	
2'4	18	10'4	—	—	—	—	W	5	2	
3'1	59	2'2	—	—	—	—	—	0	1	
4'4	56	3'3	-8'5	—	—	—	—	0	10	Temp. 6'6 im Fluss.
3'1	27	8'3	—	—	—	—	SW	4	2	
3'4	64	1'9	—	—	—	—	—	0	2	Temp. 7'1 im Fluss.
2'9	32	6'2	-9'2	—	—	—	—	0	4	Temp. 9'2° im Fluss.
3'7	41	5'3	—	—	—	—	SW	4	3	
3'6	74	1'3	—	—	—	—	SW	4	0	
3'8	52	3'4	-6'2	—	—	—	S	2	7	Dünne Wölkchen.
3'6	38	6'1	—	—	—	—	SW	4	3	
2'5	27	6'7	—	—	—	—	SW	6	4	
3'7	76	1'2	—	—	—	—	W	2	1	
3'9	56	3'1	-7'8	—	—	—	W	1	4	
4'1	46	4'8	—	—	—	—	W	4	6	

Luftfeuchtigkeit.			Temperatur extreme.		Aktinometer.		Wind.		Bewölkung 0—10 und Nieder- schlag.	Bemerkungen.
Dampf- druck mm.	Relat. %.	Sätti- gungs- deficit mm.	Min. Cels.	Max. Cels.	Schwarz- kugel Cels.	Blank- kugel Cels.	Rich- tung.	Stärke.		
3'1	63	1'8	—	—	—	—	SW	1	0	
4'1	52	3'8	-6'7	—	—	—	S	4	3	
3'0	38	4'8	—	—	—	—	SW	3	3	
3'2	40	4'6	—	—	—	—	SW	1	2	Temp. 5'3 in Fluss.
2'9	56	2'3	—	—	49'2	27'9	—	0	0	
2'8	35	5'2	-7'9	—	—	—	S	2	5	Dünne Wölkchen.
3'5	32	7'4	—	—	—	—	SW	3	3	
3'6	40	5'4	—	—	—	—	SW	8	6	
4'0	69	1'9	—	—	—	—	SW	2	0	
4'1	48	4'5	-7'2	—	—	—	SW	1	3	Temp. 4'3 in Fluss.
4'1	38	6'6	—	—	—	—	SW	6	4	
4'6	38	7'6	—	—	—	—	SW	8	4	Sturm p. ☉ abends.
4'5	64	2'5	—	—	—	—	W	2	10	
5'0	45	6'2	-2'8	—	—	—	SW	2	7	
4'0	34	7'8	—	—	—	—	WSW	2	5	
3'9	36	6'8	—	—	—	—	NW	2	8	
3'8	33	7'6	—	—	—	—	NW	3	8	
4'1	76	1'4	—	—	—	—	SW	1	0	☉ p.
4'1	47	4'6	-6'9	—	—	—	—	0	4	Temp. 11'6 in Fluss.
4'5	36	7'9	—	—	—	—	SW	6	8	
4'2	70	1'7	—	—	—	—	W	3	1	
4'7	48	5'1	-1'8	—	—	—	W	4	6	
3'4	25	10'3	—	—	—	—	SW	5	5	
4'4	72	1'7	—	—	—	—	SW	4	7	
4'2	54	3'5	-1'2	—	—	—	SW	2	5	
3'9	48	4'2	—	—	—	—	SW	4	4	▲ 0'30 p.
4'1	58	2'9	—	—	—	—	SW	6	3	
3'8	77	1'1	—	—	—	—	SW	4	6	
4'4	63	2'6	-5'3	—	—	—	—	0	9	Temp. 4'4 in Fluss.
4'2	29	10'0	—	—	—	—	SW	4	7	
3'7	53	3'4	—	—	—	—	S	2	10	
3'7	46	4'3	0'3	—	—	—	SSW	2	9	
4'5	43	6'0	—	—	—	—	SW	5	7	
4'2	43	5'6	—	—	—	—	SW	7	4	☉ abends.
4'2	73	1'5	—	—	—	—	SW	6	8	
3'9	49	3'9	-0'4	—	—	—	SW	4	9	
4'2	51	4'0	—	—	—	—	SW	2	10	Temp. 9'4 in Fluss.
4'8	54	4'1	—	—	—	—	SW	1	8	
4'3	77	1'3	—	—	—	—	SE	2	1	
4'3	53	3'9	1'4	—	—	—	SW	3	9	

O r t.	Breite N.	Länge E. v. Gr.	Seehöhe.		Monat und Tag 1907.	Stun- de.	Luft- druck bei 0 und Normal- schwere mm.	Luft- tempe- ratur Cels.	Feuchtes Thermo- meter Cels.	
			Meter.	n.						
Pass Karpo-la	30 41'	81 43'	4 888	1	Juli	23	11 30 a	419'9	11'6	3'9
Unterwegs	30 39'	81 43'	4 687	1		23	1 p	430'6	12'9	4'9
Lager CCXI, Tokchen	30 41'	81 42'	4 635	7		23	9 p	433'8	6'1	2'9
"	"	"	"	"		24	7 a	432'1	8'5	4'3
"	"	"	"	"		24	9 p	433'1	4'7	1'9
"	"	"	"	"		25	7 a	434'1	12'2	5'5
"	"	"	"	"		25	1 p	433'3	12'3	5'1
"	"	"	"	"		25	9 p	433'8	5'2	2'1
"	"	"	"	"		26	7 a	435'5	9'9	5'4
Unterwegs (Panorama)	30 41'	81 41'	4 761	1	"	26	10 15 a	427'9	12'6	5'4
Serolung-gompa	30 42'	81 40'	4 662	1	"	26	1 p	433'3	16'2	5'8
Lager CCXII am See Manasarovar, Tso- mavang oder Tso-rinpoche	30 42'	81 39'	4 602	82	"	26	9 p	436'5	7'0	3'6
"	"	"	"	"	"	27	7 a	437'7	12'5	6'1
"	"	"	"	"	"	27	1 p	436'9	20'1	10'1
"	"	"	"	"	"	27	9 p	436'3	8'2	4'3
"	"	"	"	"	"	28	7 a	436'8	10'6	7'1
"	"	"	"	"	"	28	1 p	436'2	21'7	8'1
"	"	"	"	"	"	28	9 p	436'0	9'2	4'9
"	"	"	"	"	"	29	7 a	436'4	12'1	5'4
"	"	"	"	"	"	29	1 p	435'7	10'8	4'9
"	"	"	"	"	"	29	9 p	436'8	7'5	4'9
"	"	"	"	"	"	30	7 a	436'9	8'7	5'7
"	"	"	"	"	"	30	1 p	435'7	15'7	7'6
"	"	"	"	"	"	30	9 p	435'5	8'7	4'3
"	"	"	"	"	"	31	7 a	436'9	10'2	5'9
"	"	"	"	"	"	31	1 p	435'4	16'9	7'6
"	"	"	"	"	"	31	9 p	436'2	9'6	4'5
"	"	"	"	"	Aug.	1	7 a	436'6	11'0	4'7
Auf dem See Manasarovar	—	—	4 602	82	"	1	1 p	435'1	14'5	6'4
Lager CCXV Lan-dong-gon	30 37'	81 35'	4 602	82	"	1	9 p	436'5	7'5	5'3
"	"	"	"	"	"	2	7 a	437'6	13'3	7'5
Auf dem See Manasarovar	—	—	4 602	82	"	2	1 p	437'1	12'0	6'8
Lager CCXVI, Tugu-gompa 6'5 m über dem See	30 33'	81 29'	4 608	82	"	2	9 p	437'0	6'5	4'4
"	"	"	"	"	"	3	7 a	437'7	10'1	5'2
"	"	"	"	"	"	3	1 p	435'8	15'6	5'9
"	"	"	"	"	"	3	9 p	436'0	9'3	5'5
"	"	"	"	"	"	4	7 a	437'0	12'8	6'9
"	"	"	"	"	"	4	1 p	435'7	16'9	7'5

¹⁾ Die auf Pl. 12 angegebene Höhe 4 654 m bezieht sich auf dem Lager CCCCI, das etwas oberhalb Lager CCXI am

Luftfeuchtigkeit.			Temperatur-extreme.		Aktinometer.		Wind.		Bewölkung 0—10 und Nieder- schlag.	Bemerkungen.
Dampf- druck mm.	Relat. %.	Sätti- gungs- deficit mm.	Min. Cels.	Max. Cels.	Schwarz- kugel Cels.	Blank- kugel Cels.	Rich- tung.	Stärke.		
4 ⁰	39	6 ³	—	—	—	—	SW	2	9	
4 ³	38	6 ⁹	—	—	—	—	W	2	10	Temp. 15 ⁶ in Fluss.
4 ⁷	66	2 ⁴	—	—	—	—	SE	3	10	
5 ⁰	60	3 ³	2 ⁷	—	—	—	SE	2	9	Temp. 7 ⁹ in Fluss. ● n.
4 ⁴	69	2 ⁰	—	—	29 ⁴	19 ⁴	SE	2	9	● abends.
4 ⁹	46	5 ⁸	1 ⁶	—	—	—	SW	2	7	● morgens. Temp. 10 ⁶ in Fluss.
4 ⁶	43	6 ¹	—	—	—	—	SE	6	8	Temp. 16 ⁴ in Fluss.
4 ⁴	66	2 ²	—	—	52 ⁴	35 ¹	SE	2	7	
5 ⁴	69	3 ⁸	2 ⁷	—	—	—	—	0	8	Temp. 7 ⁹ in Fluss.
4 ⁷	43	6 ²	—	—	—	—	SW	3	4	
4 ¹	30	9 ⁷	—	—	—	—	SW	2	8	
4 ⁹	65	2 ⁶	—	—	—	—	—	0	1	Temp. 9 ⁸ im See Manasarovar.
5 ²	48	5 ⁷	1 ⁸	—	—	—	—	0	8	
6 ⁵	37	11 ²	—	—	—	—	SW	2	6	
5 ¹	62	3 ¹	—	—	56 ⁷	40 ⁵	E	1	2	Temp. 12 ¹ im See.
6 ⁵	68	3 ¹	2 ⁹	—	—	—	SW	1	7	Temp. 12 ⁴ im See.
4 ⁴	23	15 ¹	—	—	—	—	SW	2	3	Temp. 18 ⁰ im See.
5 ²	60	3 ⁵	—	—	58 ¹	39 ¹	E	2	9	Temp. 10 ⁶ im See.
4 ⁸	46	5 ⁸	4 ⁴	—	—	—	SW	2	9	Temp. 12 ⁷ im See.
4 ⁸	50	4 ⁹	—	—	—	—	SW	3	9	Temp. 12 ⁴ im See. ● 12 a mit Sturm.
5 ⁷	73	2 ¹	—	—	55 ⁷	36 ⁷	S	4	9	Temp. 7 ⁸ im See.
5 ⁹	70	2 ⁵	2 ⁷	—	—	—	SW	1	9	Temp. 10 ⁷ im See.
5 ⁶	41	7 ⁸	—	—	—	—	SSW	4	8	Temp. 20 ⁹ im See.
5 ⁰	59	3 ⁴	—	—	57 ⁴	40 ⁴	—	0	9	
5 ⁷	61	3 ⁶	4 ²	—	—	—	SW	1	8	Temp. 9 ⁸ im See.
5 ²	37	9 ²	—	—	—	—	SW	2	3	Temp. 20 ⁹ im See.
4 ⁹	54	4 ¹	—	—	54 ⁵	37 ²	NNE	3	7	Temp. 11 ⁵ im See.
4 ⁷	47	5 ²	3 ²	—	—	—	N	1	8	Temp. 12 ¹ im See.
4 ⁰	40	7 ⁵	—	—	—	—	NE	2	7	Temp. 17 ⁰ im See.
6 ⁰	77	1 ⁸	—	—	—	—	ESE	4	4	● abends. Temp. 10 ² in Fluss.
6 ¹	53	5 ⁴	5 ²	—	—	—	—	0	7	Temp. 9 ⁰ in Fluss.
5 ⁹	56	4 ⁶	—	—	—	—	NNE	1	10	Temp. 10 ⁴ im See.
5 ⁶	77	1 ⁷	—	—	—	—	—	0	0	Temp. 11 ⁴ im See.
5 ²	56	4 ¹	4 ⁸	—	—	—	—	0	9	Temp. 12 ⁴ im See.
4 ³	32	9 ⁰	—	—	—	—	SSE	1	4	Temp. 20 ⁹ im See.
5 ⁶	64	3 ²	—	—	57 ⁴	36 ²	N	1	6	
5 ⁸	52	5 ³	3 ⁷	—	—	—	NE	2	3	Temp. 14 ⁶ im See.
5 ²	36	9 ²	—	—	—	—	NNW	1	8	Temp. 21 ⁵ im See.

Samo-tsangpo gelegen ist. — ²) Die Höhe dieses Lagers ist auf Pl 12 vier meter zu niedrig angegeben.

O r t.	Breite N.	Länge E. v. Gr.	Seehöhe.		Monat und Tag 1907.	Stun- de.	Luft- druck bei 0° und Normal- schwere mm.	Luft- tempe- ratur Cels.		Feuchtes Thermo- meter Cels.
			Meter.	n.				Assmann's Psychrometer.		
Lager CCXVI, Tugu-gompa	30 33'	81 29'	4608	82	Aug. 4	9 p	435.9	9.1	5.6	
Jango-gompa	30 33'	81 31'	4605	>	> 5	7 a	436.3	8.3	6.2	
Lager CCXVI, Tugu-gompa	30 33'	81 29'	4608	>	> 5	1 p	434.5	11.1	7.7	
> >	>	>	>	>	> 5	9 p	435.9	8.3	6.2	
> >	>	>	>	>	> 6	7 a	437.2	12.7	7.4	
> >	>	>	>	>	> 6	1 p	435.3	17.1	8.1	
> >	>	>	>	>	> 6	9 p	436.9	9.8	5.7	
> >	>	>	>	>	> 7	7 a	438.2	15.0	6.5	
> >	>	>	>	>	> 7	1 p	435.3	15.7	8.1	
> >	>	>	>	>	> 7	9 p	436.2	8.3	6.7	
> >	>	>	>	>	> 8	7 a	437.0	12.3	8.4	
> >	>	>	>	>	> 8	1 p	436.6	15.0	4.5	
> >	>	>	>	>	> 8	9 p	436.5	9.1	1.5	
> >	>	>	>	>	> 9	7 a	437.8	11.6	1.9	
> >	>	>	>	>	> 9	1 p	436.2	15.3	1.7	
> >	>	>	>	>	> 9	9 p	436.3	9.8	1.6	
> >	>	>	>	>	> 10	7 a	438.0	8.9	0.4	
> >	>	>	>	>	> 10	1 p	436.3	17.2	3.3	
> >	>	>	>	>	> 10	9 p	436.5	7.6	3.5	
> >	>	>	>	>	> 11	7 a	437.9	9.5	4.9	
Lager CCXVIII, Yese	30 34'	81 25'	4602	>	> 11	1 p	437.0	15.7	6.5	
> >	>	>	>	>	> 11	9 p	437.8	3.0	— 0.3	
> >	>	>	>	>	> 12	7 a	439.1	11.5	2.7	
Pass	—	—	5155	1	> 12	0.30 p	408.4	12.3	1.2	
Pass	—	—	5093	1	> 12	1.45 p	411.5	12.6	1.7	
Lager CCXVIII, Yese	30 34'	81 25'	4602	82	> 12	9 p	437.3	7.6	3.3	
Exkursion.								Schleuder- Psychrometer.		
Lager CCXVIII, Yese	30 34'	81 25'	4602	82	Aug. 12	9 a	438.5	—	—	
Pass	30 30'	81 26'	4839	1	> 12	12 a	424.7	18.7	—	
Unterwegs	30 30'	81 24'	4984	1	> 12	1.30 p	417.2	15.2	4.5	
Fluss (Exkursion endet)	—	—	4857	1	> 12	3 p	423.6	13.6	7.1	
								Assmann's Psychrometer.		
Lager CCXVIII, Yese	30 34'	81 25'	4602	82	> 13	7 a	437.5	9.5	3.9	
Unterwegs, am See	—	—	4602	82	> 13	1 p	436.3	12.6	5.1	
Lager CCXVII, Gosul-gompa (Das Kloster selbst liegt 37.4 m über dem See)	30 29'	81 24'	4602	82	> 13	9 p	436.0	5.6	2.7	

Luftfeuchtigkeit.			Temperatur- extreme.		Aktinometer.		Wind.		Bewöl- kung 0—10 und Nieder- schlag.	Bemerkungen.
Dampf- druck mm.	Relat. %	Sätti- gungs- deficit mm.	Min. Cels.	Max. Cels.	Schwarz- kugel Cels.	Blank- kugel Cels.	Rich- tung.	Stärke.		
5.8	66	2.9	—	—	52.0	35.8	NE	2	☉ 9	☉ p n. Temp. 11.9 im See.
6.4	78	1.8	5.1	—	—	—	N	1	☉ 9	☉ 7 a. Temp. 12.4° im See.
6.8	69	3.1	—	—	—	—	SW	1	☉ 10	Temp. 12.2 im See. ☉ 1 p.
6.4	78	1.8	—	—	57.5	39.2	—	0	3	Temp. 11.4 im See.
6.2	56	4.8	4.5	—	—	—	—	0	7	
5.6	38	9.0	—	—	—	—	SW	2	6	Temp. 20.5° im See.
5.8	66	3.0	—	—	55.4	34.6	NE	3	10	Temp. 12.4° im See.
4.9	38	7.9	4.2	—	—	—	NE	1	4	Temp. 11.3° im See.
5.9	44	7.5	—	—	—	—	NNW	4	7	Temp. 19.3° im See.
6.8	82	1.4	—	—	54.8	47.3	SW	2	8	Temp. 11.2° im See. Sturm, ☉ p n.
7.1	66	3.6	3.8	—	—	—	SW	1	5	Temp. 12.1 im See.
3.4	27	9.4	—	—	—	—	W	1	9	Temp. 23.4 im See.
3.0	35	5.7	—	—	55.9	48.2	—	0	4	Temp. 11.7 im See.
2.6	25	7.7	-1.2	—	—	—	NNE	3	10	Temp. 10.5° im See.
1.5	12	11.5	—	—	—	—	NW	1	2	Temp. 24.2 im See.
2.9	32	6.2	—	—	53.6	39.4	S	1	6	Temp. 10.6 im See.
2.4	28	6.2	-0.8	—	—	—	NE	1	10	Temp. 12.2 im See.
2.1	14	12.6	—	—	—	—	NNW	2	1	Temp. 23.9 im See.
4.7	60	3.1	—	—	58.5	43.8	SSE	1	0	Temp. 13.9° im See.
5.2	58	3.7	1.2	—	—	—	NW	1	10	Temp. 11.9 im See.
4.7	35	8.7	—	—	—	—	NNE	4	4	Sturm 1 p.
3.3	55	2.7	—	—	—	—	—	0	0	Temp. 12.0 im See.
3.1	31	7.1	-1.8	—	—	—	—	0	0	Temp. 13.1 im See.
2.2	20	8.5	—	—	—	—	SW	2	3	
2.4	22	8.5	—	—	—	—	W	3	5	
4.6	58	3.2	—	—	58.7	40.2	S	2	0	Temp. 10.4 im See.
—	—	—	—	—	—	—	—	—	—	
—	—	—	—	—	—	—	WNW	3	—	
3.4	26	9.6	—	—	—	—	NE	3	2	
5.7	48	6.1	—	—	—	—	—	—	—	Temp. 3.2° in Fluss.
—	—	—	—	—	—	—	—	—	—	
4.5	50	4.4	-1.1	—	—	—	NE	1	1	Temp. 13.4 im See.
4.5	41	6.4	—	—	—	—	—	0	9	Temp. 17.9 im See.
—	—	—	—	—	—	—	—	—	—	
4.7	69	2.1	—	—	—	—	SW	3	1	

O r t .	Breite N.	Länge E. v. Gr.	Seehöhe		Monat und Tag 1907.	Stun- de.	Luft- druck bei 0 und Normal- schwere mm.	Luft- tempe- ratur Cels.	Feuchtes Thermo- meter Cels.
			Meter.	n.				Assmann's Psychrometer.	
Lager CCXVII, Gosul-gompa (Das Kloster selbst liegt 37'4 m. über dem See)	30° 39'	81° 24'	4602	82	Aug. 14	7 a	435'9	15'8	11'9
»	»	»	»	»	» 14	1 p	435'3	16'4	6'5
»	»	»	»	»	» 14	9 p	436'0	5'4	2'6
»	»	»	»	»	» 15	7 a	436'5	8'4	5'3
Lager CCXIV	30° 43'	81° 22'	4603	82	» 15	1 p	435'6	18'1	6'4
Pass zwischen Manasarovar und Rakas-tal .	30° 39'	81° 21'	4887	1	» 15	10 a	420'9	16'2	—
Der See Rakas-tal	30° 48'	81° 17'	4589	82	» 15	1 p	436'0	11'4	7'6
Pass zwischen den Sun	30° 42'	81° 20'	4660	1	» 15	2 p	433'0	14'0	—
Lager CCXIV	30° 43'	81° 22'	4603	82	» 15	4 p	435'5	—	—
»	»	»	»	»	» 15	9 p	436'5	6'4	2'7
»	»	»	»	»	» 16	7 a	437'8	11'1	6'0
Ani See Manasarovar	—	—	4602	82	» 16	1 p	436'4	15'7	5'6
Lager CCXIX, Chiu-gompa	30° 46'	81° 23'	4602	82	» 16	9 p	436'5	5'6	2'7
»	»	»	»	»	» 17	7 a	437'9	9'2	4'3
Warme Quellen	»	»	4603	82	» 17	1 p	436'6	19'1	7'1
Lager CCXIX Chiu-gompa	30° 46'	81° 23'	4602	82	» 17	9 p	437'0	6'4	3'8
»	»	»	»	»	» 18	7 a	438'3	11'2	6'3
»	»	»	»	»	» 18	1 p	435'8	15'7	6'7
»	»	»	»	»	» 18	9 p	436'6	7'8	3'6
»	»	»	»	»	» 19	7 a	436'8	10'5	5'1
»	»	»	»	»	» 19	1 p	435'4	19'1	6'3
»	»	»	»	»	» 19	9 p	435'7	6'7	3'1
»	»	»	»	»	» 20	7 a	435'0	10'7	4'3
Parka	30° 52'	81° 17'	4601	6	» 20	1 p	437'1	16'8	6'4
Lager CCXIX, Chiu-gompa	30° 46'	81° 23'	4602	82	» 20	9 p	437'0	8'0	3'9
»	»	»	»	»	» 21	7 a	438'9	12'9	5'5
»	»	»	»	»	» 21	1 p	435'8	18'4	8'7
»	»	»	»	»	» 21	9 p	436'7	7'5	4'0
»	»	»	»	»	» 22	7 a	437'7	11'9	5'3
»	»	»	»	»	» 22	1 p	435'5	20'4	7'1
»	»	»	»	»	» 22	9 p	436'5	6'1	3'2
Unterwegs nach Parka	»	»	4620	1	» 23	7 a	434'8	12'4	3'9
Unterwegs von Parka	»	»	4662	1	» 23	1 p	432'8	19'7	5'5
Lager CCXIX Chiu-gompa	30° 46'	81° 23'	4602	82	» 23	9 p	436'0	6'6	4'0

Luftfeuchtigkeit			Temperatur extreme		Aktinometer		Wind		Bewölkung 0—10 und Nieder- schlag.	Bemerkungen.
Dampf- druck mm.	Relat. %	Sätti- gungs- deficit mm.	Min. Cels.	Max. Cels.	Schwarz- kugel Cels.	Blank- kugel Cels.	Rich- tung.	Stärke.		
9'2	68	4'3	2'6	—	—	—	NNE	1	2	① ▲ n.
4'5	32	9'5	—	—	—	—	SW	4	3	
4'7	69	2'0	—	—	—	38'2	SW	4	1	
5'7	69	2'6	2'7	—	—	—	NNE	2	6	② n
4'0	26	11'6	—	—	—	—	SW	4	3	Sturm 1 p.
—	—	—	—	—	—	—	WSW	6	2	
6'7	66	3'4	—	—	—	—	WSW	5	2	Temp. 12'8 in Rakas-tal.
—	—	—	—	—	—	—	WSW	5	1	
—	—	—	—	—	—	—	—	—	—	
4'5	62	2'7	—	—	—	—	SW	6	3	Temp. 7'0 in Manasarovar.
5'5	56	4'4	1'2	—	—	—	E	1	8	Temp. 9'4 in
4'0	30	9'4	—	—	—	—	SW	3	4	Temp. 20'5 im
4'7	69	2'1	—	—	—	—	SW	5	4	Temp. 8'5 in
4'8	55	3'9	3'2	—	—	—	SW	1	8	Temp. 9'7 in
4'3	26	12'3	—	—	—	—	SW	2	4	
5'2	72	2'0	—	—	—	—	SW	2	9	Temp. 10'6 im See. <i>Temperaturen</i> der warmen Quellen; diejenige der wärmsten 77'84°, diejenige einer anderen 57'49°. 49'51, 51'20, diejenige einer kalten Quelle 13'2.
5'7	57	4'3	1'1	—	—	—	ESE	2	2	
4'9	36	8'5	—	—	—	—	E	3	2	
4'7	59	3'2	—	—	—	—	ENE	1	8	
5'0	53	4'5	0'8	—	—	—	ESE	1	2	Temp. 14'7° im See.
3'7	22	12'9	—	—	—	—	SW	4	3	Sturm p.
4'7	63	2'7	—	—	51'1	38'8	SW	4	4	
4'4	46	5'3	2'4	—	—	—	NE	1	6	
4'3	30	10'1	—	—	—	—	—	0	8	
4'9	60	3'2	—	—	53'0	42'0	SW	5	9	③ 9 p.
4'7	42	6'5	5'2	—	—	—	E	1	7	
5'7	36	10'3	—	—	—	—	SW	3	7	
5'1	65	2'7	—	—	56'5	43'9	SW	4	2	
4'8	46	5'7	2'8	—	—	—	ESE	1	4	
3'9	22	14'1	—	—	—	—	SW	4	7	
4'9	69	2'2	—	—	52'8	35'9	SW	1	1	
3'7	34	7'1	0'2	—	—	—	—	0	3	
3'0	17	14'2	—	—	—	—	SW	4	3	
5'3	72	2'0	—	—	52'6	34'5	SSE	1	8	Dünne Wolken.

O r t.	Breite N.	Länge E. v. Gr.	Seehöhe		Monat und Tag 1907.	Stun- de.	Luft- druck bei 0 und Normal- schwere mm.	Luft- tempe- ratur Cels.	Feuchtes Thermo- meter Cels.
			Meter.	n.				Schleuder- Psychrometer.	
Exkursion.									
Mündung von Pachen	30 46'	81 38'	4 696	1	Aug. 19	12 a	431'5	16'2	—
Pachuug (Panorama)	30 50'	81 40'	4 691	1	» 19	2 p	431'7	18'0	—
Pundi-gompa	30 52'	81 36'	4 872	1	» 21	1 p	423'2	13'0	—
Langbo-nan (Exkursion endet)	30 49'	81 30'	4 636	1	» 21	3 p	435'7	15'5	—
								Assmann's Psychrometer.	
Lager CCXIX. Chiu-gompa	30 46'	81 23'	4 602	82	» 24	7 a	435'7	10'0	4'7
Trockenes Bett	—	—	4 632	1	» 24	1 p	434'2	21'9	7'1
Lager CCXXIII am See Rakas-tal	30 48'	81 17'	4 589	82	» 24	9 p	435'6	7'9	4'8
»	»	»	»	»	» 25	7 a	437'2	9'3	5'1
»	»	»	»	»	» 25	1 p	436'0	18'5	8'4
»	»	»	»	»	» 25	9 p	436'3	7'0	5'1
»	»	»	»	»	» 26	7 a	437'5	8'3	4'3
Lager CCXXIV am See Rakas-tal	30 47'	81 12'	4 589	82	» 26	1 p	436'8	8'0	5'6
»	»	»	»	»	» 26	9 p	437'5	7'6	5'4
»	»	»	»	»	» 27	7 a	438'2	7'4	5'1
»	»	»	»	»	» 27	1 p	436'7	12'1	6'1
Lager CCXXV am See Rakas-tal	30 46'	81 15'	4 589	82	» 27	9 p	437'8	7'2	4'8
»	»	»	»	»	» 28	7 a	437'7	7'9	3'3
Unterwegs (Panorama)	30 44'	81 14'	4 596	1	» 28	1 p	436'7	11'6	5'9
Lager CCXXVI 3 m über Rakas-tal	30 35'	81 19'	4 592	82	» 28	9 p	436'9	6'1	3'3
»	»	»	»	»	» 29	7 a	437'5	6'7	3'1
Unterwegs	—	—	4 595	1	» 29	1 p	437'1	16'7	4'3
Lager CCXXVII 9 m über Rakas-tal	30 36'	81 13'	4 598	82	» 30	1'45 a	436'8	4'4	1'6
»	»	»	»	»	» 30	7 a	437'8	9'0	3'5
Unterwegs (Panorama)	30 36'	81 10'	4 609	1	» 30	1 p	436'6	13'8	2'0
Pass.	30 38'	81 5'	4 687	1	» 30	3 p	432'7	—	—
Lager CCXXVIII 3 m über Rakas-tal	30 40'	81 6'	4 592	82	» 30	9 p	436'5	4'9	0'7
»	»	»	»	»	» 31	7 a	437'5	9'1	1'7
Unterwegs	30 43'	81 11'	4 604	1	» 31	1 p	436'1	14'2	3'4
Lager CCXXIX. Parka	30 52'	81 17'	4 601	6	» 31	9 p	435'5	5'2	1'6
»	»	»	»	»	Sept. 1	7 a	436'5	9'5	4'1
»	»	»	»	»	» 1	1 p	436'1	16'3	3'4
»	»	»	»	»	» 1	9 p	436'5	6'0	2'7
»	»	»	»	»	» 2	7 a	437'0	7'4	1'7
Lager CCXXX. Khaleb	30 58'	81 13'	4 629	14	» 2	1 p	434'6	21'5	5'9
»	»	»	»	»	» 2	9 p	434'9	4'2	0'7

Luftfeuchtigkeit			Temperatur- extreme		Aktinometer		Wind		Bewöl- kung 0—10 und Nieder- schlag.	Bemerkungen.
Dampf- druck mm.	Relat. %.	Sätti- gungs- deficit mm.	Min. Cels.	Max. Cels.	Schwarz- kugel Cels.	Blank- kugel Cels.	Rich- tung.	Stärke.		
—	—	—	—	—	—	—	SW	2	1	Temp. 13 ² in Fluss.
—	—	—	—	—	—	—	WSW	3	1	Temp. 16 ¹ in Fluss.
—	—	—	—	—	—	—	SW	2	1	
—	—	—	—	—	—	—	SW	3	3	Temp. 13 ⁸ in Fluss.
4 ⁹	53	4 ³	- 1 ¹	—	—	—	SSE	1	7	
3 ⁶	18	16 ¹	—	—	—	—	SW	3	2	
5 ⁵	69	2 ⁵	—	—	—	—	SW	2	3	
5 ⁴	61	3 ⁴	- 5 ²	—	—	—	SW	2	8	
5 ⁴	34	10 ⁶	—	—	—	—	SW	7	7	Sturm p.
6 ⁰	79	1 ⁵	—	—	48 ⁴	31 ⁰	SW	8	9	
5 ¹	62	3 ¹	5 ⁵	—	—	—	SW	2	8	
6 ⁰	75	2 ¹	—	—	—	—	SW	5	6	
6 ⁰	77	1 ⁸	—	—	—	—	SW	2	8	
5 ⁸	76	1 ⁹	5 ²	—	—	—	SW	2	7	
5 ³	50	5 ³	—	—	—	—	WNW	3	4	Temp. 13 ⁵ im See Rakas-tal.
5 ⁷	75	1 ⁹	—	—	53 ⁷	32 ³	SW	2	7	
4 ⁵	56	3 ⁵	3 ²	—	—	—	SW	2	2	Temp. 9 ⁴ im See.
5 ³	52	5 ⁰	—	—	—	—	SW	2	3	Temp. 13 ⁴ im See.
5 ⁰	70	2 ¹	—	—	—	—	SW	3	3	Temp. 8 ¹ im See.
4 ⁷	63	2 ⁷	1 ¹	—	—	—	SW	1	4	Temp. 7 ¹ im See.
2 ⁹	20	11 ⁴	—	—	—	—	SW	5	1	Temp. 12 ¹ im See.
4 ³	68	2 ⁰	—	—	—	—	SW	1	1	
4 ³	50	4 ³	0 ³	—	—	—	SW	1	1	Temp. 9 ⁴ im See.
2 ¹	18	9 ⁷	—	—	—	—	SW	5	1	Temp. 13 ³ im See.
—	—	—	—	—	—	—	SW	8	1 ¹⁰	
3 ⁶	56	2 ⁹	—	—	—	—	SW	4	0	Temp. 8 ⁰ im See.
3 ¹	36	5 ⁶	- 4 ⁴	—	—	—	SW	2	1	Temp. 9 ⁴ im See.
2 ⁹	24	9 ³	—	—	—	—	SW	5	1 ¹⁰	Temp. 14 ⁵ im See.
4 ¹	62	2 ⁵	—	—	—	—	SW	2	0	
4 ⁶	52	4 ³	- 2 ²	—	—	—	SW	2	1	
2 ⁴	17	11 ⁵	—	—	—	—	SW	4	0	
4 ⁶	65	2 ⁴	—	—	52 ⁰	34 ⁰	SW	2	0	
3 ⁶	47	4 ¹	- 0 ⁸	—	—	—	—	0	0	
2 ⁸	14	16 ⁴	—	—	—	—	SW	2	2	Temp. 20 ⁰ in Fluss.
3 ⁸	62	2 ⁴	—	—	—	—	E	2	0	Temp. 4 ⁶ in Fluss.

O r t.	Breite N.	Länge E. v. Gr.	Seehöhe		Monat und Tag 1907.	Stun- de.	Luft- druck bei 0 und Normal- schwere mm.	Assmann's Psychrometer.	
			Meter.	n.				Luft- tempe- ratur Cels.	Feuchtes Thermo- meter Cels.
Lager CCXXX, Khaleb	30 58'	81° 13'	4 629	14	Sept. 3	7 a	436'1	4'9	2'0
„	„	„	„	„	„ 3	1 p	436'9	17'1	6'1
„	„	„	„	„	„ 3	9 p	434'5	4'0	— 1'0
„	„	„	„	„	„ 4	7 a	436'0	7'0	3'1
„	„	„	„	„	„ 4	1 p	434'4	16'8	3'1
„	„	„	„	„	„ 4	9 p	433'5	3'4	0'6
„	„	„	„	„	„ 5	7 a	435'0	10'2	5'1
„	„	„	„	„	„ 5	1 p	433'5	14'3	4'1
„	„	„	„	„	„ 5	9 p	434'1	2'9	0'2
Exkursion.								Schleuder- Psychrometer.	
Müde	31 0'	81 15'	4 700	1	„ 3	11 a	431'8	13'3	4'2
Nyandi-gompa	31 2'	81 17'	4 882	1	„ 3	1 p	422'3	13'6	3'6
Lager CCXXXI Diri-pu-gompa	31 6'	81 21'	5 081	2	„ 3	9 p	412'1	4'5	— 0'6
„	„	„	„	„	„ 4	7 a	412'0	6'4	2'7
Dolma-la	31 5'	81° 22'	5 669	1	„ 4	12 a	382'7	7'5	— 1'5
In Thal	31 4'	81 23'	5 301	1	„ 4	1 p	400'5	11'6	2'7
Lager CCXXXII Tsumtul-pu-gompa	30 59'	81 22'	4 863	1	„ 5	7 a	421'9	4'5	2'1
Müde des Dopheu-chu Thales	30 57'	81 20'	4 689	1	„ 5	11 1/2 a	431'1	15'2	6'0
Tarchen Labrang	30 58'	81 18'	4 710	1	„ 5	1 p	430'0	16'1	6'2
Assmann's Psychrometer.								Assmann's Psychrometer.	
Lager CCXXX Khaleb	30 58'	81 12'	4 629	14	„ 6	7 a	436'1	5'5	0'9
Trockener Kanal	30 56'	81 9'	4 622	1	„ 6	1 p	436'4	16'2	4'3
Tiefster Punkt	30 57'	81 4'	4 616	1	„ 6	3 p	435'1	—	—
Der erste Tümpel	30 57'	81 6'	4 642	1	„ 6	4 p	434'8	12'8	4'7
Lager CCXXX Khaleb	30 58'	81 12'	4 629	14	„ 6	9 p	434'8	4'0	0'9
„	„	„	„	„	„ 7	7 a	436'8	5'1	0'8
Shar-la	31° 2'	81 10'	4 765	1	„ 7	1 p	428'6	16'1	2'9
Trok-po-shar	31 8'	80° 56'	4 615	2	„ 7	9 p	436'1	4'6	0'1
„	„	„	„	„	„ 8	7 a	437'9	6'9	0'7
Men-zé (Missar)	31 10'	80 49'	4 446	15	„ 8	1 p	445'6	15'2	3'2
„	„	„	„	„	„ 8	9 p	444'4	3'8	— 1'3
„	„	„	„	„	„ 9	7 a	446'1	8'1	2'4
„	„	„	„	„	„ 9	1 p	444'8	15'9	2'9
„	„	„	„	„	„ 9	9 p	444'3	6'3	0'6
„	„	„	„	„	„ 10	7 a	446'3	4'9	0'7

¹⁾ Die Zahl 5 091 auf der Karte (Pl. 12) ist unrichtig.

Luftfeuchtigkeit			Temperatur- extreme		Aktinometer		Wind		Bewöl- kung 0—10 und Nieder- schlag.	Bemerkungen.
Dampf- druck mm.	Relat. %.	Sätti- gungs- deficit mm.	Min. Cels.	Max. Cels.	Schwarz- kugel Cels.	Blank- kugel Cels.	Rich- tung.	Stärke.		
4.4	68	2.1	-1.9	—	—	—	E	1	1	Temp. 4.1 in Fluss.
4.0	28	10.6	—	—	—	—	SW	2	1	Temp. 18.9 in Fluss.
3.0	49	3.1	—	—	51.7	31.1	E	2	0	Temp. 4.2 in Fluss.
4.6	61	2.9	-4.2	—	—	—	E	1	1	Temp. 4.6 in Fluss.
2.1	14	12.3	—	—	—	—	SW	2	1	Temp. 19.4 in Fluss.
4.0	68	1.9	—	—	51.1	32.5	E	1	1	Temp. 4.8 in Fluss.
5.1	55	4.2	-5.2	—	—	—	E	1	2	Temp. 5.8 in Fluss.
3.4	25	9.8	—	—	—	—	SW	4	3	Temp. 17.9 in Fluss.
3.9	68	1.8	—	—	55.7	34.5	E	2	0	Temp. 4.0 in Fluss.
3.6	32	7.9	—	—	—	—	S	1	0	
3.2	27	8.5	—	—	—	—	S	2	1	
3.0	47	3.3	—	—	—	—	SW	4	0	
4.5	62	2.7	-3.0	—	—	—	SW	1	10	
2.1	27	5.7	—	—	—	—	SW	4	0	
3.3	32	7.0	—	—	—	—	SSW	2	10	
4.6	73	1.7	0.4	—	—	—	—	0	10	Temp. 5.9 in Quelle.
4.4	34	8.6	—	—	—	—	SW	1	2	
4.3	32	9.4	—	—	—	—	SW	2	2	
3.6	53	3.2	-5.1	—	—	—	E	1	1	Temp. 4.4 in Fluss.
3.0	22	10.8	—	—	—	—	NE	1	2	
—	—	—	—	—	—	—	SSW	3	8	Temp. 17.3 in Quelle.
4.2	38	6.9	—	—	—	—	WSW	1	8	Temp. 13.1 im See.
4.0	65	2.1	—	—	49.6	30.5	E	2	10	Temp. 4.8 in Fluss.
3.6	55	3.0	-4.0	—	—	—	E	2	2	Temp. 4.2 in Fluss.
2.2	16	11.5	—	—	—	—	W	2	2	
3.4	53	3.0	—	—	—	—	—	0	0	
3.1	42	4.4	-5.2	—	—	—	SW	1	1	Temp. 3.9 in Fluss.
2.5	19	10.5	—	—	—	—	SW	2	2	
2.8	47	3.2	—	—	—	—	E	1	0	
3.8	47	4.3	-3.6	—	—	—	W	1	1	
2.1	15	11.5	—	—	—	—	E	1	1	
3.2	44	4.0	—	—	54.1	36.2	—	0	0	
3.6	55	2.9	-4.2	—	—	—	—	0	0	

O r t.	Breite N.	Länge E. v. Gr.	Seehöhe		Monat und Tag 1907.	Stun- de.	Luft- druck bei 0° und Normal- schwere mm.	Luft- tempe- ratur Cels.	Feuchtes Thermo- meter Cels.
			Meter.	n.					
Men-zé (Missar)	31 10'	80 49'	4 446	15	Sept. 10	1 p	445'2	16'6	3'5
"	"	"	"	"	" 10	9 p	445'1	3'9	- 1'4
"	"	"	"	"	" 11	7 a	447'1	6'3	1'4
"	"	"	"	"	" 11	1 p	444'9	17'9	4'7
"	"	"	"	"	" 11	9 p	444'9	3'4	- 2'1
"	"	"	"	"	" 12	7 a	447'2	7'7	1'5
"	"	"	"	"	" 12	1 p	444'5	15'9	4'1
"	"	"	"	"	" 12	9 p	445'3	1'7	- 3'5
"	"	"	"	"	" 13	7 a	446'4	2'4	- 2'1
Chalak	—	—	4 594	3	" 13	1 p	436'9	14'2	2'3
"	"	"	"	"	" 13	9 p	436'5	- 0'5	- 5'0
"	"	"	"	"	" 14	7 a	439'9	2'7	- 2'9
Gya-la-bum	31 21'	80 40'	4 806	2	" 14	1 p	426'9	10'5	-w 0'1
"	"	"	"	"	" 14	9 p	426'0	- 0'5	- 4'1
Jer-ko-la	31 23'	80 38'	4 835	1	" 15	7 a	424'8	1'7	- 4'3
Jang-dong-komba-la	31 26'	80 34'	4 700	1	" 15	11 a	431'9	7'5	- 3'4
Par-chu	31 30'	80 33'	4 646	3	" 15	1 p	434'5	11'9	-w 0'9
"	"	"	"	"	" 15	9 p	433'7	- 0'5	- 1'6
"	"	"	"	"	" 16	7 a	435'8	3'4	- 3'2
Tashi-la	"	"	4 774	1	" 16	1 p	427'4	6'9	- 3'9
Vik-yu (Tasam)	31 39'	80 26'	4 593	2	" 16	9 p	436'3	2'4	- 4'9
"	"	"	"	"	" 17	7 a	439'2	5'1	- 2'8
Gartok	31 44'	89 20'	4 469	99	" 17	1 p	siehe unten		
					bis Okt. 20	7 a			
Exkursion nach der Quelle von Indus.								Schleuder- Psychrometer.	
Thalmünde	—	—	4 714	1	Sept. 7	—	431'2	13'1	6'0
Unterwegs	—	—	4 889	1	" 7	1 p	422'1	13'6	3'4
Lager CCXXXIII, Diri-pu-gompa	31 6'	81 21'	5 092	2	" 7	9 p	412'0	2'5	-w 0'4
"	"	"	"	"	" 8	7 a	412'5	2'9	- 0'8
Tseti-la	31 12'	81 24'	5 628	1	" 8	0'45 p	385'0	11'6	2'6
Lager CCXXXIV, Sände-buk	31 13'	81 23'	5 458	2	" 8	9 p	392'5	- 1'5	- 3'8
"	"	"	"	"	" 9	7 a	392'6	2'2	- 1'1
Nebenfluss, Quellensee	31 14'	81 23'	5 466	1	" 9	9 a	391'9	—	—
Pass.	31 20'	81 26'	5 202	1	" 9	1 p	405'2	15'0	3'0
Lager CCXXXV Singe-buk	31' 24'	81 28'	5 079	2	" 9	9 p	412'0	3'5	- 1'0
"	"	"	"	"	" 10	7 a	411'2	6'3	1'0
Lager CCXXXVI, Singi-kabab, Quelle von Indus	31 22'	81 34'	5 165	3	" 10	1 p	406'5	12'3	1'3

Luftfeuchtigkeit			Temperatur- extreme		Aktinometer		Wind		Bewöl- kung 0 10 und Nieder- schlag.	Bemerkungen.
Dampf- druck mm.	Relat. %	Sätti- gungs- deficit mm.	Min. Cels.	Max. Cels.	Schwarz- kugel Cels.	Blank- kugel Cels.	Rich- tung.	Stärke.		
2'3	16	11'9	—	—	—	—	SW	2	2	
2'8	46	3'3	—	—	53'0	33'0	—	0	0	
3'7	51	3'5	-6'2	—	—	—	SW	1	0	Bodennebel.
2'8	18	12'6	—	—	—	—	SW	3	1	
2'5	42	3'4	—	—	52'0	36'0	SW	1	0	
3'4	43	4'5	-6'1	—	—	—	SW	1	1	
1'2	9	12'4	—	—	—	—	SW	4	3	
2'1	41	3'1	—	—	52'7	35'2	—	0	0	
2'7	50	2'8	-9'4	—	—	—	—	0	0	
2'2	18	10'0	—	—	—	—	—	0	1	
1'9	44	2'5	—	—	—	—	—	0	0	
2'2	40	3'4	-8'8	—	—	—	E	1	0	
1'8	18	7'7	—	—	—	—	SW	3	0	
2'4	44	2'0	—	—	—	—	—	0	0	
1'8	35	3'4	-9'4	—	—	—	NW	2	0	
0'6	7	7'2	—	—	—	—	NNW	1	1	
0'9	9	9'6	—	—	—	—	NW	1	1	Temp. 13'2 in Fluss.
3'7	83	0'7	—	—	—	—	E	1	0	
1'9	33	4'0	-8'5	—	—	—	—	0	0	
0'8	11	6'7	—	—	—	—	NW	3	1	
1'3	24	4'2	—	—	—	—	—	0	0	
1'7	26	4'9	-7'9	—	—	—	—	0	0	
5'0	44	6'3	—	—	—	—	SW	2	1	
4'6	39	7'1	—	—	—	—	S	4	2	
3'6	66	1'9	—	—	—	—	WNW	3	1	
3'4	60	2'3	-2'0	—	—	—	W	3	6	
3'3	32	7'0	—	—	—	—	S	3	1	
2'8	68	1'3	—	—	—	—	S	1	0	
3'4	63	2'0	-8'8	—	—	—	S	1	0	
—	—	—	—	—	—	—	—	—	—	
2'6	20	10'2	—	—	—	—	N	4	2	
3'1	53	2'8	—	—	—	—	W	1	0	
3'5	49	3'7	-8'4	—	—	—	—	0	0	Temp. 5'6 im Fluss.
2'2	20	8'5	—	—	—	—	WSW	4	0	

O r t.	Breite N.	Länge E. v. Gr.	Seehöhe		Monat und Tag 1907.	Stun- de.	Luft- druck bei 0 und Normal- schwere mm.	Luft- tempe- ratur Cels.	Feuchtes Thermo- meter Cels.
			Meter.	n.					
Lager CCXXXVI, Singi-kabab, Quelle von Indus	31° 22'	81° 34'	5 165	3	Sept. 10	9 p	407.7	0.6	-3.6
„	„	„	„	„	„ 11	7 a	408.0	2.6	-1.5
Sekundärer Pass Iekung-la	31° 25'	81° 39'	5 294	1	„ 11	11 a	401.0	8.7	-w 0.4
Kurz unterhalb des Passes Lamo-latse-la	—	—	5 320	1	„ 11	1 p	399.8	13.1	1.4
Lamo-latse-la	31° 27'	81° 42'	5 426	1	„ 11	2 p	394.6	12.1	0.6
Lager CCXXXVII	31° 29'	81° 44'	5 176	2	„ 11	9 p	407.4	2.0	-3.6
„	„	„	„	„	„ 12	7 a	407.2	4.6	-1.4
Ebene	31° 31'	81° 49'	5 055	1	„ 12	1 p	413.5	14.6	3.4
Kleiner Pass	31° 33'	81° 54'	5 110	1	„ 12	1.45 p	410.6	14.8	2.8
Lager CCXXXVIII, Dam-tärngo	31° 34'	81° 54'	4 991	2	„ 12	9 p	416.7	1.6	-3.7
„	„	„	„	„	„ 13	7.30 a	416.8	5.8	-1.7
Dam-karchen-la	31° 36'	81° 58'	5 099	1	„ 13	—	411.0	11.7	0.1
Tsalam-ngopta-la	31° 38'	82° 1'	5 078	1	„ 13	—	412.2	14.4	1.4
Lager CCXXXIX, Gyamboche	31° 41'	82° 4'	4 804	2	„ 13	9 p	426.0	2.3	-3.5
„	„	„	„	„	„ 14	7.30 a	427.3	6.8	-0.7
Ebene	31° 45'	82° 6'	4 690	1	„ 14	1 p	432.8	16.6	3.2
Lager CCXL	31° 50'	82° 10'	4 624	2	„ 14	9 p	434.5	4.6	-1.8
„	„	„	„	„	„ 15	7 a	438.1	4.2	-1.6
Thal	31° 50'	82° 14'	4 708	1	„ 15	11 a	431.8	14.5	3.8
Lager CCXLI, Gyäkung	31° 50'	82° 16'	4 802	5	„ 15	1 p	426.3	11.4	1.4
„	„	„	„	„	„ 15	9 p	426.4	-2.1	-6.6
„	„	„	„	„	„ 16	8 a	427.6	3.6	w 0.0
„	„	„	„	„	„ 16	1 p	426.1	8.1	-w 0.5
„	„	„	„	„	„ 17	7.30 a	427.0	4.3	-2.5
Lager CCXLII, Govu	31° 50'	82° 7'	4 660	3	„ 18	7.15 a	436.4	3.4	-2.6
„	„	„	„	„	„ 18	9.30 a	435.7	11.5	1.0
„	„	„	„	„	„ 18	1 p	436.5	18.2	4.0
Lager CCXLIII, Luma-rigmo	31° 58'	81° 57'	4 614	2	„ 18	9 p	438.1	-1.6	-5.0
„	„	„	„	„	„ 19	7 a	439.3	1.5	-2.7
Depression	31° 58'	81° 51'	4 700	1	„ 19	10 a	434.4	12.8	1.1
E. vom Pass	31° 58'	81° 43'	4 766	1	„ 19	1 p	430.9	16.1	2.3
Pass	31° 59'	81° 40'	4 986	1	„ 19	—	419.4	11.1	-w 0.6
Lager CCXLIV, Sariyol	31° 58'	81° 40'	5 021	2	„ 19	9 p	417.0	1.6	-3.6
„	„	„	„	„	„ 20	7 a	418.8	3.0	-1.8
Bokar-la	31° 57'	81° 37'	5 178	1	„ 20	—	409.9	—	—
Ebene	31° 56'	81° 34'	4 842	1	„ 20	11.30 a	427.4	16.0	4.0
Ecke	31° 54'	81° 29'	4 782 ¹⁾	1	„ 20	1 p	430.5	13.6	4.1
Lager CCXLV, Sambuk-sumdo (Indus)	31° 57'	81° 22'	4 698	2	„ 20	9 p	434.5	2.4	-2.5
„	„	„	„	„	„ 21	8 a	435.0	7.9	0.4
Lager CCXLVI, Hlagar	32° 1'	81° 18'	4 672	3	„ 21	1 p	435.3	13.1	2.1

¹⁾ Die Zahl 4 979 auf des Karte (Pl. 13) ist unrichtig.

Luftfeuchtigkeit			Temperatur extreme		Aktinometer		Wind		Bewölkung 0—10 und Nieder- schlag.	Bemerkungen.
Dampfdruck mm.	Relat. %	Sättigungs- deficit mm.	Min. Cels.	Max. Cels.	Schwarz- kugel Cels.	Blank- kugel Cels.	Rich- tung.	Stärke.		
2'4	50	2'4	—	—	—	—	W	2	0	
3'1	55	2'4	-11'5	—	—	—	SE	1	0	
2'1	25	6'3	—	—	—	—	SW	8	0	
2'1	18	9'2	—	—	—	—	S	4	0	
1'9	18	8'7	—	—	—	—	SW	8	0	
1'1	21	4'2	—	—	—	—	SW	7	0	
2'7	42	3'7	-7'7	—	—	—	W	7	0	Stürnig die ganze Nacht.
2'9	23	9'6	—	—	—	—	SW	7	1	
2'5	20	10'1	—	—	—	—	SW	8	1	
2'1	41	3'0	—	—	—	—	W	5	0	
2'2	32	4'7	-8'6	—	—	—	SW	5	0	
1'6	15	8'7	—	—	—	—	SW	4	0	
1'7	14	10'6	—	—	—	—	SW	6	0	
2'0	37	3'4	—	—	—	—	SW	2	0	
2'5	34	4'9	-9'2	—	—	—	W	2	0	
2'1	15	12'1	—	—	—	—	SW	6	0	
2'4	37	4'0	—	—	—	—	SW	5	0	
2'6	41	3'6	-6'2	—	—	—	—	0	0	
3'0	25	9'4	—	—	—	—	N	3	0	
2'3	23	7'8	—	—	—	—	N	3	1 ¹⁰	
1'5	39	2'4	—	—	—	—	E	1	0	
3'5	60	2'4	-12'7	—	—	—	WSW	3	0	
2'2	27	5'9	—	—	—	—	ENE	3	1 ¹⁰	
2'1	33	4'1	-13'8	—	—	—	W	1	0	
2'2	38	3'7	-18'0	—	—	—	—	0	0	
2'0	20	8'2	—	—	—	—	NW	2	0	
2'2	14	13'5	—	—	—	—	NW	4	0	
2'1	53	2'0	—	—	—	—	E	1	0	
2'6	51	2'5	-13'6	—	—	—	—	0	0	
1'7	16	9'4	—	—	—	—	E	1	0	
1'6	12	12'1	—	—	—	—	SW	6	0	
1'3	13	8'6	—	—	—	—	SW	6	0	
2'2	42	2'9	—	—	—	—	WSW	3	0	
2'8	49	2'9	-7'4	—	—	—	E	1	0	
—	—	—	—	—	—	—	SW	3	0	
2'8	21	10'8	—	—	—	—	SW	2	1	
3'6	30	8'1	—	—	—	—	WSW	3	1	
2'5	46	3'0	—	—	—	—	E	1	0	
2'6	33	5'4	-9'0	—	—	—	E	1	0	
2'3	20	9'0	—	—	—	—	SW	8	0	Temp. 12'4 in Fluss.

O r t.	Breite N.	Länge E. v. Gr.	Seehöhe		Monat und Tag 1907.	Stun- de.	Luft- druck bei 0 und Normal- schwere mm.	Luft- tempe- ratur Cels.	Feuchtes Thermo- meter Cels.	
			Meter.	n.					Schleuder- Psychrometer.	
Lager CCXVI, Hlagar	32 1'	81 18'	4 672	3	Sept. 21	9 p	435°0	- 2'1	- 4'4	
'	'	'	'	'	' 22	7 a	435°8	3'6	- 2'6	
Tarruki-la	32 1'	81° 15'	4 874	1	' 22	—	424°0	6'6	- 2'4	
Hügel Särtsoki-la	31 59'	81° 9'	5 028	1	' 22	1 p	415°9	13'3	0'2	
Dotsa-la	31 58'	81 8'	5 045	1	' 22	—	415°1	14°0	0'2	
Lager CCXLVII Dotsa	31 57'	81° 7'	4 885	2	' 22	9 p	423°0	0'4	- 2'1	
'	'	'	'	'	' 23	7 a	423°8	2'7	- 2'1	
Sugu-chu	31 56'	81° 4'	4 786	1	' 23	10 a	428°8	7'5	0'7	
Kleine Schwelle Kung-hle	31 55'	81 0'	4 763	1	' 23	—	430°1	—	—	
Ebene	31° 54'	80° 54'	4 831	1	' 23	1 p	426°0	15'3	1'6	
Lager CCXLVIII, Nyanda-nakpo	31 52'	80° 48'	4 855	1	' 24	7 30 a	425°8	7'6	-w 0'6	
Pass	31° 51'	80 41'	5 171	1	' 24	—	409°4	8'3	- 1'4	
Lager CCXLIX, Takto-serpo	31° 50'	80 40'	5 166	3	' 24	1 p	409°9	9'1	- 1'6	
'	'	'	'	'	' 24	9 p	409°4	- 0'6	- 6'6	
'	'	'	'	'	' 25	7 a	410°2	0'8	- 3'0	
Jukti-hloma-la	31° 48'	80 34'	5 821	2	' 25	12 a	377°6	5'3	- 3'0	
'	'	'	'	'	' 25	2 p	377°1	—	—	
Lager CCL Dunglung-sumdo	31° 49'	80 29'	5 171	2	' 25	9 p	408°2	- 2'7	- 6'0	
'	'	'	'	'	' 26	7 a	409°7	1'2	- 3'7	
Müde des Thales Hloang (Exkursion endet)	31 45'	80 23'	4 620	1	' 26	11 a	432°8	14'2	2'8	
								Assmann's Psychrometer.		
Lager CCLII, Nima-lung	31 51'	80 14'	4 422	3	Okt. 20	1 p	445°4	9'5	- 1'8	
'	'	'	'	'	' 20	9 p	446°4	- 1'4	- 5'7	
'	'	'	'	'	' 21	7 a	448°3	- 6'3	- 9'9	
Pass Chagring-la	31 53'	80 10'	4 534	1	' 21	10 a	441°3	- 0'3	- 5'4	
Chumbo-tso	31 55'	80° 9'	4 382	1	' 21	12 a	449°8	6'3	- 3'3	
Lager CCLIII, Luma-ngoma	31 59'	80 7'	4 372	3	' 21	2 p	450°2	6'5	- 3'9	
'	'	'	'	'	' 21	9 p	450°4	- 1'3	- 6'7	
'	'	'	'	'	' 22	7 a	450°3	- 2'3	- 9'4	
Unterwegs (Chorten-Merbo)	32° 4'	80° 2'	4 311	1	' 22	1 p	453°5	8'9	- 3'1	
Lager CCLIV, Gar-gunsa	32 11'	79° 58'	4 287	53	' 22	9 p	Siehe unten			
					bis Nov. 9	7 a				
Lager CCLV, Chiu	32 17'	79° 52'	4 266	3	Nov. 9	1 p	460°6	3'6	- 4'5	
'	'	'	'	'	' 9	9 p	458°2	- 16'6	- 17'2	
'	'	'	'	'	' 10	7 a	458°3	- 13'4	- 14'9	
Halbwegs	32 22'	79 49'	4 260	—	' 10	1 p	459°6	4'3	-w 0'5	
Lager CCLVI, Languar	32 26'	79 44'	4 258	—	' 10	9 p	456°9	- 10'6	- 12'9	
'	'	'	'	'	' 11	7 a	457°7	- 11'4	- 13'6	

^{b)} Die Zahl 5 825 auf der Karte (Pl. 13) ist unrichtig.

Luftfeuchtigkeit			Temperatur- extreme		Aktinometer		Wind		Bewöl- kung 0—10 und Nieder- schlag.	Bemerkungen.
Dampf- druck mm.	Relat. %	Sätti- gungs- deficit mm.	Min. Cels.	Max. Cels.	Schwarz- kugel Cels.	Blank- kugel Cels.	Rich- tung.	Stärke.		
1'6	29	3'7	—	—	—	—	W	2	0	Temp. 4'5 in Fluss.
2'2	36	3'7	-12'6	—	—	—	—	0	0	
1'6	22	5'7	—	—	—	—	WSW	6	0	
1'2	10	10'3	—	—	—	—	SW	7	0	
1'0	9	11'0	—	—	—	—	SW	8	0	
3'2	68	1'5	—	—	—	—	SE	2	0	
2'7	48	2'9	-8'2	—	—	—	S	2	0	
2'9	38	4'9	—	—	—	—	NE	1	0	
—	—	—	—	—	—	—	WSW	4	0	
1'5	11	11'5	—	—	—	—	WSW	4	0	
2'2	27	5'6	-9'9	—	—	—	S	1	0	
1'8	22	6'4	—	—	—	—	WSW	10	0	
1'5	18	7'2	—	—	—	—	SW	7	0	
1'3	29	3'1	—	—	—	—	SW	3	0	
2'7	55	2'2	-15'4	—	—	—	SW	1	0	
1'8	27	4'9	—	—	—	—	NW	5	0	
—	—	—	—	—	—	—	—	—	—	
2'0	53	1'8	—	—	—	—	—	0	0	
2'2	44	2'8	-11'8	—	—	—	SW	1	0	
2'4	20	9'8	—	—	—	—	SW	3	0	
1'2	14	7'7	—	—	—	—	SW	7	2	Temp. 8'2 in Fluss.
1'8	43	2'3	—	—	—	—	—	0	2	
1'1	38	1'8	-24'8	—	—	—	—	0	0	
1'7	37	2'8	—	—	—	—	SSE	3	2	
1'1	16	6'1	—	—	—	—	SW	5	3	Temp. 60'5 in warmer Quelle.
0'8	11	6'5	—	—	—	—	SW	4	3	
1'3	31	2'9	—	—	—	—	SSW	2	0	
0'3	9	3'6	-19'4	—	—	—	SE	4	0	
0'6	7	8'0	—	—	—	—	SW	4	2	
1'1	19	4'8	—	—	—	—	—	0	1	Dünne Wolken.
0'9	69	0'4	—	—	—	—	—	0	0	
0'9	54	0'7	-23'2	—	—	—	SE	1	0	
3'0	48	3'2	—	—	—	—	—	0	0	
0'9	46	1'1	—	—	—	—	SE	1	0	
0'9	45	1'0	-24'8	—	—	—	—	0	0	

Ort.	Breite N.	Länge E. v. Gr.	Seehöhe		Monat und Tag 1907.	Stun- de.	Luft- druck bei 0° und Normal- schwere mm.	Luft- tempe- ratur Cels.	Feuchtes Thermo- meter Cels.
			Meter.	n.					
Bei dem Zusammenfluss	32° 28'	79° 40'	4254	6	Nov. 11	1 p	458°0	8°3	1°1
Lager CCLVII					" 11	9 p	457°5	- 3°6	- 6°8
"					" 12	7 a	458°8	-10°5	-12°4
"					" 12	1 p	459°0	1°9	- 4°6
"					" 12	9 p	457°5	- 5°8	- 9°2
"					" 13	7 a	459°1	-12°5	-14°1
Lager CCLVIII. Tashi-gang	32° 34'	79° 37'	4248	6	" 13	1 p	457°6	9°0	0°4
"					" 13	9 p	457°6	- 0°6	- 6°7
"					" 14	7 a	458°8	-11°3	-12°9
"					" 14	1 p	458°0	5°9	- 2°4
"					" 14	9 p	458°0	- 6°4	-10°0
"					" 15	7 a	458°0	-11°3	-13°7
Unterwegs (Weg nach Rudok)	32° 36'	79° 35'	4239	1	" 15	1 p	456°1	7°6	-w0°5
Lager CCLIX. Tama-e-kongma	32° 38'	79° 31'	4244	2	" 15	9 p	455°1	- 0°3	- 5°8
"					" 16	7 a	453°8	2°1	- 3°2
Lager CCLX. Demchok	32° 42'	79° 25'	4274	3	" 16	1 p	452°5	6°7	- 1°8
"					" 16	9 p	453°5	- 3°2	- 5°7
"					" 17	7 a	454°5	- 8°4	-10°2
Pass 1 Kamlung-karnak	32° 47'	79° 20'	4302	1	" 17	0°30 p	452°5	4°1	- 3°2
Pass 2 Tutang-la	32° 51'	79° 16'	4333	1	" 17	2 p	450°8	3°1	- 3°5
Lager CCLXI. Na-gangkal	32° 53'	79° 14'	4229	2	" 17	9 p	456°4	- 8°6	-11°5
"					" 18	7 a	459°3	-11°5	-12°6
Lager CCLXII. Puktse	32° 58'	79° 8'	4190	3	" 18	1 p	462°0	1°9	- 3°2
"					" 18	9 p	462°0	-14°7	-16°2
"					" 19	7 a	462°1	-15°6	-17°5
Lager CCLXIII. Dung-kang	33° 4'	79° 1'	4186	3	" 19	1 p	460°7	2°8	-w0°5
"					" 19	9 p	461°1	- 5°1	- 9°8
"					" 20	7 a	460°5	-13°1	-14°7
Lager CCLXIV. Lung-kung	33° 11'	78° 54'	4179	3	" 20	1 p	461°7	3°5	-w0°4
"					" 20	9 p	461°0	- 3°7	- 8°3
"					" 21	7 a	459°8	-11°3	-13°4
Salme-mane. unterwegs	33° 18'	78° 48'	4278	1	" 21	1 p	454°6	1°8	- 4°2
Lager CCLXV. Dung-lung	33° 21'	78° 46'	4449	2	" 21	9 p	444°3	-10°5	-14°3
"					" 22	7 a	446°7	- 6°2	- 8°9
Tsake-la	33° 23'	78° 45'	4653	1	" 22	10°30 a	434°5	- 4°5	- 9°6
Unterwegs	33° 29'	78° 40'	4523	1	" 22	1 p	441°9	0°7	- 6°1
Lager CCLXVI. Chushul	33° 36'	78° 35'	4359	5	" 22	9 p	450°9	- 4°6	- 9°3
"					" 23	7 a	453°6	- 4°9	- 6°7
"					" 23	1 p	451°2	4°0	- 1°6

Luftfeuchtigkeit			Temperatur- extreme		Aktinometer		Wind		Bewöl- kung 0—10 und Nieder- schlag.	Bemerkungen.
Dampf- druck mm.	Relat. %	Sätti- gungs- deficit mm.	Min. Cels.	Max. Cels.	Schwarz- kugel- Cels.	Blank- kugel- Cels.	Rich- tung.	Stärke.		
2'9	35	5'3	—	—	—	—	—	0	0	
1'8	50	1'7	—	—	—	—	SE	2	0	Sturm 7'30 p—9 p. Temp. —0'2 in Fluss.
1'1	53	1'1	—14'6	—	—	—	—	0	0	Temp. 0'0 in Fluss.
1'5	28	3'8	—	—	—	—	—	0	0	Temp. 2'1 in Fluss.
1'2	42	1'8	—	—	47'7	32'1	SE	1	0	
0'9	54	0'8	—19'2	—	—	—	—	0	0	Temp. —0'1 in Fluss.
2'3	26	6'3	—	—	—	—	W	2	3	Temp. 3'4 in Fluss.
1'1	25	3'3	—	—	—	—	W	3	1	
1'1	56	0'8	—18'9 ¹⁾	—	—	—	—	0	0	Temp. 0'1 in Fluss.
1'7	24	5'3	—	—	—	—	—	0	0	Temp. 5'2 in Fluss.
1'1	37	1'7	—	—	42'2	26'0	—	0	0	
0'8	41	1'1	—15'2	—	—	—	—	0	1	Temp. 0'0 in Fluss.
2'1	27	5'7	—	—	—	—	SSW	3	1	
1'4	32	3'1	—	—	—	—	SSW	4	2	
2'2	41	3'1	—5'9	—	—	—	SW	8	4	
1'8	25	5'6	—	—	—	—	SSW	3	6	
2'2	60	1'4	—	—	—	—	SSW	3	0	
1'5	60	0'9	—11'3	—	—	—	—	0	0	
1'7	28	4'4	—	—	—	—	SW	3	1 ¹⁰	
1'8	31	3'9	—	—	—	—	SW	5	1	
1'0	41	1'4	—	—	—	—	—	0	0 ¹⁰	
1'3	66	0'6	—12'1	—	—	—	—	0	0	
2'2	42	3'1	—	—	—	—	—	0	0	
0'8	51	0'7	—	—	—	—	—	0	0	
0'5	28	0'9	—20'3	—	—	—	—	0	0	
3'4	61	2'2	—	—	—	—	—	0	6	
0'8	26	2'3	—	—	—	—	WNW	3	1 ¹⁰	
0'9	52	0'8	—15'2	—	—	—	—	0	0	
3'3	56	2'6	—	—	—	—	NW	3	4	
1'1	32	2'4	—	—	—	—	NW	1	1 ¹⁰	
0'9	47	1'1	—14'9 ²⁾	—	—	—	NW	3	2	Dünne Wolken.
1'7	33	3'5	—	—	—	—	SW	6	6	Zeitweilig starke Windstöße.
0'4	20	1'7	—	—	—	—	WSW	2	0	
1'5	51	1'4	—10'5	—	—	—	—	0	0	
0'8	25	2'5	—	—	—	—	SE	5	1	
1'1	23	3'7	—	—	—	—	SE	4	2	
0'9	28	2'4	—	—	—	—	SW	1	1	
2'1	67	1'1	—7'3	—	—	—	—	0	1 ¹⁰	
2'6	43	3'5	—	—	—	—	—	0	3	

1) Das Tagebuch hat —8'9.

2) Das Tagebuch hat —9'9.

Luftfeuchtigkeit			Temperatur- extreme		Aktinometer		Wind		Bewöl- kung 0-10 und Nieder- schlag.	Bemerkungen.
Dampf- druck mm.	Relat. %.	Sätti- gungs- deficit mm.	Min. Cels.	Max. Cels.	Schwarz- kugel Cels.	Blank- kugel Cels.	Rich- tung.	Stärke.		
1'3	42	1'8	—	—	44'0	27'5	—	0	2	
1'1	44	1'3	-13'9	—	—	—	—	0	0	
1'5	42	2'2	—	—	—	—	WSW	4	9	
1'2	28	2'9	—	—	—	—	WSW	3	10	
1'1	56	0'9	—	—	—	—	SE	1	1	
1'0	52	0'9	-11'4	—	—	—	—	0	1	Dünne Wolken.
1'3	26	3'8	—	—	—	—	WSW	3	9	Zeitweilig Sturm.
1'0	28	2'6	—	—	—	—	—	0	8	
1'5	59	1'0	-19'8	—	—	—	—	0	0	
2'3	56	1'9	—	—	—	—	SE	5	1	
2'0	37	3'6	—	—	—	—	NW	3	3	
1'3	41	1'9	—	—	—	—	E	1	0	
0'9	40	1'2	-13'8	—	—	—	—	0	2	Dünne Wolken.
2'6	36	4'6	—	—	—	—	—	0	1	
0'7	21	2'6	—	—	—	—	—	0	3	Dünne Wolken.
1'6	41	2'3	-7'8	—	—	—	—	0	10	
3'2	60	2'1	—	—	—	—	—	0	10	
1'1	27	3'2	—	—	—	—	SE	4	1	Dünne Wolken.
1'3	35	2'4	-11'7	—	—	—	SE	3	3	
1'1	26	3'2	—	—	—	—	SE	5	10	Zeitweilig Sturm.
1'2	42	1'6	—	—	—	—	—	0	1/10	
0'7	29	1'6	-17'9	—	—	—	—	0	0	
1'1	30	2'4	—	—	—	—	SE	4	7	
0'5	22	2'0	—	—	48'7	26'7	NW	2	0	
0'7	21	2'6	-19'3	—	—	—	—	0	1	
1'1	27	2'8	—	—	—	—	—	0	10	
0'5	28	1'3	—	—	—	—	—	0	0	
0'6	49	0'6	-21'9	—	—	—	—	0	0	
0'8	26	2'2	—	—	—	—	NW	3	0	
0'6	37	1'0	—	—	—	—	—	0	0	
0'6	43	0'8	—	—	—	—	—	0	0	
1'4	43	1'9	—	—	—	—	—	0	0	
1'1	59	0'7	—	—	—	—	—	0	0	
1'9	55	1'6	—	—	—	—	—	0	0	
1'0	32	2'1	—	—	—	—	SE	1	0	
1'4	36	2'4	-9'2	—	—	—	—	0	10	Dichtes Gewölk.
2'1	39	3'2	—	—	—	—	WNW	2	10	Dichtes Gewölk.
2'2	57	1'6	—	—	—	—	N	3	9	Klarer Himmel im E.
2'4	65	1'3	-11'0	—	—	—	—	0	0	Ganz klarer Himmel.

O r t .	Breite N.	Länge E. v. Gr.	Seehöhe		Monat und Tag 1907.	Stun- de.	Luft- druck bei 0 und Normal- schwere mm.	Luft- tempe- ratur Cels.	Feuchtes Thermo- meter Cels.
			Meter.	n.					
Lager CCLXXII. Chong-jangal	34 11'	78° 13'	3744	3	Dec. 6	2'30 p	487'3	2'4	- 4'4
„	„	„	„	„	„ 6	9 p	487'1	- 2'6	- 6'6
„	„	„	„	„	„ 6	7'30 a	486'8	- 6'6	- 9'5
Shayok, 2:te Übergang	34 20'	78 16'	3801	1	„ 7	1 p	482'2	1'6	- 1'6
Lager CCLXXIII. Kaptar-khane	34 22'	78 15'	3835	2	„ 7	9 p	479'5	- 4'4	- 9'4
„	„	„	„	„	„ 8	7'45 a	480'9	- 6'4	- 9'6
Lager CCLXXIV. Dung-yailak	34 26'	78° 17'	3952	6	„ 8	1 p	471'8	0'5	- 5'5
„	„	„	„	„	„ 8	9 p	472'8	- 4'2	- 0'3
„	„	„	„	„	„ 9	8 a	472'6	- 6'5	- 10'5
„	„	„	„	„	„ 9	1 p	471'8	- 3'6	- 8'7
„	„	„	„	„	„ 9	9 p	475'5	- 9'2	- 12'3
„	„	„	„	„	„ 10	7'45 a	477'5	- 11'2	- 13'0
Nahe bei dem Lager	—	—	3963	1	„ 10	1 p	437'9	- 7'8	- 11'2
Lager CCLXXV. Charvagh	34 31'	78 11'	3961	2	„ 10	9 p	473'9	- 12'4	- 15'0
„	„	„	„	„	„ 11	8 a	474'5	- 12'6	- 15'0
Lager CCLXXVI. Yulghunluk	34 40'	78 10'	4101	6	„ 11	2 p	465'1	- 9'5	- 12'3
„	„	„	„	„	„ 11	9 p	466'0	- 14'3	- 16'5
„	„	„	„	„	„ 12	9 a	466'8	- 13'2	- 14'7
„	„	„	„	„	„ 12	1 p	464'9	- 6'5	- 10'0
„	„	„	„	„	„ 12	9 p	466'5	- 15'0	- 16'6
„	„	„	„	„	„ 13	8 a	466'8	- 18'6	- 19'5
Lager CCLXXVII. Shialung	34 47'	78 7'	4176	3	„ 13	1 p	460'9	- 6'4	- 8'4
„	„	„	„	„	„ 13	9 p	460'0	- 15'8	- 17'5
„	„	„	„	„	„ 14	8 a	460'1	- 11'6	- 13'0
Lager CCLXXVIII. Kōteklik	34 53'	78° 4'	4307	3	„ 14	1 p	453'2	- 7'2	- 10'3
„	„	„	„	„	„ 14	9 p	454'2	- 14'2	- 15'0
„	„	„	„	„	„ 15	8 a	453'3	- 14'2	- 14'4
Lager CCLXXIX	34 59'	77 56'	4396	3	„ 15	1 p	446'8	- 6'0	- 10'4
„	„	„	„	„	„ 15	9 p	447'2	- 11'8	- 14'8
„	„	„	„	„	„ 16	7'30 a	448'9	- 15'8	- 16'6
Lager CCLXXX	34 59'	77 51'	4423	3	„ 16	2 p	443'4	- 11'2	- 14'9
„	„	„	„	„	„ 16	9 p	447'1	- 18'2	- 20'2
„	„	„	„	„	„ 17	8 a	447'1	- 20'2	- 20'9
Lager CCLXXXI. Long	35 5'	77 46'	4663	3	„ 17	3 p	430'9	- 17'7	- 19'0
„	„	„	„	„	„ 17	9 p	432'6	- 26'0	- 27'2
„	„	„	„	„	„ 18	8 a	432'6	- 22'6	- 22'2
Pass	35 3'	77 49'	4731	1	„ 18	1 p	427'8	- 15'8	- 16'4
Lager CCLXXXII. Bulak	35 5'	77 52'	4544	2	„ 18	9 p	437'5	- 22'2	- 23'3

Luftfeuchtigkeit			Temperatur- extreme		Aktinometer		Wind		Bewöl- kung 0-10 und Nieder- schlag.	Bemerkungen.
Dampf- druck mm.	Relat. %	Sätti- gungs- deficit mm.	Min. Cels.	Max. Cels.	Schwarz- kugel Cels.	Blank- kugel Cels.	Rich- tung.	Stärke.		
1'4	25	4'1	—	—	—	—	SW	3	5	
1'6	41	2'2	—	—	—	—	SSW	5	0	Stossweise frischer Wind.
1'3	45	1'5	- 8'6	—	—	—	SSW	1	1	
3'1	61	2'0	—	—	—	—	SSW	3	2	
0'8	23	2'5	—	—	—	—	SSE	2	0	
1'2	41	1'6	-16'4	—	—	—	—	0	1	
1'3	28	3'5	—	—	—	—	S	4	4	
0'8	23	2'6	—	—	—	—	SSE	2	0	
0'8	30	2'0	-14'6	—	—	—	S	7	10	Stossweise starker Wind.
0'9	25	2'6	—	—	—	—	NNE	2	9	
0'8	24	2'5	—	—	—	—	N	3	0	
1'0	52	0'9	-19'1	—	—	—	—	0	0	
0'9	34	1'7	—	—	—	—	—	0	0	
0'6	32	1'2	—	—	—	—	N	2	0	
0'6	36	1'1	-18'2	—	—	—	N	5	10	
0'9	39	1'3	—	—	—	—	NNW	1	9	
0'5	35	1'0	—	—	—	—	N	2	0	Vollkommen klarer Himmel, be- sonders hell funkelnde Sterne.
0'9	54	0'8	-21'2	—	—	—	NNW	3	0	
1'1	38	1'7	—	—	—	—	S	3	0	
0'7	47	0'7	—	—	—	—	NNW	1	0	Vollkommen klarer Himmel, be- sonders hell funkelnde Sterne.
0'6	55	0'5	-20'9	—	—	—	SE	1	0	
1'7	61	1'1	—	—	—	—	—	0	0	
0'6	42	0'7	—	—	—	—	NNW	1	0	Vollkommen klarer Himmel, be- sonders hell funkelnde Sterne.
1'1	60	0'8	-19'3	—	—	—	N	1	2	Wölkchen im N.
1'1	42	1'6	—	—	—	—	SE	4	10	
1'0	67	0'5	—	—	—	—	W	2	2	
1'2	81	0'3	-23'6	—	—	—	—	0	0	
0'8	28	2'1	—	—	—	—	W	4	0	
0'6	30	1'3	—	—	—	—	—	0	0	
0'9	65	0'4	-20'9	—	—	—	S	3	4	Dünne Wölkchen.
0'4	19	1'6	—	—	—	—	W	3	0	
0'3	26	0'8	—	—	—	—	W	2	0	
0'5	59	0'4	-24'6	—	—	—	W	6	0	
0'5	48	0'6	—	—	—	—	W	5	0	
0'1	20	0'5	—	—	—	—	NE	1	1	Einige wenige Wölkchen im SW.
0'7	95	0'1	-31'4	—	—	—	—	0	0	
0'9	70	0'4	—	—	—	—	—	0	0	
0'3	40	0'5	—	—	—	—	W	5	0	

O r t.	Breite N.	Länge E. v. Gr.	Seehöhe		Monat und Tag 1907.	Stun- de.	Luft- druck bei 0 und Normal- schwere mm.	Luft- tempe- ratur Cels.	Feuchtes Thermo- meter Cels.
			Meter.	n.					
Lager CCLXXXII. Bulak	35° 3'	77° 52'	4544	2	Dec. 19	7 ³⁰ a	439°0	-19°5	-19°4
Höchster Punkt	35° 3'	77° 52'	4823	1	» 19	1 p	422°6	-17°6	-18°4
Lager CCLXXXIII. Birtse	35° 8'	77° 50'	4808	»	» 19	9 p	423°6	-29°1	-29°6
»	»	»	»	»	» 20	8 a	425°0	-25°1	-24°8
Wendepunkt im Thale	35° 11'	78° 8'	5040	1	» 20	1 p	412°4	-20°6	—
Lager CCLXXXIV	35° 11'	78° 6'	4995	2	» 20	9 p	415°1	-29°8	-30°0
»	»	»	»	»	» 21	9 a	415°1	-30°4	-30°2
Lager CCLXXXV	35° 9'	78° 1'	4880	6	» 21	1 p	421°0	-15°0	-15°4
»	»	»	»	»	» 21	9 p	422°6	-24°4	-25°2
»	»	»	»	»	» 22	9 ³⁰ a	422°9	-18°2	-17°8
»	»	»	»	»	» 22	1 p	420°6	-14°0	-15°4
»	»	»	»	»	» 22	9 p	420°9	-17°0	-17°9
»	»	»	»	»	» 23	8 a	418°1	-7°9	-11°0
Grosses Zusammentreffen von Thälern	35° 12'	77° 57'	5099	1	» 23	1 p	408°9	-9°8	-12°2
Lager CCLXXXVI. Kizil-unkur	35° 14'	77° 58'	5128	2	» 23	9 p	407°1	-13°4	-15°6
»	»	»	»	»	» 24	8 a	407°8	-18°1	-18°3
Pass	35° 16'	77° 57'	5428	1	» 24	10 a	391°8	-12°4	-13°5
Lager CCLXXXVII	35° 19'	78° 3'	5227	3	» 24	2 p	400°2	-13°6	-16°0
»	»	»	»	»	» 24	9 p	403°1	-27°1	-27°7
»	»	»	»	»	» 25	8 ³⁰ a	402°6	-27°1	-26°2
Nähe bei dem Lager CCLXXXVIII	35° 21'	78° 8'	5230	1	» 25	1 p	402°2	-13°4	-14°9
Lager CCLXXXVIII	35° 20'	78° 9'	5208	2	» 25	9 p	403°5	-26°4	-27°4
»	»	»	»	»	» 26	8 a	403°0	-20°6	-20°4
Lager CCLXXXIX	35° 21'	78° 21'	5383	3	» 26	1 p	394°1	-12°1	-13°7
»	»	»	»	»	» 26	9 p	395°5	-17°4	-18°2
»	»	»	»	»	» 27	7 a	395°0	-14°3	-15°0
Lager CCXC	35° 21'	78° 24'	5379	3	» 27	1 p	394°4	-10°6	-12°9
»	»	»	»	»	» 27	9 p	395°6	-13°9	-15°4
»	»	»	»	»	» 28	8 a	394°2	-14°9	-16°1
Quellen-Passage	35° 21'	78° 29'	5346	1	» 28	11 a	396°0	-13°4	-13°9
Lager CCXCI	35° 21'	78° 33'	5299	3	» 28	1 p	397°5	-14°0	-15°1
»	»	»	»	»	» 28	9 p	399°7	-19°4	-20°2
»	»	»	»	»	» 29	8 a	398°5	-14°2	-15°0
Lager CCXCII	35° 19'	78° 41'	5246	3	» 29	1 p	400°0	-11°2	-14°2
»	»	»	»	»	» 29	9 p	401°0	-16°0	-17°2
»	»	»	»	»	» 30	8 a	401°1	-17°6	-18°6
Halbwegs	35° 18'	78° 43'	5196	1	» 30	12 a	402°4	-14°4	-15°6

Luftfeuchtigkeit			Temperatur- extreme		Aktinometer		Wind		Bewöl- kung 0—10 und Nieder- schlag.	Bemerkungen.
Dampf- druck mm.	Relat. %	Sätti- gungs- deficit mm.	Min. Cels.	Max. Cels.	Schwarz- kugel Cels.	Blank- kugel Cels.	Rich- tung.	Stärke.		
08	85	0.2	-27.7	—	—	—	W	1	0	
07	57	0.5	—	—	—	—	E	1	0	
02	47	0.2	—	—	—	—	—	0	0	
05	92	0.1	-35.3	—	—	—	—	0	0	
—	—	—	—	—	—	—	E	1	0	
03	64	0.1	—	—	—	—	—	0	0	Schwacher Hauch vom E.
03	89	0.1	-34.8	—	—	—	—	0	0	
11	76	0.3	—	—	—	—	—	0	0	
03	44	0.3	—	—	—	—	N	2	0	
10	94	0.1	-29.9	—	—	—	NW	1	0	
09	56	0.7	—	—	—	—	NE	1	4	Wolken am meisten im S.
07	61	0.5	—	—	26.5	54.4	—	0	10	Sehr dünner Schleier.
11	42	1.4	-17.2	—	—	—	S	6	10	Dichtes Gewölk, stossweise frischer Wind.
11	49	1.1	—	—	—	—	NW	5	10	
07	42	0.9	—	—	—	—	—	8	10	Dichtes Gewölk, starker Wind stossweise aus allen Richtungen
09	78	0.2	-25.1	—	—	—	—	0	0	
12	66	0.6	—	—	—	—	SW	2	0	
06	39	1.0	—	—	—	—	SW	3	1	Wölkchen im SW.
02	46	0.3	—	—	—	—	—	0	0	Vollkommen klarer Himmel. be- sonders hell funkelnde Sterne.
06	122	-0.1	-38.6	—	—	—	SW	1	0	
09	56	0.7	—	—	—	—	W	2	0	
02	30	0.3	—	—	—	—	—	0	0	
08	88	0.1	-31.7	—	—	—	—	0	9	Dichtes Gewölk im W.
11	58	0.7	—	—	—	—	WSW	3	10	Dichtes Gewölk überall.
07	63	0.5	—	—	—	—	—	0	0	Dunst im W.
11	71	0.4	-19.1	—	—	—	—	0	≡ 10	Dichtes Gewölk und Bodennebel.
10	50	1.0	—	—	—	—	W	5	≡ 10	≡ ap.
09	56	0.7	—	—	—	—	W	5	10	Dichtes Gewölk.
09	60	0.5	-17.4	—	—	—	W	3	10	Stosswinde.
13	77	0.3	—	—	—	—	W	2	10	Dunst, Temp. 0.9. in Bach.
10	63	0.6	—	—	—	—	W	8	* 10	* zerstreute Körnchen, dichter Dunst. Sturm 1 p.
06	59	0.4	—	—	—	—	W	1	0	
11	69	0.4	-29.9	—	—	—	E	2	5	Dünne Wolken.
07	35	1.3	—	—	—	—	S	6	10	
08	57	0.5	—	—	—	—	W	2	10	
07	58	0.5	-17.8	—	—	—	W	4	* 10	Sehr dichtes Gewölk. leichter *
09	61	0.6	—	—	—	—	SW	5	10	

O r t.	Breite N.	Länge E. v. Gr.	Seehöhe		Monat und Tag 1907—1908.	Stun- de.	Luft- druck bei 0' und Normal- schwere mm.	Luft- tempe- ratur Cels.	Feuchtes Thermo- meter Cels.
			Meter.	n.					
Lager CCXCIII	35° 17'	78° 45'	5 140	7	Dec. 30	1 p	403'3	-15'9	-17'5
„	„	„	„	„	„ 30	9 p	406'6	-19'6	-21'2
„	„	„	„	„	„ 31	9 a	406'5	-17'6	-18'0
„	„	„	„	„	„ 31	1 p	404'8	-14'8	-16'8
„	„	„	„	„	„ 31	9 p	406'2	-18'4	-19'8
1908									
Lager CCXCIII	„	„	„	„	Jan. 1	8 a	406'1	-17'2	-17'9
Lager CCXCIV	35° 13'	78° 49'	5 300	3	„ 1	1 p	396'6	-12'2	-14'4
„	„	„	„	„	„ 1	9 p	399'0	-19'8	-21'5
„	„	„	„	„	„ 2	8 a	399'7	-17'2	-17'2
Lager CCXCIII	35° 17'	78° 45'	5 140	7	„ 2	12 a	407'4	-11'9	—
Lager CCXCV	35 19'	78 47'	5 088	3	„ 2	1 p	409'1	-11'6	-14'2
„	„	„	„	„	„ 2	9 p	411'5	-21'3	-22'0
„	„	„	„	„	„ 3	8 a	408'7	- 7'8	- 8'6
Lager CCXCVI. Vapchan	35 18'	78 56'	5 201	6	„ 3	1 p	401'4	-12'9	-14'0
„	„	„	„	„	„ 3	9 p	403'0	-17'4	-17'9
„	„	„	„	„	„ 4	8 a	403'8	-17'4	-17'8
„	„	„	„	„	„ 4	1 p	403'8	-14'0	-15'7
„	„	„	„	„	„ 4	9 p	405'2	-19'5	-21'2
„	„	„	„	„	„ 5	8 a	405'8	-19'2	-18'5
Pass	35 18'	79° 2'	5 485	1	„ 5	—	389'6	-12'4	-14'0
Lager CCXCVII	35 18'	79 4'	5 260	3	„ 5	1 p	398'7	-14'4	-14'4
„	„	„	„	„	„ 5	9 p	401'6	-23'2	-24'3
„	„	„	„	„	„ 6	8 a	403'1	-21'9	-21'4
Pass	35° 15'	79° 8'	5 488	1	„ 6	12 a	389'4	-17'0	-17'1
Lager CCXCVIII	35 13'	79° 12'	5 148	6	„ 6	1 p	406'9	-10'1	-12'6
„	„	„	„	„	„ 6	9 p	407'7	-21'9	-23'3
„	„	„	„	„	„ 7	9 a	407'3	-20'9	-21'7
„	„	„	„	„	„ 7	1 p	406'9	-10'0	-12'9
„	„	„	„	„	„ 7	9 p	408'0	-14'0	-15'1
„	„	„	„	„	„ 8	8 a	408'8	-15'9	-16'4
Pass	35 15'	79 17'	5 355	1	„ 8	11'30 a	397'8	-13'4	-14'2
Lager CCXCIX	35° 16'	79° 23'	5 165	3	„ 8	1 p	406'0	-10'3	-11'3
„	„	„	„	„	„ 8	9 p	407'5	-14'8	-16'0
„	„	„	„	„	„ 9	8 a	406'8	-14'2	-15'3
Bei der Quelle	35 16'	79 26'	4 981	5	„ 9	10 a	414'4	- 7'1	-10'3

Luftfeuchtigkeit			Temperatur- extreme		Aktinometer		Wind		Bewöl- kung 0-10 und Nieder- schlag.	Bemerkungen.
Dampf- druck mm.	Relat. %	Sätti- gungs- deficit mm.	Min. Cels.	Max. Cels.	Schwarz- kugel Cels.	Blank- kugel Cels.	Rich- tung.	Stärke.		
06	47	07	—	—	—	—	SW	6	11	
03	35	07	—	—	—	—	SE	2	0	Völlig heiter.
08	73	02	-27.1	—	—	—	S	6	10	Dünne Wolken.
06	42	09	—	—	—	—	S	5	10	
05	45	06	—	—	—	—	SSW	2	3	Wolken im W.
08	66	04	-22.2	—	—	—	W	3	10	Wölkchen in W und N.
08	46	10	—	—	—	—	W	8	1	Starke Stosswinde, leichte Wolk- chen im W.
03	32	07	—	—	—	—	SW	2	0	Vollkommen heiter.
10	84	02	-25.2	—	—	—	—	0	1	Kleine Wölkchen.
—	—	—	—	—	—	—	S	5	9	Klarer Himmel im N, Stoss- winde.
08	40	11	—	—	—	—	SW	5	9	
05	57	03	—	—	—	—	SW	1	0	
20	78	06	-22.4	—	—	—	—	0	≡ ² 10 * 10	Ausserordentlich dichter nebelähn- licher Schneefall. * gefallen auf den Gebirgen.
11	65	06	—	—	—	—	SW	5	≡ ² 10 * 10	Stosswinde, ≡*.
08	71	04	—	—	—	—	—	0	* ² 10	Dünner Schleier, dichter Schneefall.
09	73	03	-28.8	—	—	—	SW	2	1	
08	51	08	—	—	—	—	WSW	7	4	Stosswinde, weisse Wölkchen.
03	33	07	—	—	3.4	25.5	—	0	0	Vollkommen klarer Himmel, he- sonders klar funkelnde Sterne.
10	103	00	-22.7	—	—	—	—	0	≡ ² 10	* n, ≡ ² S a.
10	57	08	—	—	—	—	WSW	5	3	
13	86	02	—	—	—	—	SW	4	2	
03	39	04	—	—	—	—	SW	4	0	Vollkommen klarer Himmel.
08	99	00	-33.4	—	—	—	—	0	0	
10	82	02	—	—	—	—	SE	4	0	
10	46	11	—	—	—	—	SW	3	0	
03	38	05	—	—	—	—	S	4	0	
05	55	04	-30.2	—	—	—	—	0	1	Leichte Wölkchen.
09	40	12	—	—	—	—	SW	7	9	
10	63	06	—	—	—	—	SW	8	0	Sturm den ganzen Tag.
10	73	03	-18.5	—	—	—	SW	6	10	Starker Dunst.
12	71	04	—	—	—	—	SW	6	1	
15	72	06	—	—	—	—	SW	4	7	Dünne Wolken.
09	59	06	—	—	—	—	SW	3	1	Wölkchen im W, Stosswinde.
10	62	05	-18.8	—	—	—	WSW	2	10	Dichtes Gewölk.
12	40	11	—	—	—	—	S	5	10	Temp. 06' mitten in der Quelle.

O r t.	Breite N.	Länge E. v. Gr.	Seehöhe		Monat und Tag 1908.	Stun- de.	Luft- druck bei 0 und Normal- schwere mm.	Luft- tempe- ratur Cels.	Feuchtes Thermo- meter Cels.
			Meter.	n.					
Lager CCC am oberhalb der Quelle . . .	35° 16'	79° 26'	4 983	5	Jan. 9	1 p	415·2	--10°0	--11°0
»	»	»	»	»	» 9	9 p	416·4	-14·5	-15·5
»	»	»	»	»	» 10	8 a	416·2	-14·4	-14·4
Lager CCCI ganz nahe bei dem Lager VIII von 1906	35° 8'	79° 38'	4 916	»	» 10	1 p	415·7	- 7·2	-10·1
»	»	»	»	»	» 10	9 p	417·2	-17·8	-19·1
»	»	»	»	»	» 11	8 a	415·4	-17·2	-18·0
Lager CCCII = Lager IX 1906	35° 7'	79° 49'	4 914	9	» 11	1 p	412·6	- 6·9	- 9·6
»	»	»	»	»	» 11	9 p	413·5	-14·0	-15·0
»	»	»	»	»	» 12	8 a	414·1	-12·8	-13·1
»	»	»	»	»	» 12	1 p	414·3	- 7·8	- 7·8
»	»	»	»	»	» 12	9 p	415·5	-20·0	-21·1
»	»	»	»	»	» 13	8 a	416·3	-18·7	-18·2
Lager CCCIII	35° 3'	80° 3'	4 935	3	» 13	1 p	413·1	-12·1	-13·3
»	»	»	»	»	» 13	9 p	416·9	-26·8	-27·2
»	»	»	»	»	» 14	8 a	417·2	-27·2	-26·2
Tiefste Stelle einer Ebene	35° 1'	80° 7'	4 928	1	» 14	11 a	416·5	-18·6	-18·2
Lager CCCIV	34° 58'	80° 12'	4 945	3	» 14	1 p	414·4	-12·8	-13·1
»	»	»	»	»	» 14	9 p	416·6	-28·9	-29·1
»	»	»	»	»	» 15	8 a	417·2	-27·6	-27·4
Lager CCCV	30° 54'	80° 18'	5 058	3	» 15	1 p	410·1	-13·9	-14·2
»	»	»	»	»	» 15	9 p	411·2	-27·0	-27·9
»	»	»	»	»	» 16	8 a	411·4	-23·1	-22·6
Pass	34 52'	80 19'	5 161	1	» 16	—	405·9	-15·1	-15·2
Lager CCCVI	34 51'	80° 23'	5 095	6	» 16	1 p	408·0	-12·2	-12·8
»	»	»	»	»	» 16	9 p	409·9	-21·0	-21·6
»	»	»	»	»	» 17	8 a	410·9	-15·4	-16·4
»	»	»	»	»	» 17	1 p	409·5	-10·0	-10·1
»	»	»	»	»	» 17	9 p	411·1	-16·4	-18·0
»	»	»	»	»	» 18	8 a	410·3	-13·4	-13·5
Lager CCCVII	34 50'	80 30'	5 110	3	» 18	1 p	408·2	- 3·4	- 6·9
»	»	»	»	»	» 18	9 p	410·0	- 9·4	-11·2
»	»	»	»	»	» 19	8 a	409·1	-13·9	-13·0
Pass	—	—	5 345	1	» 19	12 a	396·4	- 5·1	- 8·3
Lager CCCVIII gleich unterhalb des Passes	34 48'	80° 38'	5 305	3	» 19	1 p	397·2	- 5·6	- 9·3
»	»	»	»	»	» 19	9 p	398·1	-13·5	-14·1
»	»	»	»	»	» 20	8 a	399·3	-14·1	-14·6
Pass	34 43'	80° 36'	5 324	1	» 20	11·30 a	396·3	- 7·5	-10·5

Luftfeuchtigkeit			Temperatur- extreme		Aktinometer		Wind		Bewöl- kung 0—10 und Nieder- schlag.	Bemerkungen.
Dampf- druck mm.	Relat. %.	Sätti- gungs- deficit mm.	Min. Cels.	Max. Cels.	Schwarz- kugel Cels.	Blank- kugel Cels.	Rich- tung.	Stärke.		
1'5	71	0'6	—	—	—	—	S	3	×10	Ausserordentlich dichter leichter Schneefall.
1'0	64	0'5	—	—	—	—	S	5	10	Ausserst dünner Schleier.
1'3	81	0'2	-23'1	—	—	—	S	2	9	× n.
1'3	47	1'4	—	—	—	—	SW	7	10	
0'5	49	0'6	—	—	—	—	SW	1	10	Sehr dünne Bewölkung.
0'8	64	0'4	-23'9	—	—	—	SW	1	10	
1'4	51	1'3	—	—	—	—	ESE	7	9	Sturm.
1'0	65	0'6	—	—	—	—	SW	2	10	Dünnes Gewölk.
1'4	81	0'3	-18'6	—	—	—	W	7	10	× n, dichtes Gewölk.
2'3	91	0'3	—	—	—	—	WSW	3	10	
0'4	48	0'5	—	—	—	—	—	0	1	Wölkchen in W und NW.
1'0	97	0'1	-28'0	—	—	—	WSW	2	4	
1'2	65	0'6	—	—	—	—	W	3	4	
0'3	57	0'2	—	—	—	—	S	2	0	
0'6	137	-0'1	-36'1	—	—	—	—	0	1	Leichter Dunst am Horizonte.
1'0	94	0'1	—	—	—	—	S	1	0	
1'4	81	0'3	—	—	—	—	N	1	0	
0'3	64	0'1	—	—	—	—	—	0	0	Vollkommen klarer Himmel, be- sonders hell funkelnde Sterne.
0'4	87	0'1	-39'8	—	—	—	—	0	0	
1'3	81	0'3	—	—	—	—	—	0	0	Dünner Dunst.
0'2	33	0'3	—	—	—	—	SE	3	0	
0'7	99	0'0	-34'4	—	—	—	—	0	0	Leichter Dunst um die Gebirge.
1'2	83	0'2	—	—	—	—	SE	1	1	Leichte Wölkchen.
1'4	76	0'4	—	—	—	—	SW	1	1	Dünne Wölkchen.
0'5	62	0'4	—	—	—	—	—	0	0	Dunst, Mondring (Mondhalo).
0'9	62	0'5	-26'6	—	—	—	E	3	0	
1'9	88	0'2	—	—	—	—	SE	2	1	
0'6	46	0'7	—	—	32'8	10'4	—	0	0	
1'4	85	0'2	-24'8	—	—	—	—	0	2	Leichter Hauch, dünne Wölkchen.
1'8	49	1'8	—	—	—	—	WSW	5	9	
1'3	59	1'0	—	—	—	—	SW	4	0	
1'7	106	-0'1	-23'9	—	—	—	—	0	0	
1'6	50	1'5	—	—	—	—	WSW	8	8	
1'3	42	1'7	—	—	—	—	WSW	10	10	
1'2	74	0'4	—	—	—	—	WSW	1	10	Orkan 8 p. sodann starker Wind die ganze Nacht.
1'2	75	0'3	-24'6	—	—	—	WSW	1	1/10	
1'2	46	1'4	—	—	—	—	SW	8	1	

O r t.	Breite N.	Länge E. v. Gr.	Seehöhe.		Monat und Tag 1908.	Stun- de.	Luft- druck bei 0 und Normal- schwere mm.	Luft- tempe- ratur Cels.	Feuchtes Thermo- meter Cels.
			Meter.	n.				Assmann's Psychrometer.	
Lager CCCIX	34° 42'	80° 36'	5 242	6	Jan. 20	1 p	398'7	-10'4	-13'0
»	»	»	»	»	» 20	9 p	401'8	-14'4	-16'6
»	»	»	»	»	» 21	8 a	401'2	-10'8	-12'7
»	»	»	»	»	» 21	1 p	401'0	- 8'9	-10'1
»	»	»	»	»	» 21	9 p	402'2	-14'2	-15'6
»	»	»	»	»	» 22	8 a	403'3	-12'3	-13'3
Pass	34 39'	80° 41'	5 250	1	» 22	—	402'2	- 6'4	- 9'4
Lager CCCX	34 38'	80° 42'	5 244	6	» 22	1 p	402'9	- 5'8	- 9'1
»	»	»	»	»	» 22	9 p	404'1	-12'5	-14'1
»	»	»	»	»	» 23	8 a	402'6	- 7'9	- 8'8
»	»	»	»	»	» 23	1 p	399'5	- 7'4	- 9'4
»	»	»	»	»	» 23	9 p	401'3	-16'4	-16'4
»	»	»	»	»	» 24	8 a	401'0	-17'2	-16'2
Pass	34 39'	80° 44'	5 291	1	» 24	10 a	398'3	- 9'9	—
Lager CCCXI	34 39'	80° 51'	5 296	3	» 24	1 p	396'9	- 8'5	-10'6
»	»	»	»	»	» 24	9 p	398'8	-19'4	-20'6
»	»	»	»	»	» 25	8 a	396'5	-16'9	-17'7
Lager CCCXII	34 36'	80° 59'	5 337	3	» 25	1 p	392'9	-12'6	-14'4
»	»	»	»	»	» 25	9 p	394'7	-18'0	-19'1
»	»	»	»	»	» 26	8 a	394'4	-16'2 ¹⁾	-17'7 ¹⁾
Lager CCCXIII am See Arport-Iso	34 30'	81° 4'	5 298	6	» 26	3 p	393'9	-15'5	-17'4
»	»	»	»	»	» 26	9 p	396'7	-18'8	-20'2
»	»	»	»	»	» 27	8 a	395'7	-16'8	-17'6
Lager CCCXIV am See Arport-Iso	34 30'	81° 5'	5 298	6	» 27	1 p	394'9	-15'9	-16'6
»	»	»	»	»	» 27	9 p	396'0	-22'5	-23'5
»	»	»	»	»	» 28	8 a	396'9	-19'4	-19'1
Pass	34 28'	81° 12'	5 572	1	» 28	12 a	381'7	-17'2	-18'0
Lager CCCXV	34 28'	81° 16'	5 374	3	» 28	2 p	389'5	-14'4	-16'3
»	»	»	»	»	» 28	9 p	392'2	-24'0	-25'2
»	»	»	»	»	» 29	8 a	391'5	-15'1	-16'3
Schwelle	34° 25'	81° 18'	5 469	1	» 29	0'30 p	385'7	-11'2	-11'2
Lager CCCXVI	34 22'	81° 20'	5 480	3	» 29	1 p	384'8	-13'2	-13'2
»	»	»	»	»	» 29	9 p	384'8	-18'4	-18'6
»	»	»	»	»	» 30	8 a	383'2	-18'0	-17'1

¹⁾ Das Tagebuch hat Lufttemp. -17'7, feuchtes Thermometer -16'2.

Luftfeuchtigkeit.			Temperatur- extreme.		Aktinometer.		Wind.		Bewöl- kung 0—10 und Nieder- schlag.	Bemerkungen.
Dampf- druck mm.	Relat. %.	Sätti- gungs- deficit mm.	Min. Cels.	Max. Cels.	Schwarz- kugel Cels.	Blank- kugel Cels.	Rich- tung.	Stärke.		
0'9	44	1'2	—	—	—	—	SW	8	2	
0'6	40	0'9	—	—	—	—	N	4	2	
1'1	55	0'9	-23'3	—	—	—	SW	7	1	Wolken im N. Starker Wind be- ginnt 8 a, vorher still.
0'7	71	1'6	—	—	—	—	SW	9	8	Sturm.
0'9	56	0'6	—	—	34'8	14'0	NW	4	10	Stossvind. dünnes Gewölk.
1'2	69	0'6	-23'4	—	—	—	S	1	1	
1'4	49	1'4	—	—	—	—	WSW	5	6	
1'4	46	1'6	—	—	—	—	SW	6	2	Weisse Wölkchen.
1'0	57	0'8	—	—	—	—	WSW	4	1	
1'9	77	0'6	-18'4	—	—	—	SW	8	5	Sturm.
1'6	61	1'0	—	—	—	—	SW	10	× 10	Unerhört dichtes Gewölk, × zwei Schauer.
1'1	85	0'2	—	—	—	—	SW	3	1	Recht viel Schnee gefallen.
1'3	110	-0'1	-28'0	—	—	—	SE	2	0	
—	—	—	—	—	—	—	—	0	1	Dünne Wölkchen.
1'4	57	1'0	—	—	—	—	WSW	9	7	
0'5	48	0'5	—	—	—	—	—	0	0	Vollkommen klarer Himmel, be- sonders hell funkelnde Sterne.
0'8	64	0'4	-29'6	—	—	—	WSW	5	10	
1'0	58	0'7	—	—	—	—	SW	7	10	Dichtes Gewölk.
0'6	55	0'5	—	—	—	—	WSW	2	3	Dünner Schleier über den ganzen Himmel.
0'6	50	0'7	-22'2	—	—	—	WSW	4	7	
0'6	43	0'8	—	—	—	—	SW	8	10	Dichtes Gewölk.
0'6	44	0'4	—	—	—	—	WSW	6	2	Wolken im N. veränderlicher Wind.
0'8	64	0'4	-21'9	—	—	—	SW	6	10	Sturm die ganze Nacht, unerhört dichtes Gewölk.
0'9	78	0'4	—	—	—	—	NW	5	10	× 11 a—12 a, dicht, dichtes Ge- wölk 1 p.
0'3	45	0'5	—	—	—	—	NW	4	0	
0'9	91	0'1	-34'6	—	—	—	—	0	0	Leichter Dunst.
0'8	65	0'4	—	—	—	—	WSW	7	6	
0'7	47	0'8	—	—	—	—	WSW	7	9	
0'2	32	0'5	—	—	—	—	—	0	0	Vollkommen klarer Himmel, be- sonders hell funkelnde Sterne.
0'8	68	0'6	-31'4	—	—	—	SW	3	2	
1'7	88	0'3	—	—	—	—	SSW	7	10	
1'4	87	0'3	—	—	—	—	SSW	7	10	Unerhört dichtes Gewölk.
0'8	79	0'3	—	—	—	—	—	0	10	× ² den ganzen Abend und die folgende Nacht.
1'2	107	-0'1	-24'2	—	—	—	S	4	× ² 10	Unerhört dichtes Gewölk.

O r t.	Breite N.	Länge E. v. Gr.	Seehöhe.		Monat und Tag 1908.	Stun- de.	Luft- druck bei 0' und Normal- schwere mm.	Luft- tempe- ratur Cels.	Feuchtes Thermo- meter Cels.
			Meter.	n.					
Pass	34° 18'	81° 24'	5 568	1	Jan. 30	12 a	380·6	-14·0	-13·8
Lager CCCXVII	34° 17'	81° 29'	5 325	3	» 30	3 p	388·6	-16·4	-16·2
»	»	»	»	»	» 30	9 p	391·0	-19·1	-20·2
»	»	»	»	»	» 31	8 a	390·9	-20·2	-19·2
Lager CCCXVIII	34° 15'	81° 31'	5 249	3	» 31	1 p	392·4	-15·2	-15·0
»	»	»	»	»	» 31	9 p	393·5	-18·9	-19·1
»	»	»	»	»	Febr. 1	8 a	393·7	-16·2	-15·4
Lager CCCXIX am See Shemen-tso . . .	34° 7'	81° 33'	49 50	18	» 1	1 p	406·5	-10·4	-11·0
»	»	»	»	»	» 1	9 p	409·5	-13·6	-14·1
»	»	»	»	»	» 2	8 a	409·5	-12·5	-12·6
»	»	»	»	»	» 2	1 p	409·8	-9·2	-9·9
»	»	»	»	»	» 2	9 p	411·1	-14·0	-14·6
»	»	»	»	»	» 3	8 a	412·7	-13·2	-12·4
»	»	»	»	»	» 3	1 p	410·5	-11·1	-12·6
»	»	»	»	»	» 3	9 p	412·4	-23·4	-24·1
»	»	»	»	»	» 4	7·30 a	414·6	-19·0	-18·6
Lager CCCXX 15 m über dem See . . .	34° 4'	81° 40'	4 965	18	» 4	1 p	413·8	-9·6	-11·6
»	»	»	»	»	» 4	9 p	417·5	-17·7	-19·5
»	»	»	»	»	» 5	8 a	416·6	-15·8	-16·4
Lager CCCXXI am See	34° 4'	81° 45'	4 950	18	» 5	1 p	415·2	-9·2	-11·6
»	»	»	»	»	» 5	9 p	416·8	-14·0	-15·6
»	»	»	»	»	» 6	8 a	417·8	-12·4	-12·0
Lager CCCXXII 8 m über dem See . . .	31° 1'	81° 52'	4 958	18	» 6	1 p	414·2	-11·0	-12·1
»	»	»	»	»	» 6	9 p	415·9	-18·5	-19·6
»	»	»	»	»	» 7	8 a	419·1	-17·1	-16·9
Lager CCCXXIII	33° 58'	81° 55'	4 960	3	» 7	1 p	417·9	-10·4	-11·9
»	»	»	»	»	» 7	9 p	420·0	-17·5	-19·4
»	»	»	»	»	» 8	7·45 a	420·3	-20·3	-20·4
Lager CCCXXIV Rio-chung	35° 55'	81° 59'	4 874	3	» 8	1 p	420·4	-7·0	-8·5
»	»	»	»	»	» 8	9 p	421·0	-17·0	-18·9
»	»	»	»	»	» 9	8 a	422·4	-15·3	-14·9
Lager CCCXXV	33° 49'	82° 2'	4 901	3	» 9	1 p	418·6	-2·5	-6·0
»	»	»	»	»	» 9	9 p	418·5	-10·2	-12·2
»	»	»	»	»	» 10	8 a	419·6	-11·8	-12·1
Lager CCCXXVI	33° 47'	82° 6'	4 941	3	» 10	1 p	415·2	-3·6	-7·5
»	»	»	»	»	» 10	9 p	415·6	-16·9	-18·5

Luftfeuchtigkeit.			Temperatur- extreme.		Aktinometer.		Wind.		Bewöl- kung 0—10 und Nieder- schlag.	Bemerkungen.
Dampf- druck mm.	Relat. %.	Sätti- gungs- deficit mm.	Min. Cels.	Max. Cels.	Schwarz- kugel Cels.	Blank- kugel Cels.	Rich- tung.	Stärke.		
1'4	91	0'2	—	—	—	—	S	4	* 10	Unerhört dichtes Gewölk.
1'1	90	0'2	—	—	—	—	SW	8	* 10	Von 3 p orkanähnlicher Sturm.
0'5	51	0'5	—	—	—	—	W	10	5	
1'0	113	-0'1	-26'9	—	—	—	SW	6	* 10	* n, * 2 8 a.
1'3	89	0'1	—	—	—	—	S	1	10	* 10 a—12 a. Unerhört dichtes Gewölk.
0'8	78	0'2	—	—	—	—	SW	4	* 10	Unerhört dichtes Gewölk 9 p. * den ganzen Abend.
1'3	104	0'0	-18'2	—	—	—	S	2	* 10	Unerhört dichtes Gewölk, * 2 a.
1'6	78	0'5	—	—	—	—	SSW	7	* 10	Unerhört dichtes Gewölk. starker Dunst, * 1 p.
1'2	76	0'4	—	—	—	—	SW	2	10	Dichtes Gewölk
1'5	86	0'3	-14'9	—	—	—	SW	0	10	Unerhört dichtes Gewölk, Sturm.
1'8	78	0'5	—	—	—	—	SW	6	10	Unerhört dichtes Gewölk.
1'1	74	0'5	—	—	—	—	SW	7	* 10	Unerhört dichtes Gewölk, * 9 p.
1'7	101	0'0	-19'8	—	—	—	SW	3	10	Orkan die ganze Nacht.
1'2	61	0'8	—	—	—	—	SW	5	10	
0'4	53	0'3	—	—	—	—	NNW	1	0	Ganz klarer Himmel.
1'0	95	0'0	-27'9	—	—	—	E	1	1	
1'2	56	1'0	—	—	—	—	N	3	1	
0'4	35	0'7	—	—	—	—	SW	1	0	Vollkommen klarer Himmel, be- sonders hell funkelnde Sterne.
1'0	71	0'3	-22'7	—	—	—	E	1	10	
1'1	50	1'2	—	—	—	—	SW	9	10	
0'8	52	0'8	—	—	—	—	SW	8	1	Wölkchen im E, Staubnebel.
1'5	86	0'3	-19'5	—	—	—	SW	5	5	* n.
1'4	68	0'6	—	—	—	—	SW	7	10	* 2 10 a—12 a, Sturm be- ginnt 3 p.
0'6	52	0'5	—	—	—	—	SW	4	0	
1'1	89	0'1	-22'9	—	—	—	N	2	1/10	
1'3	62	0'8	—	—	—	—	SW	4	1	
0'4	34	0'8	—	—	—	—	—	0	8	Dünnes Gewölk.
0'7	79	0'2	-28'3	—	—	—	—	0	1/10	
1'9	68	0'8	—	—	—	—	SW	2	1	
0'4	36	0'8	—	—	—	—	NE	1	0	Vollkommen klarer Himmel.
1'3	96	0'1	-28'6	—	—	—	E	1	1/10	
1'9	51	1'9	—	—	—	—	SW	4	4	
1'1	44	1'0	—	—	—	—	SW	6	* 6	Recht dichter Schneefall mit SW Wind.
1'5	82	0'4	-22'4	—	—	—	—	0	0	
1'5	44	2'0	—	—	—	—	SW	4	9	Leichtereres Gewölk.
0'5	39	0'7	—	—	—	—	SW	1	6	Starker Wind bis 6 p, leichtes Gewölk 9 p.

O r t .	Breite N.	Länge E. v. Gr.	Seehöhe.		Monat und Tag 1908.	Stun- de.	Luft- druck bei 0 und Normal- schwere mm.	Luft- tempe- ratur Cels.	Feuchtes Thermo- meter Cels.
			Meter.	n.				Assmann's Psychrometer.	
Lager CCCXXVI	33 47'	82 6'	4941	3	Febr. 11	8 a	414'7	-11'8	-13'0
Lager CCCXXVII	33 45'	82 14'	5055	3	» 11	1 p	406'6	-9'0	-12'1
»	»	»	»	»	» 11	9 p	408'5	-15'1	-17'1
»	»	»	»	»	» 12	8 a	408'4	-16'1 ¹⁾	-17'6 ¹⁾
Lager CCCXXVIII	33 44'	82 20'	5317	6	» 12	1 p	392'5	-14'9	-15'0
»	»	»	»	»	» 12	9 p	393'0	-22'2	-23'2
»	»	»	»	»	» 13	8 a	394'4	-18'7 ²⁾	-19'7 ²⁾
»	»	»	»	»	» 13	1 p	393'5	-14'3	-15'1
»	»	»	»	»	» 13	9 p	394'2	-23'2	-24'2
»	»	»	»	»	» 14	7'30 a	395'1	-18'0	-17'6
Senke	33 42'	82 22'	5209	1	» 14	10'30 a	400'1	-9'8	-12'6
Lager CCCXXIX	33 42'	82 26'	5345	3	» 14	1 p	391'8	-12'0	-14'4
»	»	»	»	»	» 14	9 p	392'8	-23'2	-24'2
»	»	»	»	»	» 15	8 a	395'9	-14'0	-14'6
Pass	33 41'	82° 31'	5655	1	» 15	12 a	378'4	-10'6	-12'3
Lager CCCXXX	33 40'	82 36'	5556	3	» 15	2'30 p	383'9	-12'5	-15'0
»	»	»	»	»	» 15	9 p	385'4	-16'4	-17'6
»	»	»	»	»	» 16	8 a	385'3	-12'4	-12'4
Lager CCCXXXI	33 37'	82 39'	5422	3	» 16	1 p	391'7	-4'7	-8'5
»	»	»	»	»	» 16	9 p	392'8	-12'0	-14'5
»	»	»	»	»	» 17	7'30 a	393'9	-14'0	-13'9
Schwelle	—	—	5312	1	» 17	1 p	398'2	-2'8	-7'0
Lager CCCXXXII	33° 33'	82° 48'	5275	2	» 17	9 p	399'2	-11'2	-14'5
»	»	»	»	»	» 18	8 a	399'8	-11'8	-11'5
Lager CCCXXXIII	33° 30'	82 54'	5181	3	» 18	1 p	404'4	-1'4	-6'0
»	»	»	»	»	» 18	9 p	404'2	-12'5	-15'6
»	»	»	»	»	» 19	7'30 a	403'7	-9'9	-9'3
Lager CCCXXXIV	33° 27'	83 4'	4933	3	» 19	1 p	415'5	-2'2	-6'4
»	»	»	»	»	» 19	9 p	416'5	-18'1	-20'1
»	»	»	»	»	» 20	8 a	417'7	-13'2	-13'9
Lager CCCXXXV neben dem See	33 24'	83 10'	4820	6	» 20	1 p	420'6	-3'9	-7'2
»	»	»	»	»	» 20	9 p	421'3	-19'9	-22'1
»	»	»	»	»	» 21	7'30 a	422'0	-9'9	-10'7
»	»	»	»	»	» 21	1 p	420'0	-2'7	-4'8
»	»	»	»	»	» 21	9 p	421'0	-10'6	-13'0
»	»	»	»	»	» 22	8 a	421'1	-9'9	-11'1
Lager CCCXXXVI	33 21'	83 15'	4878	3	» 22	1 p	417'3	-3'7	-7'1
»	»	»	»	»	» 22	9 p	418'5	-11'8	-14'6
»	»	»	»	»	» 23	7 a	420'3	-17'3	-17'5

¹⁾ Das Tagebuch hat Lufttemp. -17'6, Feuchtes Thermometer -16'1.

²⁾ » » » » -19'7, » » » » -18'7.

Luftfeuchtigkeit.			Temperatur- extreme.		Aktinometer.		Wind.		Bewöl- kung 0—10 und Nieder- schlag.	Bemerkungen.
Dampf- druck mm.	Relat. %.	Sätti- gungs- deficit mm.	Min. Cels.	Max. Cels.	Schwarz- kugel Cels.	Blank- kugel Cels.	Rich- tung.	Stärke.		
1'2	55	0'7	-25'8	—	—	—	E	2	0	
0'9	40	1'4	—	—	—	—	WSW	7	6	
0'6	41	0'8	—	—	—	—	W	1	10	Dünnes Gewölk.
0'6	49	0'7	-23'6	—	—	—	—	0	5	Dünnes Gewölk.
1'2	83	0'2	—	—	—	—	SW	1	9	Dichtes Gewölk.
0'4	45	0'4	—	—	—	—	SW	1	0	Absolut klarer Himmel.
0'6	55	0'5	-29'3	—	—	—	—	0	□ 1	Leichte Wölkchen, □ 8 a.
1'0	69	0'5	—	—	—	—	SW	2	8	
0'3	42	0'4	—	—	—	—	SW	3	0	Vollkommen klarer Himmel.
1'0	94	0'1	-30'5	—	—	—	SW	1	0	
0'9	43	1'3	—	—	—	—	W	4	0	
0'8	41	1'0	—	—	—	—	SW	4	4	
0'3	42	0'4	—	—	—	—	E	2	1	
1'2	74	0'4	-30'3	—	—	—	SW	2	0	
1'2	60	0'8	—	—	—	—	WSW	5	1	
0'7	41	1'1	—	—	—	—	NW	4	0	Stosswinde.
0'7	57	0'6	—	—	—	—	—	0	0	Absolut klarer Himmel.
1'6	88	0'2	-22'2	—	—	—	NW	3	1	Stosswinde.
1'4	43	1'8	—	—	—	—	SW	8	1	Stosswinde.
0'8	42	1'0	—	—	—	—	SW	5	0	Stosswinde, absolut klarer Him- mel.
1'4	88	0'2	-24'1	—	—	—	SE	1	0	
1'6	43	2'1	—	—	—	—	SW	7	0	
0'6	31	1'4	—	—	—	—	SW	9	0	Stosswinde, ganz klarer Himmel.
1'7	94	0'2	-20'8	—	—	—	SE	5	0	
1'7	42	2'4	—	—	—	—	SW	10	0	Schwerer Sturm.
0'5	29	1'3	—	—	—	—	SW	3	0	Vollkommen klarer Himmel.
2'2	100	0'0	-20'1	—	—	—	SW	8	0	
1'7	44	2'2	—	—	—	—	SW	7	0	Sturm den ganzen Tag.
0'3	29	0'8	—	—	—	—	SW	4	0	
1'2	72	0'5	-28'2	—	—	—	SW	1	0	
1'7	50	1'7	—	—	—	—	SW	6	0	
0'1	15	0'8	—	—	—	—	SW	2	0	Absolut klarer Himmel.
1'6	75	0'6	-20'5	—	—	—	—	0	0	
2'5	68	1'3	—	—	35'4	14'2	SW	8	0	
0'9	46	1'1	—	—	—	—	SW	7	0	Absolut klarer Himmel.
1'5	68	0'7	-24'4	—	—	—	SE	3	1 10	Schwacher Schleier im E.
1'7	49	1'8	—	—	—	—	W	10	7	Sturm, starker Dunst.
0'7	35	1'2	—	—	—	—	WSW	5	1	Sturm bis 8 p.
0'9	79	0'3	-28'8	—	—	—	W	2	0	

O r t.	Breite N.	Länge E. v. Gr.	Seehöhe.		Monat und Tag 1908.	Stun- de.	Luft- druck bei 0° und Normal- schwere mm.	Luft- tempe- ratur Cels.	Feuchtes Thermo- meter Cels.
			Meter.	n.				Assmann's Psychrometer.	
Lager CCCXXXVII	33° 19'	83° 23'	4 992	3	Fehr. 23	1 p	411'7	- 6'2	- 9'5
„	„	„	„	„	„ 23	9 p	413'3	- 21'3	- 23'0
„	„	„	„	„	„ 24	7'30 a	414'0	- 11'5	- 12'9
Lager CCCXXXVIII	33° 17'	83° 30'	5 118	3	„ 24	1 p	405'2	- 5'6	- 10'2
„	„	„	„	„	„ 24	9 p	407'0	- 12'0	- 13'2
„	„	„	„	„	„ 25	7'30 a	407'4	- 12'4	- 12'6
Lager CCCXXXIX	33° 17'	83° 37'	5 108	3	„ 25	1 p	405'2	- 6'4	- 10'4
„	„	„	„	„	„ 25	9 p	407'8	- 14'1	- 16'0
„	„	„	„	„	„ 26	7 a	407'8	- 13'9	- 13'6
Lager CCCXLI, Thakmar	33° 16'	83° 43'	4 876	3	„ 26	1 p	416'9	- 3'8	- 7'7
„	„	„	„	„	„ 26	9 p	418'6	- 12'2	- 14'3
„	„	„	„	„	„ 27	8 a	419'1	- 8'6	- 10'5
Lager CCCXLI, Senes-yung-ringmo	33° 13'	83° 50'	4 669	3	„ 27	1 p	425'8	- 3'7	- 6'8
„	„	„	„	„	„ 27	9 p	429'1	- 9'4	- 11'2
„	„	„	„	„	„ 28	7 a	429'6	- 10'5	- 11'6
Schwelle	33° 9'	83° 53'	4 769	1	„ 28	12 a	421'8	- 3'2	- 7'8
Lager CCCXLII	33° 6'	83° 57'	4 759	3	„ 28	1 p	421'2	- 4'8	- 7'6
„	„	„	„	„	„ 28	9 p	422'6	- 10'9	- 13'0
„	„	„	„	„	„ 29	7'30 a	423'0	- 10'2	- 10'8
Lager CCCXLIII, Lumbur-ringmo	33° 2'	84° 3'	4 633	9	„ 29	1 p	428'0	- 5'5	- 9'0
„	„	„	„	„	„ 29	9 p	430'0	- 12'0	- 13'7
„	„	„	„	„	März 1	8 a	429'3	- 11'4	- 12'2
„	„	„	„	„	„ 1	1 p	426'1	- 8'5	- 10'2
„	„	„	„	„	„ 1	9 p	427'6	- 14'6	- 15'2
„	„	„	„	„	„ 2	8 a	428'4	- 11'6	- 12'1
„	„	„	„	„	„ 2	1 p	428'5	- 9'3	- 11'7
„	„	„	„	„	„ 2	9 p	431'0	- 16'2	- 18'5
„	„	„	„	„	„ 3	7 a	430'0	- 9'6	- 11'5
Lager CCCXLIV	32° 58'	84° 7'	4 760	3	„ 3	1 p	422'1	- 3'5	- 8'0
„	„	„	„	„	„ 3	9 p	423'1	- 9'5	- 12'0
„	„	„	„	„	„ 4	7 a	423'5	- 8'5	- 11'0
Pass	32° 55'	84° 10'	4 886	1	„ 4	11 a	416'6	- 2'4	- 6'0
Lager CCCXLV, Pankur	32° 54'	84° 11'	4 748	3	„ 4	1 p	422'3	- 1'9	- 6'5
„	„	„	„	„	„ 4	9 p	424'5	- 9'4	- 11'1
„	„	„	„	„	„ 5	7 a	426'2	- 10'8	- 12'2
Tiefste Ebene	32° 51'	84° 14'	4 649	1	„ 5	10 a	429'8	- 1'6	- 7'3

Luftfeuchtigkeit.			Temperatur- extreme.		Aktinometer.		Wind.		Bewöl- kung 0—10 und Nieder- schlag.	Bemerkungen.
Dampf- druck mm.	Relat. %.	Sätti- gungs- deficit mm.	Min. Cels.	Max. Cels.	Schwarz- kugel Cels.	Blank- kugel Cels.	Rich- tung.	Stärke.		
1'3	44	1'6	—	—	—	—	W	6	4	Dunst.
0'2	24	0'6	—	—	—	—	—	0	0	Vollkommen klarer Himmel, be- sonders hell funkelnde Sterne.
1'2	62	0'7	-28'8	—	—	—	E	2	0	
0'9	30	2'1	—	—	—	—	WSW	8	10	Staubnebel.
1'2	64	0'6	—	—	—	—	SW	8	× 10	× ↗ recht dicht 9 p.
1'5	84	0'3	-20'2	—	—	—	WSW	5	2	Alle Gebirge weiss von Schnee.
1'0	35	1'8	—	—	—	—	WSW	7	9	
0'7	46	0'8	—	—	—	—	SW	3	1/10	
1'5	93	0'1	-25'2	—	—	—	SW	4	0	
1'5	43	2'0	—	—	—	—	SW	8	1/10	Wölkchen im N.
0'8	47	1'0	—	—	—	—	W	4	0	
1'4	59	1'0	-19'6	—	—	—	W	5	1	
1'8	53	1'7	—	—	—	—	WSW	6	5	
1'3	58	1'0	—	—	—	—	SW	6	0	
1'4	68	0'7	-20'0	—	—	—	SW	5	7	Dünnes Gewölk.
1'3	36	2'3	—	—	—	—	SW	9	10	
1'7	54	1'5	—	—	—	—	SW	9	10	
1'0	50	1'0	—	—	—	—	SW	5	0	Schwerer Sturm bis 8 p.
1'7	79	0'4	-15'5	—	—	—	SE	4	10	× ² n.
1'3	43	1'7	—	—	—	—	SW	10	10	Unerhört dichtes Gewölk.
1'0	55	0'8	—	—	—	—	SW	2	10	Schwerer Sturm den ganzen Tag.
1'4	73	0'5	-13'4	—	—	—	SW	2	10	Unerhört dichtes Gewölk.
1'5	62	0'9	—	—	—	—	SW	10	10	Unerhört dichtes Gewölk, Dunst, Orkan.
1'1	72	0'4	—	—	—	—	SW	9	× 9	Sterne sichtbar im Zenith, × 9 p.
1'5	78	0'4	-19'9	—	—	—	SW	10	5	× n, Sturm die ganze Nacht.
1'1	49	1'2	—	—	—	—	SW	10	10	Unerhört dichtes Gewölk, Dunst, Orkan, Treibschnee.
0'4	28	0'9	—	—	—	—	SW	1	4	Sturm endet 8 p, beginnt wieder 6'45 a nach einer ganz stillen Nacht.
1'3	57	0'9	-23'4	—	—	—	SW	7	2	Dünne Wölkchen.
1'3	36	2'2	—	—	—	—	SW	10	10	
1'1	48	1'1	—	—	—	—	SW	10	0	Orkan 9 p. Sturm die ganze Nacht.
1'2	49	1'2	-13'8	—	—	—	SW	9	0	
1'9	50	1'9	—	—	—	—	SW	7	4	Dünnes Gewölk.
1'6	40	2'4	—	—	—	—	SW	9	2	Wölkchen, ungewöhnlich dichter Dunst.
1'4	60	0'9	—	—	—	—	SW	7	0	
1'3	63	0'7	-16'8	—	—	—	—	0	0	
1'1	28	3'0	—	—	—	—	SW	8	2	Dünnere Wolkenschleier, dichter Dunst.

O r t.	Breite N.	Länge E. v. Gr.	Seehöhe.		Monat und Tag 1908.	Stun- de.	Luft- druck bei 0 und Normal- schwere mm.	Luft- tempe- ratur Cels.	Feuchtes Thermo- meter Cels.
			Meter.	n.					
Lager CCCXLVI	32° 48'	84° 17'	4 704	3	März 5	1 p	424·8	- 1'0	- 5'1
„	„	„	„	„	„ 5	9 p	427'0	- 16'0	- 18'3
„	„	„	„	„	„ 6	7 a	426'4	- 7'2 1)	- 8'6 1)
Lager CCCXLVII	32° 44'	84° 20'	4 663	3	„ 6	1 p	427'5	2'1	- 3'0
„	„	„	„	„	„ 6	9 p	427'9	- 8'0	- 9'6
„	„	„	„	„	„ 7	7 a	427'6	- 3'5	- 3'8
Lager CCCXLVIII	32° 38'	84° 24'	4 740	3	„ 7	1 p	421'0	- 0'6	- 4'3
„	„	„	„	„	„ 7	9 p	424'9	- 8'6	- 10'4
„	„	„	„	„	„ 8	7 a	425'7	- 7'3	- 8'6
Lager CCCXLIX, Nagrong	32° 33'	84° 19'	4 644	6	„ 8	1 p	428'4	- 1'4	- 4'0
„	„	„	„	„	„ 8	9 p	432'5	—	—
„	„	„	„	„	„ 9	7 a	432'5	- 4'0	- 5'4
„	„	„	„	„	„ 9	1 p	429'3	1'3	- 4'2
„	„	„	„	„	„ 9	9 p	432'5	- 10'2	- 12'4
„	„	„	„	„	„ 10	7 a	431'1	- 3'3	- 5'2
Lager CCCL	32° 27'	84° 15'	4 628	3	„ 10	1 p	430'7	3'6	- 2'0
„	„	„	„	„	„ 10	9 p	434'6	- 10'0	- 12'4
„	„	„	„	„	„ 11	6 30 a	435'0	- 10'9	- 13'0
Lager CCCLI	32° 22'	84° 15'	4 531	3	„ 11	1 p	437'7	- 0'2	- 5'1
„	„	„	„	„	„ 11	9 p	439'5	- 8'0	- 9'8
„	„	„	„	„	„ 12	7 a	439'3	- 6'2	- 7'6
Lager CCCLII	32° 20'	84° 21'	4 568	6	„ 12	1 p	434'0	- 1'3	- 6'5
„	„	„	„	„	„ 12	9 p	436'4	- 7'0	- 9'6
„	„	„	„	„	„ 13	8 a	437'3	- 9'6	- 9'4
„	„	„	„	„	„ 13	1 p	437'7	- 7'1	- 7'6
„	„	„	„	„	„ 13	9 p	439'8	- 15'2	- 16'2
„	„	„	„	„	„ 14	7 a	436'5	- 14'9	- 15'3
Lager CCCLIII	32° 18'	84° 28'	4 534	3	„ 14	1 p	438'6	2'2	- 2'2
„	„	„	„	„	„ 14	9 p	438'8	- 8'0	- 9'1
„	„	„	„	„	„ 15	7 a	441'4	- 7'6	- 9'9
Lager CCCLIV, cirka 15 m über Tongka-tso	32° 15'	84° 38'	4 511	3	„ 15	1 p	440'0	0'1	- 5'9
„	„	„	„	„	„ 15	9 p	440'4	- 9'0	- 10'9
„	„	„	„	„	„ 16	6 a	441'3	- 7'1	- 8'0
Lager CCCLV, Tongka	32° 12'	84° 41'	4 507	3	„ 16	1 p	439'5	- 1'1	- 6'2
„	„	„	„	„	„ 16	9 p	441'4	- 8'5	- 10'3
„	„	„	„	„	„ 17	7 a	443'3	- 6'4	- 7'5

1) Das Tagebuch hat Lufttemp. - 8'6, Feuchtes Thermometer - 7'2.

Luftfeuchtigkeit.			Temperatur- extreme.		Aktinometer.		Wind.		Bewöl- kung 0-10 und Nieder- schlag.	Bemerkungen.
Dampf- druck mm.	Relat. %.	Sätti- gungs- deficit mm.	Min. Cels.	Max. Cels.	Schwarz- kugel Cels.	Blank- kugel Cels.	Rich- tung.	Stärke.		
2'0	47	2'3	—	—	—	—	SW	10	10	Dünnere Wolkenschleier überall, Dunst, Sturm endet 6 p.
0'4	29	0'9	—	—	—	—	—	0	0	
1'9	70	0'8	-23'6	—	—	—	SW	1	0	
2'4	44	2'9	—	—	—	—	SW	10	0	Unerhörter Dunst, nichts sicht- bar. Stärkster Orkan.
1'6	65	0'9	—	—	—	—	SW	10	0	
3'2	90	0'3	-15'0	—	—	—	SW	8	7	Sturm die ganze Nacht.
2'3	53	2'1	—	—	—	—	SW	10	10	Sehr dünnes Gewölk. Orkan, nichts sichtbar.
1'5	60	0'9	—	—	—	—	SW	10	0	Der Sturm endet vor M.
1'9	71	0'8	-19'1	—	—	—	SW	5	0	
2'6	64	1'5	—	—	—	—	SW	10	10	Dünnes Gewölk. Dunst und Staub- nebel.
—	—	—	—	—	—	—	SW	8	3	
2'5	74	0'9	-19'0	—	—	—	SW	1	2	Dünne Wölkchen.
1'9	38	3'1	—	—	42'3	20'4	SW	10	10	Mitteldünnnes Gewölk. starker Dunst.
1'1	50	1'0	—	—	—	—	SW	4	0	Ganz klarer Himmel.
2'5	69	1'1	-19'7	—	—	—	—	0	0	
2'5	43	3'4	—	—	—	—	SW	10	10	Dünnere Schleier. unerhörter Dunst. Orkan.
1'0	47	1'1	—	—	—	—	SW	5	0	
1'0	50	1'0	-16'6	—	—	—	SW	4	0	
1'8	40	2'7	—	—	—	—	SW	10	10	Dünnes Gewölk. unerhörter Dunst. Dunst.
1'5	61	1'0	—	—	—	—	SW	8	8	
2'0	71	0'9	-14'0	—	—	—	SW	7	5	
1'4	34	2'8	—	—	—	—	SW	10	10	Dichtes Gewölk. starker Dunst.
1'4	51	1'3	—	—	—	—	SW	4	10	Dichtes Gewölk.
2'1	94	0'1	-12'8	—	—	—	SW	2	10	※ ² n, unerhört dichtes Gewölk.
2'2	83	0'5	—	—	—	—	SW	4	4	
0'9	62	0'5	—	—	—	—	SW	4	0	Vollkommen klarer Himmel.
1'1	76	0'3	-24'0	—	—	—	E	3	10	E 3 fährt bis 11'30 a fort.
2'7	51	2'7	—	—	—	—	SW	6	5	Weisse Wölkchen.
1'8	73	0'7	—	—	—	—	SW	8	3	
1'4	54	1'2	-19'9	—	—	—	E	1	2	Dünne Wölkchen im W.
1'4	29	3'2	—	—	—	—	SW	5	10	Mitteldichtes Gewölk.
1'3	57	1'0	—	—	—	—	SW	4	0	
2'1	77	0'6	-18'9	—	—	—	SW	1	6	Starker Wind endet 6 p.
1'5	35	2'7	—	—	—	—	SW	5	10	Dichtes Gewölk.
1'5	60	0'9	—	—	—	—	SW	2	10	Das Gewölk dunst wie Dunst.
2'1	75	0'7	-13'2	—	—	—	SW	4	1	

O r t.	Breite N.	Länge E. v. Gr.	Seehöhe		Monat und Tag 1908.	Stun- de.	Luft- druck bei 0° und Normal- schwere mm.	Luft- tempe- ratur Cels.	Feuchtes Thermo- meter Cels.
			Meter.	n.				Assmann's Psychrometer.	
Lager CCCLVI, Ganpo-galle	32° 8'	84° 45'	4 505	3	März 17	1 p	441'6	- 2'4	- 6'4
„	„	„	„	„	„ 17	9 p	441'5	- 14'9	- 17'0
„	„	„	„	„	„ 18	7 a	443'1	- 9'2	- 9'2
Lager CCCLVII	32° 6'	84° 44'	4 773	3	„ 18	1 p	427'2	0'7	- 5'4
„	„	„	„	„	„ 18	9 p	428'0	- 5'2	- 9'4
„	„	„	„	„	„ 19	7 a	430'7	—	—
Pass	32° 4'	84° 45'	4 918	1	„ 19	9 a	421'3	- 0'5	- 5'6
Lager CCCLVIII	32° 3'	84° 44'	4 890	3	„ 19	1 p	422'4	- 0'8	- 5'0
„	„	„	„	„	„ 19	9 p	423'1	- 8'1	- 10'9
„	„	„	„	„	„ 20	7 a	423'8	- 4'4	- 5'9
Pass Yumtso-la	32° 2'	84° 43'	4 955	1	„ 20	7'30 a	420'5	- 4'2	- 5'9
Kleiner See Shar-tso	32° 3'	84° 43'	4 764	1	„ 20	8'30 a	431'1	0'0	- 2'6
Lager CCCLIX, Luma-shar	31° 58'	84° 43'	4 768	3	„ 20	1 p	430'3	1'8	- 3'2
„	„	„	„	„	„ 20	9 p	430'4	- 5'4	- 8'4
„	„	„	„	„	„ 21	7 a	431'7	- 2'2	- 4'7
Pass	31° 56'	84° 44'	4 972	1	„ 21	9 a	419'3	1'4	- 2'6
Lager CCCLX, Kombak	31° 55'	84° 45'	4 882	3	„ 21	1 p	424'2	0'0	- 3'5
„	„	„	„	„	„ 21	9 p	423'9	- 6'8	- 9'8
„	„	„	„	„	„ 22	7 a	424'0	- 2'7	- 6'2
Lager CCCLXI	31° 51'	84° 47'	5 029	3	„ 22	1 p	414'4	- 2'5	- 5'9
„	„	„	„	„	„ 22	9 p	415'5	- 8'9	- 11'6
„	„	„	„	„	„ 23	7 a	415'7	- 6'2	- 8'2
Chaklam-la	32° 49'	84° 46'	5 285	1	„ 23	9 a	401'7	- 3'4	- 7'2
Lager CCCLXII	32° 47'	84° 44'	4 905	3	„ 23	1 p	420'5	- 0'9	- 5'6
„	„	„	„	„	„ 23	9 p	421'0	- 7'3	- 10'2
„	„	„	„	„	„ 24	7 a	421'0	- 7'3	- 8'6
Lager CCCLXIII	32° 43'	84° 48'	5 026	6	„ 24	1 p	413'1	1'0	- 3'6
„	„	„	„	„	„ 24	9 p	414'6	- 9'8	- 12'6
„	„	„	„	„	„ 25	7 a	415'8	- 4'8	- 7'6
„	„	„	„	„	„ 25	1 p	415'1	1'3	- 3'9
„	„	„	„	„	„ 25	9 p	416'2	- 8'0	- 11'2
„	„	„	„	„	„ 26	7 a	418'4	- 6'6	- 8'4
Sangchen-la	32° 40'	84° 48'	5 356	1	„ 26	10 a	399'6	- 2'1	- 6'0
Lager CCCLXIV, Nema-tok	32° 39'	84° 47'	4 946	3	„ 26	1 p	420'5	5'2	- 3'2
„	„	„	„	„	„ 26	9 p	421'7	- 12'5	- 15'6
„	„	„	„	„	„ 27	7 a	422'4	0'6	- 4'6
Pass Ladung-la	32° 37'	84° 46'	5 302	1	„ 27	9 a	403'2	2'7	- 3'6
Lager CCCLXV, Yanglung	31° 35'	84° 45'	4 878	3	„ 27	1 p	425'5	8'4	- 1'6
„	„	„	„	„	„ 27	9 p	425'5	- 7'6	- 11'1
„	„	„	„	„	„ 28	7 a	426'1	0'4	- 4'0

Luftfeuchtigkeit			Temperatur- extreme		Aktinometer		Wind		Bewöl- kung 0—10 und Nieder- schlag.	Bemerkungen.
Dampf- druck mm.	Relat. %	Sätti- gungs- deficit mm.	Min. Cels.	Max. Cels.	Schwarz- kugel Cels.	Blank- kugel Cels.	Richt- tung.	Stärke.		
1'7	44	2'1	—	—	—	—	SW	6	3	
0'5	37	0'9	—	—	—	—	W	1	2	Dünnes Gewölk überall.
2'1	90	0'2	-26'7	—	—	—	—	0	1	Dünnes Gewölk.
1'5	31	3'3	—	—	—	—	SW	4	0	
1'1	34	2'0	—	—	—	—	SW	1	9	Teilweise dichtes Gewölk.
—	—	—	-12'3	—	—	—	—	0	0	
1'7	38	2'7	—	—	—	—	NW	4	5	Weisse Wölkchen.
2'0	47	2'3	—	—	—	—	NE	2	9	
1'2	46	1'3	—	—	—	—	SW	1	10	Teilweise dichtes Gewölk.
2'4	73	0'9	-14'8	—	—	—	SW	2	1	
2'4	71	1'0	—	—	—	—	SW	2	1	
2'9	64	1'7	—	—	—	—	SW	1	1	Temp. 1'4 in Quelle.
2'3	44	2'9	—	—	—	—	WSW	4	9	
1'5	50	1'6	—	—	—	—	E	3	4	
2'5	63	1'4	-18'0	—	—	—	—	0	1	
2'7	54	2'4	—	—	—	—	WNW	3	3	
2'6	56	2'0	—	—	—	—	WSW	4	10	
1'3	47	1'5	—	—	—	—	WSW	3	1	Wölkchen im E.
1'9	50	1'9	-15'1	—	—	—	SW	3	1	
2'0	52	1'8	—	—	—	—	SW	6	8	
1'1	46	1'2	—	—	—	—	SW	3	2	
1'8	63	1'1	-13'1	—	—	—	SW	3	1	
1'7	46	1'9	—	—	—	—	SSW	3	1	
1'8	41	2'5	—	—	—	—	WSW	4	9	
1'2	47	1'5	—	—	—	—	—	0	4	
1'9	71	0'8	-16'2	—	—	—	—	0	2	
2'3	47	2'6	—	—	—	—	SW	5	10	* 4' 0'0 p—0'5 p recht dicht.
0'9	42	1'3	—	—	—	—	SW	2	0	
1'8	55	1'4	-17'8	—	—	—	SW	4	1	
2'1	42	2'9	—	—	48'6	26'1	SW	5	4	
1'0	41	1'5	—	—	—	—	SW	3	0	Nicht völlig klarer Himmel.
1'8	64	1'0	-17'7	—	—	—	SE	1	0	
1'9	48	2'0	—	—	—	—	SW	2	10	
1'6	24	5'0	—	—	—	—	SW	1	10	
0'5	27	1'3	—	—	—	—	SE	1	0	
1'9	40	2'9	-19'6	—	—	—	SE	1	0	
2'0	36	3'6	—	—	—	—	SW	3	10	
1'7	20	6'6	—	—	—	—	NW	2	7	
1'0	37	1'6	—	—	—	—	NNW	3	0	
2'2	47	2'5	-13'8	—	—	—	—	0	0	

O r t.	Breite N.	Länge E. v. Gr.	Seehöhe		Monat und Tag 1908.	Stun- de.	Luft- druck bei 0° und Normal- schwere mm.	Luft- tempe- ratur Cels.	Feuchtes Thermo- meter Cels.	
			Meter.	n.					Assmann's Psychrometer.	
Lager CCCLXVI, Chühüün	31 32'	84 43'	4741	3	März 28	1 p	431'3	9'4	-w 0'2	
„	„	„	„	„	„ 28	9 p	432'2	- 1'6	- 6'6	
„	„	„	„	„	„ 29	7 a	432'9	13'0	3'1	
Lager CCCLXVII.	31 26'	84 44'	4628	3	„ 29	1 p	437'0	15'3	3'5	
„	„	„	„	„	„ 29	9 p	437'3	3'2	- 1'3	
„	„	„	„	„	„ 30	7 a	438'3	2'2	- 2'5	
Kreuzung von Fluss.	31 22'	84 44'	4580	1	„ 30	10 a	440'0	11'8	1'4	
Lager CCCLXVIII, Nila-yung-karpo.	31 20'	84 44'	4612	3	„ 30	1 p	437'3	14'6	3'0	
„	„	„	„	„	„ 30	9 p	437'7	3'4	w 0'0	
„	„	„	„	„	„ 31	7 a	438'7	5'6	- 1'7	
Lager CCCLXIX	31 16'	84 41'	4805	3	„ 31	1 p	426'8	9'8	- 1'6	
„	„	„	„	„	„ 31	9 p	427'4	1'8	- 3'0	
„	„	„	„	„	Apr. 1	7 a	427'2	1'1	- 3'4	
Satsot-la.	31 15'	84 41'	4856	1	„ 1	7'30 a	424'3	8'2	- 3'9	
Lager CCCLXX, Tuppu-tok am See Chunit-tso	31 11'	84 39'	4747	6	„ 1	1 p	428'7	6'1	- 1'6	
„	„	„	„	„	„ 1	9 p	430'0	0'6	- 1'6	
„	„	„	„	„	„ 2	7 a	430'0	0'2	- 1'8	
Lager CCCLXXI, Sninkuk an demselben See	31 3'	84 37'	4747	6	„ 2	1 p	427'4	5'5	- 2'0	
„	„	„	„	„	„ 2	9 p	429'5	- 5'0	- 6'2	
„	„	„	„	„	„ 3	7 a	429'5	1'4	- 2'6	
Schwelle.	„	„	4925	1	„ 3	10 a	419'6	- 2'0	- 4'8	
Lager CCCLXXII, Kemar	30° 57'	84 37'	4846	3	„ 3	1 p	421'1	0'8	- 5'2	
„	„	„	„	„	„ 3	9 p	422'5	- 5'3	- 7'4	
„	„	„	„	„	„ 4	7 a	423'3	1'1	-w 0'4	
Pass Nima-lung-la	30 55'	84 36'	4882	1	„ 4	8 a	422'0	3'9	- 3'5	
Lager CCCLXXIII	30 49'	84 35'	4784	3	„ 4	1 p	426'6	9'8	- 1'2	
„	„	„	„	„	„ 4	9 p	427'7	- 1'0	- 3'3	
„	„	„	„	„	„ 5	7 a	428'6	1'5	- 3'4	
Lager CCCLXXIV	30 42'	84 29'	4806	3	„ 5	1 p	424'5	7'2	-w 0'4	
„	„	„	„	„	„ 5	9 p	425'0	- 1'6	- 3'5	
„	„	„	„	„	„ 6	7 a	426'3	1'2	- 3'6	
Monlam-yogma am Bupsang-tsangpo	30 40'	84 28'	4785	1	„ 6	9'30 a	425'8	8'6	0'1	
Lager CCCLXXV, Monlam-kongma	30 37'	84 28'	4822	6	„ 6	1 p	423'9	8'0	- 1'5	
„	„	„	„	„	„ 6	9 p	424'4	- 0'4	- 3'6	
„	„	„	„	„	„ 7	7 a	423'2	- 1'6	- 4'7	
„	„	„	„	„	„ 7	1 p	422'2	5'6	- 1'2	
„	„	„	„	„	„ 7	9 p	423'3	- 3'0	- 5'6	
„	„	„	„	„	„ 8	7 a	424'4	0'9	- 2'6	

Luftfeuchtigkeit			Temperatur- extreme		Aktinometer		Wind		Bewöl- kung 0-10 und Nieder- schlag.	Bemerkungen.
Dampf- druck mm.	Relat. %	Sätti- gungs- deficit mm.	Min. Cels.	Max. Cels.	Schwarz- kugel Cels.	Blank- kugel Cels.	Rich- tung.	Stärke.		
2'0	22	6'9	—	—	—	—	W	1	4	Weisse Wölkchen.
1'4	35	2'7	—	—	—	—	NW	1	1	Wölkchen im N und W.
3'1	27	8'1	-10'6	—	—	—	—	0	0	
2'6	20	10'4	—	—	—	—	SW	3	8	
3'0	52	2'8	—	—	—	—	SW	4	8	Dünnes Gewölk.
2'6	48	2'8	-13'2	—	—	—	—	0	1	
2'2	22	8'2	—	—	—	—	SW	1	1	
2'5	20	10'0	—	—	—	—	SW	4	6	
3'6	61	2'3	—	—	—	—	SW	2	4	
2'3	33	4'5	-14'1	—	—	—	—	0	0	
1'4	15	7'7	—	—	—	—	SW	1	4	Der Wind weht stossweise bis 6 p.
2'4	46	2'8	—	—	—	—	SW	6	9	Dünnes Gewölk.
2'4	48	2'6	-7'8	—	—	—	SW	2	0	
0'5	7	7'7	—	—	—	—	SW	1	0	
2'2	31	4'9	—	—	—	—	SW	5	9	
3'4	72	1'4	—	—	—	—	SW	5	4	
3'4	74	1'3	-11'6	—	—	—	SW	3	0	
2'1	31	4'7	—	—	—	—	SW	7	10	⌒ 5 p.
2'4	76	0'8	—	—	—	—	SW	4	0	
2'7	54	2'4	-11'9	—	—	—	SW	4	2	Dünner Schleier über den gan- zen Himmel.
2'4	60	1'6	—	—	—	—	SW	4	× 10	Leichter × 10 a.
1'6	32	3'3	—	—	—	—	SW	6	10	
1'9	62	1'2	—	—	—	—	SW	3	2	
4'0	80	1'0	-14'6	—	—	—	SW	2	0	
1'7	28	4'4	—	—	—	—	SSW	4	0	
1'6	17	7'5	—	—	—	—	SW	7	6	
2'9	68	1'4	—	—	—	—	SW	9	2	Sturm beginnt 8'30 p. dauert die ganze Nacht.
2'3	45	2'8	-7'2	—	—	—	SW	7	3	
2'4	32	5'2	—	—	—	—	SW	8	5	Dunst und Staubnebel.
2'9	72	1'2	—	—	—	—	SW	8	8	
2'3	45	2'7	-9'3	—	—	—	SW	2	0	
2'4	28	6'0	—	—	—	—	SW	4	2	
1'8	23	6'3	—	—	—	—	SW	6	4	
2'6	59	1'9	—	—	—	—	S	9	9	Sturm beginnt 7 p. dauert die ganze Nacht.
2'3	57	1'8	-5'8	—	—	—	S	9	6	
2'6	37	4'2	—	—	46'5	23'8	SW	8	6	
2'2	61	1'5	—	—	—	—	SSW	5	5	
2'8	58	2'1	-8'2	—	—	—	SSW	5	5	

O r t.	Breite N.	Länge E. v. Gr.	Seehöhe		Monat und Tag 1908.	Stun- de.	Luft- druck bei 0 und Normal- schwere mm.	Luft- tempe- ratur Cels.	Feuchtes Thermo- meter Cels.
			Meter.	n.				Assmann's Psychrometer.	
Lager CCCLXXXVI, Amchung	30° 30'	84° 31'	4 835	3	Apr. 8	1 p	420°3	5°2	-w 0°8
»	»	»	»	»	» 8	9 p	422°6	- 5°0	- 7°2
»	»	»	»	»	» 9	7 a	422°5	- 1°2	- 4°0
Lager CCCLXXXVII	30° 25'	84° 33'	4 883	3	» 9	1 p	419°6	6°5	- 2°2
»	»	»	»	»	» 9	9 p	420°0	- 6°5	- 9°3
»	»	»	»	»	» 10	7 a	420°5	- 3°4	- 6°5
Lager CCCLXXXVIII	30° 19'	84° 37'	4 905	3	» 10	1 p	418°7	7°3	0°5
»	»	»	»	»	» 10	9 p	420°5	- 10°0	- 12°6
»	»	»	»	»	» 11	7 a	421°3	- 2°8	- 5°3
Lager CCCLXXXIX, Bupyung-ring	30° 12'	84° 40'	4 911	6	» 11	1 p	419°3	9°0	- 1°1
»	»	»	»	»	» 11	9 p	420°3	- 3°4	- 6°0
»	»	»	»	»	» 12	7 a	421°3	3°6	-w 0°4
»	»	»	»	»	» 12	1 p	420°3	5°6	0°3
»	»	»	»	»	» 12	9 p	420°5	- 0°9	- 3°2
»	»	»	»	»	» 13	7 a	420°8	1°4	- 2°0
Lager CCCLXXX	30° 7'	84° 40'	4 968	3	» 13	1 p	417°6	6°4	- 2°5
»	»	»	»	»	» 13	9 p	418°3	- 5°4	- 8°1
»	»	»	»	»	» 14	7 a	418°1	- 4°2	- 4°3
Pass.	30° 4'	84° 43'	5 430	1	» 14	9°30 a	394°7	8°5	- 1°6
Lager CCCLXXXI	30° 3'	84° 43'	5 370	3	» 14	1 p	398°5	4°5	- 3°3
»	»	»	»	»	» 14	9 p	398°2	- 9°6	- 12°4
»	»	»	»	»	» 15	6 a	396°2	- 4°8	- 8°0
Samye-la	29° 59'	84° 46'	5 527	1	» 15	9 a	389°6	0°7	- 1°6
Lager CCCLXXXII	29° 58'	84° 47'	5 366	3	» 15	1 p	396°2	2°7	- 3°7
»	»	»	»	»	» 15	9 p	398°0	- 9°5	- 11°3
»	»	»	»	»	» 16	7 a	398°6	- 7°7	- 9°6
Moränenbase	29° 56'	84° 49'	5 070	1	» 16	8 a	412°8	2°3	- 3°9
Lager CCCLXXXIII	29° 54'	84° 54'	4 945	3	» 16	1 p	418°7	6°6	- 2°2
»	»	»	»	»	» 16	9 p	419°6	- 5°4	- 9°4
»	»	»	»	»	» 17	7 a	419°1	- 4°2	- 4°2
Lager CCCLXXXIV	29° 51'	85° 1'	4 832	3	» 17	1 p	423°9	7°4	- 1°9
»	»	»	»	»	» 17	9 p	425°8	- 5°7	- 9°8
»	»	»	»	»	» 18	7 a	425°6	- 1°0	- 3°2
Lager CCCLXXXV	29° 44'	84° 59'	4 696	3	» 18	1 p	431°0	1°6	- 3°9
»	»	»	»	»	» 18	9 p	433°1	- 5°7	- 9°6
»	»	»	»	»	» 19	7 a	434°5	- 1°6	- 6°4
Lager CCCLXXXVI, Charte	29° 39'	85° 3'	4 634	3	» 19	1 p	435°2	5°1	- 2°0

Luftfeuchtigkeit			Temperatur- extreme		Aktinometer		Wind		Bewöl- kung 0—10 und Nieder- schlag.	Bemerkungen.
Dampf- druck mm.	Relat. %	Sätti- gungs- deficit mm.	Min. Cels.	Max. Cels.	Schwarz- kugel Cels.	Blank- kugel Cels.	Rich- tung.	Stärke.		
2'7	41	3'9	—	—	—	—	SW	8	4	Zeitweilig * Flocken.
2'0	63	1'2	—	—	—	—	SSW	6	5	
2'6	62	1'6	-10'3	—	—	—	S	6	2	
1'8	25	5'5	—	—	—	—	SW	5	1	Zerstreute Wölkchen, nicht völ- lig klare Luft.
1'4	50	1'4	—	—	—	—	S	3	1/10	Leichte Wölkchen im N.
1'9	54	1'7	-15'7	—	—	—	S	3	0	
3'0	38	4'7	—	—	—	—	SW	7	0	Leichter Dunst.
0'9	44	1'2	—	—	—	—	S	1	0	
2'3	63	1'4	-18'7	—	—	—	S	1	0	
1'9	22	6'7	—	—	—	—	SW	4	2	
2'1	60	1'5	—	—	—	—	S	1	2	
3'4	57	2'5	-11'6	—	—	—	S	1	2	Dunstige Luft.
3'3	48	3'5	—	—	47'6	26'3	SW	6	10	Dichtes Gewölk.
2'9	68	1'4	—	—	—	—	SW	2	9	Wolken strecken sich bis zum Boden herab.
3'1	60	2'0	-5'9	—	—	—	SW	6	10	
1'7	23	5'5	—	—	—	—	SW	7	8	
1'7	55	1'4	—	—	—	—	SW	3	0	Vollkommen klarer Himmel.
3'1	93	0'3	-18'2	—	—	—	—	0	0	
1'8	22	6'5	—	—	—	—	S	4	1/10	
1'8	28	4'5	—	—	—	—	SW	6	0	
1'0	43	1'2	—	—	—	—	—	0	0	
1'6	50	1'6	-16'6	—	—	—	SW	2	0	
3'5	72	1'3	—	—	—	—	SW	8	0	Stosswind, auch SSE.
2'0	35	3'6	—	—	—	—	SW	10	4	„ „ S.
1'3	60	0'9	—	—	—	—	NW	2	10	* † 6 p—8 p. Dunst.
1'6	61	1'0	-17'2	—	—	—	WSW	2	0	
1'9	35	3'5	—	—	—	—	WSW	2	6	
1'8	25	5'5	—	—	—	—	SW	5	5	
1'1	37	2'0	—	—	—	—	SW	3	0	Absolut klarer Himmel.
3'2	94	0'2	-17'4	—	—	—	—	0	0	
1'8	23	5'9	—	—	—	—	NW	5	3	
1'0	34	2'0	—	—	—	—	—	0	0	Schwacher Dunst nach einem Thale hinab.
3'0	69	1'3	-13'8	—	—	—	WSW	1	1/10	
2'0	39	3'1	—	—	—	—	W	5	10	Kurzer Sturm mit * auf einem Berg um 12 a.
1'1	36	1'9	—	—	—	—	N	3	0	
1'5	37	2'6	-15'1	—	—	—	NW	2	0	
2'2	23	4'4	—	—	—	—	NE	3	10	Dichtes Gewölk.

O r t .	Breite N.	Länge E. v. Gr.	Seehöhe		Monat und Tag 1908.	Stun- de.	Luft- druck bei 0° und Normal- schwere mm.	Luft- tempe- ratur Cels.	Feuchtes Thermo- meter Cels.
			Meter.	n.					
Lager CCCLXXXVI, Charta	29 39'	85° 3'	4 634	3	Apr. 19	9 p	437'3	0'1	- 5'5
„	„	„	„	„	„ 20	7 a	439'7	1'3	- 3'7
Lager CCCLXXXVII, Kanchung-chu	29 40'	85 12'	4 702	3	„ 20	1 p	434'2	6'4	- 1'7
„	„	„	„	„	„ 20	9 p	435'2	- 0'6	- 4'4
„	„	„	„	„	„ 21	7 a	436'2	1'4	- 1'0
Lager CCCLXXXVIII	29 36'	85 18'	4 865	3	„ 21	1 p	426'6	1'7	- 3'0
„	„	„	„	„	„ 21	9 p	426'6	- 5'9	- 7'6
„	„	„	„	„	„ 22	7 a	425'8	- 3'4	- 3'9
Lager CCCLXXXIX	29 35'	85 25'	5 001	3	„ 22	1 p	417'5	2'4	- 3'7
„	„	„	„	„	„ 22	9 p	418'6	- 6'1	- 6'6
„	„	„	„	„	„ 23	7 a	418'5	- 4'2	- 3'9
Gyabuk-la	29 35'	85 29'	5 175	1	„ 23	8 a	408'8	5'5	1'2
Grosse Furche	29 34'	85 32'	5 099	1	„ 23	10 a	412'6	6'4	1'8
Lager CCCXC	29 34'	85 34'	5 079	3	„ 23	1 p	412'3	3'6	- 1'5
„	„	„	„	„	„ 23	9 p	413'7	- 10'0	- 10'6
„	„	„	„	„	„ 24	7 a	414'2	- 8'2	- 7'4
Kinchen-la	29 32'	85 40'	5 441	1	„ 24	10 a	394'7	5'6	- 0'9
Lager CCCXCI	29 32'	85 42'	5 209	3	„ 24	1 p	405'2	6'8	- 2'2
„	„	„	„	„	„ 24	9 p	406'0	- 0'6	- 5'5
„	„	„	„	„	„ 25	7 a	406'2	0'3	- w 0'9
Lager CCCXCII, Rapak-do	29 29'	85 44'	5 103	3	„ 25	3 p	411'6	4'6	- w 0'9
„	„	„	„	„	„ 25	9 p	411'6	- 1'4	- 5'6
„	„	„	„	„	„ 26	7 a	412'6	2'4	- 3'4
Kule-la	29 25'	85 43'	5 088	1	„ 26	8 a	410'3	4'6	- 3'8
Lager CCCXCIII	29 23'	85 38'	4 656	3	„ 26	1 p	431'8	—	—
„	„	„	„	„	„ 26	9 p	433'6	- 1'4	- 4'6
„	„	„	„	„	„ 27	7 a	433'2	2'1	- 1'3
Lager CCCXCIV, Se-mo-ku	29 21'	85 37'	4 596	6	„ 27	1 p	434'9	7'9	- 2'1
„	„	„	„	„	„ 27	9 p	437'3	- 1'6	- 6'2
„	„	„	„	„	„ 28	7 a	437'7	3'6	- w 0'9
„	„	„	„	„	„ 28	1 p	435'1	12'6	1'1
„	„	„	„	„	„ 28	9 p	438'1	- 1'6	- 5'1
„	„	„	„	„	„ 29	7 a	438'5	2'1	- 1'9
Tiefster Punkt	29 30'	85 35'	4 542	1	„ 29	9 a	440'7	8'9	- 1'8
Lager CCCXCV, Ushü	29 20'	85 31'	4 563	3	„ 29	1 p	437'8	10.1	- w 0'9
„	„	„	„	„	„ 29	9 p	440'7	0'5	- 4'9
„	„	„	„	„	„ 30	7 a	442'3	4'6	- 2'2
Ushü-la	—	—	4 672	1	„ 0	8 a	435'0	3'5	- 3'7
Gyā-la	29° 23'	85° 27'	4 918	1	„	11 a	422'0	8'8	- 2'3

Luftfeuchtigkeit			Temperatur-extreme		Aktinometer		Wind		Bewöl- kung 0-10 und Nieder- schlag.	Bemerkungen.
Dampf- druck mm.	Relat. %	Sätti- gungs- deficit mm.	Min. Cels.	Max. Cels.	Schwarz- kugel Cels.	Blank- kugel Cels.	Rich- tung.	Stärke.		
1'5	33	3'1	—	—	—	—	N	1	2	Dünnes Gewölk.
2'1	42	2'9	-11'8	—	—	—	—	0	0	
2'1	28	5'1	—	—	—	—	N	2	10	Dichtes Gewölk, Stosswind.
2'2	51	2'2	—	—	—	—	SW	3	10	
3'6	71	1'5	-10'2	—	—	—	—	0	5	Dünnes Gewölk.
2'5	47	2'7	—	—	—	—	NW	1	* 10	Dichtes Gewölk. etwas *
2'0	67	1'0	—	—	—	—	—	0	0	
3'1	88	0'5	-11'7	—	—	—	W	1	* 10	Etwas *.
2'0	36	3'5	—	—	—	—	W	1	10	* 12 a.
2'5	85	0'4	—	—	—	—	E	1	* 10	* 3 p-5 p, * 9 p.
3'3	99	0'1	-10'3	—	—	—	—	0	* 10	* 9'30 p-n nahezu die ganze Nacht, 7 a.
3'8	57	3'0	—	—	—	—	W	2	5	
4'0	55	3'2	—	—	—	—	SSW	2	7	
2'9	48	3'0	—	—	—	—	W	2	10	* 11 a-12 a.
0'5	24	1'6	—	—	—	—	—	0	0	< im S.
2'6	104	— 0'7	-16'4	—	—	—	—	0	1	
2'8	41	4'0	—	—	—	—	W	2	9	
1'8	25	5'6	—	—	—	—	W	2	9	
1'8	41	2'6	—	—	—	—	W	1	3	
3'9	84	0'8	-12'0	—	—	—	WSW	2	0	
2'9	45	3'5	—	—	—	—	WSW	3	6	
1'9	46	2'2	—	—	—	—	SW	6	0	
2'1	39	3'4	-12'7	—	—	—	SSW	1	0	
1'5	23	4'9	—	—	—	—	SW	8	1	
—	—	—	—	—	—	—	SW	7	4	
2'3	56	1'8	—	—	—	—	SW	1	1	Wolken im S.
3'3	61	2'0	-7'0	—	—	—	SW	3	9	* n.
1'5	19	6'5	—	—	—	—	SW	7	4	
1'6	40	2'5	—	—	—	—	SSW	2	0	
3'0	51	2'9	-10'2	—	—	—	S	4	0	
1'9	17	9'0	—	—	57'7	36'1	SW	7	4	
2'1	52	2'0	—	—	—	—	SW	1	1	< im SSW.
2'9	61	2'4	-9'1	—	—	—	SW	5	0	
1'4	16	7'2	—	—	—	—	WSW	6	1	
1'3	14	8'8	—	—	—	—	SW	7	5	
1'7	36	3'1	—	—	—	—	SW	1	0	
2'2	34	4'2	-8'9	—	—	—	WNW	2	0	
1'7	28	4'2	—	—	—	—	SW	2	10	Wolken im S.
1'3	15	7'2	—	—	—	—	SW	4	1	

Luftfeuchtigkeit			Temperatur- extreme		Aktinometer		Wind		Bewöl- kung 0—10 und Nieder- schlag.	Bemerkungen.
Dampf- druck mm.	Relat. %.	Sätti- gungs- deficit mm.	Min. Cels.	Max. Cels.	Schwarz- kugel Cels.	Blank- kugel Cels.	Rich- tung.	Stärke.		
1.5	20	6.3	—	—	—	—	WSW	3	9	
1.8	42	2.6	—	—	—	—	SW	3	1	
3.1	52	2.8	-11.0	—	—	—	S	1	0	Dunstige Luft.
2.0	23	6.5	—	—	—	—	SW	4	3	
1.9	31	4.2	—	—	—	—	SW	6	10	Dichtes Gewölk.
1.4	38	2.4	—	—	—	—	WSW	7	1	Sturm beginnt 1.30 p.
2.5	59	1.8	-12.9	—	—	—	SW	4	1	SW 8 beginnt 8 a.
2.6	53	2.4	—	—	46.1	27.1	W	8	10	Sehr dichtes Gewölk.
1.5	50	1.4	—	—	—	—	—	0	0	
2.6	69	1.1	-13.2	—	—	—	SW	1	6	
2.6	36	4.5	—	—	46.1	28.2	SW	7	5	
1.5	41	2.3	—	—	—	—	SW	1	0	
2.4	51	2.3	-14.3	—	—	—	SW	2	3	Starker Dunst.
2.1	28	5.2	—	—	—	—	SW	3	3	
2.0	21	7.3	—	—	—	—	S	3	4	
1.8	22	6.3	—	—	—	—	SW	6	7	
1.6	54	1.4	—	—	—	—	E	1	0	
2.8	72	1.0	-13.9	—	—	—	S	2	7	
3.5	65	1.8	—	—	53.0	28.1	S	4	* 10	* 1 p.
2.5	72	0.9	—	—	—	—	W	1	* 10	* 2 9 p.
3.0	85	0.5	-10.6	—	—	—	SW	3	8	* 9.30 p—n, * 2 2.3 S a 9 a.
2.3	70	1.1	—	—	—	—	SW	4	* 10	* zeitweilig a. m.
2.0	51	2.0	—	—	—	—	SW	6	* 10	* 1 p.
1.6	56	1.2	—	—	—	—	NW	2	10	
2.3	66	1.1	-14.9	—	—	—	NE	1	10	
2.7	66	1.4	—	—	—	—	SSW	4	* 5	Leichter * 10 a.
2.4	59	1.6	—	—	—	—	NW	6	* 10	Zeitweilig *, * 3 p—4 p.
1.8	81	0.4	—	—	—	—	NE	1	0	
2.9	92	0.2	-16.0	—	—	—	SW	1	9	
3.9	78	1.1	—	—	—	—	W	3	7	
2.3	48	2.6	—	—	—	—	NNW	8	6	
1.1	47	1.3	—	—	—	—	N	1	0	
2.3	68	1.0	-18.3	—	—	—	—	0	0	
1.4	19	6.1	—	—	—	—	SW	6	8	
1.9	52	1.7	—	—	—	—	SW	6	4	
2.4	60	1.6	-13.4	—	—	—	—	0	0	Hauch.
2.0	25	5.9	—	—	49.4	27.9	SW	7	10	Veränderliche Windstärke.
—	—	—	—	—	—	—	—	—	—	
1.7	47	2.0	-16.1	—	—	—	W	1	10	
3.4	45	4.2	—	—	—	—	SW	2	1	

Luftfeuchtigkeit			Temperatur- extreme		Aktinometer		Wind		Bewöl- kung 0—10 und Nieder- schlag.	Bemerkungen.
Dampf- druck mm.	Relat. %	Sätti- gungs- deficit mm.	Min. Cels.	Max. Cels.	Schwarz- kugel Cels.	Blank- kugel Cels.	Rich- tung.	Stärke.		
1'9	40	2'9	—	—	—	—	SSW	7	8	
1'5	57	1'0	—	—	—	—	SW	5	5	Dünnes Gewölk, * abends.
2'3	67	1'1	-17'1	—	—	—	S	1	0	
1'1	30	2'4	—	—	—	—	SW	9	0	
1'7	31	3'8	—	—	—	—	SSW	8	6	
1'0	42	1'4	—	—	—	—	SSW	5	0	
1'3	37	2'2	-12'2	—	—	—	SSW	9	1	SSW Sturm beginnt 5 a.
1'6	26	4'4	—	—	—	—	SSW	6	10	
1'5	52	1'6	—	—	—	—	S	4	5	
3'7	91	0'3	-13'0	—	—	—	S	4	5	Dünnes Gewölk.
1'8	31	4'1	—	—	—	—	S	5	10	
2'2	65	0'7	—	—	—	—	S	2	6	NW Wind und * 6'30—8 p.
2'5	64	1'5	-9'8	—	—	—	NW	6	10	* n.
2'5	43	5'0	—	—	—	—	N	8	10	Zeitweilig *.
1'3	17	6'0	—	—	—	—	NNW	6	8	
1'1	32	2'4	—	—	—	—	SW	2	0	
2'3	48	2'5	-14'4	—	—	—	N	1	0	
1'9	32	3'9	—	—	59.7	33.7	N	3	1	
2'2	49	2'2	—	—	—	—	—	0	0	
4'1	86	0'7	-11'6	—	—	—	—	0	0	
3'3	36	5'8	—	—	—	—	—	0	0	
1'8	18	8'3	—	—	—	—	SE	4	4	
1.4	25	4'3	—	—	—	—	W	2	2	
3'2	60	2'1	-5'8	—	—	—	—	0	0	
2'3	29	5'5	—	—	—	—	SW	1	0	
2'5	18	11'5	—	—	—	—	NW	4	0	
2'4	33	4'7	—	—	—	—	NW	6	0	
2'4	35	4'5	-1'4	—	—	—	E	1	0	
1'4	16	7'3	—	—	—	—	NW	4	0	
1'7	11	12'8	—	—	—	—	N	4	1	Wolken in N und S.
1'6	13	10'8	—	—	—	—	NW	1	1	
1'6	25	4'9	—	—	—	—	WSW	8	0	Sturm beginnt 6 p.
1'9	23	6'3	-2'7	—	—	—	NW	4	0	
2'3	20	9'3	—	—	—	—	W	4	1	
1'9	28	4'8	—	—	55'1	37'5	WSW	8	0	
2'1	27	5'5	-1'1	—	—	—	N	3	0	
1'6	15	8'8	—	—	—	—	W	3	3	
2'1	32	4'5	—	—	54'6	35'2	SW	7	0	Starker Wind beginnt 4'30 p.
2'0	28	5'2	-11'6	—	—	—	SW	4	0	Sturm die ganze Nacht.
1'9	21	7'4	—	—	56'9	33'6	N	3	4	

O r t.	Breite N.	Länge E. v. Gr.	Seehöhe		Monat und Tag 1908.	Stun- de.	Luft- druck bei 0 und Normal- schwere mm.	Luft- tempe- ratur Cels.	Feuchtes Thermo- meter. Cels.
			Meter.	n.					
Lager CCCCX, Illakelung circa 40 m über dem See Terinam-tso	30° 50'	85° 43'	4 744	22	Mai 22	9 p	427·8	1·4	- 4·6
„	„	„	„	„	„ 23	7 a	428·8	6·4	0·2
„	„	„	„	„	„ 23	1 p	426·3	14·8	3·5
„	„	„	„	„	„ 23	9 p	426·6	2·8	- 2·9
„	„	„	„	„	„ 24	7 a	428·4	4·1	- 1·8
Lamlung-la	30° 52'	85° 41'	5 145	1	„ 24	9·30 a	409·3	4·5	- 2·6
Das Ufer	30° 54'	85° 37'	4 704	22	„ 24	1 p	432·4	10·2	5·2
Lager CCCCXI, Kibuk-hle circa 5 m über dem See Terinam-tso	30° 54'	85° 36'	4 709	22	„ 24	9 p	434·1	- 0·4	- 4·7
„	„	„	„	„	„ 25	6 a	435·0	3·6	- 1·1
Lager CCCCXII, Terti am See Teri-nam-tso	30° 57'	85° 31'	4 704	22	„ 25	1 p	433·9	9·4	0·3
„	„	„	„	„	„ 25	9 p	435·6	1·5	- 1·4
„	„	„	„	„	„ 26	7 a	435·6	1·5	- 1·7
Weisser Seeboden	31° 0'	85° 25'	4 704	22	„ 26	12 a	434·3	14·0	4·2
Lager CCCCXIII, Mendong-gompa	31° 5'	85° 20'	4 693	6	„ 26	1 p	432·9	13·1	3·9
„	„	„	„	„	„ 26	9 p	433·0	- 1·7	- 2·8
„	„	„	„	„	„ 27	7 a	433·5	5·1	-w 0·9
„	„	„	„	„	„ 27	1 p	431·4	15·4	2·9
„	„	„	„	„	„ 27	9 p	432·0	2·2	- 3·3
„	„	„	„	„	„ 28	7 a	432·5	5·6	-w 0·7
Lager CCCCXIV, Sok-yung	31° 0'	85° 16'	4 714	3	„ 28	1 p	430·5	15·4	3·6
„	„	„	„	„	„ 28	9 p	430·2	4·6	- 1·9
„	„	„	„	„	„ 29	7 a	432·1	4·6	- 1·9
Kleiner Pass	30° 59'	85° 13'	4 856	1	„ 29	7·30 a	423·3	7·7	- 1·9
Lager CCCCXV, Goa-lung	30° 57'	85° 7'	5 022	3	„ 29	1 p	414·3	12·2	0·5
„	„	„	„	„	„ 29	9 p	414·5	0·0	- 5·2
„	„	„	„	„	„ 30	6 a	414·2	0·6	- 2·9
Goa-la	30° 56'	85° 3'	5 298	1	„ 30	9 a	400·6	4·1	- 2·2
Lager CCCCXVI, Changsa-lungpa	30° 57'	84° 58'	5 035	6	„ 30	1 p	413·2	12·4	0·4
„	„	„	„	„	„ 30	9 p	413·9	- 0·9	- 4·8
„	„	„	„	„	„ 31	7 a	414·7	- 0·1	- 2·6
„	„	„	„	„	„ 31	1 p	413·8	10·1	0·1
„	„	„	„	„	„ 31	9 p	414·3	0·2	- 4·9
„	„	„	„	„	Juni 1	7 a	415·1	0·1	- 2·7
Lager CCCCXVII, Tamo-yakshung	30° 57'	84° 50'	4 725	3	„ 1	1 p	430·6	14·3	2·8
„	„	„	„	„	„ 1	9 p	431·6	- 0·8	- 5·0
„	„	„	„	„	„ 2	7 a	432·9	2·4	-w 0·5
Lager CCCCXVIII, Saglam-lungpa	30° 51'	84° 39'	4 786	3	„ 2	1 p	427·8	11·6	1·0
„	„	„	„	„	„ 2	9 p	429·5	5·2	-w 0·9

Luftfeuchtigkeit			Temperatur- extreme		Aktinometer		Wind		Bewöl- kung 0—10 und Nieder- schlag.	Bemerkungen.
Dampf- druck mm.	Relat. %	Sätti- gungs- deficit mm.	Min. Cels.	Max. Cels.	Schwarz- kugel Cels.	Blank- kugel Cels.	Rich- tung.	Stärke.		
1'7	34	3'4	—	—	—	—	SW	3	0	
3'0	41	4'2	— 3'0	—	—	—	NW	3	9	
2'9	23	9'7	—	—	58.2	34'8	NW	4	9	
2'3	40	3'3	—	—	—	—	SW	8	3	Sturm.
2'5	41	3'6	— 2'5	—	—	—	W	3	5	
2'1	33	4'2	—	—	—	—	N	4	5	
5'2	56	4'1	—	—	—	—	N	3	9	Temp. 96 im See.
2'1	46	2'4	—	—	—	—	SW	2	0	Ganz klarer Himmel.
3'0	51	2'9	— 6'3	—	—	—	—	0	5	
2'2	25	6'7	—	—	—	—	NW	4	8	
3'3	65	1'8	—	—	—	—	—	0	4	* ▲
3'2	62	1'9	— 5'2	—	—	—	—	0	8	≡ im E.
3'5	29	8'5	—	—	—	—	E	1	7	
3'6	31	7'7	—	—	—	—	WSW	5	7	
3'3	82	0'7	—	—	—	—	SW	1	0	
2'7	40	3'9	— 5'4	—	—	—	SW	2	0	
2'3	18	10'8	—	—	54.6	33.4	SW	5	8	
2'2	40	3'2	—	—	—	—	SW	3	1/10	Wölkchen im NW.
2'6	39	4'2	— 5'3	—	—	—	SW	4	1	Dunst.
2'8	21	10'3	—	—	—	—	SW	6	1	
2'4	37	4'0	—	—	—	—	SW	5	0	
2'4	37	4'0	— 6'4	—	—	—	—	0	0	
1'7	22	6'2	—	—	—	—	W	5	1	
1'8	16	8'9	—	—	—	—	WSW	6	0	
1'8	39	2'8	—	—	—	—	WSW	5	0	
2'8	58	2'0	— 6'6	—	—	—	WSW	6	1/10	
2'4	39	3'7	—	—	—	—	SW	5	1/10	
1'7	15	9'1	—	—	—	—	W	7	2	
2'2	50	2'1	—	—	—	—	W	1	0	
3'1	67	1'5	— 4'9	—	—	—	—	0	3	Dunst.
2'1	22	7'2	—	—	55.3	36.2	—	5	5	
1'9	40	2'7	—	—	—	—	WSW	2	0	
3'0	65	1'6	— 7'9	—	—	—	W	1	0	Dunst.
2'5	21	9'7	—	—	—	—	W	4	1/10	Zeitweilig W.S.
2'0	46	2'3	—	—	—	—	—	1	1/10	
3'6	66	1'9	— 8'7	—	—	—	—	0	2	Gewölk im W.
2'1	21	8'2	—	—	—	—	SW	5	5	
2'7	41	3'9	—	—	—	—	N	4	1	

O r t.	Breite N.	Länge E. v. Gr.	Seehöhe		Monat und Tag 1908.	Stun- de.	Luft- druck bei 0° und Normal- schwere mm.	Luft- tempe- ratur Cels.	Feuchtes Thermo- meter Cels.
			Meter.	n.				Assmann's Psychrometer.	
Lager CCCCXVIII, Saglam-hlungpa	30° 51'	84° 39'	4 786	3	Juni 3	7 a	430°0	4'7	1'4
Merkershung Schwelle	30° 49'	84° 35'	4 815	1	» 3	10 a	427'9	12'0	6'5
Lager CCCCXIX, Gole-tata	30° 49'	84° 33'	4 788	3	» 3	1 p	427'9	8'6	2'1
»	»	»	»	»	» 3	9 p	429'1	3'0	—w 0'9
»	»	»	»	»	» 4	7 a	429'3	— 0'5	—w 0'6
Lager CCCCXX, Kelyang	30° 48'	84° 24'	4 776	3	» 4	1 p	428'4	5'4	1'3
»	»	»	»	»	» 4	9 p	429'0	0'6	— 1'5
»	»	»	»	»	» 5	7 a	429'2	2'0	— 1'4
Lager CCCCXXI, Mabiye-tangsang-angmo	30° 53'	84° 16'	4 704	3	» 5	1 p	430'7	11'3	2'2
»	»	»	»	»	» 5	9 p	432'0	1'7	— 2'8
»	»	»	»	»	» 6	7 a	434'3	— 0'4	—w 0'4
Lager CCCCXXII, Tuta	30° 58'	84° 12'	4 664	3	» 6	1 p	435'3	8'9	— 1'1
»	»	»	»	»	» 6	9 p	434'6	0'8	— 4'6
»	»	»	»	»	» 7	7 a	434'8	7'2	— 1'2
Lager CCCCXXIII, circa 5 m über Tarok- shung	31° 3'	84° 5'	4 632	6	» 7	1 p	436'4	16'0	3'1
»	»	»	»	»	» 7	9 p	436'1	6'2	—w 0'4
»	»	»	»	»	» 8	7 a	437'2	8'6	2'1
»	»	»	»	»	» 8	1 p	436'0	17'9	5'0
»	»	»	»	»	» 8	9 p	435'7	6'6	—w 0'6
»	»	»	»	»	» 9	7 a	437'0	8'0	1'8
Lungkar-gompa	31° 5'	84° 1'	4 756	1	» 9	0'30 p	428'7	19'1	5'3
Unterhalb Lungkar-gompa	31° 5'	84° 1'	4 692	1	» 9	1 p	432'1	19'3	7'1
Lager CCCCXXIV, Lungkar	31° 3'	83° 59'	4 787	2	» 9	9 p	426'6	6'1	0'1
»	»	»	»	»	» 10	7 a	426'8	6'7	—w 0'3
Lungkar-la	31° 1'	83° 55'	5 570	1	» 10	10 a	386'4	10'6	1'0
Lager CCCCXXV, Goang-shung	31° 0'	83° 53'	5 349	3	» 10	1 p	397'8	10'8	1'5
»	»	»	»	»	» 10	9 p	398'1	— 0'7	—w 0'7
»	»	»	»	»	» 11	7 a	399'4	1'7	— 2'3
Lager CCCCXXVI, Gyänor-tsangpo	30° 55'	83° 47'	5 187	3	» 11	1 p	407'4	14'6	4'0
»	»	»	»	»	» 11	9 p	407'0	1'9	—w 0'4
»	»	»	»	»	» 12	7 a	407'9	3'4	— 1'8
Chuka-la	30° 53'	83° 41'	5 320	1	» 12	10 a	400'9	13'5	0'2
Lager CCCCXXVII, Tokya	30° 51'	83° 42'	5 307	3	» 12	1 p	401'7	17'3	3'0
»	»	»	»	»	» 12	9 p	401'8	2'2	w 0'0
»	»	»	»	»	» 13	7 a	401'9	4'1	— 1'1
Poru-tso, Ufer	30° 51'	83° 35'	5 151	1	» 13	1 p	409'5	13'4	3'7
Lager CCCCXXVIII, Shaktik	30° 50'	83° 36'	5 202 ¹⁾	3	» 13	4 p	406'1	12'4	0'9

¹⁾ Die Zahl 5 022 auf der Karte (Pl. 23) ist unrichtig.

Luftfeuchtigkeit			Temperatur- extreme		Aktinometer		Wind		Bewöl- kung 0-10 und Nieder- schlag.	Bemerkungen.
Dampf- druck mm.	Relat. %	Sätti- gungs- deficit mm.	Min. Cels.	Max. Cels.	Schwarz- kugel Cels.	Blank- kugel Cels.	Rich- tung.	Stärke.		
4.1	64	2.3	- 0.1	—	—	—	SW	1	8	Dichter Dunst, * auf Gebirgen. * 7 a-8 a.
5.7	54	4.8	—	—	—	—	E	3	9	
3.6	42	4.8	—	—	—	—	NE	3	9	Zeitweilig *.
3.2	56	2.5	—	—	—	—	S	1	1	
4.3	97	0.1	- 1.2	—	—	—	S	1	* 10	* na. $\frac{1}{2}$ 7 a ausserordentlich stark.
3.9	58	2.8	—	—	—	—	NE	5	9	
3.5	73	1.3	—	—	—	—	W	3	4	$\Delta^2 \frac{1}{2}$, $\equiv \Gamma_2$ 2 p-3 p.
3.2	61	2.1	- 3.4	—	—	—	—	0	2	
2.9	29	7.1	—	—	—	—	SW	5	4	* in mehrere Richtungen sicht- bar.
2.5	49	2.7	—	—	—	—	—	0	4	
4.4	98	0.1	- 2.6	—	—	—	—	0	* 10	* $\frac{1}{2}$ und Stosswinde.
1.8	21	6.8	—	—	—	—	NE	6	1	
1.8	38	3.1	—	—	—	—	—	0	0	
2.1	28	5.5	- 9.9	—	—	—	SE	3	0	
2.2	16	11.4	—	—	—	—	S	5	7	Dünnes Gewölk, Stosswinde.
2.6	37	4.5	—	—	—	—	SW	5	0	Dunst.
3.5	42	4.9	- 2.1	—	—	—	—	0	1	Dunst.
3.0	20	12.4	—	—	62.1	37.2	SW	6	6	Dunst, Stosswinde.
2.4	33	4.9	—	—	—	—	SW	6	0	
3.5	43	4.6	- 2.8	—	—	—	NE	1	2	
3.0	18	13.6	—	—	—	—	WSW	3	3	
4.3	25	12.5	—	—	—	—	SW	2	3	
3.0	42	4.1	—	—	—	—	SW	7	0	Stosswinde.
2.6	35	4.8	1.0	—	—	—	SW	4	0	Frischer Wind die ganze Nacht.
2.6	27	7.0	—	—	—	—	SW	6	1	
2.8	29	6.9	—	—	—	—	SW	7	2	
4.3	98	0.1	—	—	—	—	SW	4	0	
2.9	55	2.3	- 7.7	—	—	—	SW	2	1	
3.4	27	9.1	—	—	—	—	NW	3	1	Temp. 8.2° in Fluss.
3.8	72	1.5	—	—	—	—	S	5	0	Temp. 0° in Fluss.
2.8	47	3.1	- 4.9	—	—	—	S	5	0	
1.4	12	10.2	—	—	—	—	SW	4	1	
2.1	14	12.7	—	—	—	—	SW	4	1	
4.0	74	1.4	—	—	—	—	ESE	2	0	
3.0	49	3.1	- 5.6	—	—	—	W	2	0	
3.5	30	8.0	—	—	—	—	NW	4	3	Gewölk im W, Temp. 16° im See.
2.0	19	8.8	—	—	—	—	SW	3	4	

Luftfeuchtigkeit			Temperatur- extreme		Aktinometer		Wind		Bewöl- kung 0—10 und Nieder- schlag.	Bemerkungen.
Dampf- druck mm.	Relat. %.	Sätti- gungs- deficit mm.	Min. Cels.	Max. Cels.	Schwarz- kugel Cels.	Blank- kugel Cels.	Rich- tung.	Stärke.		
1'9	24	5'7	—	—	—	—	S	4	1	
3'6	48	4'0	— 5'8	—	—	—	—	0	0	
2'3	16	12'0	—	—	—	—	W	4	1	Temp. 16'4 in Fluss.
2'5	34	4'8	—	—	—	—	WSW	3	0	Temp. 4'4 in Fluss.
3'5	47	3'8	— 5'8	—	—	—	—	0	0	Temp. 2'4 in Fluss.
3'1	27	8'4	—	—	59'5	36'6	SW	5	8	Dichtes Gewölk im W.
3'3	46	3'9	—	—	—	—	SW	2	5	Dünnes Gewölk. Temp. 4'4 in Fluss.
4'9	63	2'8	— 2'6	—	—	—	E	1	0	Temp. 4'4 in Fluss.
4'9	53	4'3	—	—	—	—	SW	4	8	
3'1	63	1'8	—	—	—	—	WSW	3	1	* 2 1/2 1/2 1/2 9—10 p.
4'2	68	1'9	— 2'9	—	—	—	WSW	3	1	
3'6	40	5'4	—	—	—	—	W	1	3	
4'4	52	4'0	—	—	—	—	WNW	3	10	Zeitweilig Δ. * 2 1/2 1/2 wild 2 p —8 p.
3'9	70	1'6	—	—	—	—	S	3	1	Temp. 0'6 in Fluss.
5'2	77	1'5	— 1'7	—	—	—	N	1	10	
5'2	39	8'3	—	—	—	—	S	6	7	Temp. 15'4 in Bach SSW Sturm 2 p—8 p.
4'1	68	1'9	—	—	—	—	SW	3	0	* 10 p—10'30 p. Temp. 4'6 in Bach.
3'9	54	3'4	— 1'1	—	—	—	SSW	5	2	Temp. 3'1 in Bach.
4'3	23	14'7	—	—	—	—	SW	4	7	
4'8	52	4'5	—	—	—	—	SSW	10	10	⊙ Sturm 1 p. Temp. 14'4 in Fluss. Sturm. ▲● 2 p—3 p.
3'7	61	2'4	—	—	—	—	SSW	5	10	Temp. 2'7 in Fluss.
4'8	54	4'2	0'7	—	—	—	S	8	8	Sturm n. dichtes Gewölk 6 a—10 a. Temp. 4'6 in Fluss 7 a.
4'1	28	10'6	—	—	58'5	35'4	SSW	8	8	Temp. 14'0 in Bach.
3'7	58	2'6	—	—	—	—	SSW	4	1	Temp. 3'2 in Fluss.
4'2	45	5'0	— 3'2	—	—	—	S	3	1	Temp. 4'5 in Fluss.
3'3	23	10'9	—	—	—	—	SSW	7	8	
3'6	24	11'5	—	—	—	—	S	6	4	
3'9	62	2'4	—	—	—	—	SSW	5	0	Temp. 2'3 in Quelle.
4'0	52	3'8	0'1	—	—	—	SSW	4	2	
2'8	21	10'1	—	—	—	—	W	4	3	
3'8	34	7'5	—	—	—	—	S	6	3	
2'6	47	3'1	—	—	—	—	NW	2	0	Temp. 0'7 in Quelle.
2'9	39	4'4	— 3'7	—	—	—	—	0	0	
2'4	29	6'0	—	—	—	—	SSW	3	0	
2'9	15	16'2	—	—	—	—	SSW	4	0	
3'0	39	4'6	—	—	—	—	SSE	8	0	

O r t .	Breite N.	Länge E. v. Gr.	Seehöhe		Monat und Tag 1908.	Stun- de.	Luft- druck bei 0 und Normal- schwere mm.	Luft- tempe- ratur Cels.	Feuchtes Thermo- meter Cels.
			Meter.	n.				Assmann's Psychrometer.	
Lager CCCXXXVI, Tayep-parva	31° 30'	83° 12'	5 119	3	Juni 24	7 a	410·2	9·0	2·9
Aussichtsberg	31° 32'	83° 11'	4 938	1	» 24	9 a	419·1	14·7	5·5
Lager CCCXXXVII, Kungme-dumly	31° 32'	83° 5'	4 748	3	» 24	1 p	428·4	12·3	8·2
»	»	»	»	»	» 24	9 p	428·8	10·4	3·6
»	»	»	»	»	» 25	7 a	430·5	9·9	6·8
Pu-karu-la	31° 31'	83° 2'	5 278	1	» 25	10 a	403·1	15·4	4·8
Hügel am Passe	31° 31'	83° 1'	5 311	1	» 25	1 p	401·4	21·0	7·0
Lager CCCXXXVIII, Pebuk	31° 30'	83° 0'	4 984	2	» 25	9 p	417·1	9·0	3·4
»	»	»	»	»	» 26	7 a	418·6	7·8	3·6
Lager CCCXXXIX	31° 32'	82° 54'	4 758	3	» 26	1 p	429·1	18·2	8·6
»	»	»	»	»	» 26	9 p	429·5	6·7	3·0
»	»	»	»	»	» 27	7 a	431·1	12·1	6·7
Lager CCCXLI, Selipuk	31° 30'	82° 45'	4 776	9	» 27	1 p	427·8	22·1	8·1
»	»	»	»	»	» 27	9 p	427·5	9·6	3·6
»	»	»	»	»	» 28	7 a	428·7	11·7	5·6
»	»	»	»	»	» 28	4 p	425·7	19·1	6·3
»	»	»	»	»	» 28	9 p	426·4	8·0	2·6
»	»	»	»	»	» 29	7 a	426·9	11·5	4·1
»	»	»	»	»	» 29	1 p	425·5	18·6	8·4
»	»	»	»	»	» 29	9 p	426·6	6·4	2·5
»	»	»	»	»	» 30	7 a	427·9	7·5	3·4
Lager CCCXLI, Kartse	31° 27'	82° 43'	4 785	3	» 30	1 p	426·6	10·9	5·8
»	»	»	»	»	» 30	9 p	427·7	6·0	0·2
»	»	»	»	»	Juli 1	7 a	428·5	7·2	1·8
Höchste Terrasse	31° 20'	82° 40'	4 874	1	» 1	10 a	422·1	11·6	4·3
Pass Chase-la	31° 18'	82° 39'	4 953	1	» 1	11 a	418·0	8·7	2·8
Lager CCCXLII, Kyangyang	31° 16'	82° 37'	4 977	12	» 1	1 p	415·5	10·5	4·3
»	»	»	»	»	» 1	9 p	415·2	4·0	—w 0·6
»	»	»	»	»	» 2	7 a	416·9	5·5	1·1
»	»	»	»	»	» 2	1 p	416·5	12·4	4·9
»	»	»	»	»	» 2	9 p	416·7	5·6	0·5
»	»	»	»	»	» 3	7 a	418·6	5·1	2·4
»	»	»	»	»	» 3	1 p	418·0	6·2	5·1
»	»	»	»	»	» 3	9 p	418·4	2·1	9·1
»	»	»	»	»	» 4	7 a	419·4	5·0	0·1
»	»	»	»	»	» 4	1 p	418·4	13·4	1·1
»	»	»	»	»	» 4	9 p	418·8	1·8	—w 0·6

Luftfeuchtigkeit			Temperatur- extreme		Aktinometer		Wind		Bewöl- kung 0—10 und Nieder- schlag.	Bemerkungen.
Dampf- druck mm.	Relat. %.	Sätti- gungs- deficit mm.	Min. Cels.	Max. Cels.	Schwarz- kugel Cels.	Blank- kugel Cels.	Rich- tung.	Stärke.		
4'0	47	4'6	— 0'9	—	—	—	SE	3	3	
4'3	34	8'2	—	—	—	—	NE	2	3	
6'9	64	3'8	—	—	—	—	NE	3	6	Temp. 18'8 in See.
4'1	43	5'4	—	—	—	—	SSW	4	0	Temp. 8'2 in Quelle. ☉ 13 2 a—3 a.
6'4	70	2'8	2'8	—	—	—	NE	3	0	
3'8	29	9'3	—	—	—	—	S	1	1	
4'0	21	14'7	—	—	—	—	S	1	1	
4'3	50	4'3	—	—	—	—	NW	1	1,10	∠ in WSW. Temp. 3'3 in Quelle.
4'8	60	3'1	0'0	—	—	—	—	0	1,10	
5'7	36	10'0	—	—	—	—	S	1	4	Umspringender Wind. ☉ in SE. Temp. 21'1 in Fluss. SSW Sturm 4 p—7 p.
4'6	63	2'8	—	—	—	—	SSW	2	2	Temp. 2'3 in Quelle, 7'9 in Fluss.
5'8	55	4'8	— 3'9	—	—	—	—	0	0	Temp. 6'0 in Fluss.
4'3	22	15'7	—	—	—	—	SSW	5	3	Temp. 19'4 in Fluss.
4'3	48	4'7	—	—	—	—	SW	8	0	Temp. 8'6 in Fluss.
5'1	50	5'2	0'8	—	—	—	SSW	2	1,10	Temp. 5'4 in Fluss.
3'8	23	12'8	—	—	65'3	39'7	SSW	4	0	
4'0	50	4'0	—	—	—	—	SSW	3	1,10	Temp. 8'4 in Fluss.
4'1	40	6'1	0'6	—	—	—	SSW	1	1,11	
5'5	34	10'6	—	—	54'3	34'1	SSW	5	10	Temp. 14'1 in Fluss.
4'4	61	2'8	—	—	—	—	SSW	5	1	Temp. 7'5 in Fluss.
4'7	60	3'1	1'2	—	—	—	SW	1	1	Temp. 4'3 in Fluss.
5'5	56	4'3	—	—	—	—	W	4	☉ 8	☉ Δ licht 1 p.
3'1	44	3'0	—	—	—	—	SW	2	2	
3'7	49	3'9	— 4'8	—	—	—	—	0	8	
4'3	41	6'0	—	—	—	—	SW	6	10	
4'0	48	4'4	—	—	—	—	SW	7	10	
4'6	48	4'9	—	—	—	—	SW	5	☉ 10	☉ zeitweilig 0 p—6 p.
3'2	52	2'9	—	—	—	—	SW	10	0	SW Wind ☉ Schauer 7 p. Temp. 2'9 in Quelle.
3'8	55	3'0	1'9	—	—	—	SW	2	10	☉ Schauer 7 a.
4'5	42	6'3	—	—	—	—	SW	5	10	
3'4	50	3'4	—	—	54'6	32'7	SW	5	☉ 8	☉ 9 p. Temp. 9'3 in Quelle.
4'7	71	1'9	2'2	—	—	—	SE	1	Δ 10	Δ 7 a.
6'2	87	0'9	—	—	—	—	SW	2	☉ 10	☉ 1 p. ☉ bis 4 p.
4'0	75	1'3	—	—	59'3	35'7	WSW	1	0	
3'3	50	3'2	— 4'2	—	—	—	SE	2	2	
2'2	19	9'3	—	—	—	—	SE	3	0	
3'7	71	1'5	—	—	51'0	29'8	SW	1	0	

O r t.	Breite N.	Länge E. v. Gr.	Seehöhe		Monat und Tag 1908.	Stun- de.	Luft- druck bei 0 und Normal- schwere mm.	Luft- tempe- ratur Cels.	Feuchtes Thermo- meter Cels.
			Meter.	n.					
Lager CCCCNLII, Kyangyang	31 16'	82 37'	4977	12	Juli 5	7 a	418'9	4'7	-1'4
Kyangyang-la	31 15'	82 34'	5157	1	» 5	7'30 a	408'3	8'1	-1'6
Lager CCCCNLIII, Lavar-demar	31 15'	82° 1'	5048	3	» 5	1 p	413'6	11'9	0'3
»	»	»	»	»	» 5	9 p	413'5	1'1	-4'0
»	»	»	»	»	» 6	7 a	414'0	4'6	-2'1
Lager CCCCNLIV, Kelle	31 18'	82 25'	4949	3	» 6	1 p	418'4	18'7	9'8
»	»	»	»	»	» 6	9 p	418'0	7'1	-1'6
»	»	»	»	»	» 7	7 a	418'4	6'6	-1'5
Lager CCCCNLV	31 19'	82 16'	5196	3	» 7	1 p	405'9	15'3	2'4
»	»	»	»	»	» 7	9 p	405'6	5'1	0'1
»	»	»	»	»	» 8	6 a	406'7	4'7	1'1
Chargo-ding-la	31 16	82 15'	5885	1	» 8	9 a	373'3	9'5	3'0
Lager CCCCNLVI, Luma-nakpo	31 11'	82° 14'	5138	3	» 8	1 p	409'0	10'7	2'5
»	»	»	»	»	» 8	9 p	411'0	5'4	3'0
»	»	»	»	»	» 9	7 a	410'6	6'9	3'6
Sekundärer Pass	31 5'	82 11'	5233	1	» 9	11 a	405'2	10'5	5'3
Lager CCCCNLVII	31° 4'	82 9'	5155	3	» 9	1 p	408'5	3'0	3'0
»	»	»	»	»	» 9	9 p	409'1	0'5	w -0'4
»	»	»	»	»	» 10	7 a	409'1	1'9	0'6
Lager CCCCNLVIII, Takche	31 0'	81 57'	5281	6	» 10	1 p	401'5	11'4	4'3
»	»	»	»	»	» 10	9 p	402'6	2'2	1'5
»	»	»	»	»	» 11	7 a	402'4	4'4	1'8
»	»	»	»	»	» 11	4 p	400'9	4'3	2'2
»	»	»	»	»	» 11	9 p	402'2	0'5	w -0'6
»	»	»	»	»	» 12	7 a	402'6	3'6	2'0
Surnge-la	30 58'	81 54'	5276	1	» 12	9 a	402'0	10'5	5'6
Lager CCCCNLIX, Surnge-lungpa	30 54'	81 50'	4917	3	» 12	1 p	419'2	10'1	3'5
»	»	»	»	»	» 12	9 p	420'3	3'0	1'0
»	»	»	»	»	» 13	7 a	420'0	4'6	2'4
Yüngo-la	30 51	81 49'	5242	1	» 13	9 a	402'9	8'7	4'5
Lager CCCCL	30° 49'	81 48'	5027	3	» 13	1 p	413'6	5'3	4'7
»	»	»	»	»	» 13	9 p	413'9	1'0	0'3
»	»	»	»	»	» 14	7 a	413'1	4'0	3'0
Rigong-la	30 45'	81 46'	4972	1	» 14	10 a	416'0	10'1	6'4
Lager CCCCLI, Tokchen	30 43'	81 46'	4654	30	» 14	1 p	Siehe unten.		
»	»	»	»	»	» 24	7 a			
Lager CCCCLII, Tokchen Fluss	30° 43'	81 41'	4611	3	» 24	1 p	436'3	16'5	9'8
»	»	»	»	»	» 24	9 p	437'2	9'1	6'1
»	»	»	»	»	» 25	7 a	437'5	10'0	7'2

Luftfeuchtigkeit			Temperatur-extreme		Aktinometer		Wind		Bewölkung 0-10 und Nieder- schlag.	Bemerkungen.
Dampfdruck mm.	Relat. %	Sättigungs- deficit mm.	Min. Cels.	Max. Cels.	Schwarz- kugel Cels.	Blank- kugel Cels.	Rich- tung.	Stärke.		
27	41	3.7	- 6.3	—	—	—	SE	1	0	Quellen beeist.
19	23	6.2	—	—	—	—	E	1	0	
17	16	8.8	—	—	—	—	E	2	0	Absolut klarer Himmel.
21	43	2.9	—	—	—	—	—	0	0	Absolut klarer Himmel.
23	36	4.1	- 10.9	—	—	—	—	0	5	Dünnes Gewölk.
67	41	9.5	—	—	—	—	SE	1	5	Dünnes Gewölk, Temp. 12.6 in Bach.
20	27	5.6	—	—	—	—	E	6	0	Temp. 4.5 ^h in Fluss.
22	30	5.1	- 5.1	—	—	—	E	1	0	Absolut klarer Himmel, Temp. 3.1 in Fluss.
22	17	10.8	—	—	—	—	SE	2	0	Temp. 8.7 in Bach.
33	50	3.3	—	—	—	—	SE	5	0	» 2.6 ^h »
40	62	2.4	0.8	—	—	—	SW	5	1	» 1.7 ^h »
41	46	4.8	—	—	—	—	SSW	4	3	
34	35	6.3	—	—	—	—	SW	3	10	Zeitweilig Δ.
50	74	1.7	—	—	—	—	—	0	10	Δ 3.30 p.
50	67	2.5	0.8	—	—	—	SE	1	4	
53	55	4.2	—	—	—	—	SW	4	10	Zeitweilig ⊗ Tropfen.
56	98	0.1	—	—	—	—	—	0	⊗ 10	▲ 1 p. ⊗▲ 4.30 p.
41	87	0.7	—	—	—	—	—	0	* 8	* dicht.
44	83	0.9	- 2.7	—	—	—	W	2	10	
44	43	5.7	—	—	—	—	SW	3	8	Temp. 17.6 in Strom. ⊗ * 2 p —4 p.
48	90	0.6	—	—	—	—	E	2	10	Temp. 5.4 in Strom.
45	71	1.8	- 3.3	—	—	—	E	1	□ 9	□, Temp. 3.5 in Strom.
48	76	1.4	—	—	54.7	33.5	—	0	⊙ 10	⊙ 0 p—4 p.
40	85	0.8	—	—	—	—	W	1	1	
48	81	1.1	- 3.9	—	—	—	—	0	□ 8	□ 7 a.
55	58	4.0	—	—	—	—	SW	1	4	Dünne Wölkchen. ▲ 11 a—12 a.
41	44	5.2	—	—	—	—	SW	2	10	Niederschlag stellenweise.
43	76	1.4	—	—	—	—	E	1	1	▲ Zeitweilig.
48	75	1.6	- 2.8	—	—	—	—	0	0	
52	61	3.2	—	—	—	—	SSE	2	* 10	
61	91	0.6	—	—	—	—	SW	2	⊗ 10	* ⊗ 12 a, ⊗ 1 p. Temp. 11.0 in Bach. ⊗▲ 2 p—6 p.
44	89	0.5	—	—	—	—	—	0	10	* 6 p—8 p, Temp. 3.4 in Bach.
53	87	0.8	0.2	—	—	—	SW	1	10	* n.
61	66	3.2	—	—	—	—	SW	3	5	
71	51	7.0	—	—	—	—	W	2	2	Temp. 19.8 im Fluss Samo-tsangpo.
61	71	2.6	—	—	—	—	SW	4	2	» 12.0 ^h »
67	73	2.5	3.1	—	—	—	E	1	9	11.9 ^h »

Luftfeuchtigkeit			Temperatur-extreme		Aktinometer		Wind		Bewölkung 0—10 und Nieder- schlag.	Bemerkungen.
Dampfdruck mm.	Relat. %.	Sättigungs- deficit mm.	Min. Cels.	Max. Cels.	Schwarz- kugel Cels.	Blank- kugel Cels.	Richtung.	Stärke.		
8.1	61	5.1	—	—	—	—	SSW	3	7	Temp. 18.4° im Fluss. ☉ auf den umgebenden Gebirgen 1 p.
5.7	72	2.2	—	—	—	—	E	2	3	Temp. 12.2 im Fluss.
6.3	74	2.2	7.2	—	—	—	SSE	2	10	☉ 8.2 ☉
8.2	60	5.5	—	—	—	—	E	2	4	☉ 18.6 in dem See Manasarovar, ☉ auf den umgebenden Gebirgen 1 p.
5.7	70	2.4	—	—	—	—	SW	5	0	
8.0	63	4.8	1.2	—	—	—	SW	1	1	
7.7	78	2.3	—	—	—	—	S	1	2	
6.5	65	3.4	—	—	—	—	SW	6	6	Temp. 7.6 in Quelle.
7.4	67	3.6	6.3	—	—	—	SW	3	6	☉ 8.1 ☉ ☉ in S 7 a.
5.9	41	8.5	—	—	—	—	SSE	7	9	☉ 1 p. ☉ 4 p—7 p.
6.4	79	1.7	—	—	—	—	—	0	10	
7.0	84	1.4	6.1	—	—	—	S	1	10	☉ n.
9.6	67	4.6	—	—	—	—	ESE	3	8	
7.6	81	1.9	—	—	—	—	WSW	4	☉ 10	▲ ☉ 30 p. sodann ☉ ² . und danach ☉ ununterbrochen bis d. 30. 9 a.
6.9	74	2.4	—	—	—	—	—	0	☉ 10	
6.7	98	0.1	4.2	—	—	—	WSW	1	☉ 10	
9.1	63	5.4	—	—	—	—	SW	2	8	
7.1	86	1.1	—	—	—	—	—	0	☉ 10	☉ 9 p—n.
6.9	78	2.0	4.7	—	—	—	—	0	5	
8.2	84	1.6	—	—	—	—	S	3	☉ 10	Temp. 16.25° in Fluss. 11.55 in Quelle, zeitweilig ☉.
6.6	70	2.9	—	—	—	—	S	3	10	Temp. 8.3° in Fluss. 8.3° in Quelle.
6.7	97	0.2	4.2	—	—	—	S	2	☉ 10	Temp. 6.6° in Fluss. 7.8° in Quelle.
7.7	84	1.5	—	—	—	—	—	0	☉ 10	☉ n2, ☉ ² beginnt 10 a.
5.6	66	3.0	—	—	—	—	SW	3	8	Dünnes Gewölk.
7.4	80	1.9	5.0	—	—	—	—	0	6	
8.7	50	8.5	—	—	—	—	—	0	10	☉ 11 a. ☉ 2.30—3.30 p.
6.7	83	1.4	—	—	—	—	SW	5	☉ 10	☉ ² 5 p—9 p.
7.7	72	3.0	5.8	—	—	—	S	2	☉ 10	☉ 7 a.
9.1	98	0.2	—	—	—	—	—	0	☉ 10	☉ ² 9 a—10.30 a.
8.6	82	1.9	—	—	—	—	—	0	10	
7.4	54	6.2	—	—	—	—	WSW	3	5	Temp. 13.2° im Fluss Satlej.
6.0	64	3.5	—	—	—	—	WSW	3	5	☉ 13.4 ☉ ☉ ☉
7.2	80	1.8	6.4	—	—	—	SW	1	10	☉ 8.4 ☉ ☉ ☉
9.6	77	2.9	—	—	—	—	E	1	10	

Luftfeuchtigkeit			Temperatur- extreme		Aktinometer		Wind		Bewöl- kung 0—10 und Nieder- schlag.	Bemerkungen.
Dampf- druck mm.	Relat. %	Sätti- gungs- deficit mm.	Min. Cels.	Max. Cels.	Schwarz- kugel Cels.	Blank- kugel Cels.	Rich- tung.	Stärke.		
8.1	58	5.9	—	—	—	—	NE	1	8	
5.6	59	4.0	—	—	—	—	SW	2	10	Teilweise dünnes Gewölk.
5.4	57	4.0	6.5	—	—	—	—	0	10	
6.7	46	7.7	—	—	—	—	S	1	7	
6.5	46	7.5	—	—	—	—	S	1	5	
4.6	31	10.5	—	—	—	—	W	3	4	
—	—	—	—	—	—	—	—	—	—	
—	—	—	—	—	—	—	—	—	—	
5.3	38	8.7	—	—	—	—	SW	2	7	
6.1	48	6.5	—	—	—	—	W	1	9	Temp. 10.6 in Fluss.
5.9	63	3.5	—	—	—	—	S	2	1	» 10.8 » »
6.1	80	1.5	2.0	—	—	—	—	0	1	« in S. temp. 4.2 in Fluss.
6.8	51	6.5	—	—	—	—	SW	1	3	
5.3	57	4.1	—	—	—	—	NW	1	8	☉ S p—8.30 p.
6.5	82	1.4	4.4	—	—	—	—	0	☉10	☉ n. ☉ 4 a—6 a. ☉ den ganzen Vormittag.
7.4	76	2.4	—	—	—	—	—	0	☉ 10	☉ 12 a—1 p. ☉ bis 5.30 p.
8.1	81	1.9	—	—	—	—	W	1	☉ 10	
7.1	72	2.8	—	—	—	—	—	0	10	Temp. 10.5 in Fluss.
8.8	83	1.8	4.6	—	—	—	—	0	8	» 8.2 » »
7.1	68	3.4	—	—	—	—	W	1	5	
—	—	—	—	—	—	—	—	—	—	
6.5	38	10.6	—	—	—	—	S	1	3	» 13.3 » »
6.5	63	3.8	—	—	—	—	S	2	1	» 11.5 » » » « in S.
6.6	59	4.6	3.9	—	—	—	—	0	1.10	Temp. 6.5 in Fluss. Wolken im S 7 a.
6.4	40	9.5	—	—	—	—	E	2	2	
4.1	28	10.5	—	—	—	—	W	1	7	
4.5	28	11.3	—	—	—	—	NE	1	5	
5.1	55	4.2	—	—	—	—	S	1	1.10	Wolken im S 9 p.
6.4	53	5.7	3.0	—	—	—	—	0	0	Absolut klarer Himmel.
4.8	35	9.0	—	—	61.2	39.6	—	0	1	
6.1	60	4.1	—	—	—	—	—	0	0	
6.9	65	3.7	2.5	—	—	—	NE	1	3	
7.9	70	3.3	—	—	—	—	S	2	9	▲☉ beginnt 0.30 p. Temp. 9.7 in Quelle.
7.2	84	1.5	—	—	—	—	S	1	☉10	☉ beginnt 6 p.
7.9	81	2.0	7.3	—	—	—	NE	1	3	☉ n.
7.3	64	4.1	—	—	—	—	WSW	1	☉10	☉ beginnt 11 a.
8.0	84	1.6	—	—	—	—	—	0	8	Temp. 8.5 in Quelle.

O r t .	Breite N.	Länge E. v. Gr.	Seehöhe		Monat und Tag 1908.	Stun- de.	Luft- druck bei 0° und Normal- schwere mm.	Luft- tempe- ratur Cels.	Feuchtes Thermo- meter Cels.
			Meter.	n.				Assmann's Psychrometer.	
Lager CCCCLXX. Mangnang-gompa	31° 22'	79° 51'	4 016	3	Aug. 13	7 a	470·4	12·0	9·6
Gipfel	—	—	4 194	1	» 13	11 a	459·5	16·7	8·9
Lager CCCCLXXI. Totlung, in Niveau mit Fluss	31° 30'	79° 51'	3 700	6	» 13	5 p	486·4	17·1	11·6
»	»	»	»	»	» 13	9 p	488·0	14·4	10·9
»	»	»	»	»	» 14	7 a	489·1	15·0	9·8
»	»	»	»	»	» 14	1 p	487·9	18·8	11·0
»	»	»	»	»	» 14	9 p	488·8	11·2	7·8
»	»	»	»	»	» 15	7 a	489·8	13·8	10·4
Lager CCCCLXXII. Natang	31° 34'	79° 48'	3 746	3	» 15	1 p	484·1	16·0	10·1
»	»	»	»	»	» 15	9 p	485·6	10·4	8·1
»	»	»	»	»	» 16	7 a	485·4	11·7	9·2
Lager CCCCLXXIII	31° 41'	79° 48'	4 085	3	» 16	1 p	464·8	17·3	9·9
»	»	»	»	»	» 16	9 p	464·9	12·8	7·5
»	»	»	»	»	» 17	7 a	466·2	12·4	8·1
Gipfel	31° 42'	79° 48'	4 276	1	» 17	—	454·9	—	—
Lager CCCCLXXIV, Shangdse	31° 50'	79° 41'	4 194	3	» 17	1 p	459·3	20·4	12·2
»	»	»	»	»	» 17	9 p	459·7	12·6	7·7
»	»	»	»	»	» 18	7 a	460·9	8·7	7·2
Choktse	31° 53'	79° 39'	4 187	1	» 18	—	460·6	—	—
Pass	31° 54'	79° 38'	4 486	1	» 18	—	443·7	11·9	7·4
Lager CCCCLXXV, Rabgjalang-gompa	31° 55'	79° 37'	4 166	3	» 18	12 a	461·9	19·8	13·1
»	»	»	»	»	» 18	9 p	461·3	10·7	5·4
»	»	»	»	»	» 19	7 a	462·1	9·4	6·0
Lager CCCCLXXVI, Karu-sing	31° 57'	79° 30'	4 300	3	» 19	1 p	454·2	17·1	7·6
»	»	»	»	»	» 19	9 p	453·4	9·2	4·1
»	»	»	»	»	» 20	7 a	455·2	11·4	6·6
Lager CCCCLXXVII. Ldat	31° 55'	79° 25'	4 478	3	» 20	1 p	443·5	19·1	7·8
»	»	»	»	»	» 20	9 p	443·9	—	—
»	»	»	»	»	» 21	7 a	444·9	10·9	6·7
Passgipfel Dato-la	31° 55'	79° 23'	4 657	1	1 21	—	434·7	12·9	7·4
Die Brücke Optil	31° 55'	79° 21'	3 827	1	1 21	—	481·2	21·8	11·2
Pass nahe bei dem Lager	»	»	4 379	1	» 21	—	449·6	25·0	12·2
Lager CCCCLXXVIII, Koldoktse	31° 56'	79° 19'	4 351	3	» 21	1 p	450·5	18·8	10·3
»	»	»	»	»	» 21	9 p	451·5	12·0	5·9
»	»	»	»	»	» 22	7 a	452·4	9·8	7·4
Der Gipfel Dambak-la	31° 57'	79° 18'	4 601	1	» 22	—	437·8	—	—
Das Thal Sarper	31° 57'	79° 17'	4 322	1	» 22	—	453·1	—	—
Pouche-la	31° 58'	79° 14'	4 927	1	» 22	—	420·5	10·8	6·1

Luftfeuchtigkeit			Temperatur extreme		Aktinometer		Wind		Bewölkung 0-10 und Nieder- schlag.	Bemerkungen.
Dampf- druck mm.	Relat. %	Sätti- gungs- deficit mm.	Min. Cels.	Max. Cels.	Schwarz- kugel Cels.	Blank- kugel Cels.	Rich- tung.	Stärke.		
8 ₁	77	2 ⁴	4 ¹	—	—	—	—	0	8	
6 ₂	44	8 ¹	—	—	—	—	SW	1	8	
8 ₄	57	6 ²	—	—	—	—	E	3	9	☉ ² 1 ² Stunde.
8 ₅	69	3 ⁸	—	—	—	—	E	1	1	
7 ₇	60	5 ¹	8 ³	—	—	—	E	2	10	
7 ₃	45	9 ⁰	—	—	—	—	W	3	10	
6 ₈	74	2 ⁵	—	—	5 ² 6	3 ⁶ 2	E	1	10	☉ ² 4 p—5 ³⁰ p. zeitweilig ☉ ² .
8 ₃	70	3 ⁵	8 ⁹	—	—	—	E	1	9	
7 ₄	54	6 ²	—	—	—	—	NW	2	10	☉ ² 1 p. dann meistens den ganzen Nachmittag.
7 ₂	77	2 ²	—	—	—	—	—	0	10	
7 ₈	76	2 ⁵	6 ⁹	—	—	—	—	0	10	☉ ² n.
6 ₉	46	7 ⁹	—	—	—	—	SE	1	2	
6 ₁	55	5 ⁰	—	—	—	—	NW	1	2	
6 ₇	62	4 ¹	6 ⁰	—	—	—	E	1	1	
—	—	—	—	—	—	—	—	—	—	
8 ₀	44	10 ⁰	—	—	—	—	—	0	2	Temp. 16 ¹ in Fluss.
6 ₄	58	4 ⁵	—	—	—	—	SW	1	10	„ 11 ⁰ „ „
7 ₀	83	1 ⁴	4 ⁸	—	—	—	SW	1	1	„ 9 ⁰ „ „
—	—	—	—	—	—	—	—	—	—	
6 ₄	61	4 ¹	—	—	—	—	SW	1	4	
9 ₂	53	8 ¹	—	—	—	—	SW	1	2	Temp. 13 ⁰ in Fluss.
5 ₁	53	4 ¹	—	—	—	—	—	0	1	„ 10 ⁹ „ „
5 ₉	67	3 ⁰	0 ¹	—	—	—	—	0	1	„ 7 ¹ „ „
5 ₁	35	9 ⁵	—	—	—	—	SW	1	3	
4 ₆	53	4 ¹	—	—	—	—	—	0	1	
5 ₈	58	4 ³	0 ¹	—	—	—	—	0	2	
4 ₈	29	11 ⁸	—	—	—	—	SW	4	2	
—	—	—	—	—	—	—	—	—	—	
6 ₁	62	3 ⁷	6 ¹	—	—	—	SW	1	10	
6 ₁	55	5 ¹	—	—	—	—	SW	1	8	
6 ₇	34	12 ⁹	—	—	—	—	SW	1	2	
7 ₀	30	16 ⁸	—	—	—	—	SE	3	4	
6 ₉	42	9 ⁴	—	—	—	—	SSW	1	5	☉ ² einige Tropfen.
5 ₂	49	5 ³	—	—	—	—	N	1	3	Starker SW Wind und einige ☉ ² Tropfen 7 p—7 ³⁰ p.
6 ₉	76	2 ²	7 ⁴	—	—	—	SW	1	10	☉ ² 6 a—7 ³⁰ a. sodann ☉ ² und ▲ mit Abbrüchen.
—	—	—	—	—	—	—	—	—	—	
—	—	—	—	—	—	—	—	—	—	
5 ₇	59	4 ⁰	—	—	—	—	SW	3	10	

Luftfeuchtigkeit			Temperatur- extreme		Aktinometer		Wind		Bewöl- kung 0-10 und Nieder- schlag.	Bemerkungen.
Dampf- druck mm.	Relat. %	Sätti- gungs- deficit mm.	Min. Cels.	Max. Cels.	Schwarz- kugel Cels.	Blank- kugel Cels.	Rich- tung.	Stärke.		
6.1	85	1.1	—	—	—	—	NW	3	☉ 10	☉ beginnt 12 a, ☉ ▲ 0.30 p, ☉ 4 p-6 p.
5.1	76	1.6	—	—	—	—	N	1	1	
7.0	83	1.4	-1.4	—	—	—	E	1	1	☉* n.
—	—	—	—	—	—	—	—	—	—	
6.0	81	1.4	—	—	—	—	N	3	☉ 10	☉ beginnt 12 a.
4.5	71	1.9	—	—	—	—	—	0	0	
5.8	77	1.7	-2.8	—	—	—	—	0	☉ 1	☉ alle Gebirge weiss 7 a.
11.1	70	4.7	—	—	—	—	N	2	7	
8.1	63	4.8	—	—	—	—	—	0	9	☉ 9.30 a-10 a.
7.3	38	11.6	—	—	—	—	—	0	9	Hauch, Temp. 10.8° in Fluss.
7.1	38	5.1	—	—	—	—	—	0	0	Absolut klarer Himmel, Temp. 7.2 in Fluss.
7.8	84	1.5	8.9	—	—	—	SW	1	9	Temp. 6.3 in Fluss.
7.7	83	1.6	—	—	—	—	SW	4	10	
10.9	70	4.8	—	—	—	—	SW	3	10	☉ 10.4 in Quelle.

H. = 3 506 m.

1906.

Tag.	Richtung und Stärke des Windes.			Bewölkung und Niederschlag.			Aktinometer.		Bemerkungen.
	7 a.	1 p.	9 p.	7 a.	1 p.	9 p.	Schwarz- kugel. Cels.	Blank- kugel. Cels.	
1	—	—	0	—	—	0	—	—	
2	—	0 NNW 1	NW 1	0	1	0	67.0	48.9	
3	—	0 —	NW 1	0	1	0	66.5	48.6	
4	—	0 —	NNW 1	0	1	0	71.8	53.1	
5	—	0 —	—	0	2	0	70.3	52.9	
6	—	0 NE 1	N 1	1	1	3	69.3	50.2	
7	—	0 SSW 2	NW 1	9	5	4	69.4	50.9	Dünner Wolkenschleier 7 a und 1 p.
8	—	0 SSW 1	NNE 1	2	3	0	68.5	51.3	
9	—	0 SE 1	ENE 1	1	2	0	67.8	50.9	
10	—	0 SW 1	ENE 1	9	3	1	71.7	50.6	Dünner Wolkenschleier 7 a.
11	SE 1	—	—	5	5	2	69.7	51.0	
12	—	0 NE 1	ENE 1	9	4	0	73.4	50.4	
13	—	0 —	ENE 1	1	4	1	69.3	49.8	Beobachtet 9 a. 3.30 p und 10 p.
14	—	0 —	—	5	—	—	—	—	
Mitt.	0.1	0.7	0.8	3.2	2.7	0.8	69.5	50.7	

Januar.

$\varphi = 31^{\circ} 14' N.$
 $\lambda = 86^{\circ} 57' E. v. Greenwich.$

Lager XCVIII A

Tag.	Luftdruck bei 0 und Normal-schwere. mm.			Lufttemperatur. Cels.					Feuchtes Thermometer. Cels.			Luftfeuchtigkeit.								
				Cels.			Min. Max.					Dampfdruck. mm.			Relativ %.			Sättigungsdeficit. mm.		
	7 a.	1 p.	9 p.	7 a.	1 p.	9 p.	Min.	Max.	7 a.	1 p.	9 p.	7 a.	1 p.	9 p.	7 a.	1 p.	9 p.	7 a.	1 p.	9 p.
5			428.0	—	—	14.0	—	—	—	—	15.9	—	—	0.7	—	—	45	—	—	0.9
6	427.1	428.6	27.5	18.5	2.5	10.5	23.2	—	19.2	3.4	15.4	0.7	2.1	0.1	63	37	4	0.4	3.4	2.0
7	26.3	28.3	27.9	15.5	2.1	8.6	23.6	—	17.8	5.4	13.1	0.4	1.2	0.4	31	22	18	1.0	4.1	2.0
8	27.1	27.4	27.9	19.5	0.9	13.0	21.9	—	20.2	5.7	14.7	0.6	1.3	0.9	60	27	52	0.4	3.6	0.8
9	26.9	27.1	26.5	11.1	1.5	10.1	18.5	—	13.7	6.4	12.4 ¹⁾	0.8	1.5	1.0	41	37	48	1.2	2.6	1.1
10	25.5	24.3	25.5	12.3	4.1	11.4	17.4	—	14.5	7.9	12.2	0.8	1.5	1.4	44	43	73	1.0	1.9	0.5
11	24.2	24.7	25.5	15.1	3.6	13.9	25.9	—	16.9	8.1	15.5	0.6	1.3	0.8	44	36	52	0.8	2.2	0.8
12	25.8	28.6	27.6	22.9	5.7	16.9	27.6	—	23.1	10.9	19.6	0.5	0.6	0.2	73	20	16	0.2	2.4	1.0
13	26.3	26.5	26.5	15.6	3.5	10.8	25.4	—	17.2	8.1	12.7	0.6	1.2	1.1	47	35	54	0.8	2.3	0.9
14	25.7	27.3	25.5	18.1	8.1	20.6	26.1	—	19.1	11.2	21.2	0.6	1.0	0.6	56	41	62	0.5	1.5	0.3
15	22.9	23.7	23.5	18.3	6.1	11.8	26.2	—	19.6	10.9	13.6	0.5	0.7	1.0	47	24	53	0.6	2.2	0.9
16	22.7	24.6	23.5	20.3	7.5	11.9	26.1	—	21.9	11.1	14.3	0.3	0.9	0.8	31	36	42	0.6	1.7	1.0
17	22.5	—	—	16.1	—	—	25.2	—	17.3	—	—	0.7	—	—	55	—	—	0.6	—	—
Mitt.	425.3	426.5	426.3	16.9	3.1	12.8	24.3	—	—	—	—	0.6	1.2	0.8	50	33	43	0.7	2.7	1.0

¹⁾ Das Tagebuch hat = 17.4.

Februar.

$\varphi = 29^{\circ} 17' N.$
 $\lambda = 88^{\circ} 54' E. v. Greenwich.$

Shi-

Tag.	Luftdruck bei 0 und Normal-schwere. mm.			Lufttemperatur. Cels.					Feuchtes Thermometer. Cels.			Luftfeuchtigkeit.								
				Cels.			Min. Max.					Dampfdruck. mm.			Relativ %.			Sättigungsdeficit. mm.		
	7 a.	1 p.	9 p.	7 a.	1 p.	9 p.	Min.	Max.	7 a.	1 p.	9 p.	7 a.	1 p.	9 p.	7 a.	1 p.	9 p.	7 a.	1 p.	9 p.
9			478.2	—	—	2.7	—	—	—	—	7.4	—	—	1.2	—	—	33	—	—	2.6
10	478.3	477.8	76.5	10.9	8.5	4.3	18.9	—	13.5	2.2	2.1	0.8	1.1	2.2	38	13	35	1.2	7.2	4.0
11	77.3	—	76.7	7.1	—	2.3	14.4	—	10.3	—	6.8	1.1	—	1.4	40	—	36	1.6	—	2.5
12	75.9	71.1	72.1	5.0	5.1	3.6	10.1	—	7.3	1.3	7.8	1.9	2.5	1.3	59	37	37	2.3	4.1	2.2
13	70.6	69.3	70.5	3.7	0.5	1.6	9.4	—	7.1	4.9	6.3	1.6	1.7	1.5	47	35	36	1.9	3.1	2.6
14	71.0	69.6	72.5	5.4	0.3	7.1	11.5	—	9.5	5.7	11.2	1.0	1.3	0.7	32	28	26	2.1	3.4	2.0
15	71.1	71.8	76.0	5.5	4.5	3.4	11.9	—	8.9	0.2	3.0	1.3	3.2	1.9	42	51	32	1.7	3.1	4.0
16	77.6	77.5	75.8	7.5	6.9	3.3	18.6	—	11.3	2.1	8.9	0.8	1.5	0.7	29	20	20	1.8	6.0	2.9
17	76.7	78.2	78.0	0.0	9.8	0.7	11.4	—	4.1	1.3	6.3	2.2	1.2	0.9	47	14	18	2.4	7.9	3.9
18	78.2	78.3	76.5	6.9	11.1	2.2	17.1	—	10.5	0.3	3.3	0.9	1.1	3.1	34	12	80	1.8	8.8	0.8
19	77.2	75.5	76.0	1.3	7.9	0.7	9.6	—	2.5	0.9	1.5	3.4	1.7	3.4	81	21	71	0.8	6.3	1.4
20	73.9	73.3	77.3	1.6	1.7	4.3	9.8	—	2.3	0.3	6.9	3.5	3.8	1.9	87	74	56	0.6	1.4	1.4
21	76.3	75.2	73.2	6.9	3.2	0.7	16.9	—	8.1	2.5	2.3	1.9	2.2	3.3	70	39	76	0.8	3.6	1.1
22	74.4	73.7	74.0	2.3	2.5	3.1	11.2	—	4.9	0.3	7.1	2.3	3.6	1.5	60	66	40	1.6	1.9	2.1
23	71.8	72.2	74.6	3.7	2.5	5.5	16.5	—	8.0	1.5	7.4	1.2	3.0	1.9	35	54	63	2.3	2.5	1.1
24	73.1	72.8	72.5	6.9	5.1	3.7	14.8	—	8.8	2.9	4.3	1.7	1.5	1.1	61	23	19	1.0	5.1	4.9
25	75.0	74.2	72.6	2.3	6.5	3.1	10.4	—	6.6	0.2	4.9	1.5	2.5	2.5	39	35	70	2.4	4.8	1.1
26	74.7	73.9	74.7	2.1	7.5	1.5	8.2	—	8.4	2.1	4.9	0.6	1.4	1.4	16	18	27	3.3	6.4	3.7
27	77.8	78.5	80.2	3.5	2.8	4.3	10.1	—	7.9	4.7	7.9	1.2	1.2	0.4	34	20	12	2.3	4.4	2.9
28	81.1	81.2	78.6	7.7	5.7	6.2	16.9	—	10.8	3.1	10.4	1.0	1.3	0.8	39	18	28	1.6	5.6	2.1
Mitt.	475.4	474.7	475.3	4.8	5.1	1.8	13.0	—	—	—	—	1.6	2.0	1.7	47	32	41	1.8	4.8	2.5

= Lager CVII.

H₆ = 4767 m. n = 35.

1907.

Tag.	Richtung und Stärke des Windes.			Bewölkung und Niederschlag.			Aktinometer.		Bemerkungen.
							Schwarz- kugel. Cels.	Blank- kugel. Cels.	
	7 a.	1 p.	9 p.	7 a.	1 p.	9 p.	Cels.	Cels.	
5	—	—	— 0	—	—	0	—	—	
6	NNE 2	WNW 8	WNW 1	0	1	0	35'7	16'2	
7	WNW 2	WNW 8	WNW 2	0	0	0	34'8	17'3	
8	NNE 1	WNW 9	NNE 1	2	9	10	41'3	19'0	7 a dünnes Gewölk.
9	NNE 1	WSW 7	SSW 8	9	10	1	20'6	6'4	
10	SSW 4	SSW 8	SSW 1	2	9	0	24'0	5'8	
11	— 0	SSW 8	SW 2	0	7	1	29'4	9'8	
12	NNE 1	SW 3	NNE 1	1	0	2	29'9	9'8	
13	— 0	SW 2	SW 1	5	8	6	30'2	10'6	7 a dünne Wölkchen.
14	WSW 1	SW 3	NNW 1	0	0	0	27'8	9'4	1 p Sonnenfinsternis.
15	SW 1	SW 5	SW 5	≡ 6	9	1	26'2	15'7	7 a ≡
16	NNW 1	SSW 2	WSW 2	6	4	3	29'6	11'5	7 a dünne Wölkchen.
17	— 0	—	—	8	—	—	—	—	
Mitt.	1'2	5'7	2'1	3'3	5'2	1'2	30'0	12'0	

gutse.

H₆ = 3871 m. n = 136.

1907.

Tag.	Richtung und Stärke des Windes.			Bewölkung und Niederschlag.			Aktinometer.		Bemerkungen.
							Schwarz- kugel. Cels.	Blank- kugel. Cels.	
	7 a.	1 p.	9 p.	7 a.	1 p.	9 p.	Cels.	Cels.	
9	—	—	— 0	—	—	0	—	—	
10	— 0	— 0	SW 5	0	2	0	40'5	23'7	
11	— 0	—	— 0	0	—	0	49'7	31'8	
12	— 0	SW 8	— 0	10	10	0	42'3	24'4	Beobachtet 3'15 p. statt 1 p. Sturm 3 p—6 p.
13	— 0	SW 9	SW 2	10	10	3	23'7	12'3	Staubnebel 1 p.
14	SW 4	SW 2	SW 1	0	10	0	41'0	18'9	
15	— 0	SW 2	SW 4	8	8	0	49'5	30'0	Sturm nach 1 p.
16	— 0	NE 1	— 0	0	0	0	51'9	32'3	
17	SW 2	SW 2	SW 1	0	3	0	50'4	31'1	
18	SW 1	SW 1	— 0	0	8	2	49'8	37'8	
19	— 0	— 0	SW 3	1	9	7	47'2	33'6	
20	— 0	SW 9	— 0	10	10	0	25'7	9'4	Sturm 1 p.
21	— 0	SW 1	— 0	2	0	10	48'4	29'0	Dünne Wölkchen 9 p.
22	SW 4	SW 1	SW 1	0	4	1	46'0	28'0	
23	— 0	— 0	— 0	10	10	3	45'4	24'5	
24	— 0	SW 1	SW 1	1	3	2	48'6	30'2	
25	SW 1	SW 1	SW 5	0	2	3	48'6	30'5	
26	SW 2	SW 6	— 0	0	4	10	48'4	29'4	
27	NE 1	SW 4	— 0	3	6	0	47'9	27'6	
28	NE 2	SW 1	— 0	0	0	0	47'2	27'8	
Mitt.	0'9	2'7	1'2	2'9	5'5	2'1	47'3	28'5	

März.

$\eta = 29\ 17'$ N.
 $\lambda = 88\ 54'$ E. v. Greenwich.

Shi-

Tag.	Luftdruck bei o und Normal-schwere. mm.			Lufttemperatur. Cels.					Feuchtes Thermometer. Cels.			Luftfeuchtigkeit.								
	7 a.	1 p.	9 p.	7 a.	1 p.	9 p.	Min.	Max.	7 a.	1 p.	9 p.	Dampfdruck. mm.			Relativ %.			Sättigungsdeficit. mm.		
												7 a.	1 p.	9 p.	7 a.	1 p.	9 p.	7 a.	1 p.	9 p.
1	477.7	476.5	474.5	-7.6	9.4	2.7	-17.2	—	-10.4	-1.5	-3.8	1.2	1.2	1.6	44	14	29	1.4	7.7	4.0
2	77.6	76.6	76.8	0.2	7.6	0.6	-11.2	—	-6.1	-2.3	-6.3	1.2	1.2	0.9	27	16	19	3.3	6.6	3.9
3	78.1	75.4	77.1	-3.2	7.1	2.0	-13.1	—	-7.9	-2.3	-4.4	1.1	1.4	1.5	31	18	29	2.5	6.2	3.8
4	77.1	76.7	77.5	-1.1	4.7	1.5	-10.2	—	-5.4	-2.8	-4.7	1.8	1.7	2.2	42	26	54	2.4	4.7	1.9
5	77.7	77.5	78.2	3.1	3.3	-5.1	11.1	—	-6.4	-2.9	-8.3	1.8	2.0	1.4	49	34	45	1.8	3.8	1.7
6	80.0	77.4	74.5	-6.1	7.7	-0.1	-15.1	—	8.9	-2.3	-5.5	1.4	1.2	1.3	48	15	28	1.5	6.7	3.2
7	77.5	74.4	75.6	1.5	9.1	1.9	-6.6	—	-5.0	-2.7	-3.5	1.3	0.7	2.0	26	8	38	3.8	8.0	3.3
8	78.9	76.9	77.6	0.3	5.1	1.2	-10.1	—	-5.7	0.2	-6.7	1.3	2.9	0.6	27	44	11	3.4	3.7	4.4
9	81.1	78.0	76.7	-0.1	5.9	0.6	10.6	—	4.5	-3.6	-6.1	2.0	0.9	1.0	43	13	21	2.5	6.1	3.8
10	78.3	75.5	76.5	-0.5	6.4	-2.5	-10.6	—	-6.7	-3.3	-6.3	1.0	1.0	0.4	22	14	11	3.4	6.2	3.4
11	77.4	76.5	75.9	1.8	7.9	2.7	-10.8	—	-7.1	-2.0	-5.1	1.1	1.3	1.0	28	17	18	2.9	6.7	4.6
12	73.8	71.5	70.8	1.9	3.0	-2.3	7.2	—	-4.5	-4.1	-6.5	1.5	1.4	1.6	28	25	40	3.8	4.3	2.3
13	71.3	69.8	73.1	3.1	1.5	-3.1	8.2	—	-5.1	-5.9	-9.0	2.4	0.9	0.6	67	18	17	1.2	4.2	3.0
14	75.5	74.3	76.1	-3.1	1.5	-4.5	-13.3	—	-8.9	-2.1	-8.9	0.7	2.9	1.0	18	56	31	2.9	2.2	2.3
15	78.8	76.4	76.8	-2.1	6.6	1.2	-12.8	—	-7.3	-2.9	-2.3	1.1	1.2	2.3	29	16	46	2.8	6.1	2.7
16	78.6	75.8	76.2	0.7	7.1	-2.3	9.2	—	1.3	-2.3	6.5	3.5	1.4	1.6	73	18	40	1.3	6.2	2.3
17	77.6	75.7	75.5	-0.7	-1.0	-2.0	13.2	—	-2.7	-1.9	-3.1	3.1	3.6	3.2	71	85	81	1.3	0.7	0.8
18	77.0	73.2	73.6	-0.3	6.1	-3.2	-10.4	—	-2.5	-1.9	-7.6	3.1	1.8	1.3	69	26	35	1.4	5.3	2.3
19	74.5	72.4	72.9	-3.3	3.3	-3.2	-12.3	—	-6.5	-4.3	-8.7	1.8	1.2	0.8	50	21	22	1.8	4.6	2.8
20	74.5	74.2	75.9	-5.5	0.0	-4.4	-13.4	—	-10.1	-6.3	-8.5	0.8	1.1	1.2	25	23	35	2.2	3.5	2.1
21	76.9	74.5	72.0	-3.5	7.5	1.7	16.1	—	-8.7	-2.9	-4.9	0.9	0.9	1.3	24	12	26	2.6	6.9	3.9
22	72.6	69.3	71.4	0.9	8.0	-2.1	-6.6	—	-1.5	-2.1	-6.9	3.4	1.3	1.3	69	16	34	1.5	6.8	2.6
23	73.1	74.8	73.8	0.3	7.1	1.4	-10.8	—	-6.1	-3.3	-5.6	1.1	0.8	1.1	23	11	21	3.6	6.8	4.0
24	73.7	71.5	74.0	-0.9	11.1	2.3	-13.4	—	-7.2	-1.0	-4.4	0.9	1.1	1.4	21	11	27	3.4	8.8	4.0
25	73.5	72.5	76.5	2.0	6.1	1.5	9.5	—	-5.3	-3.7	-6.9	1.1	0.9	0.4	20	12	8	4.2	6.2	4.7
26	76.8	75.0	75.8	-2.1	8.3	-0.9	-13.8	—	-7.9	-2.9	-5.6	0.8	0.7	1.6	21	9	38	3.1	7.5	2.7
27	77.2	—	—	-0.1	—	—	-10.6	—	3.5	—	—	2.5	—	—	55	—	—	2.0	—	—
Mitt.	476.5	474.7	475.2	-1.5	5.8	-0.7	-11.4	—	—	—	—	1.6	1.4	1.3	39	22	31	2.5	5.6	3.0

gatse.

H₀ = 3 871 m. „ 136.

1907.

Tag.	Richtung und Stärke des Windes.			Bewölkung und Niederschlag.			Aktinometer.		Bemerkungen.	
	7 a.	1 p.	9 p.	7 a.	1 p.	9 p.	Schwarz-	Blank-		
							kugel.	kugel.		
							Cels.	Cels.		
1	SW 1	SW 2	SW 4	0	0	2	53'9	33'0		
2	— 0	SW 5	— 0	0	4	4	49'0	33'9		
3	SW 1	NE 1	SW 4	0	4	0	52'8	32'4		
4	— 0	SW 5	— 0	0	10	0	44'8	25'9		
5	NE 1	SW 6	— 0	9	10	0	49'3	29'0		
6	SW 1	SW 1	NE 1	0	3	0	50'0	31'9		
7	SW 4	SW 7	SW 4	1	9	0	52'3	32'7	Sturm 11 a—3 p.	
8	SW 3	SW 6	SW 6	2	8	0	48'9	30'9		
9	SW 5	SW 3	SW 2	0	3	0	48'9	31'0		
10	NE 1	SW 3	— 0	0	10	0	49'6	30'5		
11	SW 1	SW 2	SW 4	0	5	2	49'1	32'0		
12	SW 3	SW 7	SW 6	10	10	0	42'4	23'7	Sturm den ganzen Tag von 9 a.	
13	SW 2	SW 7	SW 3	9	10	1	34'9	20'6	Sturm den ganzen Tag.	
14	SW 2	SW 1	SW 1	1	5	0	47'3	29'0	Sturm beginnt 11'30 a.	
15	— 0	SW 1	SW 4	0	4	2	50'6	32'1		
16	— 0	— 0	SW 1	3	10	2	46'2	30'3		
17	— 0	ENE 1	SW 1	* 10	* 10	0	33'4	10'1	* auf den umgebenden Gebirgen. und * den ganzen Tag bei Schigatse.	
18	— 0	SW 7	SW 4	≡ 9	3	1	42'0	33'6	≡ 7 a.	
19	SW 2	SW 9	SW 2	4	9	0	45'5	27'4	Sturm p.	
20	SW 3	WSW 5	— 0	6	7	6	50'2	28'9		
21	— 0	SW 3	— 0	2	9	8	48'0	29'2	Dünnes Gewölk 7 a und 1 p.	
22	— 0	SW 9	— 0	10	10	0	39'1	23'5	Sturm 0'30 p—p.	
23	SW 8	NW 2	— 0	5	3	0	53'5	33'4	Sturm am Morgen.	
24	NW 10	SW 8	SW 2	1	9	2	54'9	37'5		
25	SW 8	SW 9	SW 4	2	9	2	47'6	29'7		
26	— 0	— 0	SW 4	4	10	2	51'9	32'0		
27	— 0	—	—	5	—	—	—	—		
Mitt.	1'1	4'2	1'2	3'4	7'1	1'3	47'6	29'8		

Tag.	Luftdruck bei o und Normal-schwere. mm.			Lufttemperatur. Cels.				Feuchtes Thermometer. Cels.			Luftfeuchtigkeit.									
	7 a.	1 p.	9 p.	7 a.	1 p.	9 p.	Min.	Max.	7 a.	1 p.	9 p.	Dampfdruck. mm.			Relativ %.			Sättigungsdeficit. mm.		
												7 a.	1 p.	9 p.	7 a.	1 p.	9 p.	7 a.	1 p.	9 p.
Sept. 17	—	443.7	444.0		14.9	-2.9	—	—	—	0.9	6.7	—	1.1	1.7	—	9	45	—	11.6	2.0
18	446.3	45.2	44.4	1.5	15.8	-0.7	-10.1	—	4.6	-0.5	2.9	1.6	0.0	3.0	32	0	69	3.5	13.5	1.4
19	48.3	47.4	46.3	4.8	14.1	1.6	-15.0	—	2.9	1.6	2.8	1.7	1.6	2.5	27	14	49	4.8	10.5	2.6
20	46.2	46.4	46.2	9.8	14.4	4.2	-8.6	—	0.0	1.7	3.3	1.9	1.8	1.7	21	15	27	7.2	10.5	4.5
21	48.6	47.4	45.4	5.4	13.9	0.0	-12.1	—	1.5	1.3	4.1	2.3	1.6	2.2	35	13	49	4.4	10.3	2.4
22	46.8	44.4	46.0	2.8	15.2	-0.2	-13.2	—	4.7	1.1	4.2	1.3	1.1	2.2	23	9	49	4.3	11.9	2.3
23	47.8	45.4	44.3	4.7	14.8	-2.7	-9.8	—	1.1	1.3	4.9	2.7	1.3	2.5	43	11	66	3.7	11.3	1.3
24	47.7	45.8	45.4	3.9	15.0	1.3	-12.4	—	1.4	0.7	5.8	2.8	0.9	1.1	45	7	22	3.3	11.9	3.9
25	47.4	46.1	45.3	2.4	16.3	1.8	-11.2	—	0.5	0.9	2.9	3.6	0.7	2.4	66	5	47	1.9	13.2	2.8
26	47.2	44.6	45.5	4.3	13.3	-2.1	-11.8	—	0.2	0.6	5.3	3.2	1.3	2.1	52	11	54	3.0	10.2	1.8
27	45.8	44.7	44.8	0.4	12.4	5.0	-13.6	—	4.9	0.7	2.7	1.7	1.6	1.8	37	15	27	3.0	9.2	4.7
28	44.6	44.1	44.0	-0.7	11.2	0.8	-15.3	—	4.1	1.6	5.2	2.4	2.5	1.5	55	25	31	2.0	7.5	3.4
29	44.8	43.8	45.0	0.1	9.3	-2.6	-12.2	—	5.1	-2.8	4.3	1.8	0.7	2.7	39	8	72	2.8	8.1	1.1
30	46.8	45.3	45.6	-1.3	9.5	-0.9	-15.6	—	4.9	2.6	3.2	2.1	3.0	2.9	51	33	68	2.1	5.9	1.4
Okt. 1	45.8	45.5	46.4	0.9	8.1	-0.9	-15.2	—	3.2	0.0	3.4	2.9	2.3	2.8	68	29	65	1.4	5.8	1.5
2	47.6	46.9	46.8	-0.9	11.9	2.9	-14.9	—	2.8	-1.2	1.7	3.1	1.0	2.8	72	9	50	1.2	9.5	2.9
3	48.2	47.7	47.6	-3.4	11.6	5.6	-18.2	—	4.8	0.0	4.3	2.7	1.4	0.8	75	13	12	0.9	8.9	6.0
4	48.4	47.7	46.0	0.0	12.9	2.5	-14.1	—	2.3	0.6	2.3	3.2	0.7	2.6	69	6	47	1.4	10.5	2.9
5	45.5	45.4	45.3	1.4	11.2	0.0	-12.8	—	3.9	-2.1	2.8	2.0	0.7	2.9	39	7	63	3.1	9.3	1.7
6	47.0	45.3	45.5	-2.1	9.9	2.7	-19.6	—	3.4	-1.3	1.3	3.1	1.4	3.1	78	15	55	0.8	7.8	2.5
7	46.2	45.2	45.6	-2.1	12.3	0.0	-21.3	—	3.9	-1.4	2.9	2.8	0.8	2.9	72	7	62	1.1	9.9	1.7
8	44.9	43.7	44.0	-4.7	10.5	0.6	-17.2	—	10.1	-1.6	3.4	0.6	1.1	2.4	20	11	51	2.6	8.4	2.4
9	44.0	42.9	43.7	0.2	7.7	0.4	-15.2	—	5.1	-4.1	5.6	1.8	0.4	1.4	39	6	30	2.7	7.5	3.3
10	46.2	46.2	46.0	-2.1	7.3	-2.2	-13.4	—	8.3	-3.1	7.6	0.8	1.0	1.1	19	13	28	3.1	6.7	2.8
11	49.0	48.6	48.6	-4.1	7.7	-7.4	-16.9	—	9.7	-3.2	9.9	0.7	0.9	1.3	19	11	51	2.7	7.0	1.3
12	50.3	48.4	47.9	-4.1	11.7	0.0	-21.4	—	9.7	-1.4	2.4	0.6	0.9	3.1	19	9	68	2.8	9.4	1.5
13	47.5	46.9	47.3	-0.8	11.9	-3.5	-17.2	—	6.7	0.1	9.2	1.2	1.3	0.7	27	12	20	3.1	9.2	2.8
14	48.1	46.2	46.5	1.9	6.7	-6.9	-16.4	—	3.4	-2.5	7.3	2.1	1.5	2.3	40	20	86	3.2	5.9	0.4
15	46.2	44.5	44.3	6.3	5.3	-4.1	-19.8	—	9.8	-4.1	7.3	1.1	1.0	1.7	40	15	50	1.8	5.7	1.7
16	44.9	43.9	44.5	-3.4	5.1	-3.3	-21.6	—	5.1	-3.9	5.2	2.5	1.1	2.5	71	17	69	1.1	5.5	1.1
17	46.2	45.5	45.5	-2.1	8.9	-7.9	-21.2	—	4.9	-3.7	11.1	2.3	4.6	1.0	59	54	39	1.6	4.0	1.5
18	47.0	46.7	47.4	-1.1	8.6	-1.4	-19.8	—	3.1	-2.5	7.1	3.0	1.0	1.1	71	12	27	1.2	7.4	3.0
19	47.7	45.7	45.3	-6.5	6.4	-3.7	-17.9	—	11.1	-3.1	8.8	0.7	1.3	0.9	23	17	27	2.1	5.9	2.5
20	44.4	—	—	-4.7	—	—	-15.4	—	9.3	—	—	1.0	—	—	30	—	—	2.2	—	—
Mill.	446.8	445.7	445.6	-0.3	11.1	-0.7	-15.8	—	—	—	—	2.1	1.4	2.1	46	14	48	2.7	9.1	2.4

tok.

H₀ = 4 469 m, n = 99.

1907.

Tag.	Richtung und Stärke des Windes.			Bewölkung und Niederschlag.			Aktinometer.		Bemerkungen.
	7 a.	1 p.	9 p.	7 a.	1 p.	9 p.	Schwarz- kugel. Cels.	Blank- kugel. Cels.	
	Sept.								
17	—	NNW 1	— 0	—	¹ / ₁₀	0	—	—	
18	NW 1	W 2	— 0	0	1	0	54.5	37.0	
19	— 0	— 0	— 0	0	0	0	53.7	33.7	
20	E 3	E 2	— 0	0	1	0	55.6	37.7	
21	E 1	— 0	— 0	0	0	0	53.8	38.5	
22	— 0	SW 3	— 0	0	0	0	53.3	36.6	
23	— 0	SW 1	— 0	0	0	0	54.1	34.9	
24	— 0	SW 2	— 0	0	1	0	52.9	34.0	
25	ENE 1	SW 3	— 0	0	0	0	56.0	38.9	
26	— 0	— 0	— 0	0	¹ / ₁₀	0	53.7	36.0	
27	— 0	SW 3	SW 4	0	1	0	52.2	34.0	
28	W 1	SW 4	— 0	0	2	1	45.6	29.5	
29	— 0	SW 4	SSW 1	1	2	0	44.6	28.1	
30	— 0	SW 2	SE 1	0	4	1	49.7	30.7	
Okt.									
1	— 0	WNW 4	— 0	¹ / ₁₀	1	0	44.5	27.6	
2	— 0	SW 4	— 0	0	2	0	47.3	30.5	
3	— 0	SW 4	— 0	0	1	0	44.6	27.5	
4	— 0	W 4	— 0	0	1	0	44.1	26.2	Sturm-Stöße 1 p.
5	— 0	SW 4	— 0	0	1	0	—	—	
6	— 0	WSW 1	SW 1	0	0	0	46.6	26.5	
7	— 0	SW 6	SW 1	0	0	0	43.6	26.0	
8	— 0	SW 8	SW 1	0	0	0	43.0	24.5	Sturm 1 p.
9	— 0	SW 4	— 0	0	0	0	41.5	24.0	
10	— 0	SW 6	SW 2	0	2	0	42.1	23.8	
11	— 0	SSW 1	— 0	0	2	0	42.9	23.7	
12	— 0	SW 6	E 2	0	1	¹ / ₁₀	43.6	26.4	
13	— 0	—	SW 1	¹ / ₁₀	—	2	41.3	24.0	⚡ in W 9 p.
14	SE 6	SW 8	SW 1	3	4	1	45.7	24.7	
15	— 0	SW 4	WSW 3	¹ / ₁₀	0	1	39.3	22.2	
16	— 0	SW 4	E 2	0	¹ / ₁₀	¹ / ₁₀	38.5	21.7	
17	— 0	SW 6	— 0	0	1	0	39.4	22.4	
18	SW 7	SW 8	— 0	4	1	0	39.0	21.8	Sturm 7 a und 1 p.
19	— 0	SW 7	SW 1	0	4	2	48.4	28.0	
20	— 0	—	—	0	—	—	—	—	
Mitt.	0.7	3.7	0.7	0.2	1.0	0.2	46.9	29.1	

Tag.	Luftdruck bei 0 und Normal-schwere.			Lufttemperatur.					Feuchtes Thermometer.			Luftfeuchtigkeit.								
	mm.			Cels.					Cels.			mm.			Relativ %.			Sättigungsdeficit.		
	7 a.	1 p.	9 p.	7 a.	1 p.	9 p.	Min.	Max.	7 a.	1 p.	9 p.	7 a.	1 p.	9 p.	7 a.	1 p.	9 p.	7 a.	1 p.	9 p.
Okt. 22	—	—	453 ⁸	—	—	—	—	—	—	—	—	—	—	—	—	—	—	—	—	—
23	454 ²	452 ⁷	53 ⁶	5 ³	4 ¹	5 ⁴	17 ⁰	—	11 ²	3 ⁸	9 ⁷	0 ³	1 ⁴	0 ⁹	10	23	31	2 ⁸	4 ⁷	2 ²
24	53 ⁹	53 ³	54 ⁵	2 ²	1 ³	4 ³	17 ¹	—	9 ¹	7 ¹	9 ¹	0 ⁴	0 ⁵	0 ⁹	11	9	28	3 ⁵	4 ⁵	3 ⁴
25	54 ⁶	54 ⁴	55 ³	4 ⁰	4 ⁹	3 ⁵	15 ²	—	6 ⁴	3 ⁷	9 ¹	2 ¹	1 ²	0 ⁷	60	19	21	1 ³	5 ³	2 ⁸
26	56 ¹	55 ⁰	55 ⁸	0 ⁸	6 ⁹	6 ⁵	12 ⁶	—	4 ¹	2 ⁸	9 ³	2 ⁰	1 ²	1 ⁴	41	17	49	2 ⁹	6 ³	1 ⁴
27	58 ⁵	57 ⁰	56 ³	4 ⁷	6 ⁹	4 ⁴	16 ⁹	—	7 ⁵	2 ⁵	8 ⁹	1 ⁷	4 ²	1 ⁰	53	56	31	1 ⁵	3 ³	2 ³
28	60 ⁰	58 ⁷	57 ⁹	4 ¹	6 ⁷	5 ²	18 ¹	—	7 ⁰	2 ⁹	7 ⁰	1 ⁸	1 ²	2 ¹	53	17	66	1 ⁶	6 ²	1 ⁰
29	58 ⁷	56 ³	56 ²	4 ⁷	8 ⁵	1 ⁵	17 ²	—	8 ⁹	2 ⁴	6 ⁹	1 ¹	1 ¹	0 ⁵	34	13	10	2 ¹	7 ²	4 ⁶
30	55 ⁵	55 ⁵	55 ⁹	1 ¹	7 ⁴	1 ⁶	13 ²	—	5 ¹	3 ¹	4 ⁹	2 ⁵	1 ⁰	2 ²	47	12	54	2 ²	6 ⁷	1 ⁹
31	57 ⁷	55 ⁶	56 ¹	2 ⁴	7 ²	3 ¹	15 ⁶	—	8 ¹	2 ¹	7 ⁹	0 ⁹	1 ⁵	1 ²	23	20	32	2 ⁹	6 ¹	2 ⁴
Nov. 1	56 ⁷	55 ⁸	55 ⁰	4 ⁶	7 ³	0 ⁶	15 ⁸	—	6 ²	2 ⁹	2 ¹	2 ³	1 ¹	3 ⁴	70	14	78	1 ⁰	6 ⁶	1 ⁰
2	57 ⁰	56 ⁷	57 ⁰	7 ⁹	0 ⁵	6 ⁴	14 ²	—	10 ¹	3 ⁸	8 ²	1 ⁴	2 ²	1 ⁸	54	47	64	1 ¹	2 ⁶	1 ⁰
3	58 ⁹	55 ⁵	55 ⁶	9 ⁵	4 ¹	8 ²	21 ²	—	11 ²	1 ⁷	10 ¹	1 ³	2 ⁵	1 ⁵	59	41	59	0 ⁹	3 ⁶	1 ⁰
4	56 ³	55 ⁰	55 ¹	3 ⁹	0 ⁷	3 ⁰	—	—	5 ⁹	1 ²	6 ²	2 ³	3 ⁶	1 ⁹	66	75	52	1 ¹	1 ²	1 ⁸
5	55 ⁰	55 ¹	56 ⁵	9 ²	2 ⁸	9 ⁵	17 ²	—	10 ²	3 ⁵	11 ⁹	1 ⁶	1 ⁸	1 ⁰	72	33	47	0 ⁷	3 ⁸	1 ²
6	55 ⁴	55 ⁸	56 ⁴	10 ¹	4 ³	6 ⁹	22 ²	—	11 ⁶	3 ²	9 ⁶	1 ³	1 ⁶	1 ³	61	26	49	0 ⁸	4 ⁶	1 ⁴
7	59 ⁶	58 ⁵	56 ⁹	5 ⁵	4 ⁵	10 ⁵	19 ²	—	9 ²	3 ¹	12 ¹	1 ²	1 ⁶	1 ²	38	26	59	1 ⁸	4 ⁷	0 ⁹
8	59 ⁹	59 ⁷	58 ⁵	9 ²	6 ⁹	10 ⁰	19 ⁴	—	12 ³	1 ¹	12 ²	0 ⁸	2 ²	1 ⁰	36	29	49	1 ⁵	5 ³	1 ¹
9	60 ³	—	—	12 ⁴	—	—	22 ¹	—	14 ⁸	—	—	0 ⁷	—	—	38	—	—	1 ¹	—	—
Mitt.	457 ¹	455 ⁷	455 ⁹	5 ⁶	5 ⁰	5 ¹	17 ³	—	—	—	—	1 ⁴	1 ⁸	1 ⁵	46	28	47	1 ⁷	4 ⁸	1 ⁸

) Beobachtet 1 p.

Juli.

Lager CCCLI,

Tag.	Luftdruck bei 0 und Normal-schwere.			Lufttemperatur.					Feuchtes Thermometer.			Luftfeuchtigkeit.								
	mm.			Cels.					Cels.			mm.			Relativ %.			Sättigungsdeficit.		
	7 a.	1 p.	9 p.	7 a.	1 p.	9 p.	Min.	Max.	7 a.	1 p.	9 p.	7 a.	1 p.	9 p.	7 a.	1 p.	9 p.	7 a.	1 p.	9 p.
14	—	431 ²	432 ²	—	15 ³	4 ⁶	—	—	—	9 ⁵	4 ⁵	—	7 ²	6 ¹	—	55	97	—	5 ⁸	0 ³
15	432 ⁶	32 ⁷	32 ⁵	4 ³	7 ⁸	3 ⁹	0 ⁰	—	3 ⁵	3 ³	0 ⁶	5 ⁶	4 ⁵	3 ⁸	89	57	63	0 ⁶	3 ⁴	2 ³
16	33 ⁹	33 ¹	32 ⁷	7 ⁰	10 ⁸	4 ⁶	—3 ¹	—	0 ⁶	3 ⁹	1 ¹	1 ⁹	4 ¹	4 ⁰	25	43	62	5 ⁶	5 ⁶	2 ⁴
17	34 ¹	32 ⁵	32 ⁵	4 ⁸	14 ⁶	7 ⁶	—4 ²	—	1 ¹	5 ¹	4 ⁶	3 ⁹	4 ⁰	5 ⁵	60	32	70	2 ⁶	8 ⁵	2 ³
18	34 ⁵	33 ⁰	33 ³	8 ⁸	17 ⁸	7 ²	1 ⁰	—	4 ⁴	6 ⁶	3 ⁸	5 ⁰	4 ³	5 ⁰	59	28	66	3 ⁵	11 ⁰	2 ⁶
19	35 ²	33 ⁴	33 ⁶	7 ⁶	18 ⁹	8 ⁴	—0 ⁵	—	3 ⁸	9 ⁴	4 ¹	4 ⁹	6 ²	4 ⁹	62	38	59	2 ⁹	10 ²	3 ⁴
20	34 ⁷	32 ⁹	33 ⁵	9 ³	15 ⁴	8 ²	—0 ⁴	—	5 ⁹	6 ⁰	3 ⁰	5 ⁹	4 ⁴	4 ²	67	34	52	2 ⁹	8 ⁷	4 ⁰
21	35 ⁰	33 ³	33 ²	9 ⁹	16 ⁵	8 ⁸	—1 ⁸	—	5 ³	5 ⁶	4 ⁵	5 ³	3 ⁹	5 ¹	58	27	60	3 ⁹	10 ²	3 ⁴
22	35 ⁵	33 ²	33 ⁴	8 ¹	12 ⁶	7 ²	0 ⁴	—	5 ⁶	7 ⁶	5 ⁰	5 ⁵	6 ⁴	5 ⁸	68	58	76	2 ⁶	4 ⁵	1 ⁸
23	33 ⁹	33 ¹	33 ⁶	4 ⁴	13 ⁰	8 ²	—3 ⁸	—	4 ⁰	8 ⁰	5 ⁸	5 ⁹	6 ⁶	6 ¹	93	59	75	0 ⁴	4 ⁶	2 ¹
24	34 ³	—	—	10 ¹	—	—	—2 ⁰	—	6 ²	—	—	5 ⁹	—	—	63	—	—	3 ⁵	—	—
Mitt.	434 ⁴	432 ⁸	433 ¹	7 ⁵	14 ³	6 ⁹	—0 ³	—	—	—	—	5 ⁰	5 ²	5 ¹	64	43	68	2 ⁹	7 ³	2 ⁵

1) Siehe auch p. 58—59.

gunsa.

H₀ = 4 287 m, n = 53.

1907.

Tag.	Richtung und Stärke des Windes.			Bewölkung und Niederschlag.			Aktinometer.		Bemerkungen.
	7 a.	1 p.	9 p.	7 a.	1 p.	9 p.	Schwarz- kugel. Cels.	Blank- kugel. Cels.	
Okt. 22	—	—	SE 2	—	—	1 ¹⁰	—	—	
23	— 0	— 0	SE 1	0	5	1	—	—	
24	SE 4	SW 7	SE 1	1	2	0	38.6	21.4	
25	SE 3	SW 6	E 1	0	1	0	37.6	23.2	
26	SW 7	— 4	— 0	4	6	0	39.9	22.4	Keine bestimmte Windrichtung 1 p.
27	SE 4	— 0	— 0	0	1 ¹⁰	0	50.1	31.9	
28	SE 1	— 0	E 1	0	0	0	46.4	30.1	
29	— 0	SW 4	— 0	0	1 ¹⁰	0	46.4	31.5	
30	— 0	SW 5	— 0	0	4	0	45.9	30.4	
31	SW 5	SSE 4	— 0	1	3	0	48.2	29.1	
Nov. 1	SE 2	SW 1	SSE 4	0	2	2	47.0	33.1	
2	SE 1	ESE 2	SSE 1	0	0	0	45.8	28.3	
3	E 1	SW 5	— 0	0	0	0	43.0	26.9	
4	— 0	WSW 1	— 0	0	0	0	39.5 ¹⁾	23.2 ¹⁾	Beobachtet 8 a statt 7 a.
5	— 0	SW 1	— 0	0	6	0	41.5 ²⁾	22.5 ⁰	
6	— 0	SW 1	N 1	0	0	0	37.8	25.3	
7	— 0	SW 2	SE 1	0	0	0	36.2	25.8	
8	— 0	— 0	SE 1	0	0	0	42.9	—	Die Windstärke war immer sehr veränderlich an dieser Station.
9	SE 1	—	—	0	—	—	—	—	
Mitt.	1.6	2.5	0.8	0.3	1.7	0.2	42.9	27.0	

Tokchen. ¹⁾H₀ = 4 654, n = 30.

1908.

Tag.	Richtung und Stärke des Windes.			Bewölkung und Niederschlag.			Aktinometer.		Temperatur Cels. in Fluss.			Bemerkungen.
	7 a.	1 p.	9 p.	7 a.	1 p.	9 p.	Schwarz- kugel. Cels.	Blank- kugel. Cels.	7 a.	1 p.	9 p.	
14	—	SW 3	SW 1	—	6	0 ²⁾ 10	—	—	—	—	9.7	0 ²⁾ beginnt 8 p.
15	— 0	WSW 2	SW 2	10	4	0	54.3 ²⁾	31.0 ²⁾	—	—	6.7	0 ²⁾ nach 7 a Wind WSW 4, absolut klarer Himmel 7 a, 1 p und 9 p.
16	S 1	E 3	E 3	0	0	0	50.4	31.6	6.2	16.2	7.4	
17	— 0	W 2	E 5	0	0	0	47.7	31.2	5.7	17.2	7.5	Mehrere Tümpel beiest 7 a; absolut klarer Himmel, veränderliche Windstärke 9 p.
18	SE 1	SE 1	— 0	1	3	1 ¹⁰	57.1	35.2	7.9	19.2 ³⁾	10.7	0 ²⁾ 10 a.
19	WSW 2	WSW 2	E 5	2	2	5	53.0	32.6	8.5	19.2	10.2	2 ²⁾ in S 9 p.
20	E 1	SW 6	SW 5	2	9	1	61.2	36.9	8.6	15.6	7.7	
21	— 0	— 0	SW 4	1	1	2	57.2	36.0	8.8	21.1	10.3	
22	SE 1	SW 4	SW 4	8	9	5	63.8	38.9	8.3	17.2	11.9	
23	NNW 4	SW 3	— 0	0	10	7	56.6	34.6	7.4	18.7	11.9	0 ²⁾ die ganze Nacht vom 22. bis 23.
24	SW 1	—	—	6	—	—	—	—	8.2	—	—	0 ²⁾ 5 a—7 a.
Mitt.	1.1	2.6	2.9	4.0	4.1	2.8	55.7	34.2	7.7	18.1	9.4	

²⁾ Beobachtet 1 p. — ³⁾ Der Wasserstand sinkt.

SVEN HEDIN

SOUTHERN TIBET

1906-1908

SOUTHERN TIBET

DISCOVERIES IN FORMER TIMES COMPARED WITH
MY OWN RESEARCHES IN 1906 1908

BY

SVEN HEDIN

VOL. VI PART II

LES OBSERVATIONS ASTRONOMIQUES
CALCULÉES ET RÉDIGÉES

PAR

DR. K. G. OLSSON

STOCKHOLM

LITHOGRAPHIC INSTITUTE OF THE GENERAL STAFF OF THE SWEDISH ARMY

STOCKHOLM 1918
KUNGL. BOKTRYCKERIET. P. A. NORSTEDT & SÖNER
173940

CONTENU:

A. LES OBSERVATIONS.

Les positions géocentriques.

Table des lectures barométriques.

B. LE CALCUL DES OBSERVATIONS.

I. La réduction aux positions géocentriques.

II. La marche des chronomètres.

III. La méthode du calcul des observations.

IV. La première période.

V. > deuxième >

VI. > troisième

VII. > quatrième >

VIII. > cinquième

IX. > sixième >

X. > septième >

VOL. VI PART II

LES
OBSERVATIONS ASTRONOMIQUES

CALCULÉES ET RÉDIGÉES

PAR

DR. K. G. OLSSON

A. LES OBSERVATIONS.

N:o 1. Campement 22. 1906 sept. 25.

B = 386.9 + 14.2; T = + 4°.7; D = 49^m 47^s.5; I (l'erreur de l'index) = 10' 30".

Objet d'observation.	Position de l'instrument.	Chronomètre.	Lecture du cercle.		Moyenne.	Niveau.			Distance zénithale observée.	Demi-diamètre.	Réfraction.	Parallaxe.	Distance zénithale géocentrique.
☉	C. D.	23 ^h 41 ^m 4 ^s .8	282 36' 0"	11' 30"	23' 45"	1.5	1.9	- 7"	77° 46' 52"	15' 59"	2' 26"	9"	78° 5' 8"
☉		43 19.2	282 9 45	44 40	57 13	—	—	—	78 13 17	—	2 31	—	78 31 38
☉		46 26.0	280 59 15	34 0	46 38	1.8	1.8	0	79 23 52	—	2 48	—	79 10 32
☉		48 12.0	280 36 50	12 10	24 30	1.8	1.8	0	79 46 0	—	2 54	—	79 32 46
☉	C. G.	51 17.6	80 47 10	22 50	35 0	1.8	1.8	0	80 24 30	—	3 5	—	80 11 27
☉	»	53 20.4	81 11 50	47 10	59 30	1.4	2.1	- 12	80 48 48	—	3 13	—	80 35 53
☉	»	55 14.0	81 3 5	39 5	51 5	1.9	1.7	+ 3	80 40 38	—	3 10	—	80 59 38
☉	»	57 24.8	81 28 30	4 5	16 18	2.0	1.4	+ 10	81 5 58	—	3 18	—	81 25 6
☉		59 26.4	81 54 15	30 0	42 8	2.2	1.2	+ 17	81 31 55	—	3 28	—	81 51 13
☉		0 1 16.8	82 16 0	51 0	3 30	1.7	1.7	0	81 53 0	—	3 36	—	82 12 26
☉	»	3 9.2	83 10 5	45 30	57 48	2.8	0.4	+ 40	82 47 58	—	4 2	—	82 35 52
☉	»	5 7.6	83 34 30	10 0	22 15	2.4	0.8	+ 27	83 12 12	—	4 14	—	83 0 18
☉	C. D.	7 16.4	276 45 0	20 15	32 38	1.9	1.5	+ 7	83 37 45	—	4 29	—	83 26 6
☉		9 14.0	276 21 30	56 20	8 55	1.8	1.6	+ 3	84 1 32	—	4 44	—	83 50 8
☉		11 13.6	276 28 40	3 5	15 53	2.8	0.7	+ 35	83 54 2	—	4 40	—	84 14 32
☉	»	13 7.2	276 7 55	42 30	55 13	1.2	2.2	- 17	84 15 34	—	4 55	—	84 36 19

B = 387.4 + 17°.6; T = + 2°.8; D = 49^m 47^s.5.

N:o 2. Campement 28. 1906 oct. 1.

B = 381.4 + 7°.6; T = + 8°.0; D = 50^m 29^s; I = 10' 30".

☉	C. D.	23 ^h 39 ^m 17 ^s .6	280° 46' 0"	20' 15"	33' 8"	1.8	1.8	0"	79 37' 22"	16' 1"	2' 46"	9"	79° 56' 0"
☉		41 17.6	280 22 0	56 50	9 25	1.9	1.8	+ 2	80 1 3	—	2 53	—	80 19 48
☉		44 18.8	279 14 50	49 5	1 58	0.1	3.5	- 57	81 9 29	—	3 15	—	80 56 34
☉	»	46 27.6	278 46 45	21 30	34 8	2.0	1.7	+ 5	81 36 17	—	3 25	—	81 23 32
☉	C. G.	49 25.6	82 35 15	10 40	22 58	1.5	2.4	- 15	82 12 13	—	3 39	—	81 59 42
☉	»	51 12.4	82 56 0	31 20	43 40	1.9	1.9	0	82 33 10	—	3 48	—	82 20 48
☉	»	53 13.6	82 49 15	25 45	37 30	0.9	2.9	- 33	82 26 27	—	3 44	—	82 46 3
☉	»	55 22.0	83 13 3	49 20	1 12	1.9	1.9	0	82 50 42	—	3 56	—	83 10 30
☉	»	57 27.6	83 39 5	14 30	26 48	2.1	1.6	+ 8	83 16 26	—	4 10	—	83 36 28
☉		59 14.0	84 1 30	36 55	49 13	2.7	1.2	+ 25	83 39 8	—	4 23	—	83 59 23
☉	»	0 1 13.2	84 56 30	31 50	44 10	1.3	2.5	- 20	84 33 20	—	4 59	—	84 22 9
☉	»	3 9.6	85 20 10	56 0	8 5	1.1	2.8	- 29	84 57 6	—	5 18	—	84 46 14
☉	C. D.	5 14.4	275 0 10	35 0	47 35	2.0	1.9	+ 2	85 22 53	—	5 43	—	85 12 26
☉		7 13.2	274 36 30	11 10	23 50	2.5	1.3	+ 20	85 46 20	—	6 6	—	85 36 16
☉	»	9 15.6	274 42 30	18 20	30 25	1.9	1.9	0	85 40 5	—	6 0	—	86 1 57
☉		11 39.2	274 16 40	51 15	3 58	2.6	1.2	+ 24	86 6 8	—	6 28	—	86 28 28

B = 381.0 + 10°.9; T = + 7°.3; D = 50^m 29^s.

N:o 3. Campement 29. 1906 oct. 2.

B = 383.8 + 12.4; T = + 1.7; D = 50^m 34^s.5; l = 10' 25".

Objet d'observation.	Position de l'instrument.	Chronomètre.	Lecture du cercle.		Moyenne.	Niveau.			Distance zénithale observée.	Demi-diamètre.	Réfraction.	Parallaxe.	Distance zénithale géocentrique.
☉	C. D.	23 ^h 46 ^m 16 ^s .0	278° 59' 50"	34' 45"	47' 18"	1.9	1.7	+ 3"	81 23' 4"	16' 1"	3' 26"	9"	81° 42' 22"
☉		48 19.6	278 33 40	8 30	21 5	1.4	2.3	- 15	81 49 35	—	3 35	—	82 9 2
☉		50 18.8	277 37 10	12 0	24 35	2.0	1.7	+ 5	82 45 45	—	4 1	—	82 33 36
☉		52 22.8	277 12 50	48 0	0 25	1.3	2.3	- 17	83 10 17	—	4 13	—	82 58 20
☉	C. G.	55 15.6	84 7 45	43 10	55 28	2.1	1.6	+ 8	83 45 11	—	4 34	—	83 33 35
☉		57 12.0	84 31 0	6 10	18 35	1.8	1.8	0	84 8 10	—	4 49	—	83 56 49
☉		59 14.0	84 23 30	59 30	11 30	1.4	2.3	- 15	84 0 50	—	4 44	—	84 21 26
☉	o	1 17.6	84 48 15	23 30	35 53	1.7	1.9	- 3	84 25 25	—	5 2	—	84 46 19
☉		3 15.2	85 10 35	46 45	58 40	1.8	1.8	0	84 48 15	—	5 21	—	85 9 28
☉		5 12.8	85 34 35	10 0	22 18	2.6	1.1	+ 25	85 12 18	—	5 44	—	85 33 54
☉		7 18.8	86 31 25	6 40	19 3	2.4	1.3	+ 19	86 8 57	—	6 46	—	85 59 33
☉		9 12.8	86 54 15	30 15	42 15	2.1	1.6	+ 8	86 31 58	—	7 18	—	86 23 6
☉	C. D.	11 18.8	273 26 50	1 40	14 15	1.8	1.8	0	87 56 10	—	7 53	—	86 47 53
☉		13 15.2	273 3 50	38 55	51 23	1.8	1.8	0	87 19 2	—	8 39	—	87 11 31
☉		15 14.4	273 11 25	46 10	58 48	2.0	1.6	+ 7	87 11 30	—	8 22	—	87 35 44
☉		17 16.8	272 47 30	22 20	34 55	2.3	1.4	+ 15	87 35 15	—	9 12	—	88 0 19

B = 383.1 + 7.5; T = + 0.3; D = 50^m 34^s.

N:o 4. Campement 31. 1906 oct. 4.

B = 388.8 + 3^s.0; T = + 1^s.3; D = 50^m 46^s; l = 10' 35".

☉	C. D.	23 ^h 32 ^m 22 ^s .0	280° 56' 0"	30' 15"	43' 8"	2.1	1.6	+ 8"	79 27' 19"	16' 1"	2' 51"	9"	79° 46' 2"
☉		34 27.2	280 31 25	6 30	18 58	3.0	0.7	+ 38	79 50 59	—	2 59	—	80 9 50
☉		36 9.6	279 39 15	13 30	26 23	1.9	1.9	0	80 44 12	—	3 15	—	80 31 17
☉		38 14.8	279 14 15	47 45	1 0	1.5	2.4	- 15	81 9 50	—	3 24	—	80 57 4
☉	C. G.	40 17.6	81 57 0	32 5	44 33	1.8	2.0	- 3	81 33 55	—	3 32	—	81 21 17
☉		42 11.6	82 19 30	55 0	7 15	1.8	2.1	- 5	81 56 35	—	3 42	—	81 44 7
☉		44 11.6	82 12 0	47 30	59 45	1.2	2.7	- 25	81 48 45	—	3 40	—	82 8 17
☉		46 15.2	82 35 10	10 45	22 58	2.2	1.7	+ 8	82 12 31	—	3 50	—	82 32 13
☉		48 14.8	82 59 30	34 30	47 0	2.0	1.8	+ 3	82 36 28	—	4 2	—	82 56 22
☉		50 15.2	83 24 0	59 55	11 58	2.1	1.7	+ 7	83 1 30	—	4 15	—	83 21 37
☉		52 24.8	84 20 45	56 30	8 38	1.8	2.1	- 5	83 57 58	—	4 50	—	83 46 38
☉		54 12.4	84 42 10	17 55	30 3	1.9	1.9	0	84 19 28	—	5 6	—	84 8 24
☉	C. D.	57 9.6	275 27 30	2 45	15 8	1.9	1.9	0	84 55 27	—	5 36	—	84 44 53
☉		59 13.6	275 2 50	37 15	50 3	2.4	1.5	+ 15	85 20 17	—	6 1	—	85 10 8
☉	o	1 18.0	275 9 30	44 55	57 13	2.4	1.5	+ 15	85 13 7	—	5 53	—	85 34 52
☉		3 19.2	274 46 0	21 0	33 30	1.9	1.9	0	85 37 5	—	6 20	—	85 59 17

B = 388.0 + 3^s.7; T = - 3^s.1; D = 50^m 46^s.

N:o 5. Campement 33. 1906 oct. 6.

B = 390.0 + 4°.2; T = - 0°.4; D = 50^m 55°.5; I = 10' 35".

Objet d'observation.	Position de l'instrument.	Chronomètre.	Lecture du cercle.	Moyenne.	Niveau.	Distance zénithale observée.	Demi-diamètre.	Réfraction.	Parallaxe.	Distance zénithale géocentrique.			
☉	C. D.	22 ^h 48 ^m 8 ^s .8	288° 45' 25"	20' 40"	33' 3"	1.9	1.9	0"	71 37' 32"	16' 2"	1' 40"	8"	71 55' 6"
☉	"	50 17.2	288 20 5	55 5	7 35	2.0	1.8	+ 3	72 2 57	—	1 42	—	72 20 33
☉	"	52 15.2	287 26 0	0 45	13 23	2.0	1.8	+ 3	72 57 9	—	1 48	—	72 42 47
☉	"	54 13.2	287 3 15	38 15	50 45	1.4	2.3	- 15	73 20 5	—	1 55	—	73 5 50
☉	C. G.	56 14.0	74 5 5	40 25	52 45	2.4	1.4	+ 17	73 42 27	—	1 53	—	73 28 10
☉	"	58 14.8	74 28 45	4 0	16 23	1.8	2.0	- 3	74 5 45	—	1 57	—	73 51 32
☉	"	23 0 14.4	74 20 15	55 0	7 38	2.0	1.8	+ 3	73 57 6	—	1 55	—	74 14 55
☉	"	2 26.4	74 45 15	20 25	32 50	1.7	2.1	- 7	74 22 8	—	1 58	—	74 40 0
☉	"	4 17.6	75 6 30	42 5	54 18	1.6	2.2	- 10	74 43 33	—	2 2	—	75 1 29
☉	"	6 18.4	75 29 45	5 10	17 28	2.0	1.8	+ 3	75 6 56	—	2 5	—	75 24 55
☉	"	8 25.6	76 27 30	3 0	15 15	1.4	2.4	- 17	76 4 23	—	2 13	9	75 50 25
☉	"	10 10.8	76 47 30	22 55	35 13	2.3	1.5	+ 13	76 24 51	—	2 17	—	76 10 57
☉	C. D.	12 17.6	283 33 15	8 10	20 43	2.0	1.8	+ 3	76 49 49	—	2 22	—	76 36 0
☉	"	14 10.8	283 10 40	45 30	58 5	1.8	2.0	- 3	77 12 33	—	2 26	—	76 58 48
☉	"	16 12.8	283 19 10	54 0	6 35	1.8	2.0	- 3	77 4 3	—	2 24	—	77 22 20
☉	"	18 13.2	282 57 0	31 25	44 13	2.0	1.8	+ 3	77 26 19	—	2 29	—	77 44 41

B = 390.1 + 5°.8; T = - 1°.6; D = 50^m 55°.5.

N:o 6. Campement 34. 1906 oct. 8.

B = 388.1 + 9°.2; T = + 4°.8; D = 51^m 75°.5; I = 10' 35".

☉	C. D.	23 ^h 32 ^m 31 ^s .2	279° 24' 55"	0' 0"	12' 28"	2.0	1.5	+ 8"	80° 57' 59"	16' 3"	3' 15"	9"	81° 17' 8"
☉	"	34 12.0	279 5 10	40 10	52 40	2.2	1.3	+ 15	81 17 40	—	3 23	—	81 36 57
☉	"	36 14.4	278 8 30	43 5	55 48	2.3	1.2	+ 19	82 14 28	—	3 45	—	82 2 1
☉	"	38 11.6	277 45 15	20 0	32 38	2.5	1.1	+ 24	82 37 33	—	3 58	—	82 25 19
☉	C. G.	40 44.0	83 30 25	6 25	18 25	1.2	2.2	- 17	83 7 33	—	4 12	—	82 55 33
☉	"	42 12.4	83 48 0	23 0	35 30	0.9	2.7	- 30	83 24 25	—	4 21	—	83 12 34
☉	"	44 16.4	83 40 30	16 0	28 15	1.8	1.8	0	83 17 40	—	4 18	—	83 37 52
☉	"	46 12.8	84 3 15	39 10	51 13	1.7	1.9	- 3	83 40 35	—	4 32	—	84 1 1
☉	"	48 12.0	84 26 40	2 5	14 23	1.5	2.2	- 12	84 3 36	—	4 47	—	84 24 17
☉	"	50 9.6	84 49 30	25 25	37 28	2.0	1.7	+ 5	84 26 58	—	5 3	—	84 47 55
☉	"	52 14.0	85 46 15	22 15	34 15	2.2	1.5	+ 12	85 23 52	—	5 55	—	85 13 35
☉	"	54 10.0	86 9 25	44 55	57 10	2.4	1.3	+ 19	85 46 54	—	6 21	—	85 37 3
☉	C. D.	56 13.2	274 12 15	47 10	59 43	1.8	1.8	0	86 10 52	—	6 49	—	86 1 29
☉	"	58 10.4	273 49 50	24 25	37 8	1.6	2.0	- 7	86 33 34	—	7 21	—	86 24 43
☉	"	0 0 10.4	273 57 15	32 5	44 40	1.8	1.8	0	86 25 55	—	7 9	—	86 48 58
☉	"	1 12.0	273 46 10	21 0	33 35	0.0	3.7	- 62	86 38 2	—	7 30	—	87 1 26

B = 388.2 - 0°.0; T = + 4°.8; D = 51^m 75°.5.

N:o 7. Campement 40. 1906 oct. 14.

$$B = 387.6 + 2.5; T = -1.1; D = 51^m 48^s; I = 10' 35''.$$

Objet d'observation.	Position de l'instrument.	Chronomètre.	Lecture du cercle.			Moyenne.	Niveau.		Distance zénithale observée.	Demi-diamètre.	Réfraction.	Parallaxe.	Distance zénithale géocentrique.	
☉	C. D.	23 ^h 29 ^m 12.8	278	9' 30"	44' 5"	56' 48"	2.0	1.8	+ 3"	82 13' 44"	16' 4"	3' 50"	9"	82 33' 29"
☉		31 20.0	277	43 45	20 0	31 53	2.0	1.8	+ 3	82 38 39	—	4 3	—	82 58 37
☉		33 22.8	276	48 55	23 30	36 13	2.0	1.8	+ 3	83 34 19	—	4 32	—	83 22 38
☉		35 16.4	276	26 5	1 10	13 38	1.3	2.6	- 22	83 57 19	—	4 47	—	83 45 53
☉	C. G.	37 39.2	84	47 20	23 5	35 13	2.1	1.7	+ 7	84 24 45	—	5 8	—	84 13 40
☉		39 14.8	85	6 15	41 55	54 5	1.9	1.9	0	84 43 30	—	5 23	—	84 32 40
☉		41 8.4	84	57 20	32 30	44 55	1.3	2.6	- 22	84 33 58	—	5 15	—	84 55 8
☉		43 14.4	85	21 25	57 10	9 18	0.9	3.0	- 35	84 58 8	—	5 36	—	85 19 39
☉		45 15.6	85	45 0	20 25	32 43	1.7	2.2	- 8	85 22 0	—	6 0	—	85 43 55
☉		47 11.2	86	8 15	43 50	56 3	2.0	1.9	+ 2	85 45 30	—	6 26	—	86 7 51
☉		49 13.6	87	3 0	39 5	51 3	1.3	2.6	- 22	86 40 6	—	7 39	—	86 31 32
☉		51 11.2	87	26 0	1 30	13 45	2.5	1.4	+ 19	87 3 29	—	8 20	—	86 55 36
☉	C. D.	54 14.8	272	43 45	18 55	31 20	1.1	2.7	- 27	87 39 42	—	9 37	—	87 33 6
☉		56 12.0	272	21 0	56 0	8 30	1.3	2.5	- 20	88 2 25	—	10 34	—	87 56 46
☉		58 15.2	272	28 5	2 20	15 13	2.2	1.5	+ 12	87 55 10	—	10 15	—	88 21 20
☉		0 0 5.2	272	7 45	42 0	54 53	2.9	0.9	+ 33	88 15 9	—	11 8	—	88 42 12

$$B = 388.4 + 7.2; T = -2.6; D = 51^m 48^s.$$

N:o 8. Campement 43. 1906 oct. 17.

$$B = 375.2 + 2.6; T = -3.5; D = 52^m 7^s; I = 10' 35''.$$

☉	C. D.	22 ^h 45 ^m 15.6	285° 45' 5"	20' 5"	32' 35"	2.0	1.8	+ 3"	74 37' 57"	16' 5"	1' 56"	9"	74° 55' 49"	
☉		47 25.6	285	21 15	56 15	8 45	1.3	2.4	- 19	75 2 9	—	1 59	—	75 20 4
☉		49 35.2	284	22 50	57 5	9 58	2.0	1.8	+ 3	76 0 34	—	2 8	—	75 46 28
☉		51 17.6	284	3 30	38 0	50 45	2.7	1.1	+ 27	76 19 23	—	2 10	—	76 5 19
☉	C. G.	53 22.8	77	5 55	41 15	53 35	1.9	1.9	0	76 43 0	—	2 15	—	76 29 1
☉		55 12.8	77	26 20	2 0	14 10	2.6	1.2	+ 24	77 3 59	—	2 18	—	76 50 3
☉		57 14.8	77	18 0	53 25	5 43	2.5	1.4	+ 19	76 55 27	—	2 17	—	77 13 40
☉		59 22.0	77	42 30	18 5	30 18	1.6	2.3	- 12	77 19 31	—	2 22	—	77 37 49
☉		23 1 13.6	78	3 35	39 0	51 18	1.7	2.3	- 10	77 40 33	—	2 26	—	77 58 55
☉		3 15.6	78	27 50	3 30	15 40	1.2	2.8	- 27	78 4 38	—	2 30	—	78 23 4
☉		5 16.8	79	22 15	58 0	10 8	2.1	1.8	+ 5	78 59 38	—	2 43	—	78 46 7
☉		7 15.2	79	45 15	21 0	33 8	1.7	2.2	- 8	79 22 25	—	2 48	—	79 8 59
☉	C. D.	9 16.8	280	38 0	12 25	25 13	1.7	2.2	- 8	79 45 30	—	2 54	—	79 32 10
☉		11 14.0	280	14 45	49 30	2 8	1.9	2.0	- 2	80 8 29	—	3 0	—	79 55 15
☉		13 18.0	280	22 5	57 5	9 35	2.3	1.7	+ 10	80 0 50	—	2 59	—	80 19 45
☉		15 36.0	279	56 30	31 30	44 0	2.3	1.7	+ 10	80 26 25	—	3 7	—	80 45 28

$$B = 375.0 + 0.3; T = -4.8; D = 52^m 7^s$$

N:o 9. Campement 48. 1906 oct. 24.

$$B = 378.9 - 5^{\circ}.6; T = -7^{\circ}.5; D = 52^m 48^s.5; I = 10' 35''.$$

Objet d'observation.	Position de l'instrument.	Chronomètre.	Lecture du cercle.			Moyenne.	Niveau.			Distance zénithale observée.	Demi-diamètre.	Réfraction.	Parallaxe.	Distance zénithale géocentrique.
☉	C. D.	23 ^h 2 ^m 14 ^s .0	280° 35' 35"	10' 15"	22' 55"	1.7	2.3	- 10"	79° 47' 50"	16' 7"	3' 0"	9"	80° 6' 48"	
☉	"	4 16.4	280 12 45	47 50	0 18	2.2	1.8	+ 7	80 10 10	—	3 6	—	80 29 14	
☉	"	6 16.4	279 18 35	53 45	6 10	1.4	2.6	- 20	81 4 45	—	3 24	—	80 51 53	
☉	"	8 14.4	278 55 25	30 10	42 48	2.8	1.2	+ 27	81 27 20	—	3 32	—	81 14 36	
☉	C. G.	10 42.0	82 18 45	54 30	6 38	2.0	2.0	0	81 56 3	—	3 44	—	81 43 31	
☉	"	12 12.0	82 36 10	11 30	23 50	2.0	2.0	0	82 13 15	—	3 51	—	82 0 50	
☉	"	14 13.2	82 27 30	2 30	15 0	1.0	3.0	- 33	82 3 52	—	3 47	—	82 23 37	
☉	"	16 14.0	82 50 0	25 0	37 30	2.4	1.6	+ 13	82 27 8	—	3 58	—	82 47 4	
☉	"	18 13.6	83 12 30	48 45	0 38	2.2	1.8	+ 7	82 50 10	—	4 10	—	83 10 18	
☉	"	20 13.2	83 36 0	11 30	23 45	2.6	1.4	+ 20	83 13 30	—	4 22	—	83 33 50	
☉	"	22 14.8	84 30 55	6 5	18 30	2.2	1.8	+ 7	84 8 2	—	4 57	—	83 56 43	
☉	"	24 10.8	84 53 0	29 0	41 0	2.7	1.3	+ 24	84 30 49	—	5 16	—	84 19 49	
☉	C. D.	26 52.4	275 21 15	56 0	8 38	2.0	2.0	0	85 1 57	—	5 41	—	84 51 22	
☉	"	28 13.2	275 6 0	40 20	53 10	0.2	3.8	- 60	85 18 25	—	5 59	—	85 8 8	
☉	"	30 40.0	275 9 30	44 0	56 45	1.8	2.2	- 7	85 13 57	—	5 54	—	85 35 49	
☉	"	32 26.8	274 49 5	23 30	36 18	1.6	2.5	- 15	85 34 32	—	6 17	—	85 56 47	

$$B = 379.8 - 2^{\circ}.4; T = -8^{\circ}.1.$$

N:o 10. Campement 60. 1906 novembre 12.

$$B = 394.1 + 2^{\circ}.6; T = -3^{\circ}.6; D = 54^m 35^s.5; I = 10' 35''.$$

☉	C. D.	22 ^h 15 ^m 13 ^s .2	285° 21' 0"	55' 30"	8' 15"	1.8	1.9	- 2"	75° 2' 22"	16' 12"	2' 7"	9"	75° 20' 32"
☉	"	17 16.4	284 54 55	34 10	44 33	1.8	1.9	- 2	75 26 4	—	2 10	—	75 44 17
☉	"	19 32.0	284 3 0	38 0	50 30	1.8	2.0	- 3	76 20 7	—	2 18	—	76 6 4
☉	"	21 13.6	283 45 30	20 30	33 0	2.0	1.8	+ 3	76 37 32	—	2 22	—	76 23 33
☉	C. G.	23 16.0	77 22 0	57 50	9 55	2.0	1.8	+ 3	76 59 23	—	2 25	—	76 45 27
☉	"	25 18.8	77 43 35	19 0	31 18	1.3	2.6	- 22	77 20 21	—	2 29	—	77 6 29
☉	"	27 15.6	77 31 30	7 10	19 20	2.0	1.8	+ 3	77 8 48	—	2 27	—	77 27 18
☉	"	29 50.8	77 58 50	34 50	46 50	1.5	2.3	- 13	77 36 2	—	2 32	—	77 54 37
☉	"	31 22.4	78 15 0	50 30	2 45	1.8	2.0	- 3	77 52 7	—	2 35	—	78 10 45
☉	"	33 14.0	78 34 50	10 10	22 30	1.6	2.3	- 12	78 11 43	—	2 39	—	78 30 25
☉	"	35 13.2	79 28 30	4 20	16 25	2.6	1.2	+ 24	79 6 14	—	2 52	—	78 52 45
☉	"	37 12.4	79 50 0	26 0	38 0	1.8	2.0	- 3	79 27 22	—	2 58	—	79 13 59
☉	C. D.	39 12.8	280 33 10	8 0	20 35	1.7	2.2	- 8	79 50 8	—	3 4	—	79 36 51
☉	"	41 24.8	280 10 20	44 45	57 33	2.2	1.7	+ 8	80 12 54	—	3 11	—	79 59 44
☉	"	43 16.0	280 21 5	56 30	8 48	2.0	1.8	+ 3	80 1 44	—	3 8	—	80 20 55
☉	"	45 13.2	280 0 25	36 0	48 13	1.4	2.4	- 17	80 22 39	—	3 15	—	80 41 57

$$B = 394.4 + 3^{\circ}.6; T = -2^{\circ}.0; D = 54^m 35^s.5.$$

N:o 11. Campement 63. 1906 novembre 15.

$$B = 377.1 + 5.4; T = -4.2; D = 55'' 25.5; I = 10' 35''.$$

Objet d'observation.	Position de l'instrument	Chronomètre.	Lecture du cercle.		Moyenne.		Niveau.		Distance zénithale observée.	Demi-diamètre.	Réfraction.	Parallaxe.	Distance zénithale géocentrique.
☉	C. D.	22 ^h 30 ^m 12.4	282 22' 45"	58' 15"	10' 30"	2.0	1.0	+ 2"	78 0' 3"	16' 12"	2' 30"	9"	78 18' 36"
☉		32 16.0	282 0 50	36 0	48 25	1.9	2.0	- 2	78 22 12	—	2 34	—	78 40 49
☉		34 16.4	281 7 55	43 0	55 28	2.5	1.4	+ 19	79 14 48	—	2 47	—	79 1 14
☉		36 19.6	280 45 50	21 30	33 40	0.4	3.5	- 52	79 37 47	—	2 53	—	79 24 19
☉	C. G.	38 22.4	80 22 5	57 35	9 50	1.8	2.1	- 5	79 59 10	—	2 59	—	79 45 48
☉		40 10.0	80 41 15	17 0	29 8	3.1	0.8	+ 38	80 19 11	—	3 5	—	80 5 55
☉		42 10.8	80 31 0	6 55	18 58	2.1	1.9	+ 3	80 8 26	—	3 2	—	80 27 31
☉		44 12.4	80 52 35	28 15	40 25	2.0	2.0	0	80 29 50	—	3 9	—	80 49 2
☉		46 11.2	81 13 40	49 30	1 35	3.1	0.9	+ 36	80 51 36	—	3 16	—	81 10 55
☉		48 13.6	81 36 40	11 55	24 18	3.4	0.5	+ 48	81 14 31	—	3 24	—	81 33 58

Nuages.

N:o 12. Campement 64. 1906 novembre 17.

$$B = 385.6 + 3.4; T = -5.5; D = 55'' 19.5; I = 10' 35''.$$

☉	C. D.	22 ^h 22 ^m 15.2	283' 36' 20"	11' 30"	23' 55"	2.5	1.4	+ 15"	76 46' 25"	16' 13"	2' 21"	9"	77° 4' 50"
☉		24 12.0	283 15 35	51 0	3 18	2.0	2.0	0	77 7 17	—	2 24	—	77 25 45
☉		26 8.8	282 23 0	58 0	10 30	2.1	1.0	+ 3	78 0 2	—	2 35	—	77 46 15
☉		28 18.0	282 0 5	35 10	47 38	2.0	2.0	0	78 22 57	—	2 40	—	78 9 15
☉	C. G.	30 14.4	79 6 10	42 0	54 5	2.2	1.8	+ 7	78 43 37	—	2 44	—	78 29 59
☉		32 12.0	79 26 25	2 30	14 28	1.5	2.5	- 17	79 3 36	—	2 49	—	78 50 3
☉		34 14.8	79 15 15	51 10	3 13	3.0	1.0	+ 33	78 53 11	—	2 47	—	79 12 2
☉		36 14.8	79 36 30	12 0	24 15	2.0	2.0	0	79 13 40	—	2 53	—	79 32 37
☉		38 15.2	79 57 45	33 30	45 38	2.6	1.4	+ 20	79 35 23	—	2 58	—	79 54 25
☉		40 8.8	80 18 30	56 5	7 18	2.2	1.8	+ 7	79 56 50	—	3 4	—	80 15 58
☉		42 14.0	81 13 30	49 10	1 20	2.1	1.9	+ 3	80 50 48	—	3 21	—	80 37 47
☉		44 11.6	81 34 10	10 10	22 10	2.2	1.8	+ 7	81 11 42	—	3 29	—	80 58 49
☉	C. D.	46 12.0	278 48 30	23 30	36 0	2.2	1.8	+ 7	81 34 28	—	3 37	—	81 21 43
☉		48 13.2	278 27 25	1 40	14 33	2.5	1.5	+ 17	81 55 45	—	3 47	—	81 43 10
☉		50 11.6	278 37 15	12 0	24 38	2.0	2.0	0	81 45 57	—	3 43	—	82 5 44
☉		52 12.4	278 16 0	51 30	3 45	2.4	1.6	+ 13	82 6 37	—	3 52	—	82 26 33

$$B = 385.4 + 4.1; T = -6.2.$$

N:o 13. Campement 72. 1906 novembre 25.

B = 395.4 + 3°.3; T = - 2.3; D = 56^m 11^s; l = 10' 35".

Objet d'observation.	Position de l'instrument.	Chronomètre.	Lecture du cercle.			Moyenne.			Niveau.			Distance zénithale observée.	Demi-diamètre.	Réfraction.	Parallaxe.	Distance zénithale géocentrique.
☉	C. D.	22 ^h 21 ^m 14 ^s 0	283 10' 55"	46' 30"	58' 43"	2.0	1.8	+ 3"	77 11' 49"	16' 14"	2' 27"	9"	77° 30' 21"			
☉		23 13.6	282 49 45	25 0	37 23	2.0	1.8	+ 3	77 33 9	—	2 32	—	77 51 46			
☉		25 17.6	281 56 55	31 30	44 13	2.8	1.1	+ 29	78 25 53	—	2 43	—	78 12 13			
☉	›	27 10.4	281 36 15	12 0	24 8	1.3	2.6	- 22	78 46 49	—	2 48	—	78 33 14			
☉	C. G.	29 12.0	79 30 0	6 0	18 0	2.2	1.7	+ 8	79 7 33	—	2 54	—	78 54 4			
☉		31 10.8	79 51 0	26 30	38 45	1.9	2.0	- 2	79 28 8	—	2 59	—	79 14 44			
☉		33 12.0	79 39 30	15 25	27 28	1.9	2.0	- 2	79 16 51	—	2 56	—	79 35 52			
☉	›	35 15.2	80 0 50	36 25	48 38	3.3	0.6	+ 45	79 38 48	—	3 2	—	79 57 55			
☉		37 12.0	80 21 30	57 10	9 20	2.4	1.5	+ 15	79 59 0	—	3 8	—	80 18 13			
☉		39 12.4	80 42 55	18 45	30 50	2.8	1.1	+ 29	80 20 44	—	3 14	—	80 40 3			
☉	›	41 12.0	81 37 0	12 30	24 45	2.1	1.8	+ 5	81 14 15	—	3 32	—	81 1 24			
☉		43 10.0	81 57 30	33 5	45 18	3.0	0.9	+ 35	81 35 18	—	3 41	—	81 22 36			
☉	C. D.	45 14.0	278 26 0	0 40	13 20	1.0	2.9	- 32	81 57 47	—	3 51	—	81 45 15			
☉	›	47 11.6	278 5 10	40 0	52 35	1.8	2.1	- 5	82 18 5	—	4 0	—	82 5 42			
☉	›	49 14.8	278 14 10	49 45	1 58	1.8	2.1	- 5	82 8 42	—	3 56	—	82 28 43			
☉	›	51 16.8	277 54 0	29 0	41 30	3.3	0.5	+ 46	82 28 19	—	4 6	—	82 48 30			

B = 395.6 + 7.9; T = - 4.1.

N:o 14. Campement 74. 1906 novembre 27.

B = 404.1 + 12.9; T = - 0.3; D = 56^m 23^s.3; l = 10' 35".

☉	C. D.	22 ^h 40 ^m 12 ^s 0	279° 56' 15"	31' 5"	43' 40"	1.8	2.0	- 3"	80° 26' 58"	16' 14"	3' 20"	9"	80° 46' 23"
☉	›	42 14.8	279 35 0	10 5	22 33	1.9	1.9	0	80 48 2	—	3 25	—	81 7 32
☉	›	44 14.0	278 41 55	17 0	29 28	0.9	3.0	- 35	81 41 42	—	3 47	—	81 29 6
☉	›	46 12.8	278 19 55	55 0	7 28	1.7	2.1	- 7	82 3 14	—	3 57	—	81 50 48
☉	C. G.	48 12.0	82 47 25	22 55	35 10	1.8	2.0	- 3	82 24 32	—	4 6	—	82 12 15
☉	›	50 12.4	83 8 35	44 30	56 33	1.9	1.9	0	82 45 58	—	4 17	—	82 33 52
☉	›	52 9.6	82 58 0	33 0	45 30	1.8	2.1	- 5	82 34 50	—	4 12	—	82 55 7
☉	›	54 8.4	83 19 5	54 55	7 0	1.3	2.6	- 22	82 56 3	—	4 23	—	83 16 31
☉	›	56 12.4	83 41 15	17 0	29 8	1.4	2.4	- 17	83 18 16	—	4 36	—	83 38 57
☉	›	58 11.2	84 2 45	39 0	50 53	1.8	2.1	- 5	83 40 13	—	4 50	—	84 1 8
☉	›	60 13.6	84 57 30	33 5	45 18	1.1	2.8	- 29	84 34 14	—	5 32	—	84 23 23
☉	›	62 11.2	85 18 30	54 30	6 30	2.0	1.9	+ 2	84 55 57	—	5 52	—	84 45 26

Nuage: B = 404.6 + 14.6; T = - 3.1.

N^o 15. Campement 75. 1906 novembre 29.

$$B = 410.4 + 6.1; T = - 0^{\circ}.4; D = 56^m 38^s; I = 10' 35''.$$

Objet d'observation.	Position de l'instrument.	Chronomètre.	Lecture du cercle.		Moyenne.	Niveau.			Distance zénithale observée.	Demi-diamètre.	Réfraction.	Parallaxe.	Distance zénithale géocentrique.
☉	C. D.	22 ^h 26 ^m 12 ^s .8	282° 21' 55"	57' 0"	9' 28"	1.8	2.1	- 5"	78° 1' 12"	16' 15"	2' 42"	9"	78° 20' 0"
☉		28 17.2	282 0 15	35 30	47 53	1.9	1.9	0	78 22 42	—	2 47	—	78 41 35
☉		30 23.2	281 5 55	41 20	53 38	1.8	2.0	- 3	79 17 0	—	3 1	—	79 3 37
☉		32 19.6	280 45 45	20 30	33 8	1.8	2.0	- 3	79 37 30	—	3 7	—	79 24 13
☉	C. G.	34 12.4	80 20 0	55 55	7 58	2.2	1.6	+ 10	79 57 33	—	3 13	—	79 44 22
☉	,	36 15.6	80 41 10	17 0	29 5	2.2	1.6	+ 10	80 18 40	—	3 19	—	80 5 35
☉	,	38 12.0	80 30 0	5 5	17 33	1.8	1.9	- 2	80 6 56	—	3 15	—	80 26 17
☉		40 12.4	80 51 0	26 45	38 53	1.0	2.8	- 30	80 27 48	—	3 22	—	80 47 16
☉		42 13.6	81 12 0	47 30	59 45	1.2	2.7	- 25	80 48 45	—	3 29	—	81 8 20
☉		44 15.6	81 34 0	10 0	22 0	2.2	1.5	+ 12	81 11 37	—	3 37	—	81 31 20
☉		46 17.6	82 27 50	3 0	15 25	2.8	1.0	+ 30	82 5 20	—	3 59	—	81 52 55
☉		48 12.8	82 48 20	23 30	35 55	2.4	1.4	+ 17	82 25 37	—	4 10	—	82 13 23
☉	C. D.	50 21.6	277 34 30	9 15	21 53	1.8	1.8	0	82 48 42	—	4 22	—	82 36 40
☉	,	52 12.0	277 14 30	49 0	1 45	2.8	1.0	+ 30	83 8 20	—	4 33	—	82 56 29
☉		54 13.2	277 24 0	59 30	11 45	3.0	0.8	+ 36	82 58 14	—	4 27	—	83 18 47
☉	,	56 13.2	277 4 45	39 15	52 0	1.8	2.0	- 3	83 18 38	—	4 39	—	83 39 23

$$B = 409.3 + 6.4; T = - 0.6.$$

N^o 16. Campement 80. 1906 décembre 4.

$$B = 396.9 + 3.4; T = - 0^{\circ}.2; D = 57^m 10^s.5; I = 10' 35''.$$

☉	C. D.	22 ^h 25 ^m 12 ^s .8	282° 45' 30"	20' 30"	33' 0"	2.0	1.8	+ 3"	77° 37' 32"	16' 16"	2' 32"	9"	77° 56' 11"
☉		27 13.2	282 25 50	59 35	12 43	3.1	0.7	+ 40	77 57 12	—	2 35	—	78 15 54
☉		29 13.6	281 31 45	7 0	19 23	1.8	2.0	- 3	78 51 15	—	2 48	—	78 37 38
☉		31 12.8	281 11 0	45 45	58 23	1.3	2.4	- 19	79 12 31	—	2 53	—	78 59 0
☉	C. G.	33 10.0	79 54 50	30 0	42 25	2.3	1.4	+ 15	79 32 5	—	2 59	—	79 18 39
☉		35 11.2	80 16 15	51 30	3 53	1.5	2.3	- 13	79 53 5	—	3 5	—	79 39 45
☉		37 12.0	80 3 25	39 0	51 13	2.7	1.2	+ 25	79 41 3	—	3 2	—	80 0 12
☉		39 10.8	80 24 35	0 0	12 18	2.5	1.3	+ 20	80 2 3	—	3 8	—	80 21 18
☉		41 14.0	80 46 0	21 45	33 53	1.9	1.9	0	80 23 18	—	3 11	—	80 42 36
☉		43 12.8	81 7 15	42 45	55 0	2.1	1.7	+ 7	80 44 32	—	3 21	—	81 4 0
☉		45 12.0	82 1 0	36 25	48 43	1.1	2.8	- 29	81 37 39	—	3 41	—	81 24 55
☉		47 11.6	82 22 0	58 15	10 8	0.8	3.0	- 36	81 58 57	—	3 51	—	81 46 23
☉	C. D.	49 11.2	278 2 0	37 15	49 38	1.8	2.0	- 3	82 21 0	—	4 0	—	82 8 35
☉		51 10.4	277 41 0	16 10	28 35	2.1	1.7	+ 7	82 41 53	—	4 10	—	82 29 38
☉		53 11.6	277 51 0	25 35	38 18	2.5	1.3	+ 20	82 31 57	—	4 6	—	82 52 10
☉		55 14.4	277 29 55	4 55	17 25	1.5	2.3	- 13	82 53 23	—	4 16	—	83 13 46

$$B = 396.8 + 1.5; T = - 1.7.$$

N^o 17. Campement 83. 1906 décembre 8.

$$B = 402.6 - 2^{\circ}.2; T = - 1^{\circ}.2; D = 57^m 38^s; I = 10' 35''.$$

Objet d'observation.	Position de l'instrument.	Chronomètre.	Lecture du cercle.		Moyenne.	Niveau.			Distance zénithale observée.	Demi-diamètre.	Réfraction.	Parallaxe.	Distance zénithale géocentrique.
☉	C. D.	22 ^h 31 ^m 15 ^s .6	281° 29' 45"	5' 0"	17' 23"	2.0	2.0	0"	78° 53' 12"	16' 16"	2' 52"	9"	79° 12' 11"
☉	»	33 17.2	281 8 0	42 45	55 23	3.5	0.5	+ 50	79 14 22	—	2 57	—	79 33 26
☉	»	35 16.8	280 16 0	51 0	3 30	2.8	1.2	+ 27	80 6 38	—	3 12	—	79 53 25
☉	»	37 37.2	279 51 0	26 15	38 38	2.0	2.0	0	80 31 57	—	3 21	—	80 18 53
☉	C. G.	39 22.8	81 11 25	47 40	59 33	2.0	2.0	0	80 48 58	—	3 27	—	80 36 0
☉	»	41 9.2	81 30 25	6 25	18 25	2.3	1.7	+ 10	81 8 0	—	3 33	—	80 55 8
☉	»	43 12.4	81 20 0	55 30	7 45	2.0	2.0	0	80 57 10	—	3 30	—	81 16 47
☉	»	45 11.2	81 41 5	16 40	28 53	1.5	2.5	- 17	81 18 1	—	3 38	—	81 37 46
☉	»	47 9.6	82 1 40	37 30	49 35	1.2	2.8	- 27	81 38 33	—	3 48	—	81 58 28
☉	»	49 14.8	82 23 45	59 45	11 45	1.2	2.8	- 27	82 0 43	—	3 58	—	82 20 48
☉	»	51 14.4	83 17 30	52 55	5 13	1.3	2.7	- 24	82 54 14	—	4 25	—	82 42 14
☉	»	53 14.0	83 38 30	14 0	26 15	2.0	2.0	0	83 15 40	—	4 38	—	83 3 53
☉	C. D.	55 12.0	276 46 0	21 5	33 33	2.3	1.7	+ 10	83 36 52	—	4 52	—	83 25 19
☉	»	57 13.6	276 24 0	58 55	11 28	2.5	1.5	+ 17	83 58 50	—	5 8	—	83 47 33
☉	»	59 14.0	276 34 55	9 30	22 13	2.8	1.2	+ 27	83 47 55	—	5 1	—	84 9 3
☉	»	23 1 11.2	276 14 35	49 15	1 55	2.2	1.8	+ 7	84 8 33	—	5 16	—	84 29 56

$$B = 402.0 - 5^{\circ}.6; T = - 7^{\circ}.2.$$

N^o 18. Campement 85. 1906 décembre 10.

$$B = 404.2 + 3^{\circ}.3; T = + 1.8; D = 57^m 53^s.5; I = 10' 35''.$$

☉	C. D.	22 ^h 2 ^m 12 ^s .8	286° 14' 40"	49' 45"	2' 13"	1.5	2.3	- 13"	74 8' 35"	16' 16"	2' 0"	8"	74 26' 43"
☉	»	4 15.6	285 55 15	30 0	42 38	1.5	2.3	- 13	74 28 10	—	2 3	»	74 46 21
☉	»	6 11.6	285 3 0	38 0	50 30	1.3	2.5	- 20	75 20 25	—	2 10	»	75 6 11
☉	»	8 12.4	284 43 45	18 20	31 3	1.1	2.7	- 27	75 39 59	—	2 13	»	75 25 48
☉	C. G.	10 15.6	76 22 40	58 25	10 33	2.0	1.8	+ 3	76 0 1	—	2 16	9	75 45 52
☉	»	12 12.0	76 41 55	17 30	29 43	2.9	0.9	+ 33	76 19 41	—	2 19	»	76 5 35
☉	»	14 9.6	76 28 35	4 0	16 18	2.9	0.9	+ 33	76 6 16	—	2 17	»	76 24 40
☉	»	16 12.4	76 48 50	24 0	36 25	2.1	1.7	+ 7	76 25 57	—	2 21	»	76 44 25
☉	»	18 12.4	77 8 45	44 0	56 23	2.7	1.1	+ 27	76 46 15	—	2 25	»	77 4 47
☉	»	20 46.8	77 34 50	10 25	22 38	2.7	1.1	+ 27	77 12 30	—	2 30	»	77 31 7
☉	»	22 10.4	78 21 10	57 0	9 5	3.2	0.6	+ 43	77 59 13	—	2 39	»	77 45 27
☉	»	24 13.6	78 41 55	17 20	29 38	3.1	0.7	+ 40	78 19 43	—	2 43	»	78 6 1
☉	C. D.	26 19.6	281 42 0	17 20	29 40	1.9	1.9	0	78 40 55	—	2 49	»	78 27 19
☉	»	28 10.0	281 23 0	58 0	10 30	1.6	2.2	- 10	79 0 15	—	2 54	»	78 46 44
☉	»	30 14.4	281 35 0	9 0	22 0	1.5	2.3	- 13	78 48 48	—	2 51	»	79 7 46
☉	»	32 20.8	281 12 20	48 20	0 20	2.0	1.8	+ 3	79 10 12	—	2 57	»	79 29 16

$$B = 404.0 + 3^{\circ}.3; T = - 2.1.$$

N^o 19. Campement 96. 1906 décembre 25.

$$B = 391.4 - 2.2; T = - 4.5; D = 59^m 39^s.5; I = 10' 35''.$$

Objet d'observation.	Position de l'instrument.	Chronomètre.	Lecture du cercle.		Moyenne.		Niveau.			Distance zénithale observée.	Demi-diamètre.	Réfraction.	Parallaxe.	Distance zénithale géocentrique.
☉	C. D.	22 ^h 36 ^m 12 ^s .8	281	35' 20"	11' 0"	23' 10"	1.9	2.0	- 2"	78 47' 27"	16' 17"	2' 48"	9"	79° 6' 23"
☉		38 13.6	281	16 30	50 30	3 30	2.2	1.8	+ 7	79 6 58	—	2 54	—	79 26 0
☉		40 14.4	280	22 30	57 45	10 8	2.6	1.4	+ 20	80 0 7	—	3 8	—	79 46 49
☉		42 10.0	280	2 15	37 30	49 53	0.2	3.8	- 60	80 21 42	—	3 15	—	80 8 31
☉	C. G.	44 9.2	81	4 10	40 0	52 5	1.8	2.2	- 7	80 41 23	—	3 22	—	80 28 19
☉		46 15.2	81	26 15	1 30	13 53	1.2	2.8	- 27	81 2 51	—	3 30	—	80 49 55
☉		48 10.0	81	13 0	49 30	1 15	1.5	2.5	- 17	80 50 23	—	3 25	—	81 9 56
☉		50 11.2	81	34 15	11 30	22 53	2.1	1.9	+ 3	81 12 21	—	3 34	—	81 32 3

$$\text{Nuages. } B = 391.5 - 1.4; T = - 6^{\circ}6.$$

N^o 20. Campement 97. 1906 décembre 26.

$$B = 395.3 - 1^{\circ}.2; T = - 2^{\circ}.4; D = 59^m 48^s; I = 10' 35''.$$

☉	C. D.	21 ^h 53 ^m 15 ^s .2	288	47' 0"	21' 45"	34' 23"	1.9	2.0	- 2"	71° 36' 14"	16' 17"	1' 42"	8"	71 54' 5"
☉		55 17.2	288	29 25	3 45	16 35	2.2	1.7	+ 8	71 53 52	—	1 44	»	72 11 45
☉		57 24.8	287	36 30	11 0	23 45	1.1	2.8	- 29	72 47 19	—	1 49	»	72 32 43
☉		59 12.0	287	20 15	55 0	7 38	- 0.2	4.0	- 69	73 4 6	—	1 51	»	72 49 32
☉	C. G.	22 1 15.2	73	46 20	21 30	33 55	1.9	1.9	0	73 23 20	—	1 54	»	73 8 49
☉		3 17.2	74	5 30	40 15	52 53	3.0	0.8	+ 36	73 42 54	—	1 56	»	73 28 25
☉		5 12.0	73	51 0	27 0	39 0	1.9	1.9	0	73 28 25	—	1 55	»	73 46 29
☉		7 17.6	74	10 55	47 10	59 3	1.2	2.7	- 25	73 48 3	—	1 57	»	74 6 9
☉		9 11.2	74	29 45	5 25	17 35	1.3	2.6	- 22	74 6 38	—	2 1	»	74 24 49
☉		11 10.8	74	49 30	24 55	37 13	1.4	2.5	- 19	74 26 19	—	2 2	»	74 44 30
☉		13 18.4	75	43 25	19 5	31 15	0.7	3.2	- 41	75 19 59	—	2 10	»	75 5 44
☉		15 11.2	76	1 30	36 30	49 0	0.9	2.9	- 33	75 37 52	—	2 13	»	75 23 40
☉	C. D.	17 10.8	284	24 55	0 0	12 28	1.9	1.9	0	75 58 7	—	2 16	»	75 43 58
☉		19 10.8	284	5 15	40 0	52 38	1.0	2.8	- 30	76 18 27	—	2 19	9	76 4 20
☉		21 13.2	284	17 55	52 25	5 10	0.7	3.2	- 41	76 6 6	—	2 17	»	76 24 31
☉		23 16.8	283	57 30	32 35	45 3	2.9	0.9	+ 33	76 24 59	—	2 20	»	76 43 27

$$B = 396.1 + 7^{\circ}.4; T = - 3^{\circ}.1.$$

N:o 21. Campement 118. 1907 janvier 28.

$$B = 386.6 + 5^{\circ}.0; T = - 1.6; D = 1^h 3^m 15.5; I = 10' 35''.$$

Objet d'observation.	Position de l'instrument.	Chronomètre.	Lecture du cercle.		Moyenne.	Niveau.		Distance zénithale observée.	Demi diamètre.	Réfraction.	Parallaxe.	Distance zénithale géocentrique.
☉	C. D.	23 ^h 10 ^m 13 ^s .2	281	29' 45"	4' 30"	17' 8"	2.0 1.8 + 3"	78° 53' 24"	16' 16"	2' 46"	9"	79 12' 17"
☉	»	12 34.4	281	3 25	38 30	50 58	1.6 2.2 - 10	79 19 47	—	2 52	—	79 38 46
☉	»	15 11.6	280	0 35	36 5	48 20	1.7 2.1 - 7	80 22 22	—	3 10	—	80 9 7
☉	»	17 11.2	279	38 30	11 40	25 5	1.8 2.0 - 3	80 45 33	—	3 18	—	80 32 26
☉	C. G.	19 14.0	81	31 45	7 30	19 38	1.8 2.0 - 3	81 9 0	—	3 26	—	80 56 1
☉	»	21 18.8	81	55 35	31 0	43 18	1.9 1.9 0	81 32 43	—	3 34	—	81 19 52
☉	»	23 10.0	81	44 45	19 50	32 18	1.4 2.4 - 17	81 21 26	—	3 30	—	81 41 3
☉	»	25 14.0	82	7 45	43 0	55 23	1.2 2.6 - 24	81 44 24	—	3 39	—	82 4 10
☉	»	27 25.6	82	32 50	9 0	20 55	2.3 1.4 + 15	82 10 35	—	3 51	—	82 30 33
☉	»	29 14.8	82	53 45	29 30	41 38	1.8 2.0 - 3	82 31 0	—	4 0	—	82 51 7
☉	»	31 16.4	83	49 30	24 30	37 0	1.0 2.8 - 30	83 25 55	—	4 29	—	83 13 59
☉	»	33 16.4	84	12 55	48 30	0 43	1.8 2.0 - 3	83 50 5	—	4 45	—	83 38 25
☉	C. D.	35 14.8	276	10 0	44 45	57 23	1.7 2.2 - 8	84 13 20	—	5 1	—	84 1 56
☉	»	37 24.8	275	44 30	19 40	32 5	1.9 1.9 0	84 38 30	—	5 21	—	84 27 26
☉	»	39 15.6	275	55 45	30 0	42 53	2.1 1.7 + 7	84 27 35	—	5 13	—	84 48 55
☉	»	41 15.6	275	32 0	7 45	19 53	3.4 0.3 + 52	84 49 50	—	5 31	—	85 11 28

$$B = 386.4 + 2.7; T = - 2.5.$$

N:o 22. Ye. 1907 mars 31.

$$B = 436.2 + 13.8; T = + 5.3; D = 1^h 5^m 54.5.$$

☉	C. D.	23 ^h 55 ^m 9 ^s .2	283	3' 30"	38' 0"	50' 45"	2.2 1.3 + 15"	—	—	—	—	—
☉	»	0 0 11.2	281	57 30	34 0	45 45	1.7 1.7 0	—	—	—	—	—

$$\text{Nuages. } B = 436.1 + 12^{\circ}.1; T = + 4.5.$$

N:o 22 A. Ye. 1907 avril 1.

$$B = 435.5 - 4^{\circ}.8; T = - 5.4; D = 1^h 5^m 10^s; I = 11' 0''.$$

☉	C. D.	13 ^h 42 ^m 15 ^s .2	285	52' 30"	24' 45"	38' 38"	1.9 1.9 0"	74 32' 22"	16' 2"	2' 17"	8"	74 50' 33"
☉	»	44 15.6	286	19 0	54 0	6 30	0.7 3.1 - 40	74 5 10	—	2 12	—	74 23 16
☉	»	46 44.0	286	20 15	53 0	6 38	2.1 1.7 + 7	74 4 15	—	2 12	—	73 50 17
☉	»	48 17.6	286	40 30	13 45	27 8	0.5 3.3 - 46	73 44 38	—	2 9	—	73 30 37
☉	C. G.	50 10.0	73	44 0	18 50	31 25	1.7 2.1 - 7	73 20 18	—	2 6	—	73 6 14
☉	»	52 17.6	73	16 15	51 15	3 45	2.3 1.5 + 13	72 52 58	—	2 3	—	72 38 51
☉	»	54 22.0	72	17 0	51 10	4 5	2.4 1.3 + 19	71 53 24	—	1 55	—	72 11 13
☉	»	56 12.8	71	52 45	28 0	40 23	2.1 1.7 + 7	71 29 30	—	1 53	—	71 47 17
☉	»	58 12.8	71	28 0	2 15	15 8	1.6 2.1 - 8	71 4 0	—	1 51	—	71 21 45
☉	14	0 18.0	70	59 45	34 15	47 0	2.0 1.8 + 3	70 36 3	—	1 47	—	70 53 44
☉	»	2 8.8	71	7 55	43 0	55 28	2.3 1.4 + 15	70 44 43	—	1 48	—	70 30 21
☉	»	4 13.6	70	40 50	16 0	28 25	1.8 1.8 0	70 17 25	—	1 45	—	70 3 0
☉	C. D.	6 24.4	290	35 30	8 30	22 0	1.9 1.8 + 2	69 48 58	—	1 42	—	69 34 30
☉	»	8 37.2	291	2 30	36 45	49 38	1.7 2.0 - 5	69 21 27	—	1 40	—	69 6 57
☉	»	10 20.4	291	56 30	31 0	43 45	1.4 2.2 - 13	68 27 28	—	1 36	—	68 44 58
☉	»	12 11.2	292	20 10	55 30	7 50	2.2 1.4 + 13	68 2 57	—	1 33	—	68 20 24

$$B = 436.6 + 2^{\circ}.5; T = - 2.7; D = 1^h 5^m 10^s.$$

N:o 23. Campement 142, Linga. 1907 avril 12.

$$B = 414.4 + 4^{\circ}.3; T = - 4^{\circ}.4; D = 1^h 9^m 45^s.5; I = 10' 45''.$$

Objet d'observation.	Position de l'instrument.	Chronomètre.	Lecture du cercle.		Moyenne.	Niveau.		Distance zénithale observée.	Demi-diamètre.	Réfraction.	Parallaxe.	Distance zénithale géocentrique.	
☉	C. D.	14 ^h 3 ^m 15 ^s .6	292 46' 30"	20' 30"	33' 30"	2.0	1.8	+ 3"	67° 37' 12"	15' 58"	1' 26"	8"	67° 54' 28"
☉		5 14.4	293 11 45	46 30	59 8	2.2	1.6	+ 10	67 11 27	—	1 26	—	67 28 43
☉		7 41.6	293 11 30	45 45	58 38	2.6	1.1	+ 25	67 11 42	—	1 26	—	66 57 2
☉		9 24.8	293 33 40	7 30	20 35	2.9	0.8	+ 35	66 49 35	—	1 24	—	66 34 53
☉	C. G.	12 14.4	66 35 30	10 50	23 10	2.2	1.4	+ 13	66 12 38	—	1 21	—	65 57 53
☉		14 17.2	66 7 40	43 15	55 28	2.3	1.4	+ 15	65 44 58	—	1 20	—	65 30 12
☉		16 18.0	65 10 30	46 35	58 33	2.3	1.4	+ 15	64 48 3	—	1 17	—	65 5 10
☉		18 11.2	64 46 35	21 15	33 55	2.0	1.7	+ 5	64 23 15	—	1 15	—	64 40 20
☉		20 17.6	64 17 50	54 0	5 55	2.3	1.4	+ 15	63 55 25	—	1 14	—	64 12 29
☉		22 18.0	63 53 0	27 55	40 28	2.1	1.5	+ 10	63 29 53	—	1 12	—	63 46 55
☉		24 13.2	64 0 0	36 20	48 10	2.4	1.3	+ 19	63 37 44	—	1 12	—	63 22 50
☉		26 22.4	63 31 50	7 0	19 25	2.5	1.2	+ 22	63 9 2	—	1 11	—	62 54 7
☉	C. D.	29 14.0	297 51 0	26 15	38 38	1.3	2.3	- 17	62 32 24	—	1 10	—	62 17 28
☉		31 31.6	298 52 10	27 15	39 43	1.6	2.2	- 10	61 31 12	—	1 6	—	61 16 12
☉		33 41.6	298 48 30	23 10	35 50	2.1	1.6	+ 8	61 34 47	—	1 6	—	61 51 43
☉		35 30.8	299 12 50	46 20	59 35	2.1	1.6	+ 8	61 11 2	—	1 6	—	61 27 58
☉		37 28.8	300 9 45	44 0	56 53	2.2	1.4	+ 13	—	—	—	—	—
☉		39 19.6	300 13 0	8 10	—	1.6	2.0	- 7	—	—	—	—	—

$$B = 415.4 + 13^{\circ}.5; T = - 3^{\circ}.2; D = 1^h 9^m 45^s.5.$$

N:o 24. Campement 144, Govo. 1907 avril 18.

$$B = 404.9 - 0^{\circ}.2; T = - 5^{\circ}.7; D = 1^h 10^m 13^s; I = 10' 45''.$$

☉	C. D.	13 ^h 38 ^m 17 ^s .2	288 3' 10"	38' 30"	50' 50"	1.5	2.3	- 13"	72° 20' 8"	15' 57"	1' 51"	8"	72° 37' 48"
☉		40 30.4	288 33 0	7 30	20 15	2.3	1.5	+ 13	71 50 17	—	1 48	—	72 7 54
☉		42 23.6	288 25 30	0 45	13 8	2.7	1.1	+ 27	71 57 10	—	1 48	—	71 42 53
☉		44 16.4	288 49 50	24 30	37 10	2.0	1.8	+ 3	71 33 32	—	1 46	—	71 19 13
☉	C. G.	46 38.8	71 26 30	1 30	14 0	1.8	2.0	- 3	71 3 12	—	1 43	—	70 48 50
☉		48 22.0	71 4 20	39 50	52 5	0.3	3.4	- 52	70 40 28	—	1 41	—	70 26 4
☉		50 20.4	70 5 30	40 45	53 8	1.7	2.2	- 8	69 42 15	—	1 36	—	69 59 40
☉		52 33.6	69 36 50	12 30	24 40	1.2	2.6	- 24	69 13 31	—	1 33	—	69 30 53
☉		54 13.2	69 15 0	50 50	2 55	1.5	2.3	- 13	68 51 57	—	1 31	—	69 9 17
☉		56 14.4	68 49 30	24 45	37 8	1.2	2.6	- 24	68 25 59	—	1 29	—	68 43 17
☉		58 19.2	68 54 30	29 30	42 0	2.1	1.5	+ 10	68 31 25	—	1 30	—	68 16 50
☉		14 0 16.4	68 28 30	3 50	16 10	2.6	1.2	+ 24	68 5 49	—	1 28	—	67 51 12
☉	C. D.	3 13.2	292 55 0	29 35	42 18	1.8	1.9	- 2	67 28 29	—	1 25	—	67 13 49
☉		5 19.2	293 21 0	57 0	9 0	1.5	2.2	- 12	67 1 57	—	1 23	—	66 47 15
☉		7 18.0	294 19 15	55 0	7 8	2.3	1.4	+ 15	66 3 22	—	1 19	—	66 20 30
☉		9 20.4	294 46 0	20 20	33 10	1.9	1.8	+ 2	65 37 33	—	1 18	—	65 54 40

$$B = 405.5 + 1^{\circ}.8; T = - 3^{\circ}.4; D = 1^h 10^m 13^s.$$

N:o 25. Campement 147, Kyangdam. 1907 avril 22.

B = 380.3 + 8'.0; T = + 3'.7; D = 14 10" 42"; I = 10' 45".

Objet d'observation.	Position de l'instrument.	Chronomètre.	Lecture du cercle.		Moyenne.		Niveau.			Distance zénithale observée.	Demi-diamètre.	Réfraction.	Parallaxe.	Distance zénithale géocentrique.
☉	C. D.	0 ^h 7 ^m 15.2	284 24 30"	0' 30"	12' 30"	1.8	1.8	0"	75 58' 15"	15' 56"	2' 8"	9"	76° 16' 10"	
☉		9 15.2	284 0 0	34 15	47 8	3.1	0.4	+ 45	76 22 52	—	2 11	—	76 40 50	
☉		11 16.0	283 1 45	37 45	49 45	1.9	1.6	+ 5	77 20 55	—	2 21	—	77 7 11	
☉		13 19.2	282 36 15	10 40	23 28	1.9	1.6	+ 5	77 47 12	—	2 26	—	77 33 33	
☉	C. G.	15 14.4	78 34 45	9 45	22 15	1.8	1.7	+ 2	78 11 32	—	2 31	—	77 57 58	
☉		17 11.2	78 59 30	34 30	47 0	1.9	1.7	+ 3	78 36 18	—	2 37	—	78 22 50	
☉		19 9.6	78 53 0	28 30	40 45	1.2	2.4	- 20	78 29 40	—	2 35	—	78 48 2	
☉		21 14.4	79 18 45	54 0	6 23	2.1	1.5	+ 10	78 55 48	—	2 41	—	79 14 16	
☉		23 10.8	79 43 20	20 0	31 40	2.7	0.8	+ 32	79 21 27	—	2 47	—	79 40 1	
☉		25 12.4	80 9 20	45 30	57 25	2.2	1.3	+ 15	79 46 55	—	2 54	—	80 5 36	
☉		27 14.8	81 6 45	43 40	55 13	2.1	1.5	+ 10	80 44 38	—	3 11	—	80 31 44	
☉		29 13.6	81 33 0	8 55	20 58	2.0	1.5	+ 8	81 10 21	—	3 20	—	80 57 36	
☉	C. D.	31 9.2	278 47 30	23 0	35 15	1.3	2.3	- 17	81 35 47	—	3 29	—	81 23 11	
☉	"	33 32.4	278 18 30	51 30	5 0	1.6	2.0	- 7	82 5 52	—	3 41	—	81 53 28	
☉		35 10.0	278 27 20	2 30	14 55	1.3	2.3	- 17	81 56 7	—	3 37	—	82 15 31	
☉		37 16.4	278 2 20	37 15	49 48	2.3	1.2	+ 19	82 20 38	—	3 48	—	82 40 13	

B = 381.2 + 16'.5; T = + 3'.5.

N:o 26. Campement 150, Targo-tsangpo. 1907 avril 27.

B = 398.9 + 12'.5; T = + 2'.9; D = 14 11" 15"; I = 1° 23' 0".

☉	C. D.	15 ^h 49 ^m 41.2	318° 20' 0"	56' 10"	8' 5"	1.5	1.8	- 5"	43° 15' 0"	15' 55"	32"	6"	43° 31' 21"
☉	"	51 14.0	318 39 45	15 20	27 33	1.8	1.5	+ 5	42 55 22	—	32	—	43 11 43
☉		53 12.4	318 32 10	7 50	20 0	2.3	0.9	+ 24	43 2 36	—	32	—	42 47 7
☉		55 15.6	318 58 10	34 5	46 8	2.0	1.3	+ 12	42 36 40	—	31	—	42 21 10
☉	C. G.	57 22.0	43 45 15	22 15	33 45	1.2	2.1	- 15	42 10 30	—	31	—	41 55 0
☉		59 33.2	43 17 55	54 30	6 13	1.5	1.9	- 7	41 43 6	—	30	—	41 27 35
☉	16	1 19.2	42 24 35	0 0	12 18	2.0	1.3	+ 12	40 49 30	—	30	—	41 5 49
☉		3 14.8	41 59 0	35 55	47 28	1.3	2.2	- 15	40 24 13	—	29	—	40 40 31
☉	"	5 18.4	41 33 20	9 20	21 20	2.4	1.0	+ 24	39 58 44	—	28	—	40 15 1
☉	"	7 33.2	41 4 0	42 0	53 0	2.9	0.5	+ 40	39 30 40	—	28	—	39 46 57
☉	"	9 13.2	41 16 50	53 30	5 10	0.8	2.6	- 30	39 41 40	—	28	—	39 26 7
☉	"	11 16.4	40 52 5	28 50	40 28	1.0	2.5	- 25	39 17 3	—	28	—	39 1 30
☉	C. D.	13 34.4	322 46 55	22 30	34 43	1.1	2.2	- 19	38 48 36	—	27	5	38 33 3
☉	"	15 24.8	323 9 30	45 40	57 35	0.2	3.0	- 46	38 26 11	—	27	—	38 10 38
☉	"	17 24.0	324 6 0	42 15	54 8	1.3	2.0	- 12	37 29 4	—	26	—	37 45 20
☉	"	19 12.0	324 28 35	6 35	17 35	0.8	2.4	- 27	37 5 52	—	26	—	37 22 8

B = 399.1 + 17'.5; T = + 4'.0; D = 14 11" 15".

N:o 27. Campement 151. 1907 avril 29.

$$B = 392.1 + 12.6; T = + 6.9; D = 1^h 11^m 32.5; I = 1^{\circ} 23' 0''.$$

Objet d'observation.	Position de l'instrument.	Chronomètre.	Lecture du cercle.		Moyenne.		Niveau.			Distance zénithale obs rvée.	Demi-diamètre.	Réfraction.	Parallaxe.	Distance zénithale géocentrique.
☉	C. D.	0 ^h 20 ^m 9.2	284	23' 30"	59' 30"	11' 30"	1.8	1.7	+ 2"	77 11' 28"	15' 54"	2' 22"	9"	77 29' 35"
☉		22 10.4	283	57 45	34 0	45 53	1.2	2.2	- 17	77 37 24	—	2 27	—	77 55 36
☉		24 15.2	282	59 30	35 45	47 38	1.2	2.2	- 17	78 35 39	—	2 40	—	78 22 16
☉		26 10.0	282	35 30	11 30	23 30	1.1	2.3	- 20	78 59 50	—	2 46	—	78 46 33
☉	C. G.	28 7.6	80	58 15	35 10	46 43	1.9	1.5	+ 7	79 23 50	—	2 52	—	79 10 39
☉		30 7.6	81	23 35	0 20	11 58	2.1	1.3	+ 13	79 49 11	—	2 59	—	79 36 7
☉		32 8.8	81	17 0	54 0	5 30	2.5	0.9	+ 27	79 42 57	—	2 57	—	80 1 39
☉		34 9.6	81	42 15	19 30	30 53	2.7	0.8	+ 32	80 8 25	—	3 5	—	80 27 15
☉		36 9.2	82	7 30	44 30	56 0	1.7	1.8	- 2	—	—	—	—	—
☉		38 12.4	82	33 45	10 35	22 10	1.1	2.3	- 20	—	—	—	—	—
☉		40 12.4	83	31 5	7 55	19 30	0.8	2.6	- 30	—	—	—	—	—
☉		45 38.4	84	38 35	15 20	26 58	1.3	2.0	- 12	—	—	—	—	—

$$B = 392.2 + 12.5; T = + 5.2.$$

N:o 28. Campement 152, Parva. 1907 avril 30.

$$B = 391.0 + 12.8; T = + 7.9; D = 1^h 11^m 38.5; I = 1^{\circ} 23' 0''.$$

☉	C. D.	0 ^h 2 ^m 12.4	288	25' 40"	1' 30"	13' 35"	1.7	1.8	- 2"	73 9' 27"	15' 54"	1' 47"	8"	73 27' 0"
☉		4 12.8	288	0 0	36 25	48 13	1.7	1.8	- 2	73 34 49	—	1 50	—	73 52 25
☉		6 14.8	287	1 5	37 30	49 18	2.0	1.4	+ 10	74 33 32	—	1 57	—	74 19 27
☉		8 13.6	286	36 0	11 40	23 50	1.9	1.6	+ 5	74 59 5	—	2 1	—	74 45 4
☉	C. G.	10 10.0	76	57 0	34 0	45 30	2.0	1.4	+ 10	75 22 40	—	2 4	9	75 8 41
☉		12 12.4	77	24 25	0 10	12 18	1.4	2.0	- 10	75 49 8	—	2 8	—	75 35 13
☉		14 12.4	77	17 0	53 40	5 20	1.0	2.4	- 24	75 41 56	—	2 7	—	75 59 48
☉		16 14.0	77	42 15	19 5	30 40	1.3	2.1	- 13	76 7 27	—	2 10	—	76 25 22
☉		18 10.4	78	6 40	43 30	55 5	1.9	1.6	+ 5	76 32 10	—	2 14	—	76 50 9
☉		20 12.8	78	32 45	9 50	21 18	1.7	1.8	- 2	76 58 16	—	2 19	—	77 16 20
☉		22 16.0	79	31 25	8 10	19 48	0.7	2.8	- 35	77 56 13	—	2 31	—	77 42 41
☉		24 16.4	79	56 20	33 35	44 58	1.0	2.4	- 24	78 21 34	—	2 35	—	78 8 6
☉	C. D.	26 36.8	282	42 35	18 35	30 35	1.4	2.0	- 10	78 52 35	—	2 43	—	78 39 15
☉		28 11.2	282	22 30	48 30	5 30	2.0	1.4	+ 10	79 17 20	—	2 48	—	79 4 5
☉		30 26.8	282	27 5	3 0	15 3	0.5	2.9	- 40	79 8 37	—	2 46	—	79 27 8
☉		32 16.0	282	4 10	40 30	52 20	0.4	2.9	- 41	79 31 21	—	2 52	—	79 49 58

$$B = 390.9 + 15.2; T = + 6.8.$$

N:o 29. Campement 157, Kyam-chu. 1907 mai 8.

B = 385.7 - 7°.4; T = - 8°.3; D = 1^h 12^m 27^s; l = 1° 23' 0".

Objet d'observation.	Position de l'instrument.	Chronomètre.	Lecture du cercle.			Moyenne.			Niveau.		Distance zénithale observée.	Demi-diamètre.	Réfraction.	Parallaxe.	Distance zénithale géocentrique.
☉	C. D.	13 ^h 3 ^m 12 ^s .0	283° 45' 55"	21' 50"	33' 53"	2.0	2.0	0"	77 49' 7"	15' 52"	2' 36"	9"	78 7' 26"		
☉	»	5 12.8	284 11 35	47 30	59 33	2.2	1.8	+ 7	77 23 20	—	2 30	—	77 41 33		
☉	»	7 12.0	284 4 20	40 5	52 13	2.0	2.0	0	77 30 47	—	2 32	—	77 17 18		
☉	»	9 13.2	284 30 5	6 0	18 3	1.8	2.2	- 7	77 5 4	—	2 27	»	76 51 30		
☉	C. G.	11 22.0	78 11 0	47 55	59 28	1.8	2.2	- 7	76 36 21	—	2 21	—	76 22 41		
☉	»	13 21.2	77 45 0	22 0	33 30	1.4	2.6	- 20	76 10 10	—	2 16	—	75 56 25		
☉	»	15 14.4	76 48 20	25 30	36 55	1.4	2.6	- 20	75 13 35	—	2 9	—	75 31 27		
☉	»	17 10.8	76 24 15	1 30	12 53	1.5	2.5	- 17	74 49 36	—	2 5	—	75 7 24		
☉	»	19 12.0	75 58 55	35 30	47 13	1.4	2.6	- 20	74 23 53	—	2 1	8	74 41 38		
☉	»	21 11.2	75 33 15	10 10	21 43	1.2	2.8	- 27	73 58 16	—	1 58	—	74 15 58		
☉	»	23 11.2	75 40 0	17 0	28 30	1.6	2.4	- 13	74 5 17	—	1 59	»	73 51 16		
☉	»	25 16.0	75 13 15	50 15	1 45	1.8	2.2	- 7	73 38 38	—	1 55	—	73 24 33		
☉	C. D.	27 10.0	288 18 30	54 20	6 25	1.8	2.2	- 7	73 16 42	—	1 52	—	73 2 34		
☉	»	29 10.8	288 44 0	20 10	32 5	2.0	2.0	0	72 50 55	—	1 49	—	72 36 44		
☉	»	31 15.6	289 43 35	19 50	31 43	2.3	1.7	+ 10	71 51 7	—	1 43	—	72 8 34		
☉	»	33 12.0	290 9 10	44 0	56 35	2.8	1.2	+ 27	71 25 58	—	1 40	—	71 43 22		

B = 386.2 - 3°.0; T = - 4°.5.

N:o 30. Campement 161, Raga-tsangpo. 1907 mai 18.

B = 383.8 - 1°.4; T = - 6°.7; D = 1^h 13^m 31^s; l = 1° 23' 0".

☉	C. D.	13 ^h 11 ^m 13 ^s .6	286° 3' 25"	39' 45"	51' 35"	2.4	1.1	+ 22"	75 31' 3"	15' 50"	2' 10"	8"	75 48' 55"
☉	»	13 18.4	286 29 50	5 55	17 53	2.9	0.7	+ 36	75 4 31	—	2 7	—	75 22 20
☉	»	15 10.8	286 21 35	58 0	9 48	2.0	1.7	+ 5	75 13 7	—	2 8	—	74 59 17
☉	»	17 16.8	286 48 30	24 35	36 33	1.1	2.8	- 29	74 46 56	—	2 4	—	74 33 2
☉	C. G.	19 16.8	75 55 45	32 15	44 0	2.1	1.8	+ 5	74 21 5	—	2 0	—	74 7 7
☉	»	21 21.2	75 29 10	6 10	17 40	2.3	1.4	+ 15	73 54 55	—	1 57	—	73 40 54
☉	»	23 12.8	74 33 55	10 50	22 23	1.3	2.5	- 20	72 59 3	—	1 50	—	73 16 35
☉	»	25 14.0	74 8 55	44 55	56 55	1.6	2.2	- 10	72 33 45	—	1 47	—	72 51 14
☉	»	27 14.4	73 42 25	19 30	30 58	1.0	2.8	- 30	72 7 28	—	1 45	—	72 24 55
☉	»	29 16.0	73 16 30	53 0	4 45	2.0	1.8	+ 5	71 41 48	—	1 42	—	71 59 12
☉	»	31 10.0	73 24 0	0 55	12 28	2.1	1.7	+ 7	71 49 35	—	1 43	—	71 35 20
☉	»	33 12.0	72 58 30	35 25	46 58	1.9	1.0	0	71 23 58	—	1 40	—	71 9 40
☉	C. D.	35 20.8	290 36 30	12 30	24 30	1.9	1.9	0	70 58 30	—	1 38	—	70 44 10
☉	»	37 17.6	291 1 55	37 50	49 53	1.9	1.9	0	70 33 7	—	1 36	—	70 18 45
☉	»	39 24.0	292 1 0	37 15	49 8	2.1	1.7	+ 7	69 33 45	—	1 31	—	69 50 58
☉	»	41 17.2	292 25 35	1 35	13 35	1.5	2.2	- 12	69 9 37	—	1 29	—	69 26 48

B = 384.7 + 4°.8; T = - 4°.5.

N:o 31. Campement 166, Basang. 1907 mai 24.

$$B = 391.4 + 18^{\circ}.2; T = + 9^{\circ}.9; D = 1^h 14^m 15^s; I = 1^{\circ} 23' 0''.$$

Objet d'observation.	Position de l'instrument.	Chronomètre.	Lecture du cercle.		Moyenne.	Niveau.			Distance zénithale observée.	Demi-diamètre.	Réfraction.	Parallaxe.	Distance zénithale géocentrique.
☉	C. D.	0 ^h 7 ^m 10 ^s .0	291 14' 40"	50' 0"	2' 20"	1.5	1.6	- 2"	70° 20' 42"	15' 49"	1' 30"	8"	70 37' 53"
☉		9 10.8	290 48 30	24 15	36 23"	0.8	2.3	- 25	70 47 2	—	1 32	—	71 4 15
☉	,	11 11.2	289 51 20	27 10	39 15	1.1	1.7	- 5	71 43 50	—	1 38	—	71 29 31
☉		13 8.8	289 26 30	2 0	14 15	1.4	1.8	- 7	72 8 52	—	1 41	—	71 54 36
☉	C. G.	15 8.4	74 6 25	43 15	54 50	1.9	1.3	+ 10	72 32 0	—	1 43	—	72 17 46
☉		17 8.8	74 32 50	9 30	21 10	1.2	2.0	- 13	72 57 57	—	1 46	—	72 43 46
☉		19 9.6	74 25 35	4 15	14 55	1.6	1.6	0	72 51 55	—	1 45	—	73 9 21
☉		21 8.8	74 50 30	27 20	38 55	1.9	1.3	+ 10	73 16 5	—	1 48	—	73 33 34
☉	,	23 9.6	75 16 0	52 30	4 15	1.6	1.6	0	73 41 15	—	1 51	9	73 58 46
☉	,	25 9.2	75 40 45	17 25	29 5	2.2	1.0	+ 20	74 6 25	—	1 54	—	74 23 59
☉		27 14.0	76 38 45	15 40	27 13	1.8	1.4	+ 7	75 4 20	—	2 1	—	74 50 23
☉		29 6.8	77 2 50	39 30	51 10	0.8	2.4	- 27	75 27 43	—	2 4	—	75 13 49
☉	C. D.	31 8.8	285 40 20	16 0	28 10	1.3	1.8	- 8	75 54 58	—	2 8	—	75 41 8
☉		33 9.2	285 15 20	50 35	2 58	1.8	1.5	+ 5	76 19 57	—	2 13	—	76 6 12
☉	,	35 9.2	285 22 10	58 0	10 5	2.1	1.1	+ 17	76 12 38	—	2 12	—	76 30 30
☉		37 11.2	284 56 55	33 0	44 58	1.8	1.5	+ 5	76 37 57	—	2 16	—	76 55 53

$$B = 391.8 + 16^{\circ}.3; T = + 7^{\circ}.9; D = 1^h 14^m 15^s.$$

N:o 32. Campement 170, Saka-dsong. 1907 juin 3.

$$B = 399.1 - 4^{\circ}.8; T = - 4^{\circ}.6; D = 1^h 15^m 25^s; I = 1^{\circ} 23' 0''.$$

☉	C. D.	13 ^h 10 ^m 20 ^s .8	285 51' 45"	27' 35"	39' 40"	1.5	2.0	- 8"	75 43' 28"	15' 47"	2' 16"	8"	76 1' 23"
☉		12 10.4	286 14 45	50 30	2 38	2.5	1.0	+ 25	75 19 57	—	2 13	—	75 37 49
☉		14 11.2	286 7 30	43 20	55 25	1.6	1.9	- 5	75 27 40	—	2 13	—	75 13 58
☉		16 13.2	286 33 0	8 35	20 48	1.2	2.6	- 24	75 2 36	—	2 10	—	74 48 51
☉	C. G.	18 30.4	76 8 0	44 55	56 28	1.9	1.7	+ 3	74 33 31	—	2 6	—	74 19 42
☉		20 43.2	75 39 30	16 35	28 3	1.7	1.9	- 3	74 5 0	—	2 1	—	73 51 6
☉		22 24.8	74 46 20	23 0	34 40	1.2	2.3	- 19	73 11 21	—	1 56	—	73 28 56
☉		24 11.6	74 23 55	0 30	12 13	1.7	1.9	- 3	72 49 10	—	1 52	—	73 6 41
☉		26 37.6	73 53 20	30 0	41 40	0.8	2.7	- 32	72 18 8	—	1 49	—	72 35 36
☉		28 21.6	73 31 50	9 30	20 40	0.8	2.8	- 33	71 57 7	—	1 46	—	72 14 32
☉		30 16.4	73 40 0	16 30	28 15	1.2	2.3	- 19	72 4 56	—	1 47	—	71 50 48
☉		32 10.0	73 16 0	52 50	4 25	3.7	0.7	+ 50	71 42 15	—	1 45	—	71 28 5
☉	C. D.	34 6.0	290 16 15	52 15	4 15	0.3	3.3	- 50	71 19 35	—	1 43	—	71 5 23
☉	,	36 12.4	290 41 55	18 0	29 58	2.0	1.5	+ 8	70 52 54	—	1 40	—	70 38 39
☉		38 25.2	291 41 55	18 0	29 58	2.0	1.6	+ 7	69 52 55	—	1 34	—	70 10 8
☉		40 17.2	292 5 45	41 30	53 38	1.3	2.1	- 13	69 29 35	—	1 32	—	69 46 46

$$B = 401.1 + 13^{\circ}.4; T = - 2^{\circ}.2; D = 1^h 15^m 25^s.$$

N:o 33. Campement 172, Pasa-guk. 1907 juin 7.

$$B = 398.4 + 19.2; T = + 15.2; D = 1^h 16^m 45.5; I = 1 22' 23.$$

Objet d'observation.	Position de l'instrument.	Chronomètre.	Lecture du cercle.			Moyenne.	Niveau.		Distance zénithale observée.	Demi-diamètre.	Réfraction.	Parallaxe	Distance zénithale géocentrique.
☉	C. D.	0 ^h 0 ^m 12.50	294 33' 0"	8' 50"	20' 55"	1.0	1.9	- 15"	67 1' 43"	15' 47"	1' 16"	8"	67 18' 38"
☉	'	2 12.0	294 9 15	44 5	56 40	1.0	1.9	- 15	67 25 58	—	1 18	—	67 42 55
☉		4 17.6	293 9 35	45 40	57 38	1.1	1.8	- 12	68 24 57	—	1 22	—	68 10 24
☉		6 16.0	292 45 50	21 50	33 50	0.0	2.9	- 48	68 49 21	—	1 24	—	68 34 50
☉	C. G.	8 9.6	70 47 55	24 30	36 13	1.1	1.8	- 12	69 13 38	—	1 26	—	68 59 9
☉	'	10 8.4	71 12 55	49 35	1 15	1.7	1.2	+ 8	69 39 0	—	1 27	—	69 24 32
☉	'	12 8.8	71 6 10	42 45	54 28	1.3	1.7	- 7	69 31 58	—	1 27	—	69 49 4
☉		14 11.6	71 31 30	8 5	19 48	1.1	1.8	- 12	69 57 13	—	1 29	—	70 14 21
☉	'	16 13.2	71 57 0	33 30	45 15	2.0	0.9	+ 19	70 23 11	—	1 31	—	70 40 21
☉		18 8.8	72 21 10	57 55	9 33	2.5	0.4	+ 35	70 47 45	—	1 33	—	71 4 57
☉	'	20 12.4	73 18 30	55 35	7 3	2.2	0.7	+ 25	71 45 5	—	1 38	—	71 30 48
☉		22 9.6	73 42 50	19 15	31 3	2.4	0.5	+ 32	72 9 12	—	1 41	—	71 54 58
☉	C. D.	24 8.8	289 0 30	36 15	48 23	1.3	1.7	- 7	72 34 7	—	1 44	—	72 19 56
☉		26 8.4	288 35 50	11 30	23 40	1.8	1.2	+ 10	72 58 33	—	1 47	—	72 44 25
☉		28 9.2	288 42 55	18 55	30 55	0.8	2.2	- 24	72 51 52	—	1 45	—	73 9 16
☉		30 12.4	288 17 15	52 35	4 55	1.0	2.0	- 17	73 17 45	—	1 48	—	73 35 12

$$B = 398.0 + 19.4; T = + 12.5.$$

N:o 34. Campement 174, Rok-shung. 1907 juin 11.

$$B = 399.2 + 14.7; T = + 9.8; D = 1^h 17^m 45.5; I = 1 22' 24.$$

☉	C. D.	0 ^h 35 ^m 13.52	287 44' 5"	20' 0"	32' 3"	1.6	1.7	- 2"	73 50' 23"	15' 46"	1' 54"	9"	74 7' 54"
☉	'	37 12.8	287 20 0	55 55	7 58	1.7	1.6	+ 2	74 14 24	—	1 57	—	74 31 58
☉		39 17.6	286 22 0	58 5	10 3	1.3	2.0	- 12	75 12 33	—	2 5	—	74 58 43
☉		41 10.0	285 59 0	34 45	46 53	1.5	1.8	- 5	75 35 36	—	2 8	—	75 21 49
☉	C. G.	43 15.6	77 35 35	12 5	23 50	1.1	2.2	- 19	76 1 7	—	2 12	—	75 47 24
☉	'	45 8.4	77 58 40	35 10	46 55	1.5	1.8	- 5	76 24 26	—	2 16	—	76 10 47
☉	'	47 9.2	77 51 15	27 55	39 35	1.3	2.0	- 12	76 16 59	—	2 15	—	76 34 51
☉		49 10.4	78 16 30	53 0	4 45	1.0	2.3	- 22	76 41 59	—	2 19	—	76 59 55
☉	'	51 11.6	78 40 15	17 0	28 38	1.5	1.8	- 5	77 6 9	—	2 23	—	77 24 9
☉		53 9.6	79 4 55	41 40	53 18	1.6	1.7	- 2	77 30 52	—	2 28	—	77 48 57
☉		55 11.2	80 1 20	38 10	49 45	2.0	1.3	+ 12	78 27 33	—	2 40	—	78 14 18
☉		57 8.4	80 25 5	1 55	13 30	2.0	1.3	+ 12	78 51 18	—	2 45	—	78 38 8
☉	C. D.	59 9.6	282 18 50	54 30	6 40	1.9	1.3	+ 10	79 15 34	—	2 51	—	79 2 30
☉	'	1 12.8	281 53 55	29 10	41 33	2.0	1.2	+ 13	79 40 38	—	2 59	—	79 27 42
☉	'	3 10.4	282 1 45	37 20	49 33	1.9	1.4	+ 8	79 32 43	—	2 56	—	79 51 16
☉		5 12.8	281 37 20	13 0	25 10	2.2	1.1	+ 19	79 56 55	—	3 3	—	80 15 35

$$B = 399.1 + 14.1; T = + 8.8.$$

N:o 35. Campement 179, Tradum. 1907 juin 18.

$$B = 408.0 + 19.7; T = - 12.4; D = 1^h 17^m 20s; I = 1^{\circ} 20' 42''.$$

Objet d'observation.	Position de l'instrument.	Chronomètre.	Lecture du cercle.		Moyenne.	Niveau.			Distance zénithale observée.	Demi-diamètre.	Réfraction.	Parallaxe.	Distance zénithale géocentrique.	
☉	C. D.	0 ^h 42 ^m 7 ^s .2	287	22' 0"	58' 10"	10' 5"	1.6	1.4	+ 3"	74° 10' 34"	15' 46"	1' 56"	9"	74° 28' 7"
☉		44 14.8	286	56 15	32 0	44 8	1.7	1.3	+ 7	74 36 27	—	1 59	—	74 54 3
☉		46 14.4	285	59 55	35 20	47 38	1.8	1.2	+ 10	75 32 54	—	2 7	—	75 19 6
☉		48 6.8	285	36 50	12 40	24 45	1.7	1.4	+ 5	75 55 52	—	2 10	—	75 42 7
☉	C. G.	50 8.8	77	53 30	30 25	41 58	1.5	1.6	- 2	76 21 14	—	2 14	—	76 7 33
☉	;	52 8.8	78	18 15	55 0	6 38	1.2	1.9	- 12	76 45 44	—	2 19	—	76 32 8
☉		54 10.8	78	10 55	47 55	59 25	1.0	2.1	- 19	76 38 24	—	2 18	—	76 56 19
☉	;	56 13.6	78	35 55	12 35	24 15	0.7	2.4	- 29	77 3 4	—	2 22	—	77 21 3
☉		58 10.4	78	59 30	36 20	47 55	1.1	2.0	- 15	77 26 58	—	2 27	—	77 45 2
☉	I	0 18.0	79	25 20	2 30	13 55	1.4	1.8	- 7	77 53 6	—	2 32	—	78 11 15
☉		2 8.4	80	19 40	56 30	8 5	1.3	1.9	- 10	78 47 13	—	2 44	—	78 34 2
☉		4 9.2	80	43 40	20 50	32 15	1.7	1.4	+ 5	79 11 38	—	2 50	—	78 58 33
☉	C. D.	6 10.0	281	56 30	32 10	44 20	1.3	1.8	- 8	79 36 30	—	2 57	—	79 23 32
☉		8 10.8	281	31 55	7 55	19 55	1.8	1.3	+ 8	80 0 39	—	3 4	—	79 47 48
☉		10 13.2	281	39 40	15 5	27 23	2.0	1.1	+ 15	79 53 4	—	3 2	—	80 11 43
☉	;	12 14.4	281	15 15	51 0	3 8	2.2	0.9	+ 22	80 17 12	—	3 8	—	80 35 57

$$B = 409.0 + 16.9; T = + 10.4; D = 1^h 17^m 20s.$$

N:o 36. Campement 185. 1907 juin 25.

$$B = 389.9 + 16.8; T = + 9.4; D = 1^h 18^m 9s; I = 1^{\circ} 20' 40''.$$

☉	C. D.	0 ^h 12 ^m 17 ^s .6	294	16' 45"	52' 5"	4' 25"	2.0	0.8	+ 20"	67° 15' 55"	15' 46"	1' 17"	8"	67° 32' 50"
☉	;	14 13.2	293	52 15	28 0	40 8	1.5	1.3	+ 3	67 40 29	—	1 19	—	67 57 26
☉		18 10.0	292	31 30	6 55	19 13	1.5	1.3	+ 3	69 1 24	—	1 24	—	68 46 54
☉		20 12.0	292	6 15	41 0	53 38	1.6	1.3	+ 5	69 26 57	—	1 26	—	69 12 29
☉	C. G.	22 10.4	71	25 15	1 50	13 33	1.5	1.5	0	60 52 53	—	1 27	—	69 38 26
☉	;	36 7.6	74	18 15	55 5	6 40	1.7	1.5	+ 3	72 46 3	—	1 43	—	72 31 52
☉		38 7.6	74	12 30	49 10	0 50	0.7	2.5	- 30	72 39 40	—	1 42	—	72 57 0
☉		40 11.2	74	37 15	14 0	25 38	1.5	1.7	- 3	73 4 55	—	1 45	—	73 22 18
☉		42 11.2	75	1 55	38 40	50 18	1.5	1.7	- 3	73 29 35	—	1 48	—	73 47 1
☉		44 10.4	75	26 15	3 0	14 38	1.1	2.0	- 15	73 53 43	—	1 50	—	74 11 11
☉		46 10.4	76	22 30	59 55	11 13	1.8	1.4	+ 7	74 50 40	—	1 58	—	74 36 44
☉		48 7.2	76	46 30	23 30	35 0	2.2	0.9	+ 22	75 14 42	—	2 1	—	75 0 49
☉	C. D.	50 9.2	285	53 5	28 45	40 55	1.3	1.8	- 8	75 39 53	—	2 5	—	75 26 4
☉		52 11.2	285	28 25	4 15	16 20	1.8	1.3	+ 8	76 4 12	—	2 7	—	75 50 25
☉		54 9.2	285	36 35	12 40	24 38	1.5	1.6	- 2	75 56 4	—	2 6	—	76 13 48
☉		56 7.2	285	12 35	48 40	0 38	1.2	1.9	- 12	76 20 14	—	2 10	—	76 38 2

$$B = 389.9 + 16.8; T = + 10.8; D = 1^h 18^m 9s.$$

N:o 37. Campement 189, Dongbo. 1907 juin 29.

$$B = 399.9 + 22'.1; T = + 14'.3; D = 1^h 18^m 36^s.5; I = 1' 20' 40''.$$

Objet d'observation.	Position de l'instrument.	Chronomètre.	Lecture du cercle.	Moyenne.	Niveau.	Distance zénithale observée.	Demi-diamètre	Réfraction.	Parallaxe.	Distance zénithale géocentrique.
☉	C. D.	1 ^h 1 ^m 12 ^s .0	284 40' 0"	16' 5" 28' 3"	1.1 1.8 - 12"	76° 52' 49"	15' 45"	2' 18"	9"	77 10' 43"
☉		3 7.6	284 16 45	52 25 4 35	1.3 1.6 - 5	77 16 10	—	2 22	—	77 34 8
☉		5 10.4	283 20 0	55 35 7 48	1.4 1.5 - 2	78 12 54	—	2 33	—	77 59 33
☉		15 8.4	281 19 55	55 0 7 28	1.4 1.5 - 2	80 13 14	—	3 4	—	80 0 24
☉	C. G.	17 8.4	82 9 55	46 40 58 18	1.3 1.8 - 8	80 37 30	—	3 11	—	80 24 47
☉	»	19 7.6	82 33 55	10 20 22 8	1.1 2.0 - 15	81 1 13	—	3 20	—	80 48 39
☉	»	21 9.6	82 27 0	4 0 15 30	1.1 2.0 - 15	80 54 35	—	3 16	—	81 13 27
☉	»	23 11.6	82 51 30	28 0 39 45	0.2 2.9 - 45	81 18 20	—	3 24	—	81 37 20
☉		25 11.6	83 14 50	51 5 2 58	1.8 1.3 + 8	81 42 26	—	3 33	—	82 1 35
☉	»	27 9.6	83 38 5	14 55 26 30	1.5 1.6 - 2	82 5 48	—	3 43	—	82 25 7
☉		29 12.0	84 34 30	10 55 22 43	1.1 2.0 - 15	83 1 48	—	4 11	—	82 50 5
☉	»	31 9.6	84 57 20	33 55 45 38	1.4 1.7 - 5	83 24 53	—	4 24	—	83 13 23
☉	C. D.	33 25.2	277 41 15	17 0 29 8	1.7 1.3 + 7	83 51 25	—	4 40	—	83 40 11
☉		38 49.6	276 37 50	13 35 25 43	1.5 1.6 - 2	84 54 59	—	5 28	—	84 44 33
☉	»	41 10.0	276 41 20	17 15 29 18	2.0 1.0 + 17	84 51 5	—	5 24	—	85 12 5
☉	»	43 14.0	276 17 55	53 0 5 28	1.9 1.2 + 12	85 15 0	—	5 47	—	85 36 23

$$B = 400.1 + 18'.2; T = + 12'.4; D = 1^h 18^m 37^s.$$

N:o 38. Campement 191, Le Brahmapoutre. 1907 juillet 2.

$$B = 399.2 + 13'.2; T = + 12'.6; D = 1^h 18^m 59^s.5; I = 1' 20' 40''.$$

☉	C. D.	1 ^h 2 ^m 12 ^s .0	284 49' 55"	25' 40" 37' 48"	1.3 1.8 - 8"	76° 43' 0"	15' 45"	2' 17"	9"	77 0' 53"
☉	»	4 10.8	284 25 50	1 45 13 48	1.7 1.4 + 5	77 6 47	—	2 21	—	77 24 44
☉		6 12.4	283 29 5	5 5 17 5	1.6 1.5 + 2	78 3 33	—	2 32	—	77 50 11
☉		8 8.0	283 5 35	41 50 53 43	1.8 1.3 + 8	78 26 49	—	2 37	—	78 13 32
☉	C. G.	10 9.2	80 23 55	0 45 12 20	1.3 1.8 - 8	78 51 32	—	2 43	—	78 38 21
☉	»	12 7.2	80 47 30	24 30 36 0	1.3 1.9 - 10	79 15 10	—	2 49	—	79 2 5
☉	»	14 8.8	80 40 20	17 10 28 45	0.9 2.3 - 24	79 7 41	—	2 47	—	79 26 4
☉		16 12.8	81 5 15	42 0 53 38	1.3 2.0 - 12	79 32 46	—	2 53	—	79 51 15
☉		18 12.0	81 29 25	5 40 17 33	1.4 1.8 - 7	79 56 46	—	3 0	—	80 15 22
☉	»	20 10.0	81 52 50	29 40 41 15	1.4 1.8 - 7	80 20 28	—	3 8	—	80 39 12
☉		22 9.2	82 48 45	25 20 37 3	1.2 2.0 - 13	81 16 10	—	3 26	—	81 3 42
☉		24 10.0	83 12 20	49 0 0 40	1.8 1.4 + 7	81 40 7	—	3 35	—	81 27 48
☉	C. D.	26 34.8	279 23 0	59 15 11 8	1.9 1.4 + 8	82 9 24	—	3 48	—	81 57 18
☉		28 11.2	279 4 30	40 15 52 23	2.5 0.7 + 30	82 27 47	—	3 57	—	82 15 50
☉		30 10.4	279 12 45	49 0 0 53	1.4 1.8 - 7	82 19 54	—	3 52	—	82 39 22
☉		32 11.2	278 49 15	25 10 37 13	1.9 1.4 + 8	82 43 19	—	4 4	—	83 2 59

$$B = 399.3 + 14'.2; T = + 9'.6$$

N:o 39. Campement 194, Gyang-chu-kamar. 1907 juillet 5.

$$B = 397.0 + 19.4; T = + 10.4; D = 1^h 19^m 24.5; I = 1^{\circ} 20' 40''.$$

Objet d'observation.	Position de l'instrument.	Chronomètre.	Lecture du cercle.		Moyenne.		Niveau.			Distance zénithale observée.	Demi-diamètre.	Réfraction.	Parallaxe.	Distance zénithale géocentrique.
☉	C. D.	1 ^h 17 ^m 13.2	282	11' 0	46' 40"	58' 50"	1.9	1.2	+ 12"	79° 21' 38"	15' 45"	2' 50"	9"	79 40' 4"
☉	"	19 7.2	281	47 45	23 30	35 38	1.9	1.2	+ 12	79 44 50	—	2 57	—	80 3 23
☉	"	21 12.8	280	50 10	26 45	38 28	2.8	0.4	+ 40	80 41 32	—	3 14	—	80 28 52
☉	"	23 10.4	280	26 30	2 55	14 43	3.1	0.1	+ 50	81 5 7	—	3 22	—	80 52 35
☉	C. G.	25 11.6	83	2 15	39 0	50 38	1.0	2.2	— 20	81 29 38	—	3 31	—	81 17 15
☉	"	27 14.4	83	26 45	3 35	15 10	1.9	1.3	+ 10	81 54 40	—	3 41	—	81 42 27
☉	"	29 13.2	83	18 30	55 25	6 58	1.4	1.9	— 8	81 46 10	—	3 37	—	82 5 23
☉	"	31 47.6	83	49 10	26 0	37 35	1.1	2.2	— 19	82 16 36	—	3 51	—	82 36 3
☉	"	33 21.6	84	7 50	45 0	56 25	1.7	1.6	+ 2	82 35 47	—	3 59	—	82 55 22
☉	"	35 23.6	84	31 55	9 40	20 48	1.8	1.5	+ 5	83 0 13	—	4 12	—	83 20 1
☉	"	37 13.6	85	24 55	2 0	13 28	1.7	1.5	+ 3	83 52 51	—	4 44	—	83 41 41
☉	"	39 14.8	85	48 50	26 0	37 25	1.8	1.5	+ 5	84 16 50	—	5 1	—	84 5 57
☉	C. D.	41 12.8	276	52 30	28 20	40 25	2.0	1.3	+ 12	84 40 3	—	5 18	—	84 29 27
☉	"	43 9.2	276	29 20	5 35	17 28	2.5	0.8	+ 29	85 2 43	—	5 40	—	84 52 29
☉	"	45 10.0	276	38 0	13 45	25 53	1.4	1.9	— 8	84 54 55	—	5 32	—	85 16 3
☉	"	47 8.4	276	15 5	51 5	3 5	1.5	1.8	— 5	85 17 40	—	5 55	—	85 39 11

$$B = 397.8 + 16.7; T = + 8.0.$$

N:o 40. Campement 196, Shamsang. 1907 juillet 7.

$$B = 396.3 + 16.1; T = + 11.2; D = 1^h 19^m 38.5; I = 1^{\circ} 20' 40''.$$

Objet d'observation.	Position de l'instrument.	Chronomètre.	Lecture du cercle.		Moyenne.		Niveau.			Distance zénithale observée.	Demi-diamètre.	Réfraction.	Parallaxe.	Distance zénithale géocentrique.
☉	C. D.	1 ^h 4 ^m 11.6	285	0' 5"	36' 30"	48' 18"	1.6	1.6	0"	76° 32' 22"	15' 45"	2' 14"	9"	76 50' 12"
☉	"	6 27.6	284	33 5	9 0	21 3	2.0	1.2	+ 13	76 59 24	—	2 20	—	77 17 20
☉	"	8 18.4	283	35 55	15 0	26 58	2.0	1.1	+ 15	77 53 27	—	2 29	—	77 40 2
☉	"	10 12.0	283	16 15	52 0	4 8	1.5	1.6	— 2	78 16 34	—	2 35	—	78 3 15
☉	C. G.	12 8.4	80	12 35	49 30	1 3	2.2	1.0	+ 20	78 40 43	—	2 40	—	78 27 29
☉	"	14 12.0	80	37 50	14 30	26 10	2.0	1.2	+ 13	79 5 43	—	2 46	—	78 52 35
☉	"	16 8.0	80	29 45	6 30	18 8	2.0	1.2	+ 13	78 57 41	—	2 44	—	79 16 1
☉	"	18 19.2	80	55 40	32 35	44 8	1.8	1.4	+ 7	79 23 35	—	2 51	—	79 42 2
☉	"	20 12.4	81	18 15	55 10	6 43	2.0	1.2	+ 13	79 46 16	—	2 57	—	80 4 49
☉	"	22 9.6	81	41 50	18 50	30 20	2.4	0.8	+ 27	80 10 7	—	3 3	—	80 28 46
☉	"	24 8.8	82	38 10	15 0	26 35	1.4	1.9	— 8	81 5 47	—	3 22	—	80 53 15
☉	"	26 9.2	83	1 55	39 0	50 28	1.7	1.6	+ 2	81 29 50	—	3 30	—	81 17 26
☉	C. D.	28 12.4	279	39 0	15 0	27 0	1.5	1.8	— 5	81 53 45	—	3 40	—	81 41 31
☉	"	30 10.4	279	15 30	51 30	3 30	1.2	2.1	— 15	82 17 25	—	3 51	—	82 5 22
☉	"	32 29.6	279	19 50	55 30	7 40	1.2	2.1	— 15	82 13 15	—	3 49	—	82 32 40
☉	"	34 8.0	279	0 15	36 0	48 8	1.3	1.9	— 10	82 32 42	—	3 58	—	82 52 16

$$B = 396.3 + 14.4; T = + 9.1; D = 1^h 19^m 38.5.$$

N:o 41. Campement 199, Shäryak. 1907 juillet 10.

$$B = 388.2 + 14.5; T = + 7.4; D = 1^h 20^m 1^s; I = 1^\circ 20' 40''.$$

Objet d'observation.	Position de l'instrument.	Chronomètre.	Lecture du cercle.			Moyenne.		Niveau.		Distance zénithale observée.	Demi-diamètre.	Refraction.	Parallaxe.	Distance zénithale géocentrique.
☉	C. D.	0 ^h 29 ^m 10 ^s .8	292 31' 0"	7' 0"	19' 0"	1.8	1.6	+ 3"	69 1' 37"	15' 45"	1' 25"	8"	69 18' 39"	
☉	'	31 9.6	292 6 50	42 50	54 50	1.3	2.1	- 13	69 26 3	—	1 27	—	69 43 7	
☉	'	33 18.4	291 8 15	44 30	56 23	1.3	2.1	- 13	70 24 30	—	1 31	—	70 10 8	
☉	'	41 12.4	289 29 50	5 55	17 53	1.5	2.0	- 8	72 2 55	—	1 40	'	71 48 42	
☉	C. G.	43 10.0	74 0 0	37 5	48 33	1.7	1.8	- 2	72 27 51	—	1 42	—	72 13 40	
☉	'	45 7.2	74 24 20	1 5	12 43	1.3	2.2	- 15	72 51 48	—	1 45	—	72 37 40	
☉	'	50 7.6	74 54 15	30 50	42 33	1.7	1.8	- 2	73 21 51	—	1 48	—	73 39 16	
☉	'	52 20.8	75 21 55	58 50	10 23	2.0	1.5	+ 8	73 49 51	—	1 51	—	74 7 19	
☉	'	54 18.0	75 46 20	23 0	34 40	1.6	1.9	- 5	74 13 55	—	1 54	9	74 31 25	
☉	'	56 6.8	76 8 50	45 30	57 10	1.2	2.2	- 17	74 36 13	—	1 58	'	74 53 47	
☉	'	58 12.8	77 6 20	43 15	54 48	1.0	2.5	- 25	75 33 43	—	2 5	'	75 19 54	
☉	'	1 0 8.4	77 30 15	7 0	18 38	0.9	2.6	- 29	75 57 29	—	2 8	'	75 43 43	
☉	C. D.	2 42.0	285 3 25	39 0	51 13	2.1	1.4	+ 12	76 29 15	—	2 14	'	76 15 35	
☉	'	4 5.6	284 46 15	22 10	34 13	2.0	1.4	+ 10	76 46 17	—	2 17	'	76 32 40	
☉	'	6 15.6	284 52 0	28 35	40 18	2.1	1.2	+ 15	76 40 7	—	2 16	—	76 57 59	
☉	'	8 17.2	284 27 10	2 50	15 0	2.3	1.0	+ 22	77 3 18	—	2 19	—	77 21 13	

$$B = 388.0 + 11.8; T = + 6.0; D = 1^h 20^m 1^s.$$

N:o 42. Campement 201, Shapka. 1907 juillet 11.

$$B = 388.2 + 10.9; T = + 8.4; D = 1^h 20^m 13^s; I = 1^\circ 20' 40''.$$

☉	C. D.	0 ^h 15 ^m 5 ^s .6	295 35' 50"	11' 55"	23' 53"	1.8	1.6	+ 3"	65 56' 44"	15' 45"	1' 13"	8"	66 13' 34"
☉	'	17 10.0	295 9 50	45 45	57 48	1.9	1.4	+ 8	66 22 44	—	1 14	—	66 39 35
☉	'	19 6.8	294 13 0	48 50	0 55	1.9	1.5	+ 7	67 19 38	—	1 17	—	67 5 2
☉	'	21 13.2	293 46 0	22 5	34 3	2.0	1.4	+ 10	67 46 27	—	1 19	—	67 31 53
☉	C. G.	23 14.4	69 43 40	20 35	32 8	2.8	0.6	+ 36	68 12 4	—	1 21	—	67 57 32
☉	'	25 8.8	70 8 50	45 30	57 10	1.5	1.9	- 7	68 36 23	—	1 23	—	68 21 53
☉	'	27 10.0	70 1 30	38 20	49 55	1.5	1.9	- 7	68 29 8	—	1 23	—	68 46 8
☉	'	29 10.0	70 26 55	3 30	15 13	2.0	1.4	+ 10	68 54 43	—	1 25	—	69 11 45
☉	'	31 9.2	70 51 25	28 20	39 53	1.8	1.6	+ 3	69 19 16	—	1 26	—	69 56 19
☉	'	33 7.6	71 16 15	53 15	4 45	2.2	1.2	+ 17	69 44 22	—	1 28	—	70 1 27
☉	'	35 7.6	72 13 25	50 15	1 50	2.0	1.3	+ 12	70 41 22	—	1 32	—	70 27 1
☉	'	37 8.0	72 38 30	15 15	26 53	2.1	1.2	+ 15	71 6 28	—	1 35	—	70 52 10
☉	C. D.	39 7.2	290 2 0	37 45	49 53	1.2	2.1	- 15	71 31 2	—	1 38	—	71 16 47
☉	'	41 10.4	289 36 20	11 55	24 8	1.0	2.3	- 22	71 56 54	—	1 40	—	71 42 41
☉	'	43 12.4	289 43 15	19 20	31 18	0.8	2.6	- 30	71 49 52	—	1 39	—	72 7 8
☉	'	45 12.8	289 18 15	53 35	5 55	1.0	2.4	- 24	72 15 9	—	1 42	—	72 32 28

$$B = 388.1 + 11.0; T = - 6.0; D = 1^h 20^m 13^s.$$

N:o 43. Campement 203, Dara-sumkor. 1907 juillet 15.

B = 385.9 + 18°.1; T = + 13°.1; D = 1^h 20^m 31^s; I = 1° 20' 50".

Objet d'observation.	Position de l'instrument.	Chronomètre.	Lecture du cercle.			Moyenne.	Niveau.			Distance zénithale observée.	Demi-diamètre.	Réfraction.	Parallaxe.	Distance zénithale géocentrique.
☉	C. D.	0 ^h 29 ^m 12.4	292	32' 50"	8' 30"	20' 40"	1.3	1.8	- 8"	69 0' 18"	15' 46"	1' 22"	8"	69 17' 18"
☉		31 20.0	292	6 0	42 15	54 8	1.4	1.7	- 5	69 26 47	—	1 25	—	69 43 50
☉		33 15.6	291	9 55	45 50	57 53	0.9	2.2	- 22	70 23 19	—	1 29	—	70 8 54
☉		35 15.6	290	44 55	20 45	32 50	1.1	2.0	- 15	70 48 15	—	1 31	—	70 33 52
☉	C. G.	37 26.0	72	48 0	26 0	37 0	1.8	1.3	+ 8	71 16 18	—	1 34	—	71 1 58
☉	»	39 14.8	73	10 45	47 30	59 8	2.2	0.9	+ 22	71 38 40	—	1 35	»	71 24 21
☉	»	41 15.6	73	3 20	40 10	51 45	2.0	1.1	+ 15	71 31 10	—	1 35	»	71 48 23
☉		43 30.4	73	31 15	7 40	19 28	2.3	0.8	+ 25	71 59 3	—	1 38	»	72 16 19
☉		45 16.4	73	53 15	30 0	41 38	2.5	0.6	+ 32	72 21 20	—	1 40	9	72 38 37
☉		47 15.2	74	18 10	55 5	6 38	2.8	0.3	+ 41	72 46 29	—	1 42	»	73 3 48
☉		49 18.0	75	15 20	52 0	3 40	2.4	0.7	+ 29	73 43 19	—	1 49	»	73 29 13
☉		51 14.4	75	39 50	16 0	27 55	2.8	0.3	+ 41	74 7 46	—	1 51	»	73 53 42
☉	C. D.	53 12.0	287	1 0	37 0	49 0	1.3	1.8	- 8	74 31 58	—	1 55	»	74 17 58
☉		55 6.8	286	37 30	12 45	25 8	1.1	2.1	- 17	74 55 59	—	1 58	»	74 42 2
☉		57 13.6	286	44 45	20 15	32 30	1.2	1.9	- 12	74 48 32	—	1 57	»	75 6 6
☉		59 12.8	286	18 40	54 30	6 35	0.8	2.4	- 27	75 14 42	—	2 1	»	75 32 20

B = 388.8 + 16°.6; T = + 10°.7; D = 1^h 20^m 31^s.

N:o 44. Campement 206, Loang-goa. 1907 juillet 18.

B = 378.8 + 12°.9; T = + 7°.6; D = 1^h 20^m 49^s.5; I = 1° 20' 50".

☉	C. D.	0 ^h 59 ^m 22.0	286	26' 0"	1' 40"	13' 50"	2.2	1.2	+ 17"	75 6' 43"	15' 46"	1' 58"	9"	75° 24' 18"
☉	1	1 12.4	286	3 5	39 10	51 8	2.2	1.2	+ 17	75 29 25	—	2 1	—	75 47 3
☉		3 11.2	285	6 15	42 0	54 8	2.1	1.2	+ 15	76 26 27	—	2 10	—	76 12 42
☉	»	5 12.0	284	41 15	17 20	29 18	2.9	0.5	+ 40	76 50 52	—	2 14	—	76 37 11
☉	C. G.	7 8.4	78	47 25	24 0	35 43	1.6	1.8	- 3	77 14 50	—	2 18	—	77 1 13
☉	»	9 8.4	79	11 50	48 30	0 10	1.3	2.1	- 13	77 39 7	—	2 23	—	77 25 35
☉		11 10.8	79	4 50	41 35	53 13	1.3	2.1	- 13	77 32 10	—	2 21	—	77 50 8
☉		13 10.8	79	29 55	6 20	18 8	0.5	2.8	- 38	77 56 40	—	2 26	—	78 14 43
☉	»	15 10.4	79	53 50	30 20	42 5	1.2	2.2	- 17	78 20 58	—	2 31	—	78 39 6
☉		17 11.2	80	18 20	55 10	6 45	2.1	1.3	+ 13	78 46 8	—	2 36	—	79 4 21
☉	»	19 12.0	81	14 55	51 30	3 13	2.0	1.3	+ 12	79 42 35	—	2 51	—	79 29 31
☉	»	21 9.6	81	38 50	15 20	27 5	1.9	1.4	+ 8	80 6 23	—	2 57	—	79 53 25
☉	C. D.	23 14.8	281	0 55	36 5	48 30	1.8	1.5	+ 5	80 32 15	—	3 4	—	80 19 24
☉	»	25 8.4	280	38 5	13 35	25 50	2.0	1.3	+ 12	80 54 48	—	3 12	—	80 42 5
☉		27 11.6	280	45 10	21 5	33 8	1.6	1.8	- 3	80 47 45	—	3 10	—	81 6 32
☉		29 12.8	280	21 0	56 20	8 40	1.8	1.6	+ 3	81 12 7	—	3 19	—	81 31 3

B = 378.9 + 12°.8; T = + 5°.6; D = 1^h 20^m 49^s.5.

N:o 45. Campement 208, Tag-ramoche. 1907 juillet 20.

$B = 381.8 + 17.7; T = + 10^{\circ}.2; D = 1^h 20^m 57^s.5; I = 1' 20'' 50''.$

Objet d'observation.	Position de l'instrument.	Chronomètre.	Lecture du cercle.		Moyenne.	Niveau.			Distance zénithale observée.	Demi-diamètre.	Réfraction.	Parallaxe.	Distance zénithale géocentrique.
☉	C. D.	0 ^h 43 ^m 9 ^s .6	290 0' 0"	35' 45"	47' 53"	1.8	1.4	+ 7"	71° 32' 50"	15' 46"	1' 35"	8"	71 50' 3"
☉	»	45 11.6	289 34. 35	10 0	22 18	2.8	0.5	+ 38	71 57 54	—	1 36	—	72 15 8
☉	»	47 12.8	288 37 30	12 40	25 5	2.4	1.8	+ 10	72 55 35	—	1 43	—	72 41 24
☉	»	49 8.8	288 13 15	49 0	1 8	1.7	1.6	+ 2	73 19 40	—	1 46	—	73 5 32
☉	C. G.	51 8.8	75 16 20	53 0	4 40	2.0	1.3	+ 12	73 44 2	—	1 48	—	73 29 56
☉	»	53 10.0	75 42 15	18 40	30 28	1.5	1.8	- 5	74 9 33	—	1 52	—	73 55 31
☉	»	55 12.4	75 35 15	11 45	23 30	1.8	1.5	+ 5	74 2 45	—	1 51	—	74 20 14
☉	»	57 11.2	76 0 0	36 20	48 10	2.3	1.0	+ 22	74 27 42	—	1 55	—	74 45 15
☉	»	59 9.2	76 23 50	0 35	—	2.3	1.0	—	—	—	—	—	—
☉	»	I 1 11.6	76 49 0	25 35	—	2.4	0.9	—	—	—	—	—	—
☉	»	3 12.0	77 46 20	22 55	—	1.5	1.8	—	—	—	—	—	—
☉	»	5 8.4	78 9 45	46 30	—	2.5	0.8	—	—	—	—	—	—

$B = 381.9 + 15^{\circ}.9; T = + 6^{\circ}.4; D = 1^h 20^m 58^s.$

N:o 46. Campement 210, Na-marden. 1907 juillet 22.

$B = 391.2 + 16^{\circ}.8; T = + 9^{\circ}.7; D = 1^h 21^m 9^s; I = 1' 20'' 50''.$

☉	C. D.	1 ^h 6 ^m 21 ^s .2	285 14' 5"	49' 45"	1' 55"	1.3	1.9	- 10"	76° 19' 5"	15' 46"	2' 12"	9"	76 36' 54"
☉	»	8 10.8	284 51 55	27 20	39 38	1.9	1.3	+ 10	76 41 2	—	2 16	—	76 58 55
☉	»	10 12.4	283 54 55	30 25	42 40	2.0	1.2	+ 13	77 37 57	—	2 26	—	77 24 28
☉	»	12 8.8	283 31 20	6 40	19 0	1.9	1.3	+ 10	78 1 40	—	2 31	—	77 48 16
☉	C. G.	14 12.4	80 0 15	37 0	48 38	1.8	1.4	+ 7	78 27 55	—	2 37	—	78 14 37
☉	»	16 19.6	80 26 15	3 0	14 38	1.3	2.0	- 12	78 53 36	—	2 42	—	78 40 23
☉	»	18 16.8	80 18 25	55 0	6 43	0.9	2.4	- 25	78 45 28	—	2 40	—	79 3 45
☉	»	20 21.6	80 43 50	20 30	32 10	1.1	2.2	- 19	79 11 1	—	2 46	—	79 29 24
☉	»	22 13.6	81 6 35	43 20	54 58	1.0	2.3	- 22	79 33 46	—	2 52	—	79 52 15
☉	»	24 16.0	81 31 20	8 0	19 40	1.2	2.0	- 13	79 58 37	—	3 0	—	80 17 14
☉	»	27 9.2	82 39 0	15 40	27 20	1.7	1.8	- 2	81 6 28	—	3 21	—	80 53 54
☉	»	50 31.6	87 19 5	56 0	7 33	1.8	1.8	0	85 46 43	—	6 22	—	85 37 10
☉	C. D.	52 20.4	275 24 40	0 0	12 20	1.9	1.6	+ 5	86 8 25	—	6 47	—	85 59 17
☉	»	54 18.4	275 1 20	37 0	49 10	2.5	0.9	+ 27	86 31 13	—	7 20	—	86 22 38
☉	»	56 16.4	275 9 30	46 0	57 45	1.7	1.7	0	86 23 5	—	7 7	—	86 45 49
☉	»	58 13.2	274 47 45	23 15	35 30	1.3	2.2	- 15	86 45 35	—	7 42	—	87 8 54

$B = 391.3 + 11.8; T = + 5.8; D = 1^h 21^m 9^s.$

N:o 47. Campement 212, Serolung, Manasarovar. 1907 juillet 26.

$$B = 399.7 - 22^{\circ}.8; T = + 14.5; D = 1^h 21^m 39^s; I = 1' 20'' 50''.$$

Objet d'observation.	Position de l'instrument.	Chronomètre.	Lecture du cercle.		Moyenne.	Niveau.			Distance zénithale observée.	Demi-diamètre.	Réfraction.	Parallaxe.	Distance zénithale géocentrique.
☉	C. D.	1 ^h 24 ^m 8 ^s .8	281° 24' 10"	0' 25"	12' 18"	1.6	1.4	+ 3"	80 8' 29"	15' 46"	3' 2"	9"	80° 27' 8"
☉	"	26 12.8	280 59 45	35 5	47 25	1.9	1.1	+ 13	80 33 12	—	3 10	—	80 51 59
☉	"	28 17.6	280 2 15	37 55	50 5	2.1	0.9	+ 20	81 30 25	—	3 29	—	81 17 59
☉	"	30 9.6	279 39 30	15 0	27 15	1.6	1.4	+ 3	81 53 32	—	3 39	—	81 41 16
☉	C. G.	32 8.0	83 50 30	27 15	38 53	0.9	2.1	- 20	82 17 43	—	3 50	—	82 5 38
☉	"	34 11.2	84 15 0	51 40	3 20	1.5	1.6	- 2	82 42 28	—	4 0	—	82 30 33
☉	"	36 8.4	84 6 45	43 25	55 5	1.4	1.6	- 3	82 34 12	—	3 57	—	82 53 46
☉	"	38 11.6	84 31 30	8 10	19 50	1.7	1.3	+ 7	82 59 7	—	4 10	—	83 18 54
☉	"	40 9.6	84 55 20	31 45	43 33	1.8	1.2	+ 10	83 22 53	—	4 23	—	83 42 53
☉	"	42 10.0	85 19 40	56 20	8 0	1.7	1.3	+ 7	83 47 17	—	4 37	—	84 7 31
☉	"	44 10.4	86 15 20	52 0	3 40	1.7	1.3	+ 7	84 42 57	—	5 19	—	84 32 21
☉	"	46 8.8	86 38 50	15 15	27 3	2.0	1.0	+ 17	85 6 30	—	5 40	—	84 56 15
☉	C. D.	48 7.6	276 2 40	38 5	50 23	1.8	1.2	+ 10	85 30 17	—	6 5	—	85 20 27
☉	"	51 11.2	275 27 10	3 0	15 5	1.5	1.5	0	86 3 45	—	6 43	—	85 54 33
☉	"	2 4 53.2	273 17 30	54 0	5 45	2.5	0.5	+ 33	88 14 32	—	10 52	—	88 41 1
☉	"	6 32.4	272 59 30	35 0	47 15	1.8	1.2	+ 10	88 33 25	—	11 53	—	89 0 55

$$B = 399.5 + 16^{\circ}.3; T = + 10^{\circ}.0; D = 1^h 21^m 39^s.5.$$

N:o 48. Campement 216, Tugu-gompa. 1907 août 9.

$$B = 399.3 + 17^{\circ}.0; T = + 14^{\circ}.8; D = 1^h 23^m 36^s.5; I = 1' 20'' 50''.$$

☉	C. D.	0 ^h 52 ^m 8 ^s .4	286° 38' 15"	14' 0"	26' 8"	1.6	1.3	+ 5"	74 54' 37"	15' 48"	2' 0"	9"	75° 12' 16"
☉	"	54 12.4	286 12 0	47 50	59 55	2.0	0.9	+ 19	75 20 36	—	2 3	—	75 38 18
☉	"	56 15.2	285 14 20	50 0	2 10	1.3	1.6	- 5	76 18 45	—	2 12	—	76 5 0
☉	"	58 8.8	284 50 5	26 15	38 10	1.1	1.8	- 12	76 42 52	—	2 17	—	76 29 12
☉	C. G.	1 0 9.2	78 41 20	18 10	29 45	1.6	1.3	+ 5	77 9 0	—	2 21	—	76 55 24
☉	"	2 8.8	79 6 50	42 30	54 40	1.0	1.9	- 15	77 33 35	—	2 26	—	77 20 4
☉	"	4 8.8	78 59 55	36 40	48 18	1.7	1.3	+ 7	77 27 35	—	2 24	—	77 45 38
☉	"	6 9.2	79 25 15	1 50	13 33	1.9	1.1	+ 13	77 52 56	—	2 29	—	78 11 4
☉	"	8 9.2	79 50 15	26 45	38 30	2.0	1.0	+ 17	78 17 57	—	2 35	—	78 36 11
☉	"	10 8.8	80 15 15	52 0	3 38	2.0	1.0	+ 17	78 43 5	—	2 39	—	79 1 23
☉	"	12 11.2	81 12 25	49 5	0 45	2.1	0.9	+ 20	79 40 15	—	2 54	—	79 27 12
☉	"	14 9.6	81 37 0	13 55	25 28	2.0	1.0	+ 17	80 4 55	—	3 2	—	79 52 0
☉	C. D.	16 6.8	281 3 30	39 30	51 30	1.7	1.3	+ 7	80 29 13	—	3 8	—	80 16 24
☉	"	18 8.8	280 38 30	14 15	26 23	1.8	1.2	+ 10	80 54 17	—	3 17	—	80 41 37
☉	"	20 17.6	280 43 30	19 50	31 40	1.6	1.3	+ 5	80 49 5	—	3 15	—	81 7 59
☉	"	22 10.4	280 20 50	56 15	8 33	1.3	1.7	- 7	81 12 24	—	3 23	—	81 31 26

$$B = 399.2 + 15^{\circ}.9; T = + 13^{\circ}.7; D = 1^h 23^m 37^s.$$

N:o 49. Campement 226. 1907 août 28.

B = 399.1 + 13.1; T = + 9.9; D = 1^h 26^m 15^s.

Objet d'observation.	Position de l'instrument.	Chronomètre.	Lecture du cercle.		Moyenne.	Niveau.		Distance zénithale observée.	Demi-diamètre.	Refraction.	Parallaxe.	Distance zénithale géocentrique.
☉	C. D.	1 ^h 10 ^m 19 ^s .6	279	33' 5"	9' 0"	—	2.2	0.9	—	—	—	—
☉	"	13 0.0	278	59 45	35 20	—	2.1	1.0	—	—	—	—

N:o 50. Campement 233, Diri-pu. 1907 septembre 6.

B = 377.2 + 12.4; T = + 9.9; D = 1^h 27^m 40^s.5; I = 1' 20" 50".

☉	C. D.	0 ^h 18 ^m 25 ^s .2	288	26' 30"	3' 0"	14' 45"	1.8	1.5	+ 5"	73° 6' 0"	15' 54"	1' 42"	8"	73 23' 28"
☉	"	20 42.0	287	57 30	33 30	45 30	1.7	1.6	+ 2	73 35 18	—	1 46	—	73 52 50
☉	"	22 24.8	287	2 5	39 0	50 33	1.8	1.5	+ 5	74 30 12	—	1 52	—	74 16 2
☉	"	24 14.0	286	39 20	15 20	27 20	1.4	1.8	- 7	74 53 37	—	1 55	—	74 39 30
☉	C. G.	27 10.4	77	3 0	40 10	51 35	2.2	1.2	+ 17	75 31 2	—	2 0	—	75 17 0
☉	"	29 12.0	77	29 40	6 10	17 55	2.5	0.8	+ 29	75 57 34	—	2 4	—	75 43 56
☉	"	31 17.2	77	23 30	1 0	12 15	2.0	1.2	+ 13	75 51 38	—	2 3	—	76 9 27
☉	"	33 18.0	77	49 0	26 30	37 45	1.9	1.4	+ 8	76 17 3	—	2 7	—	76 34 56
☉	"	35 20.8	78	15 35	53 0	4 18	1.7	1.7	0	76 43 28	—	2 11	9"	77 1 24
☉	"	37 19.2	78	41 0	18 0	29 30	1.9	1.5	+ 7	77 8 47	—	2 16	—	77 26 48
☉	"	39 15.2	79	38 0	15 0	26 30	2.0	1.3	+ 12	78 5 52	—	2 26	—	77 52 15
☉	"	41 11.6	80	3 5	40 0	51 33	2.4	1.0	+ 24	78 31 7	—	2 32	—	78 17 36
☉	C. D.	43 30.8	282	33 5	8 45	20 55	1.9	1.4	+ 8	78 59 47	—	2 39	—	78 46 23
☉	"	45 12.0	282	11 0	47 15	59 8	1.7	1.7	0	79 21 42	—	2 44	—	79 8 23
☉	"	47 15.6	282	17 0	52 35	4 48	2.2	1.1	+ 19	79 15 43	—	2 42	—	79 34 10
☉	"	49 18.4	281	51 0	27 10	59 5	2.6	0.8	+ 30	79 41 15	—	2 49	—	79 59 49

B = 377.4 + 12.2; T = + 7.8; D = 1^h 27^m 40^s.

N:o 51. Campement 234 (un peu nord de Tseti-la). 1907 septembre 7.

B = 361.2 + 13.4; T = + 8.7; D = 1^h 27^m 48^s.5; I = 1' 20" 50".

☉	C. D.	23 ^h 8 ^m 10 ^s .6	303	0' 50"	37' 0"	48' 55"	2.0	1.2	+ 13"	58° 31' 42"	15' 54"	0' 49"	8"	58 48' 17'
☉	"	10 11.6	302	36 0	11 45	23 53	2.2	1.0	+ 20	58 56 37	—	0 50	—	59 13 13
☉	"	12 17.2	301	36 50	12 55	24 53	2.1	1.1	+ 17	59 55 40	—	0 52	—	59 40 30
☉	"	14 12.8	301	12 45	49 0	0 53	2.2	1.0	+ 20	60 19 37	—	0 53	—	60 4 28
☉	C. G.	17 17.6	62	28 55	6 5	17 30	1.9	1.3	+ 10	60 56 50	—	0 54	—	60 41 42
☉	"	19 14.0	62	55 20	32 5	43 43	1.9	1.4	+ 8	61 23 1	—	0 55	—	61 7 54
☉	"	21 10.0	62	47 45	24 5	35 55	1.7	1.7	0	61 15 5	—	0 55	—	61 31 46
☉	"	23 22.4	63	15 15	51 20	3 18	1.8	1.5	+ 5	61 42 33	—	0 56	—	61 59 15
☉	"	25 14.8	63	39 5	15 50	27 28	1.6	1.8	- 3	62 6 35	—	0 57	—	62 23 18
☉	"	27 11.6	64	3 30	40 30	52 0	1.6	1.8	- 3	62 31 7	—	0 58	—	62 47 51
☉	"	29 14.8	65	1 55	38 30	50 13	1.6	1.8	- 3	63 29 20	—	1 0	—	63 14 18
☉	"	31 8.0	65	25 15	2 30	13 53	1.4	2.0	- 10	63 52 53	—	1 1	—	63 37 52
☉	C. D.	33 10.4	297	14 30	50 30	2 30	1.7	1.7	0	64 18 20	—	1 2	—	64 3 20
☉	"	35 13.6	296	48 50	24 30	36 40	1.4	1.9	- 8	64 44 18	—	1 4	—	64 29 20
☉	"	37 15.6	296	55 15	31 0	43 8	1.1	2.2	- 19	64 38 1	—	1 3	—	64 54 50
☉	"	39 17.6	296	29 30	5 0	17 15	1.6	1.8	- 3	65 3 38	—	1 5	—	65 20 29

B = 361.2 + 13.4; T = + 6.6; D = 1^h 27^m 48^s.

N:o 52. Campement 235, l'Inde. 1907 septembre 9.

$$B = 376.6 + 14.0; T = + 10.7; D = 1^{\circ} 27^m 38^s.0; I = 1^{\circ} 20' 50''.$$

Objet d'observation.	Position de l'instrument.	Chronomètre.	Lecture du cercle.			Moyenne.	Niveau.			Distance zénithale observée.	Demi-diamètre.	Réfraction.	Parallaxe.	Distance zénithale géocentrique.
☉	C. D.	0 ^h 34 ^m 11 ^s .2	284° 30' 0"	6' 0"	18' 0'	1.3	1.8	- 8"	77° 2' 58"	15' 54"	2' 13"	9"	77° 20' 56"	
☉		36 14.0	284 4 10	40 10	52 10	2.0	1.1	+ 15	77 28 25	—	2 17	—	77 46 27	
☉		38 14.0	283 6 0	42 15	54 8	1.7	1.5	+ 3	78 26 39	—	2 30	—	78 13 6	
☉		40 10.4	282 41 0	17 15	29 8	1.2	2.0	- 13	78 51 55	—	2 35	—	78 38 27	
☉	C. G.	42 7.6	80 47 20	25 20	36 20	2.1	1.1	+ 17	79 15 47	—	2 41	—	79 2 25	
☉		44 9.6	81 15 0	51 30	3 15	1.6	1.7	- 2	79 42 23	—	2 47	—	79 29 7	
☉		46 10.8	81 7 0	44 30	55 45	1.4	1.9	- 8	79 34 47	—	2 46	—	79 53 18	
☉		48 14.4	81 33 30	10 40	22 5	1.1	2.2	- 19	80 0 56	—	2 53	—	80 19 34	
☉		50 13.6	81 59 15	35 45	47 30	1.8	1.4	+ 7	80 26 47	—	3 0	—	80 45 32	
☉		52 14.0	82 24 15	1 30	12 53	2.4	0.8	+ 27	80 52 30	—	3 8	—	81 11 23	
☉		54 12.0	83 21 50	59 10	10 30	1.6	1.8	- 3	81 49 37	—	3 28	—	81 37 2	
☉		56 27.6	83 50 50	27 50	39 20	1.1	2.2	- 19	82 18 11	—	3 41	—	82 5 49	
☉	C. D.	58 8.0	278 52 35	28 45	40 40	1.4	1.8	- 7	82 40 17	—	3 51	—	82 28 5	
☉		1 0 10.0	278 26 40	3 0	14 50	2.3	1.0	+ 22	83 5 38	—	4 4	—	82 53 39	
☉		2 10.8	278 34 15	10 0	22 8	3.3	0.0	+ 55	82 57 47	—	4 0	—	83 17 32	
☉		4 13.6	278 8 5	44 0	56 3	2.8	0.5	+ 38	83 24 9	—	4 15	—	83 44 9	

$$B = 376.7 + 12.8; T = + 6.4; D = 1^{\circ} 27^m 58^s.$$

N:o 53. Campement 236, la source de l'Inde. 1907 septembre 9.

$$B = 373.0 + 14.4; T = + 10.8; D = 1^{\circ} 28^m 6^s.5; I = 1^{\circ} 20' 50''.$$

☉	C. D.	0 ^h 27 ^m 7 ^s .6	285° 40' 20"	16' 15"	28' 18"	1.4	1.7	- 5"	75° 52' 37"	15' 55"	2' 1"	9"	76° 10' 24"
☉		29 12.4	285 13 30	49 35	1 33	2.1	1.1	+ 17	76 19 0	—	2 5	—	76 36 51
☉		31 13.2	284 15 55	51 35	3 45	2.3	0.9	+ 24	77 16 41	—	2 15	—	77 2 52
☉		33 9.2	283 51 0	26 30	38 45	2.7	0.6	+ 35	77 41 30	—	2 19	—	77 27 45
☉	C. G.	35 11.6	79 40 30	17 0	28 45	1.5	1.8	- 5	78 7 50	—	2 24	—	77 54 10
☉		37 12.0	80 6 15	42 50	54 33	0.7	2.6	- 32	78 33 11	—	2 29	—	78 19 36
☉		39 8.8	79 59 0	35 50	47 25	1.2	2.1	- 15	78 26 20	—	2 28	—	78 44 34
☉		41 8.8	80 24 30	1 10	12 50	0.9	2.4	- 25	78 51 35	—	2 34	—	79 9 55
☉		43 10.0	80 49 50	26 45	38 18	0.4	2.9	- 41	79 16 47	—	2 40	—	79 35 13
☉		45 18.0	81 17 15	54 5	5 40	1.0	2.3	- 22	79 44 28	—	2 46	—	80 3 0
☉		47 10.4	82 12 35	49 20	0 58	1.2	2.0	- 13	80 39 55	—	3 3	—	80 26 54
☉		49 9.6	82 38 0	15 0	26 30	1.5	1.8	- 5	81 5 35	—	3 11	—	80 52 42
☉	C. D.	51 10.0	280 1 40	37 20	49 30	1.1	2.1	- 17	81 31 37	—	3 20	—	81 18 53
☉		53 10.8	279 36 10	11 50	24 0	2.5	0.8	+ 29	81 56 21	—	3 29	—	81 43 46
☉		55 10.8	279 42 30	18 30	30 30	2.7	0.7	+ 33	81 49 47	—	3 27	—	82 9 0
☉		57 12.4	279 16 50	52 45	4 48	3.8	-0.5	+ 71	82 14 51	—	3 37	—	82 34 14

$$B = 373.0 + 12.0; T = + 7.0; D = 1^{\circ} 28^m 6^s.5.$$

N:o 54. Campement 239. 1907 septembre 13.

$$B = 388.7 + 13^{\circ}.7; T = + 12^{\circ}.3; D = 1^h 28^m 34^s.5; I = 1^{\circ} 20' 50''.$$

Objet d'observation	Position de l'instrument	Chronomètre.	Lecture du cercle.			Moyenne.	Niveau.			Distance zénithale observée.	Demi-diamètre.	Réfraction.	Parallaxe.	Distance zénithale géocentrique.
☉	C. D.	0 ^h 50 ^m 27 ^s .6	279° 35' 0"	11' 10"	23' 5"	1.6	1.7	- 2"	81° 57' 47"	15' 55"	3' 35"	9"	82 17' 8"	
☉	»	52 37.2	279 6 50	43 30	55 10	1.3	1.9	- 10	82 25 50	—	3 48	—	82 45 24	
☉	»	56 19.6	277 47 30	23 35	35 33	2.2	1.0	+ 20	83 44 57	—	4 30	—	83 33 23	
☉	»	58 21.6	277 22 0	58 45	10 23	1.1	2.2	- 19	84 10 46	—	4 48	—	83 59 30	
☉	C. G.	1 0 20.4	86 8 30	45 0	56 45	1.5	1.6	- 2	84 35 53	—	5 6	—	84 24 55	
☉	»	2 12.8	86 31 40	8 10	19 55	0.6	2.6	- 33	84 58 32	—	5 25	—	84 47 53	
☉	»	4 13.2	86 25 50	2 15	14 3	0.6	2.7	- 35	84 52 38	—	5 21	—	85 13 45	
☉	»	6 22.8	86 52 0	28 45	40 23	1.1	2.2	- 19	85 19 14	—	5 46	—	85 40 46	
☉	»	8 17.2	87 15 50	52 40	4 15	1.0	2.2	- 20	85 43 5	—	6 11	—	86 5 2	
☉	»	10 10.4	87 39 15	16 30	27 53	1.5	1.8	- 5	86 6 58	—	6 39	—	86 29 23	
☉	»	12 10.8	88 35 50	12 0	23 55	1.8	1.4	+ 7	87 3 12	—	8 1	—	86 55 9	
☉	»	14 6.8	89 0 0	36 30	48 15	2.1	1.1	+ 17	87 27 42	—	8 48	—	87 20 26	
☉	C. D.	16 6.8	273 40 35	16 45	28 40	1.5	1.8	- 5	87 52 15	—	9 42	—	87 45 53	
☉	»	18 9.2	273 16 0	52 0	4 0	1.9	1.3	+ 10	88 16 40	—	10 47	—	88 11 23	
☉	»	20 12.8	273 22 15	58 0	10 8	1.9	1.3	+ 10	88 10 32	—	10 31	—	88 36 49	
☉	»	22 10.0	272 59 0	34 35	46 48	1.4	1.8	- 7	88 34 9	—	11 42	—	89 1 37	

$$B = 388.2 + 11^{\circ}.6; T = + 8^{\circ}.4; D = 1^h 28^m 35^s. — Incertaine à cause de grand vent.$$

N:o 55. Campement 241. Gyekung. 1907 septembre 14.

$$B = 390.0 + 14^{\circ}.6; T = + 9^{\circ}.5; D = 1^h 28^m 50^s.5; I = 1^{\circ} 20' 50''.$$

☉	C. D.	0 ^h 17 ^m 11 ^s .6	285° 56' 20"	32' 5"	44' 13"	1.5	1.7	- 3"	75° 36' 40"	15' 56"	2' 5"	9"	75° 54' 32"
☉	»	19 12.4	285 30 50	7 0	18 55	1.8	1.5	+ 5	76 1 50	—	2 9	—	76 19 46
☉	»	21 13.2	284 32 50	8 50	20 50	1.9	1.4	+ 8	76 59 52	—	2 19	—	76 46 6
☉	»	23 8.8	284 8 30	44 15	56 23	1.3	1.9	- 10	77 24 37	—	2 23	—	77 10 55
☉	C. G.	25 20.4	79 25 20	1 40	13 30	1.3	2.0	- 12	77 52 28	—	2 28	—	77 38 51
☉	»	27 14.0	79 48 50	25 50	37 20	0.8	2.4	- 27	78 16 3	—	2 33	—	78 2 31
☉	»	29 11.6	79 42 10	18 35	30 23	1.0	2.4	- 24	78 9 9	—	2 31	—	78 27 27
☉	»	31 11.6	80 7 30	43 40	55 35	1.4	1.9	- 8	78 34 37	—	2 38	—	78 53 2
☉	»	33 12.4	80 31 30	8 35	20 3	1.6	1.7	- 2	78 59 11	—	2 43	—	79 17 41
☉	»	35 10.4	80 57 0	33 15	45 8	2.1	1.2	+ 15	79 24 33	—	2 49	—	79 43 9
☉	»	37 19.2	81 56 15	32 35	44 25	1.7	1.7	0	80 23 35	—	3 7	—	80 10 37
☉	»	39 18.0	82 22 0	58 30	10 15	1.1	2.3	- 20	80 49 5	—	3 15	—	80 36 15
☉	C. D.	41 10.0	280 20 5	56 0	8 3	-0.5	3.8	- 71	81 13 58	—	3 23	—	81 1 16
☉	»	43 10.0	279 55 10	30 40	42 55	1.3	2.1	- 13	81 38 8	—	3 32	—	81 25 35
☉	»	45 12.0	280 1 20	37 30	49 25	2.0	1.4	+ 10	81 31 15	—	3 30	—	81 50 32
☉	»	47 12.4	279 36 20	12 15	24 18	2.3	1.0	+ 22	81 56 10	—	3 40	—	82 15 37

$$B = 389.8 + 12^{\circ}.1; T = + 7^{\circ}.1; D = 1^h 28^m 50^s.5.$$

N:o 56. Campement 242, Govu. 1907 septembre 16.

$$B = 397.2 + 15.7; \quad T = + 8^{\circ}.7; \quad D = 1^{\text{h}} 29^{\text{m}} 5^{\text{s}}; \quad I = 1' 20'' 50''.$$

Objet d'observation.	Position de l'instrument.	Chronomètre.	Lecture du cercle.		Moyenne.		Niveau.		Distance zénithale observée.	Demi-diamètre.	Réfraction.	Parallaxe.	Distance zénithale géocentrique.	
C. D.		0 ^h 12 ^m 11 ^s .2	286	36' 0"	12' 10"	24' 5"	1.7	1.3	+ 7"	74 56' 38"	15' 56"	2' 2"	9"	75 14' 27"
		14 13.2	286	10 30	46 40	58 35	1.0	2.0	- 17	75 22 32	—	2 6	—	75 40 25
		16 17.2	285	12 5	48 0	0 3	2.3	0.7	+ 27	76 20 20	—	2 15	—	76 6 30
		18 11.2	284	48 30	24 30	36 30	1.1	1.9	- 13	76 44 33	—	2 19	—	76 30 47
		20 10.0	78	43 0	19 30	31 15	1.7	1.3	+ 7	77 10 32	—	2 23	—	76 56 50
		22 16.4	79	9 30	46 20	57 55	1.3	1.8	- 8	77 36 57	—	2 28	—	77 23 20
		24 9.6	79	1 25	37 40	49 33	2.4	0.7	+ 29	77 29 12	—	2 39	—	77 47 38
		26 10.8	79	26 30	3 5	14 48	2.4	0.7	+ 29	77 54 27	—	2 32	—	78 12 46
		28 14.0	79	52 30	29 40	41 5	2.0	1.2	+ 13	78 20 28	—	2 37	—	78 38 52
		30 17.2	80	18 30	55 30	7 0	1.4	1.8	- 7	78 46 3	—	2 43	—	79 4 33
C. G.		32 17.2	81	16 10	52 30	4 20	1.5	1.7	- 3	79 43 27	—	2 59	—	79 30 21
		34 11.6	81	40 20	16 35	28 28	2.0	1.2	+ 13	80 7 51	—	3 5	—	79 54 51
		36 11.2	281	0 30	36 20	48 25	2.1	1.1	+ 17	80 32 8	—	3 12	—	80 19 15
		38 11.6	280	35 0	11 0	23 0	2.7	0.6	+ 35	80 57 15	—	3 20	—	80 44 30
		40 9.2	280	42 30	18 10	30 20	3.2	0.0	+ 53	80 49 37	—	3 18	—	81 8 42
		42 14.8	280	16 50	52 30	4 40	2.2	1.0	+ 20	81 15 50	—	3 28	—	81 35 5

$$B = 397.0 + 13.4; \quad T = + 8.1; \quad D = 1^{\text{h}} 29^{\text{m}} 5^{\text{s}}.$$

N:o 57. Campement 243, Luma-ringmo. 1907 septembre 17.

$$B = 399.0 + 13.7; \quad T = + 12^{\circ}.2; \quad D = 1^{\text{h}} 29^{\text{m}} 11^{\text{s}}; \quad I = 1' 20'' 50''.$$

C. D.		0 ^h 12 ^m 10 ^s .4	286	28' 5"	3' 30"	15' 48"	1.8	1.1	+ 12"	75 4' 50"	15' 57"	2' 2"	9"	75 22' 40"
		14 18.0	286	1 50	37 30	49 40	1.9	1.0	+ 15	75 30 55	—	2 7	—	75 48 50
		16 16.0	285	4 30	40 10	52 20	2.1	0.8	+ 22	76 28 8	—	2 15	—	76 14 17
		18 10.8	284	40 35	16 15	28 25	2.4	0.4	+ 33	76 51 52	—	2 19	—	76 38 5
		20 23.2	78	54 0	30 30	42 15	1.2	1.9	- 12	77 21 13	—	2 25	—	77 7 32
		22 9.6	79	16 20	53 10	4 45	1.1	2.0	- 15	77 43 40	—	2 29	—	77 30 3
		24 8.8	79	9 20	46 0	57 40	0.6	2.5	- 32	77 36 18	—	2 28	—	77 54 34
		26 11.2	79	34 45	11 0	22 53	1.3	1.8	- 8	78 1 55	—	2 34	—	78 20 17
		28 10.0	79	59 45	36 10	47 58	2.0	1.1	+ 15	78 27 23	—	2 38	—	78 45 49
		30 15.6	80	25 50	2 25	14 8	2.2	0.9	+ 22	78 53 40	—	2 45	—	79 12 13
C. G.		32 12.4	81	22 30	59 10	10 50	1.8	1.3	+ 8	79 50 8	—	3 0	—	79 37 2
		34 8.8	81	46 50	23 50	35 20	1.8	1.3	+ 8	80 14 38	—	3 8	—	80 1 40
		36 10.0	280	53 35	29 0	41 18	1.5	1.6	- 2	80 39 34	—	3 16	—	80 26 44
		38 11.6	280	28 10	3 45	15 58	2.2	0.9	+ 22	81 4 30	—	3 24	—	80 51 48
		40 10.4	280	35 30	11 0	23 15	1.9	1.2	+ 12	80 57 23	—	3 22	—	81 16 33
		42 15.6	280	9 25	45 15	57 20	1.2	1.9	- 12	81 23 42	—	3 31	—	81 43 1

$$B = 399.0 + 13.7; \quad T = + 8.1; \quad D = 1^{\text{h}} 29^{\text{m}} 11^{\text{s}}.$$

N:o 58. Campement 246, Hlagar. 1907 septembre 20.

B = 401.1 + 16'.2; T = + 10'.4; D = 1^h 29^m 38^s.5; I = 1° 20' 50".

Objet d'observation.	Position de l'instrument.	Chronomètre.	Lecture du cercle.		Moyenne.	Niveau.		Distance zénithale observée.	Demi-diamètre.	Réfraction.	Parallaxe.	Distance zénithale géocentrique.	
☉	C. D.	0 ^h 4 ^m 11 ^s .6	287 54' 50"	30' 55"	42' 53"	1.8	1.3	+ 8"	73 37' 40"	15' 58"	1' 52"	8"	73 55' 31"
☉		6 12.4	287 29 55	5 40	17 48	1.3	1.7	- 7	74 3 9	—	1 55		74 20 54
☉	»	8 13.2	286 32 15	8 10	20 13	1.0	2.1	- 19	75 0 56	—	2 2		74 46 52
☉	»	10 9.6	286 7 20	43 25	55 23	1.2	1.9	- 12	75 25 39	—	2 6		75 11 39
☉	C. G.	12 10.0	77 22 50	59 20	11 5	1.3	1.8	- 8	75 50 7	—	2 9		75 36 10
☉		14 11.6	77 47 50	24 30	36 10	1.8	1.3	+ 8	76 15 28	—	2 14		76 1 36
☉		16 12.0	77 40 55	17 50	29 23	2.1	1.1	+ 17	76 8 50	—	2 12		76 26 52
☉	»	18 18.0	78 7 0	43 30	55 15	2.2	1.0	+ 20	76 34 45	—	2 17		76 52 52
☉	»	20 12.8	78 31 10	7 50	19 30	1.9	1.3	+ 10	76 58 50	—	2 21	9	77 17 0
☉	»	22 10.8	78 56 20	33 25	44 53	1.2	1.9	- 12	77 23 51	—	2 26		77 42 6
☉	»	24 12.0	79 54 0	30 40	42 20	0.3	2.9	- 43	78 20 47	—	2 37		78 7 17
☉	»	26 16.4	80 20 10	57 0	8 35	1.0	2.2	- 20	78 47 25	—	2 43		78 34 1
☉	C. D.	28 8.8	282 21 45	57 30	9 38	2.0	1.2	+ 13	79 10 59	—	2 49		78 57 41
☉		30 11.2	281 56 0	31 30	43 45	2.1	1.1	+ 17	79 36 48	—	2 56		79 23 37
☉		32 11.2	282 3 0	38 50	50 55	2.5	0.6	+ 52	79 29 23	—	2 54		79 48 6
☉	»	34 12.0	281 37 50	14 0	25 55	1.8	1.4	+ 7	79 54 48	—	3 1		80 13 38

B = 401.0 + 13.8; T = + 5'.7; D = 1^h 29^m 38^s.5.

N:o 59. Campement 247, Dotsa. 1907 septembre 21.

B = 389.8 + 12'.5; T = + 10'.2; D = 1^h 29^m 45^s.5; I = 1° 20' 50".

☉	C. D.	0 ^h 22 ^m 8 ^s .0	284 3' 0"	39' 0"	51' 0"	1.8	1.4	+ 7"	77 29' 43"	15' 58"	2' 23"	9	77 47' 55
☉	»	24 12.4	283 36 15	13 5	24 40	1.9	1.3	+ 10	77 56 0	—	2 28	—	78 14 17
☉	»	26 20.4	282 38 30	14 15	26 23	0.8	2.4	- 27	78 54 54	—	2 40	—	78 41 27
☉	»	28 9.6	282 15 30	51 30	3 30	1.5	1.8	- 5	79 17 25	—	2 45		79 4 3
☉	C. G.	30 6.0	81 15 15	52 0	3 38	1.0	2.3	- 22	79 42 26	—	2 51	—	79 29 10
☉		32 9.2	81 40 50	17 50	29 20	1.1	2.2	- 19	80 8 11	—	2 59	—	79 55 3
☉		34 8.0	81 34 20	11 0	22 40	0.2	3.1	- 48	80 1 2	—	2 57	—	80 19 48
☉	»	36 8.4	81 59 40	36 0	47 50	0.3	3.0	- 45	80 26 15	—	3 5	—	80 45 9
☉		38 11.6	82 24 50	1 15	13 3	2.1	1.2	+ 15	80 52 28	—	3 13		81 11 30
☉	»	40 9.6	82 49 35	26 15	37 55	2.0	1.3	+ 12	81 17 17	—	3 22	—	81 36 28
☉		42 13.2	83 47 30	24 0	35 45	1.7	1.7	0	82 14 55	—	3 45	—	82 2 35
☉		44 10.0	84 11 55	48 40	0 18	1.8	1.6	+ 3	82 39 31	—	3 57	—	82 27 21
☉	C. D.	46 7.2	278 29 5	4 55	17 0	1.8	1.6	+ 3	83 3 47	—	4 10	—	82 51 50
☉	»	48 12.8	278 2 30	38 30	50 30	2.2	1.1	+ 19	83 30 1	—	4 24	—	83 18 18
☉	»	50 10.8	278 10 0	45 30	57 45	3.1	0.3	+ 46	83 22 19	—	4 20	—	83 42 28
☉		52 11.2	277 44 45	20 40	32 43	3.0	0.3	+ 45	83 47 22	—	4 35		84 7 46

B = 389.9 + 12.1; T = + 7'.1; D = 1^h 29^m 46^s.

N^o 60. Campement 251, Gartok. 1907 septembre 29.

$$B = 410.5 + 14.0; T = + 11.4; D = 1^h 30^m 42.5; I = 1^{\circ} 20' 50''.$$

Object d'observation.	Po. Lon de l'instrument.	Chronometre.	Lecture du cercle.			Moyenne.		Niveau.		Distance zénithale observée.	Demi-diamètre.	Réfraction.	Parallaxe.	Distance zénithale géocentrique.
☉	C. D.	23 ^h 52 ^m 18.8	288	50' 45"	26' 30"	38' 38"	2.4	0.8	+ 27"	72 41' 45"	16' 0"	1' 47"	8"	72° 59' 24"
☉		54 13.2	288	27 15	3 0	15 8	1.6	1.7	- 2	73 5 44	—	1 50	»	73 23 26
☉		56 15.2	287	29 30	5 30	17 30	1.8	1.7	+ 2	74 3 18	—	1 57	»	73 49 7
☉		58 11.6	287	5 0	40 30	52 45	2.8	0.6	+ 36	74 27 29	—	2 1	»	74 13 22
☉	C. G. 0	0 8.4	76	24 30	1 0	12 45	1.3	1.9	- 10	74 51 45	—	2 4	»	74 37 41
☉		2 10.0	76	49 50	26 30	38 10	1.7	1.6	+ 2	75 17 22	—	2 8	»	75 3 22
☉		4 11.2	76	42 45	19 30	31 8	1.5	1.8	- 5	75 10 13	—	2 7	»	75 28 12
☉		6 12.8	77	7 20	41 30	55 55	0.9	2.4	25	75 34 40	—	2 10	»	75 52 42
☉		8 12.1	77	32 10	8 30	20 20	1.4	1.9	- 8	75 59 22	—	2 14	9	76 17 27
☉		10 9.2	77	56 15	33 20	45 3	1.6	1.8	- 3	76 24 10	—	2 18	»	76 42 19
☉		12 13.2	78	54 30	31 30	43 0	1.8	1.6	+ 3	77 22 13	—	2 29	»	77 8 33
☉		14 7.6	79	18 45	55 15	7 0	1.2	2.1	- 15	77 45 55	—	2 34	»	77 32 20
☉	C. D.	16 10.0	283	22 0	57 30	9 45	1.6	1.8	- 3	78 11 8	—	2 39	»	77 57 38
☉		18 10.0	282	57 0	32 30	44 45	1.3	1.9	- 10	78 36 15	—	2 45	»	78 22 51
☉		20 10.8	283	4 0	40 0	52 0	1.9	1.3	+ 10	78 28 40	—	2 44	»	78 47 15
☉		22 12.0	282	39 0	14 45	26 53	2.3	1.0	+ 22	78 53 35	—	2 50	»	79 12 16

$$B = 410.8 + 12.1; T = + 8.3; D = 1^h 30^m 43.$$

N^o 61. Campement 253, Luma-ngoma. 1907 octobre 20.

$$B = 413.2 + 11.0; T = + 7.3; D = 1^h 33^m 10; I = 1^{\circ} 22' 0''.$$

☉	C. D.	22 ^h 54 ^m 10.4	294	48' 50"	24' 30"	36' 40"	1.1	2.2	- 19"	66 45' 39"	16' 6"	1' 21"	8"	67 2' 58"
☉		56 12.0	294	26 5	2 15	14 10	1.2	2.1	- 15	67 8 5	—	1 22	—	67 25 25
☉		58 14.1	293	31 50	7 30	19 40	1.7	1.8	- 2	68 2 22	—	1 26	—	67 47 34
☉		23 0 9.6	293	10 30	46 25	58 28	0.5	2.9	- 40	68 24 12	—	1 27	—	68 9 25
☉	C. G.	2 10.1	70	19 30	56 15	7 53	1.9	1.6	+ 5	68 45 58	—	1 29	—	68 31 13
☉		4 10.0	70	41 45	18 10	29 58	3.0	0.4	+ 43	69 8 41	—	1 31	—	68 53 58
☉		6 12.0	70	32 10	8 45	20 28	2.1	1.3	+ 13	68 58 41	—	1 30	—	69 16 9
☉		8 10.4	70	54 55	31 40	43 18	1.7	1.8	2	69 21 16	—	1 32	—	69 38 46
☉		10 14.8	71	17 50	54 35	6 13	1.3	2.1	13	69 44 0	—	1 34	—	70 1 32
☉		12 13.6	71	40 30	17 0	28 45	1.1	2.2	- 19	70 6 26	—	1 36	—	70 24 0
☉		14 21.6	72	36 20	13 0	24 40	3.3	0.6	+ 55	71 3 35	—	1 41	—	70 49 2
☉		16 21.4	72	59 30	36 0	47 45	3.8	- 0.5	+ 71	71 26 56	—	1 44	—	71 12 26
☉	C. D.	18 10.0	289	46 0	22 5	34 3	0.4	3.1	- 45	71 48 42	—	1 46	—	71 34 14
☉		20 9.2	289	22 30	58 30	10 30	2.0	1.1	+ 10	72 11 20	—	1 48	—	71 56 54
☉		22 11.2	289	32 0	8 0	20 0	1.7	1.8	- 2	72 2 2	—	1 47	—	72 19 47
☉		24 12.8	289	8 50	44 0	56 25	2.1	1.3	+ 13	72 25 22	—	1 50	—	72 43 10

$$B = 413.2 + 11.0; T = + 4.2; D = 1^h 33^m 10.$$

N:o 62. Campement 254, Gar-gunsa. 1907 octobre 24.

B = 420.1 + 7.8; T = + 4.3; D = 1^h 33^m 40^s; I = 1° 22' 0".

Objet d'observation.	Position de l'instrument.	Chronomètre.	Lecture du cercle.		Moyenne.		Niveau.		Distance zénithale observée.	Demi-diamètre.	Réfraction.	Parallaxe.	Distance zénithale géocentrique.
☉	C. D.	23 ^h 28 ^m 9 ^s .2	287° 29' 45"	5' 20"	17' 33"	1.3	2.1	- 13"	74 4' 40"	16' 7"	2' 3"	8"	74 22' 42"
☉	"	30 11.2	287 5 40	42 0	53 50	1.8	1.8	0	74 28 10	—	2 6	"	74 46 15
☉	"	32 12.4	286 10 30	46 0	58 15	1.3	2.2	- 15	75 24 0	—	2 14	0	75 9 58
☉	"	34 9.2	285 47 30	23 0	35 15	2.0	1.5	+ 8	75 46 37	—	2 18	"	75 32 39
☉	C. G.	36 7.6	77 40 20	17 30	28 55	1.5	2.0	- 8	76 6 47	—	2 21	"	75 52 52
☉	"	38 10.0	78 3 30	40 45	52 8	2.4	1.1	+ 22	76 30 30	—	2 26	"	76 16 40
☉	"	40 11.6	77 55 5	32 0	43 33	2.1	1.4	+ 12	76 21 45	—	2 24	"	76 40 7
☉	"	42 11.2	78 18 0	54 30	6 15	2.2	1.3	+ 15	76 44 30	—	2 28	"	77 2 56
☉	"	44 11.6	78 41 40	18 20	30 0	1.5	2.1	- 10	77 7 50	—	2 32	"	77 26 20
☉	"	46 21.2	79 6 40	43 30	55 5	1.3	2.3	- 17	77 32 48	—	2 38	"	77 51 24
☉	"	48 10.8	80 0 50	37 0	48 55	1.7	1.0	- 3	78 26 52	—	2 49	"	78 13 25
☉	"	50 10.4	80 24 40	1 20	13 0	0.8	2.8	33	78 50 27	—	2 55	"	78 37 6
☉	C. D.	52 7.6	282 18 15	54 0	6 8	1.8	1.8	0	79 15 52	—	3 2	"	79 2 38
☉	"	54 10.8	281 54 30	30 20	42 25	2.3	1.2	+ 19	79 39 10	—	3 9	"	79 26 9
☉	"	56 12.0	282 3 0	39 15	51 8	2.4	1.1	+ 22	79 30 30	—	3 7	"	79 49 35
☉	"	58 11.6	281 39 45	15 30	27 38	1.8	1.6	+ 3	79 54 19	—	3 14	"	80 13 31

B = 420.1 + 7.8; T = + 4.3; D = 1^h 33^m 40^s.

N:o 63. Campement 257, la jonction de l'Inde. 1907 novembre 11.

B = 424.8 - 4.0; T = - 12.7; D = + 1^h 35^m 22^s; I = 1° 22' 0".

☉	C. D.	14 ^h 53 ^m 14 ^s .4	281 13' 5"	49' 0"	1' 3"	1.8	2.2	- 7"	80 21' 4"	16' 11"	3' 36	9"	80 40' 42"
☉	"	55 10.0	281 34 25	10 0	22 13	2.1	1.9	+ 3	79 59 44	—	3 29	—	80 19 15
☉	"	57 12.8	281 24 25	0 10	12 18	2.8	1.2	+ 27	80 9 15	—	3 34	"	79 56 29
☉	"	59 14.4	281 46 30	22 30	34 30	3.2	0.8	+ 40	79 46 50	—	3 25	—	79 33 55
☉	C. G.	15 1 16.8	80 58 40	35 0	46 50	1.0	3.0	- 33	79 24 17	—	3 19	—	79 11 10
☉	"	3 15.2	80 36 45	13 55	25 20	1.4	2.7	22	79 2 58	—	3 11	—	78 40 49
☉	"	5 15.2	79 41 50	15 0	28 25	0.4	3.7	- 55	78 5 30	—	2 56	—	78 24 28
☉	"	7 13.6	79 20 20	57 0	8 40	1.3	2.8	- 25	77 46 15	—	2 51	—	78 5 8
☉	"	9 13.6	78 57 10	34 0	45 35	1.7	2.5	- 13	77 23 22	—	2 47	—	77 42 11
☉	"	11 11.2	78 36 10	12 40	24 25	1.8	2.3	8	77 2 17	—	2 42	—	77 21 1
☉	"	13 12.8	78 47 0	24 0	35 30	2.6	1.0	+ 17	77 13 47	—	2 44	—	77 0 11
☉	"	15 16.8	78 24 30	1 25	12 58	3.1	1.1	+ 33	76 51 31	—	2 39	—	76 37 50
☉	C. D.	17 10.4	285 2 55	38 55	50 55	1.3	2.8	- 25	76 31 30	—	2 36	—	76 17 46
☉	"	19 13.6	285 24 30	0 30	12 30	1.9	2.2	- 5	76 9 35	—	2 31	—	75 55 46
☉	"	21 14.4	286 19 0	54 45	6 53	6.1(?)	- 2.0	+ 135	75 12 52	—	2 22	—	75 31 16
☉	"	23 13.6	286 40 20	16 35	28 28	2.1	2.0	+ 2	74 53 30	—	2 18	—	75 11 50

B = 425.4 - 3.0; T = - 10.5; D = + 1^h 35^m 22^s.

N:o 64. Campement 260, Demchok. 1907 novembre 15.

$$B = 419.8 + 11.0; T = - 5.8; D = 1^h 35^m 52^s; I = 1^{\circ} 22' 0''.$$

Objet d'observation.	Position de l'instrument.	Chronomètre.	Lecture du cercle.	Moyenne.	Niveau.	Distance zénithale observée.	Demi-diamètre.	Réfraction.	Parallaxe.	Distance zénithale géocentrique.			
☉	C. D.	22 ^h 46 ^m 9 ^s	290 58' 45"	35' 0"	46' 53"	1.9	1.7	+ 3"	70 35' 4"	16' 12"	1' 40"	8"	70 52' 48"
☉		48	11.2 290 38 30	14 35	26 33	2.1	1.4	+ 12	70 55 15	—	1 41	—	71 13 0
☉		50	10.4 289 45 45	21 45	33 45	3.3	0.2	+ 52	71 47 23	—	1 45	—	71 32 48
☉		52	8.8 289 26 15	2 30	14 23	2.8	0.7	+ 35	72 7 2	—	1 48	—	71 52 30
☉	C. G.	54	6.4 74 0 45	37 30	49 8	1.8	1.8	0	72 27 8	—	1 50	—	72 12 38
☉		56	10.4 74 22 0	58 50	10 25	1.4	2.2	- 13	72 48 12	—	1 53	—	72 33 45
☉		58	17.2 74 10 25	47 0	58 43	1.4	2.2	- 13	72 36 30	—	1 51	—	72 54 25
☉		23	0 10.0 74 29 30	6 20	17 55	1.5	2.1	- 10	72 55 45	—	1 54	—	73 13 43
☉		2	13.6 74 49 50	27 0	38 25	2.5	1.1	+ 24	73 16 49	—	1 56	—	73 34 49
☉		5	12.8 75 20 50	57 30	9 10	2.0	1.6	+ 7	73 47 17	—	2 0	—	74 5 21
☉		7	13.6 76 14 55	51 35	3 15	1.6	2.0	- 7	74 41 8	—	2 8	—	74 26 56
☉		9	9.6 76 34 30	11 25	22 58	1.9	1.7	+ 3	75 1 1	—	2 10	9	74 46 50
☉	C. D.	11	51.2 286 4 30	41 0	52 45	0.9	2.7	- 30	75 29 45	—	2 15	—	75 15 39
☉		13	10.4 285 51 30	27 15	39 23	0.9	2.7	- 30	75 43 7	—	2 17	—	75 29 3
☉		15	9.6 286 3 0	39 5	51 3	1.0	2.6	- 27	75 31 24	—	2 15	—	75 49 42
☉		17	11.2 285 41 30	18 5	29 48	1.5	2.1	- 10	75 52 22	—	2 18	—	76 10 43

$$B = 419.2 + 9.8; T = + 3.7; D = 1^h 35^m 52^s.$$

N:o 65. Campement 263, Dungkang. 1907 novembre 18.

$$B = 426.8 + 8.6; T = + 3.8; D = 1^h 36^m 13^s; I = 1^{\circ} 22' 0''.$$

☉	C. D.	22 ^h 30 ^m 19 ^s	293° 3' 50"	40' 0"	51' 55"	2.0	1.7	+ 5"	68° 30' 0"	16' 13"	1' 31"	8"	68 47' 36"
☉		32	18.8 292 45 5	21 45	33 25	1.7	1.9	- 3	68 48 38	—	1 32	—	69 6 15
☉		34	17.2 291 54 15	30 30	42 23	2.0	1.6	+ 7	69 39 30	—	1 36	—	69 24 45
☉		36	11.2 291 36 20	12 35	24 28	1.9	1.6	+ 5	69 57 27	—	1 38	—	69 42 44
☉	C. G.	38	17.2 71 51 0	27 55	39 28	1.9	1.6	+ 5	70 17 33	—	1 40	—	70 2 52
☉		40	10.4 72 9 10	46 0	57 35	1.9	1.6	+ 5	70 35 40	—	1 42	—	70 21 1
☉		42	18.4 71 56 55	54 10	45 33	0.8	2.7	- 32	70 23 1	—	1 41	—	70 40 47
☉		44	23.0 72 17 15	54 5	5 40	1.3	2.2	- 15	70 43 25	—	1 42	—	71 1 12
☉		46	17.2 72 34 40	11 30	23 5	1.8	1.6	+ 3	71 1 8	—	1 44	—	71 18 57
☉		48	9.2 72 52 20	29 20	40 50	2.0	1.5	+ 8	71 18 58	—	1 45	—	71 36 48
☉		50	10.4 73 45 20	22 30	33 55	1.2	2.2	- 17	72 11 38	—	1 51	—	71 57 8
☉		52	17.6 74 5 40	42 50	54 15	1.4	2.0	- 10	72 32 5	—	1 53	—	72 17 37
☉	C. D.	54	12.8 288 42 15	18 15	30 15	1.3	2.0	- 12	72 51 57	—	1 56	—	72 37 32
☉		56	9.6 288 23 0	59 30	11 15	1.3	2.0	- 12	73 10 57	—	1 58	—	72 56 34
☉		58	7.2 288 36 20	12 10	24 15	1.3	2.0	- 12	72 57 57	—	1 56	—	73 15 58
☉		23	0 12.0 288 15 25	51 20	3 23	2.3	1.0	+ 22	73 18 15	—	1 59	—	73 36 19

$$B = 426.2 + 9.3; T = + 3.8; D = 1^h 36^m 13^s.$$

N:o 66. Campement 276, Julgunluk. 1907 décembre 11.

$$B = 430.6 \pm 4^{\circ}.5; T = -5.4; D = 1^h 35^m 59^s.5; I = 1^{\circ} 22' 0''.$$

Objet d'observation.	Position de l'instrument.	Chronomètre.	Lecture du cercle.			Moyenne.	Niveau.			Distance zénithale observée.	Demi-diamètre.	Réfraction.	Parallaxe.	Distance zénithale géocentrique.
☉	C. D.	22 ^h 2 ^m 21 ^s .2	294° 35' 25"	11' 5"	23' 15"	1.8	2.2	- 7"	66° 58' 52"	16' 16"	1' 28"	8"	67° 16' 28"	
☉		4 16.4	294 21 0	57 0	9 0	1.9	2.1	- 3	67 13 3	—	1 29	—	67 30 40	
☉		6 14.8	293 33 0	9 0	21 0	1.9	2.1	- 3	68 1 3	—	1 32	—	67 46 11	
☉	»	8 12.0	293 18 45	54 45	6 45	2.4	1.6	+ 13	68 15 2	—	1 34	—	68 0 12	
☉	C. G.	10 8.8	70 2 50	39 50	51 20	2.1	1.0	+ 3	68 29 23	—	1 35	—	68 14 34	
☉	»	12 11.6	70 19 5	55 45	7 25	2.9	1.1	+ 30	68 45 55	—	1 36	—	68 31 7	
☉	»	14 10.0	70 1 30	38 15	49 53	1.2	2.8	- 27	68 27 26	—	1 35	—	68 45 9	
☉		16 15.2	70 17 50	54 30	6 10	2.0	2.0	0	68 44 10	—	1 36	—	69 1 54	
☉		18 13.6	70 33 15	10 0	21 38	2.0	2.0	0	68 59 38	—	1 38	—	69 17 24	
☉		20 23.6	70 50 20	27 10	38 45	1.9	2.1	- 3	69 16 42	—	1 40	—	69 34 30	
☉	»	22 39.6	71 41 10	18 0	29 35	1.3	2.7	- 24	70 7 11	—	1 43	—	69 52 30	
☉		24 10.4	71 53 40	30 35	42 8	1.2	2.8	- 27	70 19 41	—	1 45	—	70 5 2	
☉	C. D.	26 12.0	290 57 30	33 40	45 35	2.8	1.2	+ 27	70 35 58	—	1 46	—	70 21 20	
☉		28 15.6	290 40 15	16 30	28 23	2.8	1.2	+ 27	70 53 10	—	1 48	—	70 38 34	
☉	»	30 14.0	290 57 15	33 5	45 10	2.8	1.2	+ 27	70 36 23	—	1 46	—	70 54 17	
☉	»	32 10.8	290 41 0	17 5	29 3	1.8	2.3	- 8	70 53 5	—	1 48	—	71 11 1	

$$B = 430.5 \pm 3.5; T = -0.5.$$

N:o 67. Campement 296. 1908 janvier 3.

$$B = 374.0 \pm 0^{\circ}.0; T = -17.4; D = 1^h 41^m 09^s.5; I = 1^{\circ} 22' 0''.$$

☉	C. D.	17 ^h 20 ^m 47 ^s .2	294° 19' 55"	55' 30"	7' 43"	1.9	2.5	- 10"	67° 14' 27"	16' 18"	1' 21"	8"	67 31 58"
☉	»	24 9.2	294 43 30	19 40	31 35	1.8	2.6	- 13	66 50 38	—	1 10	—	67 8 7
☉	»	26 18.0	294 25 50	1 15	13 33	1.5	2.8	- 22	67 8 49	—	1 20	—	66 53 43
☉	»	29 17.2	294 45 30	21 25	33 28	2.1	2.1	0	66 48 32	—	1 19	—	66 33 25
☉	C. G.	32 16.8	68 0 0	37 30	48 45	2.0	2.0	0	66 26 45	—	1 18	—	66 11 37
☉	»	35 23.6	67 39 30	16 55	28 13	2.8	1.7	+ 19	66 6 32	—	1 17	—	65 51 23
☉		38 20.8	66 46 45	24 0	35 23	1.3	3.0	- 29	65 12 54	—	1 13	—	65 30 17
☉	»	41 50.8	66 23 35	0 10	11 53	3.2	1.1	+ 35	64 50 28	—	1 12	—	65 7 50

$$B = 374.5 \pm 2.0; T = -15.0.$$

N:o 68. Campement 302 (C. 9). 1908 janvier 11.

B = 383.4 + 8'.0; T = - 7.4; D = 1^k 42^m 10^s; I = 1 22' 0".

Objet d'observation.	Position de l'instrument.	Chronomètre.	Lecture du cercle.			Moyenne.	Niveau.			Distance zénithale observée.	Demi-diamètre.	Réfraction.	Parallaxe.	Distance zénithale géocentrique.
☉	C. D.	23 ^h 4 ^m 12 ^s .8	288° 5' 25"	41' 30"	53' 28"	1.1	2.8	- 29"	73 29' 1"	16' 17"	1' 53"	8"	73° 47' 3"	
☉	»	6 16.0	287 46 45	22 50	34 48	1.2	2.8	- 27	73 47 39	—	1 55	»	74 5 43	
☉	»	8 14.0	286 56 25	32 15	44 20	0.4	3.7	- 55	74 38 35	—	2 1	»	74 24 11	
☉	»	10 11.6	286 38 30	14 40	26 35	1.2	2.8	- 27	74 55 52	—	2 4	»	74 41 31	
☉	C. G.	12 11.6	76 47 55	25 0	36 28	2.8	1.3	+ 25	75 14 53	—	2 7	9	75 0 34	
☉	»	14 12.4	77 5 50	43 0	54 25	2.1	2.0	+ 2	75 32 27	—	2 9	»	75 18 10	
☉	»	16 11.6	76 51 40	28 50	40 15	1.3	2.9	- 27	75 17 48	—	2 8	»	75 36 4	
☉	»	18 12.4	77 10 20	47 0	58 40	1.9	2.2	- 5	75 36 35	—	2 10	»	75 54 53	
☉	»	20 12.4	77 28 45	5 50	17 18	1.9	2.2	- 5	75 55 13	—	2 13	»	76 13 34	
☉	»	22 10.8	77 47 15	24 30	35 53	1.8	2.3	- 8	76 13 45	—	2 17	»	76 32 10	
☉	»	24 11.2	78 39 0	15 30	27 15	2.2	1.9	+ 5	77 5 20	—	2 26	»	76 51 20	
☉	»	26 12.8	78 58 0	35 0	46 30	3.1	1.1	+ 33	77 25 3	—	2 29	»	77 11 6	
☉	C. D.	28 8.4	283 50 0	26 15	38 8	2.3	1.8	+ 8	77 43 44	—	2 33	»	77 29 51	
☉	»	30 10.8	283 30 30	6 55	18 43	1.5	2.6	- 19	78 3 36	—	2 37	»	77 49 47	
☉	»	32 11.6	283 43 45	20 5	31 55	2.7	1.4	+ 22	77 49 43	—	2 34	»	78 8 25	
☉	»	34 11.6	283 24 55	1 5	13 0	2.2	1.9	+ 5	78 8 55	—	2 38	»	78 27 41	

B = 382.8 + 0'.4; T = - 9'.4; D = 1^k 42^m 10^s.

N:o 69. Campement 305. 1908 janvier 14.

B = 379.4 + 0'.4; T = - 13'.9; D = 1^k 42^m 31^s.5; I = 1 22' 0".

☉	C. D.	23 ^h 4 ^m 33 ^s .6	288° 30' 20"	6' 40"	18' 30"	2.2	1.9	+ 5"	73 3' 25"	16' 17"	1' 51"	8"	73 21' 25"
☉	»	6 14.0	288 15 15	51 0	3 8	2.3	1.8	+ 8	73 18 44	—	1 53	»	73 36 46
☉	»	8 14.4	287 24 0	0 30	12 15	2.5	1.8	+ 12	74 9 33	—	2 1	»	73 55 9
☉	»	10 12.8	287 6 0	42 30	54 15	2.0	2.3	- 5	74 27 50	—	2 3	»	74 13 28
☉	C. G.	12 12.8	76 20 30	57 30	9 0	1.7	2.8	- 19	74 46 41	—	2 5	»	74 32 21
☉	»	14 12.4	76 38 40	16 10	27 25	1.6	2.0	- 22	75 5 3	—	2 7	»	74 50 45
☉	»	16 10.4	76 24 40	1 20	13 0	2.2	2.1	+ 2	74 51 2	—	2 6	»	75 9 17
☉	»	18 16.0	76 43 30	20 30	32 0	1.8	2.7	- 15	75 9 45	—	2 9	»	75 28 3
☉	»	20 11.2	77 1 20	38 30	49 55	2.5	1.9	+ 10	75 28 5	—	2 11	9	75 46 24
☉	»	22 10.4	77 20 30	57 15	8 53	2.9	1.6	+ 22	75 47 15	—	2 15	»	76 5 38
☉	»	24 15.6	78 12 40	50 0	1 20	2.5	1.9	+ 10	76 39 30	—	2 24	»	76 25 28
☉	»	26 10.0	78 30 45	8 45	19 45	2.7	1.8	+ 15	76 58 0	—	2 27	»	76 44 1
☉	C. D.	28 26.0	284 12 30	48 15	0 23	3.2	1.2	+ 33	77 21 4	—	2 31	»	77 7 9
☉	»	30 11.6	283 55 35	31 45	43 40	3.8	0.6	+ 53	77 37 27	—	2 35	»	77 23 36
☉	»	32 18.4	284 8 0	43 50	55 55	3.2	1.2	+ 33	77 25 32	—	2 33	»	77 44 13
☉	»	34 24.4	283 48 30	24 30	36 30	1.7	2.8	- 19	77 45 49	—	2 37	»	78 4 34

B = 378.5 - 4'.6; T = - 17'.5.

N:o 70. Campement 323. 1908 février 6.

B = 385.6 + 2.8; T = - 9.9; D = 1^h 46^m 20^s; l = 1 22' 0".

Objet d'observation.	Position de l'instrument.	Chronomètre.	Lecture du cercle		Moyenne.	Niveau.		Distance zénithale observée.	Demi-diamètre.	Réfraction.	Parallaxe	Distance zénithale géocentrique.		
⊙	C. D.	23 ^h 46 ^m 32 ^s .4	286 24 30"	1' 30"	13' 0"	1.2	2.9	- 29"	75 9' 2"	16' 14"	2' 8	9	75 27' 42"	
⊙	"	48 16.4	286 5 30	41 45	53 38	2.0	2.2	- 3	75 28 25	—	2 11	—	75 46 41	
⊙	"	50 40.4	285 6 45	43 0	54 53	2.0	2.2	- 3	76 27 10	—	2 21	—	76 13 8	
⊙	"	52 12.4	284 49 45	26 45	38 15	2.0	2.2	- 3	76 43 48	—	2 24	—	76 29 49	
⊙	C. G.	56 22.4	79 0 30	38 30	49 30	2.0	2.3	- 5	77 27 25	—	2 32	—	77 13 34	
⊙	"	58 11.6	79 20 45	58 0	9 23	2.5	1.7	+ 13	77 47 36	—	2 37	—	77 33 50	
⊙	"	0 0	53.2	79 17 20	55 10	6 15	1.8	2.4	- 10	77 44 5	—	2 36	—	78 2 46
⊙	"	3 6.8	79 41 45	19 10	30 28	1.6	2.7	- 19	78 8 9	—	2 41	—	78 26 55	
⊙	"	5 10.0	80 4 0	41 15	52 38	1.6	2.8	- 20	78 30 18	—	2 46	—	78 49 9	
⊙	"	8 21.2	80 39 30	16 30	28 0	1.2	3.2	- 33	79 5 27	—	2 55	—	79 24 27	
⊙	"	10 8.0	81 31 30	9 15	20 23	1.0	3.4	- 40	79 57 43	—	3 9	—	79 44 29	
⊙	"	14 9.6	82 16 30	53 30	5 0	0.2	4.6	- 79	80 41 41	—	3 24	—	80 28 42	
⊙	C. D.	16 18.0	280 28 0	3 30	15 45	1.8	2.6	- 13	81 6 28	—	3 32	—	80 53 37	
⊙	"	19 5.6	279 56 30	32 30	44 30	2.8	1.4	+ 24	81 57 6	—	3 44	—	81 24 27	
⊙	"	21 8.0	280 6 0	42 0	54 0	2.0	2.3	- 5	81 28 5	—	3 41	—	81 47 51	
⊙	"	23 6.4	279 44 30	21 0	32 45	1.4	2.7	- 22	81 49 37	—	3 50	—	82 9 32	

B = 385.8 + 1.2; T = - 12.0; D = 1^h 46^m 20^s.5.

N:o 71. Campement 335. 1908 février 20.

B = 388.8 + 4.4; T = - 9.9; D = 1^h 48^m 39^s; l = 1 22' 0".

⊙	C. D.	16 ^h 33 ^m 13 ^s .2	298 12' 40"	48' 15"	0' 28"	2.3	1.8	+ 8"	63 21' 24"	16' 12"	1' 10	8"	63 38' 38"	
⊙	"	35 17.6	298 33 20	9 20	21 20	2.3	1.8	+ 8	63 0 32	—	1 8	—	63 17 44	
⊙	"	37 17.2	298 20 10	56 40	8 25	2.9	1.1	+ 30	63 13 5	—	1 9	—	62 57 54	
⊙	"	39 15.6	298 40 15	16 30	28 23	2.4	1.5	+ 13	62 53 24	—	1 7	—	62 38 11	
⊙	C. G.	42 15.6	63 56 20	33 20	44 50	2.5	1.6	+ 15	62 23 5	—	1 6	—	62 7 51	
⊙	"	44 28.4	63 34 30	11 30	23 0	2.9	1.1	+ 30	62 1 30	—	1 5	—	61 46 15	
⊙	"	46 47.6	62 39 0	16 10	27 35	1.9	2.1	- 3	61 5 32	—	1 3	—	61 22 59	
⊙	"	48 27.6	62 23 30	0 0	11 45	2.0	2.1	- 2	60 49 43	—	1 2	—	61 6 49	
⊙	"	50 24.0	62 4 0	40 15	52 8	1.9	2.1	- 3	60 30 5	—	1 1	—	60 47 10	
⊙	"	52 13.2	61 45 30	22 30	34 0	2.5	1.5	+ 17	60 12 17	—	1 1	—	60 29 22	
⊙	"	54 22.4	61 58 35	35 30	47 3	2.2	1.8	+ 7	60 25 10	—	1 1	—	60 9 51	
⊙	"	56 31.2	61 38 0	15 0	26 30	2.9	1.1	+ 30	60 5 0	—	0 59	—	59 49 39	
⊙	C. D.	58 25.6	301 47 55	24 0	35 58	1.4	2.6	- 20	59 46 22	—	0 59	—	59 51 1	
⊙	"	17 0	18.0	302 4 30	40 15	52 23	0.9	3.0	- 35	59 30 12	—	0 58	—	59 14 50
⊙	"	2 21.2	302 57 10	33 10	45 10	1.7	2.2	- 8	58 36 58	—	0 56	—	58 53 58	
⊙	"	4 13.6	303 14 0	51 0	2 30	1.2	2.6	- 24	58 19 54	—	0 55	—	58 36 53	

B = 388.9 + 3.4; T = - 6.2.

N:o 72. Campement 339. 1908 février 25.

$$B = 377.1 + 1.6; T = -13.9; D = 1^h 49^m 37^s.5; I = 1^{\circ} 22' 0''.$$

Objet d'observation.	Position de l'instrument.	Chronomètre.	Lecture du cercle.		Moyenne.		Niveau.		Distance zénithale observée.	Demi-diamètre.	Réfraction.	Parallaxe.	Distance zénithale géocentrique.	
☉	C. D.	16 ^h 9 ^m 23.2	295	40' 15"	17' 0"	28' 38"	3.0	1.1	+ 32"	65° 52' 50"	16' 11"	1' 16"	8"	66° 10' 9"
☉	"	11 10.8	295	59 55	36 5	48 0	2.8	1.3	+ 25	65 33 35	—	1 14	—	65 50 52
☉	"	13 15.2	295	49 0	25 0	37 0	2.0	2.1	- 2	65 45 2	—	1 15	—	65 29 58
☉	"	15 13.2	296	10 20	46 30	58 25	1.9	2.2	- 5	65 23 40	—	1 14	—	65 8 35
☉	C. G.	17 26.4	66	33 30	11 35	22 33	1.5	2.6	- 19	65 0 14	—	1 12	—	64 45 7
☉	"	19 34.0	66	10 55	48 0	59 28	1.6	2.7	- 19	64 37 9	—	1 11	—	64 22 1
☉	"	21 18.4	65	18 30	55 30	7 0	1.1	3.2	- 35	63 44 25	—	1 8	—	64 1 36
☉	"	23 22.4	64	57 20	34 15	45 48	1.4	2.8	- 24	63 23 24	—	1 8	—	63 40 35

$$B = 377.4 + 2.0; T = -11.0.$$

N:o 73. Campement 346. 1908 mars 5.

$$B = 392.9 + 3.6; T = -8.6; D = 1^h 51^m 21^s.5; I = 1^{\circ} 22' 0''.$$

☉	C. D.	16 ^h 7 ^m 14.4	298	21' 30"	59' 0"	10' 15"	2.2	1.8	+ 7"	63° 11' 38"	16' 9"	1' 9"	8"	63° 28' 48"
☉	"	9 17.2	298	44 45	20 50	32 48	2.9	1.0	+ 32	62 48 40	—	1 8	—	63 5 49
☉	"	11 12.4	298	34 0	10 30	22 15	2.0	1.9	+ 2	62 59 43	—	1 9	—	62 44 35
☉	"	13 18.4	298	57 20	33 40	45 30	2.5	1.4	+ 19	62 36 11	—	1 8	—	62 21 2
☉	C. G.	15 31.2	63	44 45	21 30	33 8	2.3	1.7	+ 10	62 11 18	—	1 6	—	61 56 7
☉	"	17 16.4	63	26 0	3 0	14 30	2.0	1.9	+ 2	61 52 32	—	1 5	—	61 37 20
☉	"	19 19.2	62	30 0	7 0	18 30	1.6	2.3	- 12	60 56 18	—	1 3	—	61 13 22
☉	"	21 35.6	62	4 30	41 0	52 45	2.3	1.7	+ 10	60 30 55	—	1 2	—	60 47 58

N:o 74. Campement 357. 1908 mars 17.

$$B = 394.2 + 14.5; T = +0.5; D = 1^h 53^m 59^s; I = 1^{\circ} 22' 0''.$$

☉	C. D.	23 ^h 53 ^m 12.4	292	55' 15"	32' 0"	43' 38"	2.2	1.2	+ 17"	68° 38' 5"	16' 5"	1' 27"	8"	68° 55' 29"
☉	"	55 13.6	292	30 35	7 30	19 3	2.2	1.3	+ 15	69 2 42	—	1 28	—	69 20 7
☉	"	57 22.4	291	32 40	8 30	20 35	1.9	1.6	+ 5	70 1 20	—	1 33	—	69 46 40
☉	"	59 12.8	291	8 45	45 15	57 0	2.6	1.0	+ 27	70 24 33	—	1 35	—	70 9 55
☉	C. G.	0 1 13.2	72	23 0	59 55	11 28	2.2	1.3	+ 15	70 49 43	—	1 37	—	70 35 7
☉	"	3 12.8	72	47 50	24 15	36 3	1.4	2.2	- 13	71 13 50	—	1 39	—	70 59 16
☉	"	5 17.2	72	39 45	17 15	28 30	2.5	1.0	+ 25	71 6 55	—	1 38	—	71 24 30
☉	"	7 14.0	73	4 0	40 30	52 15	2.5	1.1	+ 24	71 30 39	—	1 41	—	71 48 17
☉	"	9 12.8	73	28 30	5 30	17 0	2.4	1.2	+ 20	—	—	—	—	—

N:o 75. Campement 359. 1908 mars 19.

$$B = 395.8 + 12'.0; T = + 4'.3; D = 1^h 54^m 20^s.5.$$

Objet d'observation.	Position de l'instrument.	Chronomètre.	Lecture du cercle.		Moyenne.		Niveau.			Distance zénithale observée.	Demi-diamètre.	Refraction.	Parallaxe.	Distance zénithale géocentrique.
☉	C. D.	0 ^h 22 ^m 9 ^s .6	287° 21' 0"	57' 0"	9' 0"	1.6	1.9	- 5"	—	—	—	—	—	
☉		24 8.8	286 56 55	33 15	45 5	2.0	1.5	+ 8	—	—	—	—	—	
☉	»	26 15.6	285 58 10	34 10	46 10	1.8	1.8	0	—	—	—	—	—	
☉		28 11.6	285 34 30	10 0	22 15	1.5	2.0	- 8	—	—	—	—	—	
☉	C. G.	30 15.2	77 59 15	36 0	47 38	2.3	1.2	+ 19	—	—	—	—	—	

$$B = 395.5 + 10'.6; T = + 1'.7.$$

N:o 76. Campement 370. 1908 avril 1.

$$B = 395.9 + 7'.4; T = - 3'.5; D = 1^h 56^m 37^s.5; l = 1 22' 0''.$$

☉	C. D.	14 ^h 48 ^m 11 ^s .6	289 59' 30"	35' 30"	47' 30"	2.0	1.8	+ 3"	71 34' 27"	16' 1"	1' 43"	8"	71 52' 3"
☉	»	50 11.2	290 24 55	1 0	12 58	1.3	2.3	- 17	71 9 19	—	1 40	—	71 26 52
☉	»	52 9.6	290 17 45	54 15	6 0	1.1	2.6	- 25	71 16 25	—	1 41	—	71 1 57
☉	»	54 11.2	290 43 30	19 0	31 15	1.0	2.8	- 30	70 51 15	—	1 39	—	70 36 45
☉	C. G.	56 15.2	71 58 0	34 50	46 25	2.3	1.5	+ 13	70 24 38	—	1 36	—	70 10 5
☉	»	58 21.2	71 31 30	8 10	19 50	2.1	1.7	+ 7	69 57 57	—	1 34	—	69 43 22
☉	»	15 0 19.2	70 33 40	10 30	22 5	2.0	1.8	+ 3	69 0 8	—	1 29	—	69 17 30
☉		2 14.0	70 9 0	45 50	57 25	2.3	1.4	+ 15	68 35 40	—	1 27	—	68 53 0
☉	»	4 14.0	69 43 55	20 30	32 13	2.2	6.0	- 136	68 7 57	—	1 25	—	68 25 15
☉	»	6 11.6	69 18 20	55 15	6 48	2.0	1.8	+ 3	67 44 51	—	1 23	—	68 2 7
☉		8 12.4	69 25 55	2 30	14 13	0.8	2.9	- 35	67 51 38	—	1 24	—	67 36 53
☉	»	10 13.6	68 59 55	36 40	48 18	2.1	1.7	+ 7	67 26 25	—	1 22	—	67 11 38
☉	C. D.	12 23.6	294 34 0	10 15	22 8	2.0	1.7	+ 5	66 59 47	—	1 20	—	66 44 58
☉	»	14 14.8	294 57 40	34 0	45 50	1.9	1.8	+ 2	66 36 8	—	1 19	—	66 21 18
☉	»	16 17.6	295 56 30	32 30	44 30	2.1	1.6	+ 8	65 37 22	—	1 15	—	65 54 30
☉	»	18 9.2	296 20 50	57 0	8 55	0.9	2.8	- 32	65 13 37	—	1 14	—	65 30 44

$$B = 396.2 - 10'.5; T = - 0'.8; D = 1^h 56^m 38^s.$$

N:o 77. Campement 374. 1908 avril 5.

B = 391.4 + 10.3; T = - 0.4; D = 1^h 57^m 11.5; l = 1° 15' 20".

Objet d'observation.	Position de l'instrument.	Chronomètre.	Lecture du cercle.	Moyenne.	Niveau.	Distance zénithale observée.	Demi-diamètre.	Réfraction.	Parallaxe.	Distance zénithale géocentrique.	
☉	C. D.	15 ^h 21 ^m 11.6	297 43' 30"	21' 35" 32' 33"	2.4 1.1	+ 22"	63 42' 25"	16' 0"	1' 8"	8"	63 59' 25"
☉		23 13.6	298 9 20	47 30 58 25	6.2 -2.7	+ 148	63 14 27	—	1 7	—	63 31 26
☉		25 10.4	298 1 50	40 0 50 55	1.1 2.4	- 22	63 24 47	—	1 7	—	63 9 46
☉		27 14.0	298 28 10	6 10 17 10	1.3 2.2	- 15	62 58 25	—	1 6	—	62 43 23
☉	C. G.	29 35.6	63 54 40	33 15 43 58	1.7 1.8	- 2	62 28 36	—	1 5	—	62 13 33
☉		31 12.8	63 34 40	13 30 24 5	0.0 3.5	- 58	62 7 47	—	1 4	—	61 52 43
☉		33 16.0	62 34 40	13 15 23 58	2.3 1.2	+ 19	61 8 57	—	1 1	—	61 25 50
☉		35 12.0	62 9 40	48 55 59 18	2.3 1.2	+ 19	60 44 17	—	1 0	—	61 1 9
☉		37 10.0	61 45 30	24 0 34 45	1.7 1.7	0	60 19 25	—	0 59	—	60 36 16
☉		39 22.4	61 16 45	36 0 56 23	2.1 1.3	+ 13	59 41 16	—	0 57	—	59 58 5
☉		41 10.8	61 26 15	5 30 15 53	2.8 0.6	+ 36	60 1 9	—	0 58	—	59 45 59
☉		43 12.8	61 1 30	40 30 51 0	1.4 2.0	- 10	59 35 30	—	0 57	—	59 20 19
☉	C. D.	45 10.0	302 15 30	53 30 4 30	0.8 2.7	- 32	59 11 22	—	0 57	—	58 56 11
☉		47 12.0	302 40 55	19 30 30 13	1.8 1.7	+ 2	58 45 5	—	0 56	—	58 29 53
☉		49 14.0	303 39 45	17 30 28 38	0.9 2.6	- 29	57 47 11	—	0 53	—	58 3 56
☉		51 11.6	304 3 50	41 30 52 40	1.6 1.9	- 5	57 22 45	—	0 53	—	57 39 30

B = 392.0 + 12.9; T = + 1.2.

N:o 78. Campement 378. 1908 avril 9.

B = 386.2 + 13.8; T = + 4.8; D = 1^h 57^m 50.5; l = 1° 15' 20".

☉	C. D.	0 ^h 23 ^m 17.6	290 50' 30"	28' 15" 39' 23"	1.8 1.8	0"	70 35' 57"	15' 59"	1' 32"	8"	70 53' 20"
☉		25 11.2	290 25 50	3 50 14 50	2.4 1.1	+ 22	71 0 8	—	1 34	»	71 17 33
☉		27 8.8	289 28 20	6 0 17 10	2.0 1.6	+ 7	71 58 3	—	1 39	»	71 43 35
☉		29 8.4	289 2 20	40 20 51 20	2.1 1.5	+ 10	72 23 50	—	1 43	»	72 9 26
☉	C. G.	31 10.8	74 15 30	54 10 4 50	2.8 1.0	+ 30	72 50 0	—	1 45	»	72 35 38
☉		33 10.4	74 41 10	20 0 30 35	2.4 1.2	+ 20	73 15 35	—	1 48	»	73 1 16
☉		35 22.8	74 36 15	15 30 25 53	3.2 0.4	+ 46	73 11 19	—	1 48	»	73 28 58
☉		37 10.0	75 0 0	39 0 49 30	1.4 2.4	- 17	73 33 53	—	1 50	»	73 51 34
☉		39 6.0	75 25 10	4 0 14 35	0.8 2.8	- 33	73 58 42	—	1 54	»	74 16 27
☉		41 8.0	75 50 55	30 10 40 33	1.0 2.0	- 27	74 24 46	—	1 56	»	74 42 33
☉		43 12.8	76 50 30	29 15 39 53	2.2 1.4	+ 13	75 24 46	—	2 5	9	75 10 43
☉		45 6.4	77 15 20	54 10 4 45	1.9 1.8	+ 2	75 49 27	—	2 9	»	75 35 28
☉	C. D.	47 4.8	285 10 55	49 10 0 3	0.8 2.8	- 33	76 15 50	—	2 13	»	76 1 55
☉		49 6.0	284 44 50	22 45 33 48	0.9 2.7	- 30	76 42 2	—	2 17	»	76 28 11
☉		51 11.2	284 50 55	28 55 39 55	1.5 2.1	- 10	76 35 35	—	2 16	»	76 53 41
☉		53 7.6	284 25 45	3 35 14 40	0.9 2.7	- 30	77 1 10	—	2 20	»	77 19 20

B = 386.0 + 8.2; T = + 1.3; D = 1^h 57^m 51.8.

N:o 79. Campement 397. 1908 mai 2.

$$B = 385.5 + 15.7; T = - 2.8; D = 2^h 0^m 42^s.5; l = 1^{\circ} 15' 20''.$$

Objet d'observation.	Position de l'instrument.	Chronomètre.	Lecture du cercle.		Moyenne.		Niveau.		Distance zénithale observée.	Demi-diamètre.	Réfraction.	Parallaxe.	Distance zénithale géocentrique.
☉	C. D.	15 ^h 50 ^m 11 ^s .2	309 52' 30"	30' 15"	41' 23"	2.2	1.3	+ 15"	51° 33' 42"	15' 53"	0' 42"	7"	51 50' 10"
☉	"	52 44.8	310 25 50	3 20	14 35	1.9	1.7	+ 3	51 0 42	—	0 41	"	51 17 9
☉	"	56 23.2	310 40 30	18 50	29 40	2.3	1.3	+ 17	50 45 23	—	0 41	"	50 30 4
☉	"	16 1 26.8	311 47 0	25 0	36 40	2.1	1.5	+ 10	49 39 10	—	0 40	"	49 23 50
☉	C. G.	3 29.6	50 38 30	17 0	27 45	2.5	1.1	+ 24	49 12 49	—	0 39	"	48 57 28
☉	"	10 17.6	49 9 0	48 15	58 38	2.2	1.5	+ 12	47 43 30	—	0 36	"	47 28 6
☉	"	17 9.2	47 8 30	47 20	57 55	1.5	2.3	- 13	45 42 22	—	0 34	"	45 58 42
☉	"	20 32.4	46 25 0	3 50	14 25	1.5	2.3	- 13	44 58 52	—	0 33	6	45 15 12
☉	"	22 8.8	46 4 0	43 0	53 30	1.1	2.6	- 25	44 37 45	—	0 33	"	44 54 5
☉	"	24 11.6	45 37 45	17 0	27 23	1.8	1.8	0	44 12 3	—	0 32	"	44 28 22
☉	"	26 7.6	45 44 45	24 0	34 23	1.4	2.3	- 15	44 18 48	—	0 32	"	44 3 21

$$B = 386.0 + 13.0; T = + 1.4; D = 2^h 0^m 42^s.5.$$

N:o 80. Campement 409. 1908 mai 18.

$$B = 396.0 + 20.5; T = + 14.0; D = 2^h 2^m 41^s.0; l = 1^{\circ} 15' 10''.$$

☉	C. D.	1 ^h 1 ^m 10 ^s .4	287 5' 50"	43' 30"	54' 40"	1.1	1.9	- 13"	74 20' 43"	15' 50"	1' 54"	9"	74 38' 18"
☉	"	3 10.4	286 40 55	19 10	30 3	1.0	2.0	- 17	74 45 24	—	1 57	—	75 3 2
☉	"	5 9.6	285 44 30	21 45	33 8	0.9	2.1	- 20	75 42 22	—	2 5	—	75 28 28
☉	"	7 10.0	285 19 45	57 0	8 23	1.0	2.0	- 17	76 7 4	—	2 9	—	75 53 14
☉	C. G.	9 11.6	77 57 45	36 30	47 8	1.8	1.2	+ 10	76 32 8	—	2 13	—	76 18 22
☉	"	11 12.0	78 22 30	1 30	12 0	1.1	2.0	- 15	76 56 35	—	2 18	—	76 42 54
☉	"	13 8.8	78 14 30	53 45	4 8	0.9	2.5	- 32	76 48 26	—	2 16	—	77 6 23
☉	"	15 10.0	78 39 50	19 0	29 25	0.6	2.5	- 32	77 13 43	—	2 21	—	77 31 45
☉	"	17 8.4	79 3 55	42 55	53 25	1.6	1.4	+ 3	77 38 18	—	2 25	—	77 59 24
☉	"	19 10.8	79 28 30	7 50	18 10	2.0	1.0	+ 17	78 3 17	—	2 30	—	78 21 28
☉	"	21 8.0	80 25 10	4 20	14 45	1.3	1.7	- 7	78 59 28	—	2 43	—	78 46 12
☉	C. D.	23 9.6	80 50 0	29 10	39 35	0.8	2.2	- 24	79 24 1	—	2 49	—	79 10 51
☉	"	25 8.8	281 36 45	14 20	25 33	1.2	1.8	- 10	79 49 47	—	2 56	—	79 36 44
☉	"	27 7.2	281 12 35	50 30	1 33	1.9	1.1	+ 13	80 13 24	—	3 4	—	80 0 29
☉	"	29 9.6	281 20 15	57 45	9 0	1.5	1.5	0	80 6 10	—	3 1	—	80 24 52
☉	"	31 11.2	280 55 30	32 45	44 8	2.0	1.1	+ 15	80 30 47	—	3 9	—	80 49 37

$$B = 395.0 + 18.0; T = + 10.0; D = 2^h 2^m 41^s.0.$$

N:o 81. Campement 410. 1908 mai 19.

B = 398.4 - 18'.4; T = + 4'.7; D = 2^h 2^m 54^s.5; I = 1' 15" 10".

Objet d'observation.	Position de l'instrument.	Chronomètre.	Lecture du cercle.		Moyenne.	Niveau.			Distance zénithale observée.	Demi-diamètre.	Réfraction.	Parallaxe.	Distance zénithale géocentrique.	
☉	C. D.	14 ^h 12 ^m 8.4	290	46' 40"	24' 40"	35' 40"	2.2	1.1	+ 19"	70° 39' 11"	15' 50"	1' 36"	8"	70° 56' 29"
☉	•	14	14.0	291 13 50	41 30	57 40	1.0	2.2	- 20	70 17 50	—	1 34	—	70 35 6
☉	•	16	10.0	291 6 20	44 0	55 10	- 0.2	3.3	- 58	70 20 58	—	1 34	—	70 6 34
☉	•	18	13.6	291 31 30	9 30	20 30	0.9	2.4	- 25	69 55 5	—	1 32	—	69 40 39
☉	C. G.	20	12.4	70 56 10	34 40	45 25	2.0	1.4	+ 10	69 30 25	—	1 31	—	69 15 58
☉	•	22	14.0	70 30 20	9 0	19 40	1.0	1.5	+ 7	69 4 37	—	1 28	—	68 50 7
☉	•	24	11.2	69 33 30	12 30	23 0	1.6	1.8	- 3	68 7 47	—	1 25	—	68 24 54
☉	•	26	16.4	69 7 40	46 0	56 50	1.2	2.2	- 17	67 41 23	—	1 22	—	67 58 27
☉	•	28	18.4	68 40 40	19 0	29 50	1.9	1.6	+ 5	67 14 45	—	1 20	—	67 31 47
☉	•	30	9.6	68 17 30	56 0	6 45	1.4	2.0	- 10	66 51 25	—	1 18	—	67 8 25
☉	•	32	11.6	68 24 10	3 10	13 40	1.4	2.1	- 12	66 58 18	—	1 19	—	66 43 39
☉	•	34	14.0	67 58 30	37 10	47 50	2.2	1.1	+ 19	66 32 59	—	1 17	—	66 18 18
☉	C. D.	36	14.0	295 19 45	57 30	8 38	0.2	3.2	- 50	66 7 22	—	1 16	—	65 52 40
☉	•	38	32.4	295 48 40	26 35	37 38	1.2	2.2	- 17	65 37 49	—	1 14	—	65 23 5
☉	•	40	14.4	296 42 15	20 15	31 15	2.2	1.1	+ 19	64 43 36	—	1 11	—	65 0 29
☉	•	42	8.8	297 6 30	44 0	55 15	2.2	1.1	+ 19	64 19 36	—	1 10	—	64 36 28

B = 399.0 + 20'.8; T = + 6'.2; D = 2^h 2^m 54^s.5.

N:o 82. Campement 413, Mendong. 1908 mai 26.

B = 397.6 + 12'.8; T = + 9'.6; D = 2^h 3^m 50^s.5; I = 1' 15" 10".

☉	C. D.	1 ^h 44 ^m 10 ^s .0	279	51' 15"	28' 50"	40' 3"	1.4	1.8	- 7"	81° 35' 14"	15' 48"	3' 32"	9"	81° 54' 25"	
☉	•	46	14.0	279 26 30	4 5	15 18	2.4	0.8	+ 27	81 59 25	—	3 43	—	82 18 47	
☉	•	52	5.6	277 45 15	23 0	34 8	1.4	1.9	- 8	83 41 10	—	4 35	—	83 29 48	
☉	•	54	8.4	277 20 30	58 0	9 15	2.0	1.3	+ 12	84 5 43	—	4 52	—	83 54 38	
☉	C. G.	56	8.8	85 55 10	34 10	44 40	1.8	1.6	+ 3	84 29 33	—	5 11	—	84 18 47	
☉	•	58	7.2	86 18 35	57 35	8 5	1.5	1.9	- 7	84 52 48	—	5 30	—	84 42 21	
☉	•	2	0	8.4	86 10 55	49 30	0 13	0.5	2.8	- 38	84 44 25	—	5 23	—	85 5 27
☉	•	2	7.6	86 33 40	12 45	23 13	1.8	1.7	+ 2	85 8 5	—	5 44	—	85 29 28	
☉	•	4	12.4	86 58 0	36 45	47 23	1.5	1.9	- 7	85 32 6	—	6 9	—	85 53 54	
☉	•	6	9.2	87 20 35	59 30	10 3	1.9	1.5	+ 7	85 55 0	—	6 35	—	86 17 14	
☉	•	8	9.6	88 15 50	54 30	5 10	1.6	1.8	- 3	86 49 57	—	7 53	—	86 41 53	
☉	•	10	6.8	88 38 10	16 55	27 33	2.0	1.4	+ 10	87 12 33	—	8 34	—	87 5 10	
☉	C. D.	12	8.4	273 50 30	28 5	39 18	1.8	1.7	+ 2	87 35 50	—	9 24	—	87 29 17	
☉	•	14	16.8	273 26 30	4 30	15 30	1.8	1.7	+ 2	87 59 38	—	10 22	—	87 54 3	
☉	•	16	12.0	273 36 15	13 55	25 5	1.7	1.8	- 2	87 50 7	—	9 58	—	88 15 44	
☉	•	18	10.8	273 13 50	52 0	2 55	1.1	2.4	- 22	88 12 37	—	11 1	—	88 39 17	

B = 397.7 + 13'.3; T = + 5'.6; D = 2^h 3^m 51^s.0.

N:o 83. Campement 416. 1908 mai 30.

$$B = 381.9 + 10.7; T = - 0.1; D = 2^h 4^m 22.5; I = 1' 15'' 10.$$

Objet d'observation.	Position de l'instrument.	Chronomètre.	Lecture du cercle.			Moyenne.	Niveau.			Distance zénithale observée.	Demi-diamètre.	Refraction.	Parallaxe.	Distance zénithale géocentrique.
☉	C. D.	15 ^h 38 ^m 8 ^s 8	308	46' 10"	23' 50"	35' 0"	1.1	2.2	- 19"	52 40' 29"	15' 48"	44"	7	52 56' 54"
☉		40 9.6	309	11 20	49 5	0 13	2.0	1.3	+ 12	52 14 45		43	-	52 31 9
☉		42 11.2	309	5 15	43 0	54 8	2.0	1.3	+ 12	52 20 50		43	-	52 5 38
☉		44 12.4	309	31 40	9 0	20 20	1.6	1.8	- 3	51 54 53	-	42	-	51 39 40
☉	C. G.	46 11.2	52	54 45	33 10	43 58	2.3	1.0	+ 22	51 29 10	-	41	-	51 13 56
☉		48 10.0	52	29 30	8 20	18 55	1.2	2.2	- 17	51 3 28	-	40	-	50 48 13
☉	"	50 14.4	51	30 35	9 15	19 55	1.5	1.9	- 7	50 4 38	-	39	-	50 20 58
☉		52 9.6	51	6 20	44 40	55 30	0.8	2.6	- 30	49 39 50	-	39	-	49 56 10
☉		54 10.0	50	40 0	19 0	29 30	1.7	1.6	+ 2	49 14 22	-	38	-	49 50 41
☉		56 11.6	50	14 15	53 0	3 38	1.0	2.4	- 24	48 48 4	-	38	-	49 4 23
☉	"	58 7.6	50	21 15	59 30	10 23	1.6	1.8	- 3	48 55 10	-	38	-	48 39 53
☉	"	16 0 12.4	49	53 50	33 0	43 25	2.0	1.4	+ 10	48 28 25	-	37	-	48 13 7
☉	C. D.	2 29.6	313	26 50	4 10	15 30	1.1	2.2	- 19	47 59 59	-	36	-	47 44 40
☉	"	4 11.6	313	49 0	26 30	37 45	1.3	2.2	- 15	47 37 40	-	36	-	47 22 21
☉	"	6 9.2	314	45 55	23 45	34 50	1.7	1.6	+ 2	46 40 18	-	35	-	46 56 34
☉	"	8 12.0	315	12 5	50 0	1 3	2.1	1.2	+ 15	46 13 52	-	34	-	46 30 7

$$B = 382.0 + 13.1; T = + 1.3; D = 2^h 4^m 22.6.$$

N:o 84. Campement 419. 1908 juin 3.

$$B = 393.9 + 15.4; T = + 9.8; D = 2^h 4^m 50.6; I = 1' 15'' 10.$$

☉	C. D.	1 ^h 37 ^m 6 ^s 4	282	43' 30"	21' 30"	32' 30"	2.4	0.8	+ 27'	78 42 13"	15' 47"	2' 50"	9	79 0 30
☉		39 13.6	282	18 50	56 10	7 30	1.4	1.8	- 7	79 7 47	-	2 46	-	79 2' 11
☉	"	41 9.6	281	23 20	1 30	12 25	1.0	2.2	- 20	80 3 5	-	3 0	-	79 50 0
☉		43 7.6	280	59 55	37 30	48 43	1.0	2.2	- 20	80 20 47	-	3 7	-	80 13 58
☉	C. G.	45 9.6	82	17 10	56 10	6 40	1.7	1.6	+ 2	80 51 32	-	3 16	-	80 38 52
☉		47 7.6	82	41 0	20 0	30 50	1.5	1.8	- 5	81 15 15	-	3 24	-	81 2 43
☉	"	49 8.4	82	33 0	12 0	22 30	1.4	1.8	- 7	81 7 13	-	3 22	-	81 20 13
☉		51 10.0	82	57 30	36 0	46 45	1.9	1.3	+ 10	81 31 45	-	3 30	-	81 50 53
☉		53 35.2	83	25 40	4 40	15 10	2.2	1.0	+ 20	-	-	-	-	-
☉	"	55 12.0	83	45 15	24 20	34 48	1.6	1.7	- 2	-	-	-	-	-

$$B = 393.8 + 14.8; T = + 8.1.$$

N:o 85. Campement 422. 1908 juin 6.

B = 399.7 + 5.3; T = + 1'.6; D = 2^h 5^m 16^s.0; I = 1° 15' 20".

Objet d'observation.	Position de l'instrument.	Chronomètre.	Lecture du cercle.		Moyenne.		Niveau.			Distance zénithale observée.	Demi-diamètre.	Réfraction.	Parallaxe.	Distance zénithale géocentrique.
☉	C. D.	14 ^h 24 ^m 8 ^s	292	32' 0"	9' 50"	20' 55"	1.8	1.8	0"	68° 54' 25"	15' 47"	1' 28"	8"	69° 11' 32"
☉	"	26	9.2	292 57 20	34 45	46 3	1.7	2.1	- 7	68 29 24	—	1 26	—	68 46 29
☉	"	28	10.0	292 49 50	27 40	38 45	1.1	2.6	- 25	68 37 0	—	1 27	—	68 22 32
☉	"	30	11.2	293 15 15	52 45	4 0	1.0	2.7	- 29	68 11 49	—	1 25	—	67 57 19
☉	C. G.	32	9.6	69 12 30	51 40	2 5	1.8	1.8	0	67 46 45	—	1 23	—	67 32 13
☉	"	34	16.0	68 46 40	25 20	36 0	1.3	2.3	- 17	67 20 23	—	1 21	—	67 5 49
☉	"	36	16.0	67 49 0	28 0	38 30	1.3	2.3	- 17	66 22 53	—	1 17	—	66 39 49
☉	"	38	11.2	67 24 50	4 0	14 25	1.5	2.1	- 10	65 58 55	—	1 16	—	66 15 50
☉	"	40	11.2	67 0 0	38 50	49 25	1.4	2.2	- 13	65 33 52	—	1 15	—	65 50 46
☉	"	42	11.2	66 35 25	13 55	24 40	1.9	1.8	+ 2	65 9 22	—	1 13	—	65 26 14
☉	"	44	11.2	66 41 40	20 45	31 13	2.5	1.1	+ 24	65 16 17	—	1 14	—	65 1 36
☉	"	46	17.6	66 15 0	54 30	4 45	2.6	1.0	+ 27	64 49 52	—	1 12	—	64 35 9
☉	C. D.	48	8.8	297 0 0	37 30	48 45	1.2	2.2	- 17	64 26 52	—	1 11	—	64 12 8
☉	"	50	8.0	297 25 30	2 30	14 0	1.3	2.2	- 15	64 1 35	—	1 10	—	63 46 50
☉	"	52	13.2	298 23 5	1 10	12 8	1.1	2.4	- 22	63 3 34	—	1 7	—	63 20 20
☉	"	54	9.6	298 48 0	25 50	36 55	1.0	2.6	- 27	62 38 52	—	1 5	—	62 55 36

B = 399.9 + 7'.7; T = + 4.1; D = 2^h 5^m 16^s.5.

N:o 86. Campement 423, Tarok-shung. 1908 juin 7.

B = 401.1 + 19'.3; T = + 14.3; D = 2^h 5^m 20^s.0; I = 1° 15' 20".

☉	C. D.	1 ^h 18 ^m 11 ^s	287	25' 15"	3' 0"	14' 8"	1.2	1.8	- 10"	74 1' 22"	15' 47"	1' 53"	9"	74 18' 53"
☉	"	20	11.6	287 0 50	38 30	49 40	1.3	1.7	- 7	74 25 47	—	1 56	—	74 43 21
☉	"	22	7.6	286 5 10	42 55	54 3	1.4	1.6	- 3	75 21 20	—	2 4	—	75 7 28
☉	"	24	12.4	285 40 0	17 40	28 50	1.2	1.8	- 10	75 46 40	—	2 8	—	75 32 52
☉	C. G.	26	7.6	77 35 20	14 10	24 45	2.0	1.0	+ 17	76 9 42	—	2 11	—	75 55 57
☉	"	28	5.2	77 59 0	37 45	48 23	1.2	1.8	- 10	76 32 53	—	2 15	—	76 19 12
☉	"	30	10.8	77 52 30	31 15	41 53	1.0	2.0	- 17	76 26 16	—	2 14	—	76 44 8
☉	"	32	13.6	78 17 0	55 45	6 23	1.4	1.6	- 3	76 51 0	—	2 18	—	77 8 56
☉	"	34	10.8	78 40 30	19 50	30 10	2.4	0.6	+ 30	77 15 20	—	2 23	—	77 33 21
☉	"	36	11.6	79 5 15	44 0	54 38	1.2	1.8	- 10	77 39 8	—	2 27	—	77 57 13
☉	"	38	5.6	80 0 15	39 0	49 38	1.1	1.0	- 13	78 34 5	—	2 39	—	78 20 48
☉	"	40	8.8	80 24 30	3 45	14 8	0.9	2.2	- 22	78 58 26	—	2 44	—	78 45 14
☉	C. D.	42	8.8	282 2 30	40 30	51 30	1.3	1.7	- 7	79 23 57	—	2 51	—	79 10 52
☉	"	44	8.8	281 38 45	16 0	27 23	1.3	1.7	- 7	79 48 4	—	2 57	—	79 35 5
☉	"	46	10.0	281 46 30	24 30	35 30	2.1	1.0	+ 19	79 39 31	—	2 55	—	78 58 4
☉	"	48	13.6	281 22 0	0 0	11 0	1.9	1.2	+ 12	80 4 8	—	3 2	—	80 22 48

B = 401.3 + 18'.3; T = + 12.3.

N:o 87. Campement 425. 1908 juin 10.

B = 368.3 + 13°.4; T = + 1°.1; D = 2^h 5^m 49^s.0; I = 1' 15" 20".

Objet d'observation.	Position de l'instrument.	Chronomètre.	Lecture du cercle.		Moyenne.		Niveau.			Distance zenitale observée.	Demi-diamètre.	Refraction.	Parallaxe.	Distance zenitale géocentrique.
☉	C. D.	14 ^h 40 ^m 14 ^s .4	295	31' 15"	9' 30"	20' 23"	0.5	3.0	- 41"	65 55' 38"	15' 46"	1' 10"	8"	66 12' 26"
☉		42 10.0	295	55 5	32 30	43 48	1.4	2.1	- 12	65 31 44	—	1 9	—	65 48 31
☉	"	44 10.0	295	47 50	25 30	36 40	1.4	2.1	- 12	65 38 52	—	1 9	—	65 24 7
☉	"	46 8.4	296	12 30	50 0	1 15	1.8	1.8	0	65 14 5	—	1 8	—	64 59 19
☉	C. G.	48 11.2	66	13 10	51 40	2 25	3.0	0.5	+ 41	64 47 46	—	1 7	—	64 32 59
☉	"	50 19.2	65	46 45	26 0	36 23	1.8	1.8	0	64 21 3	—	1 6	—	64 6 15
☉	"	52 12.8	64	51 30	30 30	41 0	1.5	2.0	- 8	63 25 32	—	1 3	—	63 42 13
☉	"	54 8.4	64	27 0	5 55	16 28	0.8	2.7	- 32	63 0 36	—	1 2	—	63 17 16
☉	"	56 12.8	64	0 30	39 50	50 10	1.7	1.9	- 3	62 34 47	—	1 0	—	62 51 25
☉	"	58 10.8	63	35 30	14 35	25 3	2.2	1.3	+ 15	62 9 58	—	0 59	—	62 26 35
☉	"	15 0 10.0	63	43 0	21 50	32 25	1.9	1.8	+ 2	62 17 7	—	0 59	—	62 2 12
☉	"	2 15.6	63	16 40	55 30	6 5	2.2	1.3	+ 15	61 51 0	—	0 59	—	61 36 5
☉	C. D.	4 11.6	299	59 40	36 30	48 5	1.8	1.8	0	61 27 15	—	0 58	—	61 12 19
☉	"	6 11.2	300	24 15	2 20	13 18	2.1	1.4	+ 12	61 1 50	—	0 57	—	60 46 53
☉	"	8 12.8	301	22 30	0 10	11 20	1.7	1.9	- 3	60 4 3	—	0 55	—	60 20 36
☉	"	10 9.2	301	47 0	24 30	35 45	2.2	1.3	+ 15	59 39 20	—	0 53	—	59 55 51

B = 368.4 + 11°.6; T = + 0°.6; D = 2^h 5^m 49^s.5.

N:o 88. Campement 426, Gyänör. 1908 juin 11.

B = 375.0 + 10°.6; T = + 10°.1; D = 2^h 5^m 54^s.5; I = 1' 15" 20".

☉	C. D.	1 ^h 36 ^m 37 ^s .6	284	18' 30"	56' 0"	7' 15"	0.4	2.8	- 40"	77 8' 45	15' 46"	2' 13"	9"	77 26' 35"
☉	"	38 18.4	283	57 45	35 30	46 38	1.8	1.3	+ 8	77 28 34	—	2 17	—	77 46 28
☉	"	40 6.0	283	4 15	42 0	53 8	2.1	1.1	+ 17	78 21 55	—	2 27	—	78 8 27
☉	"	42 8.4	282	39 50	17 30	28 40	1.8	1.3	+ 8	78 46 32	—	2 32	—	78 33 9
☉	C. G.	44 6.8	80	36 30	15 30	26 0	1.2	2.0	- 13	79 10 27	—	2 37	—	78 57 9
☉	"	46 10.4	81	0 30	40 10	50 20	1.5	1.7	- 3	79 34 57	—	2 43	—	79 21 45
☉	"	48 9.2	80	51 30	30 15	40 53	2.9	0.3	+ 43	79 26 16	—	2 41	—	79 44 34
☉	"	50 9.2	81	16 15	55 15	5 45	1.8	1.5	+ 5	79 50 30	—	2 48	—	80 8 55
☉	"	52 8.4	81	40 15	18 40	29 28	1.9	1.4	+ 8	80 14 16	—	2 54	—	80 32 47
☉	"	54 12.8	82	4 5	43 20	53 43	2.3	1.0	+ 22	80 38 45	—	3 1	—	80 57 23
☉	"	56 7.6	82	59 20	38 30	48 55	1.2	2.1	- 15	81 33 20	—	3 10	—	81 20 44
☉	"	58 8.4	83	23 0	2 10	12 35	1.3	2.0	- 12	81 57 3	—	3 28	—	81 44 36
☉	C. D.	2 0 12.4	279	4 0	41 50	52 55	1.6	1.0	0	82 22 25	—	3 39	—	82 10 9
☉	"	2 6.0	278	41 45	20 0	30 53	1.8	1.5	+ 5	82 44 22	—	3 49	—	82 32 16
☉	"	4 11.2	278	48 45	27 0	37 53	2.1	1.1	+ 17	82 37 10	—	3 45	—	82 56 32
☉	"	6 12.4	278	25 15	3 10	14 13	1.8	1.5	+ 5	83 1 2	—	3 57	—	83 20 36

B = 375.0 + 14°.4; T = + 8°.0; D = 2^h 5^m 54^s.5.

N:o 89. Campement 427. 1908 juin 12.

B = 370.9 + 22.4; T = + 13.0; D = 2^h 6^m 14.5; I = 1 15' 20".

Objet d'observation.	Position de l'instrument.	Chronomètre.	Lecture du cercle.			Moyenne.	Niveau.			Distance zénithale observée.	Demi-diamètre.	Refraction.	Parallaxe.	Distance zénithale géocentrique
☉	C. D.	1 ^h 38 ^m 10.4	284	7' 10"	45' 0"	56' 5"	1.0	1.1	+ 13"	77 19' 2"	15' 46"	2' 12"	9"	77 36' 51"
☉		40 12.4	283	43 0	21 0	32 0	1.3	1.7	- 7	77 43 27	—	2 16	—	78 1 20
☉		42 12.0	282	46 50	25 45	36 18	2.4	0.7	+ 29	78 38 33	—	2 27	—	78 25 5
☉		44 8.4	282	23 50	1 45	12 48	2.1	1.1	+ 17	79 2 15	—	2 31	—	78 48 51
☉	C. G.	46 5.6	80	51 10	30 10	40 40	1.9	1.2	+ 12	79 25 32	—	2 37	—	79 12 14
☉		48 8.4	81	15 30	54 20	4 55	1.5	1.6	- 2	79 49 33	—	2 43	—	79 36 21
☉		50 10.4	81	8 0	47 0	57 30	1.2	1.9	- 12	79 41 58	—	2 41	—	80 0 16
☉		52 6.0	81	31 5	9 55	20 30	1.2	1.9	- 12	80 4 58	—	2 48	—	80 23 23
☉		54 13.0	81	56 50	35 20	46 5	1.5	1.6	- 2	80 30 43	—	2 55	—	80 49 15
☉		56 10.8	82	19 45	58 30	9 8	2.2	1.0	+ 20	80 54 8	—	3 2	—	81 12 47
☉		58 7.0	83	14 55	53 55	4 25	2.0	1.1	+ 15	81 49 20	—	3 21	—	81 36 46
☉		2 0 6.8	83	38 0	17 0	27 30	1.2	2.0	- 13	82 11 57	—	3 30	—	81 59 32
☉	C. D.	2 6.4	278	49 30	27 30	38 30	1.9	1.3	+ 10	82 36 40	—	3 41	—	82 24 26
☉		4 7.2	278	26 0	4 0	15 0	1.4	1.8	- 7	83 0 27	—	3 53	—	82 48 25
☉		6 11.2	278	34 0	11 35	22 48	1.2	2.1	- 15	82 52 47	—	3 49	—	83 12 13
☉		8 12.0	278	10 0	48 15	59 8	1.3	1.9	- 10	83 16 22	—	4 0	—	83 35 59

B = 370.9 + 19.7; T = + 10.0; D = 2^h 6^m 28.0.

N:o 90. Campement 428. 1908 juin 13.

B = 376.0 + 12.8; T = + 5.5; D = 2^h 6^m 14.5; I = 1 15' 20".

☉	C. D.	14 ^h 15 ^m 30.4	290	1' 50"	30' 0"	50' 25"	2.2	1.1	+ 19"	71 24' 36"	15' 46"	1' 33"	8"	71 41' 47"
☉		17 8.4	290	21 30	59 30	10 30	2.5	1.8	+ 12	71 4 38	—	1 32	—	71 21 48
☉		19 10.4	290	15 10	52 55	4 3	1.1	2.2	- 19	71 11 36	—	1 32	—	70 57 14
☉		21 12.4	290	40 20	18 0	29 10	2.5	1.8	+ 12	70 45 58	—	1 31	—	70 31 35
☉	C. G.	23 11.6	71	48 45	27 40	38 13	1.5	1.9	- 7	70 22 46	—	1 28	—	70 8 20
☉		25 14.8	71	23 0	1 40	12 20	1.8	1.5	+ 5	69 57 5	—	1 26	—	69 42 37
☉		27 14.0	70	25 0	4 20	14 40	2.2	1.1	+ 19	68 59 39	—	1 22	—	69 16 39
☉		29 8.0	70	2 20	41 10	51 45	2.4	0.9	+ 25	68 36 50	—	1 20	—	68 53 48
☉		31 10.4	69	37 30	16 10	26 50	1.3	2.1	- 13	68 11 17	—	1 19	—	68 28 14
☉		33 9.2	69	13 0	51 40	2 20	1.2	2.1	- 15	67 46 45	—	1 16	—	68 3 39
☉		35 10.0	69	19 50	59 0	9 25	1.2	2.1	- 15	67 53 50	—	1 17	—	67 39 13
☉		37 10.4	68	55 10	33 45	44 28	1.5	1.7	- 3	67 29 5	—	1 15	—	67 14 26
☉	C. D.	39 29.2	294	26 20	4 30	15 25	0.9	2.3	- 24	67 0 19	—	1 14	—	66 45 39
☉		41 13.2	294	48 20	26 0	37 10	0.9	2.4	- 25	66 38 35	—	1 13	—	66 23 54
☉		43 16.4	295	45 30	23 30	34 30	1.2	2.1	- 15	65 41 5	—	1 15	—	65 57 58
☉		45 10.4	296	10 10	47 40	58 55	0.6	2.8	- 36	65 17 1	—	1 8	—	65 33 47

B = 376.0 + 14.0; T = + 6.0; D = 2^h 6^m 14.5.

N:o 91. Campement 433. 1908 juin 20.

B = 386.0 + 11.3; T = + 4.8; D = 2^h 7^m 9^s.5; I = 1' 15" 20".

Objet d'observation.	Position de l'instrument.	Chronomètre.	Lecture du cercle.		Moyenne.		Niveau.		Distance zénithale observée.	Demi-diamètre	Réfraction.	Parallaxe.	Distance zénithale géocentrique.	
☉	C. D.	14 ^h 27 ^m 7 ^s .2	291	53' 30"	31' 5"	42' 18"	0.8	2.6	30"	69 33' 32"	15' 46"	1' 27"	8"	69 50' 37"
☉		29	8.4	292 18 0	55 30	6 45	1.5	1.9	- 7	69 8 42	—	1 25	—	69 25 45
☉		31	12.4	292 11 30	48 55	0 13	0.9	2.5	- 27	69 15 34	—	1 25	—	69 1 5
☉		33	10.4	292 35 50	13 10	24 30	0.9	2.5	- 27	68 51 17	—	1 24	—	68 36 47
☉	C. G.	35	18.4	69 50 30	29 30	40 0	2.4	1.0	+ 24	68 25 4	—	1 22	—	68 10 32
☉	,	37	13.2	69 26 30	5 30	16 0	1.9	1.6	+ 5	68 0 45	—	1 20	—	67 46 11
☉		39	14.0	68 28 50	8 0	18 25	1.4	2.0	- 10	67 2 55	—	1 17	—	67 19 50
☉		41	9.6	68 4 55	43 15	54 5	2.0	1.3	+ 12	66 38 57	—	1 15	—	66 55 50
☉		43	10.0	67 39 50	18 30	29 10	1.9	1.3	+ 10	66 14 0	—	1 13	—	66 30 51
☉		45	8.8	67 14 50	54 0	4 25	1.7	1.5	+ 3	65 49 8	—	1 12	—	66 5 58
☉	,	47	12.4	67 22 10	1 20	11 45	2.0	1.3	+ 12	65 56 37	—	1 13	—	65 41 56
☉	,	49	13.6	66 57 20	36 20	46 50	2.0	1.3	+ 12	65 31 42	—	1 11	—	65 16 59
☉	C. D.	51	21.2	296 22 0	0 0	11 0	0.4	2.9	- 41	65 5 1	—	1 10	—	64 50 17
☉		53	13.2	296 45 0	22 30	33 45	0.9	2.4	- 35	64 42 0	—	1 9	—	64 27 15
☉	,	55	14.0	297 43 0	20 30	31 45	1.0	2.2	- 20	63 43 55	—	1 5	—	64 0 38
☉		57	10.4	298 7 0	44 50	55 55	1.0	2.4	- 24	63 19 49	—	1 4	—	63 36 31

B = 386.7 + 14.3; T = + 6.0; D = 2^h 7^m 9^s.5.

N:o 92. Campement 435. 1908 juin 22.

B = 381.7 + 9.3; T = + 3.3; D = 2^h 7^m 26^s.0; I = 1' 15" 20".

☉	C. D.	14 ^h 43 ^m 10 ^s .4	294	52' 30"	30' 45"	41' 38"	1.8	1.7	+ 2"	66 33' 40"	15' 46"	1' 14"	8"	66 50 32
☉	,	45	9.0	295 16 50	54 40	5 45	1.7	1.8	- 2	66 9 37	—	1 13	—	66 26 28
☉		47	9.6	295 9 55	47 55	58 55	1.4	2.0	- 10	66 16 35	—	1 14	—	66 1 55
☉	,	49	11.2	295 35 15	13 10	24 13	1.5	1.8	- 5	65 51 12	—	1 12	—	65 30 50
☉	C. G.	51	8.4	66 53 50	32 30	43 10	2.0	1.2	+ 13	65 28 3	—	1 11	—	65 13 20
☉		53	11.6	66 28 0	6 55	17 28	1.8	1.6	+ 3	65 2 11	—	1 9	—	64 47 26
☉		55	4.4	65 22 55	2 10	12 33	2.7	0.6	+ 35	63 57 48	—	1 6	—	64 14 32
☉		57	10.0	64 52 50	32 20	42 55	1.8	1.0	+ 3	63 27 18	—	1 4	—	63 44 0
☉		59	10.0	64 28 15	7 10	17 43	2.2	1.1	+ 19	63 2 42	—	1 3	—	63 19 25
☉	15	1	8.8	64 3 35	42 30	53 3	1.8	1.5	+ 5	62 57 48	—	1 2	—	62 54 28
☉		3	10.4	64 10 15	49 0	59 38	2.7	0.5	+ 30	62 44 54	—	1 3	—	62 30 3
☉	,	5	10.0	63 44 50	24 15	34 33	2.4	0.8	+ 27	62 19 40	—	1 2	—	62 4 48
☉	C. D.	7	24.8	299 34 30	12 30	23 30	1.2	1.9	- 12	61 52 2	—	1 1	—	61 37 9
☉		9	11.6	299 56 50	34 30	45 40	1.6	1.6	0	61 29 40	—	0 59	—	61 14 45
☉		11	15.2	300 55 0	32 40	43 50	1.4	1.8	- 7	60 51 37	—	0 57	—	60 48 12
☉		13	11.2	301 19 45	57 0	8 23	1.2	1.8	- 10	60 7 7	—	0 50	—	60 23 41

B = 381.3 + 12.9; T = + 4.3; D = 2^h 7^m 26^s.0.

N:o 93. Campement 437. 1908 juin 24.

B = 395.5 + 17.5; T = + 8.2; D = 2^h 7^m 43^s.5; I = 1 15' 20".

Objet d'observation.	Position de l'instrument.	Chronomètre.	Lecture du cercle.		Moyenne.	Niveau.			Distance zénithale observée.	Demi-diamètre.	Réfraction.	Parallaxe.	Distance zénithale géocentrique.
☉	C. D.	14 ^h 12 ^m 8 ^s .4	288 31' 20"	9' 10"	20' 15"	0.3	3.3	- 60"	72 56' 5"	15' 45"	1' 47"	8"	73° 13' 29"
☉		14 12.4	288 55 40	33 30	44 35	1.3	1.9	- 10	72 30 55	—	1 44	—	72 48 16
☉		16 10.0	288 47 30	25 15	36 23	1.4	1.7	- 5	72 39 2	—	1 45	—	72 24 54
☉		18 14.0	289 12 0	50 10	1 5	1.9	1.3	+ 10	72 14 5	—	1 42	—	71 59 54
☉	C. G.	20 9.2	73 16 20	55 45	6 3	1.6	1.5	+ 2	71 50 45	—	1 40	—	71 36 32
☉		22 12.4	72 51 20	30 10	40 45	1.4	1.7	- 5	71 25 20	—	1 37	—	71 11 4
☉		24 11.6	71 55 50	34 0	44 55	1.5	1.7	- 3	70 29 32	—	1 33	—	70 46 42
☉		26 9.2	71 30 45	9 30	20 8	1.8	1.4	+ 7	70 4 55	—	1 30	—	70 22 2
☉		28 10.4	71 5 35	44 35	55 5	1.5	1.7	- 3	69 39 42	—	1 29	—	69 56 48
☉		32 16.8	70 15 25	54 0	4 43	1.6	1.6	0	68 49 23	—	1 25	—	69 6 24
☉		34 10.4	70 24 10	3 10	13 40	2.0	1.1	+ 15	68 58 35	—	1 21	—	68 44 7
☉		36 9.6	69 59 55	38 0	48 58	1.9	1.2	+ 12	68 33 50	—	1 24	—	68 19 21
☉	C. D.	38 9.2	293 17 50	55 30	6 40	0.5	2.7	- 36	68 9 16	—	1 22	—	67 54 45
☉		40 11.6	293 42 30	20 20	31 25	1.0	2.2	- 20	67 44 15	—	1 20	—	67 29 42
☉		42 14.8	294 40 0	17 20	28 40	1.0	2.1	- 19	66 46 59	—	1 17	—	67 3 53
☉		44 14.8	295 4 30	42 30	53 30	0.9	2.2	- 22	66 22 12	—	1 15	—	66 39 4

B = 395.7 + 16.5; T = + 9.9; D = 2^h 7^m 44^s.0.

N:o 94. Campement 439. 1908 juin 26.

B = 395.2 + 14.8; T = + 4.1; D = 2^h 8^m 08^s.0; I = 1 15' 20".

☉	C. D.	14 ^h 25 ^m 10 ^s .4	290° 49' 30"	28' 0"	38' 45"	1.7	1.6	+ 2"	70 36' 33"	15' 45"	1' 35"	8"	70° 53' 45"
☉		27 11.2	291 14 45	52 30	3 38	1.4	1.8	- 7	70 11 49	—	1 33	—	70 28 59
☉		29 8.8	291 7 0	45 0	56 0	0.7	2.7	- 33	70 19 53	—	1 33	—	70 5 33
☉		31 12.0	291 32 5	9 30	20 48	2.0	1.2	+ 13	69 54 19	—	1 31	—	69 39 57
☉	C. G.	33 9.2	70 57 30	35 30	46 30	1.8	1.5	+ 5	69 31 15	—	1 29	—	69 16 51
☉		35 14.8	70 31 15	10 0	20 38	1.5	1.7	- 3	69 5 15	—	1 27	—	68 50 49
☉		37 12.0	69 35 30	14 30	25 0	-3.5	6.7	- 169	68 6 51	—	1 22	—	68 23 50
☉		39 10.4	69 10 0	48 30	59 15	2.0	1.1	+ 15	67 44 10	—	1 21	—	68 1 8
☉		41 10.4	68 45 30	24 15	34 53	2.2	0.9	+ 22	67 19 55	—	1 19	—	67 36 51
☉		43 9.2	68 21 0	0 0	10 30	2.2	1.0	+ 20	66 55 30	—	1 17	—	67 12 24
☉		45 6.8	68 28 30	7 45	18 8	2.1	1.0	+ 19	67 3 7	—	1 18	—	66 48 32
☉		47 10.0	68 3 20	42 15	52 48	1.5	1.7	- 3	66 37 25	—	1 16	—	66 22 48
☉	C. D.	49 9.6	295 13 45	51 45	2 45	1.0	2.2	- 20	66 12 55	—	1 14	—	65 58 16
☉		51 8.8	295 38 15	16 0	27 8	1.8	1.3	+ 8	65 48 4	—	1 13	—	65 33 24
☉		53 16.4	296 37 0	15 0	26 0	0.8	2.3	- 25	64 49 45	—	1 9	—	65 6 31
☉		55 8.4	297 0 15	37 30	48 53	1.3	1.7	- 7	64 26 34	—	1 8	—	64 43 19

B = 395.4 + 14.8; T = 12.6; D = 2^h 8^m 08^s.5.

N:o 95. Campement 441. 1908 juin 30.

B = 393.5 + 10.1; T = + 4.1; D = 2^h 8^m 40^s.6.

Objet d'observation.	Position de l'instrument.	Chronomètre.	Lecture du cercle.		Moyenne.	Niveau.			Distance zénithale observée.	Demi-diamètre.	Réfraction.	Parallaxe.	Distance zénithale géocentrique.
☉	C. D.	14 ^h 17 ^m 8 ^s .0	288	39' 10"	17' 30"	—	1.8	1.8	—	—	—	—	—
☉	»	19 10.0	289	4 30	42 20	—	2.5	1.0	—	—	—	—	—
☉	:	21 10.4	288	57 30	35 30	—	1.4	1.0	—	—	—	—	—
☉	»	23 9.2	289	21 30	59 45	—	0.8	2.6	—	—	—	—	—
☉	C. G.	27 17.2	72	40 30	19 20	—	1.1	2.2	—	—	—	—	—

Nuages. B = 393.2 + 10.3; T = + 4.5; D = 2^h 8^m 40^s.6.

N:o 96. Campement 443. 1908 juillet 5.

B = 380.9 + 15.3; T = + 12.1; D = 2^h 9^m 17^s.5; I = 1' 15" 20".

☉	C. D.	1 ^h 41 ^m 12 ^s .8	285	55' 10"	33' 10"	44' 10"	1.7	1.5	+ 3"	75 31' 7"	15' 45"	1' 59"	9'	75 48' 42"
☉		43 10.0	285	31 45	9 50	20 48	1.8	1.3	+ 8	75 54 24	—	2 3	—	76 12 3
☉		45 7.6	284	35 55	14 20	25 8	0.8	2.3	- 25	76 50 37	—	2 11	—	76 36 54
☉	»	47 9.6	284	10 45	49 20	0 3	1.2	2.0	- 13	77 15 30	—	2 17	—	77 1 53
☉	C. G.	49 8.8	79	5 30	44 45	55 8	1.5	1.7	- 3	77 39 45	—	2 21	—	77 26 12
☉	»	51 8.4	79	29 15	8 0	18 38	1.5	1.7	- 3	78 3 15	—	2 25	—	77 49 46
☉		53 10.8	79	20 35	59 55	10 15	2.5	0.7	+ 30	77 55 25	—	2 24	—	78 13 25
☉		55 7.2	79	44 30	23 35	34 3	1.5	1.7	- 3	78 18 40	—	2 28	—	78 36 44
☉		57 9.6	80	8 20	47 55	58 8	1.4	1.8	- 7	78 42 41	—	2 34	—	79 0 51
☉	»	59 9.6	80	32 35	11 30	22 3	1.5	1.6	- 2	79 6 41	—	2 39	—	79 24 56
☉		2 1 10.4	81	28 30	6 45	17 38	2.0	1.1	+ 15	80 2 33	—	2 53	—	79 49 32
☉		3 7.6	81	51 15	30 20	40 48	2.5	0.0	+ 32	80 26 0	—	3 0	—	80 13 6
☉	C. D.	5 8.4	280	34 30	12 20	23 25	1.9	1.3	+ 10	80 51 45	—	3 8	—	80 38 59
☉		7 10.4	280	10 45	49 0	59 53	1.0	1.3	+ 10	81 15 17	—	3 10	—	81 2 39
☉		9 12.4	280	19 15	57 0	8 8	1.7	1.5	+ 3	81 7 9	—	3 13	—	81 25 58
☉	»	11 10.8	279	56 10	34 20	45 15	1.1	2.1	- 17	81 30 22	—	3 21	—	81 49 19

B = 381.0 + 15.9; T = + 10.1; D = 2^h 9^m 18^s.6.

N:o 97. Campement 448. 1908 juillet 10.

$$B = 381.0 + 13.0; T = + 4.8; D = 2^h 9^m 58^s.5; I = 1' 15'' 20''.$$

Objet d'observation.	Position de l'instrument.	Chronomètre.	Lecture du cercle.		Moyenne.	Niveau.			Distance zénithale observée.	Demi-diamètre.	Réfraction.	Parallaxe.	Distance zénithale géocentrique.
☉	C. D.	15 ^h 3 ^m 16 ^s .4	296 21' 30"	0' 15"	10' 53"	1.0	1.5	+ 7"	65° 4' 20"	15' 46"	1' 7"	8"	65° 21' 5"
☉		5 13.6	296 46 45	25 0	35 53	1.3	2.0	- 12	64 39 39	—	1 6	—	64 56 23
☉		7 10.4	296 39 45	17 30	28 38	1.2	2.1	- 15	64 46 57	—	1 6	—	64 32 9
☉		9 17.2	297 5 45	44 0	54 53	1.1	2.2	- 19	64 20 46	—	1 5	—	64 5 57
☉	C. G.	11 11.2	65 22 15	1 45	12 0	1.7	1.7	0	63 56 40	—	1 4	—	63 41 50
☉		13 11.6	64 57 30	36 20	46 55	1.7	1.7	0	63 31 35	—	1 3	—	63 16 44
☉		15 13.2	64 0 15	39 0	49 38	0.2	3.0	- 46	62 33 32	—	1 0	—	62 50 10
☉		17 11.2	63 34 0	13 0	23 30	1.5	2.7	- 20	62 7 50	—	0 59	—	62 24 27
☉		19 9.2	63 8 55	48 0	58 28	2.1	1.1	+ 17	61 43 25	—	0 58	—	62 0 1
☉		21 13.2	62 43 0	21 50	32 25	2.5	0.8	+ 29	61 17 34	—	0 57	—	61 34 9
☉		23 8.8	62 50 30	29 55	40 13	2.7	0.7	+ 33	61 25 26	—	0 58	—	61 10 30
☉		25 12.4	62 24 30	3 55	14 13	2.5	0.8	+ 29	60 59 22	—	0 57	—	60 44 25
☉	C. D.	27 10.8	300 51 20	29 30	40 25	2.0	1.3	+ 12	60 34 43	—	0 56	—	60 19 45
☉		29 13.6	301 17 55	55 30	6 43	1.3	2.0	- 12	60 8 49	—	0 55	—	59 53 50
☉		31 13.2	302 14 50	53 0	3 55	0.9	2.4	- 25	59 11 50	—	0 53	—	59 28 21
☉		33 9.6	302 39 30	17 50	28 40	1.0	2.3	- 22	58 47 2	—	0 52	—	59 3 32

$$B = 371.0 + 13.0; T = + 4.3; D = 2^h 9^m 58^s.0.$$

N:o 98. Campement 451. Tokchen supérieur. 1908 juillet 15.

$$B = 397.6 + 10.6; T = + 6.0; D = 2^h 10^m 34^s.0; I = 1' 15'' 20''.$$

☉	C. D.	15 ^h 22 ^m 7 ^s .6	299 35' 30"	12' 50"	24' 10"	1.5	1.0	- 7"	61 51' 17"	15' 46"	1' 3"	8"	62 7' 58"
☉		24 8.8	300 0 15	38 50	49 33	1.5	1.9	- 7	61 25 54	—	1 2	—	61 42 34
☉		26 8.4	299 53 40	32 0	42 50	1.1	2.3	- 20	61 32 50	—	1 2	—	61 17 58
☉		28 9.6	300 19 50	58 40	9 15	1.2	2.1	- 15	61 6 20	—	1 0	—	60 51 26
☉	C. G.	30 10.8	62 6 15	45 45	56 0	2.3	1.0	+ 22	60 41 2	—	0 59	—	60 26 7
☉		32 14.0	61 40 30	19 45	30 8	2.5	0.8	+ 29	60 15 17	—	0 59	—	60 0 22
☉		34 18.4	60 41 45	21 15	31 30	1.3	2.0	- 12	59 15 58	—	0 56	—	59 32 32
☉		36 12.8	60 17 55	57 15	7 35	1.6	1.8	- 3	58 52 12	—	0 55	—	59 8 45
☉		38 17.2	59 51 50	31 30	41 40	2.0	1.3	+ 12	58 26 32	—	0 55	—	58 43 5
☉		40 12.0	59 26 30	6 0	16 15	2.0	1.3	+ 12	58 1 7	—	0 54	—	58 17 39
☉		42 7.6	59 33 30	13 0	23 15	2.4	0.9	+ 25	58 8 20	—	0 54	—	57 53 20
☉		44 13.2	59 7 10	46 30	56 50	2.4	0.9	+ 25	57 41 55	—	0 53	—	57 26 54
☉	C. D.	46 14.8	304 10 30	49 0	59 45	0.7	2.7	- 33	57 16 8	—	0 52	—	57 1 6
☉		48 45.6	304 42 30	21 15	31 53	1.1	2.2	- 19	56 43 46	—	0 51	—	56 28 43
☉		50 13.2	305 32 30	10 40	21 35	1.9	1.4	+ 8	55 53 37	—	0 50	—	56 10 5
☉		52 10.8	305 58 0	36 20	47 10	1.8	1.7	+ 2	55 28 8	—	0 49	—	55 44 35

$$B = 398.0 + 11.8; T = + 7.0; D = 2^h 10^m 35^s.0.$$

N:o 99. Campement 459, Tirtapuri-yung (une journée E. du monastère Tirtapuri). 1908 juillet 31.

$$B = 408.0 + 15^{\circ}.3; T = + 15^{\circ}.6; D = 2^h 12^m 48^s.5; I = 1^{\circ} 15' 20''.$$

Objet d'observation.	Position de l'instrument.	Chronomètre.	Lecture du cercle.		Moyenne.	Niveau.		Distance zénithale observée.	Demi-diamètre.	Réfraction.	Parallaxe.	Distance zénithale géocentrique.	
☉	C. D.	1 ^h 16 ^m 8 ^s .4	291° 26' 10"	4' 45"	15' 28"	1.4	1.5	- 2"	69° 59' 54"	15' 47"	1' 30"	8"	70° 17' 3"
☉	»	18 8.8	291 1 20	40 0	50 40	1.3	1.6	- 5	70 24 45	—	1 32	»	70 41 56
☉	»	20 7.2	290 4 45	43 0	53 53	1.0	1.9	- 15	71 21 42	—	1 38	»	71 7 25
☉	»	23 9.2	289 27 0	5 5	16 3	-0.5	3.4	- 65	72 0 22	—	1 41	»	71 46 8
☉	C. G.	25 7.2	73 51 10	30 20	40 45	1.3	1.7	- 7	72 25 18	—	1 44	»	72 11 7
☉	»	27 10.4	74 17 20	57 0	7 10	0.7	2.2	- 25	72 51 25	—	1 47	»	72 37 17
☉	»	29 10.4	74 10 45	50 10	0 28	0.9	2.1	- 20	72 44 48	—	1 46	»	73 2 13
☉	»	31 11.6	74 35 30	15 0	25 15	1.1	1.9	- 13	73 9 42	—	1 49	»	73 27 10
☉	»	33 11.6	75 0 50	40 15	50 33	1.2	1.8	- 10	73 35 3	—	1 52	»	73 52 34
☉	»	35 12.0	75 26 0	5 30	15 45	1.6	1.4	+ 3	74 0 28	—	1 55	»	74 18 2
☉	»	37 10.0	76 22 30	2 0	12 15	1.8	1.2	+ 10	74 57 5	—	2 3	»	74 43 13
☉	»	39 9.6	76 47 0	26 30	36 45	2.0	1.0	+ 17	75 21 42	—	2 6	9	75 7 52
☉	C. D.	41 8.0	285 40 10	18 30	29 20	1.3	1.7	- 7	75 46 7	—	2 9	»	75 32 20
☉	»	43 10.0	285 14 45	53 0	3 53	3.0	0.0	+ 50	76 10 37	—	2 14	»	75 56 55
☉	»	45 9.6	285 22 30	0 30	11 30	1.9	1.1	+ 13	76 3 37	—	2 13	»	76 21 28
☉	»	47 9.6	284 58 0	36 30	47 15	0.9	2.1	- 20	76 28 25	—	2 17	»	76 46 20

$$B = 407.7 + 16^{\circ}.2; T = + 12^{\circ}.6; D = 2^h 12^m 49^s.0.$$

N:o 100. Campement 476. 1908 août 19.

$$B = 417.2 + 20^{\circ}.5; T = + 18^{\circ}.7; D = 2^h 16^m 25^s.0; I = 1^{\circ} 15' 20''.$$

☉	C. D.	1 ^h 14 ^m 9 ^s .2	290° 31' 20"	9' 35"	20' 28"	1.0	1.8	- 13"	70° 55' 5"	—	—	—	—
☉	»	16 8.0	290 6 0	44 50	55 25	0.9	1.9	- 17	71 20 12	—	—	—	—
☉	»	18 15.6	289 6 15	45 0	55 38	1.2	1.6	- 7	72 19 49	—	—	—	—
☉	»	20 10.4	288 42 30	21 30	32 0	0.6	2.2	- 27	72 43 47	—	—	—	—
☉	C. G.	22 7.2	74 33 0	12 15	22 38	1.7	1.1	+ 10	73 7 28	—	—	—	—
☉	»	24 11.2	74 59 20	39 0	49 10	1.5	1.3	+ 3	73 33 53	—	—	—	—
☉	»	26 11.2	74 52 30	32 0	42 15	1.7	1.1	+ 10	73 27 5	—	—	—	—
☉	»	28 11.2	75 17 30	57 0	7 15	2.0	0.8	+ 20	73 52 15	—	—	—	—
☉	»	30 9.6	75 42 30	22 0	32 15	2.0	0.8	+ 20	74 17 15	—	—	—	—
☉	»	32 11.6	76 8 0	47 30	57 45	1.8	1.1	+ 12	74 42 37	—	—	—	—
☉	»	34 10.0	77 4 55	44 30	54 43	1.8	1.1	+ 12	75 39 35	—	—	—	—
☉	»	36 9.2	77 29 55	9 30	19 43	2.1	0.7	+ 24	76 4 47	—	—	—	—
☉	C. D.	38 18.0	284 53 30	32 0	42 45	0.3	2.4	- 35	76 33 10	—	—	—	—
☉	»	40 9.6	284 29 55	8 15	19 5	2.7	0.1	+ 43	76 55 32	—	—	—	—
☉	»	42 9.6	284 37 15	15 30	26 23	1.6	1.2	+ 7	76 48 50	—	—	—	—
☉	»	44 12.4	284 12 0	50 30	1 15	1.0	1.9	- 15	77 14 20	—	—	—	—

$$B = 417.4 + 18^{\circ}.6; T = + 15^{\circ}.7; D = 2^h 16^m 25^s.0.$$

Table des lectures barométriques, réduites à 0° et à pesanteur normale.

Lieu d'obs.	Lect. bar. (mm.)	Lieu d'obs.	Lect. bar.	Lieu d'obs.	Lect. bar.	Lieu d'obs.	Lect. bar.	Lieu d'obs.	Lect. bar.	Lieu d'obs.	Lect. bar.	Lieu d'obs.	Lect. bar.
1	414.8	16	428.4	31	426.1	46	427.3	61	449.7	76	428.4	91	419.4
»	415.3	»	428.3	»	426.5	»	427.4	»	449.5	»	428.7	»	420.1
2	410.7	17	435.5	32	434.6	47	436.0	62	453.9	77	424.9	92	413.9
»	411.2	»	434.9	»	436.6	»	435.8	»	453.8	»	426.1	»	413.5
3	413.1	18	436.4	33	434.3	48	435.7	63	457.5	78	418.7	93	429.4
»	412.4	»	436.2	»	434.8	»	435.6	»	458.1	»	418.5	»	429.8
4	419.1	19	424.3	34	435.9	49	435.7	64	453.3	79	418.5	94	429.8
»	418.9	»	424.4	»	435.8	»	—	»	452.7	»	419.0	»	430.0
5	422.4	20	427.9	35	444.1	50	411.3	65	460.0	80	430.0	95	427.7
»	422.8	»	428.7	»	445.1	»	411.5	»	459.4	»	429.9	»	427.6
6	417.2	21	419.6	36	423.1	51	392.0	66	465.0	81	432.9	96	413.2
»	417.3	»	419.4	»	423.5	»	391.8	»	464.9	»	433.5	»	413.3
7	417.3	22 (A)	470.8	37	434.7	52	410.5	67	402.9	82	432.5	97	401.9
»	418.1	»	471.9	»	435.7	»	410.6	»	403.4	»	432.6	»	401.9
8	402.6	23	449.7	38	435.1	53	406.7	68	414.4	83	414.5	98	432.4
»	403.3	»	450.7	»	435.2	»	406.7	»	413.8	»	414.8	»	432.8
9	408.0	24	440.0	39	433.5	54	424.7	69	409.7	84	428.0	99	442.3
»	408.9	»	440.6	»	433.4	»	424.2	»	408.8	»	427.9	»	442.0
10	425.0	25	413.0	40	431.7	55	425.5	70	418.1	85	434.4	100	452.8
»	425.3	»	413.9	»	431.8	»	425.3	»	418.3	»	434.6	»	453.0
11	405.7	26	434.0	41	422.4	56	434.0	71	421.8	86	435.6		
»	405.0	»	434.2	»	422.2	»	433.8	»	421.9	»	435.8		
12	415.6	27	426.7	42	423.3	57	436.3	72	408.0	87	398.4		
»	415.4	»	426.8	»	423.2	»	436.3	»	408.1	»	398.5		
13	426.9	28	425.2	43	421.0	58	434.5	73	426.3	88	406.4		
»	427.1	»	425.1	»	423.9	»	434.4	»	—	»	406.4		
14	436.2	29	420.4	44	413.0	59	421.5	74	427.1	89	401.0		
»	436.7	»	420.9	»	413.1	»	421.6	»	427.0	»	401.0		
15	443.6	30	419.1	45	416.4	60	445.2	75	429.8	90	407.1		
»	442.7	»	420.0	»	416.5	»	445.5	»	429.3	»	407.2		

B. LE CALCUL DES OBSERVATIONS.

Définitions.

z la distance zénithale.
 A l'azimut.
 t l'angle horaire.
 δ la déclinaison.
 α l'ascension droite.
 p l'angle parallactique.
 φ la latitude.
 λ la longitude.
 γ la correction du chronomètre.

$\Delta\gamma$ la marche diurne du chronomètre.
 Z la moyenne des z appartenant à un groupe d'observations.
 τ la lecture du chronomètre d'observation.
 T la moyenne des τ appartenant à un groupe d'observations.
 I, i l'erreur de l'index.
 r l'erreur de l'irradiation.

I. La réduction aux positions géocentriques.

Les observations astronomiques, qui sont faites par le docteur Hedin pendant son expédition de 1906—08, consistent exclusivement de distances zénithales solaires, prises le matin ou le soir. Chaque série d'observations complète contient 16 observations, prises en même nombre C. G. et C. D. et pour les bords supérieur et inférieur du soleil d'après la règle suivante:

C. D.		C. G.		C. G.		C. D.
☉ ☉ ☉ ☉		☉ ☉ ☉ ☉		☉ ☉ ☉ ☉		☉ ☉ ☉ ☉
1 2 3 4		5 6 7 8		9 10 11 12		13 14 15 16

L'instrument employé était le même instrument universel, fabriqué par M. Hildebrand à Freiburg, avec lequel les observations de la dernière expédition avait été faites. La lecture C. G. donne, après que l'erreur de l'index a été ajoutée, la distance zénithale observée. Pour C. D. la même distance est obtenue en ôtant la lecture de 360° . Pendant l'expédition 1906—08 l'erreur de l'index était considérable et ne pouvait pas être négligée au calcul des observations.

L'erreur de l'index était calculée de la manière suivante. Des troisième et quatrième, cinquième et sixième z - et τ -lectures on obtenait la variation de z par seconde. A l'aide de cette variation la quatrième distance zénithale était réduite au moment de la cinquième. La différence de ces deux nombres est l'erreur double de l'index. Le même calcul fut répété pour les onzième, douzième, treizième et quatorzième distances zénithales. De cette manière les nombres du tableau suivant ont été obtenus. A leur application ils furent un peu modifiés. Les nombres approximativement égaux qui ont été employés à la réduction aux positions géocentriques sont donnés ci-dessus.

L'erreur de l'index (à ajouter à z C. D.)

Lieu d'obs.	l.	Lieu d'obs.	l.	Lieu d'obs.	l.
N:o 1	+ 0° 11' 16"	N:o 42	+ 1° 20' 40"	N:o 77	+ 1° 15' 34"
» 5	+ 0 10 12	» 48	+ 1 21 4	» 78	+ 1 15 8
» 22	+ 0 10 58	» 60	+ 1 20 52	» 79	+ 1 15 35
» 25	+ 0 10 30	» 61	+ 1 21 26	» 83	+ 1 15 5
» 26	+ 1° 23' 15"	» 65	+ 1 22 3	» 84	+ 1 15 17
» 32	+ 1 22 40	» 68	+ 1 22 24	» 98	+ 1 15 28
» 33	+ 1 22 23	» 73	+ 1 21 41	» 100	+ 1 14 38
» 34	+ 1 22 24	» 74	+ 1 22 11		
» 35	+ 1 20 42	» 76	+ 1 21 41		

On trouve qu'il y a eu de plus grandes variations dans l'erreur de l'index entre les lieux n:os 25 et 26 et entre n:os 76 et 77. D'ailleurs, il faut remarquer que l'erreur de l'index restante a été introduite comme un inconnu (i) dans les équations de condition, qui donnent la latitude. Ensuite, elle est complètement éliminée. La valeur entière de l'erreur de l'index est à chaque observation $I-i$.

Au calcul de la réfraction fut employé le tableau de $A \log B$, p. 246 dans le volume V: 2 de l'ouvrage de SVEN HEDIN: *Scientific results of a journey in Central Asia 1899—1902*.

II. La marche des chronomètres.

Pendant l'expédition en question furent employés les deux mêmes chronomètres n:os 5442 et 4889, fabriqués par Kullberg à Londres, que dans l'expédition précédente. Les lectures du temps, faites aux observations, se rapportent au n:o 5442. La marche des chronomètres est calculée des coordonnées des lieux suivants, dont la position a été fixée avec une plus grande degré d'exactitude.

Période.	Lieu.	Latitude.	Longitude (E. de Gr.)
1	N:o 1, Camp. 22	34° 54' 16"	5 ^h 27 ^m 5 ^s .0
1—2	» 22, Je	29 28 4	5 52 55.9
2—3	» 32, Saka-dsong	29 29 25	5 40 37.9
3—4	» 35, Tradum	29 38 43	5 36 44.4
4—5	» 60, Gartok	31 44 6	5 21 23.1
5—6	» 68, Camp. 302 = C. 9	35 6 52	5 19 16.0
6—7	» 79, Camp. 397	29 32 40	5 41 30.3
7	» 98, Camp. 451	30 42 56	5 26 44.4

Quant à la détermination des latitudes et des longitudes de ces lieux il faut remarquer ce qui suit:

N:o 1, Campement 22, fut pris de la carte de Rawling (Hedin C. 22 Rawling C. 27);

N:o 22, Je, fut pointé par le docteur Hedin sur la carte de Ryder;

» 32, Saka-dsong, fut pris de la carte de Ryder;

» 35, Tradum, » » » »

» 60, Gartok, » » » »

» 68, Campement 302 = Camp. 9, est un point commun à deux routes, qui se coupent. Les coordonnées sont déterminées de la route Camp. 1—Camp. 22;

N:o 79, Camp. 397, fut fixé par la combinaison de deux routes, qui se coupent dans le voisinage;

N:o 98, Camp. 451, fut pris de la carte de Ryder.

A l'aide des formules

$$s = \frac{1}{2}(z - \varphi - d); \operatorname{tg} \frac{1}{2} t = \sqrt{\frac{\sin(s + \varphi) \sin(s - d)}{\cos s \cos(s - z)}} \quad (1)$$

fut calculé l'angle horaire, qui correspond à Z , la moyenne des distances zénithales. Après, à cet angle horaire la correction fut ajoutée

$$dt = \frac{\cos A \cos \rho}{\sin t} \cdot \frac{\sum (\tau - T)^2}{2n} \cdot \frac{1}{\rho} \quad (2)$$

où ρ signifie le rayon du cercle, exprimé en secondes de temps. Ayant ajouté l'équation de temps et ôté la longitude, on obtient ainsi le temps moyen de Greenwich, qui correspond à T , la moyenne des lectures des chronomètres. Dans ce calcul chaque série d'observations de 16 distances zénithales fut partagée en deux parts. La valeur de γ , qui fut obtenue des 8 premières observations, et celle des 8 dernières se sont contrôlées. La moyenne en est le γ du chronomètre n:o 5442. Deux approximations ont toujours donné γ avec un degré suffisant d'exactitude. Après, à l'aide de la différence observée des chronomètres on trouve le γ du chronomètre n:o 4889.

Lieu d'observation.	Temps moyen de Greenwich.	Le chronomètre (1) n:o 5442.		Le chronomètre (2) n:o 4889.	
		γ	$J\gamma$	γ	$J\gamma$
N:o 1, Camp. 22 . . .	1906 sept. 25, 23 ^h 7	- 0 ^h 17 ^m 37 ^s .2	- 4 ^s 385	+ 32 ^m 10 ^s 3	+ 1 ^s 494
» 22, Je	1907 avril 1, 13.4	- 0 31 19.8	- 5.841	+ 36 50.5	+ 1.069
» 32, Saka-dsong . .	» juin 3, 12.8	- 0 37 27.7	- 5.395	+ 37 57.8	+ 2.514
» 35, Tradum	» » 18, 0.3	- 0 38 45.8	- 6.675	+ 38 34.2	+ 1.047
» 60, Gartok	» sept. 29, 23.3	- 0 50 19.8	- 4.154	+ 40 23.0	+ 2.456
» 68, Camp. 302 . . .	1908 janv. 11, 22.4	- 0 57 31.7	- 8.380	+ 44 38.3	+ 1.583
» 79, Camp. 397 . . .	» mai 2, 14.8	- 1 13 7.4	- 6.443	+ 47 35.1	+ 1.559
» 98, Camp. 451 . . .	» juillet 15, 14.3	- 1 21 4.1		+ 49 30.4	

III. La méthode du calcul des observations.

Les observations de cette expédition consistent de distances zénithales solaires, prises exclusivement le matin ou le soir, et à chaque lieu une seule série d'observations est prise. Par suite, on a ici besoin d'une méthode de calcul, à l'aide de laquelle et la latitude et la longitude puissent être calculées d'une seule série dans le voisinage du premier vertical. Ces exigences sont satisfaites par la méthode de calcul exposée ci-dessous, quoique, naturellement, la latitude soit obtenue avec un plus petit degré d'exactitude que le temps moyen du lieu.

Ayant égard à la troisième dignité de la différence de temps, nous posons

$$z = A_1 + B(\tau - T) + C(\tau - T)^2 + D(\tau - T)^3 + i + r \quad (3)$$

où z est la distance zénithale géocentrique à la lecture τ du chronomètre, A_1 la distance zénithale correspondant au temps T , B , C , D les trois premiers coefficients du développement en série, i l'erreur de l'index C. D. et r l'erreur d'irradiation \odot . T et Z signifient les moyennes

$$T = \frac{\tau_1 + \tau_2 + \tau_3 + \dots + \tau_n}{n} \quad \text{et} \quad Z = \frac{z_1 + z_2 + z_3 + \dots + z_n}{n}.$$

Après, nous posons

$$A_1 = Z + A \quad (4)$$

et

$$\left. \begin{aligned} x_1 &= z_1 - Z - C(\tau_1 - T)^2 - D(\tau_1 - T)^3 \\ x_2 &= z_2 - Z - C(\tau_2 - T)^2 - D(\tau_2 - T)^3 \\ \dots & \dots \dots \dots \dots \dots \dots \dots \dots \dots \end{aligned} \right\} \quad (5)$$

Les coefficients B , C et D sont

$$B = \frac{dz}{d\tau}; \quad C = \frac{1}{2} \frac{d^2z}{d\tau^2}; \quad D = \frac{1}{6} \frac{d^3z}{d\tau^3} \quad (6)$$

en secondes ou arc. Dans les coefficients C et D $d\tau$ du chronomètre d'observation peut être mis égal à dt du soleil apparent.

Ainsi, on obtient

$$C = \frac{1}{2} \frac{d^2z}{dt^2}; \quad D = \frac{1}{6} \frac{d^3z}{dt^3} \quad (7)$$

Les dérivées de z sont calculées d'après les formules:

$$\left. \begin{aligned} \frac{d^2z}{dt^2} &= \frac{\cos \varphi \cos \delta \cos A \cos p}{\sin z} \\ \frac{d^3z}{dt^3} &= \frac{\cos \delta \cos \varphi}{\sin^2 z} (\sin A \cos^2 p \cos \delta + \cos A \cos z \cos p \cos \delta \sin p + \cos^2 A \sin p \cos \varphi) \end{aligned} \right\} \quad (8)$$

Parce qu'on peut supposer, que φ et λ d'un lieu d'observation sont connues avec une exactitude, suffisante pour le calcul de C et D , les x dans (5) peuvent aussi être calculés.

Ainsi, pour une série d'observations complète on obtient un système de 16 équations de condition

$$\left. \begin{array}{l} x_1 = i + r + A + B(\tau_1 - T) \dots \text{C. D. } \ominus \\ x_2 = i + r + A + B(\tau_2 - T) \dots \quad \quad \quad \ominus \\ \text{---} \quad \text{---} \quad \text{---} \quad \text{---} \quad \text{---} \quad \text{---} \quad \text{---} \quad \text{---} \quad \text{---} \quad \text{---} \quad \text{---} \quad \text{---} \quad \text{---} \quad \text{---} \quad \text{---} \quad \text{---} \end{array} \right\} \quad (9)$$

qui peuvent être écrites de la manière suivante

$$\left. \begin{array}{l} p_1 i + q_1 r + a_1 A + b_1 B + m_1 = 0 \\ p_2 i + q_2 r + a_2 A + b_2 B + m_2 = 0 \\ \text{---} \quad \text{---} \quad \text{---} \quad \text{---} \quad \text{---} \quad \text{---} \end{array} \right\} \quad (10)$$

Les coefficients p et q sont ou $+1$ ou -1 d'après le tableau suivant

	C. D.				C. G.				C. G.				C. D.			
	\ominus	\ominus	\ominus	\ominus	\ominus	\ominus	\ominus	\ominus	\ominus	\ominus	\ominus	\ominus	\ominus	\ominus	\ominus	
$p = +1$	$+1$	$+1$	$+1$	$+1$	-1	-1	-1	-1	-1	-1	-1	-1	$+1$	$+1$	$+1$	
$q = +1$	$+1$	$+1$	-1	-1	-1	-1	$+1$	$+1$	$+1$	$+1$	-1	-1	-1	-1	$+1$	

Ensuite, on trouve

$$\begin{aligned} a_1 &= a_2 = a_3 = \dots = a_{16} = 1 \\ b_1 &= \tau_1 - T; \quad b_2 = \tau_2 - T; \quad \dots; \quad b_{16} = \tau_{16} - T \\ m_1 &= -x_1; \quad m_2 = -x_2; \quad \dots; \quad m_{16} = -x_{16}. \end{aligned}$$

D'après la méthode des moindres carrés on obtient

$$\left. \begin{array}{l} [pp]i + [pq]r + [ap]A + [bp]B + [pm] = 0 \\ [pq]i + [qq]r + [aq]A + [bq]B + [qm] = 0 \\ [ap]i + [aq]r + [aa]A + [ab]B + [am] = 0 \\ [bp]i + [bq]r + [ab]A + [bb]B + [bm] = 0 \end{array} \right\} \quad (11)$$

Supposé, que le nombre des observations soit n , sont

$$[pp] = n; \quad [qq] = n; \quad [aa] = n.$$

Après, pour une série complète de 16 observations selon le tableau écrit ci-dessus, on a:

$$[pq] = 0; \quad [ap] = 0;$$

$$[bp] = (b_1 + b_{16}) + (b_2 + b_{15}) + (b_3 + b_{14}) + (b_4 + b_{13}) - (b_5 + b_{12}) - (b_6 + b_{11}) - (b_7 + b_{10}) - (b_8 + b_9);$$

$$[pm] = -(x_1 + x_{16}) - (x_2 + x_{15}) - (x_3 + x_{14}) - (x_4 + x_{13}) + (x_5 + x_{12}) + (x_6 + x_{11}) + (x_7 + x_{10}) + (x_8 + x_9);$$

$$[aq] = 0;$$

$$[bq] = (b_1 + b_{16}) + (b_2 + b_{15}) - (b_3 + b_{14}) - (b_4 + b_{13}) - (b_5 + b_{12}) - (b_6 + b_{11}) + (b_7 + b_{10}) + (b_8 + b_9);$$

$$[qm] = -(x_1 + x_{16}) - (x_2 + x_{15}) + (x_3 + x_{14}) + (x_4 + x_{13}) + (x_5 + x_{12}) + (x_6 + x_{11}) - (x_7 + x_{10}) - (x_8 + x_9);$$

$$[ab] = 0;$$

$$[am] = -(x_1 + x_{16}) - (x_2 + x_{15}) - (x_3 + x_{14}) - (x_4 + x_{13}) - (x_5 + x_{12}) - \\ - (x_6 + x_{11}) - (x_7 + x_{10}) - (x_8 + x_9);$$

$$[bb] = b_1^2 + b_2^2 + b_3^2 + \dots + b_{16}^2;$$

$$[bm] = -b_1x_1 - b_2x_2 - b_3x_3 - \dots - b_{16}x_{16}.$$

Après que i , r , A et B ont été déterminés au moyen du système d'équations (11), la distance zénithale A_1 au temps T est obtenue selon (4) et ensuite la dérivée $\frac{dz}{dt}$ en multipliant B par $\frac{d\tau}{dt}$. Cette dérivée, qu'on peut avec une exactitude suffisante supposer être le quotient de l'intervalle de chronomètre par l'intervalle de temps solaire apparent, qui correspondent à 3 600 secondes de temps moyen, fut calculée à l'aide des variations de la correction de chronomètre et de l'équation de temps dans une heure de temps moyen.

La dérivée $\frac{dz}{dt}$ calculée, on emploie la formule:

$$\cos p \frac{d\delta}{dt} + \frac{dz}{dt} = \cos \delta \sin p \quad (12)$$

qui donne l'angle parallactique. On doit observer, qu'on a au calcul de C obtenu une valeur approximative de $\cos p$, suffisamment exacte pour le calcul du terme $\cos p \frac{d\delta}{dt}$. La dérivée, qui se trouve dans ce terme, doit être mise égale à la variation par heure de la déclinaison, divisée par 54 000".

Après, la latitude est calculée selon la formule:

$$\sin \varphi = \sin \delta \cos z + \cos \delta \sin z \cos p \quad (13)$$

où

$$z = A_1.$$

La latitude et la distance zénithale A_1 correspondant au temps T calculées, on trouve l'angle horaire, qui correspond au même époque, d'après (1), et enfin la longitude du lieu en ajoutant l'équation de temps et en ôtant le temps moyen de Greenwich.

Les calculs ont été contrôlés et par formules de contrôle, et par sommations et par calcul double:

- les corrections des chronomètres par calcul double;
- les distances zénithales géocentriques par calcul double et par les sommes des distances zénithales, des réfractions et des parallaxes de toutes les observations;
- les moyennes Z et T par calcul double;
- les coefficients b_n par la formule $\sum b_n = 0$;
- la déclinaison et l'équation du temps par calcul double;
- C et D par calcul double;
- $C(\tau - T)^2$ et $D(\tau - T)^3$ par calcul double;
- $x_1 + x_{16}$, $x_2 + x_{15}$, $x_3 + x_{14}$ etc. par la formule $\sum x_n = -\sum C(\tau - T)^2 - \sum D(\tau - T)^3$;

$[bp]$, $[bq]$, $[pm]$, $[qm]$ par les formules:

$$[bp] + [bq] = 2[(b_1 + b_{16}) + (b_2 + b_{15}) - (b_3 + b_{12}) - (b_6 + b_{11})]$$

$$[pm] + [qm] = 2[-(x_1 + x_{16}) - (x_2 + x_{15}) + (x_3 + x_{12}) + (x_6 + x_{11})]$$

$[am]$ par la formule $[am] = -\sum x_n$:

$[bb]$ et $[bm]$ par calcul double;

B et φ par calcul double;

l'angle horaire au temps T par la réduction de la première approximation sur la deuxième à l'aide de la formule différentielle:

$$dt = -\frac{1}{\operatorname{tg} A \cos \varphi} d\varphi + \frac{1}{\cos \varphi \sin A} dz.$$

IV. La première période [1 (Camp. 22)—22 (Je)].

Les coordonnées du lieu n:o 1, campement 22, sont $\varphi = 34^\circ 54' 16''$; $\lambda = 5^h 27^m 5^s.0$. Pour ce lieu la deuxième approximation a donné les nombres suivants:

	δ	Z	t	dt	Equ. de temps.	T	γ
Les 8 premières obs.	$-0^\circ 58' 46''$	$79^\circ 49' 1''$	$5^h 7^m 23.7$	-0.3	$-8^m 24.4$	$23^h 49^m 32.4$	$-17^m 38.4$
» 8 dernières »	$-0^\circ 59' 3$	$83^\circ 13' 22$	$5^h 24^m 7.7$	-0.2	$-8^m 24.6$	$24^h 6^m 13.9$	$-17^m 36.0$

Ainsi, on trouve pour la première période:

Lieu d'obs.	T. m. de Gr.	Chr. 1		Diff. obs.	Chr. 2	
		γ	$d\gamma$		γ	$d\gamma$
N:o 1 (C. 22) . . .	1906 sept. 25, 23.7	$-17^m 37.2$		$+49^m 47.5$	$+32^m 10.3$	
			$-4^s 38.5$			$+1^s 49.4$
N:o 22 (Je) . . .	1907 avril 1, 13.4	$-31^m 19.8$		$+68^m 10.3$	$+36^m 50.5$	

Le calcul des observations, faites aux lieux appartenant à cette période, a donné les nombres contenus dans les tableaux suivants.

Nos 2—10, 12—13, 15—18, 20—21 (séries complètes).

Lieu d'obs.	Campement et nom.	Date et heure (T. m. de Greenw.).	γ_1	γ_2	Différence observée.	γ_2 (réd.)
2	C. 28	1906 oct. 1, 23 ^h 6	- 18 ^m 3 ^s 5	+ 32 ^m 19 ^s 3	- 50 ^m 29 ^s 0	- 18 ^m 9 ^s 7
3	C. 29	» » 2, 23.7	- 18 7.9	+ 32 20.8	- 50 34.5	- 18 13.7
4	C. 31	» » 4, 23.5	- 18 16.7	+ 32 23.7	- 50 46.0	- 18 22.3
5	C. 33	» » 6, 22.7	- 18 25.3	+ 32 26.7	- 50 55.6	- 18 28.9
6	C. 34	» » 8, 23.5	- 18 34.2	+ 32 29.7	- 51 7.5	- 18 37.8
7	C. 40(?)	» » 14, 23.4	- 19 0.5	+ 32 38.7	- 51 48.0	- 19 9.3
8	C. 43	» » 17, 22.7	- 19 13.6	+ 32 43.2	- 52 7.0	- 19 23.8
9	C. 48	» » 24, 23.0	- 19 44.2	+ 32 53.6	- 52 48.5	- 19 54.9
10	C. 60	» nov. 12, 22.1	- 21 7.4	+ 33 21.9	- 54 35.5	- 21 13.6
12	C. 64	» » 17, 22.3	- 21 29.4	+ 33 29.4	- 55 19.0	- 21 49.6
13	C. 72	» » 25, 22.2	- 22 4.4	+ 33 41.3	- 56 11.0	- 22 29.7
15	C. 75	» » 29, 22.3	- 22 22.0	+ 33 47.3	- 56 38.0	- 22 50.7
16	C. 80	» déc. 4, 22.3	- 22 43.9	+ 33 54.8	- 57 10.5	- 23 15.7
17	C. 83	» » 8, 22.4	- 23 1.5	+ 34 0.8	- 57 38.0	- 23 37.2
18	C. 85	» » 10, 21.9	- 23 10.1	+ 34 3.7	- 57 53.5	- 23 49.8
20	C. 97	» » 26, 21.7	- 24 20.3	+ 34 27.6	- 59 48.0	- 25 20.4
21	C. 118	1907 janv. 28, 23.0	- 26 45.2	+ 35 17.1	- 63 1.5	- 27 44.4

Lieu d'obs.	γ (moyenne)	T	$b_1 + b_{10}$	$b_2 + b_{15}$	$b_3 + b_{14}$	$b_4 + b_{13}$	$b_5 + b_{12}$	$b_6 + b_{11}$
2	- 18 ^m 6.6	23 ^h 55 ^m 56 ^s .4	- 0.00408	- 0.00579	- 0.00152	- 0.00078	+ 0.00309	+ 0.00239
3	- 18 10.8	24 2 1.3	- 0.00217	- 0.00207	- 0.00209	- 0.00152	+ 0.00189	+ 0.00205
4	- 18 19.5	23 47 31.1	+ 0.00284	+ 0.00313	+ 0.00153	+ 0.00161	- 0.00235	- 0.00188
5	- 18 27.1	23 3 15.7	- 0.00069	- 0.00010	- 0.00040	- 0.00005	- 0.00048	+ 0.00065
6	- 18 36.0	23 47 11.7	- 0.00293	- 0.00007	+ 0.00007	+ 0.00011	+ 0.00223	+ 0.00022
7	- 19 4.9	23 44 30.5	+ 0.00124	+ 0.00249	+ 0.00245	+ 0.00219	- 0.00077	- 0.00235
8	- 19 18.7	23 0 19.5	+ 0.00093	+ 0.00034	+ 0.00074	- 0.00034	- 0.00007	- 0.00067
9	- 19 49.6	23 17 20.5	- 0.00002	+ 0.00113	- 0.00083	+ 0.00188	+ 0.00086	- 0.00103
10	- 21 10.5	22 30 19.1	- 0.00085	- 0.00044	+ 0.00135	- 0.00086	- 0.00071	- 0.00046
12	- 21 39.5	22 37 13.1	+ 0.00011	- 0.00020	- 0.00032	+ 0.00027	- 0.00001	- 0.00001
13	- 22 17.1	22 36 13.1	+ 0.00035	+ 0.00017	+ 0.00022	- 0.00014	- 0.00031	- 0.00025
15	- 22 36.4	22 41 15.3	- 0.00033	- 0.00002	+ 0.00034	+ 0.00077	- 0.00038	+ 0.00019
16	- 22 59.8	22 40 12.2	+ 0.00019	+ 0.00002	- 0.00003	- 0.00002	- 0.00020	- 0.00009
17	- 23 19.4	22 46 15.4	- 0.00028	+ 0.00003	- 0.00003	+ 0.00134	+ 0.00044	- 0.00052
18	- 23 30.0	22 17 15.6	+ 0.00017	- 0.00009	- 0.00071	+ 0.00006	- 0.00014	- 0.00063
20	- 24 50.3	22 8 14.7	+ 0.00019	+ 0.00008	+ 0.00045	- 0.00049	- 0.00022	+ 0.00045
21	- 27 14.8	23 26 9.5	- 0.00365	- 0.00211	+ 0.00127	+ 0.00052	+ 0.00083	+ 0.00118

Lieu d'obs.	$b_7 + b_{10}$	$b_8 + b_9$	Z	log C''	log D''	$x_1 + x_{16}$	$x_2 - x_{15}$	$x_3 + x_{14}$	$x_4 + x_{13}$	$x_5 + x_{12}$
2	+ 0.00251	+ 0.00413	83° 18' 31"	3.883	4.01 "	- 831"	- 975"	- 290"	- 90"	+ 520"
3	+ 0.00177	+ 0.00219	84 55 11	3.836	4.00 "	- 523	- 383	- 349	- 272	+ 366
4	- 0.00258	- 0.00234	82 48 16	3.968	4.03 "	+ 443	+ 426	+ 246	+ 294	- 428
5	+ 0.00011	+ 0.00091	74 50 32	4.222	4.15 "	- 221	+ 3	- 46	- 6	- 148
6	+ 0.00019	+ 0.00011	84 12 59	4.002	4.03 "	- 524	- 67	0	+ 19	+ 381
7	- 0.00302	- 0.00226	85 35 53	4.059	4.03 "	+ 131	+ 412	+ 401	+ 393	- 170
8	- 0.00063	- 0.00024	77 49 15	4.278	4.15 "	+ 1	- 42	+ 109	- 119	- 64
9	- 0.00105	- 0.00097	83 0 39	4.239	4.09 "	- 13	+ 110	- 156	+ 223	+ 92
10	- 0.00062	+ 0.00254	78 0 59	4.460	4.22 "	- 216	+ 8	+ 98	- 182	- 205
12	- 0.00019	+ 0.00028	79 44 41	4.450	4.20 "	- 120	- 54	- 128	+ 10	- 86
13	- 0.00013	+ 0.00007	80 8 47	4.465	4.20 "	- 174	- 13	- 112	- 36	- 108
15	- 0.00023	- 0.00034	80 59 23	4.458	4.19 "	- 210	- 88	- 50	+ 38	- 114
16	+ 0.00002	+ 0.00002	80 33 10	4.469	4.19 "	- 36	- 85	- 79	- 15	- 133
17	- 0.00026	- 0.00073	81 50 3	4.456	4.18 "	- 123	- 41	- 79	+ 161	- 65
18	+ 0.00183	- 0.00047	76 56 30	4.543	4.26 "	- 123	- 158	- 165	- 102	- 132
20	- 0.00048	- 0.00004	74 17 4	4.589	4.30 "	- 129	- 121	0	- 158	- 171
21	+ 0.00043	+ 0.00150	82 16 6	4.341	4.11 "	- 708	- 421	+ 159	+ 61	+ 93

Lieu d'obs.	$x_6 + x_{11}$	$x_7 + x_{10}$	$x_8 + x_9$	[pp']	[pq]	[ap']	[bp']	[pm]	[qq]	[aq]	[bq]
2	+ 348"	+ 501"	+ 596"				- 0.02429	+ 4 151"			- 0.00641
3	+ 353	+ 296	+ 325				- 0.01575	+ 2 867			- 0.00061
4	- 356	- 401	- 477				+ 0.01826	- 3 071			+ 0.00214
5	+ 37	- 80	+ 25				- 0.00243	+ 104			+ 0.00051
6	+ 1	- 15	- 40				- 0.00557	+ 899			- 0.00533
7	- 465	- 531	- 492				+ 0.01677	- 2 995			- 0.00307
8	- 158	- 112	- 106	≡ 16 pour tous	≡ 0 pour tous	0 pour tous	+ 0.00328	- 389	≡ 16 pour tous	≡ 0 pour tous	+ 0.00074
9	- 242	- 237	- 236				+ 0.00435	- 787			- 0.00179
10	- 191	- 265	+ 203				- 0.00155	- 166			+ 0.00131
12	- 119	- 92	- 142				- 0.00021	- 147			+ 0.00007
13	- 114	- 109	- 88				+ 0.00122	- 84			+ 0.00094
15	- 44	- 79	- 192				+ 0.00152	- 119			- 0.00184
16	- 128	- 138	- 148				+ 0.00041	- 332			+ 0.00059
17	- 192	- 161	- 233				+ 0.00213	- 569			- 0.00247
18	- 151	+ 153	- 230				- 0.00116	+ 188			+ 0.00286
20	- 36	- 202	- 192				+ 0.00052	- 193			- 0.00044
21	+ 78	- 10	+ 151				- 0.00791	+ 1 221			- 0.00763

Lieu d'obs.	[qm]	[aa]	[ab]	[am]	[bb]	[bm]	A	log B	log $\frac{dt}{dt}$	$\frac{dz'}{dt}$
2	+ 1 197"			+ 221"	+ 0.028948	- 4 849".6	- 13".8	9.90964	9.99992	+ 0.81201
3	+ 383			+ 187	+ 0.027701	- 4 628.2	- 11.7	9.90847	9.99992	+ 0.80982
4	- 235			+ 253	+ 0.027704	- 4 598.1	- 15.8	9.90560	9.99992	+ 0.80449
5	+ 110			+ 436	+ 0.025924	- 4 150.8	- 27.2	9.89000	9.99994	+ 0.77614
6	+ 1 047			+ 245	+ 0.024984	- 4 123.4	- 15.3	9.90317	9.99993	+ 0.80002
7	+ 639	= 16 pour tous	= 0 pour tous	+ 321	+ 0.027457	- 4 520.5	- 20.1	9.90209	9.99995	+ 0.79807
8	+ 27			+ 491	+ 0.025857	- 4 100.5	- 30.7	9.88584	9.99997	+ 0.76879
9	+ 293			+ 459	+ 0.026292	- 4 199.6	- 28.7	9.88895	9.99999	+ 0.77436
10	- 210			+ 750	+ 0.025791	- 3 791.9	- 46.9	9.85296	0.00006	+ 0.71289
12	+ 85			+ 731	+ 0.025847	- 3 819.9	- 45.7	9.85521	0.00009	+ 0.71664
13	+ 14			+ 754	+ 0.025908	- 3 786.7	- 47.1	9.85040	0.00012	+ 0.70879
15	+ 399			+ 739	+ 0.025821	- 3 788.2	- 46.2	9.85203	0.00014	+ 0.71149
16	+ 52			+ 762	+ 0.025879	- 3 766.4	- 47.6	9.84855	0.00015	+ 0.70583
17	+ 383			+ 733	+ 0.025644	- 3 749.9	- 45.8	9.85061	0.00016	+ 0.70920
18	- 192			+ 908	+ 0.026055	- 3 599.0	- 56.8	9.82588	0.00016	+ 0.66995
20	+ 279	+ 1 009	+ 0.025758	- 3 434.7	- 63.1	9.81055	0.00017	+ 0.64673		
21	+ 1 379			+ 597	+ 0.026993	- 4 304.3	- 37.3	9.88821	0.00009	+ 0.77322

Lieu d'obs.	cos $\rho \frac{d\delta}{dt}$	log sin ρ	δ	A_1	γ	t	Equ. de temps.	T. m. de Gr.
2	- 0.00063	9.90995	- 3° 19' 2"	83° 18' 17"	34° 49' 0"	5 ^h 17 ^m 55 ^s .5	- 10 ^m 24 ^s .0	23 ^h 37 ^m 49 ^s .8
3	- 0.00063	9.90896	- 3 42 24	84 54 59	35 9 53	5 24 30.4	- 10 43.2	23 43 50.5
4	- 0.00063	9.90651	- 4 28 34	82 48 0	35 7 0	5 11 48.3	- 11 20.0	23 29 11.6
5	- 0.00067	9.89138	- 5 14 2	74 50 5	35 23 30	4 28 50.9	- 11 55.1	22 44 48.6
6	- 0.00063	9.90515	- 6 0 39	84 12 44	35 18 54	5 14 7.2	- 12 29.6	23 28 35.7
7	- 0.00061	9.90625	- 8 16 20	85 35 33	34 58 20	5 14 40.7	- 14 0.1	23 25 25.6
8	- 0.00064	9.89128	- 9 22 3	77 48 44	34 48 50	4 31 49.5	- 14 37.7	22 41 0.8
9	- 0.00059	9.89800	- 11 52 12	83 0 10	34 43 27	4 50 51.7	- 15 45.0	22 57 30.9
10	- 0.00050	9.87398	- 17 46 59	78 0 12	33 40 50	4 6 17.2	- 15 43.8	22 9 8.6
12	- 0.00044	9.87953	- 19 3 51	79 43 55	33 16 30	4 12 25.1	- 14 53.0	22 15 33.6
13	- 0.00035	9.87961	- 20 48 56	80 8 0	32 40 35	4 10 1.8	- 12 49.7	22 13 56.0
15	- 0.00030	9.88343	- 21 32 21	80 58 37	32 18 37	4 13 15.2	- 11 30.0	22 18 38.9
16	- 0.00024	9.88227	- 22 17 18	80 32 22	31 52 40	4 9 23.6	- 9 35.5	22 17 12.4
17	- 0.00018	9.88586	- 22 45 34	81 49 17	31 54 34	4 14 49.8	- 7 53.1	22 22 56.0
18	- 0.00017	9.86174	- 22 56 54	76 55 33	31 49 42	3 46 0.0	- 6 59.5	21 53 45.6
20	+ 0.00007	9.84793	- 23 21 53	74 16 1	31 17 54	3 30 7.4	+ 0 49.6	21 43 24.4
21	+ 0.00042	9.91076	- 18 10 13	82 15 29	30 17 55	4 36 35.1	+ 13 8.9	22 58 54.7

Lieu d'obs.	λ	λ
2	5 ^h 29 ^m 41 ^s .7	82° 25' 26"
3	5 29 56.7	82 29 10
4	5 31 16.7	82 49 10
5	5 32 7.2	83 1 49
6	5 33 1.9	83 15 29
7	5 35 15.0	83 48 45
8	5 36 11.0	84 2 45
9	5 37 35.8	84 23 57
10	5 41 24.8	85 21 12
12	5 41 58.5	85 29 38
13	5 43 16.1	85 49 2
15	5 43 6.3	85 46 35
16	5 42 35.7	85 38 56
17	5 44 0.7	86 0 10
18	5 45 14.9	86 18 44
20	5 47 32.6	86 53 9
21	5 50 49.3	87 42 20

La série n:o 11 est probablement erronée.

N:os 14 et 19. (Séries incomplètes).

Lieu d'obs.	Campe-ment.	Date et heure.	γ_1	γ_2	Diff. obs.	γ_2 (réd.)	γ (moyenne)
14	74	1906 nov. 27, 22 ^h 5 Gr.	- 22 ^m 13 ^s .2	+ 33 ^m 44 ^s .4	- 56 ^m 23 ^s .5	- 22 ^m 39 ^s .1	- 22 ^m 26 ^s .2
19	96	déc. 25, 22.3	- 24 16.0	+ 34 26.2	- 59 39.5	- 25 13.3	- 24 44.6

Lieu d'obs.	T	b_1	b_2	b_3	b_4	b_5	b_6	b_7
14	22 ^h 51 ^m 12 ^s .0	- 0.04799	- 0.03907	- 0.03040	- 0.02177	- 0.01309	- 0.00433	+ 0.00419
19	22 43 12.1	- 0.03049	- 0.02172	- 0.01292	- 0.00452	+ 0.00415	+ 0.01332	+ 0.02167

Lieu d'obs.	b_8	b_9	b_{10}	b_{11}	b_{12}	Z	$\log C$	$\log D$	r_1
14	+ 0.01283	+ 0.02185	+ 0.03049	+ 0.03940	+ 0.04794	82° 45' 2"	4.424	4.16 "	- 7 18.2"
19	+ 0.03048	—	—	—	—	80 18 30	4.484	4.20 "	- 4 35.5

Lieu d'obs.	x_2	x_3	x_4	x_5	x_6	x_7	x_8	x_9	x_{10}
14	- 5 892"	- 4 581"	- 3 267"	- 1 972"	- 670"	+ 605"	+ 1 885"	+ 3 222"	+ 4 541"
19	- 3 164	- 1 906	- 600	+ 588	+ 1 880	+ 3 072	+ 4 385	—	—

Lieu d'obs.	x_{11}	x_{12}	$[pp]$	$[pq]$	$[ap]$	$[bp]$	$[pm]$	$[qq]$	$[aq]$	$[bq]$	$[qm]$
14	+ 5 861"	+ 7 165"	12	0	- 4	- 0.27851	+ 41 559"	12	0	- 0.03545	+ 5 357"
19	—	—	8	0	0	- 0.13927	+ 19 950	8	0	- 0.00009	+ 24

Lieu d'obs.	$[aa]$	$[ab]$	$[am]$	$[bb]$	$[bm]$	A	$\log B$	$\log \frac{dr}{dt}$	$\frac{dz}{dt}$	$\cos p \frac{d\delta}{dt}$	$\log \sin p$
14	12	0	+ 285"	+ 0.010856	- 1 623.9	- 23.3	9.86054	0.00012	+ 0.72554	- 0.00032	9.89088
19	8	0	+ 100	+ 0.003182	- 456.5	- 12.5	9.8447	0.0002	+ 0.6996	+ 0.0001	9.8822

Lieu d'obs.	δ	A_1	φ	t	Equ. de temps.	T. m. de Gr.	λ	λ
14	- 21° 11' 32"	82° 44' 39"	32° 23' 14"	4 ^h 24 ^m 6 ^s .1	- 12 ^m 11 ^s .1	22 ^h 28 ^m 45 ^s .8	5 ^h 43 ^m 9 ^s .2	85° 47' 18"
19	- 23 23 48	80 18 17	31 14	4 6 2.3	+ 0 20.6	22 18 27.5	5 47 55	86 59

Afin de diminuer l'influence des erreurs accidentelles dans les observations astronomiques, les résultats trouvés pour les lieux 2—18 furent comparés avec ceux que donne la route de voyage construite par Kjellström au moyen des observations terrestres. Par la méthode graphique des corrections furent obtenues, qui furent ajoutées aux latitudes et aux longitudes calculées ci-dessus. Les résultats définitifs sont contenus dans le tableau suivant.

	N:o 2.	3.	4.	5.	6.	7.	8.
φ	[34° 50' 3"]	35° 6' 50"	35° 9' 48"	35° 16' 24"	35° 19' 33"	34° 58' 20"	34° 48' 50"
λ	82 24 44	82 30 6	82 47 52	83 3 19	83 14 29	83 47 36	84 2 45

	N:o 9.	10.	11.	12.	13.	14.	15.
φ	34° 43' 27"	33° 40' 50"	—	33° 16' 30"	32° 38' 32"	32° 26' 38"	32° 20' 25"
λ	84 23 57	85 21 18	—	85 29 26	85 50 38	85 46 24	85 46 11

	N:o 16.	17.	18.	19.	20.	21.
φ	31° 50' 49"	31° 54' 34"	31° 53' 54"	[31° 14']	31° 17' 54"	30° 17' 55"
λ	85 44 50	86 0 10	86 11 38	86 59	86 53 9	87 42 20

V. La période 2 [22 (Je)—32 (Saka-dsong)].

Les coordonnées du lieu n:o 22 (Je) sont $\varphi = 29^{\circ} 28' 4''$; $\lambda = 5^{\text{h}} 52^{\text{m}} 55^{\text{s}}.9$.

Les nombres de la deuxième approximation sont pour le même lieu:

	δ	Z	t	dt	Equ. de temps.	T	γ
Les 8 premières obs.	+ 4° 25' 2"	73° 17' 17"	19 ^h 6 ^m 51 ^s .7	+ 0.1	+ 4 ^m 3 ^s .7	13 ^h 49 ^m 19 ^s .4	- 31 ^m 19 ^s .8
» » dernières »	+ 4 25 17	69 49 27	19 22 50.7	+ 0.2	+ 4 3.5	14 5 18.3	- 31 19.8

Les corrections des chronomètres sont obtenues des nombres suivants:

Lieu d'obs.	T. m. de Gr.	Chr. 1.		Diff. obs.	Chr. 2.	
		γ	δ		γ	δ
N:o 22 (Je)	1907 avril 1, 13 ^h .4	- 31 ^m 19 ^s .8		+ 1 ^h 8 ^m 10 ^s .3	+ 36 ^m 50 ^s .5	
			- 5 ^s .841			+ 1 ^s .069
» 32 (Saka-dsong)	» juin 3, 12 ^h .8	- 37 27.7		+ 1 15 25.5	+ 37 57.8	

Il resulta du calcul, que la série 23 est erronée. La série 30 ne fut pas calculée, parce que le campement 161 (Raga-tsangpo) est trouvé sur la carte de Ryder. Une des séries, n:o 27, est incomplète.

N:os 24—26, 28—31 (séries complètes).

Lieu d'obs.	Campement et nom.	Date et heure (T. m. de Gr.).	γ_1	γ_2	Différence ol servée.	γ_2 (réd.)
24	144 Gävå	1907 avril 18, 13 ^h .3	- 32 ^m 59 ^s .1	+ 37 ^m 8 ^s .7	- 70 ^m 13 ^s .0	- 33 ^m 4 ^s .3
25	147 Kjangdam . .	» » 21, 23.8	- 33 19.2	+ 37 12.3	- 70 42.0	- 33 29.7
26	150 Targu-tsanbo	» » 27, 15.5	- 33 52.2	+ 37 18.4	- 71 15.0	- 33 56.6
28	152 Parva	» » 30, 23.7	- 34 11.7	+ 37 22.0	- 71 38.5	- 34 16.5
29	157 Kjamtju . . .	» mai 8, 12.7	- 34 55.8	+ 37 30.0	- 72 27.0	- 34 57.0
31	166 Basang . . .	» » 24, 23.8	- 36 31.9	+ 37 47.6	- 74 15.3	- 36 27.7

Lieu d'obs.	γ (moyenne)	T	$b_1 + b_{10}$	$b_2 + b_{15}$	$b_3 + b_{14}$	$b_4 + b_{13}$	$b_5 + b_{12}$	$b_6 + b_{11}$
24	- 33 ^m 1 ^s .7	13 ^h 53 ^m 36 ^s .0	+ 0.00187	+ 0.00264	+ 0.00225	+ 0.00128	- 0.00122	- 0.00224
25	- 33 24.5	0 22 14.7	+ 0.00016	- 0.00029	+ 0.00138	- 0.00007	- 0.00009	- 0.00025
26	- 33 54.4	16 4 21.8	+ 0.00069	- 0.00040	- 0.00047	+ 0.00046	- 0.00038	+ 0.00020
28	- 34 14.1	0 17 15.6	- 0.00021	+ 0.00060	- 0.00039	+ 0.00139	- 0.00034	- 0.00020
29	- 34 56.4	13 18 13.6	- 0.00023	+ 0.00009	- 0.00032	- 0.00029	+ 0.00079	+ 0.00038
31	- 36 29.8	0 22 9.7	+ 0.00029	+ 0.00006	+ 0.00007	- 0.00013	- 0.00031	+ 0.00024

Lieu d'obs.	$b_7 + b_{10}$	$b_8 + b_9$	Z	$\log C''$	$\log D''$	$x_1 + x_{16}$	$x_2 + x_{18}$	$x_3 + x_{14}$	$x_4 + x_{13}$
24	- 0.00270	- 0.00183	69° 18' 8"	2.9 //	3.86	- 221"	- 468"	- 364"	- 193"
25	- 0.00056	- 0.00031	79 28 1	3.757 //	3.84 //	+ 70	+ 55	+ 304	+ 60
26	+ 0.00064	- 0.00075	40 27 34	4.261	4.42	- 251	- 4	+ 72	- 114
28	- 0.00044	- 0.00049	76 39 25	3.836 //	3.82 //	- 53	+ 88	+ 314	+ 351
29	- 0.00012	- 0.00032	74 55 1	3.894 //	3.79	+ 113	+ 55	+ 276	+ 266
31	- 0.00005	- 0.00007	73 46 58	3.997 //	3.76 //	+ 75	+ 113	+ 153	+ 138

Lieu d'obs.	$x_6 + x_{12}$	$x_8 + x_{11}$	$x_7 + x_{10}$	$x_8 + x_9$	$[pp]$	$[pq]$	$[ap]$	$[bp]$	$[pm]$	$[qq]$	$[aq]$
24	+ 228"	+ 398"	+ 401'	+ 234"				+ 0.01603	+ 2 507"		
25	- 18	- 82	- 142	- 105	16 pour tous	0 pour tous	0 pour tous	+ 0.00239	- 836	16 pour tous	0 pour tous
26	+ 48	- 102	- 149	+ 24	16 pour tous	0 pour tous	0 pour tous	+ 0.00057	+ 118	16 pour tous	0 pour tous
28	- 110	- 50	- 160	- 199	16 pour tous	0 pour tous	0 pour tous	+ 0.00286	- 1 219	16 pour tous	0 pour tous
29	- 154	- 133	- 155	- 60	16 pour tous	0 pour tous	0 pour tous	- 0.00148	- 1 212	16 pour tous	0 pour tous
31	- 123	+ 23	- 32	- 96	16 pour tous	0 pour tous	0 pour tous	+ 0.00048	- 707	16 pour tous	0 pour tous

Lieu d'obs.	$[bq]$	$[qm]$	$[aa]$	$[ab]$	$[am]$	$[bb]$	$[bm]$	A	$\log B$	$\log \frac{dr}{dt}$
24	- 0.00009	+ 123"			- 15"	+ 0.027525	+ 4 905".5	+ 0.9	9.93657 //	9.99995
25	- 0.00197	+ 386	16 pour tous	0 pour tous	- 142	+ 0.025939	- 4 583.3	+ 8.9	9.93279	9.99997
26	+ 0.00037	+ 284	16 pour tous	0 pour tous	+ 476	+ 0.025844	+ 4 438.3	- 29.8	9.92043 //	9.99998
28	- 0.00100	+ 829	16 pour tous	0 pour tous	- 181	+ 0.026195	- 4 604.3	+ 11.3	9.93049	9.99999
29	- 0.00114	+ 302	16 pour tous	0 pour tous	- 208	+ 0.025830	+ 4 540.7	+ 13.0	9.93053 //	0.00000
31	+ 0.00036	+ 131	16 pour tous	0 pour tous	- 251	+ 0.025870	- 4 477.5	+ 15.7	9.92380	0.00006

Lieu d'obs.	$\frac{dz}{dt}$	$\cos p \frac{d\delta}{dt}$	$\log \sin p$	δ	A_1	φ	t	Equ. de temps.
24	- 0.86401	+ 0.00046	9.94393 //	+ 10° 42' 46"	69° 18' 9"	30° 16' 38"	19 ^h 11 ^m 17 ^s .3	- 0 ^m 34 ^s .2
25	+ 0.85656	+ 0.00046	9.94242	+ 11 53 49	79 28 10	30 7 53	5 38 30.1	- 1 19.2
26	- 0.83255	+ 0.00046	9.93281 //	+ 13 45 32	40 27 4	30 24 9	21 19 30.7	- 2 22.2
28	+ 0.85208	+ 0.00040	9.94534	+ 14 48 14	76 39 36	30 10 58	5 31 53.2	- 2 52.1
29	- 0.85218	+ 0.00034	9.94974 //	+ 16 59 29	74 55 14	29 43 14	18 31 54.9	- 3 36.8
30	—	—	—	—	—	29 25 57	—	—
31	+ 0.83919	+ 0.00022	9.95321	+ 20 47 20	73 47 14	29 37 36	5 30 39.7	- 3 22.2

Lieu d'obs.	T. m. de Gr.	λ	λ
24	13 ^h 20 ^m 34 ^s .3	5 ^h 50 ^m 8 ^s .8	87 32' 12"
25	23 48 50.2	5 48 20.7	87 5 10
26	15 30 27.4	5 46 41.1	86 40 16
28	23 43 1.5	5 45 59.6	86 29 54
29	12 43 17.2	5 45 0.9	86 15 14
30	—	5 43 31.6	85 52 54
31	23 45 39.9	5 41 37.6	85 24 24

N:o 27 (série incomplète).

Campement 151, 1907 avril 29, 23^h 9 t. m. de Gr.

γ_1 = - 34 ^m 5 ^s .9	x_3 = - 2 186"	$[bm]$ = - 553.5
γ_2 = + 37 20.9	x_4 = - 730	A = + 2.5
Diff. obs. = - 71 32.5	x_5 = + 716	$\log B$ = 9.92955
γ_2 (réd.) = - 34 11.6	x_6 = + 2 245	$\log \frac{dr}{dt}$ = 9.99998
γ (moyenne) = - 34 8.8	x_7 = + 3 780	$\frac{dz}{dt}$ = + 0.85022
l = 0 ^h 27 ^m 9 ^s .8	x_8 = + 5 319	$\cos p \frac{d\delta}{dt}$ = + 0.00042
b_1 = - 0.03061	$[pp]$ = 8	$\log \sin p$ = 9.94380
b_2 = - 0.02178	$[pq]$ = 0	d = + 14 29' 53"
b_3 = - 0.01270	$[ap]$ = 0	A_1 = 78° 58' 46"
b_4 = - 0.00435	$[bp]$ = - 0.13885	q = 30' 7"
b_5 = + 0.00420	$[pm]$ = + 24 100"	t = 5 ^h 42 ^m 2 ^s .7
b_6 = + 0.01293	$[qq]$ = 8	Equ. de temps = - 2 43.0
b_7 = + 0.02175	$[aq]$ = 0	T. m. de Gr. = 23 53 1.0
b_8 = + 0.03053	$[bq]$ = - 0.00019	λ = 5 ^h 46 ^m 18 ^s .
Z = 78° 58' 43"	$[qm]$ = + 70"	λ = 86 34'
$\log C$ = 3.887 u	$[aa]$ = 8	
$\log D$ = 3.84 u	$[ab]$ = 0	
x_1 = - 5 341"	$[am]$ = - 20"	
x_2 = - 3 783"	$[bb]$ = + 0.0031809	

VI. La période 3 [32 (Saka-dsong) — 35 (Tradum)].

Les coordonnées du lieu n:o 32 (Saka-dsong) sont: $\varphi = 29^{\circ} 29' 25''$; $\lambda = 5^{\text{h}} 40^{\text{m}} 37^{\text{s}}.9$.
La deuxième approximation a donné les nombres suivants:

	δ	Z	t	dt	Equ. de temps	T	ρ
Les 8 premières obs.	$+22^{\circ} 16' 21''$	$74 33' 33''$	$18^{\text{h}} 22^{\text{m}} 42^{\text{s}}.1$	$- 0^{\text{s}}.4$	$- 2^{\text{m}} 10^{\text{s}}.4$	$13^{\text{h}} 17^{\text{m}} 20^{\text{s}}.7$	$- 37^{\text{m}} 27^{\text{s}}.3$
> 8 dernières	$+22 16 26$	$71 13 45$	$18 38 38.7$	$- 0.3$	$- 2 10.3$	$13 33 18.3$	$- 37 28.1$

On trouve pour cette période:

Lieu d'obs.	T. m. de Gr.	Chr. 1		Diff. obs.	Chr. 2	
		γ	$\Delta\gamma$		γ	$\Delta\gamma$
N:o 32 (Saka-dsong)	1907 juin 3, 12 ^h 8	$- 37^{\text{m}} 27^{\text{s}}.7$		$+1^{\text{h}} 15^{\text{m}} 25^{\text{s}}.5$	$+ 37^{\text{m}} 57^{\text{s}}.8$	
			$- 5^{\text{s}}.395$			$+ 2^{\text{s}}.514$
N:o 35 (Tradum)	> 18, 0.3	$- 38 45.8$		$+1 17 20.0$	$+ 38 34.2$	

N:os 33 et 34 (series complètes).

Lieu d'obs.	Campement et nom.	Date et heure (T. m. de Gr.)	γ_1	γ_2	Diff. obs.	γ_2 (rédu.)
33	172 Pasa-guk	1907 juin 7, 23 ^h 6	$- 37^{\text{m}} 51^{\text{s}}.9$	$+ 38^{\text{m}} 9^{\text{s}}.1$	$- 1^{\text{h}} 16^{\text{m}} 4^{\text{s}}.5$	$- 37^{\text{m}} 55^{\text{s}}.4$
34	174 Rockschung	> > 11, 0.2	$- 38 8.0$	$+ 38 16.6$	$- 1 17 4.0(?)$	$[- 38 47.4]$

Lieu d'obs.	γ (moyenne)	T	$b_1 + b_{16}$	$b_2 + b_{15}$	$b_3 + b_{14}$	$b_4 + b_{13}$	$b_5 + b_{12}$	$b_6 + b_{11}$
33	$- 37^{\text{m}} 53^{\text{s}}.7$	$0^{\text{h}} 15^{\text{m}} 11^{\text{s}}.2$	$+ 0.00014$	$- 0.00008$	$+ 0.00026$	$+ 0.00017$	$- 0.00023$	$- 0.00011$
34	$- 38 8.0$	$0 50 11.5$	$+ 0.00021$	$+ 0.00002$	$+ 0.00054$	$- 0.00026$	$+ 0.00007$	$- 0.00025$

Lieu d'obs.	$b_7 + b_{10}$	$b_8 + b_9$	Z	log. C''	log. D''	$x_1 + x_{16}$	$x_2 + x_{15}$	$x_3 + x_{14}$	$x_4 + x_{13}$	$x_5 + x_{12}$	$x_6 + x_{11}$
33	$- 0.00035$	$+ 0.00018$	$70^{\circ} 27' 7''$	3.996 n	3.75 n	$+ 61''$	$- 59''$	$+ 80''$	$+ 62''$	$+ 11''$	$+ 76''$
34	$- 0.00031$	$- 0.00007$	$77 12 15$	4.106 n	3.84 n	$+ 48$	$+ 6$	$+ 174$	$+ 29$	$+ 86$	$+ 47$

Lieu d'obs.	$x_7 + x_{10}$	$x_8 + x_9$	$[pp]$	$[pq]$	$[ap]$	$[bf]$	$[fm]$	$[qq]$	$[aq]$	$[bq]$	$[qm]$	$[aa]$	$[ab]$
33	- 9"	+ 28"	16	0	0	+ 0.00100	- 38"	16	0	- 0.00020	+ 208"	16	0
34	- 38	- 26	16	0	0	+ 0.00107	- 188	16	0	- 0.00025	+ 346	16	0

Lieu d'obs.	$[am]$	$[bb]$	$[bm]$	A	$\log B$	$\log \frac{dr}{dt}$	$\frac{dz}{dt}$	$\cos \rho \frac{d\delta}{dt}$	$\log \sin \rho$
33	- 250"	+ 0.025787	- 4 454".4	+ 15.6	9.92296	0.00009	+ 0.83763	+ 0.00011	9.95834
34	- 326	+ 0.025819	- 4 358".9	+ 20.4	9.91302	0.00009	+ 0.81867	+ 0.00010	9.94922

Lieu d'obs.	δ	A_1	γ	t	Equ. de temps.	T. m. de Gr.	λ	λ
33	+ 22° 46' 1"	70° 27' 23"	29° 30' 25"	5 ^h 18 ^m 40.4	- 1 ^m 23.9	23 ^h 37 ^m 17.5	5 ^h 39 ^m 59.0	84° 59' 45"
34	+ 23 1 39	77 12 35	29 45 54	5 52 12.1	- 0 48.8	0 12 3.5	5 39 19.8	84 49 57

VII. La période 4 [35 (Tradum) — 60 (Gartok)].

Les coordonnées du lieu n:o 35 (Tradum) sont: $\gamma = 29^\circ 38' 43''$; $\lambda = 5^h 36^m 44.4$.
La deuxième approximation donne pour ce lieu le résultat suivant:

	δ	Z	t	dt	Equ. de temps.	T	λ
Les 8 premières obs.	+ 23° 23' 33"	75° 55' 3"	5 ^h 46 ^m 30.5	+ 0.4	+ 0 ^m 39.0	0 ^h 49 ^m 10.7	- 38 ^m 45.2
> 8 dernières >	+ 23 23 34	79 10 59	6 2 30.1	+ 0.5	+ 0 39.2	1 5 11.8	- 38 46.4

Les corrections des chronomètres sont obtenues à l'aide des nombres suivants:

Lieu d'obs.	T. m. de Gr.	Chr. 1	Diff. obs.	Chr. 2
		γ	λ	λ
35 (Tradum) . . .	1907 juin 18. 0 ^h 3	- 38 ^m 45.8	+ 1 ^h 17 ^m 20.0	+ 38 ^m 34.2
			- 6.675	+ 1.047
60 (Gartok) . . .	sept. 29. 23.3	- 50 19.8	+ 1 30 42.8	+ 40 23.0

Nos 36—44, 46—48, 50—59 (séries complètes).

Lieu d'obs.	Campement et nom.	Date et heure (T. m. de Gr.).	γ_1	γ_2	Diff. obs.	γ_2 (réd.).
36	185	1907 juin 25, 0 ^h 0	-39 ^m 32.4	+38 ^m 41.5	-1 ^h 18 ^m 9.3	-39 ^m 27.8
37	189 Dångbâ	29, 0.7	-39 59.4	+38 45.7	-1 18 36.8	-39 51.1
38	191 Le Brahmapoutre	juillet 2, 0.6	-40 19.3	+38 48.9	-1 18 59.5	-40 10.6
39	194 Gjangtju-kamar	5, 0.9	-40 39.4	+38 52.0	-1 19 24.0	-40 32.0
40	196 Schamsang	7, 0.6	-40 52.7	+38 54.3	-1 19 38.3	-40 44.0
41	199 Schärjak	10, 0.2	-41 12.6	+38 57.2	-1 20 1.0	-41 3.8
42	201 Schapka	11, 23.8	-41 25.9	+38 59.3	-1 20 13.5	-41 14.2
43	203 Dara-sumkor	15, 0.0	-41 46.0	+39 2.5	-1 20 31.1	-41 28.6
44	206 Loang-gao	18, 0.5	-42 6.1	+39 5.6	-1 20 49.5	-41 43.9
46	210 Namardin	22, 0.8	-42 32.9	+39 9.8	-1 21 9.3	-41 59.5
47	212 Särolung	26, 1.0	-42 59.6	+39 14.0	-1 21 39.3	-42 25.3
48	216 Tughu-gunpa	août 9, 0.4	-44 32.9	+39 28.6	-1 23 36.8	-44 8.2
50	233 Diripu	sept. 6, 23.8	-47 46.3	+39 59.0	-1 27 40.5	-47 41.5
51	234	7, 22.6	-47 52.7	+39 59.9	-1 27 48.5	-47 48.6
52	235 L'Inde	9, 0.0	-47 59.8	+40 1.0	-1 27 58.0	-47 57.0
53	236 La source de l'Inde	9, 23.9	-48 6.5	+40 2.1	-1 28 6.5	-48 4.4
54	239	13, 0.3	-48 26.6	+40 5.2	-1 28 34.8	-48 29.6
55	241 Gjekung	14, 23.7	-48 39.8	+40 7.3	-1 28 50.5	-48 43.2
56	242 Gâvu	16, 23.6	-48 53.1	+40 9.4	-1 29 5.3	-48 55.9
57	243 Luma-ringmo	17, 23.6	-48 59.8	+40 10.5	-1 29 11.0	-49 0.5
58	246 Hlagar	20, 23.5	-49 19.8	+40 13.6	-1 29 38.5	-49 24.9
59	247 Dâtsa	21, 23.8	-49 26.5	+40 14.6	-1 29 45.8	-49 31.2

Lieu d'obs.	γ (moyenne)	T	$b_1 + b_{16}$	$b_2 + b_{15}$	$b_3 + b_{14}$	$b_4 + b_{13}$	$b_5 + b_{12}$	$b_6 + b_{11}$
36	-39 ^m 30.1	0 ^h 37 ^m 10.4	-0.02589	-0.02605	-0.01745	-0.01743	-0.01768	+0.03470
37	-39 55.2	1 23 24.8	-0.01044	-0.01104	-0.01234	+0.00756	+0.00644	+0.00654
38	-40 15.0	1 17 11.9	-0.00004	-0.00020	-0.00001	+0.00138	-0.00033	-0.00053
39	-40 35.7	1 32 15.3	-0.00066	-0.00099	-0.00063	-0.00054	-0.00031	-0.00019
40	-40 48.4	1 19 13.6	-0.00055	+0.00218	+0.00013	-0.00022	-0.00069	-0.00047
41	-41 8.2	0 50 59.0	-0.01963	-0.01984	-0.01991	+0.00847	+0.00584	+0.00596
42	-41 20.0	0 30 9.6	-0.00006	+0.00024	-0.00014	+0.00009	+0.00024	-0.00020
43	-41 37.3	0 44 16.2	-0.00053	+0.00008	-0.00072	-0.00036	+0.00059	+0.00002
44	-41 55.0	1 14 11.7	+0.00083	+0.00004	-0.00028	+0.00025	-0.00038	-0.00021
46	-42 16.2	1 28 12.7	+0.03555	+0.03504	+0.03531	+0.03520	+0.03624	-0.05649
47	-42 42.5	1 40 48.2	+0.03961	+0.04144	-0.00928	-0.01448	-0.01452	-0.01417
48	-44 20.6	1 7 10.2	-0.00012	+0.00070	+0.00026	-0.00035	-0.00012	-0.00003
50	-47 43.9	0 34 4.2	-0.00181	-0.00079	-0.00229	-0.00171	+0.00099	+0.00137
51	-47 50.7	23 23 58.9	-0.00220	-0.00224	-0.00196	-0.00251	+0.00203	+0.00226
52	-47 58.4	0 49 12.6	-0.00003	-0.00003	-0.00008	-0.00050	+0.00073	-0.00026
53	-48 5.5	0 42 11.0	-0.00016	+0.00009	+0.00014	-0.00021	-0.00005	+0.00003
54	-48 28.1	1 7 1.2	-0.00616	-0.00527	+0.00192	+0.00189	+0.00180	+0.00154
55	-48 41.5	0 32 13.0	-0.00013	-0.00013	-0.00020	-0.00054	+0.00090	+0.00052
56	-48 54.5	0 27 12.9	0.00000	-0.00024	+0.00022	-0.00027	-0.00030	+0.00056
57	-49 0.2	0 27 12.7	+0.00004	+0.00023	+0.00016	-0.00034	+0.00047	-0.00025
58	-49 22.4	0 19 12.1	-0.00005	-0.00004	+0.00002	-0.00042	+0.00016	-0.00004
59	-49 28.9	0 37 10.5	-0.00013	+0.00016	+0.00088	-0.00030	-0.00036	+0.00010

Lieu d'obs.	$b_7 + b_{10}$	$b_8 + b_9$	Z.	log C''	log D''	$x_1 + x_{16}$	$x_2 + x_{15}$	$x_3 + x_{14}$	$x_4 + x_{13}$
36	+0.03470	+0.03503	72 43' 57"	4.048 "	3.78 "	- 4 419"	- 4 431"	- 2 911"	- 2 865"
37	+0.00652	+0.00681	81 39 31	4.180 "	3.90 "	- 1 663	- 1 760	- 1 934	+ 1 343
38	-0.00037	+0.00007	80 3 2	4.155 "	3.88 "	- 10	- 26	+ 63	+ 333
39	+0.00046	+0.00281	82 41 38	4.190 "	3.92 "	- 109	- 131	- 44	- 26
40	-0.00070	+0.00032	79 52 49	4.147 "	3.88 "	- 71	+ 353	+ 51	- 8
41	+0.01865	+0.02042	73 49 40	4.048 "	3.80 "	- 3 405	- 3 362	- 3 291	+ 1 547
42	-0.00012	0.00000	69 23 58	3.967 "	3.75 "	- 34	- 13	+ 30	+ 72
43	-0.00011	+0.00105	72 26 10	4.004 "	3.77 "	- 75	- 80	- 38	+ 1
44	-0.00010	-0.00016	78 27 24	4.092 "	3.85 "	+ 138	+ 7	+ 56	+ 145
46	-0.06054	-0.06037	81 4 37	4.119 "	3.89 "	+ 6 149	+ 6 037	+ 6 131	+ 6 116
47	-0 01440	-0.01420	83 50 12	4.145 "	3.92 "	+ 6 718	+ 6 975	- 1 601	- 2 278
48	-0.00020	-0.00015	78 23 12	3.938 "	3.84 "	- 88	+ 49	+ 53	- 22
50	+0.00204	+0.00221	76 45 14	- ∞	3.90 "	- 432	- 208	- 363	- 275
51	+0.00174	+0.00286	62 7 24	3.981	4.10 "	- 451	- 472	- 347	- 452
52	-0.00003	+0.00021	80 32 54	2.99 "	3.90 "	- 35	- 103	+ 61	+ 44
53	+0.00035	-0.00023	79 23 7	2.99	3.91 "	- 104	- 29	+ 20	- 20
54	+0.00154	+0.00274	85 49 17	3.286 "	3.90 "	- 1 171	- 967	+ 381	+ 415
55	-0.00029	-0.00015	79 5 52	3.352	3.93 "	- 115	- 100	- 13	+ 20
56	+0.00007	-0.00008	78 25 33	3.553	3.95 "	- 124	- 141	- 22	- 75
57	-0.00008	-0.00030	78 33 12	3.587	3.95 "	- 77	- 85	- 37	- 107
58	-0.00010	+0.00048	77 4 45	3.770	3.08 "	- 71	- 68	+ 31	- 28
59	-0.00025	-0.00008	80 58 27	3.61	3.95 "	- 107	- 35	+ 152	- 73

Lieu d'obs.	$x_5 + x_{12}$	$x_6 + x_{11}$	$x_7 + x_{10}$	$x_8 + x_9$	[A']	[A'']	[A''']	[b']	f'm
36	- 2 847"	+ 6 059"	+ 6 027"	+ 6 092"				- 0.17357	+ 29 957"
37	+ 1 176	+ 1 197	+ 1 177	+ 1 194				- 0.05257	+ 8 758
38	+ 31	- 3	- 43	+ 33				+ 0.00229	- 342
39	+ 25	+ 66	+ 134	+ 489				- 0.00559	+ 1 024
40	- 17	+ 25	- 46	+ 73				+ 0.00308	- 290
41	+ 1 114	+ 1 112	+ 3 229	+ 3 566				- 0.10178	+ 17 532
42	+ 123	+ 66	- 17	+ 8				+ 0.00021	+ 125
43	+ 218	+ 84	- 5	+ 156				- 0.00308	+ 645
44	+ 13	+ 30	- 15	- 59				+ 0.00169	- 377
46	+ 6 332	- 9 263	- 10 067	- 10 031				+ 0.28226	- 47 462
47	- 2 283	- 2 235	- 2 341	- 2 315				+ 0.11458	- 18 988
48	+ 76	+ 60	+ 40	+ 51				+ 0.00090	+ 235
50	+ 250	+ 323	+ 347	+ 352				- 0.01321	+ 2 550
51	+ 269	+ 435	+ 286	+ 465				- 0.01780	+ 3 177
52	+ 148	+ 21	- 67	- 42				- 0.00129	+ 93
53	+ 36	+ 16	+ 80	- 66				- 0.00024	+ 159
54	+ 411	+ 270	+ 274	+ 434				- 0.01524	+ 2 731
55	+ 198	+ 82	- 68	- 61				- 0.00108	+ 359
56	+ 29	+ 151	+ 63	+ 32				- 0.00054	+ 637
57	+ 161	+ 37	+ 21	- 18				+ 0.00025	+ 507
58	+ 29	- 43	- 34	+ 22				- 0.00099	+ 110
59	- 31	+ 38	- 40	- 15				+ 0.00120	+ 15

= 16 pour tons.

= 0 pour tons.

0 pour tons.

Lieu d'obs.	[$q\eta$]	[$a\eta$]	[$b\eta$]	[qm]	[aa]	[ab]	[am]	[bb]	[bm]	A
36			+ 0.03565	5 833"			- 705"	+ 0.063732	- 10 893".0	+ 44".1
37			- 0.01635	+ 2 834			- 730	+ 0.048083	- 7 952.1	+ 45.6
38			- 0.00105	+ 470			- 378	+ 0.026046	- 4 332.1	+ 23.6
39			+ 0.00329	- 362			- 404	+ 0.025886	- 4 273.9	+ 25.3
40			+ 0.00250	- 258			- 360	+ 0.025819	- 4 300.6	+ 22.5
41			- 0.00076	+ 454			- 510	+ 0.045506	- 7 744.5	+ 31.9
42			+ 0.00007	+ 347			- 235	+ 0.025944	- 4 486.8	+ 14.7
43			+ 0.00096	+ 269			- 261	+ 0.025717	- 4 413.2	+ 16.3
44	= 16 pour tous. = 0 pour tous.		+ 0.00123	+ 173	= 16 pour tous. = 0 pour tous.		- 315	+ 0.025820	- 4 364.0	+ 19.7
46			- 0.10058	+ 17 228			- 1 404	+ 0.103966	- 17 497.7	+ 87.8
47			+ 0.10490	- 17 434			- 640	+ 0.044815	- 7 492.4	+ 40.0
48			+ 0.00047	+ 115			- 219	+ 0.025910	- 4 501.3	+ 13.7
50			+ 0.00329	- 124			+ 6	+ 0.027516	- 4 856.6	- 0.4
51			+ 0.00034	+ 77			+ 267	+ 0.027810	- 4 824.9	- 16.7
52			+ 0.00023	+ 521			- 27	+ 0.025954	- 4 558.8	+ 1.7
53			+ 0.00014	+ 211			+ 27	+ 0.025920	- 4 556.3	- 1.7
54			- 0.01430	+ 2 907			- 47	+ 0.027528	- 4 825.3	+ 2.9
55			- 0.00138	+ 631			+ 57	+ 0.025893	- 4 529.3	- 3.6
56		- 0.00046	+ 253		+ 87	+ 0.025886	- 4 510.7	- 5.4		
57		- 0.00015	+ 213		+ 105	+ 0.025807	- 4 493.7	- 6.6		
58		+ 0.00057	+ 140		+ 162	+ 0.025896	- 4 485.0	- 10.1		
59		- 0.00062	+ 283		+ 111	+ 0.025887	- 4 503.6	- 6.9		

Lieu d'obs.	$\log R$	$\log \frac{dr}{dt}$	$\frac{dz}{dt}$	$\cos p \frac{d\delta}{dt}$	$\log \sin p$	δ	A_1	g
36	9.91825	0.00010	+ 0.82861	- 0.00002	9.95568	+ 23 25' 17"	72 44' 41"	29 38' 0"
37	9.90405	0.00010	+ 0.80196	- 0.00006	9.94102	+ 23 17 6	81 40 17	30 2 1
38	9.90653	0.00010	+ 0.80655	- 0.00009	9.94292	+ 23 6 44	80 3 26	30 13 22
39	9.90332	0.00009	+ 0.80059	- 0.00012	9.93893	+ 22 52 40	82 42 3	30 7 25
40	9.90717	0.00009	+ 0.80772	- 0.00014	9.94217	+ 22 41 22	79 53 12	30 27 32
41	9.91643	0.00009	+ 0.82513	- 0.00015	9.95038	+ 22 21 33	73 50 12	30 29 21
42	9.92347	0.00007	+ 0.83857	- 0.00016	9.95662	+ 22 6 27	69 24 13	30 5 43
43	9.92011	0.00007	+ 0.83211	- 0.00019	9.95194	+ 21 40 42	72 26 26	30 24 45
44	9.91350	0.00006	+ 0.81952	- 0.00023	9.94385	+ 21 11 29	78 27 44	30 33 16
46	9.91163	0.00005	+ 0.81598	- 0.00027	9.93984	+ 20 27 40	81 6 5	30 37 28
47	9.90889	0.00004	+ 0.81083	- 0.00030	9.93480	+ 19 38 22	83 50 52	30 51 28
48	9.92544	0.00000	+ 0.84225	- 0.00038	9.94267	+ 16 7 20	78 23 26	30 36 30
50	9.93232	9.99994	+ 0.85558	- 0.00053	9.93472	+ 6 24 55	76 45 14	31 13 49
51	9.92485	9.99994	+ 0.84099	- 0.00056	9.92693	+ 6 3 34	62 7 7	31 16 45
52	9.93022	9.99994	+ 0.85145	- 0.00054	9.93200	+ 5 39 41	80 32 56	31 40 53
53	9.93054	9.99993	+ 0.85206	- 0.00054	9.93205	+ 5 17 10	79 23 5	31 37 13
54	9.92929	9.99993	+ 0.84961	- 0.00056	9.93006	+ 4 8 20	85 49 20	31 49 4
55	9.92841	9.99993	+ 0.84789	- 0.00056	9.92881	+ 3 22 54	79 5 48	31 57 56
56	9.92674	9.99993	+ 0.84464	- 0.00057	9.92683	+ 2 36 45	78 25 28	32 10 50
57	9.92643	9.99993	+ 0.84403	- 0.00057	9.92639	+ 2 13 34	78 33 5	32 11 50
58	9.92410	9.99993	+ 0.83952	- 0.00058	9.92380	+ 1 3 52	77 4 35	32 17 50
59	9.92605	9.99993	+ 0.84330	- 0.00058	9.92571	+ 0 40 15	80 58 20	32 14 10

Lieu d'obs.	t	Equ. de temps.	T. m. de Gr.	λ	z
36	5 ^h 31 ^m 9 ^s .7	+ 2 ^m 9 ^s .3	23 ^h 57 ^m 40 ^s .3	5 ^h 35 ^m 38 ^s .7	83 54' 40"
37	6 15 17.2	+ 2 59.6	0 43 29.6	5 34 47.2	83 41 48
38	6 7 11.3	+ 3 35.2	0 36 56.9	5 33 49.6	83 27 24
39	6 19 35.7	+ 4 8.9	0 51 39.6	5 32 5.0	83 1 15
40	6 5 45.1	+ 4 29.7	0 38 25.2	5 31 49.6	82 57 24
41	5 35 24.5	+ 4 58.3	0 9 50.8	5 30 32.0	82 38 0
42	5 13 3.2	+ 5 15.3	23 48 49.6	5 29 28.9	82 22 14
43	5 27 5.3	+ 5 37.7	0 2 38.9	5 30 4.1	82 31 2
44	5 55 21.7	+ 5 55.0	0 32 16.7	5 29 0.6	82 15 9
46	6 6 39.1	+ 6 11.5	0 45 56.5	5 26 54.1	81 43 32
47	6 18 30.5	+ 6 18.3	0 58 5.7	5 26 43.1	81 40 47
48	5 43 23.8	+ 5 28.3	0 22 49.6	5 26 2.5	81 30 38
50	5 13 30.3	- 1 42.4	23 46 20.3	5 25 27.6	81 21 54
51	4 3 44.9	- 2 1.5	22 36 8.2	5 25 35.2	81 23 48
52	5 29 29.6	- 2 23.1	0 1 14.2	5 25 52.3	81 28 5
53	5 23 6.3	- 2 43.5	23 54 5.5	5 26 17.3	81 34 20
54	5 50 35.3	- 3 46.2	0 18 33.1	5 28 16.0	82 4 0
55	5 17 0.7	- 4 27.9	23 43 31.5	5 29 1.3	82 15 20
56	5 11 50.1	- 5 10.3	23 38 18.4	5 28 21.4	82 5 21
57	5 11 26.9	- 5 31.6	23 38 12.5	5 27 42.8	81 55 42
58	5 1 24.4	- 6 35.4	23 29 49.7	5 24 59.3	81 14 50
59	5 18 57.3	- 6 56.8	23 47 41.6	5 24 18.9	81 4 44

N:o 45 (série incomplète).

Campement 208 (Tag-ramoche), 1907 juillet 20, 0^h 1 t. m. de Gr.

γ_1	= - 42 ^m 19 ^s .3	x_3	= - 2 187 ^m	$[bm]$	= - 550 ^m .0
γ_2	= + 39 7.7	x_4	= - 741	A	= + 3 ^m .9
Diff. obs.	= - 80 57.8	x_5	= + 723	$\log B$	= 9.9228
γ_2 (réd.)	= - 41 50.1	x_6	= + 2 260	$\log \frac{dr}{dt}$	= 0.0001
γ (moyenne)	= - 42 4.7	x_7	= + 3 746	$\frac{dz}{dt}$	= + 0.8373
T	= 0 ^h 50 ^m 10 ^s .7	x_8	= + 5 251	$\cos p \frac{d\delta}{dt}$	= - 0.0002
b_1	= - 0.03063	$[pp]$	= 8	$\log \sin p$	= 9.9522
b_2	= - 0.02176	$[pq]$	= 0	δ	= + 20 50' 31"
b_3	= - 0.01294	$[ap]$	= 0	A_1	= 73 17 57
b_4	= - 0.00450	$[bp]$	= - 0.13904	q	= 30 1
b_5	= + 0.00423	$[pm]$	= + 23 929 ^m	l	= 5 ^h 28 ^m 56 ^s
b_6	= + 0.01304	$[qq]$	= 8	Equ. de temps	= + 6 5
b_7	= + 0.02195	$[aq]$	= 0	T. m. de Gr.	= 0 8 6
b_8	= + 0.03059	$[bq]$	= + 0.00032	i	= 5 26 55
Z	= - 73 ^h 17' 53"	$[qm]$	= + 79 ^m	i	= 81 44'
$\log C$	= 3.999 u	$[aa]$	= 8		
$\log D$	= 3.80 u	$[ab]$	= 0		
x_1	= - 5 261 ^m	$[am]$	= - 31 ^m		
x_2	= - 3 760	$[bb]$	= + 0.0032037		

VIII. La période 5 [60 (Gartok) — 68 (Camp. 302)].

Les coordonnées du lieu n^o 60 (Gartok) sont: φ $31^{\circ} 44' 6''$; λ $5^{\text{h}} 21^{\text{m}} 23^{\text{s}}$.

Les nombres de la deuxième approximation sont pour ce lieu:

	δ	Z	t	dt	Equ. de temps.	T	γ
Les 8 premières obs.	-2 26' 11"	74 25' 55"	4 ^h 39 ^m 58 ^s 0	-0 ^s 4	-9 ^m 40 ^s 7	23 ^h 59 ^m 12 ^s 7	-50 ^m 18 ^s 9
» 8 dernières	-2 26 27	77 45 5	4 55 54.4	-0.3	-9 40.9	0 15 10.7	-50 20.6

Ensuite, on trouve les nombres suivants, qui donnent les corrections des chronomètres pendant cette période:

Lieu d'obs.	T. m. de Gr.	Chr. 1		Diff. obs.	Chr. 2	
		γ	$d\gamma$		γ	$d\gamma$
60 (Gartok)	1907 sept. 29, 23 ^h 3	-50 ^m 19 ^s 8		+1 ^h 30 ^m 42 ^s 8	+40 ^m 23 ^s 0	
			-4 ^s 154			+2 ^s 456
68 (C. 302 = C. 9)	1908 janv. 11, 22.4	-57 31.7		+1 42 10.0	+44 38.3	

N^{os} 61—66 (séries complètes).

Lieu d'obs.	Campement et nom.	Date et heure (T. m. de Gr.)	γ_1	γ_2	Diff. obs.
61	253 Luma-ngoma	1907 oct. 20, 22 ^h 3	-51 ^m 46 ^s 6	+41 ^m 14 ^s 8	-1 ^h 33 ^m 10 ^s 0
62	254 Gargunsa	» 24, 22.9	-52 3.2	+41 24.7	-1 33 40.3
63	257 l'Indus	nov. 11, 14.2	-53 16.2	+42 8.2	-1 35 22.0
64	260 Demchok	15, 22.1	-53 34.2	+42 19.0	-1 35 52.0
65	263 Dungkang	18, 21.9	-53 46.5	+42 26.4	-1 36 13.5
66	276 Julgunluk	déc. 11, 21.4	-55 21.7	+43 23.1	-1 38 59.5

Lieu d'obs.	γ_2 red.)	γ moyenne)	T	$b_1 + b_{10}$	$b_2 + b_{13}$	$b_3 + b_{14}$	$b_4 + b_{13}$
61	-51 ^m 55 ^s 2	-51 ^m 51 ^s 2	23 ^h 9 ^m 12 ^s 9	-0.00020	-0.00018	-0.00016	-0.00045
62	-52 15.0	-52 9.8	23 43 11.2	-0.00011	+0.00007	+0.00005	-0.00041
63	-53 13.8	-53 15.0	15 8 13.7	+0.00005	-0.00023	-0.00008	-0.00018
64	-53 33.0	-53 34.3	23 1 39.8	+0.00007	+0.00009	+0.00009	+0.00293
65	-53 47.1	-53 47.5	22 45 14.5	+0.00019	-0.00022	-0.00017	-0.00037
66	-55 36.4	-55 30.1	22 17 15.6	+0.00006	-0.00005	-0.00006	-0.00052

Lieu d'obs.	$b_6 + b_{12}$	$b_6 + b_{11}$	$b_7 + b_{10}$	$b_8 + b_9$	Z	log C''	log D''	$x_1 - x_{15}$	$x_2 + x_{15}$
61	+ 0.00066	+ 0.00043	- 0.00002	- 0.00005	69 51' 40"	4.427	4.27 ⁿ	- 61"	- 60"
62	- 0.00032	- 0.00012	+ 0.00076	+ 0.00003	77 16 31	4.315	4.15 ⁿ	+ 13	+ 3.4
63	+ 0.00045	+ 0.00004	- 0.00007	- 0.00001	77 54 56	4.434	4.20	- 72	- 137
64	- 0.00027	+ 0.00033	+ 0.00075	- 0.00407	73 30 18	4.541	4.29 ⁿ	- 144	- 115
65	+ 0.00042	- 0.00059	- 0.00010	+ 0.00086	71 10 15	4.603	4.34 ⁿ	- 136	- 152
66	- 0.00088	+ 0.00145	+ 0.00014	- 0.00017	69 11 18	4.724	4.37 ⁿ	- 155	- 199

Lieu d'obs.	$x_3 + x_{14}$	$x_4 + x_{13}$	$x_5 + x_{12}$	$x_6 + x_{11}$	$x_7 + x_{10}$	$x_8 + x_9$	[pp]	[pq]	[qp]	[rp]
61	- 54"	- 64"	- 32"	- 46"	- 201"	- 184"				- 0.00201
62	+ 90	+ 72	- 223	- 197	- 99	- 226	16			- 0.00075
63	+ 17	+ 26	- 97	- 18	- 273	- 155	16 pour tous			- 0.00085
64	- 100	+ 325	- 143	- 35	- 66	- 725	16 pour tous	o	o	+ 0.00644
65	- 134	- 138	- 76	- 180	- 188	- 23	16 pour tous			- 0.00116
66	- 116	- 228	- 279	+ 6	- 197	- 200	16 pour tous			- 0.00111

Lieu d'obs.	[pm]	[qq]	[aq]	[bq]	[qm]	[ar]	[ab]	[am]	[bb]	[bm]
61	- 224"			- 0.00093	+ 310"		+ 702"	+ 0.025988	- 4052".6	
62	- 954	16 pour tous		+ 0.00155	+ 20	16 pour tous	+ 536	+ 0.025941	- 4163 .6	
63	- 377	16 pour tous	o	- 0.00049	+ 565	16 pour tous	+ 709	+ 0.025892	+ 3908 .5	
64	- 935	16 pour tous		- 0.00624	+ 1097	16 pour tous	+ 1003	+ 0.028654	- 4044 .5	
65	+ 93	16 pour tous		+ 0.00144	- 29	16 pour tous	+ 1027	+ 0.025669	- 3414 .0	
66	+ 28	16 pour tous		- 0.00001	+ 134	16 pour tous	+ 1368	+ 0.025906	- 2797 .0	

Lieu d'obs.	A	log B	log $\frac{dr}{dt}$	$\frac{dz}{dt}$	$\cos p \frac{d\delta}{dt}$	log sin p	δ	A ₁
61	- 43".9	9.87853	9.99997	+ 0.75596	- 0.00064	9.88527	- 10 21' 38"	69 50' 56"
62	- 33 .5	9.89105	9.99998	+ 0.77809	- 0.00059	9.89995	- 11 46 58	77 15 57
63	- 44 .3	9.86441 ⁿ	0.00005	- 0.73191	- 0.00050	9.88498 ⁿ	- 17 21 13	77 54 12
64	- 62 .7	9.83526	0.00007	+ 0.68443	- 0.00049	9.85808	- 18 30 27	73 29 15
65	- 64 .2	9.80942	0.00008	+ 0.64491	- 0.00049	9.83114	- 19 14 42	71 9 11
66	- 85 .5	9.71896	0.00016	+ 0.52375	- 0.00019	9.75498	- 23 0 43	69 9 52

Lieu d'obs.	γ	t	Equ. de temps.	T. m. de Gr.	λ	λ
61	31° 59' 0"	3 ^h 52 ^m 46 ^s .4	- 15 ^m 8 ^s .4	22 ^h 17 ^m 21 ^s .7	5 ^h 20 ^m 16 ^s .3	80° 4' 5"
62	32 21 16	4 26 0.9	- 15 44.4	22 51 1.4	5 19 15.1	79 48 46
63	32 24 35	19 49 8.7	- 15 55.2	14 14 58.1	5 18 15.4	79 33 51
64	32 39 20	3 40 51.1	- 15 18.8	22 8 5.5	5 17 26.8	79 21 42
65	33 7 44	3 21 54.1	- 14 44.7	21 51 27.0	5 15 42.4	78 55 36
66	34 38 35	2 41 1.1	- 6 39.3	21 21 45.5	5 12 36.3	78 9 5

N:o 67 (série incomplète).

Campement 296, 1908 janv. 3, 16^h.6 t. m. de Gr.

γ_1	= - 56 ^m 57 ^s .4	x_3	= + 1935 ^{''}	$[bm]$	+ 664 ^{''} .0
γ_2	= + 44 18.1	x_4	= + 739	A	= - 53 ^{''} .5
Diff. obs.	= - 1 ^h 41 ^m 9 ^s .5	x_5	= - 567	$\log B$	= 9.6568 n
γ_2 (réd.)	= - 56 51.4	x_6	= - 1801	$\log \frac{dr}{dt}$	= 0.0002
γ (moyenne)	= - 56 54.4	x_7	= - 3108	$\frac{dc}{dt}$	= - 0.4539
T	= 17 31 3.0 ¹	x_8	= - 4531	$\cos p \frac{d\delta}{dt}$	= + 0.0002
b_1	= - 0.04479	$[\rho\rho]$	= 8	$\log \sin p$	= 9.6923 n
b_2	= - 0.03010	$[\rho q]$	= 0	δ	= - 22 ^h 52 ^m 9 ^s ''
b_3	= - 0.02073	$[ap]$	= 0	A_1	= 66 20 8
b_4	= - 0.00769	$[bp]$	= - 0.20658	φ	= 35 21
b_5	= + 0.00537	$[pm]$	= - 19586 ^{''}	t	= 21 ^h 45 ^m 40 ^s
b_6	= + 0.01895	$[qq]$	= 8	Equ. de temps	= + 4 26.6
b_7	= + 0.03184	$[aq]$	= 0	T. m. de Gr.	= 16 34 8.6
b_8	= + 0.04711	$[bq]$	= + 0.00816	λ	= 5 15 58
Z	= 66 ^o 21' 2 ^{''}	$[qm]$	= + 1040 ^{''}	λ	= 79 ^o 0'
$\log C$	= 4.786	$[aa]$	= 8		
$\log D$	= 4.39	$[ab]$	= 0		
x_1	= + 4135 ^{''}	$[am]$	= + 428 ^{''}		
x_2	= + 2770	$[bb]$	= + 0.007022		

IX. La période 6 [68 (Camp. 302)—79 (Camp. 397)].

Les coordonnées du n:o 68 (Camp. 302—Camp. 9) sont: φ = 35° 6' 52"; λ = 5^h 19^m 16^s.0. La deuxième approximation a donné pour ce lieu les nombres suivants:

	δ	Z	t	dt	Equ. de temps.	T	γ
Les 8 premières obs.	- 21 50' 11 ^{''}	74 51' 1 ^{''}	3 ^h 24 ^m 59 ^s .4	- 1 ^s .7	+ 8 ^m 0 ^s .9	23 ^h 11 ^m 12 ^s .8	- 57 ^m 30 ^s .2
» 8 dernières »	- 21 50 5	77 20 29	3 40 54.3	- 1.5	+ 8 1.2	23 27 11.2	- 57 33.2

Les corrections des chronomètres sont trouvées à l'aide des nombres contenus dans le tableau suivant:

Lieu d'obs.	T. m. de Gr.	Chr. 1.		Diff. obs.	Chr. 2.	
		γ	$\Delta\gamma$		γ	$\Delta\gamma$
N:o 68 (C. 302)	1908 janv. 11, 22 ^h .4	- 0 ^h 57 ^m 31 ^s .7		+ 1 ^h 42 ^m 10 ^s .0 + 44 ^m 38 ^s .3		
			- 8 ^s .38			+ 1 ^s .58
N:o 79 (C. 397)	» mai 2, 14.8	- 1 13 7.4		+ 2 0 42.5 + 47 35.1		

Nos 69—71, 76—78 (series complètes).

Lieu d'obs.	Campement.	Date et heure (T. m. de Gr.)	γ_1	γ_2	Diff. obs.
69	305	1908 janv. 14, 22 ^h .4	- 0 ^h 57 ^m 56 ^s .8	+ 44 ^m 43 ^s .0	- 1 ^h 42 ^m 31 ^s .5
70	323	févr. 6, 23.1	- 1 1 9.8	+ 45 19.4	- 1 46 20.3
71	335	20. 15.8	- 1 3 4.6	+ 45 41.1	- 1 48 39.0
76	370	avril 1, 13.9	[- 1 8 47.5]	+ 46 45.7	- 1 56 37.8
77	374	> 5, 14.4	[- 1 9 21.2]	+ 46 52.1	- 1 57 11.5
78	378	9, 23.5	[- 1 9 57.7]	+ 46 59.3	- 1 57 50.8

Lieu d'obs.	γ_2 (réd.)	γ (moyenne).	T'	$b_1 + b_{15}$	$b_2 + b_{13}$	$b_3 + b_{14}$	$b_4 + b_{13}$
69	- 0 ^h 57 ^m 48 ^s .5	- 0 ^h 57 ^m 52 ^s .7	23 ^h 19 ^m 15 ^s .9	+ 0.00190	+ 0.00004	- 0.00043	+ 0.00051
70	- 1 1 0.9	- 1 1 5.4	0 4 36.4	+ 0.00189	+ 0.00084	+ 0.00241	- 0.00309
71	- 1 2 57.9	- 1 3 1.3	16 49 7.0	- 0.00342	- 0.00257	- 0.00283	- 0.00239
76	- 1 9 52.1	- 1 9 52.1	15 3 14.4	- 0.00058	0.00000	- 0.00032	+ 0.00043
77	- 1 10 19.4	- 1 10 19.4	15 36 14.4	- 0.00040	- 0.00008	- 0.00047	- 0.00035
78	- 1 10 51.5	- 1 10 51.5	0 38 10.2	+ 0.00034	+ 0.00016	- 0.00041	- 0.00052

Lieu d'obs.	$b_5 + b_{12}$	$b_6 + b_{11}$	$b_7 + b_{10}$	$b_8 + b_9$	Z	$\log C''$	$\log D''$	$x_1 + x_{16}$	$x_2 + x_{15}$
69	- 0.00065	- 0.00028	- 0.00080	- 0.00034	75 39' 16"	4.580	4.28 "	+ 124"	- 99"
70	+ 0.00577	- 0.00387	+ 0.00011	- 0.00408	78 44 47	4.404	4.19 "	+ 138	+ 37
71	+ 0.00239	+ 0.00267	+ 0.00340	+ 0.00273	61 1 48	4.658	4.47	+ 299	+ 168
76	0.00000	+ 0.00034	+ 0.00015	- 0.00006	68 40 34	3.816	4.02	+ 43	- 28
77	+ 0.00142	- 0.00037	+ 0.00069	- 0.00050	60 47 58	3.997	4.11	+ 94	- 98
78	- 0.00023	+ 0.00021	+ 0.00075	- 0.00032	74 5 36	- ∞	3.88 "	+ 88	+ 2

Lieu d'obs.	$x_3 + x_{14}$	$x_4 + x_{13}$	$x_5 + x_{12}$	$x_6 + x_{11}$	$x_7 + x_{10}$	$x_8 + x_9$	$[f'']$	$[f''']$	$[a'']$	$[a''']$	
69	- 162"	+ 5"	- 201"	- 176"	- 230"	- 247"	 16 pour tous			+ 0.00409	
70	+ 287	- 508	+ 685	- 710	- 155	- 811				+ 0.00412	
71	+ 320	+ 177	- 455	- 493	- 708	- 578				- 0.02240	
76	+ 97	+ 15	+ 23	- 59	- 93	- 173			0	0	- 0.00090
77	+ 177	+ 188	- 141	+ 156	- 725	+ 89					- 0.00254
78	+ 34	+ 9	- 6	+ 47	+ 19	- 191					- 0.00084

Lieu d'obs.	$[pm]$	$[qq]$	$[aq]$	$[bq]$	$[qm]$	$[aa]$	$[ab]$	$[am]$	$[bb]$	$[bm]$
69	- 722''			+ 0.00165	- 82''			+ 986''	+ 0.025900	- 3379'' .9
70	- 945			- 0.00246	+ 545			+ 1037	+ 0.041209	- 6219 .5
71	- 3198			+ 0.00030	+ 368			+ 1270	+ 0.027881	+ 3731 .2
76	- 429	0	0	- 0.00094	+ 327	0	0	+ 175	+ 0.025985	+ 4551 .2
77	- 982			- 0.00052	+ 1020			+ 260	+ 0.025796	+ 4499 .7
78	- 264			+ 0.00188	+ 166			- 2	+ 0.025718	- 4575 .8

Lieu d'obs.	A	$\log B$	$\log \frac{dr}{dt}$	$\frac{dz}{dt}$	$\cos p \frac{d\delta}{dt}$	$\log \sin p$	δ	A_1
69	- 61'' .6	9.80117	0.00016	+ 0.63289	+ 0.00036	9.83242	- 21 20' 17''	75 38' 14''
70	- 64 .8	9.86436	0.00007	+ 0.73186	+ 0.00055	9.88118	- 15 39 35	78 43 42
71	- 79 .4	9.81205 "	0.00002	- 0.64874	+ 0.00075	9.81974 "	- 11 4 43	61 0 29
76	- 10 .9	9.92896 "	9.99996	- 0.84902	+ 0.00056	9.93010 "	+ 4 43 8	68 40 23
77	- 16 .3	9.92721 "	9.99996	- 0.84561	+ 0.00055	9.92948 "	+ 6 15 22	60 47 42
78	+ 0 .1	9.93579	9.99997	+ 0.86250	+ 0.00050	9.94015	+ 7 53 42	74 5 36

Lieu d'obs.	r	t	Equ. de temps.	T. m. de Gr.	λ	λ
69	34 51' 10''	3 ^h 33 ^m 29 ^s .9	+ 9 ^m 9 ^s .5	22 ^h 21 ^m 23 ^s .2	5 ^h 21 ^m 16 ^s .2	80 19' 3''
70	34 4 23	4 16 56.4	+ 14 15.3	23 3 31.0	5 27 40.7	81 55 10
71	33 28 13	21 4 43.3	+ 13 57.3	15 46 8.4	5 32 32.2	83 8 3
76	31 7 44	19 28 27.5	+ 3 49.9	13 53 22.3	5 38 55.1	84 43 46
77	30 40 10	20 1 30.3	+ 2 38.7	14 25 55.0	5 38 14.0	84 33 30
78	30 20 30	5 4 35.3	+ 1 24.6	23 27 18.7	5 38 41.2	84 40 18

Nos 72, 73, 74 (séries incomplètes). Les 8 premières obs. de chaque série.

Lieu d'obs.	Campement.	Date et heure (T. m. de Gr.)	γ_1	γ_2	Diff. obs.
72	339	1908 févr. 25, 15 ^h .2	- 1 ^h 3 ^m 46 ^s .3	+ 45 ^m 48 ^s .9	- 1 ^h 49 ^m 37 ^s .5
73	346	mars 5, 15.2	[- 1 5 1.7]	+ 46 3.2	- 1 51 21.5
74	357	" 17, 22.9	[- 1 6 44.9]	+ 46 22.6	- 1 53 59.0

Lieu d'obs.	γ_1 (rédu.)	γ (moyenne).	T	δ_1	b_2	b_3	b_4
72	- 1 ^h 3 ^m 48 ^s .6	- 1 ^h 3 ^m 47 ^s .5	16 ^h 16 ^m 20 ^s .5	- 0.03035	- 0.02253	- 0.01348	- 0.00489
73	- 1 5 18.3	- 1 5 18.3	16 14 20.6	- 0.03099	- 0.02207	- 0.01369	- 0.00452
74	- 1 7 36.4	- 1 7 36.4	0 0 14.8	- 0.03072	- 0.02191	- 0.01254	- 0.00451

Lieu d'obs.	b_3	b_6	b_7	b_8	z	$\log C''$	$\log D'$	i	λ_2
72	+ 0.00479	+ 0.01407	+ 0.02167	+ 0.03068	64 56' 7"	4.528	4.37	+ 4412"	+ 3268"
73	+ 0.00513	+ 0.01278	+ 0.02172	+ 0.03164	62 9 23	4.494	4.35	+ 4736	+ 3371
74	+ 0.00423	+ 0.01295	+ 0.02200	+ 0.03049	70 22 25	4.116	4.12 "	- 5228	- 3744

Lieu d'obs.	x_3	x_4	x_5	x_8	x_7	x_6	$[ff]$	$[fq]$	$[af]$	$[bf]$
72	+ 2025"	+ 747"	- 661	- 2053	- 3287	- 4565				- 0.14246
73	+ 2106	+ 698	- 797	- 1928	- 3376	- 4917	∞	o	o	- 0.14254
74	- 2147	- 750	+ 762	+ 2209	+ 3719	+ 5140				- 0.13937

Lieu d'obs.	$[fm]$	$[qq]$	$[aq]$	$[bq]$	$[qm]$	$[aa]$	$[ab]$	$[am]$	$[bb]$	$[bm]$
72	- 21018"			- 0.00102	+ 230"	∞	o	+ 114"	+ 0.0032661	+ 481 .8
73	- 21929	∞	o	+ 0.00060	+ 265	∞	o	+ 107	+ 0.0033181	+ 510 .8
74	+ 23699			- 0.00029	+ 187			+ 39	+ 0.0031999	- 543 .2

Lieu d'obs.	t	$\log h'$	$\log \frac{dt}{dt}$	$\frac{dz}{dt}$	$\cos p \frac{d\delta}{dt}$	$\log \sin p'$	δ	A_1
72	- 14".2	9.8546 "	0.0000	- 0.7155	+ 0.0007	9.8509 "	- 9 15' 54"	64 55' 53"
73	- 13 .4	9.8740 "	0.0000	- 0.7482	+ 0.0007	9.8759 "	- 5 50 56	62 9 10
74	- 4 .9	9.9129	0.0000	+ 0.8183	+ 0.0006	9.9133	- 1 0 48	70 22 20

Lieu d'obs.	η	t	Equ. de temps.	T. m. de Gr.	z	i
72	33 15'	20 ^h 33 ^m 19 ^s	+ 13 ^m 18 ^s .4	15 ^h 12 ^m 33 ^s .0	5 ^h 34 ^m 4 ^s	83 31'
73	[32 12]	20 33 6	+ 11 33.4	15 9 2.3	5 35 37	[83 54]
74	32 19	4 23 28	+ 8 15.7	22 52 38.4	5 39 5	84 46

La série n:o 75 ne consiste qu'en 5 observations et n'a pas été calculée.

X. La période 7 [79 (Camp. 397)—99 (Camp. 459)].

Les coordonnées du lieu n:o 79 (Camp. 397) sont: $\varphi = 29^{\circ} 32' 40''$; $\lambda = 5^h 41^m 30^s.3$
 et celles du lieu n:o 98 (Camp. 451, Tokchen supérieur): $\varphi = 30^{\circ} 42' 56''$; $\lambda = 5^h 26^m 44^s.4$.
 Dans la deuxième approximation les nombres suivants sont obtenus:

Lieu d'obs.	Observations.	δ	Z	t	dt	Equ. de temps.	T	γ
79	Les 8 premières	+ 15 31' 28"	48 50' 5"	20 ^h 35 ^m 33 ^s .3	+ 0.7	- 3 ^m 9 ^s .2	16 ^h 4 ^m 1 ^s .9	- 1 ^h 13 ^m 7 ^s .4
79	3 dernières*	+ 15 31 43	44 22 17	20 56 12.1	0.0	- 3 9.3	16 24 38.9	[- 1 13 6.4]
98	8 premières	+ 21 28 11	60 38 28	19 29 7.1	- 0.2	+ 5 45.0	15 29 11.3	- 1 21 3.8
98	» 8 dernières	+ 21 28 5	57 13 11	19 45 11.9	- 0.2	+ 5 45.1	15 45 16.8	- 1 21 4.4

Les corrections des chronomètres sont trouvées à l'aide des nombres du tableau suivant:

Lieu d'obs.	T. m. de Gr.	Chr. 1.		Diff. obs.	Chr. 2.	
		γ	$d\gamma$		γ	$d\gamma$
79	1908 mai 2, 14 ^h 8	- 1 ^h 13 ^m 7 ^s .4	- 6 ^s .443	+ 2 ^h 0 ^m 42 ^s .5	+ 47 ^m 35 ^s .1	+ 1 ^s .559
98	juillet 15, 14.3	- 1 21 4.1		+ 2 10 34.5	+ 49 30.4	

N:os 80—83, 85—94, 96, 97, 99 (séries complètes).

Lieu d'obs.	Campement et nom.	Date et heure (T. m. de Gr.)		γ_1	γ_2	Diff. obs.
80	409	1908 mai	18, 0 ^h 0	- 1 ^h 14 ^m 46 ^s .5	+ 47 ^m 59 ^s .1	- 2 ^h 2 ^m 41 ^s .3
81	410		19, 13.2	- 1 14 56.5	+ 48 1.5	- 2 2 54.5
82	413 Mendong		26, 0.8	- 1 15 38.3	+ 48 11.6	- 2 3 50.8
83	416		30, 14.6	- 1 16 7.7	+ 48 18.7	- 2 4 22.0
85	422	juin	6, 13.4	- 1 16 52.5	+ 48 29.6	- 2 5 16.2
86	423 Tarok-schung		7, 0.3	- 1 16 55.5	+ 48 30.3	- 2 5 20.0
87	425		10, 13.6	- 1 17 18.3	+ 48 35.8	- 2 5 49.3
88	426 Gjänã-tso		11, 0.6	- 1 17 21.3	+ 48 36.5	- 2 5 54.5
89	427		12, 0.6	- 1 17 27.7	+ 48 38.1	- 2 6 1.8
90	428		13, 13.2	- 1 17 37.6	+ 48 40.5	- 2 6 14.5
91	433		20, 13.4	- 1 18 22.7	+ 48 51.4	- 2 7 9.5
92	435		22, 13.7	- 1 18 35.7	+ 48 54.5	- 2 7 26.3
93	437		24, 13.2	- 1 18 48.5	+ 48 57.6	- 2 7 43.8
94	439		26, 13.4	- 1 19 1.4	+ 49 0.8	- 2 8 0.3
96	443	juillet	5, 0.6	- 1 19 55.9	+ 49 14.0	- 2 9 17.8
97	448		10, 14.0	- 1 20 31.7	+ 49 22.6	- 2 9 58.3
99	459 Tistapuri-jung	»	31, 0.2	- 1 22 43.4	+ 49 54.4	- 2 12 48.8

* La onzième observation fut répétée.

Lieu d'obs.	γ_2 (réd.)	γ' (moyenne).	T	$b_1 + b_{14}$	$b_2 + b_{15}$	$b_3 + b_{16}$	$b_4 + b_{13}$
80	- 1 ^h 14 ^m 42 ^s .2	- 1 ^h 14 ^m 44 ^s .4	1 ^h 16 ^m 9 ^s .8	+ 0.00013	+ 0.00004	- 0.00019	- 0.00005
81	- 1 14 53.0	- 1 14 54.8	14 27 14.0	- 0.00079	+ 0.00003	+ 0.00104	- 0.00003
82	- 1 15 39.2	- 1 15 38.8	2 2 39.8	- 0.01300	- 0.01262	+ 0.00457	+ 0.00415
83	- 1 16 3.3	- 1 16 5.5	15 53 12.0	- 0.00025	- 0.00038	- 0.00009	+ 0.00131
85	- 1 16 46.6	- 1 16 49.6	14 39 11.4	- 0.00031	- 0.00003	- 0.00035	- 0.00021
86	- 1 16 49.7	- 1 16 52.6	1 33 9.9	+ 0.00037	+ 0.00013	- 0.00025	+ 0.00010
87	- 1 17 13.5	- 1 17 15.9	14 55 11.8	0.00000	- 0.00005	- 0.00019	- 0.00027
88	- 1 17 18.0	- 1 17 19.7	1 51 11.6	+ 0.00195	+ 0.00047	- 0.00082	- 0.00018
89	- 1 17 23.7	- 1 17 25.7	1 53 9.3	+ 0.00027	+ 0.00038	+ 0.00003	- 0.00028
90	- 1 17 34.0	- 1 17 35.8	14 30 13.7	+ 0.00097	- 0.00019	- 0.00028	+ 0.00104
91	- 1 18 18.1	- 1 18 20.4	14 42 12.3	- 0.00051	- 0.00017	+ 0.00006	+ 0.00051
92	- 1 18 31.8	- 1 18 33.8	14 58 11.1	- 0.00005	+ 0.00018	- 0.00007	+ 0.00101
93	- 1 18 46.2	- 1 18 47.4	14 28 4.1	+ 0.00108	+ 0.00138	+ 0.00097	+ 0.00110
94	- 1 18 59.5	- 1 19 0.5	14 40 10.5	- 0.00017	+ 0.00048	- 0.00025	+ 0.00005
96	- 1 20 3.8	- 1 19 59.9	1 56 9.7	+ 0.00030	+ 0.00023	- 0.00012	- 0.00010
97	- 1 20 35.7	- 1 20 33.7	15 18 12.2	+ 0.00012	+ 0.00018	- 0.00003	+ 0.00026
99	- 1 22 54.4	- 1 22 48.9	1 31 58.4	- 0.00283	- 0.00280	- 0.00289	+ 0.00148

Lieu d'obs.	$b_5 + b_{12}$	$b_6 + b_{11}$	$b_7 + b_{10}$	$b_8 + b_9$	Z	$\log C''$	$\log D''$	$x_1 + x_{16}$	$x_2 + x_{15}$
80	+ 0.00011	+ 0.00003	0.00000	- 0.00009	77 44' 19"	4.043 "	3.84 "	+ 51"	+ 26"
81	- 0.00012	- 0.00017	- 0.00052	+ 0.00049	67 46 27	3.868 "	3.77 "	+ 66	+ 209
82	+ 0.00408	+ 0.00415	+ 0.00422	+ 0.00439	85 35 38	4.213 "	3.96 "	- 2075	- 2065
83	- 0.00004	- 0.00047	+ 0.00015	- 0.00032	49 43 24	3.38 "	3.78 "	+ 34	+ 71
85	+ 0.00031	+ 0.00032	+ 0.00033	- 0.00003	66 3 46	3.933 "	3.74 "	+ 50	+ 13
86	- 0.00024	- 0.00065	+ 0.00019	+ 0.00033	77 20 53	4.116 "	3.86 "	+ 107	+ 64
87	+ 0.00023	+ 0.00041	0.00000	- 0.00017	63 4 41	3.892 "	3.72 "	+ 1	+ 35
88	- 0.00058	- 0.00038	- 0.00008	- 0.00041	80 21 23	4.169 "	3.90 "	+ 388	+ 108
89	- 0.00045	- 0.00019	+ 0.00019	+ 0.00008	80 36 29	4.174 "	3.90 "	+ 120	+ 129
90	- 0.00040	- 0.00019	- 0.00031	- 0.00066	68 40 2	3.992 "	3.76 "	- 187	+ 46
91	+ 0.00054	+ 0.00008	- 0.00013	- 0.00036	66 43 34	3.966 "	3.75 "	+ 79	+ 15
92	- 0.00027	- 0.00002	- 0.00065	- 0.00016	63 36 42	3.915 "	3.73 "	+ 119	+ 130
93	+ 0.00078	+ 0.00107	+ 0.00147	- 0.00790	69 58 34	4.020 "	3.70 "	- 172	- 221
94	- 0.00013	+ 0.00005	+ 0.00002	- 0.00001	67 48 56	3.987 "	3.77 "	+ 35	- 79
96	- 0.00021	- 0.00004	+ 0.00008	- 0.00019	78 49 26	4.143 "	3.88 "	+ 68	+ 39
97	- 0.00006	- 0.00029	+ 0.00014	- 0.00029	62 12 42	3.840 "	3.72 "	+ 11	+ 4
99	+ 0.00145	+ 0.00171	+ 0.00186	+ 0.00192	73 36 49	3.927 "	3.81 "	- 538	- 555

Lieu d'obs.	$x_3 + x_{14}$	$x_4 + x_{13}$	$x_5 + x_{12}$	$x_6 + x_{11}$	$x_7 + x_{10}$	$x_8 + x_9$	$[pp]$	$[pq]$	$[ap]$	$[bp]$
80	+ 69"	+ 114"	+ 55"	+ 38"	- 43"	- 29"				- 0.00012
81	- 160	+ 47	+ 96	+ 59	+ 27	- 160				+ 0.00057
82	+ 828	+ 811	+ 791	+ 793	+ 691	+ 727				- 0.03374
83	+ 83	- 140	+ 19	+ 80	- 87	+ 3				+ 0.00127
85	+ 150	+ 141	+ 6	+ 1	- 87	- 56				- 0.00183
86	+ 107	+ 158	- 11	- 94	- 21	+ 31				+ 0.00072
87	+ 134	+ 160	- 4	- 47	- 32	- 41				- 0.00098
88	- 55	+ 78	- 33	- 3	- 43	- 64				+ 0.00287
89	+ 100	+ 65	- 44	+ 23	+ 11	- 20		 0	 0	+ 0.00077
90	+ 110	- 139	+ 180	+ 116	+ 18	+ 118				+ 0.00310
91	+ 114	+ 25	+ 40	+ 67	- 76	- 27				- 0.00024
92	+ 234	+ 41	+ 300	+ 253	- 261	- 601				+ 0.00217
93	- 95	- 111	- 49	- 103	- 235	+ 1303				+ 0.00911
94	+ 109	+ 51	+ 125	+ 98	- 94	+ 7				+ 0.00018
96	+ 105	+ 162	+ 52	+ 40	- 27	- 77				+ 0.00067
97	+ 67	+ 39	+ 63	+ 116	- 63	- 56				+ 0.00103
99	- 515	+ 316	+ 337	+ 420	+ 400	+ 366				- 0.01398

= 16 pour tous

Lieu d'obs.	$[pm]$	$[qq]$	$[aq]$	$[by]$	$[qm]$	$[aa]$	$[ab]$	$[am]$	$[bb]$	$[bm]$
80	- 239"			+ 0.00018	+ 271"			- 281"	+ 0.025854	- 4403".6
81	- 140			- 0.00151	- 100			- 184	+ 0.026060	+ 4558 .0
82	+ 5503			- 0.03396	+ 5945			- 501	+ 0.030755	- 5035 .3
83	- 33			- 0.00151	+ 21			- 63	+ 0.026019	+ 4605 .2
85	- 490			- 0.00011	+ 378			- 218	+ 0.025923	+ 4465 .5
86	- 531			+ 0.00206	- 21			- 341	+ 0.025907	- 4319 .1
87	- 454			- 0.00040	+ 280			- 206	+ 0.025890	+ 4481 .0
88	- 662			+ 0.00380	- 402	 16	 0	- 376	+ 0.025620	- 4221 .7
89	- 444	 0	 0	+ 0.00181	- 96	 16	 0	- 384	+ 0.025871	- 4260 .8
90	+ 602			- 0.00036	+ 272			- 262	+ 0.025867	+ 4409 .1
91	- 229			- 0.00236	+ 255			- 237	+ 0.026009	+ 4453 .2
92	- 833			- 0.00133	+ 1441			- 215	+ 0.026058	+ 4671 .3
93	+ 1515			- 0.00789	- 1033			- 317	+ 0.031079	+ 5252 .0
94	+ 20			+ 0.00060	+ 514			- 252	+ 0.025881	+ 4399 .1
96	- 386			+ 0.00089	+ 356			- 362	+ 0.025913	- 4289 .1
97	- 61			+ 0.00027	+ 389			- 181	+ 0.025812	+ 4483 .4
99	+ 2815			- 0.00360	+ 885			- 231	+ 0.027474	- 4747 .4

Lieu d'obs.	A	$\log B$	$\log \frac{dr}{dt}$	$\frac{dz}{dt}$	$\cos p \frac{d\delta}{dt}$	$\log \sin p$	δ	A_1
80	+ 17".6	9.91685	0.00004	+ 0.82583	+ 0.00029	9.94276	+ 19° 31' 27"	77 44' 37"
81	+ 11 .5	9.92835 "	0.00005	- 0.84801	+ 0.00026	9.95490	+ 19 51 33	67 46 39
82	+ 31 .3	9.89963	0.00006	+ 0.79376	+ 0.00025	9.93000	+ 21 6 43	85 36 9
83	+ 3 .9	9.93354 "	0.00008	- 0.85826	+ 0.00016	9.96590 "	+ 21 50 41	49 43 28
85	+ 13 .0	9.92174 "	0.00009	- 0.83528	+ 0.00012	9.95679 "	+ 22 42 8	66 4 0
86	+ 21 .3	9.90754	0.00009	+ 0.80841	+ 0.00013	9.94287	+ 22 44 50	77 21 14
87	+ 12 .9	9.92382 "	0.00009	- 0.83929	+ 0.00008	9.96001 "	+ 23 3 8	63 4 54
88	+ 23 .5	9.90232	0.00009	+ 0.79875	+ 0.00010	9.93872	+ 23 5 6	80 21 47
89	+ 24 .0	9.90225	0.00009	+ 0.79862	+ 0.00009	9.93886	+ 23 9 9	80 36 53
90	+ 16 .4	9.91718 "	0.00009	- 0.82655	+ 0.00006	9.95400 "	+ 23 14 31	68 40 18
91	+ 14 .8	9.91912 "	0.00010	- 0.83027	+ 0.00001	9.95664	+ 23 26 55	66 43 49
92	+ 13 .4	9.93910 "	0.00010	- 0.86936	- 0.00001	9.97663 "	+ 23 26 44	63 36 55
93	+ 19 .8	9.91344 "	0.00010	- 0.81948	- 0.00003	9.95087 "	+ 23 24 56	69 58 54
94	+ 15 .8	9.91595 "	0.00010	- 0.82423	- 0.00004	9.95320 "	+ 23 21 27	67 49 12
96	+ 22 .6	9.90451	0.00009	+ 0.80262	- 0.00013	9.93981	+ 22 48 40	78 49 49
97	+ 11 .3	9.92536 "	0.00007	- 0.84223	- 0.00015	9.95894 "	+ 22 11 39	62 12 53
99	+ 14 .4	9.92306	0.00002	+ 0.83768	- 0.00032	9.94549	+ 18 18 59	73 37 3

Lieu d'obs.	γ	t	Equ. de temps.	T. m. de Gr.	z	z
80	30 57' 3"	5 ^h 48 ^m 32 ^s .3	- 3 ^m 45 ^s .9	0 ^h 1 ^m 25 ^s .4	5 ^h 43 ^m 21 ^s .0	85 50' 15"
81	30 21 57	18 58 57.6	- 3 42.2	13 12 19.2	5 42 56.2	85 44 3
82	31 3 26	6 31 23.7	- 3 12.4	0 47 1.0	5 41 10.3	85 17 35
83	30 41 48	20 19 32.9	- 2 38.6	14 37 6.5	5 39 47.8	84 56 57
85	30 58 55	19 0 41.3	- 1 30.9	13 22 21.8	5 36 48.6	84 12 9
86	31 9 40	5 54 31.7	- 1 25.0	0 16 17.3	5 36 48.5	84 12 8
87	30 54 53	19 14 19.2	- 0 45.1	13 37 55.9	5 35 38.2	83 54 33
88	31 1 17	6 10 4.9	- 0 39.7	0 33 51.9	5 35 33.3	83 53 20
89	30 53 50	6 11 17.0	- 0 27.6	0 35 43.6	5 35 5.8	83 46 27
90	31 9 53	18 46 49.2	- 0 8.9	13 12 37.9	5 34 2.4	83 30 36
91	31 2 57	18 55 54.1	+ 1 20.7	13 23 51.9	5 33 22.9	83 20 44
92	[26 3 42]	—	—	—	—	—
93	31 36 3	18 39 30.8	+ 2 12.4	13 9 16.7	5 32 26.5	83 6 38
94	31 36 3	18 50 9.6	+ 2 38.0	13 21 10.0	5 31 37.0	82 54 24
96	31 20 8	6 2 18.1	+ 4 17.1	0 36 9.8	5 30 25.4	82 36 21
97	31 4 17	19 19 59.0	+ 5 9.5	13 57 38.5	5 27 30.0	81 52 30
99	31 11 0	5 26 12.3	+ 6 11.8	0 9 9.5	5 23 14.0	80 48 39

N:o 84 (série incomplète).

Campement 419, 1908 juin 3, 0^h.5 t. m. de Gr.

γ_1	= - 1 ^h 16 ^m 29 ^s .8	x_3	= - 2160"	$[bm]$	= - 532".7
γ_2	= + 0 48 24.1	x_4	= - 733	A	= + 5".6
Diff. obs.	= - 2 4 50.0	x_5	= + 761	$\log B$	= 9.9062
γ_2 (réd.)	= - 1 16 25.9	x_6	= + 2194	$\log \frac{dr}{dt}$	= 0.00008
γ (moyenne) = - 1 16 27.9		x_7	= + 3609	$\frac{dz}{dt}$	= + 0.8059
T	= 1 44 9.1	x_8	= + 5095	$\cos p \frac{d\delta}{dt}$	= + 0.00017
b_1	= - 0.03074	$[pp]$	= 8	$\log \sin p$	= 9.9402
b_2	= - 0.02150	$[pq]$	= 0	δ	= + 22' 18" 17"
b_3	= - 0.01305	$[ap]$	= 0	A_1	= 80 26 17
b_4	= - 0.00447	$[bp]$	= - 0.13952	φ	= 30 42
b_5	= + 0.00440	$[pm]$	= + 23273"	t	= 6 ^h 7 ^m 58 ^s
b_6	= + 0.01298	$[qq]$	= 8	Equ. de temps = - 2 8	
b_7	= + 0.02177	$[aq]$	= 0	T. m. de Gr. = 0 27 41	
b_8	= + 0.03061	$[bq]$	= + 0.00028	λ	= 5 38 9
Z	= 80 26' 11"	$[qm]$	= + 79"	λ	= 84 32'
$\log C$	= 4.154 π	$[aa]$	= 8		
$\log D$	= 3.89 π	$[ab]$	= 0		
x_1	= - 5128"	$[am]$	= - 45"		
x_2	= - 3593	$[bb]$	= + 0.0031963		

La série n:o 95 ne contient que 5 observations et n'a pas été calculée.

Les corrections des chronomètres, extrapolées 34 jours, sont à l'époque de la série n:o 100 γ_1 = - 1^h 24^m 45^s.8; γ_2 (réd.) = - 1^h 25^m 38^s.3 et différent de 52^s.5. A cause de cette incertitude le calcul de la série n:o 100 ne fut pas poursuivi.

SVEN HEDIN

SOUTHERN TIBET

1906—1908

SOUTHERN TIBET

DISCOVERIES IN FORMER TIMES COMPARED
WITH MY OWN RESEARCHES IN 1906—1908

BY

SVEN HEDIN

VOL. VI PART III

BOTANY

BY

PROF. DR. C. H. OSTENFELD

STOCKHOLM 1922

LITHOGRAPHIC INSTITUTE OF THE GENERAL STAFF OF THE SWEDISH ARMY

LEIPZIG 1922

DRUCK VON F. A. BROCKHAUS

CONTENTS

	Page
Preface	9
I. A List of the Places where Plants were collected, by Dr. SVEN HEDIN	11
II. A List of Flowering Plants from Inner Asia, collected by Dr. SVEN HEDIN, determined by various authors and compiled by C. H. OSTENFELD and OVE PAULSEN. With eight Plates	25
III. Musci, collected by Dr. SVEN HEDIN, determined by V. F. BROTHERUS and N. BRYHN	101
IV. Bacillariales aus Innerasien, gesammelt von Dr. SVEN HEDIN, bearbeitet von FRIEDRICH HUSTEDT. Mit zwei Tafeln	105
V. Algen aus Zentralasien, gesammelt von Dr. SVEN HEDIN, bearbeitet von N. WILLE. Mit einer Tafel	153

VOL. VI PART III

BOTANY

BY

PROF. DR. C. H. OSTENFELD

P R E F A C E.

In 1919 Dr. SVEN HEDIN asked me to assist him with the working out and publication of the botanical material which he had brought home from his travels in Inner Asia. I had already had the greater part of the Flowering Plants for study 10 years or so ago, and Dr. Ove PAULSEN and I had at that time identified most of the specimens, but several circumstances prevented us from finishing our work and the material was sent back to »Stockholms Högskola« to which institution Dr. Hedin had presented his collections.

To the request of Dr. Hedin I replied that I was willing to meet his wish if he would provide the collections with the necessary notes on locality, altitude, date, etc. This he most kindly agreed to, and in the spring of 1920 I got the collections and the notes sent to me. Dr. Paulsen expressed his willingness to assist me as he had done on the former occasion.

As the material of some of the families of Flowering Plants at an earlier date were examined by some botanists at the Botanical Museum of Berlin, I asked Dr. L. DIELS, Dr. H. HARMS, Dr. R. PILGER and Dr. E. ULBRICH to continue their work with these families which they most kindly did.

The material sent consisted of the *Flowering Plants* collected by Dr. Hedin during his travels in 1894—95, 1899—1901 and 1906—07. Those collected during the expedition of 1896 were presented to Kew, and a list of the species named by W. B. HEMSLEY and H. H. W. PEARSON was published in Dr. Hedin's paper in »Petermanns Mitteilungen« (Ergänzungsband 28, 1900); these are also included in the present work.

Besides Flowering Plants Dr. Hedin collected a series of samples of *Algæ* which were given to Dr. N. WILLE of Christiania for determination. A list of the *Algæ* gathered in 1896 is to be found in the paper in »Petermanns Mitteilungen« already referred to. The other samples have now been worked out by Prof. WILLE and a full list of all the *algæ* is published as a separate paper in the following pages.

Mr. F. HUSTEDT of Bremen subsequently had the samples of *algæ* for examination with regard to the *Diatoms* and has given his result in another separate paper published here.

There are also some few *Mosses* present in the collections. These have been determined by Dr. V. F. BROTHÉRUS and Dr. N. BRYHN and are listed below.

The collections brought home by Dr. Hedin do not claim to be exhaustive for the regions where he travelled. He had to endure too many hardships and to travel under such circumstances that it was impossible to employ any considerable time for collecting, nor was it possible to carry any voluminous collection. It is really wonderful that he has been able to make any collection at all, and one cannot refrain from admiring his energy in bestowing time upon botany, working as he was in some of the most inaccessible tracts of the earth. But apart from the difficult conditions under which the collection was made, it has real value since very little is known about the vegetation of those parts of Asia.

I wish here to thank Dr. Hedin for the honour he has done me in confiding to me the publication of his botanical material. I also wish to thank my colleagues for having spared no labour to make the most of the material they have had in their hands.

Copenhagen, June 1921.

C. H. OSTENFELD.

I

A LIST OF THE PLACES WHERE
PLANTS WERE COLLECTED

BY

DR. SVEN HEDIN

The localities of the plants collected have been arranged chronologically in the following enumeration wherein notes on the physical conditions, geographical position, height above sea-level, date of collecting and other information are given.

1894.

Little Kara-kul, July 1894.

Little moraine lake, hardly $3\frac{1}{2}$ km. from north to south, at the N. N. W. foot of Mus-tagh-ata, Eastern Pamir; at its southern shore enters the brook of Sarik-kol in several delta arms flowing across swampy meadows. Towards the south-eastern shore runs a mountain ridge called Kara-kir which to the north and along the northern shore is connected with old moraine ridges of gravel and sand, here and there interrupted by grassy ground and meadows. Erratic blocks are often seen. Along the western shore a mountain ridge is situated, though narrow meadows have space enough at its base. Here also the ground is often swampy. There are many springs at the shores and in the swamps. Moss is rather common on the moraines and mountain slopes. At several places there are small lagoons along the shores.

At the northern shore a little brook issues from the lake and joins the river Ike-bel-su. Along its banks are swampy meadows and small pools formed from springs.

N. W. of Little Kara-kul are the two lakelets Lower and Upper Basik-kul. To the latter three valleys come down from the S. W. One of them is called Kara-jilga, and has a little brook partly fed by springs.

Little Kara-kul has an absolute altitude of 3720 m. Upper Basik-kul is at 3727 m. The lower part of the valley of Kara-jilga is a few meters higher. Swampy ground with grass is comparatively common in the last-mentioned valley and between it and Basik-kul.

The Korunde-glacier, July 27th 1894.

This glacier issues from the *névés* of Mus-tagh-ata, and its snout points to the north, in the direction of the river Ike-bel-su.

The snout of this glacier is on both sides, more especially the left or western one, surrounded by moraines, consisting of gravel, blocks of all sizes, and sand. In the depressions between the moraines and at protected places there is some vegetation. The absolute altitude is 4367 m.

Kamper-kishlak, July 29th 1894.

The snout of this glacier is directed to the W. N. W. from the N. W. part of the Mus-tagh-ata. The brook issuing from its snout joins the Su-bashi which in its lower part is called Sarik-kol and enters Little Kara-kul.

This glacier was only touched in passing between two camps. The altitude at which two or three specimens of plants were taken, was 4500 m.

Koch-korchu, July 29th 1894.

Mountainous region with grazing grounds of the Kirgiz sheep, along the western side of Mus-tagh-ata. The ground is covered with gravel, erratic blocks and some grass; here and there are swamps, small brooks and springs.

North. lat. $38^{\circ} 25'$, East. long. $75^{\circ} 7'$, Altitude 4161 m.

Sarimek-belcs, July 29th 1894.

Secondary threshold on a flat ridge stretching westwards at the western slope of Mus-tagh-ata.

Gravelly ground with sparse vegetation.

North. lat. $38^{\circ} 22'$, East. long. $75^{\circ} 5'$, Altitude 4762 m.

Tergen-bulak, Aug. 14th 1894.

Snout of a glacier and the surrounding region at the western slope of Mus-tagh-ata. Its brook joins the rivulet Su-bashi that goes to Little Kara-kul.

Gravelly ground with blocks and moraines. Moss, swamps, springs and occasionally grazing grounds.

North. lat. $38^{\circ} 12'$, East. long. $75^{\circ} 6'$, Altitude 4374 m.

Yam-bulak-bashi, end of July and middle of Aug. 1894.

Expanded snout of a glacier at the western slope of Mus-tagh-ata. As a rule the names only signify the grazing-grounds below the glaciers, where in summer the Kirgiz graze their flocks. The coordinates indicate my camps situated a short distance below the different snouts.

North. lat. $38^{\circ} 17'$, East. long. $75^{\circ} 4'$, Altitude 4439 m.

1895.

Ulutör, Aug. 2nd 1895.

A valley in the southernmost part of Taghdumbash or Eastern Pamir. Gravelly, partly swampy ground.

North. lat. $36^{\circ} 42'$, East. long. $75^{\circ} 28'$, Altitude 4589 m.

Kara-su, Aug. 8th 1895.

A valley in the southernmost part of Taghdumbash-Pamir. Good grazing grounds.

North. lat. $36^{\circ} 48'$, East. long. $75^{\circ} 33'$, Altitude 4315 m.

1896.

Turkomak-köll, April 23rd 1896.

A part of the shallow lake Kara-koshun or Southern Lop-nor, east of Abdal at the mouth of the Tarim. The Kara-koshun is nearly everywhere over-grown with reeds.

North. lat. $39^{\circ} 34'$, East. long. $89^{\circ} 23'$, Altitude 816 m.

Sarik-kol, Aug. 5th 1896.

Aul (camping place) on the northern slope of the Kwen-lun towards Eastern Turkestan.

North. lat. $37^{\circ} 6'$, East. long. $85^{\circ} 11'$, Altitude 3574 m.

Mit, Aug. 6th 1896.

Northern slope of the Kwen-lun towards Eastern Turkestan.

North. lat. $37^{\circ} 4'$, East. long. $85^{\circ} 10'$, Altitude 4008 m.

Camp I, Kara-muran, Aug. 7th 1896.

Altin-tagh, Northern Kwen-lun.

North. lat. $37^{\circ} 1'$, East. long. $85^{\circ} 10'$, Altitude 4075 m.

Camp X, Aug. 23rd 1896.

Southern side of Arka-tagh, a part of the Kwen-lun system, Northern Tibet.

North. lat. $36^{\circ} 18'$, East. long. $87^{\circ} 11'$, Altitude 5362 m.

The high latitudinal valley south of Arka-tagh (Kwen-lun) in Northern Tibet, 4700—5100 m. high; August 27th. to September 20th.

Between *Camp XII* and *Camp XIII*, Aug. 27th 1896.

At 4857 m.

Camp XIV, Aug. 28th 1896.

North. lat. $35^{\circ} 55'$, East. long. $88^{\circ} 5'$, Altitude 4968 m.

Camp XVII, Sept. 1st and 2nd 1896.

The vegetation is extremely poor everywhere in this region. The ground consists of gravel and dust.

North. lat. $35^{\circ} 48'$, East. long. $89^{\circ} 6'$, Altitude 5073 m.

Camp XIX, Sept. 5th 1896.

North. lat. $35^{\circ} 45'$, East. long. $89^{\circ} 25'$, Altitude 4985 m.

Camp XVI, Sept. 7th 1896.

North. lat. $35^{\circ} 44'$, East. long. $89^{\circ} 59'$, Altitude 4965 m.

Lake No. XVIII, Camp XVI, Sept. 12th 1896.

North. lat. $35^{\circ} 38'$, East. long. $91^{\circ} 7'$, Altitude 4920 m.

Between *Camp XXVI* and *Camp XXVII*, Sept. 14th 1896.

North. lat. $35^{\circ} 31'$, East. long. $91^{\circ} 30'$, Altitude 4849 m.

Between *Camp XXVIII* and *Camp XXIX*, Sept. 18th 1896.

North. lat. $35^{\circ} 30'$, East. long. $92^{\circ} 11'$, Altitude 4759 m.

Between *Camp XXIX* and *Camp XXX*, Sept. 20th 1896.

North. lat. $35^{\circ} 36'$, East. long. $92^{\circ} 24'$, Altitude 4863 m.

Camp XXXI, Sept. 21st 1896.

Northern Tibet. In the Kwen-lun mountains.

North. lat. $35^{\circ} 43'$, East. long. $92^{\circ} 37'$, Altitude 4616 m.

Camp XXXII, Sept. 22nd 1896.

Northern Tibet, Kwen-lun mountains.

North. lat. $35^{\circ} 49'$, East. long. $92^{\circ} 28'$, Altitude 4731 m.

Harato, Oct. 5th 1896.

Valley and region on the northern slope of Kwen-lun towards the depression of Tsaidam.

North. lat. $36^{\circ} 17'$, East. long. $93^{\circ} 51'$, Altitude 3321 m.

Toglude-gol, Oct. 17th 1896.

Brook and region in Southern Tsaidam. Steppe.

North. lat. $36^{\circ} 26'$, East. long. $95^{\circ} 28'$, Altitude 2731 m.

Illakimto, Oct. 28th 1896.

»Obok« on the S. E. shore of Kurluk-nor, swampy ground. East of Tsaidam.

North. lat. $37^{\circ} 16'$, East. long. $96^{\circ} 42'$, Altitude 2780 m.

1899.

Sorun-köl, Oct. 7th 1899.

The Yarkand-darya. Eastern Turkestan.

North. lat. $39^{\circ} 35'$, East. long. $78^{\circ} 55'$, Altitude 1120 m.

Milka, Oct. 9th 1899.

Forest region along the middle Yarkand-darya. The forest (*Populus euphratica*, etc.) reaches the very bank of the river. Shrub vegetation and reeds.

North. lat. $39^{\circ} 42'$, East. long. $79^{\circ} 7'$, Altitude 1108 m.

Ak-satma, Oct. 10th 1899.

Forest region on the middle Yarkand-darya. Eastern Turkestan.

North. lat. $39^{\circ} 42'$, East. long. $79^{\circ} 13'$, Altitude 1105 m.

1900.

Kara-koshun, Apr. 10th 1900.

Large, shallow lake in Eastern Turkestan which the Tarim enters. The maximum depth is about 4.5 m. As a rule the depth is only 1 m. or less. The lake is nearly everywhere filled with reeds, in which the natives (Lopliks) open narrow channels for canoes and nets. At a few places dry clay desert reaches the shore. This lake has also the classic name of Lop-nor. The water is perfectly fresh. Abundance of fish and of aquatic birds. Altitude 816 m.

Gölme-käti, May 19th 1900.

A little freshwater lake on the right bank of Lower Tarim. The river bed is here a little higher than the level desert at its sides. The vegetation strengthens the banks which, however, occasionally are broken through by the high-water. Thus a series of lakes is formed in the depressions between the high accumulations of sand dunes. One of these lakes is called Gölme-käti. Altitude 880 m.

Karaunelik-köl, May 20th 1900.

Freshwater lake at the right bank of Lower Tarim.

North. lat. $40^{\circ} 46'$, East. long. $86^{\circ} 59'$, Altitude 880 m.

Ullugh-köl, May 20th 1900.

Freshwater lake at the right bank of Lower Tarim, a short distance east of Gölme-käti. Altitude 878 m.

Chivilik-köl, June 2nd 1900.

Freshwater lake at one of the branches of Lower Tarim called Yettim-Tarim, which flows mostly through sand. As nearly all the small lakes formed by the Tarim the Chivilik-köl is no permanent formation. Altitude 829 m.

Ayagh-arghan, June 3rd 1900.

A region immediately below the confluence of the two Tarim branches. From this point the Tarim flows in one branch to the Kara-koshun. — Clay ground, steppe, reeds, partly sand.

North. lat. $40^{\circ} 9'$, East. long. $88^{\circ} 20'$, Altitude 833 m.

Bash-karaunelik, June 6th 1900.

Steppe region at Lower Tarim. The ground consists of clay and sand.

North. lat. $39^{\circ} 54'$, East. long. $88^{\circ} 23'$, Altitude 825 m.

Tuna-toghdı, June 8th and 9th 1900.

Steppe region at Lower Tarim. The ground consists of clay and some sand.

North. lat. $39^{\circ} 53'$, East. long. $88^{\circ} 21'$, Altitude 825 m.

Chigelik-ıı, June 11th—18th 1900.

Steppe region at the Lowest Tarim. Ground: clay and some sand.

North. lat. $39^{\circ} 32'$, East. long. $88^{\circ} 23'$, Altitude 819 m.

Yurt-chapghan, June 21st—22nd 1900.

Desolate, nearly barren steppe region at the left bank of Lowest Tarim, just above the point where the river enters the Kara-koshun or New Lop-nor. In the neighbourhood of this place is Abdal, abandoned in 1900, well-known from Prshevalskiy's visit in 1876.

North. lat. $39^{\circ} 30'$, East. long. $88^{\circ} 56'$, Altitude 817 m.

Usun-köl, June 23rd 1900.

Lake at the bank of Tarim near Abdal, immediately above the mouth of the Tarim in the Kara-koshun. Altitude 817 m.

Mapik-köl, June 23rd 1900.

A part of Kara-koshun. Altitude 816 m.

Dunglik, July 1st 1900.

Desert region 12 miles S. E. of Kara-koshun and Abdal. The ground consists of clay dust. Vegetation hills protected by the roots of plants.

North. lat. $39^{\circ} 18'$, East. long. $89^{\circ} 29'$, Altitude 882 m.

Tatlik-bulak, July 3rd 1900.

A spring on the road from Abdal to the mountains of North Tibet. Around the spring a vegetation belt. Tatlik-bulak is situated in a valley between comparatively low mountain ridges. Above Tatlik-bulak there are some other springs. The whole way up there is vegetation, though sparse.

North. lat. $39^{\circ} 9'$, East. long. $89^{\circ} 55'$, Altitude 1953 m.

Bash-kurghan, July 5th 1900.

A part of the valley in the lower region of which Tatlik-bulak is situated. Springs and vegetation.

North. lat. $39^{\circ} 4'$, East. long. $90^{\circ} 10'$, Altitude 2629 m.

Köl, July 9th 1900.

Camping ground on the road to N. E. Tibet; is also called Chimen-köl. At the foot of mountains. Open steppe to the N. E. The ground consists of yellow clay and fine gravel. There is a little pool (köl) fed by springs.

North. lat. $38^{\circ} 20'$, East. long. $90^{\circ} 11'$, Altitude 3004 m.

The plant taken at this place, *Eurotia ceratoides*, is in Eastern Turkestan called »teresken« (usually pronounced »tesken«), and in Western Tibet on the road between Yarkand and Ladak »yapkak«. In the region of the Kara-korum and on both sides of the Kara-korum Pass this plant is nearly the only one to be found, and is therefore sometimes the saving of a caravan. In spite of its hard, dry stem it is eaten by ponies and mules.

September 3rd, 1906, I found *Eurotia ccratooides* in abundance between *Camp III* (5382 m.) and *Camp IV* (5284 m.) at an altitude of about 5300 m. At 5382 m. not a single specimen was seen.

Temirlik, July 10th 1900.

Steppe region in North Tibet or rather in the open plateau-land between Akato-tagh and Chimen-tagh that eastwards gradually goes over into Tsaidam. Not far east of it is the lake Ghas-nor well-known from Chinese maps.

North. lat. $38^{\circ} 11'$, East. long. $90^{\circ} 19'$, Altitude 2961 m.

Mandarlik, July 13th—19th 1900.

A valley on the northern side of Chimen-tagh descending northward to Ghas-nor. There are springs and comparatively abundant vegetation.

North. lat. $37^{\circ} 47'$, East. long. $90^{\circ} 47'$, Altitude 3437 m.

Kar-yakak-sai, July 20th 1900.

A valley on the northern side of Chimen-tagh directed eastwards to the Tsaidam. Belongs to the Kwen-lun system and the regions between N. E. Tibet and Tsaidam.

North. lat. $37^{\circ} 37'$, East. long. $90^{\circ} 43'$, Altitude 3984 m.

Yapkaklik-sai, July 22nd 1900.

A valley on the N. E. side of Chimen-tagh directed to the N. E. and to Tsaidam. Belongs to the Kwen-lun system and the region between N. E. Tibet and Tsaidam.

North. lat. $37^{\circ} 32'$, East. long. $90^{\circ} 56'$, Altitude 3998 m.

Kayir, July 23rd 1900.

A valley with a brook between Chimen-tagh and Ara-tagh, N. E. Tibet.

North. lat. $37^{\circ} 26'$, East. long. $90^{\circ} 51'$, Altitude 4183 m.

Kalta-alaghan, July 24th 1900.

A mountain range in N. E. Tibet parallel to Ara-tagh and Chimen-tagh. Here *Camp XIII* is situated.

North. lat. $37^{\circ} 10'$, East. long. $90^{\circ} 43'$, Altitude 4652 m.

Ara-tagh, July 24th 1900.

Mountain range in N. E. Tibet parallel to Chimen-tagh and Kalta-alaghan. A pass in these mountains crossed July 24th, 1900, has an altitude of 4373 m. From the neighbourhood of this pass a *Potentilla* and an *Oxytropis* were taken. A nameless region with springs east of Kum-köl in N. E. Tibet, had an altitude of 3902 m. and was passed July 27th, 1900. *Hippuris vulgaris* was found at this place.

Kum-köl, July 28th 1900.

Freshwater lake in N. E. Tibet. At its S. E. shore is my *Camp XVI*. South of the lake and the camp an extensive field of barren sand dunes is situated.

North. lat. $37^{\circ} 17'$, East. long. $90^{\circ} 10'$, Altitude 3882 m.

Camp XVII, July 31st 1900.

A nameless region in N. E. Tibet, at the sides of the little river Pitelik-darya directed to the effluence from Kum-köl and continuing its course to the salt lake Ayag-kum-köl. The ground is nearly barren and very desolate.

North. lat. $37^{\circ} 1'$, East. long. $90^{\circ} 1'$, Altitude 4024 m.

Kash-otak, August 3rd—20th 1900.

Region in Northern Tibet.

North. lat. $38^{\circ} 3'$, East. long. $90^{\circ} 47'$, Altitude 2916 m.

Camp XX, August 4th 1900.

A nameless valley in Northern Tibet. Gravelly, desolate region.

North. lat. $36^{\circ} 26'$, East. long. $90^{\circ} 1'$, Altitude 4784 m.

Camp XXVIII, Aug. 24th 1900.

A nameless place at the western shore of a nameless salt-lake in the interior of Eastern Tibet. The region is desolate. The ground consists of fine dust with nearly no gravel.

North. lat. $35^{\circ} 11'$, East. long. $90^{\circ} 4'$, Altitude 4766 m.

1901.

Camp XXVI, June 29th—30th 1901.

Nameless region at the western shore of a nameless lake in Eastern Tibet. Desolate tract with very sparse vegetation.

North. lat. $36^{\circ} 1'$, East. long. $87^{\circ} 46'$ Altitude 4946 m.

Camp XLI, July 20th 1901.

Nameless valley in the interior of Eastern Tibet. The country desolate, nearly barren.

North. lat. $33^{\circ} 50'$, East. long. $88^{\circ} 54'$, Altitude 5375 m.

Camp XLIV, July 24th to Aug. 8th 1901.

Nameless valley in the interior of Eastern Tibet. Very barren; poor vegetation.

North. lat. $33^{\circ} 32'$, East. long. $88^{\circ} 52'$, Altitude 5127 m.

The plants from this region were collected by one of my Cossaks who dated the etiquettes. During my absence Camp XLIV was twice moved very short distances to give better grazing to the caravan animals. The coordinates may therefore be regarded as signifying the whole region in question. At any rate the difference is so insignificant that it does not play any part regarding the places where the different plants were found.

Camp LXVI, Aug. 26th 1901.

Nameless region between flat hills in Eastern Tibet. The ground consists of dust and fine gravel. There are small pools.

North. lat. $33^{\circ} 13'$, East. long. $88^{\circ} 43'$, Altitude 4863 m.

Camp LXX, Aug. 29th—31st 1901.

Nameless valley in the interior of Eastern Tibet.

North. lat. $32^{\circ} 41'$, East. long. $88^{\circ} 45'$, Altitude 4889 m.

Between *Camp LXX* and *Camp LXXI*, Sept. 1st 1901.

Nameless region in the interior of Eastern Tibet.

The last-mentioned camp:

North. lat. $32^{\circ} 16'$, East. long. $88^{\circ} 49'$, Altitude ca. 4800 m.

Camp LXXII, Sept. 3rd 1901.

At the mouth of the river Sachu-tsangpo in Selling-tso; the interior of Eastern Tibet. The ground is barren and consists of clay and dust.

North. lat. $32^{\circ} 3'$, East. long. $88^{\circ} 42'$, Altitude 4613 m.

Camp LXXVI, Sept. 8th 1901.

The mouth of Yagyu-tsangpo in Selling-tso. The interior of Eastern Tibet.

North. lat. $31^{\circ} 51'$, East. long. $88^{\circ} 8'$, Altitude 4611 m.

Camp LXXVIII, Sept. 11th 1901.

The shore of Naktson-g-tso, a freshwater lake in Eastern Tibet. Rather barren region. The ground consists of dust and fine gravel.

North. lat. $31^{\circ} 40'$, East. long. $88^{\circ} 22'$, Altitude 4636 m.

Camp LXXIX, Sept. 12th 1901.

Eastern side of Naktson-g-tso. Altitude 4674 m.

Camp CXXXIV, Nov. 23rd 1901.

Nameless region in Western Tibet.

North. lat. $33^{\circ} 45'$, East. long. $80^{\circ} 13'$, Altitude 4587 m.

1906.

Camp II, Sept. 1st 1906.

Nameless region in N. W. Tibet, belonging to the system of the Kara-korum mountains. Very barren and desolate. The ground consists of fine dust and fine gravel.

North. lat. $34^{\circ} 34'$, East. long. $79^{\circ} 6'$, Altitude 5552 m.

Camp VIII, Sept. 9th 1906.

At the southern foot of the Kwen-lun in the part of N. W. Tibet that is called Aksai-chin. Some grass grows along the base of the mountains.

North. lat. $35^{\circ} 7'$, East. long. $79^{\circ} 38'$, Altitude 4916 m.

Camp XVIII, Sept. 27th 1906.

On the shore of Lake Pool-tso or Pul-tso in N. W. Tibet. The region is very barren.

North. lat. $34^{\circ} 53'$, East. long. $81^{\circ} 55'$, Altitude 5077 m.

1907.

Tuksun, July 1st 1907.

Village and monastery in S. W. Tibet; valley of Upper Tsangpo. Comparatively desolate region.

North. lat. $29^{\circ} 58'$, East. long. $83^{\circ} 33'$, Altitude 4596 m.

Ganju-Gompa, July 1st 1907.

Village and monastery in the valley of the Upper Tsangpo.

North. lat. $29^{\circ} 54'$, East. long. $83^{\circ} 38'$, Altitude 4631 m.

Dongbo, Camp CLXXXIX, July 1st 1907.

The valley of the Upper Tsangpo in S. W. Tibet.

North. lat. $29^{\circ} 49'$, East. long. $83^{\circ} 41'$, Altitude 4598 m.

Yüri, Camp CXCII, July 4th 1907.

The valley of the Upper Tsangpo in S. W. Tibet.

North. lat. $29^{\circ} 56'$, East. long. $83^{\circ} 19'$, Altitude 4605 m.

Nangi, Camp CXCIII, July 4th 1907.

In the valley of the Upper Tsangpo, S. W. Tibet. The ground consists of dust and some gravel.

North. lat. $30^{\circ} 0'$, East. long. $83^{\circ} 1'$, Altitude 4637 m.

Gyangchu-kamar, Camp CXCII', July 6th 1907.

In the valley of the Upper Tsangpo, S. W. Tibet.

North. lat. $30^{\circ} 4'$, East. long. $83^{\circ} 1'$, Altitude 4661 m.

Chärok, Camp CXCV, July 6th 1907.

In the valley of Upper Tsangpo.

North. lat. $30^{\circ} 14'$, East. long. $82^{\circ} 57'$, Altitude 4657 m.

Hlayak, Camp CC, July 12th 1907.

At the base of Kubi-gangri, a part of the Himalaya. Gravelly region.

North. lat. $30^{\circ} 13'$, East. long. $82^{\circ} 30'$, Altitude 4861 m.

Shapka, Camp CCI, July 12th 1907.

At the northern base of Kubi-gangri. Gravel and blocks. Near the source of the Brahmaputra.

North. lat. $30^{\circ} 6'$, East. long. $82^{\circ} 22'$, Altitude 4839 m.

The source of Brahmaputra, July 13th 1907.

On the top of an old moraine at the northern foot of Kubi-gangri. Blocks and gravel. Here and there some vegetation.

North. lat. $30^{\circ} 6'$, East. long. $82^{\circ} 16'$, Altitude 5015 m.

Buk-gyäyorap, July 16th 1907.

Region at the northern foot of Himalaya.

North. lat. $30^{\circ} 24'$, East. long. $82^{\circ} 27'$, Altitude 4870 m.

Dara-sunkor, July 16th 1907.

Region at the northern foot of Himalaya.

North. lat. $30^{\circ} 16'$, East. long. $82^{\circ} 30'$, Altitude 4931 m.

Tokchen, Camp CCXI, July 24th 1907.

S. W. Tibet, east of the Lake Manasarovar. Valley with a little brook.

North. lat. $30^{\circ} 44'$, East. long. $81^{\circ} 42'$, Altitude 4637 m.

Satlej, Sept. 6th 1907.

The old dried-up river-bed west of Rakas-tal. In the old river-bed there are salt and fresh pools.

North. lat. $30^{\circ} 57'$, East. long. $81^{\circ} 4'$, Altitude 4636 m.

II

A LIST OF

FLOWERING PLANTS FROM INNER ASIA

COLLECTED BY DR. SVEN HEDIN

DETERMINED BY VARIOUS AUTHORS

AND COMPILED BY

C. H. OSTENFELD AND OVE PAULSEN

In the following enumeration all the Flowering Plants collected by Dr. SVEN HEDIN during his travels in Inner Asia in the years between 1894 and 1907 have been arranged according to ENGLER'S system.

To the name of each species are added the place and date of its publication and references to some general botanical works (J. D. HOOKER, *Flora of British India*; LEDEBOUR, *Flora Rossica*; etc.), otherwise only the necessary quotations. Further the botanical papers on collections from the same areas, *viz.* the Pamir area and the Tibetan area, are quoted. Where a general compilation of the botanical data exists, *e. g.* FEDTSCHENKO, »*Flore du Pamir*«, and HEMSLEY, »*Flora of Tibet*«, no reference is made to earlier papers.

After these quotations the locality where Dr. Hedin collected the species in question is given and also a note as to its reproductive condition (flowering or fruiting).

Subsequently there follow taxonomic notes and a short statement of the geographical area of the species, as far as this is known.

In order to get the list as complete as possible we have made use of the earlier publications upon Hedin's plants, namely W. B. HEMSLEY and H. H. W. PEARSON'S list in »*Petermanns Mitteilungen*« (1900), but Dr. Hedin has furnished us with fuller details as regards the localities; further a paper on *Potamogetonaceæ* from Asia by the Rev. I. O. HAGSTRÖM (in *Botan. Notiser* 1905), and a paper by Dr. SV. MURBECK on two new gentians (in *Österr. Bot. Zeitschr.* 1899).

In this way we believe we have collected in one place all the records on the Flowering Plants brought home by Dr. Hedin.

As mentioned in the preface specimens belonging to some of the plant families had been sent to the Berlin Museum more than a decade ago and were partly named there. We have always made use of the names given there, and in case of the families *Umbelliferae*, *Leguminosæ* and *Gramineæ* we have sent them to Berlin again where Drs. L. DIELS, H. HARMS, R. PILGER and E. ULBRICH have reexamined the material and definitely named them for us. We wish to express our hearty thanks to these gentlemen for the valuable assistance given.

Amongst the other botanists who have assisted us, we wish to mention the Rev. I. O. HAGSTRÖM who named the *Potamogetonacææ*, the late Dr. O. VON SEEMEN and the late Mr. TH. WOLF, who named or revised *Salicacææ* and *Potentilla* respectively.

The material of plants came from three rather different regions, *viz.* the Pamir, Tibet and East-Turkestan. The main interest lies in the Tibetan plants since this great highland area is far from sufficiently explored; the Eastern Pamir also traversed by Dr. Hedin requires further botanical exploration as the few plants brought home in several cases were either new to science or at least new to the area.

The incompleteness of our knowledge of the flora of these regions absolves us from any phytogeographical considerations, and we think it better to confine ourselves to a mere taxonomic enumeration of the plants actually found by Dr. Hedin.

To a much higher degree the same lack of knowledge exists with regard to a description of the vegetation. We therefore only refer to the compilation made by HEMSLEY in his Tibetan flora.

The few papers dealing with the floras of Pamir and Tibet including HEMSLEY'S and FEDTSCHENKO'S and later papers, are the following:

- DANGUY, PAUL: Note sur une collection botanique rapportée du Pamir par le commandant de Lacoste. — Journ. de Botan., 21. année, 1908, pp. 49—53.
- Liste des plantes récoltées par le commandant de Lacoste au cours de sa mission en Asie centrale, en 1906. — Bull. mus. d'hist. natur., t. 14, 1908, pp. 129—132.
- FEDTSCHENKO, OLGA: Flore du Pamir, d'après les explorations personnelles en 1901 et celles des voyageurs précédents. — Acta Horti Petropol., XXI, 1903, pp. 233—471. Supplément, *ibid.* XXIV, 1904, pp. 123—154. 2^{me} Supplément, *ibid.* XXIV, 1905, pp. 313—355. 3^{me} Supplément, *ibid.* XXVIII, 1907, pp. 97—126. 4^{me} Supplément, *ibid.* XXVIII, 1909, pp. 455—514.
- HEMSLEY, W. B. assisted by H. H. W. PEARSON: The flora of Tibet or High Asia, being a consolidated account of the various Tibetan botanical collections in the herbarium of the R. Gardens, Kew, together with an exposition of what is known of the flora of Tibet. — Journ. Linn. Soc., vol. 35, 1902, pp. 124—265.
- Die botanischen Ergebnisse, in: Dr. Sven Hedin, Die geograph. wissensch. Ergebn. meiner Reisen in Zentralasien, 1894—1897. Peterm. Mitteil. Ergänzungsband XXVIII (Heft 131), 1900, pp. 372—375.
- KEISSLER, KARL V.: Aufzählung der von E. Zugmayer in Tibet gesammelten Phanerogamen. — Ann. kk. Naturhist. Hofmuseum. Wien 1907, pp. 20—32.
- STEWART, R. R.: The flora of Ladak, Western Tibet. II. List of Ladak plants. Bull. Torrey Bot. Club, vol. 43, 1916, pp. 625—650.

I. Dicotyledones, Sympetalæ.

Fam. Compositæ

(determ. by C. H. OSTENFELD).

Scorzonera divaricata Turcz., in Bull. Soc. Moscou V (1832) 181; Maxim. in Bull. Acad. Imp. Pétersb. XXXII (1888) 493; Stewart, in Bull. Torrey Bot. Club (1916) 647. Northern Tibet, Bash-Kurghan, Camp III, south of Lop-nor, 2629 m., 5th July 1900 (flow. and with young fruits).

The specimens agree well with the var. *virgata* Maxim. (l. c. 495) of this polymorphous species.

Geogr. area: Mongolia, Northern China, Tibet, Western Himalaya (? *S. virgata* D. C.).

Scorzonera mongolica Maxim., in Bull. Acad. Imp. Pétersb. XXXII (1888) 492. Northern *Tibet*, Mandarlik, 3437 m., medio July 1900 (flowering hardly yet begun). MAXIMOVICZ mentions (l. c. 493) a »var. foliis distinctius trinerviis sensim acuminatis minusque carnosis» from Gobi, which seems to be our plant.

Geogr. area: Mongolia.

Chondrilla polydichotoma Ostf. nov. sp. (Pl. III, Fig. 2).

Herba perennis, glaber. Caulis erectus, 35—40 cm. altus, ramosissimus ramis permultis divaricato-dichotomis. Folia basalia caulorum squamiformia; caulina inferiora brevi-oblonga basi semi-amplexante, cetera in squamis minutis triangulari-setaceis reducta. Capitula parva, 3—8-flora, subcylindrica, 8—10 mm. longa, in apicibus ramorum ultimorum pedunculata. Squamæ involucri glabræ, exteriores paucæ, breves, obovatæ, interiores multo longiores oblongæ, obtusæ, margine ± membranaceo. Corollæ flavæ (?). Achenia matura non visa, immatura parva, superne vix angustata truncata, costata, subcompressa, conformia.

Ex affinitate *Ch. paucifloræ* Ledeb. et *Ch. leiospermæ* Kar. et Kir., differt ramis divaricatis, foliis basalibus caulorum squamiformibus, glabritate totius plantæ etc.

East-Turkestan, Gölme-Käti, freshwater pool at lower Tarim, 880 m.; 19th May 1900 (flow.; typus!); Camp I, Dungalik, 882 m., 1st July 1900 (flow.).

This remarkable plant has been referred to *Chondrilla* with some hesitation as the very young achenes do not show any definite character; but it has so much general likeness to *Ch. parviflora* Ledeb. in habit, shape of the heads and the involucre bracts etc., that I think the reference is correct.

Mulgedium tataricum (L.) D. C. Prodr. VII (1838) 248; Ledeb., Fl. Ross. II, 2 (1846) 842; Fedtschenko, in Acta Horti Petrop. XXI (1903) 369, XXIV (1904) 136; *Lactuca tatarica* C. A. Mey.; Stewart, in Bull. Torrey Bot. Club (1916) 647.

East-Turkestan, Lower Tarim, 830 m., summer 1900 (leafy shoots only); Camp XVI, Tuna-toghdi, eastern Tarim, 825 m., 8th June 1900 (leafy rosettes only).

Geogr. area: Southern Russia, Caucasus, Siberia, Afghanistan, Pamir, Turkestan, Tibet, Kansu.

Sonchus dentatus Ledeb. Fl. Alt. IV (1833) 141; Icon. pl. Fl. ross. tab. 87; Fl. Ross. II, 2 (1846) 835.

Var. *tibeticus* Ostf. nov. var. Differt a typo lævitate squamarum involucri, et colore corollæ: albescente in parte majore, sed dentibus apicalibus et parte superiore inferne roseo.

Northern *Tibet*, Kash-otak, 2916 m., beginning of Aug. 1900 (flow.).

The specimen present agrees well with *S. dentatus* Ledeb., only it has pale (whitish) flowers with orange-red shade on the underside of the corolla and dark red teeth, and the whole involucre is quite glabrous.

Geogr. arca (of the main species): Altai mountains.

HEMSLEY and PEARSON, Peterm. Mitteil. Ergänzungsbd. 28 (1900) 374, record a »*Sonchus* sp.« without flower from Harato, which according to Dr. Hedin is the northern slope of southern Tsaidam, NE. Tibet, 3321 m., 5th Oct. 1896.

Crepis flexuosa (Ledeb.) Clarke, Compos. Ind. (1876) 254; Hemsley, in Journ. Linn. Soc. 35 (1902) 187; Stewart, in Bull. Torrey Bot. Club (1916) 647; *Youngia flexuosa* Ledeb. Fl. Ross. II, 2 (1846) 838; Fedtschenko, in Acta Horti Petrop. XXI (1903) 368; XXIV (1904) 136; XXVIII (1909) 495; *Y. glauca* Edgew. in Trans. Linn. Soc. XX (1846) 79; *Prenanthes polymorpha*, γ , *flexuosa*, Ledeb. Fl. Altaic. IV (1833) 145.

Eastern *Tibet*, summer 1900 (flow.).

Geogr. arca: Altai mountains, Tibet, Himalaya, Kansu.

Crepis tenuifolia Willd. Sp. pl. III (1800) 1606; Stewart, in Bull. Torrey Bot. Club (1916) 647; *Youngia diversifolia* Ledeb., Fl. Ross. II, 2 (1846) 837; Fedtschenko, in Acta Horti Petrop. XXI (1903) 368; XXIV (1904) 135; XXVIII (1909) 495.

Northern *Tibet*, Mandarlik, 3437 m., medio July 1900 (sterile).

Geogr. arca: Siberia, Dahuria, Mongolia, Tibet.

Taraxacum leucanthum Ledeb., Fl. Ross. II, 2 (1846) 815; Handel-Mazzetti, Monogr. Gatt. Taraxacum (1907) 29; Fedtschenko, in Acta Horti Petrop. XXI (1903) 367; XXIV (1904) 135, (1905) 337; XXVIII (1907) 114, (1909) 494; *T. bicolor* Hemsley, in Journ. Linn. Soc. 35 (1902) 188.

Eastern *Pamir*, Marsh at the eastern shore of Little Kara-Kul, 3720 m., 15th July 1894 (flow.).

Eastern or Inner *Tibet*, Camp XLIV. 5127 m., July-Aug. 1901 (flow. and with young fruits).

Geogr. arca: Altai, Pamir, Tibet, Mongolia.

Taraxacum dealbatum Handel-Mazzetti, Monogr. Gatt. Taraxacum (1907) 30.

Northern *Tibet*, Kar-yakak-sai, Chimen-tagh, Camp X, 3984 m., 20th July 1900 (young flower).

Only one tiny specimen is present, but it agrees well with specimens from »Tib. occ., 14—18000 feet, T. Thomson«, in the Copenhagen herbarium, and they have been identified by HANDEL-MAZZETTI with his *T. dealbatum*.

Geogr. arca: Altai, Chinese Turkestan, Tibet, Mongolia and Eastern Siberia.

HEMSLEY and PEARSON (Peterm. Mitteil., Ergänzungsbd. 28 [1900] 374) record two *Taraxacum*-species under the names of *T. palustre* D. C. and *T. lanceolatum*

Poir. from Dr. Hedin's collection of 1896, both from Kwen-lun (Mit and Sarik-kol 5—6th Aug.); but as I have not seen the specimens, I am not able to refer them to the modern species. Compare HANDEL-MAZZETTI'S monograph, which besides the two species recorded by me gives the following species from Tibet:

T. bessarabicum (Hornem.) Hand. Mazz.; *T. coronatum* Hand. Mazz.; *T. Wallichii* D. C.; *T. brevirostre* Hand. Mazz.; *T. dissectum* Ledeb.; *T. indicum* Hand. Mazz.; *T. Steveni* (Spreng.) D. C.; *T. ceratophorum* (Ledeb.) D. C.; *T. tibetanum* Hand. Mazz.; *T. mongolicum* Hand. Mazz.; *T. eriophodum* (Don) D. C.; *T. paludosum* (Scop.) Lightf.; *T. vulgare* Lam.; *T. alpinum* (Hoppe) Hegetschw. et Heer; *T. sikkimense* Hand. Mazz.; *T. heteroloma* Hand. Mazz., and *T. stenolepium* Hand. Mazz., — altogether 19 species.

Cirsium arvense (L.) Scop. Fl. Carn. II (1772) 126; Fedtschenko, in Acta Horti Petrop. XXI (1903) 363, XXVIII (1909) 492 (var. *incanum* Ledeb.); *Cnicus arvensis* Hoffm.; Stewart, in Bull. Torrey Bot. Club (1916) 646.

East-Turkestan, Milka, wooded place at the middle Tarim, 1108 m., 9th Octob. 1899 (leafy shoots only); Ak-satma, wooded place at the middle Tarim, 10th Oct. 1899 (leafy shoots only).

Geogr. area: Northern temperate Eurasia, and as a weed in other temperate regions.

Saussurea bracteata D. C., in Jacquem., Voy. Bot. IV (1844) 94, tab. 102; Hook. f., Fl. Brit. India III (1882) 366; Hemsley and Pearson, in Peterm. Mitteil. 28 (1900) 374; Hemsley, in Journ. Linn. Soc. 35 (1902) 185; Stewart, in Bull. Torrey Bot. Club (1916) 646.

N. E. Tibet, Camp XXXI, at a lake, 4616 m., 21st Sept. 1896; S. W. Tibet, on the road between Camp CLXXXIX, Dongbo, 4598, and Camp CXC, Tuksum, 4596. 1st July 1907 (flow. begun).

Geogr. area: Tibet and Kashmir (Himalaya).

Saussurea Thoroldii Hemsley, Journ. Linn. Soc. XXX (1894) 115, pl. IV; Hemsley and Pearson, in Peterm. Mitteil. Ergänzungsbd. 28 (1900) 374; Hemsley, in Journ. Linn. Soc. 35 (1902) 187.

Tibet, without locality, most probably from Inner or Eastern Tibet, ca. 5000 m., in the summer 1901 (flow.); Northern Tibet, Mit, open valley in Kwen-lun, 4008 m., 6th Aug. 1896.

This is one of the most curious Tibetan plants; HEMSLEY (l. c.) has given a rather good drawing of it; the corollas are pink-purple and the anthers dark greyish blue.

Geogr. area: Tibet and West-China and Mongolia (high-alpine).

Saussurea Wellbyi Hemsley, in Hook., Icon pl., pl. 2588 (1899); Hemsley, in Journ. Linn. Soc. 35 (1902) 187.

Northern *Tibet*, Camp XIII, Kalta-alaghan Mountains, 4652 m., 24th July 1900 (flow.); Mandarlik, 3437 m., medio July 1900 (flow.).

Geogr. area: Tibet.

Saussurea arenaria Maxim., in Bull. Acad. Sc. Pétersb. XXVII (1881) 490.

Northern or Inner *Tibet*, near Camp XLIV, 5127 m., 18th Aug. 1901 (flow.).

Determined at Kew Herb.

Geogr. area: Kansu.

Saussurea humilis Ostf. nov. sp. (Pl. V, Fig. 4).

Caulis subnullus. Folia subrosulata linearia vel lanceolato-linearia, basi dilatata, acuta, runcinato-pinnatifida lobis parvis deflexis distantibusque acutis mucronatisve, superne \perp sparse minute glanduloso-hispida, subtus nuda, marginibus basin versus parce arachnoideo-lanatis. Capitula solitaria, rarius bina, diametro ca. 1.5 cm. Involucri bractearum ca. 3-seriatae, apice obtusae, glabrae vel apicem dorsalem versus sparse hirsutae, exteriores triangulato-obovatae, marginibus latis, nigris, interiores lanceolato-obovatae. Receptaculi setae quam achæniis breviores numerosae. Flores lilacini (?). Pappi setae 2-seriatae, exteriores quam interioribus duplo vel ultra breviores, breviter plumosae, interiores longe plumosae, ca. 10 mm. longae, basin versus fuscae, ceteroquin albae, quam corollis breviores. Corollae tubus limbo paullo longior; antennarum appendices parce floccoso-lanatae; achænia (immatura) 2.0—2.5 mm. longa, lævia, striata angulataque.

A *S. Koslowi* C. Winkl. proxima differt foliis angustioribus glabrioribusque, apicibus involucris bractearum non reflexis; pappi setis interioribus corollae dimidium limbum attingentibus etc. A *S. Andersonii* Clarke differt receptaculis setiferis, pappi setis exterioribus breviter plumosis, achæniis lævibus etc.

Northern or Inner *Tibet*, near Camp XLIV, 5127 m., 18th Aug. 1901 (flow.).

Saussurea subulata C. B. Clarke, Comp. Ind. (1876) 226; Hook. f., Fl. Brit. India III (1882) 367; Hemsley and Pearson, in Peterm. Mitteil. Ergänzungsbd. 28 (1900) 374; Hemsley, in Journ. Linn. Soc. 35 (1902) 186.

Northern *Tibet*, Mit, open valley in Kwen-lun, 4008 m., 6th Aug. 1896.

Geogr. area: Tibet, Kashmir (Himalaya) and Mongolia.

Saussurea glanduligera Schultz-Bip., in Hook. f., Fl. Brit. Ind. III (1882) 371; Hemsley, in Journ. Linn. Soc. 35 (1902) 185; Keissler, in Ann. Naturh. Hofmuseum (1907) 28; Stewart, in Bull. Torrey Bot. Club (1916) 646.

N. W. *Tibet*, the Lake Pool-tso, at the southern foot of Kwen-lun, 5077 m., 27th Sept. 1906 (flow.).

Geogr. area: Tibet, Himalaya.

Saussurea pulvinata Maxim., in Bull. Acad. Sc. Pétersb. XXVII (1881) 493.
 Eastern *Tibet*, Camp XI.I, 5375 m., 20th July 1901 (flow.). Determin. at Kew Herb.
Geogr. area: Nan-shan.

Saussurea salsa (M. B.) Spreng., System. veget. III (1826) 381; Fedtschenko, in Acta Horti Petrop. XXI (1903) 358; XXIV (1904) 134; (1905) 336; XXVIII (1909) 491; *S. crassifolia* D. C., in Ann. Mus. hist. nat. XVI, 201; *S. papposa* Turcz., Fl. Baical-Dahur. II, no. 655.

Eastern *Pamir*, sandy place at the shore of Little Kara-Kul, 3720 m., 16th July 1894 (flower buds not yet opened).

East-*Turkestan*, Eastern Tarim, Camp XVI, Tuna-toghdi, 825 m., 8th June 1900 (sterile).

Northern *Tibet*, Camp VII, Temirlik, 2961 m., 10th July 1900 (young flower-buds only); Kash-otak, 2916 m., medio Aug. 1900 (flow.).

Geogr. area: Southern Russia, Caucasus, Siberia, Central Asia to Mandshuria.

Saussurea Thomsoni C. B. Clarke, Comp. Ind. (1876) 227; Hook. f., Fl. Brit. India III (1882) 366; Hemsley and Pearson, in Peterm. Mitteil. Ergänzungsbd. 28 (1900) 374; Hemsley, in Journ. Linn. Soc. 35 (1902) 187.

Northern *Tibet*, Mit, open valley in Kwen-lun, 4008 m., 6th Aug. 1896.

Geogr. area: Tibet, Himalaya.

Saussurea gnaphalodes (Royle) Ostf. nov. comb.; *S. sorocephala* Hook. f. et Thoms., in Clarke, Comp. Ind. (1876) 226; Fedtschenko, in Acta Horti Petrop. XXI (1903) 360; Hemsley and Pearson, in Peterm. Mitteil. Ergänzungsbd. 28 (1900) 374; Hemsley, in Journ. Linn. Soc. 35 (1902) 186; Keissler, in Ann. Naturh. Hofmuseum (1907) 28; Steward, in Bull. Torrey Bot. Club (1916) 640; *Aplotaxis gnaphalodes* Royle, Ill. Bot. Himal. (1839) 25, tab. 59, et in D. C. Prodrum. VI (1837) 542; *A. andryaloides* D. C. Prodrum. VI (1837) 542; *A. sorocephala* Schrenk, in Fisch. et Meyer, Enum. Pl. nov. (1841) 43.

Eastern *Pamir*, the left old moraine of the Korumde glacier, Mustagh-ata, 4367 m., 27th July 1894 (no flowers).

N. E. *Tibet*, Camp XXVI, 4946 m., 30th June 1901 (no flowers). Inner or Eastern Tibet, near Camp XLIV, 5127 m., 15th Aug. 1901 (flow.).

Northern Tibet, Sarik-kol, Kwen-lun, 3469 m., 5th Aug. 1896; Camp XVII, 5073 m., 1st Sept. 1896; Camp XXXI, 4616 m., 21st Sept. 1896.

The identification of the two first nos. is not sure, as there are no flowers present.

Geogr. area: Himalaya, Tibet, Pamir, Altai.

Saussurea pamirica C. Winkl., in Acta Hort. Petropol. XI (1890) 171; Keissler, in Ann. Naturh. Hofmuseum (1907) 28; Fedtschenko, in Acta Horti Petrop. XXI (1903) 359; XXIV (1904) 135; (1905) 336; XXVIII (1909) 492.

Eastern *Pamir*, between the two glaciers Kamper-kishlak and Yambulak-bashi on the western slope of Mus-tagh-ata, 4480 m., 4th Aug. 1894 (flow.).

Geogr. arca: N. W. Tibet (Zugmayer, acc. to Keissler), Pamir, Karakash Mountains (Dr. Cayley, in Herb. Kew).

Saussurea alpina (L.) D. C., in Ann. Mus. Paris XVI (1810) 198; Hemsley and Pearson, in Peterm. Mitteil. Ergänzungsbd. 28 (1900) 394; Hemsley, in Journ. Linn. Soc. 35 (1902) 185; Fedtschenko, in Acta Horti Petrop. XXI (1903) 358 (var. *Kuschakewiczi* C. Winkl.).

Northern *Tibet*, Camp I, valley of Kara-muran, Kwen-lun, 4075 m., 7th Aug. 1896 (recorded by HEMSLEY and PEARSON).

It seems to me rather doubtful if the plant recorded by HEMSLEY and PEARSON (l. c.) as »*S. alpina*, var.«, really is *S. alpina*.

Geogr. arca: N. temp. and arctic regions; Siberia, Persia; Pamir (var. *Kuschakewiczi*).

Aster.

The *Aster*-forms of the group *Alpigeni* are very difficult to distinguish, especially those growing in the alpine parts of Asia. They need a thorough revision based upon the original types described by HOOKER fil., CLARKE, BUNGE and DE CANDOLLE.

BENTHAM (Genera pl. II, 272) was, no doubt, quite correct when he rejected DE CANDOLLE'S genus *Heterochaeta*, as the distinction between forms with double pappus and those with single pappus is not of generic value.

CLARKE (Comp. Ind., 1876, pp. 42—45) makes the first attempt to clear up the Himalayan and Tibetan species of the *Alpigeni*. He admits three species with single pappus: *A. alpina* L., *A. himalaicus* Clarke and *A. tricephalus* Clarke, and three with double pappus: *A. heterochaeta* Benth. (= *Heterochaeta asteroides* D. C.), *A. elegans* Hook. f. et Thoms., and *A. diplostephioides* Benth. (= *Heterochaeta d.* D. C.).

In HOOKER fil. (Fl. Brit. Ind. III, 1882, pp. 250—251) we find *A. himalaicus* Clarke and *A. tricephalus* Clarke, while HOOKER has seen no true *A. alpinus* from Himalaya; he adds a new species *A. Stracheyi* Hook. f. with single pappus. Among those with double pappus HOOKER keeps *A. heterochaeta* and *A. diplostephioides*; he adds a new species *A. tibeticus* Hook. f., but rejects *A. elegans* Hook. f. et Thoms., saying: »I fail to recognise CLARKE'S *A. elegans* H. f. & T., described by him at Calcutta as from Sikkim. I find no species having biseriate pappus together with very silky achenes except *A. diplostephioides*«.

None of these two authors does mention that BUNGE (1835) has described an *A. flaccidus* from the Alatau Mountains, which is »proxime affinis *A. alpino* L.«.

Later HEMSLEY (in Journ. Linn. Soc. XXX, 1895, 113) has a new species *A. Boweri* which is »*A. flaccido* forma minima similis«. In Hook. Icon. pl. (pl. 2495)

this species is drawn, and here HEMSLEY has added: »This may prove to be specifically the same as *A. flaccidus* Bge«.

Neither BUNGE nor HEMSLEY tell if the pappus is single or double (uniseriate or biseriate). If specimens from Alatau (KARELIN and KIRILOFF) and from alpine Turkestan (A. REGEL, 1879) are rightly named as *A. flaccidus* Bge — what I believe they are —, this species has biseriate pappus, but the outer rays are usually few and short, often difficult to discover. On the other hand the figure of *A. Boweri* in Hook. Icon. shows only uniseriate pappus, and the plant, which I have seen at Kew, looks on the whole so different from what I take as *A. flaccidus* Bunge, that I do not think it possible that they are one and the same species.

Besides the difference with regard to the pappus the species of the *Alpigeni* are said to be distinguished by the hairiness of the achenes, by the shape and hairiness of the involucre bracts and by the size of the stem and its being monocephalous or pluricephalous.

If we take the species with uniseriate pappus at first we have:

A. alpinus L., monocephalous; narrow-lanceolate involucre leaves, ± covered with short, rather stiff hairs; achenes adpressed-pilose. Not found in Himalaya, but in Pamir, Alatau etc.

A. himalaicus Clarke, monocephalous; invol. leaves broadly elliptic-lanceolate, ± leafy and long, pubescent; achenes densely pilose. Himalaya.

A. tricephalus Clarke, usually tricephalous; invol. leaves narrow-lanceolate, pubescent; achenes densely pilose. A taller plant than the others. Himalaya.

A. Stracheyi Hook. f., monocephalous; invol. leaves linear-oblong; foliage leaves (which in all the other species are entire) coarsely serrate or laciniate; achenes »pubescent or silky«. Himalaya.

A. Boweri Hemsley, usually monocephalous, but with many branches from the same rhizome; invol. leaves linear-lanceolate, pilose-hairy; achenes sparingly hirsute and with black points. Tibet.

None of these were in the main part of Hedin's collection, but in the small collection from 1896—97, which was presented to Kew Herbarium, HEMSLEY and PEARSON identified some specimens with *A. Boweri*, which we therefore have to enumerate here:

Aster Boweri Hemsley, in Journ. Linn. Soc. vol. 30 (1895) 113; Icon. plant., pl. 2495; Hemsley and Pearson, in Peterm. Mitteil. Ergänzungsbd. 28 (1900) 374; Hemsley, in Journ. Linn. Soc. 35 (1902) 181.

Northern Tibet, Sarik-kol, Kwen-lun, 3469 m., 5th Aug. 1896; Camp X, 5362 m., 23rd Aug. 1896.

Geogr. arca: Tibet.

The species with biseriata pappus are still more confused, but after a careful examination of rich material, mostly from Kew, and of the specimens in Hedin's collection, I have settled with the following arrangement admitting that it is only provisional and arbitrary.

A. diplostecphoides (D. C.) Benth. (apud Clarke). Monocephalous tall and robust; involucrel leaves lanceolate, leafy, villose. Achenes large, densely adpressed-pilose (silky). Flower heads larger than in the other species. Outer series of pappus-rays short, paleaceous, white; inner series much longer, reddish (at least in dried material). Himalaya.

Aster flaccidus Bunge, in Mém. Sav. Étrang. Pétersb. II (1835) 599, et Verzeichn. Altai-Geb. ges. Pfl. St. Petersburg. (1836) 102; *A. heterochaeta* Benth. ex Clarke, Comp. ind. (1876) 44; Hook. f., Fl. Brit. Ind. III (1882) 250 pro max. parte; (?) *Heterochaeta asteroides* De Cand., Prodr. V (1836) 282.

Rhizome short or longer and creeping, adventitious roots thin. Pubescent to woolly; stem erect, with few or more stem-leaves; radical leaves petiolate, oblanceolate to obovate, obtuse or acute, glabrous or hairy; stem-leaves smaller linear or oblong; heads solitary. Uppermost part of the stem and the involucrel leaves usually \perp woolly. Involucrel leaves linear or linear-oblong, acute, long, often somewhat leafy, and often dark-coloured towards the tips. Achenes sparingly hairy of ordinary, somewhat appressed hairs, or nearly glabrous. Pappus double, white or (at least in old herbarium specimens) somewhat reddish, outer series very short, subulate-paleaceous.¹

This species seems to have a rather wide range in the alpine parts of the central region of Asia. In HEDIN'S collection it is present from:

Eastern *Pamir*, the old shore-moraine of the Korumde-glacier, Mus-tagh-ata, 4367 m., 27th July 1894 (flow.).

Northern *Tibet*, Ara-tagh, 4652 m., 24th July 1900 (flow.).

Geogr. area: Alpine Himalaya, Tibet, Pamir, Thian-Shan, Alatau, Altai.

As a variety of this species I consider a plant which was present in Hedin's collection from several localities. It differs from the main species only in the achenes which have a \pm rich covering of glandular club-shaped hairs besides sparse ordinary hairs. I have named it:

var. fructu-glandulosus Ostf. nov. var. Differt a typo acheniis pilis glanduliferis clavatis præter pilos ordinarios instructis.

¹ K. V. KESSLER (in Ann. Naturhist. Hofmus., Wien, Bd. XXII, 1907, 26) has described a var. *glandulosus* Keissl. of *A. flaccidus* from Mangzaka, Tibet (5370 m.). The description runs »foliis glabris, margine dense ciliatis, scapo imprimis supra et involucreo dense nigri canti-glanduloso«. As nothing is said about the achenes I cannot refer it to its proper place and do not know if it is a variety of *A. flaccidus* or of *A. Hedinii* described below.

Northern *Tibet*, Camp XVII, at a river, 4024 m., 31st July 1900 (flow.); Kar-yakak-sai, Camp X, Chimen-tagh, 3984 m., 21st July 1900 (flow.); Mandarlik, 3437 m., medio July 1900 (flow.; some spec. very large); Eastern or Inner Tibet, near Camp XLIV, 5127 m., 18th Aug. 1901 (flow.); S. W. Tibet, Camp CCXI, East of the lake Manasarovar, 4654 m., 24th July 1907 (flow.).

Geogr. arcu: (of the var.): Tibet and Himalaya. In the Kew Herb. I have only seen one specimen of it; it lies amongst plants of the following species and was collected by J. D. HOOKER at Sikkim, 24th July 1849.

That *A. flaccidus* Bunge and *A. heterochaeta* Benth. are the same species I feel convinced after examination of the ample material in the Kew Herb. But under the latter name is also found another plant, which perhaps is DE CANDOLLE'S original *Heterochaeta asteroides*. In Kew Herb. there are several sets of specimens collected by ROYLE, and DE CANDOLLE'S plant was founded on material given him by ROYLE, but as ROYLE'S sets are mixtures of several species and as DE CANDOLLE'S description is quite insufficient, I dare not use his name for a species which I am going to describe below and which has been mixed up with *A. flaccidus* (*A. heterochaeta*), from which it seems fairly distinct.

A. Hedinii Ostf. nov. sp.; *A. heterochaeta* Benth. pro min. parte; (?) *Heterochaeta asteroides* De Cand. Prodr. V (1836) 282.

Sect. *Alpigeni*. Planta perennis, \pm hirsuta, monocephala; rhizoma breve (præmorsum) radicibus \pm numerosis, tuberosis fasciculatis instructum. Folia rosulata oblonga vel oblongo-obovata, integra, obtusa; folia caulina minora, oblonga, basi semiamplectente. Bractæ involucri lineares vel oblongo-lineares, acutæ, subtus pilis \pm glanduliferis atrisque tectæ. Capitula magna (diametro 2.5—3 mm.); corollæ florum exteriorum angustæ purpureo-lilacinæ, interiorum flavæ; achenia dense pilis albis adpressis tectæ. Ceterum ut *A. flaccidus* cui proxime.

This plant is easily distinguished from the other species by its tuberous adventitious roots and the silky-hairy achenes. It differs further from *A. flaccidus* in the more even hairiness of the stem and stem-leaves, the latter usually being more numerous and larger.

The silky-hairy achenes point towards the *Heterochaeta asteroides* D. C., which is described as having »achænio villosa«, while CLARKE when transferring it to *Aster* under the name of *A. heterochaeta* says: »achænium pilis tenuibus patulis inspersum«. DE CANDOLLE has only had the upper part of a plant and has consequently no description of the tuberous roots. But also if we admit that DE CANDOLLE'S description covers our plant, it still needs a new name when transferred to *Aster*.

This plant is in HEDIN'S collection:

S. W. *Tibet*, on the way between Camp CCIII, Dara-sumkor, 4931 m., and Camp CCIV, Bak-gyäyorap, 4870 m., the northern foot of Himalaya, 16th July 1907 (flow.)

I have further seen it from the following localities (all present in Kew Herb.): Sikkim, 15th and 24th July 1849, J. D. Hooker; Kashmir, Herb. Falconer, 3657 m. (mixed with *A. flaccidus*); NW. India, Royle (mixed with the same); Ridge above Jhala, Ganges Valley, 12—13000 feet, Duthie No. 790, 29th June 1883; Yatung, Tibet, H. E. Holbron 1897.

Geogr. area: Alpine Himalaya and adjacent parts of Tibet.

As to *A. elegans* Hook. f. et Thoms. apud Clarke, no authentic specimen is in Kew Herb., and I follow Hooker fil. in leaving it out.

A. tibeticus Hook. f. (Fl. Brit. India III, 251) consists — to judge from the many specimens at Kew — mainly of forms of the species-aggregate »*Eriogeron alpinus*«, mostly »var. *uniiflorus*« in the sense of Hook. f., Fl. Brit. India III, 256. But also specimens of *A. flaccidus* (*A. heterochaeta*) are found under that name. As based upon such a mixture I think it better to drop this name.

Waldheimia tridactylites Kar. et Kir., in Bull. Soc. Nat. Mosc. (1842) 126; Fedtschenko, in Acta Horti Petrop. XXI (1903) 356; *Allardia glabra* Dcne, in Jacquem. Voy. Bot. IV (1844) 88, tab. 96; Danguy, in Bull. Mus. d'hist. nat. (1908) 131; Stewart, in Bull. Torrey Bot. Club (1916) 645; *A. tridactylites* Hook. f. et Thoms., in Clarke, Comp. ind. (1876) 144.

Eastern *Pamir*, Mus-tagh-ata, Yam-bulak-bashi, 4439 m., 13th Aug. 1894 (flowering).

NW. *Tibet*, Kara-korum Mountains, Camp. II, 5522 m., 1st Sept. 1906 (flowering).

Geogr. area: Alatau Mountains, Pamir, Tibet, N. W. Himalaya.

Waldheimia Stoliczkaei (Clarke) Ostf. nov. comb.; *Allardia Stoliczkaei* Clarke, Comp. ind. (1876) 145; Hook. f., Fl. Brit. Ind. III (1882) 313; Stewart, in Bull. Torrey Bot. Club (1916) 645.

Eastern *Pamir*, Mus-tagh-ata, on the way between Kotch-kortchu, 4161 m. and Yam-bulak-bashi, 4439 m., 29th July 1894 (flowering).

Geogr. area: Western Tibet.

Leontopodium.

Dr. G. BEAUVERD of Geneva (L'Herbier Boissier), who has made a special study of the genus *Leontopodium* and allied genera, has examined the material brought home by Dr. Sven Hedin and has published four new varieties (in Bull. Soc. bot. Genève, 2. série, vol. II [1910], pp. 249-253).

Leontopodium alpinum Cass., in Dict. Sc. nat. XXV (1822) 474; Hemsley and Pearson, in Peterm. Mitteil. Ergänzungsbd. 28 (1900) 374; Hemsley, in Journ. Linn. Soc. 35 (1902) 181; Keissler, in Ann. Naturh. Hofmuseum (1907) 26; Danguy, in Bull. Mus. d'hist. nat. (1908) 131; Stewart, in Bull. Torrey Bot. Club (1916) 644; Fedtschenko, in Acta Horti Petrop. XXI (1903) 355; XXIV (1904) 134, (1905) 336; XXVIII (1907) 114.

1. var. *frigidum* Beauverd, l. c. 249.

Western *Tibet*, »ad nives circ. 4600 m. altitudinis, ad merid. fluv. Tsangpo (30° N., 83° 15' E. Greenw., leg. Sven Hedin, 1906)«.

This plant is not amongst the material which I have at my disposal, and I quote BEAUVERD'S words with regard to the locality.

2. var. *debile* Beauverd, l. c. 250.

S. E. *Pamir*, Kara-su valley in Taghdumbash-Pamir, 4315 m. 8th Aug. 1895 (flowering).

BEAUVERD'S habitat (»Thibetus occid., Kara-su») is wrong. Probably he thought that all place-names given in Hedin's collection were Tibetan.

3. var. *Hedinianum* Beauverd, l. c. 251.

Eastern *Pamir*, the left side-moraine of the Korumde glacier, 4367 m., 27th July 1894 (flowering).

Also with regard to this variety BEAUVERD'S locality is not correct (»Thibetus occid., ad nives supra Korumde«).

4. var. *pusillum* Beauverd, l. c. 252.

Eastern or Inner *Tibet*, Camp E = Camp LXV (25th Aug.), 5074 m., 15th Aug. 1901 (flowering).

BEAUVERD'S locality (»Thibetus occid., ad nives supra Sammon, 15th Aug. 1906«) is not correct.

Beside these varieties HEMSLEY and PEARSON (l. c.) record *L. alpinum* from Northern Tibet, Sarik-kol, 3469 m., 5th Aug. 1896, and Camp XVII, 5073 m., 1st Sept. 1896 (according to notes by Dr. HEDIN).

Geogr. area (of *L. alpinum*): Alps of Europe, Siberia, Pamir, Tibet, Himalaya, China.

Inula salsoloides (Turcz.) Ostf. nov. comb.; *Inula ammophila* Bunge, ex D. C. Prodr. V (1836) 470, et β , *salsoloides* ibid.; *I. Schugnanica* C. Winkl., in Act. Hort. Petropol. XI (1890) 276; *Conyza salsoloides* Turcz., in Bull. Soc. Nat. Mosc. V (1832) 197; (?) *Iphiona radiata* Benth., in Henders. and Hume, Lahore, 323.

East-Turkestan, Karaunelik-köl, a lake at the right (southern) side of Lower Tarim, 880 m., 20th May 1900 (flowering).

Geogr. area: Turkestan to Kansu and Mongolia, Wakhan (in Pamir).

Tanacetum tibeticum Hook. f. et Thoms., ex Clarke, Compos. ind. (1876) 154; Hook. f., Fl. Brit. Ind. III (1882) 319; Hemsley and Pearson, in Peterm. Mitteil. Ergänzungsband 28 (1900) 374; Hemsley, in Journ. Linn. Soc. 35 (1902) 182; Keissler, in Ann. Naturh. Hofmuseum (1907) 27; Danguy, in Bull. Mus. d'hist. nat. (1908) 131; Fedtschenko, in Acta Horti Petrop. XXI (1903) 352; *Chrysanthemum* t. O. Hoffmann, in Vid. Medd. Naturh. For., København (1903) 149.

Eastern *Pamir*, sandy slope on the eastern shore of Little Kara-kul, 3720 m., 16th July 1894 (flowering); on the road from Koch-korchu, 4161 m., to Yam-bulak-bashi, 4439 m., 29th July 1894 (flowering).

Northern *Tibet*, Kar-yakak-sai, Chimen-tagh, Camp X, 3984 m., 21st July 1900 (flowering, and with big galls at the base of the shoots); Sarik-kol, Kwen-lun, 3469 m., 6th Aug. 1896; Camp X, 5362 m., 23rd Aug. 1896.

Geogr. area: Pamir, Tibet, Himalaya.

Artemisia salsoloides Willd. sp. pl. III (1800) 1832; Hemsley, in Journ. Linn. Soc. 35 (1902) 183; Keissler, in Ann. Naturh. Hofmuseum (1907) 27 (var. *typica* Hook. f.); Stewart, in Bull. Torrey Bot. Club (1916) 645; *A. Welbyi* Hemsl. et Pearson, in Journ. Linn. Soc. vol. (1902) 183.

N. W. *Tibet*, Camp VIII, at the southern foot of Kwen-lun, 4916 m., 9th Sept. 1906 (flow.); Inner Tibet, Camp LXIX, 4889 m., 29th Aug. 1901 (ster.).

var. *Welbyi* (Hemsl. et Pearson) Ostf. nov. comb.

Inner *Tibet*, Camp LXVI, 4863 m., 26th Aug. 1901 (flow.).

I consider *A. Welbyi* only a high-alpine form with darker colouring of *A. salsoloides* Willd.

Geogr. area: from Bessarabia eastwards to Tibet and Mongolia.

Artemisia pamirica C. Winkler, in Acta Horti Petropol. XI (1890) 329; Fedtschenko, in Acta Horti Petrop. XXI (1903) 346; XXIV (1904) 132, (1905) 332; XXVIII (1909) 490.

Eastern *Pamir*, Kara-jilga, valley and rivulet at Basik-kul, 3727 m., 24th July 1894 (flowering).

Geogr. area: Pamir.

Artemisia maritima L. sp. pl. (1753) 1186; Fedtschenko, in Acta Horti Petrop. XXI (1903) 347; XXIV (1904) 132.

East-Turkestan, Tatlik-bulak, SE. of Lop-nor, 1953 m., 3rd July 1900 (sterile); Bash-kurghan, Camp III, on the frontier between E. Turkestan and Northern Tibet, 2629 m., 5th July 1900 (not yet flowering).

As the specimens (from Tatlik-bulak) are only leaf-rosettes and rhizome without any stems, flowers or fruits, the identification is not quite sure. The specimens from Bash-kurghan belong to var. *pauciflora* (Web.) Ledeb. (Fl. Ross. II. 2, 1845—46, p. 570) = *A. marit.* α *Stechmanniana* Bess.

Geogr. area: Coasts of temp. Europe; widely distributed in the salt regions and deserts of Asia.

Artemisia Stracheyi Hook. f. et Thoms., ex Clarke, Comp. Ind. (1876) 164. Hook. f., Fl. Brit. Ind. III (1882) 328; Hemsley, in Journ. Linn. Soc. 35 (1902) 183;

Inner *Tibet*, Camp LXVI, 4863 m., 26th Aug. 1901 (flow.); SW. Tibet, Camp CCXI, Tokchen, east of Lake Manasarovar, 4654 m., 24th July 1907 (flow. hardly begun).
Geogr. area: Tibet, Himalaya.

Artemisia minor Jacquem., ex Besser, in Bull. Soc. Nat. Moscou IX (1836) 22; Hook. f., Fl. Brit. India III (1882) 329; Hemsley, in Journ. Linn. Soc. 35 (1902) 183; Stewart, in Bull. Torrey Bot. Club (1916) 646.

Northern *Tibet*, Camp XVI, at the shore of Kum-köl, 3882 m., 28th July 1900 (flow.).
Geogr. area: Himalaya, Tibet. (The record from Pamir by O. Hoffmann, *Compositæ*, in O. Paulsen, Vid. Medd. Naturh. For. København [1903] 151, is wrong.)

Artemisia Hedinii Ostf. nov. sp. (Pl. III, Fig. 1).

Sect. *Abrotanum*. Herba fragrans perennis, 10—15 cm. alta, glanduloso-pubescentis, caulibus erectis vel suberectis purpureis, ramis brevibus floriferis subadpressis. Folia sessilia, circumscriptione oblonga vel lanceolato-elliptica, subtus dense glandulosa, viridia, inferiora et media bipinnatisecta, superiora simpliciter pinnatisecta, segmentis lanceolatis vel linearibus, basin versus gradatim decrescentibus, serratis, obtusis vel mucronatis, in sicco apicibus involutis, rachi alata, irregulariter subpectinatim serrata. Capitula in racemis paniculam foliosam angustam formantibus disposita, hemisphærica, nutantia, diametro ca. 2,5 mm. Involucri squamæ late ellipticæ vel suborbiculares, glabræ vel parce glandulosæ, atræ vel atro-brunnæ dorso medio viridi et margine late membranaceo integro vel scarioso. Corollæ extus dense glandulosæ, purpureæ; achænia juvenalia glabra.

Ex aff. *A. sacrorum* Ledeb. et *A. biennis* Willd. Ab *A. sacrorum* differt colore squamarum caulorumque, foliorum sessilium forma, indumento glanduloso, caulibus herbaceis, involucri squamis non hirsutis nec villosis. Ab *A. bienni* differt perennitate, colore squamarum, indumento glanduloso etc.

Eastern *Tibet*, Camp LXXVIII, Naktson-g-tso, 4636 m., 11th Sept. 1901 (flow.).

Senecio arnicoides Wall. Cat. (1829) 3138, partly; Hook. f., Fl. Brit. Ind. III (1882) 350; Hemsley, in Journ. Linn. Soc. 35 (1902) 185 (var. *frigidus* Hook. f.); Stewart, in Bull. Torrey Bot. Club (1916) 646; *Ligularia arn.* Keissler, in Ann. Naturh. Hofmuseum (1907) 28.

S. W. *Tibet*, Camp CCXI, Tokchen, to the east of the lake Manasarovar, 4654 m., 24th July 1907 (flowering); height above the source of Tsangpo, 5015 m., 13th July 1907 (in bud only).

Geogr. area: Central and Western Himalaya; Tibet.

Senecio goringsis Hemsl., in Kew Bull. (1896) 212; Hemsley and Pearson, in Peterm. Mitteil. Ergänzungsbd. 28 (1900) 374; *Cremanthodium* g. Hemsley, in Journ. Linn. Soc. 35 (1902) 185.

Northern *Tibet*, Camp XXV, at lake No. XVIII, 4920 m., 12th Sept. 1896.

Geogr. area: Tibet.

Fam. **Caprifoliaceæ**

(determ. by C. H. OSTENFELD).

Lonicera glauca Hook. f. et Thoms., in Journ. Linn. Soc. II (1858) 166; C. K. Schneider, Handb. Laubhölzk. II (1912) 701; Stewart, in Bull. Torrey Bot. Club (1916) 644; Fedtschenko, in Acta Horti Petrop. XXVIII (1909); Rehder, in Missouri Bot. Garden, Rep. 14 (1903) 92; *L. Semenovii* Regel, in Act. Hort. Petrop. V (1878) 608.

South Western *Tibet*, Height above the source of Tsangpo, the northern foot of Himalaya, 5015 m., 13th July 1907 (flowering begun).

The material is rather scanty and the identification is not quite sure as there are several allied species of the sect. *Bracteata* (cfr. SCHNEIDER, l. c).

Geogr. area: Himalaya, Tibet; (of *L. Semenovii*): Thian-shan, Alai Mountains, Pamir.

Fam. **Lentibulariaceæ**

(determ. by C. H. OSTENFELD).

Utricularia minor L., Sp. pl., ed. 1 (1753) 18.

East-Turkestan, Lop-nor, Kara-koshun, 816 m.; 10th April 1900 (germinating hibernacula mixed between *U. vulgaris*).

Geogr. area: Widely distributed in the northern temperate regions.

Utricularia vulgaris L., Sp. pl., ed. 1 (1753) 18; Fedtschenko, in Acta Horti Petrop. XXI (1903) 370.

East-Turkestan, Lop-nor, Kara-koshun, 816 m., 10th April 1900 (germinating hibernacula); Mapik-köl, a part of Kara-koshun, 23rd June 1900 (flowering).

Geogr. area: Widely distributed in the northern temperate regions.

Fam. **Bignoniaceæ**

(determ. by C. H. OSTENFELD).

Incarvillea Younghusbandii Sprague, in Kew Bull. 1907, 320.

Inner *Tibet*, Between Camp LXX and LXXI, ca. 4800 m., 1st Sept. 1901 (with fruit, Pl. III, Fig. 3); Camp LXXVIII, the shore of Naktsong-tso, 4636 m., 11th Sept. 1901 (sterile); On the road between Camp CLXXXIX, Dongbo, 4598 m., and Camp CXC, Tuksum, 4596 m., in the valley of Upper Tsang-po, 1st July 1907 (flowering, Pl. III, Fig. 4).

The species is near to *I. compacta* Maxim., *I. grandiflora* Bur. et Franch. and *I. Bonvaloti* Bur. et Franch., but seems distinct enough to be kept specifically separate.

Geogr. area: Tibet.

Fam. **Scrophulariaceæ**

(determ. by OVE PAULSEN).

Lagotis brachystachya Maximowitsch, in Bull. Ac. imp. sc. Pétersb. XXVII (1881) 526; Hemsley, in Journ. Linn. Soc. 1902, 193; Hemsley and Pearson, in Peterm. Mitteil., Ergänzungsbd. 28 (1900) 374.

Northern *Tibet*, Camp XVII, in a river, 5073 m., 1st Sept. 1896 (det. Hemsley and Pearson); Eastern *Tibet*, near Camp XLIV, 5127 m., 6th Aug. 1901 (flowering).
Geogr. area: Kansu.

Lancea tibetica Hook. f. et Thomson, in Journ. of Bot. 9 (1857) 244, tab. 7; Hook. f., Fl. Brit. Ind. IV (1885) 260.

Inner *Tibet*, Camp LXXVIII, shore of the lake Naktson-tso, 4636 m., 11th Sept. 1901 (with ripe fruit). (det. C. H. Ostenfeld).

Geogr. area: Tibet.

Oreosolen unguiculatus Hemsley, in Hook. ic. pl. 4. ser. 5 (1896) 2467; Hemsley, in Journ. Linn. Soc. 1902, 193.

Inner *Tibet*, Between Camp LXX and LXXI: 4757 m., 1st Sept. 1901 (with flower and fruit, a thick bivalved capsule).

Geogr. area: Known only from Tibet.

Pedicularis abrotanifolia M. Bieb., in Stev. Mon.; Maximowitsch, in Mém. biol. XII (1888) 879, fig. 104; Fedtschenko, in Acta Horti Petrop. XXVIII (1909) 47.

Eastern *Pamir*, Kara-jilga at Bassik-kul; 3727 m., 24th July 1894 (flowering).
Geogr. area: Mongolia, Ural, Songaria.

Pedicularis cheilanthifolia Schrenk; Ledeb. fl. ros. III (1846—51) 273; Hook. f., Fl. Brit. India 4 (1885) 308; Hemsley, in Journ. Linn. Soc. 1902, 192; Prain, in Ann. roy. bot. garden Calcutta 3 (1891) 171, tab. 32; Fedtschenko, in Acta Horti Petrop. XXI (1903) 161, XXVIII (1907) 24, XXVIII (1909) 47; Keissler, in Ann. naturhist. Hofmus. Wien XXII (1907) 30. (Text fig. 1.)

Eastern *Pamir*, Kamper-kishlak, Mus-tagh-ata, ab. 4500 m., 29th July 1894 (flowering).

Northern *Tibet*, Mandarlik, 3437 m., medio July, 1900. (flowering).

Geogr. area: W. Himalaya, Songaria, Kansu.

Pedicularis globifera Hook. f., in Fl. Brit. Ind. 4 (1885) 308; Prain, in Ann. roy. bot. garden Calcutta 3 (1891) 170, tab. 32. (Text fig. 1.)

Eastern *Tibet*, Camp XLIV, 5127 m., 9th Aug. 1901 (flowering).

Geogr. area: Himalaya.

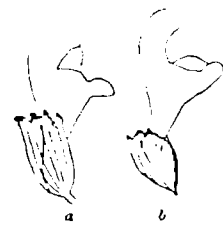


Fig. 1.
Pedicularis globifera (a)
and *P. cheilanthifolia* (b).

Pedicularis longiflora Rudolph, in Mém. Ac. Pétersb. IV (1811) 345; Ledeb. fl. ros. III (1846—51) 276; Prain, in Ann. roy. bot. g. Calcutta III (1891) 112, tab. 1; Hemsley, in Journ. Linn. Soc. 1902, 193; Keissler, in Ann. Naturhist. Hofmus. Wien XXII (1907) 30.

S. W. Tibet, Camp CCXI, Tokchen, east of the lake Manasarovar, 4654 m., 24th July 1907 (flowering).

Geogr. area: Himalaya, Mongolia, Transbaicalia.

Pedicularis Oederi Vahl, in Hornemann, Dansk oekon. Plantelære (1806) 580; Prain, in Ann. roy. bot. g. Calcutta III (1891) 181, tab. 34; Hemsley, in Journ. Linn. soc. 1902, 193; Fedtschenko, in Acta horti Petrop. XXI (1903) 163.

var. *heteroglossa* Prain, in Ann. roy. bot. g. Calcutta III (1891) 182.

Northern Tibet, Between Camp XVII and XVIII, 4175 m., 31st July 1900 (flowering); S. W. Tibet, Camp CCXI, Tokchen, east of the lake Manasarovar, 4654 m., 24th July 1907 (flowering).

Geogr. area: Throughout arctic countries; mountains of Europe and Asia. The var. is known from Himalaya and N. China.

Pedicularis Svenhedini O. Pauls. nov. sp. (Pl. VII, Fig. 1, and Text fig. 2) (*Verticillata*). Perennis caespitosus caulibus parce arachnoideis erectis v. obliquis, in specim.

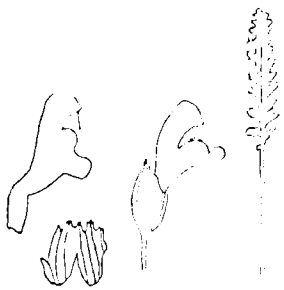


Fig. 2. *Pedicularis Svenhedini*.

10—12 cm. altis. Folia opposita, superne verticillata, inferiora longe petiolata, angusta, circumscriptione sublinearia, pinnatisecta, segmentis 7-10-jugis longitudine 2 mm. non superantibus crenato-rotundatis. Flores breviter pedicellati v. subsessiles, conferti, bracteis inferioribus foliaceis, superioribus linearibus. Calyx arachnoideo-lanatus, antice ad ca. $\frac{1}{3}$ fissus, dente posteriori ceteris minori, dentibus crenato-cristatis. Corollæ tubus inferne infractus superne ampliatus calycem plus dimidio superans, labii trilobis lobis orbiculatis, galeæ erectæ labium superantis parte superiori fronte declivo vix v. levissime concavo, antice oblique detruncato, ita ut margo anterior galeæ superne convexus inferne concavus. Filamenta ex adverso ovarii inserta glabra. Fructus maturus deest.

S. W. Tibet, Height above the source of Tsangpo, northern foot of Himalaya, 5015 m., 13th July 1907 (flowering).

This species is rather like *P. cheilanthisfolia* and *P. globifera*, but it differs plainly from both in the form of its corolla, especially the galea. For better comparison I have annexed drawings of a flower of each of these species (Text fig. 1).

Pedicularis uliginosa Bunge (1839); Ledeb. fl. ross. III (1846—51) 290; Maximowitsch, in Mém. biol. XII (1888) 906, fig. 151; Fedtschenko, in Acta horti Petrop. XXI (1903) 162, XXIV (1904) 15, XXIV (1905) 28, XXVIII (1907) 24.

Eastern *Pamir*, Kamper-kishlak, Mus-tagh-ata, ab. 4500 m., 29th July 1894 (flowering).

Geogr. area: Transbaicalia, Mongolia, Altai, Songaria.

***Pedicularis* spp.**

East-*Turkestan*, Chigelik-ui, Lower Tarim, 819 m., 11th—18th June 1900 (with young inflorescence).

Eastern *Tibet*, Near Camp XLIV, 5127 m., 18th Aug. 1901 (flowering, but later spoiled by insects).

Scrophularia dentata Clarke, in Benth. *Scrophul. indicae* (1835) 19; Hook. f. Fl. Brit. Ind. IV (1885) 256; Hemsley, in Journ. Linn. Soc. 1912, 192.

S. W. *Tibet*, Between Camp CXCIV, Gjangtju-kaman, 4661 m., and Camp CXCIV, Thärck, 4657 m., valley of Upper Tsangpo, 6th July 1907.

(A little doubtful. The specimens are very young and hardly flowering).

Geogr. area: Himalaya.

Fam. Solanaceæ

(determ. by OVE PAULSEN).

Lycium ruthenicum Murr. (1779); Ledeb. fl. ross. III (1846—51) 190; Hook. f. Fl. Brit. Ind. IV (1885) 241; Danguy, in Bull. Mus. d'hist. nat. XVII (1911) 343.

East-*Turkestan*. »Occurs everywhere at Tarim and Lop-nor. The east-turkish name of this plant, Ak-tikken (*i. e.* white t.) is very common in geographical names. I have passed 9 places called Tikkenlik« (Sven Hedin on the schedule). Ab. 850 m. Spring or early summer of 1900 (sterile).

Geogr. area: Southern Russia, S. W. Siberia, Transcaspia, Songaria.

***Scopolia* sp.** Hemsley and Pearson, in Peterm. Mitteil., Ergänzungsbd. 28 (1900) 374.

Northern *Tibet*, Between Camp XXIX and XXX, 4863 m., 20th Sept. 1896 (det. Hemsley and Pearson).

Fam. Labiatae

(determ. by OVE PAULSEN).

Ajuga lupulina Maximowitsch, in Bull. Ac. imp. sc. Pétersb. 23 (1877) 391; ibid. 29 (1884) 182, tab. III; Danguy, in Bull. Mus. d'hist. nat. XVII (1911) 346.

Eastern *Tibet*, Camp LXXVIII, between Nakt-song-tso and Selling-tso, 4636 m., 11th Sept. 1901 (flowering).

Geogr. area: Kansu, Petchili.

Dracocephalum heterophyllum Bentham, in Labiatarum Genera et species (1836) 738; Hook. f. Fl. Brit. Ind. IV (1885) 665; Hemsley, in Journ. Lin. Soc. (1912) 195; Hemsley and Pearson, in Peterm. Mitteil., Ergänzungsbd. 28 (1900) 375; Fedtschenko.

in Acta horti Petrop. XXI (1903) 170, XXIV (1904) 15, (1905) 29, XXVIII (1907) 25, (1909) 50; Keissler, in Ann. naturhist. Hofmus. Wien XXII (1907) 30; Danguy, in Bull. Mus. d'hist. nat. XIV (1908) 132, XVII (1911) 345.

Eastern *Pamir*, East-shore of Little Kara-kul, 3720 m., 16th July 1894 (flowering).

Northern *Tibet*, Camp XIV, 4968 m., 28th Aug. 1896. Camp XXI, 4965 m., 7th Sept. 1896 (det. Hemsley and Pearson).

S. W. Tibet, Between Camp CLXXXIX, Dongbo, 4598 m., and Camp CXC, Tuksun, 4596 m., valley of Upper Tsangpo, 1st July 1907 (flowering).

Geogr. area: Tian-shan, Himalaya.

var. *rubicundum* O. Pauls. nov. var., calycibus brevibus (11 mm. longis, dum 15—19 mm. longitudo normalis), ± rubro-tinctis, foliis cordatis, in petiolum vix decurrentibus.

Northern *Tibet*, Camp XVI, upper Kum-köl, 3882 m., 28th July 1900 (flowering); Eastern Tibet, Camp LXVI 4863 m., 26th Aug. 1901 (w. young fruits).

Dracocephalum stamineum Karelin et Kirilow, in Bull. nat. Moscou (1842) 423; Ledeb. fl. ros. III (1846—51) 384; Hook. f., Fl. Brit. Ind. IV (1885) 666; Fedtschenko, in Acta horti Petrop. XXI (1903) 120, XXVIII (1909) 50.

Eastern *Pamir*, Mus-tagh-ata, Yam-bulak-bashi, 4439 m., 14th Aug. 1894 (flowering).

Geogr. area: Tian-shan, Himalaya, Songaria.

Fam. Borraginaceæ

(determ. by OVE PAULSEN).

Arnebia guttata Bunge (1840); Ledeb. fl. ross. III (1846—51) 139; O. Fedtschenko, in Acta h. Petrop. XXI (1903) 151, XXIV (1904) 14, XXVIII (1907) 21, (1909) 46; Danguy, in Bull. Mus. d'hist. nat. XIV (1908) 132, XVII (1911) 342.

Eastern *Pamir*, Little Kara-kul, on sandy soil, 3720 m., 6th July 1894 (flowering).

Geogr. area: Tian-shan, Altai, Songaria.

Eritrichium pectinatum (Pallas) D. C., Prodr. X (1846) 127; Ledeb. fl. ros. III (1847—49) 152; Kryloff, Fl. Altaica IV (1907) 896; *E. ciliatum* Rudolph, in Mém. ac. St. Pétersb. I (1809) 352.

S. W. *Tibet*, At the road between Camp CCIII (Darasumkar, 4931 m), and Camp CCIV (Bukgyagorap, 4870 m.), 16th July 1907 (flowering).

Geogr. area: Siberia from Ural to Mongolia, northern China, Altai.

Microula sikkimensis (Clarke) Hemsley, in Hook. Ic. pl. 4. ser. 6 (1899) plate 2562; Hemsley, in Journ. Linn. Soc. 1902, 192; *Anchusa sikkimensis* Clarke, in Hook. f., Fl. Brit. Ind. IV (1885) 168; *Tretocarya sikkimensis* Oliver, in Hook. Ic. pl. 4 ser. 5 (1896) plate 2255; Danguy, in Bull. Mus. d'hist. nat. XVII (1911) 342.

Eastern *Tibet*, Camp LXXVI, at the union of Jagju with Selling-tso, 4611 m., 8th Sept. 1901 (flowering).

Geogr. area: Himalaya, Szechuan.

Microula tibetica Maxim. 1877; Hemsley, in Hook. Ic. pl. 4 ser. 6 (1899) plate 2562; Hemsley, in Journ. Linn. Soc. 1902, 192; *M. Benthami* Clarke, in Hook. f., Fl. Brit. Ind. IV (1885) 167; *Tretocarya pratensis* Maxim.; Danguy, in Bull. Mus. d'hist. nat. XVII (1911) 342.

Northern *Tibet*, Camp XVII, 4024 m., 31st July 1900 (flowering); S. W. Tibet, hill above Tsangpo's source, 5015 m., 13th July 1901 (flowering).

Geogr. area: Himalaya.

Solenanthus stylosus (Kar. et Kir.) Lipsky, in Acta horti Petrop. XXIII (1904) 177; Fedtschenko, in Acta horti Petrop. XXIV (1905) 27, XXVIII (1909) 46; Danguy, in Bull. Mus. d'hist. nat. XIV (1908) 131.

Eastern *Pamir*, Little Kara-kul, on sandy soil, 3720 m., 16th July 1894 (flowering).

Geogr. area: Tian-shan, Songaria, Alatau.

Fam. **Asclepiadaceæ**

(determ. by OVE PAULSEN).

Cynanchum acutum L., Sp. pl. (1753) 212; Ledeb. fl. ros. III (1846—51) 47; Hook. f., Fl. Brit. Ind. IV (1885) 24; Danguy, in Bull. Mus. d'hist. nat. XVII (1911) 340.

East-*Turkestan*, Karaumelik-köl, freshwater-lake at the right side of Lower Tarim, 880 m., 20th May 1900 (sterile); Lower Tarim, ab. 830 m., early summer of 1900 (sterile); Tuna-toghdi, Lower Tarim, 825 m., 8th June 1900 (sterile).

Geogr. area: Southern Europe, N. Africa, W. Asia.

Fam. **Apocynaceæ**

(determ. by OVE PAULSEN).

Apocynum Henderssonii Hook. f.; Béguinot e Belosersky, Revis. monogr. Apocynum (1913) 78; *A. grandiflorum* Danguy, in Notulæ system. II (1911) 137.

East-*Turkestan*, Karaumelik-köl, freshwater-lake at the right side of Lower Tarim, 880 m., 20th May 1900 (flowering).

Geogr. area: Known only from East-Turkestan.

Fam. **Gentianaceæ**

(determ. by Sv. MURBECK and C. H. OSTENFELD).

Gentiana nubigena Edgew., in Trans. Linn. Soc. XX (1846) 85; Hemsley, in Journ. Linn. Soc. 35 (1902) 191.

S. W. *Tibet*, On the road between Camp CLXXXIX, Dongbo, 4598 m., and Camp CXC, Tuksum, 4596 m., the valley of Upper Tsangpo, 1st July 1907 (flowering).
Geogr. area: Alpine Himalaya and Tibet.

Gentiana thianschanica Rupr., in Mém. Acad. Pétersb. XIX (1869) 61; Hemsley, in Journ. Linn. Soc. 35 (1902) 191; Fedtschenko, in Acta Horti Petrop. XXI (1903) 379; *G. decumbens* Hemsley and Pearson, in Peterm. Mitteil., Ergänzungsbd. 28 (1900) 374; (?) Stewart, in Bull. Torrey Bot. Club (1916) 640.

Northern *Tibet*, Sarik-kol, Kwen-lun, 3469 m., 5th Aug. 1896.

Geogr. area: Alpine Himalaya, Tibet, Mongolia.

Gentiana Hedinii Murbeck, in Oesterr. botan. Zeitschr. XLIX (1899) 241, text-figs. 1—3.

Northern *Tibet*, Sarik-kol, Kwen-lun, 3469 m., 5th Aug. 1896.

We have not succeeded in finding the specimens upon which this and the following species have been based.

Gentiana cordisepala Murbeck, in Oesterr. bot. Zeitschr. XLIX (1899) 243, text-figs. 4—5.

Northern *Tibet*, Sarik-kol, Kwen-lun, 3469 m., 5th Aug. 1896.

Pleurogyne brachyanthera C. B. Clarke, in Hook. f., Fl. Brit. India IV (1885) 120; Hemsley, in Journ. Linn. Soc. 35 (1902) 191; Fedtschenko, in Acta Horti. Petrop. XXI (1903) 381; *P. carinthiaca*, Hemsley and Pearson, in Peterm. Mitteil. Ergänzungsbd. 28 (1900) 374; Stewart, in Bull. Torrey Bot. Club (1916) 640.

Northern *Tibet*, Sarik-kol, Kwen-lun, 3469 m., 5th Aug. 1896.

HEMSLEY and PEARSON (l. c.) record Hedin's plant as *P. carinthiaca* Griseb., but as HEMSLEY later (l. c.) only mentions *P. brachyanthera* Clarke from Tibet, and as the two species are very near (if different at all?), I have transferred the record to *P. brachyanthera*.

Geogr. area: Tibet, Himalaya, Pamir.

Fam. Plumbaginaceæ

(determ. by C. H. OSTENFELD).

Acantholimon Hedinii Ostf. nov. sp. (Pl. IV, Fig. 2). Sect. *Pulvinaria* Boiss. Densissime cæspitosum, glaucescens; ramis brevibus columnaribus; foliis squarrosis, 4—7 mm. longis, crassiusculis, margine ciliato-scabra, obtuse triangularibus, apice obtusa vel acutiuscula. Spica una in apice rosulæ brevissime stipitata; spiculis 1—2-floris sessilibus, bracteis 4—5, exterioribus acutis, late ovatis, margine lata membranacea, ceterum pallide glauco-virescentibus, interioribus membranaceis, nervo mediano

basi virescenti, apice rubescenti excepto, obtusis vel acuminatis, calycis tubum superantibus. Calyx 7—8 mm. longa, tubo nervato, sparse pilosa, limbo albo, nervis atrorubentibus marginem scariosam attingentibus, integro vel sub-quinque lobato, mutico vel brevissime mucronato.

A. diapensioidi Boiss. (præcipue var. *longifolia* O. Fedtschk.) arcte affine, sed differt foliis duplo longioribus majoribusque, ramis robustioribus, calycis limbo albo (nec rubello), bracteis pallidioribus, etc.

Eastern *Pamir*, Among mosses on Kara-kir, at the eastern shore of Little Kara-kul, 3720 m., 16th July 1894 (flowering).

This species is near to *A. diapensioides*, but I think fairly distinct, and looks much different from it.

Statice aurea L., Sp. pl. ed. 1 (1753) 276; (?) *S. Lacostei* Danguy, in Journ. de Botan. (1908) 53.

Northern *Tibet*, Mandarlik, 3437 m. medio July 1900 (flowering).

To judge from the description *S. Lacostei* Danguy (l. c.) from Tegermanlik, Karakorum, is only a form *S. aurea*.

Geogr. area: From S. E. Russia to Turkestan and Kansu.

Fam. Primulaceæ

(determ. by C. H. OSTENFELD).

Primula algida Adam, in Weber et Mohr, Beitr. Naturkunde I (1805) 46; Pax et Knuth, Primulaceæ, in Das Pflanzenreich (1905) 73; Danguy, in Bull. Mus. d'hist. nat. (1908) 131; *P. farinosa*, var. *algida* Trautv.; Fedtschenko, in Acta Horti Petrop. XXI (1903) 370; XXVIII (1909) 495.

Eastern *Pamir*, Mus-tagh-ata, between Kamper-kishlak and Yam-bulak-bashi, 4480 m., 4th Aug. 1894 (flowering nearly over).

The specimens belong to var. α , *sibirica* (Ledeb.) Pax (l. c.) with efarinose leaves.

Geogr. area: Pontic Mountains, Caucasus, Northern Persia, Turkestan to Altai Mountains.

Primula sibirica Jacq., Misc. austr. I (1778) 161; Pax et Knuth, Primulaceæ, in Das Pflanzenreich (1905) 76; Danguy, in Bull. Mus. d'hist. nat. (1908) 131; Stewart, in Bull. Torrey Bot. Club (1916) 639; Fedtschenko, in Acta Horti Petrop. XXI (1903) 372, XXIV (1904) 136, (1905) 337; XXVIII (1907) 114, (1909) 495.

Eastern *Pamir*, Wet meadow between Little Kara-kul and Basik-kul, 3723 m., 15th July 1894 (flowering).

Northern *Tibet*, Mandarlik, Camp IX, south of Ghas-köl, 3437 m., medio July 1900 (flowering).

The specimens belong to var. *a*, *brevicalyx* Trautv., which is confined to High-Asia and Siberia.

Geogr. area: Arctic regions of America and Eurasia, High-Asia from Hindukush to Tibet, Kansu, Altai and Dahuria.

Primula tibetica Watt, in Journ. Linn. Soc. XX (1882) 6, pl. XI A; Pax and Knuth, Primulaceæ, in Das Pflanzenreich (1905) 78; Hemsley, in Journ. Linn. Soc. 35 (1902) 190.

S. W. *Tibet*, Upper valley of Tsangpo (Brahmaputra) between Camp CXCII, Yüri, 4605 m., and Camp CXCIII, Nangi, 4627 m., 4th July 1907; Camp CCXI, Tokchen, 4654 m., 24th July 1907 (both flowering).

Geogr. area: Himalaya, Tibet, both western and eastern.

Primula Stirtoniana Watt, in Journ. Linn. Soc. XX (1882) 15, pl. XIII D; Hook. f., Fl. Brit. Ind. III (1882) 495; Pax and Knuth, Primulaceæ, in Das Pflanzenreich (1905) 98.

S. W. *Tibet*, Near the source of Tsangpo, on the road between Camp CC, Hlayak, 4861 m., and Camp CCI, Shapka, 4841 m., 12th July 1907 (flowering).

The specimens are different from the description in two points, viz.: the calyx lobes are not toothed and the flower is usually not single, but two together on a very short scape; but in spite of these discrepancies I do not doubt the identification.

Geogr. area: Sikkim, only known from the Kanglanamo Pass, alt. 14—16000 ft.

Primula nivalis Pall., Reise durch versch. Prov. Russ. Reichs III (1772—73) 723, pl. G, fig. 2; Pax and Knuth, Primulaceæ, in Das Pflanzenreich (1905) 102; Fedtschenko, in Acta Horti Petrop. XXI (1903) 373; XXIV (1904) 136, (1905) 337; XXVIII (1907) 114, (1909) 496; *P. purpurea* Royle; Hemsley, in Journ. Linn. Soc. 35 (1902) 190; Stewart, in Bull. Torrey Bot. Club (1916) 639.

Eastern *Pamir*, Mus-tagh-ata, between Kamper-Kishlak and Yam-bulak-bashi, 4480 m., 4th Aug. 1894 (var. *macrophylla* [Don] Pax); Mus-tagh-ata, the left side-moraine of the Korumde glacier, 4367 m., 27th July 1894 (var. *Moorcroftiana* [Wall.] Pax), (both flowering).

S. W. *Tibet*, Camp CCXI, Tokchen, 4654 m., 24th July 1907 (fragments only, but in flower).

Geogr. area: From the Pontic Mountains through Caucasus, Turkestan, Afghanistan, Pamir, Himalaya to Yunnan and through Altai to Dahuria.

Androsaces chamæjasme Host, Syn. pl. Austr. (1797) 95; Pax and Knuth, Primulaceæ, in Das Pflanzenreich (1905) 188; Hemsley and Pearson, in Peterm. Mitteil. Ergänzungsbd. 28 (1900) 374; Hemsley, in Journ. Linn. Soc. 35 (1902) 189; Danguy, in Bull. Mus. d'hist. nat. (1908) 131; Fedtschenko, in Acta Horti Petrop. XXI (1903) 374; XXVIII (1909) 496.

Eastern *Pamir*, Mus-tagh-ata, the left side-moraine of the Korumde glacier, gravelly places, 4367 m., 27th July 1894 (flowering).

Northern *Tibet*, Sarik-kol, Kwen-lun, 3469 m., 5th Aug. 1896; Upper Kumköl, Camp XVI, 3882 m., 28th July 1900; spring in Northern Tibet, ca. 4700 m., beginning of Aug. 1900 (flowering).

Some of the specimens approach var. *coronata* Watt (in Journ. Linn. Soc. XX, 1882, p. 17, tab. 17 A) from Western Tibet, which HEMSLEY and PEARSON (l. c.) record from Northern Tibet, Camp. XVII, 5073 m., 1st Sept. 1896.

Geogr. area: Central European Mountains, Caucasus, Inner Asiatic Mountains, Arctic Asia, subarctic Eastern Siberia, Novaja Semlja, Behring Straits' region, Rocky Mountains.

Androsaces tapete Maxim., in Bull. Acad. Pétersb. XXXII (1888) 505; Pax and Knuth, Primulaceæ, in Das Pflanzenreich (1905) 202; Hemsley, in Journ. Linn. Soc. 35 (1902) 189.

Northern *Tibet*, Mandarlik, 3437 m., medio July 1900 (flowering).

Geogr. area: Tibet, Kansu, Northern Sze-tshuan, Chinese Turkestan.

Glaux maritima L., Sp. pl. ed. 1 (1753) 207; Pax and Knuth, Primulaceæ, in Das Pflanzenreich (1905) 319; Hemsley, in Journ. Linn. Soc. 35 (1902) 190; Fedtschenko, in Acta Horti Petrop. XXI (1903) 375; XXVIII (1907) 115, (1909) 497.

Eastern *Pamir*, Basik-kul, Kara-jilga, 3727 m., 24th July 1894 (flowering).

Northern *Tibet*, Mandarlik 3437 m., medio July 1900 (flowering); Kash-otak, valley, 2916 m., medio Aug. 1900 (flowering over).

Geogr. area: Temperate northern hemisphere, mostly along the sea-shores, but also on saline places in the interior; widely distributed in the inner temperate and alpine Asia.

II. Dicotyledones, Choripetalæ.

Fam. Umbelliferae

(determ. by L. DIELS and W. B. HEMSLEY & H. H. W. PEARSON).

Pleurospermum Lindleyanum (Klotzsch) C. B. Clarke, in Hook. f., Fl. Brit. Ind. II (1879) 704 pro var.; *P. stellatum*, var. *Lindleyanum* C. B. Clarke, l. c.; Hemsley, Journ. Linn. Soc. XXXV (1902) 179; Stewart, in Bull. Torrey Bot. Club, 43 (1916) 639; *Hymenolena Lindleyana* Klotzsch; Fedtschenko, in Acta Horti Petrop. XXI (1903) 338; XXIV (1904) 131 (β, *bucharica* Lipsky); (1905) 330; XXVIII (1907) 113, (1909) 487 (var. *nana* [Rupr.] B. Fedtsch.).

Eastern *Pamir*, the old left side-moraine of the Korumde glacier, 4367 m., 27th July 1894 (flow.).

Geogr. area: Himalaya (alpine), Tibet, Kara-korum, Tian-shan Mountains, Pamir.

Pleurospermum stellatum (Don) Benth. ex Hook. f., Fl. Brit. India II (1879) 704. Eastern *Tibet*, near Camp XLIV, 5127 m., 15th Aug. 1901 (flow.).

Geogr. area: Himalaya (alpine), Tibet.

Pleurospermum Hedini Diels, nov. sp. (Pl. VI, Figs. 5—6).

Planta acaulis rosulata, rosulam humifusam circ. 15 cm. diamet. formans. Rhizoma crassum. Folia carnosae; petiolus basin versus sensim ad 4 mm. dilatatus, (exteriorum) 3—4 cm. longus, lamina subglaucæ, ambitu oblonga, bipinnata, 3,5—4 cm. longa, pinnulis II. iterum pinnato-partitis segmentis anguste obovatis vel spatulatis obtusiusculis, 1,5—2,5 cm. longis. Umbella sessilis, radii numerosi (40—50) quam folia breviores extimi ad 5 cm. longi. Bracteolæ 10—12, albo-marginatæ, 5—7 mm. longæ, exteriores trifidæ, interiores integræ oblongæ subacutæ. Pedicelli carnosae 2—3 mm. longi. — (Fructus non adsunt).

Tibetia orientalis pr. campum XLIV, 5127 m. s. m., flor. 18. Aug. 1921 (Fig. 6).

Probabiliter eadem in *Tibetia* boreali pr. campum XXVI, 4946 m. s. m., nondum flor., 30. Jun. 1901 (Fig. 5).

Species nova habitu rosulari *P. stellatum* Benth. appropinquat, sed foliorum segmentis obtusis radiisque quam folia brevioribus primo visu distinguitur.

Heracleum millefolium Diels, in Fedde, Reper. Nov. spec. II (1906) 65. (Pl. VI, Figs. 3—4).

Eastern *Tibet*, Camp LXIX, 4889 m., 31st Aug. 1901 (in fruit, Fig. 3).

Northern Tibet, Mandarlik, 3437 m., medio July 1900 (flowering, Fig. 4).

Geogr. area: N. E. Tibet (Ltn. Filchner 1904).

Peucedanum Malcomii Hemsl. et H. H. W. Pearson, in Journ. Linn. Soc. 35 (1902) 179; *P. sp.* (aff. *P. Hystrix* Bge.) Hemsley and Pearson, in Peterm. Mitteil. Ergänzungsbd. 28 (1900) 374.

N. E. *Tibet*, Camp XIX, the latitudinal valley, 4985 m., 5th Sept. 1896.

Geogr. area: Tibet (northern central).

Trachydium sp. (?); Hemsley and Pearson, in Peterm. Mitteil. Ergänzungsbd. 28 (1900) 374.

Northern *Tibet*, Sarik-kol, Kwen-lun, 3469 m., 5th Aug. 1896. »Die Blüten sind zu jung, selbst um die Gattung zu erkennen« (HEMSLEY and PEARSON l. c.).

Bupleurum triradiatum Adams, ex Hoffm. Gen. Umb., ed 2 (1816) 115; Ledeb. Fl. ross. II (1844—46) 264; Hemsley and Pearson, in Peterm. Mitteil. Ergänzungsbd. 28 (1900) 374; *B. ranunculoides* L. β , *triradiatum* (Adams) Regel, in Nouv. Mém. Soc. nat. Moscou XI (1858); H. Wolff, Umbelliferae, in Das Pflanzenreich (1910) 117.

Northern *Tibet*, Sarik-kol, Kwen-lun, 3469 m., 5th Aug. 1896.

Geogr. area: Altai, Baikal-region, Sacchalin, N. Japan, Kamchatka, Alaska.

Fam. **Hippuridaceæ**

(determ. by C. H. OSTENFELD).

Hippuris vulgaris L., Sp. pl. ed. 1 (1753) 4; Hemsley, in Journ. Linn. Soc. 35 (1902) 178; Stewart, in Bull. Torrey Bot. Club (1916) 638; Fedtschenko, in Acta Horti Petrop. XXI (1903) 330; XXVIII (1907) 111.

Eastern *Pamir*, spring at the shore of Bulun-kul, 3405 m., 23rd July 1894 (no flower developed).

Northern *Tibet*, spring east of Kum-köl, 3902 m., 27th July 1900 (no flower developed). See on p. 19.

Geogr. area: Widely distributed in N. temper. and Arct. regions, also in the whole Inner Asia; S. America.

Fam. **Halorrhagaceæ.**

(determ. by C. H. OSTENFELD).

Myriophyllum spicatum L., Sp. pl. ed. 1 (1753) 992; A. K. Schindler, Halorrhagaceæ, in Das Pflanzenreich (1905) 90; Fedtschenko, in Acta Horti Petrop. XXI (1903) 330; XXVIII (1907) 111; (?) *M. verticillatum* Hemsley, in Journ. Linn. Soc. 35 (1902) 178.

Eastern *Pamir*: Tjakker-agil, 3319 m., 22nd July 1895 (with flow. buds); Lower Basik-kul, 3727 m., 23rd July 1894 (sterile).

East-*Turkestan*, Lop-nor, Turkomak-köl, 816 m., 23rd April 1896 (young shoots only); Chivilik-köl, Yettim-tarim, a branch of Tarim, 829 m., 2nd June 1900 (flowering); Tarim at Abdal, 816 m., 22nd June 1900 (sterile).

Geogr. area: nearly world-wide, absent from Australia, Central and South America, and tropical Africa and Asia.

Fam. **Oenotheraceæ**

(determ. by C. H. OSTENFELD).

Epilobium latifolium L., Sp. pl. 1 (1753) 494; Haussknecht, Monogr. Gatt. Epilobium (1884) 190; Stewart, in Bull. Torrey Bot. Club (1916) 638.

Eastern *Pamir*, Mus-taggh-ata, Tergen-bulak, near the glacier, 4374 m., 14th Aug. 1894 (flowering).

The specimens are glabrous and therefore to be named var. *glabrescens* Hausskn. (l. c. 112).

Geogr. area: Iceland, Greenland, Arctic North America, Rocky Mountains, British Columbia, Alaska, Behring Straits' area, Arctic Asia, High-Asia southwards to Tibet.

Fam. **Elæagnaceæ**

(determ. by OVE PAULSEN).

Elæagnus angustifolia L., Sp. pl. ed. 1 (1753) 121; var. *orientalis* (L.) Dippel; C. Schneider, Handb. Laubholz. II (1912) 410; *C. hortensis* M. B. subsp. *continentalis* Servettaz, in Beit. bot. Centralbl. 25. 2 Abt. (1909) 41.

East-Turkestan, in the Tarim estuary, ab. 830 m., early summer 1900. (»Occurs in all oases and at all rivers in East Turkestan«). Two specimens, one of them appears to be a root-cutting, its leaves are short-petioled, ovate, 2—2,5 cm. long and very stellate-hairy.

Geogr. area: Southern Europe, W.-Asia, High Asia in valleys.

Fam. **Violaceæ**

(determ. by SV. MURBECK).

Viola, ex affinitate *V. Patrini* D. C. et *V. Gmelini* R. & S.

Tibet, without locality, 1896.

Prof. Dr. SV. MURBECK has informed us that together with the two *Gentianas* described by him (see above) was a species of *Viola*, which he did not determine specifically. As the material has disappeared, further information is not possible.

Fam. **Tamaricaceæ**

(determ. by OVE PAULSEN).

Myricaria brevifolia Turczaninow, in Bull. nat. Moscou (1840) 70; Ledeb., fl. ros. II (1844) 132.

East-Turkestan: Bash-kurgan, Camp III, S. of Lop-nor, 2629 m., 5th July 1900 (fruiting).

Northern *Tibet*, Mandarlik, 3437 m., medio July 1900 (flowering).

Geogr. area: Mongolia.

Myricaria germanica (L.) Desv., Ann. Sc. nat. Sér. 1,4 (1824) 349; var.; Ledeb., fl. ros. II (1844) 131; Hook. f., Fl. Brit. Ind. I (1875) 250; Hemsley and Pearson, in Peterm. Mitteil. Ergänzungsbd. 28 (1900) 373; Fedtschenko, in Acta horti Petrop. XXI (1903) 99, XXIV (1905) 18, XXVIII (1909) 32.

N. E. *Tibet*: Harato, northern slope of Tsaidam's southern border-mountains, 3321 m., 5th Oct. 1896 (det. Hemsley et Pearson).

Geogr. area: Europe, Himalaya, Western and Inner Asia.

Myricaria Hedini O. Pauls. nov. sp. (Pl. I, Figs. 3—4). Suffrutex humilis (5—9 cm. alt.) lignosus ramosus. Folia ramulos dense tegentes ca. 2 mm. longa, glabra, plana,

obtusa, elliptica v. obovata, inferne vix angustata, sæpe particulis albis excretis obtecti. Flores pauci in ramis brevissimis conferti. Bracteæ pedunculi numerosæ foliis similes sed minores, brunneæ, calyce breviores, superiores saltem albo-marginatæ. Sepala 5 fere libera ovato-lanceolata obtusa vel acutiuscula, albo-marginata, ca. 5 mm. longa. Petala 5 libera ovata obtusissima alba sepalis duplo longiora. Stamina 10 ad ca. $\frac{1}{2}$ monadelphæ, episepala majora, epipetala minora. Ovarium trigono-ovatum, superne angustatum, stigma sessile, stylis nullis. Ovula numerosa omnia placentæ basilari affixa. Fructus ignotus.

Northern *Tibet*, Camp XXVI, 4946 m., 29th June 1901 (flowering).

At first I thought this to be *M. prostrata* Benth. et Hook. and the more so because a specimen of Hb. HOOKER f. et THOMSON, named *M. germanica* Desf. var. *prostrata*, from W. Tibet, 13—15000 feet, agreed with it. Still, another specimen here in the Copenhagen Museum, bearing the same name and from the same herbarium and locality, but from an altitude of but 10000—14000 feet, was very different. This latter is, in my opinion, the true *M. prostrata*, which by THISELTON DYER in Hook. f., Fl. Brit. Ind. I (250) (Pl. IV, Fig. 4) is regarded as a var. of *M. germanica*. It agrees with it in habitus, in having racemes, in the sepals equalling or exceeding the petals and in the stamens being united more than half way up. The present species, on the other hand, is a short-branched dwarf-shrub with flowers single or few together; the sepals are only half as long as the petals, and the stamens are united to the middle only.

To *M. Hedinii* belongs the first mentioned specimen of hb. Hooker f. et Thomson.

Myricaria pulcherrima Batalin, in Acta horti Petropol. XI (1891) 483.

East-Turkestan, Lower Tarim, ab. 830 m., early summer 1900 (fruiting).

Geogr. area: known from Kashgaria and Western Mongolia.

Myricaria spp.

Sterile specimens of *Myricaria* have been collected by Dr. HEDIN in 3 localities: East-Turkestan, Ak-satma, Jarkent-darya, District Maral-bashi, 1101 m., 10th October 1891; Lower Tarim, ab. 350 m., early summer of 1900.

Northern *Tibet*, Mandarlik, 3437 m., medio July 1900.

Tamarix Androssowii Litwinow, in Hb. fl. Rossicæ a Mus. bot. acad. Petrop. edit. (1905) Nr. 1317.

East-Turkestan: Karaumelik-köl, freshwater-lake at the right shore of Tarim above the estuary, ab. 880 m., 20th May 1900 (fruiting).

Geogr. area: Described from Bokhara (Farab.).

Tamarix hispida Willdenow, in Abhandl. Berliner Akad. (1813) 77; Ledeb., fl. ros. II (1844) 135.

East-Turkestan, Tatlik-bulak, S. E. of Lop-nor, 1953 m., 3rd July 1900 (sterile).
Geogr. area: Transcaspia, Songaria.

Tamarix Pallasii Desv., in Ann. sc. nat. IV (1824) 349; Ledeb., fl. ros. II (1844) 135; Danguy, in Bull. Mus. d'hist. nat. XVII (1911) 297.

var. *brachystachys* Bunge, in Tent. gen. Tamaricum sp. acc. defin. (1852) 51.

East-Turkestan, Lower Tarim, ab. 850 m., spring or early summer, 1900.

Geogr. area: Transcaspia, Persia, Songaria.

Tamarix sp.

A sterile specimen.

East-Turkestan, Lower Tarim, ab. 850 m., early summer, 1900. »Occurs at all arms of estuaries, and at all lakes, and from there some km. into the sand-desert« (Dr. HEDIN on the schedule).

Fam. **Euphorbiaceæ**

(determ. by OVE PAULSEN).

Euphorbia altotibetica O. Pauls. nov. sp. (Pl. IV, Fig. 3 and text fig. 3).

Perennis herbacea (7 cm. alta) glabra caulibus subterraneis folia squamiformia

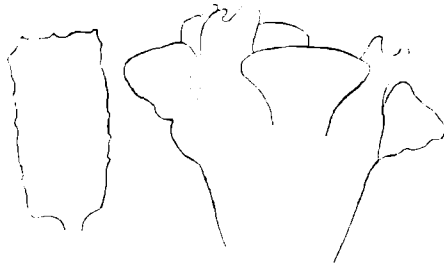


Fig. 3.

Upper leaf and involucre of *Euphorbia altotibetica*.

sparsa pauca gerentibus, caulibus supraterraneis floriferis dichotome, sterilibus racemose ramosis, omnibus foliis \pm tectis. Internodia brevia, rariter 5 mm. excedentia. Folia opposita, in ramis floriferis sessilia, ovata v. fere orbiculata acutiuscula, in ramis sterilibus brevissime petiolata, obovato-spathulata v. fere rectangularia, superne truncata, inferne abrupte in petiolum attenuata, — folia omnia margine undulato-dentata. Involucri campanulati lobi oblongi bilobi, glandulæ latæ exappendiculatæ.

Styli crassi recurvati indivisi, pedunculus fructifer crassus, semen ovatus glaber ecarunculatus.

Eastern Tibet, Camp LXXII, Satju-tsangpo, near its outlet into Selling-tso, 4613 m., 3rd Sept. 1901 (flowering).

A characteristic species calling to mind *E. Turczaninowii*, being as this covered by opposite glabrous leaves.

Fam. **Zygophyllaceæ**

(determ. by OVE PAULSEN).

Nitraria Schoberi L., Sp. pl. ed. 4, II (1799) 858; Ledeb., fl. ros. I (1842) 505; Hemsley, in Journ. Linn. Soc. 1902, 171; Hemsley and Pearson, in Peterm. Mitteil., Ergänzungbd. 28 (1900) 373; Fedtschenko, in Acta horti Petrop. XXI (1903) 69, XXVIII (1909) 21; Danguy, in Bull. Mus. d'hist. nat. XVII (1911) 268.

East-Turkestan, Tatlik-bulak, S. E. of Lop-nor, 1953 m., 3rd July 1900.

Northern Tibet, Toghde-gol, southern border of Tsaidam's basin, 2731 m., 17th Oct. 1896 (determ. Hemsley and Pearson); Mandarlik, 3437 m., medio July 1900; Kash-otak, 2916 m., first half of August, 1900 (w. ripe fruit).

Geogr. area: From S. Russia and Syria through W. Asia to Pamir and Mongolia. Australia.

Zygophyllum Rosowii Bunge, in Linnaea 17 (1843) 5; O. Fedtschenko, in Acta Horti Petrop. XXI (1903) 68, XXVIII (1907) 8, XXVIII (1909) 21.

Northern Tibet, Mandarlik, medio July, 1900 (flowering).

Geogr. area: Afghanistan, Pamir, Mongolia.

Zygophyllum xanthoxylum (Bunge) Engler, in Nat. Pflanzenfam., III, 4 (1897) 81; *Sarcozygium xanthoxylum* Bunge, in Linnaea 17 (1843) 8; Danguy, in Bull. Mus. d'hist. nat. XVII (1911) 268.

East-Turkestan, Tatlik-bulak, S. E. of Lop-nor, 1953 m., 3rd July 1900 (fruiting).

Geogr. area: Gobi, Mongolia.

Fam. Geraniaceæ

(determ. by W. B. HEMSLEY and H. H. W. PEARSON).

Geranium collinum Steph., in Willd. Sp. pl. III (1800) 705; Ledeb., fl. Ross. I (1842) 467; Hook. f., Fl. Brit. Ind. I (1875) 429; Hemsley and Pearson, in Peterm. Mitt. Ergänzungsbd. 28 (1900) 373; Hemsley, in Journ. Linn. Soc. 35 (1902) 171; Fedtschenko, in Acta Horti Petrop. XXI (1903) 299; XXVIII (1907) 103, (1909) 473; Danguy, in Bull. Mus. d'hist. nat. 14 (1908) 130; Stewart, in Bull. Torr. Bot. Club, 43 (1916) 637.

Northern Tibet, Sarik-kol, Kwen-lun, 3469 m., 5th Aug. 1896.

Geogr. area: From Eastern Europe eastward through Inner Asia to Himalaya and Eastern Siberia.

Fam. Leguminosæ

(determ. by E. ULBRICH and H. HARMS).

Thermopsis alpina (Pall.) Ledeb., Fl. Altaica II (1830) 112; Fl. Ross. I (1842) 510; Fedtschenko, in Acta Horti Petrop. XXI (1903) 301; XXVIII (1909) 473; *Th. corgonensis* D. C., Prodr. II (1825) 99.

Northern Tibet, Sarik-buja, Camp VII, Temirlik, 2961 m., 10th July 1900 (flow.).

Geogr. area: Pamir, Altai, E. Siberia.

Thermopsis lanceolata R. Br., in Ait. Hort. Kew, ed. 2, III (1811) 3; Ledeb., Fl. Ross. I (1842) 510; Hemsley, in Journ. Linn. Soc. XXXV (1902) 171; Hemsley and Pearson, in Peterm. Mitteil., Ergänzungsbd. 28 (1900) 373.

N. E. *Tibet*, Camp XXXI, at the shore of a lake, 4616 m., 21st Sept. 1896.
»Ein unvollkommenes blütenloses Exemplar« (Hemsley and Pearson, l. c.).

Geogr. area: Siberia, Kamtchatka.

Halimodenaron halodendron (L.) Voss; C. Schneider, Handb. Laubholz. II (1912) 93; *H. argenteum* (Lam.) Fisch. ex D. C., Prodr. II (1825) 269; Ledeb., Fl. Ross. I (1842) 572.

East-Turkestan, Lower Tarim, c. 830 m., 1900 (flow.); Ak-satma, forest district at Middle Tarim, 1105 m., 10th Oct. 1899 (ster.).

Geogr. area: Caucasus, Persia, Inner Asia to Altai and Turkestan.

Sphærophysa salsula (Pall.) D. C., Prodr. II (1825) 271; Ledeb., Fl. Ross. I (1842) 574.

East-Turkestan, Milka, forest district at Middle Tarim, 1108 m., 9th Oct. 1899 (sterile, and doubtful); Bash-karaunelik, Lower Tarim, 826 m., 6th June 1900 (flow.). Northern *Tibet*, Temirlik, Camp VII, 2961 m., ca. 10th July 1900 (flow. and fruit.).

Geogr. area: S. E. Europe, Inner Asia to Altai and Turkestan.

Caragana pygmæa (L.) D. C., Prodr. II (1825) 268.

W. *Tibet*, Camp CXXXIV, 4587 m., 23rd Nov. 1901 (without flower).

The present plant is *a*, *Pallasiana* Komarov (Gen. Carag. monogr., in Acta Horti Petrop. XXIX [1909] 241).

Geogr. area: Mongolia, Transbaicalia, Altai, E. Siberia (acc. to KOMAROV).

Caragana versicolor Benth., in Royle, Illustr. Bot. Himal. (1839) 198, tab. 34, fig. 2; Komarov, l. c. 255; *C. pygmæa* Hook. f., Fl. Brit. Ind. II (1876) 116; (?) Hemsley, in Journ. Linn. Soc. 35 (1902) 171; Keissler, in Ann. kk. naturh. Hofmus. Wien (1900) 23; Stewart, in Bull. Torr. Bot. Club 43 (1916) 636.

S. W. *Tibet*, Between Camp CXCIV, Gyangchu-kamar, 4661 m., and Camp CXCIV, Chärok, 4656 m., Upper Tsangpo valley, 6th July 1907 (flow.).

Geogr. area: W. Himalaya (Tikri-Garhwal, Spiti and Ladak) and Tibet (Gnari-Khorsum), acc. to KOMAROV.

Astragalus tribulifolius Benth., in Hook. f., Fl. Brit. India II (1876) 120; Hemsley and Pearson, in Peterm. Mitteil. Ergänzungsbd. 28 (1900) 373; Hemsley, in Journ. Linn. Soc. 35 (1902) 173.

N. E. *Tibet*, Camp XXXI, 4616 m., 21st Sept. 1896; Camp XVII, 5073 m., 1st Sept. 1896.

»Ein sehr unvollkommenes Exemplar« (Hemsley and Pearson, l. c.).

Geogr. area: Tibet.

Astragalus cf. *chlorostachys* Lindl., in Transact. Hort. Soc. VII (1830) 249; Hook. f., Fl. Brit. India II (1876) 128.

Dr. E. ULBRICH says: »Bei der Unvollständigkeit des Materials ist eine sichere Bestimmung der Art nicht möglich. In Wuchs, Farbe und Behaarung des Stengels und der Blätter, sowie in der Gestalt der Nebenblätter stimmt die vorliegende Pflanze mit manchen Formen von *Astragalus chlorostachys* überein.

»In den gleichen Verwandtschaftskreis gehört vielleicht eine gleichfalls nur steril und unvollständig vorliegende Pflanze aus derselben Gegend« (Lower Tarim, Aiagharghan, Sibaldir, 833 m., 3rd June 1900).

East-Turkestan, Lower Tarim, spring 1900 (without locality, sterile).

Geogr. area: In the temperate, subalpine and alpine regions of the N. W. Himalaya (Hügel no. 628 ex Bunge, Jaeschke, Hooker f. et Thomson, A. Meebold no. 1398), Kashmir (Royle, Thomson, Falconer, Jacquemont no. 772, 2337 ex Bunge), Massuri (Hügel no. 447), Tolu Kumaon (Strachey and Winterb. ex Bunge).

Astragalus strictus Graham, in Wall. Catal. no. 5924 (1829); Benth. in Royle, *Illustr. Bot. Himal.* (1839) 198; Hook. f., *Fl. Brit. India* II (1876) 124; Stewart, in *Bull. Torr. Bot. Club* 43 (1916) 636.

»Die vorliegende Pflanze, an der leider Früchte nicht vorhanden sind, gehört einer Art an, die in der alpinen Region des nordwestlichen Himalaya augenblicklich sehr verbreitet ist. Mit der von SVEN HEDIN gesammelten Pflanze gut übereinstimmende Exemplare liegen mir vor aus West-Tibet (Herb. Ind. or., Hook. fil. & Thomson no. 727; A. Tafel, *Exp. nach Hoch-Tibet* 1904—S. No. 45, 63; H. J. Watson, *Tibet Frontier Commission* 1904 no. 108 u. a.)« (Dr. ULBRICH'S note).

S. W. Tibet, Northern Himalaya, at the spring of Tsangpo, 5015 m., 13th July 1901 (flowering).

Geogr. area: Highalpine regions of Himalaya: Sattas, Nubra, Shelong-Kumaon (Duthie no. 5461), Ladak (ex Bunge); Silet (Wallich); Sikkim (Hook. f. & Thoms. no. 327; A. Tafel nos. 45 and 63) and Kashmir (Royle, Jacquemont no. 1820, ex Bunge).

Astragalus nivalis Kar. et Kir., *Bull. Soc. imp. Natur. Moscou* XV (1842) 341; Hemsley, in *Journ. Linn. Soc.* 35 (1902) 173; Stewart, in *Bull. Torr. Bot. Club* 43 (1916) 637; Fedtschenko, in *Acta Horti Petrop.* XXI (1903) 318; XXIV (1905) 328; XXVIII (1907) 108, (1909) 480.

Northern Tibet, Yapkaklik, Chimen-tagh, 3998 m., 22nd July 1900 (flowering).

Geogr. area: From Turkestan to N. W. Tibet (Alatau, Karelin and Kirilow, no. 1413, 1862), Tian-shan (A. Regel; Semenow ex Bunge), Karakorum and N. W. Himalaya (Hook. f. & Thomson, A. Meebold no. 1387; A. Tafel, nos. 22 and 22a).

Astragalus tibetanus Benth., ex Bunge, in *Mém. Acad. Imp. Sc. St. Pétersb.* VII sér., t. XI, no. 16 (1868); Hook. f., *Fl. Brit. Ind.* II (1876) 124; Fedtschenko, in *Acta Horti Petrop.* XXI (1903) 316; XXIV (1905) 326, XXVIII (1907) 108.

Eastern Pamir, Ulutör, valley in the S. E. Taghdumbash, 4589 m., 2nd Aug. 1895 (flow.); Kara-jilga, Basik-kul, 3727 m., 24th July 1894 (flow.).

Geogr. arca: Alpine regions of Hindukush to N. W. Himalaya: Hindukush (Griffith no. 1094, ex Bunge), Kashmir (Duthie no. 13427), W. Tibet (Hook. f. & Thomson, A. Meebold no. 1390, A. Tafel no. 21), Pamir.

Astragalus Webbianus Graham, in Wall. Catal. (1829) no. 5936; Bunge, in Mém. Acad. Imp. Sc. St. Pétersb., VII ser., t. XI (1869) 51, no. 220; Hook. f., Fl. Brit. Ind. II (1876) 132; Hemsley, in Journ. Linn. Soc. 35 (1902) 173.

S. W. *Tibet*, northern slope of Himalaya, the spring of Tsangpo, 5015 m., 13th July 1907 (flow. and with year-old fruits).

»Ein interessanter und sehr charakteristischer Typus der artenreichen Gruppe *Myobroma* Stev. der Section *Phaca* Bge., von dem ich bisher nur ein Fruchtexemplar aus der hochalpinen Region von West-Tibet (Herb. Ind. or., Hook. fil. & Thomson) sah« (Dr. ULBRICH'S note).

Geogr. arca: From W. Tibet (Thomson, Strachey & Winterb.) through Kashmir (Royle) to Neapel (Wallich).

Astragalus toktjenensis Ulbrich, nov. spec. (Pl. V, Fig. 1) — Suffrutex trunco hypogæo crasso cortice brunneo læve oblecto, ramis subterraneis parce ramosis, insuper ramulis brevissimis contractis. Stipulæ ovato-lanceolatæ ad 7 mm. longæ membranaceæ flavescens pilis albis simplicibus oblectæ. Folia 2—3 cm. longa, 6—7-juga, albo-pilosa, foliolis lanceolatis vel ovato-lanceolatis subacutis 4—6 mm. longis, 2—3 mm. latis. Inflorescentiæ axillares subcapituliformes pedunculo brevissimo insertæ foliis plerumque superatæ; bracteæ ovales acutæ ad 5—6 mm. longæ albo-pilosæ; flores satis magni purpurei ad 20 mm. longi pedicello \pm 2 mm. longo instructi; calyx campanulatus \pm 7 mm. longus, flavus, albo-pilosus lobis lanceolato-triangularibus densius pilosis flavo-viridibus; vexillum \pm 17 mm. longum, erectum anguste-obovatum, apice emarginatum, vix unguiculatum; alæ 15—16 mm. longæ, \pm 3 mm. latæ, linearilanceolatæ, ungue fere 4 mm. longo; carina 18—20 mm. longa, 4—5 mm. lata, ungue \pm 5 mm. longo; petala omnia glaberrima; tubus stamineus angustus, glaber; stamen vexillare brevius (\pm 15 mm. longum). Ovarium glaberrimum, lineare, \pm 5 mm. longum; legumen ignotum.

S. W. *Tibet*: Tokchen, Camp CCXI, 4654 m., 24th July 1907 (flowering).

»Die Art gehört zur Sect. IV. *Phaca* Bge., stimmt jedoch in ihren Merkmalen mit keiner der zahl- und artenreichen Gruppen dieser Sektion vollständig überein. In manchen Merkmalen kommt sie *Astrag. malacophyllus* Benth. nahe (Wuchs, Blattgestalt, Nebenblätter, Blumenkrone), ist jedoch durch die Ausbildung des Kelches so verschieden, dass an eine Zugehörigkeit zu dieser Gruppe (§ 14. *Myobroma* Stev.) nicht zu denken ist. In der Ausbildung der Blüten und auch in anderen Merkmalen (Wuchs, Blattform) ist *A. tibetanus* Benth. ähnlich, der jedoch zur Sect. V. *Hypoglottis* Bge. gehört. Gegen die Zugehörigkeit zu dieser Sektion sprechen jedoch die bei *A. toktjenensis* Ulbrich deutlich gestielten Blüten. Es scheint mir daher nicht

ausgeschlossen, dass die neue Art ein Vertreter einer besonderen Gruppe innerhalb der Sektion *Phaca* ist, die durch die verhältnismässig kurzen, ziemlich tief gespaltenen und stark weissbehaarten Kelche ausgezeichnet wäre. Solange jedoch Früchte noch nicht bekannt sind, lässt sich die engere Verwandtschaft der neuen Art nicht mit Sicherheit angeben«. (Dr. E. ULBRICH'S note).

Astragalus Hedini Ulbrich, in Engl. Bot. Jahrb. 35 (1905) 680. (Pl. V, Fig. 3).

Suffrutex ramosus caulibus erectis striatis, foliis ad 25 cm. longis, 10—11-jugis; foliola glaberrima vel rarius sparsissime hirtula, 1—1,5 mm. longe petiolulata, rotundato-ovata, apice obtusa vel leviter emarginata; lamina ad 22 mm. longa, 16 mm. lata. Stipulae persistentes ad \pm 10 mm. longae, triangulari-ovatae, glaberrimae, acutae, inter se liberae. Pedunculi folia multo superantes ex axillis superioribus ad 40 cm longi, glaberrimi vel apice rarissime pilis solitariis nigris albisque intermixtis vestiti. Flores in racemum laxiorem dispositi, ad 5 mm. pedicellati, patuli, ad 28 mm. longi; bractae lineari-lanceolatae, 5—6 mm. longae membranaceae, caducae; calyx glaber vel pilis nigris albisque perparce puberulus, ad 13 mm. longus, dentibus nigris superioribus e basi triangulari-linearibus \pm 2 mm. longis, inferioribus linearibus ad 4 mm. longis. Corolla roseo-violacea vel albescens; vexillum recurvum \pm 26 mm. longum \perp 13 mm. latum, apice incisum vel crenatum, media in parte striatum; alae vexillo paulo longiores ad \pm 5 mm. latae, lanceolatae, unguiculo 10 mm. longo; carina subtus angulo recto curvata \pm 25 mm. longa, latissima in parte 7 mm. lata, apice angustata, basi cum ungue \pm 12 mm. longa, \pm 2 mm. lata. Fructuum racemus valde elongatus; legumen pendulum, paulo falcatum, inflatum, ad 5 cm. longum, 1 cm. latum, glaberrimum, apice attenuatum vel acuminatum, basi in stipitem ad 15 mm. longum tenuem attenuatum.

Northern *Tibet*, Mandarlik, 3437 m., medio July 1900 (flow. and with young fruits).

»Die Art gehört zur Sektion *Pogonophace*, § 3, *Colutocarpus* Boiss. und ist mit *Astragalus colutocarpus* Boiss. aus Afghanistan nahe verwandt, unterscheidet sich jedoch durch viel kräftigeren Wuchs, grössere, 10- bis 11-jochige Blätter, fast vollständige Kahlheit in allen ihren Teilen, grössere Blüten und Früchte.

»In meiner ersten Beschreibung der Art in Engler's Botan. Jahrb. 35, H. 5, p. 679, konnte ich keine genauere Fundortsangabe machen, da bei dem mir damals vorliegenden Materiale nur provisorische Zettel lagen, aus denen sich hierüber nichts feststellen liess. Diese Zettel trugen die Jahreszahl 1903. Auf den endgültigen Zetteln sind die obigen Standortsangaben verzeichnet.« (Dr. ULBRICH'S note).

Astragalus sp.

Eastern *Pamir*, Upper Basik-kul, Kara-jilga, 3727 m., 24th July 1894 (flowering).

Astragalus sp.

Northern *Tibet*, Yapkaklik, Chimen-tagh, 3998 m., 22nd July 1900 (flowering).

Dr. E. ULBRICH writes: *A. verosimiliter novus, sed nimis incompletus.*

Oxytropis cachemirica Camb., in Jacquem. Voy. Bot. (1844) 38, tab. 44; Hook. f., Fl. Brit. India II (1876) 139; Hemsley and Pearson, in Peterm. Mitteil. Ergänzungsbd. 28 (1900) 373; Hemsley, in Journ. Linn. Soc. 35 (1902) 173; Stewart, in Bull. Torr. Bot. Club, 43 (1916) 637; Fedtschenko, in Acta Horti Petrop. XXI (1903) 307; XXIV (1905) 323; XXVIII (1909) 476.

Northern *Tibet*, Sarik-kol, Kwen-lun, 3469 m., 5th Aug. 1896.

Geogr. area: Pamir, Tibet, Kashmir.

Oxytropis tatarica Camb., ex Bunge, in Mém. Acad. Imp. Sc. St. Pétersb., VII sér., vol. XXII (1874) 16; Hemsley, in Journ. Linn. Soc. 35 (1902) 174; Stewart, in Bull. Torr. Bot. Club, 43 (1916) 637.

Northern *Tibet*: Kar-yakak-sai, Camp X, 3984 m., 20th July 1900 (flow. and with young fruits); Yapkaklik, Chimen-tagh, 3998 m., 22nd July 1900 (flow. and with young fruits).

Geogr. area: High-alpine regions of Asia from Kashmir (Neve) to Kwen-lun (Schlagintweit, no. 12,793) and N. W. Tibet (Hook. f. & Thomson; Schlagintweit no. 7160).

Oxytropis glabra (Lam.) D. C., Astralog. (1802) 76, tab. 8; Fedtschenko, in Acta Horti Petrop. XXI (1903) 306 (var. *humilis* Regel et var. *pamirica* B. Fedtsch.); XXVIII (1907) 105, (1909) 475.

Northern *Tibet*, Mandarlik, 3437 m., medio July 1900 (flow); Kash-otak, 2316 m., Aug. 1900 (flow.).

»Von den typischen Formen der *Oxytropis glabra* D. C. weichen die von SVEN HEDIN gesammelten Pflanzen etwas ab durch niedrigeren Wuchs und wenig kleinere Blüten. Es handelt sich jedoch um jugendliche Exemplare, die in allen anderen Merkmalen mit den typischen Formen der Art gut übereinstimmen.« (Dr. ULBRICH'S note).

Geogr. area: On the steppes from S. Ural (Lessing) and Mugodsha (Al. Lehmann) to Turkestan (Regel), Altai (Gebler, C. A. Meyer), Songaria (Schrenk, Ledebour), Dahuria (Herb. Bernhardi), eastwards to Transbaicalia (Herb. Schweinfurth; Karelin & Kirilow, Turczaninow) and southwards to N. W. Himalaya (A. Meebold no. 1543) and W. Tibet (Schlagintweit no. 5629; Hook. f. & Thomson).

Oxytropis pagobia Bunge, in Mém. Acad. Sc. St. Pétersb., VII sér., vol. XXII (1874) I, no. 28; Fedtschenko, in Acta Horti Petrop. XXI (1903) 304; XXVIII (1909) 474.

Eastern *Pamir*, on the moraines of the Korumde glacier, Mus-tagh-ata, 4367 m., 27th July 1894 (flow.); Kara-jilga, valley and spring at Basik-kul, 3727 m., 24th July 1894 (flow.).

Geogr. area: From Alai Mountains (Fedtschenko, ex Bunge) through Pamir to E. Turkestan (A. Regel).

Oxytropis montana L., Sp. pl. ed. I (1753) no. 1070.

Eastern *Pamir*, side-moraine of the Korumde glacier, Mus-tagh-ata, 4367 m., 27th July 1894 (flow.).

Geogr. area: European Alps, the Carpathians; alpine regions of Central and Eastern Asia.

Oxytropis aff. montanae L.

Northern *Tibet*, Ara-tagh, Pass, 4373 m., 24th July 1900 (flow. and with buds).

»Ein sichere Bestimmung der Art ist bei der Spärlichkeit des Materials leider nicht möglich. Vielleicht handelt es sich um eine neue Art aus der Verwandtschaft von *O. montana* L., welcher die vorliegenden Pflanzen in der Ausbildung der Blüten und Blätter nahekommen.«

Oxytropis merkensis Bunge, in Bull. Soc. Nat. Moscou XXXIV (1866) II; (?) Fedtschenko, in Acta Horti Petrop. XXVIII (1907) 105; (?) *O. humifusa* Kar. et Kir., in Bull. Soc. Imp. Natur. Moscou (1842) 535; Fedtschenko, in Acta Horti Petrop. XXI (1903) 305, XXIV (1905) 323.

Eastern *Pamir*, Kara-jilga, valley and spring at Basik-kul, 3727 m., 24th July 1894 (flow.).

»Das von SVEN HEDIN gesammelte Exemplar stimmt in allen Merkmalen mit Pflanzen, die von A. REGEL (Iter Turkestanicum) am Ketmen-Pass und bei Sairam gesammelt und als *Oxytropis merkensis* Bge. bestimmt wurden.«

Geogr. area: Western Tian-shan (A. Regel, Semenow, Osten-Sacken, acc. to Bunge), Pamir.

Oxytropis brachybotrys Bunge, in Mém. Acad. Sc. St. Pétersb., VII sér., vol. XXII (1874) 53.

S. W. *Tibet*, Between Camp CLXXXIX, Dongbo, 4598 m., and Camp CXC, Tuksum, 4596 m., Upper Tsangpo valley, 1st July 1907 (flow.).

Geogr. area: From the Kirghis steppes and Alatau steppes through E. Turkestan to S. W. Tibet and Eastern Nan-shan (Futterer and Holderer nos. 84, 85 and 102) and Yun-ling-shan (J. A. Soulie no. 2413) in E. Tibet.

Oxytropis melanocalyx Bunge, in Mém. Acad. Sc. St. Pétersb., VII sér., vol. XXII (1874) 8.

Inner *Tibet*, Camp XLIV, 5127 m., 9th Aug. 1901 (flow.); S. W. Tibet, above Tsangpo's source at the northern foot of Himalaya, 5015 m., 13th July 1907 (flow.).

»Das vorliegende Material ist leider sehr spärlich; die zur sicheren Bestimmung notwendigen Hülsen fehlen. Mit der von BUNGE l. c. gegebenen Beschreibung stimmen die Pflanzen überein.«

Geogr. area: »Wegen der Unsicherheit der Bestimmungen ist die geographische Verbreitung der Art zur Zeit noch nicht feststellbar. Die von BUNGE beschriebenen Originalpflanzen, die mir jedoch nicht zugänglich waren, stammen aus der Provinz Kansu in Nord-west China«. (Dr. ULBRICH's notes).

Oxytropis thionantha Ulbrich, nov. sp. (Pl. V, Fig. 2).

Herba perennis, caulescens, caulibus ascendentibus pilosis. Stipulae late-ovatae ad ovato-lanceolatae flavidae membranaceae pilosae ad 15 mm. longae. Folia 6—8 cm. longa 9—11-juga; foliola ovato-lanceolata usque lanceolata 5—7 mm. longa \pm 3 mm. lata, acuta, utrinque sericeo-pilosa. Inflorescentia capituliformis axillaris pedunculo ad 10 cm. et ultra longo piloso infra flores subnigrescente; flores sessiles vel subsessiles congregati capitulum semiglobosum formantes, sulfurei; bractea late lanceolatae, cymbiformes, 6—7 mm. longae, flavidae, pilis et nigris et albis vestitae; calyx campanulatus 8—9 mm. longus, pilis et albis et nigris vestitus, lobis lineari-lanceolatis \pm 3 mm. longis; vexillum 12—13 mm. longum, ungue 4—5 mm. longo; alae carina aequilongae ungue \pm 5 mm. longo tenui, lamina oblique-oblonga 3.5—4 mm. lata; carina 11—12 mm. longa oblique-ovalis apice subito in apiculum \pm 1 mm. longum hamosum angustata, ungue satis lato 6—7 mm. longo; tubus stamineus \pm 9 mm. longus, glaber, anguste-cylindricus, rectus. Ovarium anguste lineare, \pm 7-ovulatum, a tergo ventereque pilis adpressis albis sericeis vestitum. Legumen adhuc ignotum.

Northern Tibet, Mandarlik, 3437 m., medio July 1900 (flow.).

»Die neue Art ist nahe verwandt mit *Oxytropis sulfurea* Ledeb., die aus dem Altai beschrieben würde und mir ausser den Originalen in einem blühenden Exemplare vorliegt, das von A. TAFEL in Hoch-Tibet im Tal des Sevkohtschü am 22. VIII. 1906 (no. 184) gesammelt wurde. Diese Art unterscheidet sich von *O. thionantha* Ulbrich durch längere und grössere Blätter, schmalere Nebenblätter und weniger stark, aber dunkler behaarte Kelche; auch die Brakteen der Blüten sind viel schmalere. Die neue Art gehört zu Sect. II *Euoxytropis* Boiss., § 3. *Orobia* Bge. und ist leicht kenntlich an den ziemlich grossen, blassgelben bis schwefelgelben Blüten, den grossen Brakteen und sehr breiten Nebenblättern.«

Oxytropis Hedinii Ulbrich, in Engler's Botan. Jahrb. 35 (1905) 680 (Pl. IV, Fig. 1).

Herba perennis trunco crasso multiceps radice palari ultra 10 cm. longo crasso. Folia in ramis brevibus rosulata 6—8 cm. longa, \pm 12-juga, petiolo piloso glanduloso; foliola alterna vel insuper opposita, lineari-lanceolata, 6—10 mm. longa, ad 2 mm. lata, parce pilosa, fimbriata vel subglabra, densius glandulosa. Stipulae submembranaceae, flavidae, glandulosae, semiovatæ vel lanceolatae, longe acuminatae fimbriatae, ad 8 mm. longae, glandulosae. Inflorescentiae axillares folia longitudine superantes, pedunculo ad 10 cm. longo, glanduloso, basi glabro vel pilis nigris et albis parcissime hispidulo. Flores permagni violacei in racemum subcapituliformem 3—7-florum congesti, breviter pedicellati. Bractea \pm 12 mm. longae, submembranaceae, ovali-lanceolatae, glandulosae, virido-venosae, pilis albis et nigris vestitae, persistentes. Calix tubulosus ad 16 mm. longus, glandulosus, pilis nigris et albis vestitus, dentibus anguste triangulari-lanceolatis pilis nigris dense villosis. Vexillum 24—25 mm. longum apice emarginatum, \pm 12 mm.

latum, paulo retroflexum, subito in unguem 10—12 mm. longum, \pm 3 mm. latum angustatum; alæ 18—20 mm. longæ, \pm 5 mm. latæ in unguem tenuissimum \pm 10 mm., longum abruptæ; carina 17—18 mm. longa, \pm 3 mm. lata, mucrone 2 mm. longo recto vel subfalcato. Ovarium breviter stipitatum, albo-sericeum, glandulosum. Legumen inflatum falcatum ad 4 cm. longum, 7—8 mm. crassum, parce pilosum, dense glandulosum, acuminatum. Semina lentiformia, \pm 2 mm. diam., olivaceo-fusca, parcissime pilis albis minimis vestita. •

Eastern *Pamir*, Tergen-bulak, glacier snout, Mus-tagh-ata, 4374 m., 14th Aug. 1894 (fruits). Typus!

Northern *Tibet*, Camp XIII, Kalta-alaghan, 4652 m., 24th July 1900. (flow.).

»Die Art gehört zu Sect. II. *Euoxytropis*, § 5, *Gloeocephala* Bge., in die nächste Verwandtschaft der auch in Europa (Alpen der Schweiz, Piemonts und der Dauphiné) vorkommenden *O. foetida* (Vill.) D. C. und der arktischen Arten *O. Schmidtii* Meinsh., *O. Middendorffii* Trautv., *O. Trautvetteri* Meinsh. und *O. leucantha* Pall., die sämtlich durch reichliche Bekleidung mit Drüsen ausgezeichnet sind.

»Die Art wurde in Nordost-Tibet am Nordabhang des Siau-yi von FILCHNER (blühend 6. Juli 1904, no. 93) gesammelt.

»Pflanzengeographisch bemerkenswert ist das Auffinden dieser Art deswegen, weil bisher von der Gruppe *Gloeocephala* Bge. nur 1 Art aus Europa, 4 Arten aus dem arktischen Sibirien und Nordamerika bekannt waren (Vergl. ENGLER'S Bot. Jahrb. 35. Band, 5 Heft. p. 680, 681)«.

Oxytropis microphylla D. C., in Hook. f., Fl. Brit. Ind. II (1876) 139.

Eastern *Pamir*, Shore of Little Kara-kul, 3720 m., 15th July 1894 (flow.).

var. *nana* Ulbrich, nov. var.

Differt statu congregato pulvinare, foliis multo brevioribus, scapo folia paulo usque fere duplo superante, floribus sæpius paulo minoribus.

S. W. *Tibet*, Between Camp CXCIV, Gyangchu-kamar, 4661 m., and Camp CXCV, Tjärde, 4657 m., 6th July 1907 (flow.); Height above the source of Tsangpo, Northern foot of Himalaya, 5015 m., 13th July 1907 (flow.).

Other localities are: Prov. Spiti, Ruktsin, Höhe des Taklang Pass (blühend 26. Juni 1856, Herb. Schlagintweit from India and High Asia, 2 Gen. No. 2512); Kashmir, Nubra Valley (blühend, leg. D. A. Neve ex Herb. Kew acc. 27. April 1899).

»Die hochalpinen Formen von *O. microphylla* D. C. var. *nana* Ulbrich sind durch dichten, polsterförmigen Wuchs, viel kleinere Blätter, dichtere seidige Behaarung der Stipeln, kürzeren Blütenschaft und bisweilen kleinere Blüten von den gewöhnlichen Formen verschieden, so dass ihre Zusammenfassung zu einer Varietät berechtigt erscheint.«

Geogr. area: »Von den Steppen Baikaliens (Pallas), der Kossaya-Steppe (TURCZANOFF) durch die Gebirgssteppen der nördlichen Mongolei bis Ost-Pamir (SVEN HEDIN) und

West-Tibet (SCHLAGINTWEIT no. 1041, 1658, 2512, 6298, 6687, 12852; A. MEEROLD no. 1542; HOOK. f. et THOMSON) und Kashmir (D. A. NEVE) bis in die höchsten alpinen Regionen aufsteigend zwischen 2500 und über 5000 m. Meereshöhe auf Sand, Kies und Geröllboden.« (Dr. E. ULBRICH).

Glycyrrhiza Hedintana Harms, nov. sp.

Suffruticosa, ramulis subglaucis vel pallide viridibus \pm glutinosis; foliorum rhachis cum petiolo 2—4 cm. longo, 4—11 cm. longa, glabra \pm glutinosa, foliola 1—2-juga cum impari, breviter petiolulata, oblonga vel oblongo-ovata, vel ovata vel obovato-oblonga, basi obtusiuscula vel obtusa, apice obtusa vel acuta vel breviter acuminulata, \pm glutinosa, 3—5 cm. longa, 1,2—3 cm. lata; raceni cum pedunculo ad 5—6 cm. longi, laxiflori, viscidi, pedicellis brevissimis (1 mm.), calyx angustus pilosulus vel puberulus, glutinosus, 3,5—4 mm. longus, dentibus lanceolatis tubo fere æquilongis (vel longioribus?); corolla apice violacea (in alabastro).

East-Turkestan, Lower Tarim, Tuna-toghdi, Sarik, 825 m., 8th June 1900 (flow.).

»Scheint der mir nur aus der Beschreibung bekannten *Gl. paucifoliolata* Hance (Journ. of Bot. XX [1882] 259; Kokonor) nahe zu stehen, die aber mehr elliptische Blättchen und stärkere körnig-drüsige Behaarung hat.« (Dr. H. HARM'S note).

Glycyrrhiza sp.

East-Turkestan, Tarim, Ak-satma, Buja, 1105 m. (Fragmentum juvenile, 10. Octob. 1899).

»Die vorliegenden Bruchstücke zeigen Jugendblätter, die mit kleinen, glänzenden Drüsen besetzt sind. Gestalt und Beschaffenheit der Blätter machen wahrscheinlich, dass es sich um eine *Glycyrrhiza* handelt; die Art ist jedoch nicht feststellbar.«

Hedysarum multijugum Maxim., in Bull. Acad. Pétersb. XXVII (1881) 464; C. Schneider, Handb. Laubholzk. II (1912) 107.

Northern Tibet, Mandarlik, 3437 m., medio July 1900 (flow.).

Geogr. area: Mongolia, Kansu, Tibet, E. Turkestan.

Alhagi kirghisorum Schrenk, Enum. Plantar. Novar. (1841) p. 84.

East-Turkestan: Dungalik, south of Lop-nor, 882 m., 1st July 1900 (without flow. and fruits).

Dr. E. ULBRICH writes: »Die von SVEN HEDIN gesammelte Pflanze stimmt mit den von SCHRENK in der Songarei am Flussufer des Bilentz (SCHRENK no. 284), bei Alakulj (no. 483) und bei Chaitynssu (no. 598) gesammelten und bestimmten Pflanzen, sowie den von KARELIN und KIRILOFF (no. 1425) »in salsis inter montes Arganaty et Dschii-ahatsch«, 1841, gesammelten Pflanzen gut überein. Alle diese Pflanzen sind von den gewöhnlichen Formen von *Alhagi camelorum* Fisch., womit *A. kirghisorum* Schrenk nach *Ind. Kewens.* identifiziert wird, durch viel breitere, verkehrt-breit-eiförmige Blätter verschieden. Die gleichen abweichenden Merkmale zeigen von A. SCHRENK im Jahre 1840 »in deserto kirghisico vel in montibus

Tarbagatai aut Ala-tau« gesammelte Pflanzen im Herb. Al. de BUNGE und ein von KRASSNOW (Flora Iliensis 1886) bei Chargos gesammeltes Stück.

»Ich halte daher *A. kirghisorum* Schrenk nicht für identisch mit *A. camelorum* Fischer, sondern für eine eigene Art, deren Verbreitung sich westlich wahrscheinlich nicht über Turkestan hinaus erstreckt.«

Geogr. ara.: Southern Kirghise steppe from Tarbagatai to the middle Thian-shan (A. Regel, Karelin and Kiriloff no. 1425, Krassnow), eastwards to Songaria (Schrenk, nos. 284, 483 and 598).

Fam. Rosaceæ

(determ. by C. H. OSTENFELD).

Potentilla. About 10 years ago one of the best authorities on the genus the late Dr. TH. WOLF of Dresden was so kind to revise my naming of the material of this genus. In the following I have added his remarks to the identifications. His valuable monograph of the genus is quoted throughout.

A few of the plants which have come into my hands later, have not been seen by Dr. Wolf.

Potentilla fruticosa L., Sp. pl. ed. 1 (1753) 495; Th. Wolf, Monogr. Gatt. *Potentilla*, in Bibl. Bot. XVI (1908) 55; Hemsley and Pearson, in Peterm. Mitteil., Ergänzungsbd. 28 (1900) 373; Hemsley, in Journ. Linn. Soc. 35 (1902) 175; Stewart, in Bull. Torrey Bot. Club (1916) 635 (var. *ochreata*, *Inglisii* and *pumila*); Fedtschenko, in Acta Horti Petrop. XXVIII (1907) 110, (1909) 483 (var. *pumila*); *P. floribunda* Pursh; Fedtschenko, l. c. XXI (1903) 329; XXIV (1905) 329.

Of this variable species the following forms have been collected by Dr. S. HEDIN:¹

1. var. *vulgaris* Willd. f. *arbuscula* (Don) Th. Wolf.

Northern *Tibet*, Mandarlik, 3437 m., medio July 1900 (locality not quite sure); sterile.

2. var. *parvifolia* (Fisch.) Th. Wolf, l. c. 58; *P. fruticosa*, var. *ochreata* Hook. f., Fl. Brit. Ind., vix Lehm.; Keissler, in Ann. Naturh. Hofmuseum (1907) 25.

Northern *Tibet*, Mandarlik, 3437 m., medio July 1900 (flow.).

Note by Dr. TH. WOLF: »Die var. *ochreata* bei LEHMANN ist keine besondere Varietät, sondern eine nichtssagende Form verschiedener Varietäten; bei HOOKER fil. ist sie = *P. parvifolia* Fisch. in Lehm., sowohl nach der Beschreibung als auch nach einem Originalexemplar Hookers. In der Beschreibung fehlt nur: foliis plurimis trijugis, jugis duobus inferioribus verticillatim approximatis; solche 'folia trijuga' sind aber tatsächlich an seinem Original vorhanden! (wie auch bei vorliegenden Pflanzen).«

¹ Besides the records given here HEMSLEY and PEARSON (l. c.) record *P. fruticosa* from N. E. Tibet, Camp XXXI, 4616 m., 21st Sept. 1896.

3. var. *pumila* Hook. f., Fl. Brit. Ind. II (1879) 348; Th. Wolf, l. c. 59.

Northern *Tibet*, Camp XXVI, 4946 m., 29th June 1901 (with a few withered flowers); Inner Tibet, Camp LXIX, 4889 m., 29th Aug. 1901 (flowering over); S. W. Tibet. Height above the source of Tsangpo, northern foot of Himalaya, 5015 m., 13th July 1907 (in full flower).

Geogr. area (of *P. fruticosa*): Europe in a few scattered places, Northern and Central Asia from Caucasus and Armenia to China and Japan, Eastern N. America, Western N. America, Rocky Mountains.

Potentilla bifurca L., Sp. pl. ed. 1 (1753) 497; Hemsley and Pearson, in Peterm. Mitteil. Ergänzungsbd. 28 (1900) 374; Th. Wolf, Monogr. Gatt. Potent. (1908) 62; Hemsley, in Journ. Linn. Soc. 35 (1902) 175; Stewart, in Bull. Torrey Bot. Club (1916) 635; Fedtschenko, in Acta Horti Petrop. XXI (1903) 326; XXIV (1905) 329; XXVIII (1907) 109, (1909) 482 (cum var. *Moorcroftii*); (?) *P. Moorcroftii* Wall. Catal. (1829) no. 1014; Keissler, in Ann. Naturh. Hofmuseum (1907) 25.

N. E. *Tibet*. Sarik-kol, Kwen-lun, 3469 m., 5th Aug. 1896.

Geogr. area: Caucasus, Taurus, eastwards to Inner Asia, Tibet, Himalaya and Mongolia.

Potentilla multifida L., Sp. pl. ed. 1 (1753) 496; Th. Wolf, Monogr. Potent. (1908) 154; Hemsley, in Journ. Linn. Soc. 35 (1902) 175; Keissler, in Ann. Naturh. Hofmuseum (1907) 25 (var. *minor* Ledeb.); Stewart, in Bull. Torrey Bot. Club (1916) 635; Fedtschenko, in Acta Horti Petrop. XXI (1903) 326; XXIV (1905) 329; XXVIII (1907) 109, (1909) 482.

East *Turkestan*, Chigelik-ui, Tarim, west of Lop-nor, 819 m., 15th June 1905 (flowering begun).

Northern *Tibet*, Mandarlik, 3437 m., medio July 1900 (flowering begun); Camp XI, Yapkaklik, Chimen-tagh, 3998, 22th July 1900 (flow. begun).

The material belongs according to Dr. TH. WOLF to var. *ornithopoda* (Tausch) Th. Wolf, l. c. 156. »Die häufigste, aber auch formenreichste Varietät der *P. multifida*, in ganz Sibirien, Central-Asien und Ost-Asien«.

Geogr. area: Arctic Russia and Fennoscandia (very rare), Spitzbergen, northern and temperate Asia to China and Korea, High-Asia, Transcaspia.

(?) *Potentilla multifida* L. × *soongorica* Bunge; Th. Wolf, Monogr. Gatt. Pot. (1908) 160.

Eastern *Tibet*, near Camp XLIV, 5127 m., 18th Aug. 1901 (fruiting).

I had identified the present plant with *P. soongorica* Bge. (with some doubt), but Dr. TH. WOLF considers it a hybrid between *P. soongorica* and *P. multifida*. He writes: »Höchst wahrscheinlich *P. multifida* × *soongorica*, oder, da die Pflanze der *P. multifida* nähersteht, vielleicht noch besser: *P. super-multifida* × *soongorica*. Reine *P. soongorica* Bge. jedenfalls nicht. — Eine sehr ähnliche *P. multifida* × *soongorica* wurde schon a. 1879 von Regel, im Gebirge nördlich von Kuldscha gesammelt, eine andere a. 1905 von Saposchnikov in der nördlichen Mongolei.«

Geogr. area of *P. soongorica*: From Eastern Russia through Inner Asia until Transbaikalia, Tibet, Alpine Himalaya and Afghanistan.

Potentilla sericea L., Sp. pl. ed. 1 (1753) 495; Hemsley and Pearson, in Peterm. Mitteil. Ergänzungsbd. 28 (1900) 374; Th. Wolf, Monogr. Gatt. Potent. (1908) 161; Hemsley, in Journ. Linn. Soc. 35 (1902) 175 (var. *polyschista* Lehm.); Keissler, in Ann. Naturh. Hofmuseum (1907) 25 (var. *polyschista* Lehm.); Stewart, in Bull. Torrey Bot. Club (1916) 635; Fedtschenko, in Acta Horti Petrop. XXI (1903) 324; XXIV (1905) 329; XXVIII (1907) 109, (1909) 481; *P. polyschista* Boiss.; Fedtschenko, l. c. XXI (1903) 325.

N. E. *Tibet*, Camp I, the valley of Kara-muran, Kwen-lun, 4075 m., 7 th Aug. 1896. According to HEMSLEY and PEARSON (l. c.) the identification is not sure owing to insufficient material.

Geogr. area: From Ural eastwards to Transbaikalia; Afghanistan, Pamir, Tibet, Himalaya.

Potentilla hololeuca Boiss., in Kotschy, Pl. Pers. bor. no. 345 (1843); Fl. Or. II (1872) 710; Lehmann, Rev. Potent. (1856) 69, tab. 27; Th. Wolf, Monogr. Gatt. Potent. (1908) 176.

var. *tibetica* Ostf. nov. var. (Pl. VI, Figs. 1—2). Differt a typo: statura multo minor (caules 4—6 cm. longi), folia radicalia 2-juga, tomentum in pagina inferiore et e pilis longis crispatis et e pilis sericeis micantibus compositum.

Northern *Tibet*, Ara-tagh, 4373 m., 24th July 1900 (flowering, Fig. 2); S. W. Tibet, Height above the source of Tsangpo, northern foot of Himalaya, 5051 m., 13 th July 1907 (flowering, Fig. 1).

Dr. Th. WOLF has only seen the specimens from Ara-tagh. He agrees with me that they look very like *P. hololeuca*, especially the var. *minor* Th. Wolf, l. c. 177, but owing to differences in the clothing of the leaves he suggests that they are a hybrid between *P. hololeuca* and *P. Saundersiana* Royle. His notes are as follows:

»Im Blattschnitt und Habitus sind diese Pflänzchen der *Pot. hololeuca* Boiss. var. *minor* Th. Wolf (Monogr. Gatt. Pot. 177), welche in Centralasien nicht selten ist, sehr ähnlich, aber in der Behaarung verschieden (*P. hololeuca* besitzt ein dickes tomentum *floccosum*, welches nicht von Seidenhaaren bedeckt ist!). — Ich halte vorliegende Pflänzchen für den Bastard *Potentilla hololeuca* Boiss. v. *minor* × *P. Saundersiana* Royle.

»*P. hololeuca* × *nivea* wäre nicht ausgeschlossen, aber *P. hololeuca* × *Saundersiana* scheint mir wahrscheinlicher (*nivea* und *Saundersiana* stehen sich übrigens sehr nahe!). Ähnliche Zwischenformen sah ich aus Zaidam (Asia centr.), gesammelt von Roborowsky, und aus Tibet, gesammelt von Ladygin in 4100 m. Höhe.«

I do not think that there is sufficient evidence to believe in a hybrid origin of these specimens, and I felt my doubt strengthened when I got the same little plant

from the other locality given above from S. W. Tibet. Also Dr. WOLF'S remark that he has seen »ähnliche Zwischenformen« from two other places in High-Asia points in the same direction. I consider the present plant as a variety of *P. hololeuca*, or perhaps — when better material was at my disposal — as a separate species allied to it.

Geogr. arca (of *P. hololeuca*): Alpine Persia, Central-Asia (Tian-shan, Ferghana, Pamir, etc.).

Potentilla argrophylla Wall., Cat. pl. Ind. no. 1020 (1829); Hook. f., Fl. Brit. Ind. II (1879) 357; Th. Wolf, Monogr. Gatt. Pot. (1908) 228; Stewart, in Bull. Torrey Bot. Club (1916) 636.

S. W. *Tibet*, Height above the source of Tsangpo, northern foot of Himalaya, 5015 m., 13th July 1907 (flowering).

The plants present belong to the high-alpine variety (var. *leucochroa* [Lindl.] Hook. f.) of the species.

Geogr. arca: Temperate and alpine Himalaya, Tibet.

Potentilla nivea L., Sp. pl. ed. 1 (1753) 499; Th. Wolf, Monogr. Gatt. Potent. (1908) 233; Hemsley, in Journ. Linn. Soc. 35 (1902) 175; Fedtschenko, in Acta Horti Petrop. XXI (1903) 328.

Northern *Tibet*, Mandarlik, 3437 m., medio July 1900 (flowering).

Dr. TH. WOLF refers the plant to var. *vulgaris* Schlecht. et Cham., f. *alpina* (Turcz.) Th. Wolf.

Geogr. arca: Arctic and subarctic Europe, European Alps; Arctic, subarctic and alpine Asia; Arctic America, Greenland, Rocky Mountains.

Potentilla dealbata Bunge, in Ledeb. Fl. Altaic. II (1830) 250; Th. Wolf, Monogr. Gatt. Pot. (1908) 254; Fedtschenko, in Acta Horti Petrop. XXI (1903) 328; XXVIII (1907) 110.

Eastern *Pamir*, grassy places at the shore of Little Kara-kul, 3720 m., medio July 1894 (flowering).

Geogr. arca: W. Siberia, Altai, Turkestan, N. W. Mongolia, N. E. Tibet, W. China

Potentilla supina L., Sp. pl. ed. 1 (1753) 497; Th. Wolf, Monogr. Gatt. Potent. (1908) 389.

East *Turkestan*, Ak-satma, woody country in Middle Tarim, 1105 m., 10th Oct. 1899 (young sterile shoots only); Lower Tarim, c. 870 m., spring 1900 (young plants only).

Geogr. arca: widely distributed in temperate and warmer countries of Europe, Asia and N. America; on the southern hemisphere only introduced.

Potentilla anserina L., Sp. pl. ed. 1 (1753) 495; Th. Wolf, Monogr. Gatt. Potent. (1908) 669; Hemsley, in Journ. Linn. Soc. 35 (1902) 174; Danguy, in Bull. Mus. d'hist. nat. (1908) 130; Stewart, in Bull. Torrey Bot. Club (1916) 635; Fedtschenko, in Acta Horti Petrop. XXI (1903) 327; XXVIII (1907) 110, (1909) 483.

Eastern *Pamir*, the outlet of Kara-Jilga rivulet into Basik-kul, marshy ground, 3727 m., 24th July 1894 (flowering; these specimens approach the var. *grœnlandica* Tratt.).

S. W. *Tibet*, Ganju-gumpa between Camp CLXXXIX and Camp CXC, the valley of Upper Tsangpo, 4631 m., 1st July 1907 (flowering; var. *vulgaris* Hayne).

Geogr. area: Cold and temperate regions of Europe, Asia and N. America; Chile, Australia (Victoria), Tasmania, New-Zealand.

Sibbaldia tetrandra Bunge, Verzeichn. Altai Geb. Pflanz., Sep. (1836) 25; Fedtschenko, in Acta Horti Petrop. XXI (1903) 323; XXIV (1905) 329; XXVIII (1909) 481; *Potentilla tetrandra* Hook. f., Fl. Brit. Ind. II (1879) 346; Stewart, in Bull. Torrey Bot. Club (1916) 635.

Eastern *Pamir*, Little Kara-kul, 3720 m., medio July 1894 (flowering).

Geogr. area: Alpine Altai, Pamir, Tibet, Sikkim.

Rosa Beggeriana Schrenk, in Fisch. et Meyer, Enum. Pl. nov. (1841) 73; Ledeb., Fl. Ross. II, 1 (1844) 82; Crépin, in Bull. Soc. Roy. Bot. de Belge XIV (1875) 15.

East-*Turkestan*, Tatlik-bulak, south-east of Lop-nor, 1953 m., 3rd July 1900 (flowering and with unripe fruits). Determ. by the Kew Herb. and agreed upon by S. ALMQUIST, the well-known rhodologist.

Geogr. area: Northern Afghanistan, Central and High Asia.

Fam. Saxifragaceæ

(determ. by C. H. OSTENFELD).

Saxifraga cernua L., Sp. pl. ed. 1 (1753) 403; Engler et Irmscher, Saxifragaceæ I, in Das Pflanzenreich, 67. Heft (1916) 270; Danguy, in Bull. Mus. d'hist. nat. (1908) 130; Stewart, in Bull. Torrey Bot. Club (1916) 635; Fedtschenko, in Acta Horti Petrop. XXI (1903) 336; XXVIII (1907) 113, (1909) 485.

Eastern *Pamir*, Mus-tagh-ata, the left old side moraine of the Korumde Glacier, 4367 m., 27th July 1894.

The specimens belong to f. *bulbillosa* Engler et Irmscher (l. c. 274), which has no terminal flower developed, only bulbils.

Geogr. area: Circumpolar arctic and subarctic; high alpine in the temperate regions of Eurasia and North-America.

Saxifraga saginoides Hook. f. et Thoms., in Journ. Linn. Soc. Bot. II (1857) 68; Hemsley and Pearson, in Peterm. Mitteil. Ergänzungsbd. 28 (1900) 374; Engler et Irmscher, Saxifrag. in Das Pflanzenreich, 67. Heft (1916); Hemsley, in Journ. Linn. Soc. 35 (1902) 176.

N. E. *Tibet*, Camp XVII in the immense latitudinal valley, 5073 m., 1st Sept. 1896

Geogr. area: Alpine Himalaya, Tibet.

Saxifraga nanella Engl. et Irmscher, in Engl. Bot. Jahrb. L, Beibl. 114 (1914) 44; Saxifragaceæ I, in Das Pflanzenreich, 67. Heft (1916) 155.

Northern *Tibet*, the shore of Kum-köl, Camp XVI, 3282 m., 28th July 1900 (flowering).

The few and small specimens present are with some doubt referred to the above species of which I know only the description.

Geogr. area: Tibet.

Saxifraga Przewalskii Engler, in Bull. Acad. St. Pétersbourg XXIX (1883) 117; Engler et Irmscher, Saxifragaceæ I, in Das Pflanzenreich, 67. Heft (1916) 107.

Northern *Tibet*, the shore of Kum-köl, Camp XVI, 3882 m., 28th July 1900 (flowering).

Geogr. area: Tibet, Alpine Kansu.

Saxifraga hirculus L., Sp. pl. ed. 1 (1753) 402; Engler et Irmscher, Saxifragaceæ I, in Das Pflanzenreich, 67. Heft (1916) 110; Hemsley, in Journ. Linn. Soc. 35 (1902) (176 (var. *hirculoides* C. B. Clarke); Keissler, in Ann. Naturh. Hofmuseum (1907) 24 (var. *subdioica* Clarke); Stewart, in Bull. Torrey Bot. Club (1916) 635; Fedtschenko, in Acta Horti Petrop. XXI (1903) 335; XXIV (1905) 330; XXVIII (1907) 113, (1909) 485.

Eastern *Pamir*, Mus-tagh-ata, Kamper-Kischlak, wet meadows, 4499 m., 29th July 1894 (flowering).

The specimens belong to var. *v.*, *typica* Hook. f. in the enlarged sense of ENGLER and IRMSCHER.

Geogr. area: Arctic, subarctic and temperate regions of Eurasia, Arctic North-America, Rocky Mountains.

Parnassia ovata Ledeb., in Mém. Acad. Pétersb. V (1815) 528; Hemsley, in Journ. Linn. Soc. 35 (1902) 176; Stewart, in Bull. Torrey Bot. Club (1916) 635; *P. Laxmanni* Pall., ex Schult. Syst. VI (1820) 696; Fedtschenko, in Acta Horti Petrop. XXI (1903) 288; XXVIII (1907) 103; Danguy, in Bull. Mus. d'hist. nat. (1908) 130; *P. trinervis* Drude, in Linnæa, 39 (1875) 322; *P. affinis* Hook. f. et Thoms.; *P. subacaulis* Kar. et Kir.; Hemsley and Pearson, in Peterm. Mitteil. Ergänzungsbd. 28 (1900) 374.

Eastern *Pamir*, Kara-jilga, valley and rivulet, 3727 m., 24th July 1894; Little Kara-kul, swamp at the northern shore, 3720 m., 17th July 1894 (both flowering).

N. E. *Tibet*, Sarik-kol, Kwen-lun, 3469 m., 5th Aug. 1896.

Geogr. area: Siberia, Kamtchatka, Pamir, Afghanistan, Tibet, Alpine Himalaya, Chensi.

Fam. **Crassulaceæ**

(determ. by OVE PAULSEN).

Cotyledon spinosus L., Sp. pl. ed. 1 (1753) 429; Ledeb., fl. Ross. II (1844) 174; Hook. f., Fl. Brit. Ind. II (1879) 416; *Umbilicus spinosus* D. C.; Krylow, fl. Alt. (1903) 452.

Eastern *Pamir*, Yam-bulak-bashi glacier, Mus-tagh-ata, 4439 m., 15th Aug. 1894 (flowering).

Geogr. area: Siberia, Mongolia, Altai, Thian-shan, W. Tibet.

Sedum algidum Ledeb., Fl. altaica II (1830) 194; Ledeb., fl. Ross. II (1844) 177; Hemsley, in Journ. Linn. Soc. 35 (1902) 177.

Eastern *Pamir*, Old moraine of the Korumde glacier, Mus-tagh-ata, 4367 m., 27th July 1894 (flowering and in fruit).

The identification is not quite satisfying. The flowers are bisexual, 4- or 5-numbered, on pedicels exceeding them in length. The squamæ hypogynæ are ovate, longer than broad, crenate above. Stamens longer than corolla. Styles recurved, very short.

Geogr. area: Mongolia.

Sedum dubium O. Pauls. nov. sp. (Pl. VII, Fig. 2 and Text Fig. 4).

Perennis glabra, caudex verticalis crassitie pennæ gallinæ squamiferus squamis latis obtusis, caulibus mortuis nullis. Caules floriferi erecti v. procumbentes in spec. 4—6 cm. alti, superne foliati. Folia sparsa linearia minute calcarata. Inflorescentia 2-3-flora umbelliformis pedicellis calyce æquilongis. Sepala 5 libera 2 mm. longa oblongo-linearia. Petala 5, ut videtur lutea, 3 mm. longa, oblonga obtusa. Stamina 10, epipetala petalis inferne breviter coalita, omnia petalis æquilonga. Squamæ hypogynæ late lineares, apice dentatæ. Carpellæ 5 stylibus rectis.

The species is characterised by its tenderness, by the blunt sepals and petals and by the shape of the squamæ. I am well aware that it may be a form of some already known species, but of which of them I don't know. Hence, it seems better to keep it apart.

Northern *Tibet*, Camp. XII, Kayir, Ara-tagh, 4183 m., 23th July 1900 (flowering).

Sedum fastigiatum Hook. f. et Thomson, in Journ. Linn. Soc. (Bot.) II (1858) 98; Hook. f., Fl. Brit. Ind. II (1879) 419; Hemsley, in Journ. Linn. Soc. 35 (1902), 177.

Northern *Tibet*, Mandarlik, 3437 m., medio July 1900; near upper Kum-köl, 3882 m., 27th July 1900 (w. unripe fruit).

Geogr. area: Himalaya.

(?) *Sedum quadrifidum* Pallas, Reise III, Anhang (1778) 46. tab. P. fig. 1; Ledeb., fl. Ross. II (1844) 177; Hook. f., Fl. Brit. Ind. II (1879) 418; Hemsley, in Journ.



Fig. 4. Squamæ, sepal, petal and filaments of *Sedum dubium*.

Linn. Soc. 35 (1902) 177; Hemsley and Pearson, in Peterm. Mitt. Ergänzungsbd. 28 (1900) 374; Keissler, in Ann. Naturhist. Hofmus. Wien XXII (1907) 25.

N. E. Tibet, Camp XVIII, 5078 m., 2nd Sept. 1896 (det. Hemsley and Pearson); S. W. Tibet, Camp CCXI, Tokchen, 4654 m., 24th July 1907 (w. young fruit).

There is but one specimen, and a poor one. Hence the identification is not sure. *Geogr. area*: Dauria, Songaria, Mongolia, Himalaya, Altai, Ural, Arctic Russia.

Sedum roseum (L.) Scop.: *Sedum Rhodiola* D. C., in Hist. des pl. grasses (1837) 143; Ledeb., fl. Ross. II (1844) 178; Hook. f., Fl. Brit. Ind. II (1879) 417; Hemsley, in Journ. Linn. Soc. 35 (1902) 177; Fedtschenko, in Acta Horti Petrop. XXI (1903) 102, XXIV (1905) 18, XXVIII (1907) 16, XXVIII (1909) 32; Danguy, in Bull. Mus. d'hist. nat. XVII (1911) 332.

Eastern *Pamir*, Kamper-kishlak, Mus-tagh-ata, ab. 4500 m., 29th July 1894 (fruiting).

Geogr. ara: Mountains in Asia, Europe, and America, arctic countries.

Sedum stamineum O. Pauls. nov. sp. (Pl. VII, Fig. 3 and Text Figs. 5 and 6).

Perennis glabra, caudex verticalis brevis crassus squamiferus caulibus mortuis persistentibus munitus. Caules floriferi erecti v. obliqui in spec. 4—6 cm. alti, superne

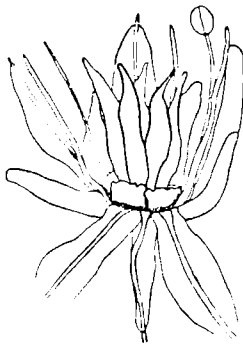


Fig. 5. A flower of *Sedum stamineum*.

foliati. Folia sparsa ovato-linearia non calcarata, inferiora 7 mm. longa basi lata oblique rotundata \pm distincte trinervia, superiora basi angustiori. Inflorescentia multiflora (in una 17 flores) umbelliformis, pedicellis nullis v. brevibus, semper flore brevioribus. Sepala 5,3 mm. longa, triangulari-linearia inferne brevissime coalita. Petala 5, 5 mm. longa, oblonga v. ovato-lanceolata obtusa, purpureo adpersa, ut videtur pallida. Stamina 10, epipetala petalis inferne breviter coalita, omnia petala breviter superantia. Squamæ hypogynæ longitudine latiores, distincte crenatæ. Carpella 5, stylibus brevibus recurvis.



Fig. 6. Upper and middle leaves of *Sedum stamineum*.

In habit this species is rather like *S. dumulosum* Franchet (Pl. Davidianæ in Nouv. archives du Muséum, 2. sér., Mémoires, T. V, Pl. 16, fig. 3), but it differs in the form of the leaves, in the inflorescence, the length of the stamens etc. from this as well as from the many species described in the latter years.

S. W. Tibet, Hill above the source of Tsangpo, 5015 m., 13th July 1907 (flowering).

Fam. Cruciferae

(determ. by C. H. OSTENFELD).

Sisymbrium humile C. A. Mey. in Ledeb., Fl. Altaic. III (1831) 137; Icon. fl. Ross., tab. 147; Hemsley, in Journ. Linn. Soc. 35 (1902) 166; Danguy, in Bull. d'hist.

nat. (1908) 130; Fedtschenko, in Acta Horti Petropol. XXI (1903) 274, XXIV (1904) 127, XXVIII (1909) 464.

Eastern *Pamir*, Kara-jilga, a valley at Basik-kul, 3727 m., 24th July 1894 (in flower and fruit).

Northern *Tibet*, Mandarlik, 3437 m., medio July 1900 (flowering).

Geogr. area: Greenland, Arct. N. America; Siberia, Tibet, Pamir, Himalaya, Kansu.

Sisymbrium glandulosum (Kar. et Kir.) Maxim., Fl. Tangut. I (1889) 61; *Ara-bis gl.* Kar. et Kir., Bull. Soc. Imp. Moscou XV (1842) 147; Hook. f., Fl. Brit. India I (1875) 136; Fedtschenko, in Acta Hort. Petropol. XXI (1903) 271.

S. W. *Tibet*, Height above the source of Tsangpo at the northern foot of Himalaya, 5015 m., 13th July 1907 (in flower and with young pods).

Geogr. area: Songaria, Tibet, Pamir.

Erysimum funiculosum Hook. f. et Thoms., in Journ. Linn. Soc. V (1861) 165; Hemsley, in Journ. Linn. Soc. 35 (1902) 167.

Tibet, no locality given (with nearly ripe pods).

It is doubtful if *E. chamaephyton* Maxim. (Fl. Tangut. I, 1889, 63, pl. 28) from N. E. Tibet is different from *E. funiculosum*. HEMSLEY (in Journ. Linn. Soc. 35, 1902, p. 167) gives pink and white flowers for MAXIMOWIECZ'S plant and yellow for *E. funiculosum*.

Geogr. area: Alpine Sikkim Himalaya, Tibet.

Braya uniflora Hook. f. et Thoms., in Journ. Linn. Soc. V (1861) 168; Hook., Icon. Pl., tab. 2251; Hemsley, in Journ. Linn. Soc. 35 (1902) 167; Keissler, in Ann. Naturh. Hofmuseum, Wien (1907) 22.

N. E. *Tibet*, Camp XXV, South of Arka-tagh, 4980 m., 29th June 1901 (flowering).

Geogr. area: Tibet, Himalaya.

Braya sinensis Hemsl., in Journ. Linn. Soc. XXIX (1894) 303, pl. 29; Hemsley, in Journ. Linn. Soc. 35 (1902) 167.

Northern *Tibet*, Chimen-tagh, Kar-yakak-sai, Camp X, 3984 m., 21st July 1900 (flowering).

Geogr. area: Tibet and the adjoining Western China.

Christolea crassifolia Cambess., in Jacquem. Voy. Bot. IV (1844) 17, pl. 17; Hemsley, in Journ. Linn. Soc. 35 (1902) 167; Stewart, in Bull. Torrey Bot. Club (1916) 634; Fedtschenko, in Acta Hort. Petropol. XXI (1903) 276; XXIV (1904) 128; XXIV (1905) 320; XXVIII (1909) 466.

Eastern *Pamir*, Kara-kir, the eastern shore of Little Kara-kul, 3720 m., 17th July 1894 (flowering).

Geogr. area: Himalaya, Tibet, Pamir, Mongolia.

Draba fladnizensis Wulf., in Jacq. Misc. I (1778) 147; Hook. f., Fl. Brit. India I (1875) 143; Hemsley, in Journ. Linn. Soc. 35 (1902) 166; Fedtschenko, in Acta Hort. Petrop. XXVIII (1909) 463.

var. *heterotricha* (Lindbl.) Hook. f., l. c.

Eastern *Pamir*, marsh near Little Kara-kul, 3720 m., 15th July 1894 (with unripe pods). (Pl. VIII, Fig. 3).

Eastern or Inner *Tibet*, Near Camp XLIV, 5127 m., 15th Aug. 1901 (with ripe and unripe pods). (Pl. VIII, Fig. 2).

There are only one specimen present from each of the two localities, and they are very much alike and like specimens in the Copenhagen Herb. from Himalaya, coll. by HOOKER fil. There is therefore no doubt that the plant is the same as that named as above in HOOKER f.'s Flora, but it is rather doubtful if the name is correct. The High Asiatic plant is different from all what I have seen of *D. fladnizensis* Wulf. (incl. *D. Wahlenbergii* Hartm.) from Arctic countries and from the European Alps. In some respects it approaches *D. subcapitata* Simm., in others it comes near to very dwarf and condensed forms of *D. rupestris* R. Br., but it does not agree with any of the three here mentioned species-aggregates and ought perhaps have a separate name. As my material is rather scanty I leave that for the future, and confine myself to give a photo of both specimens (Pl. VIII, Figs. 2—3).

Geogr. area: (of *D. fladnizensis*): widely distributed in all Arctic regions, further found on the high mountains of Europe and Asia (perhaps also North America).

Draba lasiophylla Royle, Ill. Him. Bot. I (1839) 71; Hook. f., Fl. Brit. Ind. I (1875) 143; Hemsley, in Journ. Linn. Soc. 35 (1902) 166; Stewart, in Bull. Torrey Bot. Club (1916) 634.

S. W. *Tibet*, Height above the source of Tsangpo, northern foot of Himalaya, 5015 m., 13th July 1907 (flowering).

I have identified the specimens with *D. lasiophylla* Royle, but I think that both this and *D. tibetica* Hook. f. et Thoms. are to be included in *D. Magellanica* Lam., when the latter is taken in wider sense as done by Mrs. E. EKMAN (Zur Kenntn. der nordischen Hochgebirgs-Drabae, in K. Svenska Vet. Akad. Handl. 57, no. 3, 1917).

Geogr. area (of *D. lasiophylla*): Alpine Himalaya, Tibet, Mongolia.

Hedinia Ostf. nov. gen. (Pl. I, Fig. 2).

Sepala adpressa, non saccata. Petala unguiculata, alba, limbo obtuso, non emarginato; filamenta simplicia, libera. Ad basin filamentorum breviorum glandula mediocra ± ovoideo-globosa (non elongato-curvata); ad basin filamentorum longiorum glandula deest. Fructus ellipticus, compressus, dehiscens, stylo brevi incrassato apiculatus; valvæ carinatæ; dissipimentum angustum; semina numerosa, cotyledonibus incumbentibus semina notorrhiza). Cellulæ myrosiniferæ ad leptomum annexæ.

Herba pilis albis et simplicibus et ramosis molliter pilosa; racema florifera saltem in inferiore parte bracteis foliaceis pinnatis ornata.

Differt a *Hutchinsia* præter pilositatem seminibus compluribus notorrhizis, et a *Capsella* etiam præter pilositatem glandula mellifera ovato-globosa, fructu elliptico compresso-carinato, etc.

The plant which has been named *Hutchinsia tibetica* Thoms. and *Capsella Thomsonii* Hook f., seems to be distinct from both genera, and on the other hand somewhat intermediate between them. In spite of the difficulty in characterising the genera of the *Cruciferae*, I find it necessary to create a separate genus for the plant in question, apart from both *Capsella* and *Hutchinsia*; and the instability of its placing — by one author in *Capsella* and by another in *Hutchinsia* — shows that other botanists have felt difficulty when trying to find its proper place. I have made an examination of the glands at the base of the stamens and of the place of the myrosin-containing cells¹, and I have found the glands of a rather globular shape, not elongated and curved as in *Capsella*. The myrosin cells are attached to the leptomatic part of the strands as in both the named genera. There is therefore no doubt that it is related to them. But it differs from both by its rich hairiness of both simple and branched hairs and by the foliaceous bracts of the raceme, a rare character in the family. From *Capsella* it differs further, as mentioned, by the shape of the glands and by the carinate elliptic pods, while from *Hutchinsia* it differs by the many-seeded pods.

If we follow the system worked out by A. v. HAYEK (l. c.) it would be most natural to place the new genus close to *Hutchinsia* amongst the subtribe *Iberidinae* under the tribe *Lepidicae*, but on the other hand *Hedinia* shows so much affinity to *Capsella* that HAYEK'S separation of *Capsellinae* as special subtribe becomes weakened.

I have named the new genus in honour of the indefatigable and successful explorer Dr. SVEN HEDIN.

Hedinia tibetica (Thoms.) Ostf. nov. comb.; *Hutchinsia tibetica* T. Thomson, in Hook., Icon. pl. tab. 900 (1852); *Smelovskia tibetica* Lipsky, in Acta Hort. Petrop. XXIII (1904) 76; Fedtschenko, ibid. XXIV (1905) 320; XXVIII (1909) 464; *Capsella Thomsonii* Hook. f., in Journ. Linn. Soc. V (1861) 172, et in Fl. Brit. India I (1875) 159; Hemsley and Pearson, in Peterm. Mitteil. Ergänzungsbd. 28 (1900) 373; Hemsley in Journ. Linn. Soc. 35 (1902) 168; Fedtschenko, in Acta Hort. Petropol. XXI (1903) 283.

Northern *Tibet*, the lake Kum-köl, Camp XVI, 3882 m., 28th July 1900 (flowering and with young pods); N. E. Tibet, Camp XVII, 5073 m., 2nd Sept. 1896; Eastern

¹ Cfr. A. von HAYEK, Entwurf eines Cruciferen-Systems auf phylogenetischer Grundlage. Beih. Botan. Centralbl. Bd. XXVII, 1. Abt., 1904.

or Inner Tibet, near Camp XLIV, 5127 m., 18th Aug. 1901 (pods nearly ripe); S. W. Tibet, Height above the source of Tsangpo, northern foot of Himalaya, 5015 m., 13th July 1907 (flowering and with young pods).

Geogr. area: Widely distributed in the Tibetan area, reaching into the adjoining regions of China, Mongolia and Himalaya.

Lepidium latifolium L., Sp. pl. ed. 1 (1753) 644; Hemsley and Pearson, in Peterm. Mitteil. Ergänzungsbd. 28 (1900) 373; Hemsley, in Journ. Linn. Soc. 35 (1902) 168; Stewart, in Bull. Torrey Bot. Club (1916) 633; Fedtschenko, in Acta Hort. Petrop. XXI (1903) 285, XXIV (1904) 129, XXVIII (1909) 468.

East-Turkestan, Tatlik-bulak, south-east of Lop-nor, 1953 m., 3rd July 1900 (flowering).

N. E. Tibet, Northern slope of the south-chain of Tsaidam, 3321 m., 5th Oct. 1896.

Geogr. area: Temperate Eurasia, Mediterranean region including N. Africa, mostly along the sea-shores, but also in saline places in the interior; widely distributed in the inner parts of Asia.

Lepidium cordatum Willd., ex D. C. Regn. Veget. Syst. II (1821) 554; Hemsley and Pearson, in Peterm. Mitteil. Ergänzungsbd. 28 (1900) 373; Hemsley, in Journ. Linn. Soc. 35 (1902) 168; Fedtschenko, in Acta Hort. Petrop. XXI (1903) 286, XXVIII (1909) 469.

East-Turkestan, Kamish-bulak, a spring at Bash-kurghan, 3 days journey south-east of Lop-nor, 2669 m., 5th July 1900 (flowering).

N. E. Tibet, Harato, northern slope of the south-chain of Tsaidam, 3321 m., 5th Oct. 1896.

Geogr. area: Siberia, East-Turkestan, Tibet.

Dilophia salsa Thoms., in Hook., Kew Journ. of Bot. V (1853) 20, et IV (1852) pl. 12; Hemsley and Pearson, in Peterm. Mitteil. Ergänzungsbd. 28 (1900) 373; Hemsley, in Journ. Linn. Soc. 35 (1902) 168; Keissler, in Ann. Naturh. Hofmuseum Wien (1907) 22; Danguy, in Bull. Mus. d'hist. nat. (1908) 130; Fedtschenko, in Acta Hort. Petrop. XXI (1903) 286, XXIV (1904) 129, XXIV (1905) 321, XXVIII (1909) 469.

N. E. Tibet, Camp X, 5362 m., 23rd Aug. 1896.

Geogr. area: Tibet, Thian-shan, Kansu.

Fam. Fumariaceæ

(determ. by C. H. OSTENFELD).

Corydalis Moorcroftiana Wall. Cat. no. 1432 (1829); Hook. f. et Thoms., Fl. Ind. (1855) 266; Hemsley, in Journ. Linn. Soc. 35 (1902) 165.

S. W. Tibet, on the road between Camp CLXXXIX, Dongbo, 4598 m., and Camp CXC, Tuksum, 4596 m., Upper Tsangpo's valley; 1st July 1907 (flowering).

Geogr. area: Afghanistan, Tibet, Himalaya.

Corydalis Hendersonii Hemsl., in Journ. Linn. Soc. XXX (1894) 109; Hemsley and Pearson, in Peterm. Mitteil. Ergänzungsbd. 28 (1900) 373; Hemsley, in Journ. Linn. Soc. 35 (1902) 165; (?) *Corydalis* sp. Keissler, in Ann. Naturh. Hofmuseum, Wien (1907) 21.

N. E. *Tibet*, Camp XXXII, at a large salt-lake, 4731 m., 22nd Sept. 1896; Inner Tibet, Camp LXVI, 4863 m., 26th Aug. 1901 (sterile); in spite of there being no flowers the identification is practically certain (Kew. Herb.).

Geogr. area: Himalaya, Tibet, Mongolia.

Corydalis mucronifera Maxim., Fl. Tangutica I (1889) 51, pl. 24, figs. 19—21; *C. Boweri* Hemsl., in Journ. Linn. Soc. XXX (1894) 108; Hooker, Icon. Pl. 2468; Hemsley, in Journ. Linn. Soc. 35 (1902) 164.

Eastern *Tibet*, near Camp XLIV, 5127 m., 6th Aug. 1901 (flowering).

Geogr. area: Tibet, Mongolia.

Fam. Papaveraceæ

(determ. by C. H. OSTENFELD).

Meconopsis horridula Hook. f. et Thoms., Fl. Ind. (1855) 252; Fedde, Papaveraceæ, in Das Pflanzenreich (1909) 257; Prain, in Kew. Bull. 1915, 152; Hemsley and Pearson, in Peterm. Mitteil. Ergänzungsbd. 28 (1900) 373; Hemsley, in Journ. Linn. Soc. 35 (1902) 164.

N. E. *Tibet*, without locality, ca. 4800 m., Sept. 1896; N. Tibet, Mandarlik, 3437 m., medio July 1900 (flowering).

Geogr. area: Mongolia, Tibet, Eastern Himalaya, W. Szechuan, Kansu.

Fam. Ranunculaceæ

(determ. by C. H. OSTENFELD).

Delphinium coeruleum Jacquem., Voy. Bot. IV (1844) 7, pl. 6; Hook. f., Fl. Brit. India I (1875) 25; Hemsley and Pearson, in Peterm. Mitteil. Ergänzungsbd. 28 (1900) 373; Hemsley, in Journ. Linn. Soc. 35 (1902) 63.

N. E. *Tibet*, Between Camp XXVIII and Camp XXIX, 4759 m., 18th Sept. 1896; Inner Tibet, Naktson-g-tso, Camp LXXVIII, 4636 m., 11th Sept. 1901 (flowering); S. W. Tibet, Tokchen, CCXI, east of the lake Manasarovar, 4654 m., 24th July 1907 (flowering).

Geogr. area: Himalaya (alpine), Tibet.

Delphinium chrysotrichum Finet et Gagnepain, in Bull. Soc. bot. France, vol. 51 (1904) 488, pl. VII B and figs. 7—11.

var. *pygmæum* Ostf. nov. var: statura nana, floribus 1—2, foliis plus partitis a typo diversum. (Pl. I, Fig. 5 and Pl. II, Fig. 1.)

Inner *Tibet*, Camp XXXIII, at a nameless river, 4766 m., 24th Aug. 1900.

The specimens present are much more dwarfy than *D. chrysotrichum*, as it is pictured by FINET and GAGNEPAIN; also are the leaf-lamina more divided, see Pl. I, Fig. 5. But as all the characters from the flower agree with the description and drawings of *D. chrysotrichum*, especially the golden hairiness on the upperside of the sepals and the bilobate lamina of the calcarate petals (see Pl. II, Fig. 1) I have identified Hedin's plant with it as a dwarf form (var. *pygmaeum*), perhaps only a high-alpine modification.

D. chrysotrichum came from Batang, S. W. China, ca. 30° N. Lat., 99° 30' East. Long. which is not so very far from the locality given above.

Geogr. area: see above.

Delphinium candelabrum Ostf. nov. sp. (Pl. II, Figs. 2—3).

Sectio *Delphinastrum*. Humile, perenne; rhizoma (?); caulis subterraneus erectus brevis pallidusque, glaber; folia in apice caulis subterranei subrosulata, longe petiolata, basi dilatata, parce pubescentia; limbus ad basin tripartitus, partitiones laterales bis bipartitæ, dein laciniatæ, media tripartita, dein laciniata, apice truncata mucrone aucta. Flores 3—6, in apice dilatata caulis subterranei subumbellati, longissime pedunculati; pedunculi arcuato-adscedentes, supra dense pilis aureis vestiti; bracteolæ duo suboppositæ infra medium (rarius in medio) positæ, limbo tripartito, partitionibus lanceolatis vel oblongis subintegris. Flores magni, sordide brunnei vel purpureo-brunnei, apicibus marginibusque sepalorum et petalorum lateralium pallescentibus. Sepala late ovata, extus pilis aureis pubescentia; calcar sepalum æquans, rectum vel leviter arcuatum, subemarginatum. Petalorum calcaratorum limbus obtusus truncatus emarginatus atroviolaceus, calcare brevior; pars basalis limbi et calcar intus parcissime pubescens vel glabrum; petala lateralia unguiculata, limbo suborbiculari, bilobato, parte centrali atroviolacea pilis aureis ornata, lobis semi-circularibus, margine ciliatis; unguis abrupte angustatus, basi appendice parva aucta. Stamina glabra, petalis breviora. Carpella 3, hispida, stylo brevi. Semina ignota.

Planta 8—12 cm. alta, caulis subterraneus 5—6 cm., pedunculi 5—7 cm., foliorum lamina 1—2 cm. diametro, sepala calcarata 30—40 mm., ecalcarata 20—25 mm., petalum calcaratum 23—28 mm.

Differt a *D. Pylzowii* Maxim. foliis sparsissime pubescentibus, colore florum, petalis calcaratis parcissime hirsutis, carpellis tribus, etc.; a *D. chrysotricho* Finet et Gagnep. foliorum partitionibus angustioribus, colore florum, petalis calcaratis non bilobatis, etc.

Eastern or Inner *Tibet*, near Camp XLIV, 5127 m., 9th Aug. 1901 (flowering).

The peculiar subumbellate arrangement of the flowers with their long arcuate peduncles, the dark colour of the sepals and petals and the broad, nearly circular limb of the lateral petals are very characteristic of this species. It is allied to *D. chrysotrichum* and *D. Pylzowii*.

It looks as if the stem is subterraneous which is perhaps due to overflowing by sand or dust. From that follows that the flowers and the leaves are just on the surface of the soil. Some of the specimens examined have 3 full-developed flowers and besides 1—3 young buds which are going to open at a later time.

Oxygraphis glacialis (Fisch.) Bunge, Verzeich. Altai Geb. Pflanz., Sep. (1836) 46; Fedtschenko, in Acta Hort. Petrop. XXI (1903) 254; XXVIII (1909) 460.

Eastern *Pamir*, Little Kara-kul, 3720 m., medio July 1894 (flowering).

Geogr. area: Alpine regions of Dahuria, Altai, Pamir and Himalaya.

Ranunculus subsimilis H. Printz, Veget. of Siber. Mongolian Frontiers, Trondhjem (1921) 236, fig. 88 et tab. VI fig. 1; *R. cymbalaria* Hemsley, in Journ. Linn. Soc. 35 (1902) 162; Stewart, in Bull. Torrey Bot. Club (1916) 632; Fedtschenko, in Acta Hort. Petrop. XXI (1903) 251; non Pursh, Fl. bor. am. I (1814) 392.

Eastern *Pamir*, Little Kara-kul, 3720 m., medio July 1894; Little Kara-kul, on the western shore amongst mosses in a wet place with springs, 3720 m., 20th July 1894 (flowering).

Eastern or Inner *Tibet*, near Camp XLIV, at a freshwater spring, 5127 m., first days of Aug. 1901 (sterile).

H. PRINTZ (l. c.) has quite recently shown that the Asiatic *R. cymbalaria* is different from the American type; he has described the former as a separate species which differs mainly in the shape of the leaves and the petals.

Geogr. area: Siberia, China, Tibet, Himalaya, Alpine Persia, Mongolia, Pamir.

Ranunculus involucratus Maxim., Fl. Tangutica I (1889) 15, pl. 22, figs. 7—13; Hemsley, in Hook. Icon. pl., plate 2586 A (1899); *R. similis* Hemsley, ibid., plate 2586 B; Hemsley, in Journ. Linn. Soc. 35 (1902) 165.

N. E. *Tibet*, Camp XXV, south of Arka-tagh, 4980 m., 29th June 1901 (flowering).

I cannot find that the differences pointed out by HEMSLEY (l. c.) to separate his *R. similis* from *R. involucratus* Maxim. are sufficient to keep two species: to me *R. similis* is only a form of *R. involucratus*. One of the main differences is said to be the hairiness of the calyx, but MAXIMOWICZ (l. c.) says that *R. involucratus* has »sepals extus parce tenere pilosis«, while HEMSLEY (l. c.) about *R. similis* has »sepals hirsutis«; nor are the differences in the colours of the petals and in the shape of the achenes to rely upon.

Geogr. area: Mongolia, Tibet (only the north-eastern part?).

Ranunculus pulchellus C. A. Mey., in Ledeb., Fl. Altaic. II (1830) 333; Fedtschenko, in Acta Hort. Petrop. XXI (1903) 249 (cum varr.); XXVIII (1907) 101; XXVIII (1909) 459; Hemsley, in Journ. Linn. Soc. 35 (1902) 163; Stewart, in Bull. Torrey Bot. Club (1916) 633; *R. longicaulis* C. A. Mey., ibid. 308; *R. pseudohirculus* Schrenk, in Fisch. et Meyer, Enum. pl. Schrenk. II (1841) 65.

Eastern *Pamir*, Mus-tagh-ata, Kamper-kishlak, near the glacier, on a wet meadow, ca. 4500 m., 29th July 1894 (flowering).

N. E. *Tibet*, Camp XXV, south of Arka-tagh, 4980 m., 29th June 1901 (flowering).

The Pamir specimens belong to var. *pseudo-hirculus* (Schrenk) Trautv. (in Bull. Soc. Moscou 1860, 68), the Tibetan ones are young and dwarfish.

Geogr. area: Afghanistan, Turkestan, Pamir, Himalaya, Tibet, Mongolia, Dahuria, Siberia.

Ranunculus hirtellus Royle, Illustr. Bot. Himal. (1839) 53; Stewart, in Bull. Torrey Bot. Club (1916) 633.

Tibet, no locality (flowering).

The incomplete specimen agrees well with some specimens of *R. hirtellus* from HOOKER f. and THOMSON'S collections.

Geogr. area: Himalaya, Tibet.

Ranunculus aquatilis L., Sp. pl. ed. 1 (1753) 556; Hemsley, in Journ. Linn. Soc. 35 (1902) 162; Stewart, in Bull. Torrey Bot. Club (1916) 633; Fedtschenko, in Acta Horti Petrop. XXI (1903) 247; XXIV (1905) 318 (var. *pantothrix* Ledeb.).

Eastern *Pamir*, Moraine lake between the glaciers Koch-korchu and Korumde on the western side of Mus-tagh-ata, 4367 m., 28th July 1894 (flowering and fruiting); Freshwater pool in the valley of Ulutör, Taghdumbash-Pamir, 4589 m., 3rd Aug. 1895 (no full flowering nor fruit present).

Tibet, without locality (1901, fruiting); S. W. *Tibet*, the dry, old bed of Satlej, in small lagoons, west of Rakas-tal, the former outlet of the lake, 4589 m., 6th Sept. 1907 (with a few fruits); the valley of the Upper Tsangpo, Camp CLXXXIX, Dongbo, 4598 m., 29th June 1907 (flowering).

The very variable water-buttercups are difficult to name, and I have preferred to refer all the specimens collected to the collective name *R. aquatilis* L. None of them have any floating leaves. Those from Dongbo (Tsangpo valley) are referable to *R. pellatus* Schrenk, f. *pseudofluitans* (Hiern., in Journ. Bot. 1871), others are probably better placed under *R. paucistamineus* Tausch.

Geogr. area: Northern temperate hemisphere, especially common in Eurasia, more local in North America.

Thalictrum alpinum L., Sp. pl. ed. 1 (1753) 545; Hemsley, in Journ. Linn. Soc. 35 (1902) 162; Fedtschenko, in Acta Horti Petrop. XXI (1903) 244.

Eastern or Inner *Tibet*, Camp XLIV, 5127 m., 18th Aug. 1901 (no flower).

Geogr. area: Arctic and subarctic Eurasia, northern and alpine Europe, Siberia, Mongolia, Kansu, Tibet, Himalaya, Yunnan; Arctic and subarctic North America incl. Greenland, Rocky-Mountains.

Clematis alpina (L.) Mill., Gard. Dict. ed. 8 (1768) no. 9; Hemsley and Pearson, in Peterm. Mitteil., Ergänzungsbd. 28 (1900) 373; Hemsley, in Journ. Linn. Soc. 35 (1902) 161.

N. E. *Tibet*, Harato, Northern slope of Tsaidam's south-chain, 3321 m., 5th Oct. 1896.

Geogr. area: Alpine Europe, Norway (one locality), Central Asia (not Himalaya), China, North America.

Clematis orientalis L., Sp. pl. ed. 1 (1753) 765; Danguy, in Bull. d'hist. nat. (1908) 130; Fedtschenko, in Acta Horti Petrop. XXVIII (1909) 459.

var. *acutifolia* Hook. f. et Thoms., Fl. Ind. (1855) 9; Hook. f., Fl. Brit. Ind. I (1875) 5; Stewart, in Bull. Torrey Bot. Club (1916) 632; Fedtschenko, in Acta Horti Petrop. XXI (1903) 244; *C. tibetana* O. Kuntze, in Verh. bot. Ver. Brandenburg XXV (1884) 172; *C. orientalis*, var. *tangutica* Maxim., Fl. tangut. I (1889) 3; Hemsley, in Journ. Linn. Soc. 35 (1902) 161; Keissler, in Ann. Naturh. Hofmuseum, Wien (1907) 21; *C. tangutica* Korshinsky, in Bull. Acad. Imp. St. Pétersbourg IX (1898) 399; Fedtschenko, in Acta Horti Petrop. XXI (1903) 243; XXIV (1905) 317; XXVIII (1909) 458.

Eastern *Pamir*, Mus-tagh-ata, the eastern shore of Little Kara-kul, 3720 m., 16th July 1894 (flowering).

East-*Turkestan*, Bash-kurgan, three days' journey S. E. of Lop-nor, 2629 m., 5th July 1900 (flowering and with young fruits).

Northern *Tibet*, Mandarlik, 3437 m., medio July 1900 (flowering).

The very variable species-aggregate *C. orientalis* is, in High Asia, represented by a series of forms, the taller of which are climbing and inhabit the regions with a comparatively rich vegetation, while in the more desolate and high-alpine places a dwarf, not-climbing form is present; this latter is *C. tibetana* O. Kuntze (l. c.), which I consider only a high-alpine modification of the more richly developed var. *acutifolia* Hook. f. et Thoms.

Geogr. area: Asia (Japan and Arctic regions excepted), Africa south of the desert; var. *acutifolia*: Himalaya, Tibet, Pamir, Mongolia.

Fam. Caryophyllaceæ

(determ. by C. H. OSTENFELD).

Arenaria festucoïdes Benth., in Royle, Illustr. Bot. Himal. (1839) 81, tab. 21, fig. 3; Hook. f., Fl. Brit. Ind. I (1875) 236; Hemsley, in Journ. Linn. Soc. 35 (1902) 170.

Inner *Tibet*, the shore of Naktson-g-tso, Camp LXXVIII, 4636 m., 11th Sept. 1901 (flowering).

The only tuft present (see Pl. VIII, Fig. 1) is very dense and the peduncles are very short; thus it agrees with var. *imbricata* Edgew. and Hook. f. (in Fl. Brit. Ind. I, 237; non *A. imbricata* M. Bieb.; an *A. kumaonensis* Maxim., Fl. Tangut. I [1889] 86?).

Geogr. area: Tibet and alpine Himalaya.

Arenaria musciformis Wall., Catal. (1829) no. 641; Hook. f., Fl. Brit. India I (1875) 237; Hemsley and Pearson, in Peterm. Mitteil., Ergänzungsbd. 28 (1900) 373; Hemsley, in Journ. Linn. Soc. 35 (1902) 170; Stewart, in Bull. Torrey Bot. Club (1916) 632; *A. polytrichoides* Edgew. β, *ferlevis* Williams, in Journ. Linn. Soc. 33 (1898) 405; Keissler, in Ann. Naturh. Hofmuseum (1907) 22.

N. E. *Tibet*, in the immense latitudinal valley with the 22 lakes, ca. 4800—5000 m., autumn 1896.

Geogr. area: Alpine Himalaya, Karakorum, Tibet, Mongolia.

Stellaria decumbens Edgew., var. *pulvinata* Edgew. et Hook. f., in Fl. Brit. Ind. I (1875) 235; Hemsley and Pearson, in Peterm. Mitteil., Ergänzungsbd. 28 (1900) 373; Hemsley, in Journ. Linn. Soc. 35 (1902) 169; Stewart, in Bull. Torrey Bot. Club (1916) 631.

N. E. *Tibet*, Between Camp XXVI and Camp XXVII, 4849 m., 14th Sept. 1896.

Geogr. area: Alpine Himalaya and Tibet.

Cerastium trigynum Vill., Prosp. (1779) 48; Hist. pl. Dauph. III (1789) 645; Ascherson und Graebner, Syn. Mittel. Europ. Flora VI (1917) 513; Stewart, in Bull. Torrey Bot. Club (1916) 632; Fedtschenko, in Acta Horti Petrop. XXI (1903) 295; XXIV (1905) 322; XXVIII (1907) 103; (1909) 472; *C. cerastioides* (L.) Britton, Mem. Torrey Bot. Club V (1894) 150.

Northern *Tibet*, Chimen-tagh, Kar-yakak-sai, Camp X, 3984 m., 21st July 1900 (flowering).

Geogr. area: Circumpolar Arctic; high-alpine in Central Europe, alpine in Scandinavia, British Isles, Faroes, Iceland; Caucasus, alpine and high-alpine in Asia from Asia Minor to Eastern Asia.

Melandrium apetalum (L.) Fenzl, in Ledeb., Fl. Ross. I (1842) 326; Fedtschenko, in Acta Horti Petrop. XXI (1903) 291; XXVIII (1909) 471; *Lychnis apetala* L.; Hook. f., Fl. Brit. India I (1875) 222; Hemsley, in Journ. Linn. Soc. 35 (1902) 169; Stewart, in Bull. Torrey Bot. Club (1916) 632.

var. *himalayense* Rohrb., in Linnæa 36 (1869—70) 220; *Lychnis himalayensis* Edgew., in Hook. f., l. c., 223; Stewart, in Bull. Torrey Bot. Club (1916) 632.

Eastern *Pamir*, Mus-tagh-ata, the left old moraine of the Korumde-glacier, 4367 m., 27th July 1894 (flowering and fruiting).

Northern *Tibet*, Mandarlik, 3437 m., medio July 1900 (in bud); Chimen-tagh, Kar-yakak-sai; Camp X, 3984 m., 21st July 1900 (in bud); Tibet, without locality (flowering and young fruit).

Geogr. area (of var. *himalayense*): Alatau, Pamir, Tibet and Himalaya. Area of the species: Arctic countries, northern and high-alpine Asia, Ural, Scandinavian alps, Rocky Mountains.

Fam. **Chenopodiaceæ**

(determ. by OVE PAULSEN).

Eurotia ceratoides (L.) C. A. Meyer, in Ledeb., Fl. altaica IV (1833) 239; Ledeb., Fl. Ross. III (1849—51) 738; Hook. f., Fl. Brit. Ind. V (1890) 8; Hemsley and Pearson, in Peterm. Mitteil., Ergänzungsbd. 28 (1900) 375; Fedtschenko, in Acta Horti Petrop. XXI (1903) 178, XXIV (1904) 16, XXIV (1905) 30.

Eastern *Pamir*, Kara-kir, east-shore of Little Kara-kul, 3720 m., 16th July 1894 (flowering).

Northern *Tibet*, Camp I, Kara-muran valley, Kwen-lun, 4075 m., 7th Aug. 1896 (det. Hemsley and Pearson); Camp VI, Köl, 3004 m., 9th July 1900 (flowering); on the shore of Kum-köl, Camp XVI, 3882 m., 28th July 1900 (flowering), »very common all over the Tibetan highlands« (Hedin).

The two first belong to the ordinary suffrutex-type, but the woody stems of the third seem to have been buried, the aërial shoots are sitting closely together on the top of them, and dead ones are found between the green; the leaves are obovate-lanceolate, obtuse, more gray and less ferruginous as ordinarily. As Kum-köl means »Sand-lake« the plants may have been covered by sand, of which, however, there were no traces.

Geogr. area: From Spain to Chinese Mongolia, from S. Siberia to Himalaya.

Halocnemum strobilaceum (Pallas) M. Bieb., Fl. taurico-caucas. III (1819) 3; Ledeb., Fl. Ross. III (1849—51) 773.

East-*Turkestan*, Usun-köl, Kara-koshun (Lop-nor), 816 m., 23rd January 1900.

Geogr. area: S. Europe, N. Africa, W. Asia and eastwards.

Halogeton glomeratus (M. Bieb.) C. A. Meyer, in Ledeb., Fl. altaica I (1829) 378; Ledeb., Fl. Ross. III (1849—51) 832; Hook. f., Fl. Brit. Ind. V (1890) 20; Hemsley, in Journ. Linn. Soc. (1902) 196; Fedtschenko, in Acta Horti Petrop. XXI (1903) 180, XXIV (1904) 17; Keissler, in Ann. naturhist. Hofmus. Wien XXII (1907) 31; Danguy, in Bull. Mus. d'hist. nat. XVII (1911) 446.

East-*Turkestan*, in the Tarim-delta, 830 m. Early summer 1900 (w. ripe fruit).

Geogr. area: S. Siberia, Transcaspia, Afghanistan, Pamir.

Halostachys caspica (Pall.) C. A. Meyer, in Bull. Petrop. (1841) 23; Danguy, in Bull. Mus. d'hist. nat. XVII (1911) 446.

East-*Turkestan*, Abdal (Yust-tshapghan), left shore of Tarim, at Lop-nor, 817 m., 21st June 1900 (sterile).

Geogr. area: Western and Inner Asia.

Kalidium gracile Fzl., in Ledeb., Fl. Ross. III (1849—51) 769; Hemsley and Pearson, in Peterm. Mitteil., Ergänzungsbd. 28 (1900) 375.

N. E. *Tibet*, Harato, northern slope of Tsaidam's southern border-mountain, 3321 m., 5th Oct. 1896 (det. Hemsley and Pearson).

Geogr. area: Mongolia.

Kochia scoparia (L.) Schrad, N. Journal (1809) 85; Ledeb., Fl. Ross. III (1849—51) 746; Hook. f., Fl. Brit. Ind. V (1890) 11; *Chenopodium scoparium* L.

East-Turkestan, Tatlik-bulak, S. of Lop-nor, 1953 m., 3rd July 1900 (sterile).

Geogr. area: Temperate Eurasia.

Salsola collina Pallas, Ill. pl. (1803) 34; Ledeb., Fl. Ross. III (1849—51) 800; Hook. f., Fl. Brit. Ind. V (1890) 17; Hemsley, in Journ. Linn. Soc. (1902) 196.

var. *subhirta* C. A. Meyer, in Ledeb., Fl. altaica I (1829) 393.

Inner *Tibet*, at Naktsong-tso, Camp LXXVIII, 4636 m., 11th Sept. 1901 (fruiting).

Perianth membraneous below, its wings minute (comp. Hook. f., Fl. Brit. Ind. 5, 18).

Geogr. area: From the Caspian desert to Dahuria and Pamir.

Salsola Kalí L., Sp. pl. ed. 1 (1753) 222; Ledeb., Fl. Ross. III (1849—51) 797; Hook. f., Fl. Brit. Ind. V (1890) 17; Hemsley, in Journ. Linn. Soc. (1902) 196; Danguy, in Bull. Mus. d'hist. nat. XVII (1911) 446.

East-Turkestan, in the Tarim-delta, 830 m. Early summer 1900 (w. ripe fruit).

Geogr. area: All temperate regions.

(?) *Suaeda setigera* (L. C.) Moq., Ann. sc. nat. 23 (1831) 309; Ledeb., Fl. Ross. III (1849—51) 783; Fedtschenko, in Acta Horti Petrop. XXIV (1904) 17.

East-Turkestan, Tatlik-bulak, S. E. of Lop-nor, 1953 m., 3rd July 1900 (sterile).

Two specimens with long horizontal branches; sterile, hence the identification is not sure.

Geogr. area: From S. Europe to temperate and alpine Asia (Pamir). (If it is really all the same species!)

Camphorosma sp. Hemsley and Pearson, in Peterm. Mitteil., Ergänzungsbd. 28 (1900) 375.

N. E. *Tibet*, Toghdi-gol, southern Tsaidam, 2731 m., 17th Oct. 1896 (det. Hemsley and Pearson).

Fam. Polygonaceæ

(determ. by OVE PAULSEN).

Calligonum sp.

East-Turkestan, Dunglik, 2 miles S. E. of Lop-nor, 882 m., 1st July 1900.

There are no flowers nor fruits, hence specific identification is not possible.

Polygonum amphibium L., Sp. pl. ed. 1 (1753) 361; Ledeb., Fl. Ross. III (1849—51) 520; Hook. f., Fl. Brit. Ind. V (1890) 34.

f. aquatica.

East-Turkestan, Karaumelik-köl, freshwater-lake at Lower Tarim, 880 m., 20th May 1900 (sterile).

Geogr. area: Temperate countries all over the earth.

Polygonum pamiricum Korshinsky, in Mém. ac. imp. sc. de St. Pétersbourg, VIII sér., Cl. phys.-math. IV No. 4 (1896) 98; Fedtschenko, in Acta Horti Petrop. XXI (1903) 183, XXIV (1904) 17, XXIV (1905) 31, XXVIII (1907) 26, XXVIII (1909) 53; (?) Keissler, in Ann. Naturhist. Hofmuseum, Wien XXII (1907) 31.

Eastern Pamir, shore of Little Kara-kul, 3720 m., medio July 1894 (flowering); *ibid.* in the water or on marshy soil (a dwarfish form with narrow linear leaves).

Geogr. area: Known only from Pamir. KEISSLER'S record from Tibet is doubtful.

Polygonum peregrinatoris O. Pauls. nov. sp. (Pl. II, Fig. 4).

Sect. *Aconogonum*. P. ut videtur perenne, parte inferiori indivisa in speciminibus nostris (17—20 cm. longis) verticali 5—7 cm. longa 2—3 mm. crassa ochreis aphyllis vestita, parte superiori iteratim dichotoma, caule cylindrico sub nodis vel ubique hirtopubescenti vel glabrescente. Folia brevissime petiolata circiter 2 cm. longa 1 cm. lata ovato-elliptica margine undulata revoluta nervis lateralibus 7—9-jugatis, pagina superiori rugulosa strigosa-hirta, pagina inferiori densius strigoso-pubescenti, ochreis 8—11 mm. longis brunneis antice fissis mox laceris, 7-nervatis, nervis hirsutis et parce setosis, margine apice parce setoso. Inflorescentia paniculata partibus spiciformibus composita usque ad 3 cm. longa, axi strigoso. Florum alborum diametrum 3,5 mm., perigonium 2,5 mm. longum 5-partitum, lobis obtusis tubum plus quam duplo excedentibus, staminibus 8 filamentis subulatis, ovario triangulari e latere viso elliptico, stylis 3 brevibus stigmatibus capitatis.

Ex affinitate *P. polystachyæ* Wall., optime differt omnibus partibus multo minoribus, planta non frutescente, inflorescentia parva etc. A *P. tortuoso* Don differt caule non tortuoso, foliorum forma et serratura, etc.

S. W. Tibet, height above the source of Tsangpo, 5015 m., 18th July 1907.

Polygonum sibiricum Laxm., in Nov. Comment. Acad. Petrop. 18 (1773) 531; Ledeb., Fl. Ross. III (1849—51) 527; Hook. f., Fl. Brit. Ind. V (1890) 52; Hemsley, in Journ. Linn. Soc. (1902) 196; Hemsley and Pearson, in Peterm. Mitteil., Ergänzungsbd. 28 (1900) 375; Danguy, in Bull. Mus. d'hist. nat. XVII (1911) 447.

East-Turkestan, Tatlik-bulak, S. E. of Lop-nor, 1953 m., 3rd July 1900 (with buds).

Northern Tibet, Sarik-kol, Kwen-lun, 3469 m., 5th Aug. 1896; between Camp XII and Camp XIII, 4857 m., 27th Aug. 1896 (det. Hemsley and Pearson); Mandarlik, 3437 m., medio July 1900 (flowering). — ? Temirlik, 2961 m., 10th July 1900.

The latter is doubtful. It has been submersed, has 25 cm. long curved stems, leaves which are lanceolate and not hastate, and flowers in bud only.

Geogr. area: Siberia, Songaria, Mongolia.

Polygonum viviparum L., Sp. pl. ed. 1 (1753) 360; Ledeb., Fl. Ross. III (1849—51) 519; Hook. f., Fl. Brit. Ind. V (1890) 31; Hemsley, in Journ. Linn. Soc. (1902) 197; Fedtschenko, in Acta Horti Petrop. XXI (1903) 183, XXIV (1905) 31, XXVIII (1909) 52; Danguy, in Bull. Mus. d'hist. nat. XIV (1908) 132, XVII (1911) 447.

Eastern *Pamir*, Mus-tagh-ata, Kamper-kishlak, moist meadow, ab. 4500 m., 29th July 1894.

S. W. *Tibet*, Camp CCXI, Tokchen, 4654 m., 24th July 1907.

Geogr. area: Arctic regions; high mountains of northern temperate regions.

Rheum spiciforme Royle, in Illust. Bot. Himal. (1839) 315; Hook. f., Fl. Brit. Ind. V (1890) 55; Hemsley and Pearson, in Peterm. Mitteil., Ergänzungsbd. 28 (1900) 375; Fedtschenko, in Acta Horti Petrop. XXI (1903) 181, XXIV (1905) 31, XXVIII (1907) 26, XXVIII (1909) 52.

Northern *Tibet*, Camp XXI, 4965 m., 7th Sept. 1896 (det. Hemsley and Pearson); Camp XX, 4784 m., 4th Aug. 1900 (flowering); Eastern Tibet, near Camp XLIV, 5127 m., 15th Aug. 1901.

Geogr. area: Pamir, Himalaya, China.

Fam. Urticaceæ

(determ. by C. H. OSTENFELD).

Urtica hyperborea Jacquem., apud Weddell, in Ann. sc. nat. 4. sér. I (1854) 180; Hemsley and Pearson, in Peterm. Mitteil., Ergänzungsbd. 28 (1900) 375; Hemsley, in Journ. Linn. Soc. 35 (1902) 198; Keissler, in Ann. Naturhist. Hofmuseum (1907) 31; Stewart, in Bull. Torrey Bot. Club (1916) 630.

Tibet, Camp LXIX, 4889 m., 30th Aug. 1901 (sterile); N. E. Tibet, Between Camp XXIX and Camp XXX, 4863 m., 20th Sept. 1896.

Geogr. area: Himalaya, Tibet, Mongolia.

Fam. Salicaceæ

(determ. by O. VON SEEMEN).

Populus euphratica Oliv., Voy. Emp. Ottom. III (1801), figs. 45, 46; C. K. Schneider, Handb. Laubholz. I (1906) 5; Ascherson und Graebner, Synops. Mitteleurop. Fl. IV (1908) 16.

East-*Turkestan*, the shore of Ullugh-köl, lower part of Tarim River, 878 m., 20th May 1900 (with ripe fruits); Lower Tarim, ca. 870 m., spring 1900, shoots from underground runners (suckers).

Geogr. area: From North Africa eastwards to China and Mongolia.

Salix alba L., Sp. pl. ed. 1 (1753) 1021; O. von Seemen, in Ascherson und Graebner, Synops. Mitteleurop. Fl. IV (1908) 79.

East-Turkestan, Tarim's delta towards Lop-nor, common on several places, ca. 850 m., spring 1900 (leaves only).

Geogr. area: Temperate and Southern Europe, North-Africa, Caucasus, Asia Minor, Syria, Persia, Turkestan and eastwards to Baical, Himalaya, Tibet.

III. Monocotyledones.

Fam. Liliaceæ

(determ. by OVE PAULSEN).

Allium platystylum Regel, in Acta Horti Petrop. X (1887) 328.

Northern Tibet, Mandarlik, 3437 m., medio July 1900 (flowering); S. W. Tibet, height above the source of Tsangpo, 5015 m., 13th July 1907 (flowering).

Geogr. area: Tibet.

Allium polyphyllum Karelin et Kirilow; Ledeb., Fl. Ross. IV (1852) 174; Regel, Monogr. (1875) 129; Fedtschenko, in Acta Horti Petrop. XXI (1903) 192, XXIV (1904) 21, XXIV (1905) 33, XXVIII (1907) 26, XXVIII (1909) 55.

Eastern Pamir, sandhills at the eastern shore of Little Kara-kul, 3720 m., 17th July 1894 (flowering).

Geogr. area: Mountains of Central Asia.

Allium Semenowii Regel, in Bull. soc. nat. Moscou (1868) 449; Regel, Monogr. (1875) 85; Regel, in Acta Horti Petrop. X (1887) 33; Hook. f., Fl. Brit. Ind. VI (1894) 338; Hemsley and Pearson, in Peterm. Mitteil., Ergänzungsbd. 28 (1900) 375.

Northern Tibet, Camp XXXI, 4616 m., 21st Sept. 1896 (det. Hemsley and Pearson).

Geogr. area: Himalaya, Tian-shan, Alatau.

(?) *Allium tataricum* L. f.; Ledeb., Fl. Ross. IV (1852) 185; Regel, Monogr. (1875) 178.

Eastern Pamir, east-shore of Little Kara-kul, 3720 m., 16th July 1894 (flowering).

The specimens being without bulbs the identification is not sure. Stamens and the pale sepals about equal in length (may be a new species).

Geogr. area: From S. Russia to S. Siberia and Persia.

Lloydia serotina (L.) Reichenbach, in Fl. germ. excurs. (1830) 102; Ledeb., Fl. Ross. IV (1853) 144; Hook. f., Fl. Brit. Ind. VI (1894) 354; Fedtschenko, in Acta Horti Petrop. XXI (1903) 190, XXIV (1905) 33, XXVIII (1909) 55; Danguy, in Bull. Mus. d'hist. nat. XIV (1908) 132.

S. W. Tibet, height above the source of Tsangpo, 5015 m., 13th July 1907 (flowering).

Geogr. area: Mountains of Eurasia and N. America.

Asparagus maritimus Pallas; Ledeb., Fl. Ross. IV (1853) 198.

East-Turkestan, Lower Tarim, Tuna-toghdi, 825 m., 9th June 1900 (w. unripe fruits); Middle Tarim, in forest, 1105 m., 10th October 1899 (sterile).

Northern Tibet, Kash-otak, 2916 m., first half of August 1900 (w. ripe fruit).

Geogr. area: S. Russia to Persia and Siberia.

Fam. Juncaceæ

(determ. by C. H. OSTENFELD).

Juncus Thomsonii Buchenau, in Bot. Zeit. XXV (1867) 148; Juncaceæ, in Das Pflanzenreich (1906) 224; Hemsley, in Journ. Linn. Soc. 35 (1902) 200; Fedtschenko, in Acta Horti Petrop. XXI (1903) 426, XXIV (1905) 345, XXVIII (1907) 122.

Eastern Pamir, Mus-tagh-ata, Kamper-kishlak, damp meadow beneath the glacier, ca. 4500 m., 29th July 1894 (flowering).

S. W. Tibet, Tokchen, Camp CCXI, 4654 m., 24th July 1901 (flowering).

Geogr. area: Pamir, Himalaya, Tibet, Mongolia and Northern China (Kansu).

Fam. Cyperaceæ

(determ. by C. H. OSTENFELD).

Scirpus littoralis Schrad., Fl. Germ. I (1806) 142; Ascherson und Graebner, Syn. Mitteleurop. Fl. II, 2 (1904) 318.

East-Turkestan, Lop-nor, Kara-koshun, beneath Yust-chapghan, 816 m., 24th June 1900 (in bud only).

The specimens are very young, hence the identification is not quite sure.

Geogr. area: Hungary (Heviz lake), Mediterranean region (scattered), subtropical and tropical Asia and Australia.

Scirpus affinis Roth, Nov. Sp. (1821) 31; Meinshausen, in Acta Horti Petrop. XVIII (1900) 251.

East-Turkestan, Lop-nor, Kara-koshun, beneath Yust-chapghan, 816 m., 24th June 1900 (flowering).

This plant seems me so different from *S. maritimus* L. that it must be considered a good species (see also my list of Cyperaceæ from Lieutn. Olufsen's second Pamir Exp., in Bot. Tids., Bd. 28 [1907] 220).

Geogr. area: From S. Russia eastwards in desert and steppe regions to Turkestan.

Scirpus compressus (L.) Pers., Syn. I (1805) 66; Ascherson und Graebner, Syn. Mitteleurop. Fl. II, 2 (1904) 328; Fedtschenko, in Acta Horti Petrop. XXVIII (1909) 508; *S. caricis* Retz.; Hemsley, in Journ. Linn. Soc. 35 (1902) 201.

Eastern *Pamir*, Little Kara-kul, small lagoons at the eastern shore, 3720 m., 15th July 1894 (flowering).

Geogr. area: Most of Europe, Asia Minor to Persia, Pamir, Himalaya, Siberia.

Carex pseudofoetida Kükenth., in Mitteil. bot. Verein Thür. N. F. XV (1900) 4 (nomen solum) et in Bot. Tids., Bd. 28 (København, 1907) 225, fig. 1; Caricoideæ, in Das Pflanzenreich (1909) 115; *C. curatica* Fedtschenko, in Acta Horti Petrop. XXI (1903) 429, XXIV (1905) 346, XXVIII (1907) 123, (1909) 510; non Kunth.

Eastern *Pamir*, Little Kara-kul, in small lagoons at the eastern shore, 3720 m., 15th July 1894 (flowering).

Geogr. area: Alpine Turkestan, Pamir, Kashmir, alpine Persia, East-Siberia.

Carex stenophylla Wahlenb., in Vet. Akad. Handl. Stockholm XXIV (1803) 142; Kükenthal, Caricoideæ, in Das Pflanzenreich (1909) 120; Hemsley, in Journ. Linn. Soc. 35 (1902) 202; Fedtschenko, in Acta Horti Petrop. XXI (1903) 429, XXIV (1905) 346, XXVIII (1909) 510.

S. W. *Tibet*, on the road from Camp CCIII (Dara-sumkor, 4831 m.) to Camp CCIV (Bak-gyäyorap, 4870 m.), 16th July 1907; Inner or eastern Tibet, near Camp XI. IV, 5127 m., 15th Aug. 1901 (flowering hardly begun).

The specimens are small and the culms low and curved, they agree rather well with var. *duriuscula* (C. A. Mey.) Trautv. from Eastern Siberia and Northern China (f. *nana* Franch. Pl. David.).

Geogr. area: Eastern Europe, temperate Asia from Asia Minor to Amur and China, Rocky Mountains region of North America.

Carex Moorcroftii Falconer, apud Boott, in Trans. Linn. Soc. XX (1846) 140; Hemsley, in Journ. Linn. Soc. 35 (1902) 201; Stewart, in Bull. Torrey Bot. Club (1916) 628; *C. melanantha* C. A. Mey., var. *Moorcroftii* Kükenthal, Caricoideæ, in Das Pflanzenreich (1909) 391; ? *C. sabulosa* Hemsley and Pearson, in Peterm. Mitteil., Ergänzungsbd. 28 (1900) 375.

Northern *Tibet*, Mandarlik, 3437 m., medio July 1900 (flowering).

In spite of the low culms (9—10 cm.) I find the specimens (see Pl. II, Fig. 5) agreeing well with *C. Moorcroftii*, which is well distinguished from *C. melanantha* C. A. Mey. (syn. *C. Regelii* C. B. Clarke, in O. Fedtschenko, Fl. du Pamir, Acta Horti Petrop. XXI [1903] 430, XXIV [1905] 346) by its longer beak of the utricle and by the broadly membranous margins of the scales. Probably the record by HEMSLEY and PEARSON (l. c.) of *C. sabulosa* Turcz. from Northern Tibet, between Camp XXII and Camp XXIII, 4857 m., 27th Aug. 1896, is to be referred to the same species.

Geogr. area: Central Asiatic Mountains, especially Tibet, alpine Himalaya, Karakorum, Mongolia, Tachuen-lu, Baical area.

Carex nivalis Boott, in Trans. Linn. Soc. XX (1846) 36; G. Kükenthal, Caricoideæ, in Das Pflanzenreich (1909) 551; Meinshausen, in Acta Horti Petrop. XVIII (1901) 732, partim; Stewart, in Bull. Torrey Bot. Club (1916) 628; Fedtschenko, in Acta Horti Petrop. XXI (1903) 431.

Eastern *Pamir*, Mus-tagh-ata, Yam-bulak-bashi, 4439 m., 16th Aug. 1894 (flow.).
Geogr. area: Mountains of Inner Asia, Pamir, Tibet, alpine Himalaya, Afghanistan.

Carex atrofusca Schkuhr, Riedgr. I (1801) 106; Kükenthal, Caricoideæ, in Das Pflanzenreich (1909) 553; *C. ustulata* Wahlenb., in Vet. Akad. Handl. Stockholm, XXIV (1803) 156; Hemsley, in Journ. Linn. Soc. 35 (1902) 202; Fedtschenko, in Acta Horti Petrop. XXI (1903) 431, XXVIII (1907) 123.

Inner *Tibet*, near Camp XLIV, 5127 m., 18th Aug. 1901 (flowering).

The specimens present agree exactly with the typical plant, as it occurs in the European Alps and Scandinavia.

Geogr. area: Scandinavian Mountains, Lapponia, Alps, Pyrenees, Siberia, Central Asiatic Mountains from Turkestan to Yunnan, Arctic N. America, Greenland.

Fam. Gramineæ

(determ. by R. PILGER).

Stipa purpurea Griseb., in Goetting. Nachr. (1868) 82; Hemsley, in Journ. Linn. Soc. 35 (1902) 202.

Eastern *Tibet*, near Camp XLIV, 5127 m., 15th Aug. 1901 (flowering).

Geogr. area: Persia, Himalaya, Tibet, Mongolia.

Calamagrostis anthoxanthoides Regel, in Acta Horti Petrop. VII (1880) 640; Fedtschenko, in Acta Horti Petrop. XXI (1903) 445, XXIV (1904) 150, (1905) 351; (?) *Deyeuxia compacta* Munro, ex Duthie, Grass. N. W. Ind. 30 (nomen solum), Hook. f., Fl. Brit. Ind. VII (1897) 267; Hemsley and Pearson, in Journ. Linn. Soc. 35 (1902) 203.

Eastern *Pamir*, Yam-bulak-bashi glacier, Mus-tagh-ata, 4439 m., 17th Aug. 1894 (flowering).

Geogr. area: Trans-Altai; (*Deyeuxia comp.*) Himalaya and Mongolia.

Calamagrostis arundinacea (L.) Roth, var. *purpurascens* (R. Br. pro sp.) Gelert, in Ostenfeld, Fl. Arctica I (1902) 103; *C. purpurascens* R. Br., in Richards App. Frankl. Journ. (1823) 731; *C. arundinacea*, var. *pamirensis* Hackel, in Fedtschenko, in Acta Horti Petrop. XXI (1903) 445.

Eastern *Pamir*, at the shore of Little Kara-kul, 3720 m., 16th July 1894 (flowering; determ. C. H. Ostenfeld 1905).

Dr. PILGER says (1921) about this plant: »Die vorliegende Form steht ohne Zweifel der *C. purpurascens* sehr nahe, unterscheidet sich aber durch längere Be-

haarung der Ährchenachse (die fast die Deckspelzenlänge erreicht) und gewöhnlich höher inserierte Granne.«

Geogr. area: Northern and Central Europe, Russia, Caucasus, Siberia, N. America; (of var. *purpurascens*): Arctic Asia, Greenland, Arctic America.

Calamagrostis Hedinii Pilger, nov. spec.

Culmus (unicus mihi visus) erectus, 60 cm. fere altus, 4-nodis, glaber lævis. internodia quam vaginæ longiora, panícula longius exserta; foliorum innovatorum (ut videtur intravaginalium, in specimine haud cum culmo cohærentium) lamina glauca, rigida, erecta, anguste linearis, arcte involuta, intus et margine valde scabra, pungenti-acuta, ad 20 cm. longa, ligula membranacea, apice denticulata, ad 3 mm. longa, vagina firma, bene striata, glauca vel albescens; foliorum culmeorum lamina brevior, suprema 7 cm. longa, vagina suprema 13 cm. longa, ligula in foliis culmeis ad 5 mm. longa; panícula 9 cm. longa, densa, ambitu ovato-lanceolata, rami scabri, a basi divisi et spiculigeri, inferiores ad 4 cm. longi; spiculæ angustæ; glumæ vacuæ anguste lanceolatae, longe angustatae, inferior $\frac{2}{3}$ — $\frac{3}{4}$ superioris æquans, nervis lateralibus 2 brevibus instructa, superior 6 mm. longa, 1-nervia; pilorum corona bene evoluta, spiculam æquans; gluma florifera tenuissima 3 mm. longa, elliptica, apice denticulata, 3-nervia, ex apice tenuiter aristata, arista 1—2 mm. tantum longa; palea dimidiam glumam æquans, ovalis, brunneata, denticulata.

Northern *Tibet*, Kash-otak, Lat. 38° 3', Long. 90° 47', 2916 m., 3—20th Aug. (flowering).

Dr. R. PILGER writes: »Die neue ausgezeichnete Art kann mit *C. emodensis* Griseb. verglichen werden, bei der aber u. a. die zweispaltige Deckspelze verhältnismäßig kürzer und länger begrannt ist und die Vorspelze länger ist; *C. Stolizkai* Hook., von der ich nur die kurze Beschreibung kenne, hat nach dieser kürzere Achsenhaare und eine längere Vorspelze; die Hüllspelzen sind ungefähr gleichlang.«

Æluropus litoralis (Gouan) Parl., Fl. Ital. I (1848) 461; Ledeb., Fl. Ross. IV (1853) 369.

East-Turkestan, Yust-chapghan, Lop-nor, 817 m., 24th June 1900 (flowering).

Geogr. area: Mediterranean, Western Asia and eastwards to Turkestan and Songaria; China (var. *sinensis*).

Phragmites vulgaris (Lam.) Crép., Man. Fl. Belg. ed. 2 (1866) 345; *Ph. communis* Trin.; Hemsley, in Journ. Linn. Soc. 35 (1902) 203; Hemsley and Pearson, in Peterm. Mitteil., Ergänzungsbd. 28 (1900) 375; Stewart, in Bull. Torrey Bot. Club 43 (1916) 627; *Arundo phragmites* L.; Fedtschenko, in Acta Horti Petrop. XXI (1903) 443, XXIV (1904) 149, (1905) 350.

East-Turkestan, Usun-köl, a lake near Abdal, Lop-nor, 817 m., 23rd June 1900 (sterile); Southern Tsaidam, 2731 m., 17th Oct. 1896.

Northern *Tibet*, Mandarlik, 3437 m., 16th July 1900 (sterile); Kash-otak, Lat. $38^{\circ} 3'$, Long. $90^{\circ} 47'$, 2916 m., 3—20th Aug. 1900 (flowering).

Geogr. arca: Cosmopolitan.

Poa alpina L., Sp. pl. ed. 1 (1753) 67; Hemsley, in Journ. Linn. Soc. 35 (1902) 204; Hemsley and Pearson, in Peterm. Mitteil., Ergänzungsbd. 28 (1900) 375; Fedtschenko, in Acta Horti Petrop. XXI (1903) 440, XXIV (1905) 348.

Eastern *Pamir*, Kara-jilga, Basik-kul, 3727 m., 24th July 1894 (flowering).

Northern *Tibet*, Camp XVII, 5073 m., 1st Sept. 1896.

Geogr. arca: Arctic and alpine Europe and Asia and North America.

Poa attenuata Trin., ex Bunge, Verz. Suppl. Fl. Alt. (1836) 9; Ledeb., Fl. Ross. IV (1853) 371; Hemsley, in Journ. Linn. Soc. 35 (1902) 204; Stewart, in Bull. Torrey Bot. Club, 43 (1916) 627; Keissler, in Ann. Naturh. Hofmuseum, Wien (1907) 32; Fedtschenko, in Acta Horti Petrop. XXI (1903) 440, XXIV (1904) 146, (1905) 349; XXVIII (1907) 124.

Eastern *Pamir*, Yam-bulak-bashi glacier on Mus-tagh-ata, 4439 m., 16th Aug. 1894 (flowering).

Geogr. arca: Inner Asia, Tibet, Himalaya, Mongolia.

Poa sp.

S. W. *Tibet*, Height above the source of Tsangpo, 5015 m., 13th July 1907 (flowering just begun).

Festuca ovina L. var. *valesiaca* (Schleich.) Koch, Syn. ed. 1 (1837) 812; Hemsley and Pearson, in Peterm. Mitteil., Ergänzungsbd. 28 (1900) 375; Fedtschenko, in Acta Horti Petrop. XXI (1903) 437, XXIV (1904) 145; *F. valesiaca* Schleich.; Hemsley, in Journ. Linn. Soc. 35 (1902) 205.

Northern *Tibet*, Camp XVII, 5073 m., 1st Sept. 1896.

Geogr. arca (of var. *valesiaca*): Central and Eastern Europe, Persia, etc., also North America (Rocky Mountains).

Agropyrum Thoroldianum Oliv., in Hook. Icon. pl. (1893), tab. 2262; Hemsley, in Journ. Linn. Soc. 35 (1902) 205; Hemsley and Pearson, in Peterm. Mitteil., Ergänzungsbd. 28 (1900) 375.

Eastern *Tibet*, Camp XLIV, Lat. $33^{\circ} 32\frac{1}{2}'$, Long. $88^{\circ} 52'$, 5127 m., 18th Aug. 1901 (flowering); Northern *Tibet*, Camp XXI, 4965 m., 7th Sept. 1896.

Geogr. arca: Tibet.

Agropyrum longiaristatum Boiss., Fl. Orient. VI (1884) 660; Hemsley, in Journ. Linn. Soc. 35 (1902) 205; Hemsley and Pearson, in Peterm. Mitteil., Ergänzungsbd. 28 (1900) 375; Stewart, in Bull. Torrey Bot. Club 43 (1916) 628; Fedtschenko, in Acta Horti Petrop. XXIV (1904) 145, (1905) 347.

Eastern *Pamir*, Yam-bulak-bashi glacier on Mus-tagh-ata, 4439 m., 29th July 1894 (flowering).

Northern *Tibet*, Yapkaklik, Camp XI, Chimen-tagh, 3998 m., 22nd July 1900 (flowering); the large latitudinal valley, ca. 4800 m., autumn 1896.

Geogr. area: Afghanistan, Persia, Himalaya, Tibet; Abyssinia.

Elymus dasystachys Trin., ex Ledeb., Fl. Altaica I (1829) 120; Ledeb., Fl. Ross. IV (1853) 333; Hemsley, in Journ. Linn. Soc. 35 (1902) 205; Hemsley and Pearson, in Peterm. Mitteil., Ergänzungsbd. 28 (1900) 375; Stewart, in Bull. Torrey Bot. Club 43 (1916) 628; Keissler, in Ann. Naturhist. Hofmuseum, Wien (1907) 32; Fedtschenko, in Acta Horti Petrop. XXI (1903) 435, XXIV (1904) 144, (1905) 347, XXVIII (1907) 124.

East-*Turkestan*, Southern Tsaidam, Toghde-gol, 2731 m., 17th Oct. 1896.

Geogr. area: Altai and Baical regions, Pamir and W. Tibet.

Hordeum secalinum Schreb., Spicil. Fl. Lips. (1771) 148; *H. pratense* Rchb.: Ledeb., Fl. Ross. IV (1853) 328; Fedtschenko, in Acta Horti Petrop. XXI (1903) 423, XXIV (1904) 144, (1905) 347, XXVIII (1907) 24; *H. nodosum* »L.«; Stewart, in Bull. Torrey Bot. Club 43 (1916) 628.

East-*Turkestan*, without locality, 1900 (flowering). The name of the plant is »Yapchan«, and it occurs in many places of the Lop-nor district, as evident from names of several places, e. g. Yapchanlik-köl.

Geogr. area: Temperate and southern Europe, Caucasus, Inner and W. Asia to Tibet, N. and S. Africa, N. and S. America.

Fam. **Scheuchzeriaceæ**

(determ. by C. H. OSTENFELD).

Triglochin maritima L., Sp. pl. ed. 1 (1753) 339; Ascherson und Graebner, Syn. Mitteleurop. Fl. I (1897) 376; Stewart, in Bull. Torrey Bot. Club (1916) 626; Fedtschenko, in Acta Horti Petrop. XXI (1903) 420, XXIV (1905) 344, XXVIII (1909) 506.

Northern *Tibet*, Mandarlik, 3437 m., medio July 1900 (flowering); spring near Camp VII, Temirlik, 2992 m., 10th July 1900 (sterile).

Geogr. area: The temperate regions of North America and Eurasia, southwards to the Mediterranean, Asia Minor, Persia, Afghanistan, Pamir, Tibet, Japan; Tierra del Fuego.

Fam. **Potamogetonaceæ**

(determ. by the Rev. O. HAGSTRÖM).

Potamogeton perfoliatus L., Sp. pl. ed. 1 (1753) 126; Ascherson und Graebner, Potamogetonaceæ, in Das Pflanzenreich IV, 2 (1907) 92; Hagström, in Bot. Notis. (1905) 141; in Kgl. Sv. Vet. Akad. Handl. 55 (1916) 254.

East-*Turkestan*, Yarkand-Darya, Sorun-köl, 7th Oct. 1899.

Geogr. area: Temperate regions of the northern hemisphere; India; Australia.

Potamogeton tubulatus Hagstr. nov. sp.

Caulis tereo-subcompressus basi ramosus; anatomia: Ep. + Fasc. subep. debiliss. v. OO + O-end. + cc circ. Folia uniformia pusilloidea linearia, $35 \times 0,75$ mm., trinervia, sat valde mucronata, basi fere rotundata, biloc. Nervus medius lacunatus, laterales obscuri ab ipso apice folii sat distanter confluentes; venæ transversales perpaucae obscuræ. Ligulæ connatæ, apice rotundatæ, 5—7 mm. longæ, in intercarinali parte 5—7-nervatæ. Turiones iis *P. panormitani* simillimi, sed sine foliis patentibus. Fructus non visus.

Pamir, stagnant water and spring near Yeshil-kul, 3800 m., 2nd Sept. 1894 (sterile).

This new species is very like *P. pusillus*, but it differs in the following respects: the sheaths, the turiones, the tips of the leaf-blades with more distinct mucro, the rounded blad-bases and the anastomosing lateral nerves. From *P. panormitanus* it is more difficult to distinguish, but the sheaths are few-nerved, the turiones without patent leaves, the tips of the leaves more rounded, the leaves lacunose; the main-nerves of the leaves are of the same shape as in *P. pusillus*, and the sclerenkyma is more faintly developed, besides it has the habit of *P. pusillus*. (Note by the Rev. O. HAGSTRÖM.)

Potamogeton filiformis Pers., Synops. I (1805) 152; Ascherson und Graebner, l. c., 126; Hagström, in Kgl. Sv. Vet. Akad. Handl. 55 (1916) 14.

Eastern *Pamir*, Little Kara-kul, 3720 m., 17th July 1894 (flowering).

var. *linipes* Hagstr., in Bot. Notis. (1905) 142; in Kgl. Sv. Vet. Akad. Handl. 55 (1916) 17.

Tibet, without locality.

var. *tibetanus* Hagstr., l. c. (1905) 142; (1916) 19.

Eastern *Pamir*, Tjakk-agil, freshwater lake, 3319 m., 22nd July 1895 (sterile); spring at Bulun-kul, 3405 m., 23rd July 1895 (sterile); lower Basik-kul, 3727 m., 23rd July 1894 (flowering); Basik-kul, 3727 m., 21st July 1894 (sterile).

Northern *Tibet*, Upper Kum-köl, freshwater lake (Camp XVI), 3882 m., 28th July 1900. *Geogr. arca* (of the species): Cold and temperate regions of the northern hemisphere.

Potamogeton rostratus Hagstr., in Kgl. Sv. Vet. Akad. Handl. 55 (1916) 27.

Northern *Tibet*, Temirlik, Camp VII, 2961 m., 10th July 1900 (flowering).

Geogr. arca: Mongolia.

Potamogeton recurvatus Hagstr., in Kgl. Sv. Vet. Akad. Handl. 55 (1916) 37; *P. filiformis* Hagstr., in Bot. Notis. (1905) 141; not Pers.

S. E. *Tibet*, small somewhat brackish lake near Camp XIV, 4968 m., 28th Aug. 1896 (sterile); Eastern Tibet, Camp LXVI, in a lake, 26th Aug. 1901; lake, 4674 m., 12th Sept. 1901; Camp LXXVIII and Camp LXXIX, Naktsong-tso, a little freshwater

lake, 4636 m., 11—12th Sept. 1901 (sterile); S. W. Tibet, on the way between Camp CCIII (Dara-sumkor), 4931 m., and Camp CCIV (Bak-gyäyorap), 4870 m., the northern foot of Himalaya, 16th July 1907 (sterile).

Geogr. area: Kwen-lun, Tibet, Chakyr-kul (from Hagström, l. c.).

Potamogeton pectinatus L., Sp. pl. ed. 1 (1753) 127; Ascherson und Graebner, l. c., 212; Hagstr., in Kgl. Sv. Vet. Akad. Handl. 55 (1916) 39.

East-Turkestan, Lower Tarim, without locality, ca. 830 m., 1900 (sterile).

var. *coronatus* Hagstr., in Bot. Notis. (1905) 141; *P. pectinatus*, var. *ungulatus* Hagstr., f. *coronatus* Hagstr., in Kgl. Sv. Vet. Akad. Handl. 55 (1916) 46.

East-Turkestan, Mapik-köl, a part of Kara-koshun, 816 m., 23rd June 1900.

Geogr. area (of the species): Cosmopolitan in temperate and subtropical regions.

Ruppia maritima L., Sp. pl. ed. 1 (1753) 127; Ascherson und Graebner, l. c., 142; Hagstr., in Bot. Notis. (1905) 142.

East-Turkestan, Kellagan-ak, Atjet-bulak (locality wrongly spelled and not identifiable), salt lake, 1st July 1900 (?).

Geogr. area: Cosmopolitan in temperate and subtropical regions, mostly in brackish water.

Zannichellia palustris L., Sp. pl. ed. 1 (1753) 969; Ascherson und Graebner, l. c., 153.

var. *pedicellata* Wahlenb., in Nov. Act. Upsal. VIII (1821) 227, 254; Ascherson und Graebner, l. c., 156; *Z. pedicellata* Fr.; Hagstr., in Bot. Notis. (1905) 142.

Eastern Pamir, Upper Basik-kul, freshwater, 3720 m., 24th July 1894 (fl. and young fruits).

Eastern Tibet, Camp LXXVIII on the eastern side of Naktsong-tso, 4636 m., 11th Sept. 1901.

Geogr. area (of var. *pedicellata*): Europe, Inner Asia, Natal, (Algeria, Liu-kiu-Isles?).

Fam. Typhaceæ

(determ. by C. H. OSTENFELD).

Typha angustata Bory et Chaubard, Exp. sc. Morée II, 1 (1832) 338; P. Graebner, Typhaceæ, in Das Pflanzenreich (1900) 14.

East-Turkestan, Lop-nor, Kara-koshun, beneath Yust-chapghan, 816 m., 25th June 1900.

The specimens are sterile, and as they belong to the species-aggregate *T. angustifolia*, they are, most probably, to be referred to the above mentioned species.

Geogr. area: Eastern Mediterranean region, Abyssinia, Arabia, temperate and subtropical Asia from Asia Minor to China and Japan.

IV. Gymnospermæ.

Fam. Ephedraceæ

(determ. by OVE PAULSEN).

Ephedra Fedtschenkoæ O. Pauls. emend.—(Pl. I, Fig. 1).

E. Fedtschenkoï O. Paulsen, in Bot. Tidsskrift 26 (1904) 254; Fedtschenko, in Acta Horti Petrop. XXIV (1904) 30, (1905) 40.

Eastern *Pamir*, Mus-tagh-ata, Yam-bulak-bashi, 4439 m., 15th Aug. 1894.

The species differs from *E. Gerardiana* by thinner branchlets (not exceeding 1 mm.) and by included seed and tubillus.

Geogr. arca: Known only from Pamir.

(?) *Ephedra Przewalskii* Stapf, in Denkschr. d. Akad. d. Wiss. Wien 56 (1889) 40.

Northern *Tibet*, Bash-kurgan, south of Lop-nor, 2629 m., 5th July 1900; S. W. Tibet, hill above the source of Tsangpo, 5015 m., 13th July 1909.

Two specimens from the former locality, ab. 20 cm. high. As both are male only, the identification is not sure. The specimen from S. W. Tibet is small and perfectly sterile.

Geogr. arca: Central-Asiatic mountains, esp. Kuku-nor region.

Explanation of Plates I—VIII.

- Plate I. Fig. 1. *Ephedra Fedtschenkow* O. Pauls., from Pamir.
2. *Hedinia tibetica* (Thoms.) Ostf. nov. gen., from Tibet.
3 and 4. *Myricaria Hedinii* O. Pauls. nov. sp., from Tibet.
5. *Delphinium chrysotrichum* Finet et Gagnep., var. *pygmaeum* Ostf. nov. var., from Tibet.
- Plate II. Fig. 1. *Delphinium chrysotrichum* Finet et Gagnep., var. *pygmaeum* Ostf., petals.
2. *Delphinium candelabrum* Ostf. nov. sp., from Tibet.
3. — Ostf., petals.
4. *Polygonum peregrinatoris* O. Pauls. nov. sp., from Tibet.
5. *Carex Moorcroftii* Falconer, *forma*, from Tibet.
- Plate III. Fig. 1. *Artemisia Hedinii* Ostf. nov. sp., from Tibet.
2. *Chondrilla polydichotoma* Ostf. nov. sp., from Turkestan.
3 and 4. *Incarvillea Younghusbandii* Sprague, in fruit and in flower, from Tibet.
- Plate IV. Fig. 1. *Oxytropis Hedinii* Ulbrich, from Pamir.
2. *Acantholimon Hedinii* Ostf. nov. sp., from Pamir.
3. *Euphorbia altotibetica* O. Pauls. nov. sp., from Tibet.
4. *Myricaria prostrata* Benth. et Hook. f., from Tibet.
- Plate V. Fig. 1. *Astragalus toktjenensis* Ulbrich nov. sp., from Tibet.
2. *Oxytropis thionantha* Ulbrich nov. sp., from Tibet.
3. *Astragalus Hedinii* Ulbrich, from Tibet.
4. *Saussurea humilis* Ostf. nov. sp., from Tibet.
- Plate VI. Fig. 1 and 2. *Potentilla hololeuca* Boiss., var. *tibetica* Ostf. nov. var., from Tibet.
3 and 4. *Heraclium millefolium* Diels, in fruit and in flower, from Tibet.
5 and 6. *Pleurospermum Hedinii* Diels nov. sp., from Tibet.

- Plate VII. Fig. 1. *Pedicularis Szechuanii* O. Pauls. nov. sp., from Tibet.
 2. *Sedum dubium* O. Pauls. nov. sp., from Tibet.
 3. *Sedum stamineum* O. Pauls. nov. sp., from Tibet.

- Plate VIII. Fig. 1. *Arenaria festucoides* Benth., var. *imbricata* Edgew. et Hook. f.,
 from Tibet.
 2 and 3. *Draba gladstuzensis* Wulf., var. *heterotricha* (Lindbl.) Hook. f.,
 from Tibet and Pamir.

All the figures are reproductions from photos of herbarium specimens (the petals reproduced in Pl. II, figs. 1 and 3 have been softened in water and glycerine).

List of Illustrations in the Text.

	Page
Fig. 1. Flowers of (a) <i>Pedicularis globifera</i> Hook. f. and (b) <i>Pedicularis cheilanthifolia</i> Schrenk	43
2. Flower and leaf of <i>Pedicularis Szechuanii</i> O. Pauls.	44
3. Upper leaf and involucre of <i>Euphorbia allotibetica</i> O. Pauls.	56
4. Squama, sepal, petal and filaments of <i>Sedum dubium</i> O. Pauls.	73
5. Flower of <i>Sedum stamineum</i> O. Pauls.	74
6. Leaves of the same	74

III
MUSCI

COLLECTED BY DR. SVEN HEDIN

DETERMINED BY

V. F. BROTHERUS AND N. BRYHN

Musci.

Bryum calophyllum R. Br., Suppl. App. ad it. Parryan. (1824) 196.

var. *fontanum* V. F. Brotherus, var. nov. A typo foliis laxius areolatis marginibus erectis diagnoscenda.

Northern *Tibet*, at a spring; without exact locality; ca. 4900 m., beginning of Aug. 1900.

The main species is according to communication from Dr. V. F. BROTHERUS before known from Tibet.

Bryum Schleicheri Schwaegr., Suppl. I., P. II, 113, 73 (1816).

Northern *Tibet*, without locality (determ. V. F. BROTHERUS).

Eastern *Pamir*, spring at the S. W. shore of Little Kara-kul, 3720 m., 21st July 1894 (determ. by Dr. N. BRYHN as var. *latifolia* Schimp.).

Didymodon torphaceus (Brid.) Jur., Laubmoosfl. (1882) 100.

East-*Turkestan*, Tatlik-bulak, 1953 m., 3rd July 1900 (determ. by Dr. V. F. BROTHERUS, who adds: »forma fol. cellulis lævissimis«).

Hygrohypnum palustre (Huds.) Lindb.; *Limnobium palustre*; Hemsley and Pearson, in Peterm. Mitteil. Ergänzungsbd. 28 (1900).

Northern *Tibet*, Alikhani-gol, swamp at the eastern shore of Kurluk-nor, 2780 m., 28th Oct. 1896.

Drepanocladus fluitans (L.) Warnst., in Bot. Centralbl. Beih. XIII (1903) 404.

Southern *Pamir*, Tägirmän-su, spring east of Vaktshir, 4082 m., 14th Aug. 1895, water temp. 4.5° C (determ. Dr. N. BRYHN).

IV
BACILLARIALES AUS INNERASIEN
GESAMMELT VON DR. SVEN HEDIN
BEARBEITET VON
FRIEDRICH HUSTEDT

A. Allgemeines.

Inbezug auf die Diatomeenflora war Zentralasien bisher so gut wie unerforscht. Die eingehendste mir bekannte Arbeit, die sich speziell mit diesem Gegenstande beschäftigt, ist eine Arbeit von C. MERESCHKOWSKY, *Diatomées du Tibet*, vom Jahre 1906.¹

Eine längere Liste von Diatomeen, allerdings fast nur Ubiquisten, erwähnt R. GUTWINSKI 1903 in *De algis, praecipue diatomaccis a Dno J. Holderer anno 1898 in Asia centrali atque in China collectis*, während die Bearbeitung der Diatomeenflora des Kossogolbeckens durch E. OESTRUP, sowie die Untersuchungen über die Algenflora des Baikalsees von GUTWINSKI und DOROGOSTAISKY schon außerhalb unseres Gebietes liegen.

Es war mir deshalb sehr angenehm, von Herrn Prof. Dr. C. H. OSTENFELD in Kopenhagen zu hören, daß bei der Bestimmung der von Herrn Dr. SVEN HEDIN mitgebrachten Algen auch Bacillariaceen beobachtet worden seien, zu deren genaueren Untersuchung mir das Material zur Verfügung gestellt werden könnte. Sämtliche Proben bestanden lediglich aus Algenrasen, Chlorophyceen und Schizophyceen, und einzelnen Wasser bewohnenden Phanerogamen, die auf Papier aufgezogen und mit den anhaftenden Diatomeen also bereits seit mehr als 20 Jahren trocken aufbewahrt worden waren. Bei der Gleichförmigkeit des Materials lag die Vermutung nahe, eine ebenso einförmige als artenarme Bacillariaceenflora vorzufinden. Daß meine Untersuchung das Gegenteil beweist, liegt vor allen Dingen daran, daß die Proben in sehr verschiedenen Gebieten gesammelt sind. Unter den Standorten finden wir sowohl die Gletscherwasser des Mus-tagh-ata im Pamirhochland, wie die Salzseen am Fuße des Kwen-lun und die Salz-sümpfe der Tsaidamsteppe vertreten. Einzelne Proben sind sehr formenreich, und sie lassen darauf schließen, daß das Innere Asiens noch manches Neue und Interessante bergen wird. Leider wird es kaum möglich sein, eingehendere Sammlungen aus diesen abgelegenen Gebieten zu erhalten, so daß es dem großen Geographen als besonderes Verdienst angerechnet werden muß, auch der Kleinwelt seine Aufmerksamkeit gewidmet

¹ Abh. der »Société Impériale russe de Géographie«, 1906 (russisch, mit französischem Auszug). Ich gehe weiter unten näher auf diese Arbeit ein.

zu haben. Ich halte es daher für meine dringendste Pflicht, Herrn Dr. SVEN HEDIN und ebenso Herrn Prof. Dr. OSTENFELD auch an dieser Stelle für die Überlassung des Materials meinen verbindlichsten Dank auszusprechen.

Die von mir untersuchten Proben entstammen folgenden Standorten¹:

1. Pamir.

Reise 1894—95.

1. (36) Kleiner Kara-kul, Lagune am Oststrand, 3720 m hoch, 17. 7. 94.
2. (28) Ebenda, Quelle am Südstrand, 20. 7. 94.
3. } (37 a, b) Ebenda, Quelle am Südstrand, 6° C., 3720 m hoch, 20. 7. 94.
4. }
5. (27) Östlich vom Bassik-kul, 24. 7. 94.
6. (21) Mus-tagh-ata, Gletscherbach, 3. 8. 94.
7. (24) Ebenda, Jambulak-Gletscher, 4300 m hoch, 3. 8. 94.
8. (20) Ebenda, Gletscherbach, 5. 8. 94.
9. (25) Ebenda, Gletscherbach am Westhang, 4300 m hoch, 5. 8. 94.
10. (23) Ebenso, 5. 8. 94.
11. (22) Ebenda, Jambulak-Gletscher, 18. 8. 94.
12. (13)
13. (14) } Quellen östlich vom Jeschil-kul, 2. 9. 94.
14. (15) }
15. (16)
16. (17) Südlich vom Jeschil-kul.
17. (26) Tschakker-agil, Ost-Pamir, 22. 7. 95.
18. (31) Quelle, Bulun-kul, Ost-Pamir, 23. 7. 95.
19. (35) Ebenso.
20. (30) Kleiner See, Nordabhang des Hindu-kusch, Süd-Pamir, August 95.

2. Nord-Tibet.

Reise 1896.

21. (6) Kwen-lun (Gegend von Dalai-kurgan), 6. 8. 96.
22. (5) Ebenso.
23. (3) Ebenso, Quellsee.
24. (7) Nordabhang des Arka-tag, Quelle bei Lager X, über 5000 m hoch, 23. 8. 96.

¹ Die genaue Aufstellung dieser Liste geschah nach den Notizen des Sammlers unter Heranziehung von SVEN HEDIN, *Im Herzen von Asien* und SVEN HEDIN, *Durch Asiens Wüsten*. Die eingeklammerten Zahlen und Buchstaben beziehen sich auf die Angaben, die Prof. Dr. N. WILLE den Proben beigefügt hat. In meiner Liste habe ich die Proben nach den Standorten geordnet.

25. (12) See zwischen Lager XII und XIII (See No. 3?), 27. 8. 96.
 26. (9) See No. 5, westlich vom Lager XV [südöstlich vom Arka-tag], 30. 8. 96.
 27. (8) Ebenso.
 28. (10) See No. 18, zwischen Lager XXVI und XXVII [N-Hang des Koko-schili-Gebirges], 14. 9. 96.
 29. (11) See No. 20, Lager XXXI, 21. 9. 96.
 30. (1) Tossun-nor, Tsaidam, 26. 10. 96.
 31. (4) Sorgotsu, 30. 10. 96.
 32. (2a, b) Kuku-nor, 10. 11. 96.

3. Nord- und Mittel-Tibet.

Reise 1900—1901.

33. (61) Kara-koschun, 816 m hoch, an *Utricularia vulgaris* L., 10. 4. 1900.
 34. (P) Abdall, an *Myriophyllum spicatum* L., 22. 6. 1900.
 35. (T) Tschallpak, Atschik-Bulak, 1. 7. (1900?).
 36. (Q) Kum-köll, an *Myriophyllum*. Juli (1900?).
 37. (S) Ebenda.
 38. (A) Tattlik-Bulak, 3. 7. 1900.
 39. (L) Ghischa, Tattlik-Bulak, 3. 7. 1900.
 40. (R) Mapiék-köll, an *Utricularia vulgaris* L. (Dillpar), 23. 7. 1900.
 41. (D) Zwischen Lager XXVII und XXVIII (etwa »Chaîne v. d. Putte«), 17. 8. 1900.
 42. (I) Gebirgskette nördlich vom Selling-tso, Lager 69, 30. 8. 1901.
 43. (J) Nördlich vom Selling-tso, 31. 8. 1901.
 44. (K) Selling-tso, 5. 9. 1901.
 45. (B) W-Ufer vom Selling-tso, Lager 76, 9. 9. 1901.
 46. (G) Lager 103, 4860 m hoch, 12. 10. 1901.
 47. (E) Östlich vom Tso-ngombo, Lager 134, 25. 11. 1901.
 48. (F) Ebenda, Lager 136, mehr als 4000 m hoch, 27. 11. 1901.
 49. (H) Ebenso.
 50. (C) N-Ufer des Panggong-tso (Quelle?), Lager 146, 14. 12. 1901.
 51. (M) ? (Kasch-utak?).

Die meisten dieser Gewässer enthalten Süßwasser. Vom Sammler werden folgende Fundorte als salzhaltig bezeichnet [sämtlich in Tibet]:

See zwischen Lager XII und XIII (1896, See No. 3?),
 See No. 20, Lager XXXI (1896),
 Kuku-nor,
 Tossun-nor. Tsaidam (stark salzhaltig).

Der Salzgehalt hat naturgemäß auch auf die Diatomeenflora seinen Einfluß ausgeübt. Allen vier Proben gemeinsam ist das massenhafte Auftreten einer kleinen Form von *Cocconeis placentula*, die dem Brackwasser eigen zu sein scheint und vielleicht deshalb als besondere Varietät zu betrachten sein wird. Im Kuku-nor ist außerdem *Rhoicosphenia curvata* recht häufig. Die meisten Brackwasserformen leben jedoch im Tossun-nor; ich erwähne als typische Vertreter:

- Achnanthes brevipes* Ag.
Amphora lincolata E.
Amphiprora paludosa var. *duplex* Cl.
Navicula protracta Grun.
N. salinarum Grun.
Mastogloia Brauni Grun.
Nitzschia hungarica Grun.
Pleurosigma elongatum W. Sm.
Stauroneis salina W. Sm.
Rhopalodia musculus (Kg.) O. Müll.
Synedra pulchella (Ralfs) Kg.

Aus dem systematischen Teil dieser Arbeit geht jedoch hervor, daß die genannten Standorte wahrscheinlich nicht die einzigen sind, die salzhaltig sind, sondern daß besonders in Tibet salzige Gewässer weite Verbreitung besitzen.

Für das Untersuchungsgebiet ergab sich die Anwesenheit von 250 Formen in 196 Arten und 37 Gattungen. Im Vergleich zu andern durchforschten Gebieten muß natürlich diese Zahl als gering erscheinen. Bedenkt man aber, daß aus dem ungeheuren Gebiet nur etwa 50 Proben vorlagen und zwar fast lediglich Algenrasen, von denen ich nur, um das Originalmaterial zu schonen, äußerst geringe Teile für meine Untersuchung benutzen konnte, so sind die Ergebnisse immerhin als sehr günstig zu betrachten. Zweifellos werden uns Schlammproben, eingehendere litorale Aufsammlungen, Planktonproben weitgehendere Resultate bringen, aber wann wird uns derartiges Material aus diesen entlegenen Gebieten zur Verfügung stehen?

Die nebenstehende Tabelle gibt uns eine Übersicht über die Beteiligung der einzelnen Gattungen und die geographische Verbreitung im untersuchten Gebiet.

Wie im voraus zu erwarten war, sind die Seen Tibets bedeutend reicher an Diatomeen als die Gewässer der Hochgebirge Pamirs. Auf Tibet entfallen von den gefundenen 250 Formen 197, auf Pamir dagegen nur 116. Von den 37 Gattungen sind 9 nur in Tibet vertreten; es sind: *Coccinodiscus*, *Meridion*, *Ceratoneis*, *Pleurosigma*, *Scoliopectura*, *Diploneis*, *Amphipleura*, *Amphiprora*, *Mastogloia*. Einzelne von ihnen dürften aber als Quellenbewohner wohl noch in Pamir gefunden werden, während die halophilen Gattungen wohl auf die Seen Tibets beschränkt bleiben.

No.	Gattung	Gesamtzahl der gefundenen		Nur in Pamir		Nur in Tibet		Gemeinsam für Pamir und Tibet	
		Arten	Formen	Arten	Formen	Arten	Formen	Arten	Formen
1.	Melosira	1	1	—	—	—	—	1	1
2.	Cyclotella	6	6	2	2	3	3	1	1
3.	Coscinodiscus	1	1	—	—	1	1	—	—
4.	Tabellaria	2	2	1	1	—	—	1	1
5.	Meridion	1	1	—	—	1	1	—	—
6.	Diatoma	2	4	—	—	1	2	1	2
7.	Fragilaria	6	10	—	2	1	2	5	6
8.	Synedra	7	7	—	—	3	3	4	4
9.	Ceratoneis	1	1	—	—	1	1	—	—
10.	Eunotia	5	7	2	3	—	2	3	2
11.	Achnanthes	9	11	2	3	5	7	2	1
12.	Rhoicosphenia	1	1	—	—	—	—	1	1
13.	Cocconeis	2	2	—	—	1	1	1	1
14.	Eucoconeis	1	1	—	—	—	—	1	1
15.	Gyrosigma	2	2	—	—	1	1	1	1
16.	Pleurosigma	1	1	—	—	1	1	—	—
17.	Scoliopleura	1	1	—	—	1	1	—	—
18.	Diploneis	3	4	—	—	3	1	—	—
19.	Caloneis	5	8	—	1	3	5	2	2
20.	Neidium	7	7	2	2	4	4	1	1
21.	Pinnularia	17	18	10	11	3	4	4	3
22.	Navicula	29	36	8	13	12	17	9	6
23.	Stauroneis	9	10	2	3	5	5	2	2
24.	Anomoeoneis	2	3	—	1	—	1	2	1
25.	Amphipleura	2	2	—	—	2	2	—	—
26.	Amphiprora	1	2	—	—	1	2	—	—
27.	Mastogloia	3	7	—	—	3	7	—	—
28.	Gomphonema	9	15	—	2	3	9	6	4
29.	Cymbella	18	18	2	2	9	9	7	7
30.	Amphora	5	6	—	—	3	3	2	3
31.	Epithemia	3	7	—	1	1	4	2	2
32.	Denticula	1	3	—	—	—	2	1	1
33.	Rhopalodia	2	3	—	—	1	2	1	1
34.	Hantzschia	1	5	—	3	—	1	1	1
35.	Nitzschia	26	29	1	1	20	23	5	5
36.	Cymatopleura	1	2	—	—	—	1	1	1
37.	Surirella	3	6	1	2	1	3	1	1
Zahl der Arten		196	250	33	53	94	134	69	63
Zahl der Gattungen		37		0		9		28	

Von den größeren Gattungen sind verhältnismäßig am besten vertreten *Nitzschia*, *Cymbella*, *Pinnularia*, während die Gattung *Navicula* i. e. S. trotz ihrer großen Artenzahl nur mit 29 Species verzeichnet ist. Die Gattung *Nitzschia* besitzt ihre Hauptverbreitung in Tibet, in Pamir wurden nur sechs Arten gefunden, dabei nur eine Species, die nicht auch in Tibet lebte. Ähnlich verhält es sich mit der Gattung

Cymbella. Dagegen leben die *Pinnularien* in überwiegender Mehrzahl in Pamir. Die biologischen Verhältnisse decken sich also mit den Beobachtungen, die wir in andern Gebieten gemacht haben. Auffällig arm ist aber das Hochland von Pamir bezüglich der Gattung *Eunotia*. Soweit man aus vorliegendem Material schließen kann, bildet diese Erscheinung einen scharfen Gegensatz zu den Gebirgen Nord- und Mitteleuropas. Ebenso arm zeigen sich die Seen Tibets hinsichtlich der *Surirellen*; nur *S. ovalis* mit ihren Varietäten tritt häufiger auf. Auch das ist ein wesentlicher Unterschied zu andern durchforschten Gebieten.

Die meisten der gefundenen Formen sind Ubiquisten, doch sind einzelne Formen dabei, die eine verhältnismäßig geringe Verbreitung zu besitzen scheinen, oder doch nur selten beobachtet worden sind:

Scolioptera Peisonis Grun.
Caloneis nubicola Grun.
C. Beccariana (Grun.) Cl.
Pinnularia Hartleyana Grev.
Navicula muticopsis V. II.
N. hungarica var. *linearis* Oestr.
Stauroneis africana Cl.
St. Gregoryi Ralfs.
St. javanica Grun.
Cymbella lacustris Ag.
Amphora Schröderi Hust.
Nitzschia Kittlii Grun.
N. obtusa var. *Schweinfurthi* Grun.

Unter ihnen besitzt *Caloneis Beccariana* Grun. die geringste Verbreitung; sie muß vorläufig noch als endemisch für das Gebiet betrachtet werden.

Als endemisch sind ferner einstweilen die in dieser Arbeit neu beschriebenen Arten anzusehen:

1. *Cyclotella lacunarum* nov. spec.
2. *C. tibetana* nov. spec.
3. *Fragilaria asiatica* nov. spec.
4. *Achnanthes pamirensis* nov. spec.
5. *A. Hedinii* nov. spec.
6. *A. pinnata* nov. spec.
7. *Neidium rectum* nov. spec.
8. *N. mirabile* nov. spec.
9. *N. punctulatum* nov. spec.
10. *N. didelta* nov. spec.

11. *Pinnularia Hedini* nov. spec.
12. *P. tibetana* nov. spec.
13. *P. subborcalis* nov. spec.
14. *P. fonticola* nov. spec.
15. *Navicula subrhombica* nov. spec.
16. *N. Hedini* nov. spec.
17. *Stauroncis laticeps* nov. spec.
18. *Gomphonema Hedini* nov. spec.
19. *Cymbella tibetana* nov. spec.
20. *Amphora Ostensfeldi* nov. spec.
21. *A. geniculata* nov. spec.
22. *Nitzschia Ostensfeldi* nov. spec.
23. *N. gradifera* nov. spec.
24. *N. bacillariaformis* nov. spec.
25. *N. pseudolincaris* nov. spec.
26. *N. subvitrea* nov. spec.
27. *N. bacilliformis* nov. spec.
28. *N. iugiformis* nov. spec.
29. *N. tibetana* nov. spec.
30. *N. bacillum* nov. spec.
31. *N. regula* nov. spec.

Außer diesen Arten sind folgende Varietäten neu beschrieben:

1. *Pinnularia divergentissima* var. *capitata* nov. var.
2. *Navicula viridula* var. *pamircensis* nov. var.
4. *Hantzschia amphioxys* var. *compacta* nov. var.
5. *Nitzschia frustulum* var. *asiatica* nov. var.

Von besonderem Interesse ist die Verbreitung der halophilen Formen im Gebiet. In der folgenden Übersicht bedeutet T. = Tibet, P. = Pamir.

1. *Coscinodiscus lacustris* Grun. T.
2. *Synedra pulchella* (Ralfs) Kg. T. P.
3. *S. affinis* Kg. T.
4. *Achnanthes brevipes* Ag. T.
5. *Rhoicosphenia curvata* Kg. T. P.
6. *Pleurosigma elongatum* W. Sm. T.
7. *Scoliopleura Peisonis* Grun. T.
8. *Diploneis interrupta* Kg. T.
9. *Caloneis amphibia* Bory. T.

10. *Navicula protracta* Grun. T.
11. *N. crucicula* W. Sm. T.
12. *N. subrhombica* nov. spec. T.
13. *N. salinarum* Grun. T.
14. *N. hungarica* var. *linearis* Oestr. T.
15. *N. digito-radiata* Greg. T.
16. *N. pygmaea* Kg. T.
17. *Stauroneis africana* Cl. T.
18. *St. salina* W. Sm. T.
19. *St. Gregoryi* Ralfs. T.
20. *Anomæoneis sphaerophora* Kg. T. P.
21. *Amphipleura rutilans* Trentep. T.
22. *Amphiprora paludosa* W. Sm. T.
23. *Mastogloia Smithi* Thw. T.
24. *M. elliptica* Ag. T.
25. *M. Brauni* Grun. T.
26. *Amphora Ostenfeldi* nov. spec. T.
27. *A. lineolata* E. T.
28. *Rhopalodia musculus* (Kg.) O. Müll. T.
29. *Nitzschia hungarica* Grun. T.
30. *N. gradifera* nov. spec. T.
31. *N. obtusa* W. Sm. T.
32. *N. bacillum* nov. spec. T.
33. *Surirella ovalis* Bréb. f. *typica!* T.

Unter dieser verhältnismäßig großen Zahl sind nur drei Arten, die auch in Pamir gefunden wurden, und zwar handelt es sich um Formen, die bekanntlich gegen chemische Veränderungen des Wassers wenig empfindlich sind, als Leitformen für salzige Gewässer also kaum gelten können. Die weitaus überwiegende Mehrzahl aber lebt ausschließlich in Tibet, und durch sie besonders wird das Zahlenverhältnis der in beiden Gebieten gefundenen Diatomeen wesentlich beeinflusst.

MERESCHKOWSKY zählt in der eingangs erwähnten Arbeit 196 Formen auf, 146 Arten und 50 Varietäten, die zum größten Teil auch von mir beobachtet wurden. Auch aus seiner Arbeit geht ein überwiegendes Auftreten der Gattungen *Pinnularia*, *Nitzschia* und *Cymbella* hervor, auffällig arm ist aber seine Liste hinsichtlich halophiler Formen, die doch in Tibet so weit verbreitet sind. Am Schlusse seiner Arbeit beschreibt MERESCHKOWSKY ein neues Genus, *Dalai Lama*, mit der einzigen Art *D. tibeticus* Mer. Ich selbst habe dieses Lebewesen häufig gefunden, nicht nur in Material aus Asien, sondern überall im Süßwasser. Seine Zugehörigkeit ist

mir nicht bekannt, aber um eine Diatomee handelt es sich meines Erachtens auf keinen Fall.¹

Dem folgenden systematischen Teil liegt das Schüttsche System zugrunde unter Berücksichtigung der Cleveschen Bearbeitung der *Naviculoidea* und der von mir bereits in meiner Bearbeitung der *Bacillariales aus den Sudeten* vorgeschlagenen Änderungen. Bei den Literaturangaben habe ich mich in der Regel auf zwei Zitate beschränkt:

1. Angabe der Diagnose [nach De Toni, Syll., oder Cleve, Syn. N. D.].
2. Angabe von Abbildungen [nach V. H. Syn. oder A. S. Atl.].

Ich halte dieses Verfahren für vollkommen ausreichend und ein Zurückgreifen auf ältere Literatur überhaupt nur noch in Ausnahmefällen für nötig.

Abkürzungen.

- CARLSON, G. W. F., *Süßwasseralgen aus der Antarktis, Südgeorgien und den Falklandinseln*. 1913. Wiss. Erg. d. schwed. Südpolexp. 1901—03.
- CLEVE, P. T., *Färskvattens-Diatomaceer från Grönland och Argentinska Republiken*. Oefv. kongl. svensk. Vet. Ak. Förhandl. 1882.
- *Synopsis of the Naviculoid Diatoms*. K. Sv. Vet. Ak. Handl. 26, 27.
- DOROGOSTAÏSKY, V., *Matériaux pour servir à l'algologie du lac Baïkal et de son bassin*. Bull. de la Soc. Imp. d. Natur. de Moscou. Moscou 1905.
- GUTWINSKI, R., *Algar. report. enumeratio et diat. lacus Baikal cum isdem tatr. etc. comparatio*. La nuova Notarisa, 1891.
- *De algis præcipue diatomaccis in Asia centrali atque China collectis*. Bull. de l'acad. des sc. de Cracovie, 1903.
- HEURCK, H. VAN, *Synopsis des Diatomées de Belgique*. 1880—81.
- *Diatomées du voyage du S. Y. Belgica*. 1909. [Expéd. antarct. belge.]
- HUSTEDT, FR., *Bacillariales aus den Sudeten und einigen benachbarten Gebieten des Odrtales*. Archiv f. Hydrobiol. u. Planktkde. 1914.
- *Bacillariales* in SCHRÖDER, BR., *Zellpflanzen Ostafrikas, VI*. Hedwigia 1921.
- MERESCHKOWSKY, C., *Diatomées du Tibet*. Soc. Imp. russe d. Géogr. 1906.
- MÜLLER, O., *Bacillariaceen aus den Natrontälern von El Kab*. Hedwigia 1899.
- *Bacillariaceen aus Südpatagonien*. Engl. bot. Jahrb. 1909.
- OESTRUP, E., *Danske Diatoméer*. Kopenhagen 1910.
- *Beiträge zur Kenntnis der Diatomeenflora des Kossogolbeckens in der nordwestlichen Mongolei*. Hedwigia, Bd. 48, 1909.
- PERAGALLO, H., *Monographie du genre Pleurosigma et des genres alliés*. Le Diatomiste, vol. I.
- SCHMIDT, A., *Atlas der Diatomaceenkunde*. Leipzig 1874—1921 [Lief. 1—85].
- TONI, J. B. DE, *Sylloge Algarum omnium hucusque cognitarum*. Vol. II. Bacillariaceæ, 1—3. Patavii 1891—94.

¹ Nach freundlicher Mitteilung von Herrn Prof. Dr. OSTENFELD handelt es sich bei *Dalai Lama tibeticus* Mereschk. um Dauersporen von *Hydrurus fetidus* (Vauch.) Kirchn., einer in Bergbächen lebenden Flagellate.

B. Systematischer Teil.

A. Centricæ.

I. Discoideæ.

1. Coscinodisceæ.

a) Melosirinæ.

Gatt. **Melosira** Ag.

1. *M. granulata* (E.) Ralfs. V. H. Syn. T. 88, F. 9b. D. T. Syll. Bac. p. 1334.
Pamir: Lagune am Oststrand des Kleinen Kara-kul, in 3720 m Höhe. In Gletscherbächen des Jambulakgletschers am Mus-tagh-ata, 4300 m hoch. Tibet: Tossun-nor, Tsaidam.
In den Proben ziemlich selten und fast nur grobporige Formen, 6 Poren in 10 μ .

b) Coscinodiscinæ.

Gatt. **Cyclotella** Kg.

2. *C. comta* (E.) Kg. A. S. Atl. T. 224, F. 1—4, 13—25. D. T. Syll. Bac. p. 1353.
Pamir: Selten in Quellen östlich vom Jeschil-kul.
3. *C. lacunarum* nov. spec. Tab. IX, fig. 20.
Valvis 18—20 μ metientibus, striis marginalibus radiantibus, circiter 15 in 10 μ , alternatim longioribus brevioribusque. Aculeolis circiter 8 in 10 μ . Area centrali hyalina, irregulariter punctata, punctis nonnullis uno loco (in elevatione?) validioribus.

Hab. in lacuna prope »p. Kara-kul«, Pamir.

Sie steht *C. comta* nahe, nähert sich aber in der marginalen Streifung mehr der *C. Iris* Brun. Der Teil der mittleren Area, der durch stärkere Punktierung auffällt, scheint etwas vorgewölbt zu sein, doch konnte ich bisher keine Gürtelbandansicht erlangen, die zur sicheren Aufklärung dienen könnte.

4. *C. Kützingiana* Thw. A. S. Atl. T. 222, F. 1—7, 13, 14. D. T. Syll. Bac. p. 1358.
Tibet: Kwen-lun-Gebirge; Kara-koschun, 816 m hoch, an *Utricularia*; Mapiek-köll, an *Utricularia*.

5. *C. tibetana* nov. spec. Tab. IX, fig. 19.

Valvis 8—11 μ metientibus, striis marginalibus radiantibus, circiter 14 in 10 μ .
Aculeolis nullis. Area centrali hyalina, tribus maculis ornata, maculis valv. inf. in intervalla macularum valv. sup. positis.

Hab. ad lacum »Selling-tso«, Tibet.

Die systematische Stellung dieser Form ist einstweilen noch unsicher. Die Bildung großer Punkte oder Flecke in der Area tritt bei den Cyclotellen häufig auf, ohne daß wir bislang über ihren systematischen Wert Klarheit haben. Ähnliche Formen sind *C. Kützingiana* var. *planetophora* Fricke, A. S. Atl. T. 222, F. 4—12, und die von Fr. Fricke in A. S. Atl. T. 224, F. 38, abgebildete Form. Bei beiden Arten sind jedoch die großen Punkte in der Area unregelmäßig gestellt, während sie bei *C. tibetana* regelmäßig ein Dreieck bilden und zwar so, daß die Punkte der einen Schale auf die Zwischenräume der Punkte der andern fallen. Die erwähnte Form aus A. S. Atl. T. 224, F. 38, ist nicht benannt, da der Herausgeber sich mit der Bezeichnung *C. comta* var. *paucipunctata* Grun. nicht einverstanden erklären kann. Ich bin derselben Ansicht und halte es deshalb für richtig, vorläufig die von mir in Tibet gefundene Form neu zu benennen.

6. *C. Meneghiniana* Kg. A. S. Atl. T. 181, F. 91. T. 222, F. 22, 25—30. D. T. Syll. Bac. p. 1354.

Pamir: Tschakker-agil, Ostpamir.

Tibet: Sorgotsu; Mapiek-köll (zerstreut).

7. *C. stelligera* Cl. et Grun. A. S. Atl. T. 222, F. 48, 49. D. T. Syll. Bac. p. 1355.
Tibet: Zwischen Lager XXVII und XXVIII, 17. August 1900.

Sehr selten. Aus meinen Beobachtungen in verschiedenen Materialien geht hervor, daß auch diese Art weit verbreitet ist. Ich habe sie in Europa, Afrika, Australien und Asien gefunden, nur aus Amerika lag sie mir bisher nicht vor.

Gatt. *Coscinodiscus* E.

8. *C. lacustris* Grun. A. S. Atl. T. 225, F. 16—20. D. T. Syll. Bac. p. 1290.

Tibet: Kara-koschun, 816 m hoch, an *Utricularia*; Mapiek-köll, ebenfalls zwischen *Utricularia*.

B. Pennatæ.

II. Fragilarioideæ.

2. Tabellarieæ.

a) Tabellariinæ.

Gatt. **Tabellaria** E.

9. *T. fenestrata* (Lyngb.) Kg. A. S. Atl. T. 269, F. 11—13. D. T. Syll. Bac. p. 743.
Pamir: Gletscherbach am Westhang des Mus-tagh-ata, sehr selten.
10. *T. flocculosa* (Roth) Kg. A. S. Atl. T. 269, F. 14—19. D. T. Syll. Bac. p. 744.
Weiter verbreitet und häufiger als vorige.
Pamir: In Gletscherbächen am Mus-tagh-ata; östlich vom Bassik-kul; Tschakker-agil; Lagune am Kleinen Kara-kul; Quellen östlich vom Jeschil-kul; Quelle bei Bulun-kul.
Tibet: Zwischen Lager XXVII und XXVIII (1900); östlich vom Tso-ngombo, mehr als 4000 m hoch.

3. Meridioneæ.

Gatt. **Meridion** Ag.

11. *M. circulare* (Grev.) Ag. A. S. Atl. T. 267, F. 34—49. D. T. Syll. Bac. p. 642.
Sehr selten in einer Quelle am Nordufer des Panggong-tso (Lager 146, 1901).
Tibet.

4. Fragilarieæ.

a) Diatominæ.

Gatt. **Diatoma** D. C.

12. *D. elongatum* Ag. A. S. Atl. T. 268, F. 37—39. D. T. Syll. Bac. p. 636.
Tibet: Mapiék-köll, an *Utricularia*; Westufer des Selling-tso (Lager 76, 1901).
var. tenuis (Ag.). A. S., l. c., F. 41—46. D. T., l. c.
Häufiger als die Art.
Tibet: Abdall, an *Myriophyllum* (häufig!); Mapiék-köll, an *Utricularia*; Lager 103, 4860 m hoch; östlich vom Tso-ngombo, mehr als 4000 m hoch.
13. *D. hiemale* (Lyngb.) Heib. A. S. Atl. T. 267, F. 1—6, 12—15. D. T. Syll. Bac. p. 636.
Pamir: Quelle am Südstrand des Kleinen Kara-kul; Tschakker-agil.
Tibet: Östlich vom Tso-ngombo, über 4000 m hoch (massenhaft!); ferner in Probe M (Fundort?).

Die Schalen sind sehr robust und besaßen bei den Formen aus Tibet sämtlich auffällig stark keilförmige Enden.

var. mesodon (E.) Grun. A. S., l. c., F. 16—33. D. T., l. c., p. 637.

Pamir: In Gletscherbächen am Mus-tagh-ata; Quelle am Südstrand des Kleinen Kara-kul; Quellen östlich Jeschil-kul (häufig!); Quellen bei Bulun-kul.

Tibet: Kwen-lun-Gebirge (sehr häufig!); See No. 5, westlich von Lager XV; Kum-köll, an *Myriophyllum*; Lager 103 (1901), 4860 m hoch; östlich vom Tso-ngombo, Lager 136 (1901).

b) Fragilariinæ.

Gatt. *Fragilaria* Lyngb.

14. *Fr. capucina* Desm. A. S. Atl. T. 298, F. 14, 17—22, 30—36. D. T. Syll. Bac. p. 688.

Pamir: Quelle östlich vom Jeschil-kul.

var. lanceolata Grun. A. S., l. c., F. 12—46.

Tibet: Massenhaft in einem Gewässer im Kwen-lun-Gebirge.

Die Andeutung einer zentralen Area fehlt, doch trage ich kein Bedenken, die Form hierher zu ziehen, da dieses Merkmal großen Schwankungen unterworfen ist.

15. *Fr. asiatica* nov. spec. Tab. IX, fig. 28—30.

Frustula in fascias latas coniuncta, valvis tenuioribus, anguste-lanceolatis, apicibus \pm capitatis, area axiali angustissima, area media nulla, striis transversis parallelis.

Long. valv. 50—100 μ .

Lat. valv. 2—3 μ .

Striæ circiter 25 in 10 μ .

Hab. Tibet, inter castra XXVII et XXVIII (1900).

Steht der vorigen Art nahe, ist aber durch ihren Habitus deutlich von ihr zu unterscheiden.

16. *Fr. construens* (E.) Grun. A. S. Atl. T. 296, F. 25—29, 39—42, 44—46. D. T. Syll. Bac. p. 689.

Pamir: Massenhaft in einer Quelle bei Bulun-kul.

var. venter (E.) Grun. A. S. Atl., l. c., F. 30—33, 47. D. T., l. c.

Pamir: In Gletscherbächen am Mus-tagh-ata; Quelle südlich vom Jeschil-kul; Tschakker-agil; Quellen bei Bulun-kul (sehr häufig!).

Tibet: Sorgotsu; Mapiek-köll.

17. *Fr. Harrissoni* (W. Sm.) Grun. A. S. Atl. T. 296, F. 6—18. D. T. Syll. Bac. p. 639.
 Pamir: Quelle am Südstrand des Kleinen Kara-kul.
 Tibet: Sorgotsu (ziemlich häufig!); östlich vom Tso-ngombo mehrfach.
18. *Fr. pinnata* E. A. S. Atl. T. 297, F. 47—50, 52—54, 65—67. T. 298, F. 47—60, 66, 71—73.
 Pamir: Lagune am Oststrand des Kleinen Kara-kul [formæ minores].
 Tibet: Sorgotsu; östlich vom Tso-ngombo, Lager 134.
- var. elliptica* (Schum.) Carls. A. S., l. c. T. 297, F. 55—58, 68—72. T. 298, F. 62—64, 70, 74. D. T. Syll. Bac. p. 687.
 Pamir: Quelle am Südstrand des Kleinen Kara-kul; Gletscherbach am Mus-tagh-ata.
 Tibet: Lager 103 (1901), 4860 m hoch; mehrfach im Gebirge östlich vom Tso-ngombo.
- var. lancettula* (Schum.) Hust. A. S. Atl. T. 297, F. 51, 59—64. D. T., l. c.
 Pamir: Quelle am Südstrand des Kleinen Kara-kul; Gletscherbach am Mus-tagh-ata.
 Tibet: Östlich vom Tso-ngombo, Lager 136.
19. *Fr. intermedia* Grun. A. S. Atl. T. 297, F. 42—46. D. T. Syll. Bac. p. 639.
 Pamir: Lagune am Oststrand des Kleinen Kara-kul (häufig!).
 Tibet: Lager 103, 4860 m hoch (1901); östlich vom Tso-ngombo mehrfach.
 Eine Anlage zur Bildung eines Mittelknotens ist häufig vorhanden, meist aber nur einseitig.

Gatt. *Synedra* E.

20. *S. pulchella* (Ralfs) Kg. A. S. Atl. T. 300, F. 19—24, 26—31. D. T. Syll. Bac. p. 651.
 Im ganzen Gebiet verbreitet und meist häufig.
 Pamir: Lagune am Oststrand des Kleinen Kara-kul.
 Tibet: Tossun-nor, Tsaidam (sehr häufig!); Abdall, an *Myriophyllum*; Kumköll, an *Myriophyllum*; Tattlik-Bulak (sehr häufig!); Mapiék-köll; Westufer vom Selling-tso (sehr häufig!).
 Häufig sind Formen mit starkköpfigen Enden, die den Übergang nach *var. macrocephala* Grun. vermitteln.
21. *S. Vautheria* Kg. A. S. Atl. T. 305, F. 18—31. D. T. Syll. Bac. p. 652.
 Pamir: Quelle am Südstrand des Kleinen Kara-kul (sehr häufig!).
 Tibet: Sorgotsu; östlich vom Tso-ngombo, Lager 136.
22. *S. Ulna* (Nitzsch) E. A. S. Atl. T. 301, 302, F. 1—14, 20—22. T. 303, F. 16, 17. T. 304, F. 1—5. D. T. Syll. Bac. p. 653.
 Tibet: Sorgotsu; Mapiék-köll; Lager 103 (1901); östlich vom Tso-ngombo (sehr häufig!); Nordufer des Panggong-tso.

23. *S. biceps* Kg. A. S. Atl. T. 303, F. 9—15. Hust. Bac. Sud. p. 46.
 Pamir: Umgebung des Kleinen Kara-kul; Tschakker-agil.
 Tibet: Quellen östlich vom Jeschil-kul (häufig!); Kara-koschun; Abdall; Gebirge
 nördlich vom Selling-tso; Mapiék-köll.
 Die asiatischen Formen sind robuster und starrer als die europäischen, Ver-
 biegungen der Zellen sind sehr selten; die Verdünnung von der Mitte nach
 den Enden der Schalen ist meistens geringer.
24. *S. acus* Kg. A. S. Atl. T. 303, F. 7. D. T. Syll. Bac. p. 657.
 Pamir: Tschakker-agil.
 Tibet: Kum-köll, an *Myriophyllum*; östlich vom Tso-ngombo, Lager 134.
25. *S. capitata* E. A. S. Atl. T. 300, F. 1—9. D. T. Syll. Bac. p. 660.
 Tibet: Nur zerstreut im Mapiék-köll, an *Utricularia*.
26. *S. affinis* Kg. A. S. Atl. T. 304, F. 6—12. D. T. Syll. Bac. p. 661.
 Tibet: Kara-koschun; häufig in einer langen und schmalen Form im Mapiék-köll.

Gatt. **Ceratoneis** E.

27. *C. arcus* (E.) Kg. A. S. Atl. T. 269, F. 31—35. D. T. Syll. Bac. p. 814.
 Tibet: Sehr selten zwischen Lager XXVII und XXVIII, 17. 8. 1900.

c) **Eunotiinæ.**Gatt. **Eunotia** E.

28. *Eun. lunaris* (E.) Grun. A. S. Atl. T. 269, F. 38—44. D. T. Syll. Bac. p. 808.
 Pamir: Quelle östlich vom Jeschil-kul.
 Tibet: Mapiék-köll.
29. *Eun. pectinalis* (Dillw.?) Rbh. A. S. Atl. T. 271, F. 8, 10, 11, 15. D. T. Syll. Bac. p. 793.
 Tibet: Abdall, an *Myriophyllum*, selten.
forma minor. A. S., l. c., F. 21—23.
 Tibet: Östlich vom Tso-ngombo.
 Pamir: Gletscherbach am Mus-tagh-ata (*forma incisa*); Quelle östlich vom Jeschil-kul.
30. *Eun. tridentula* E. A. S. Atl. T. 273, F. 4—6. D. T. Syll. Bac. p. 801.
 Pamir: Gletscherbach am Westhang des Mus-tagh-ata, in 4300 m Höhe (*forma*
4-dentata).
31. *Eun. prærupta* E. A. S. Atl. T. 273, F. 12—14, 25. D. T. Syll. Bac. p. 795.
 Pamir: Quelle bei Bulun-kul, sehr selten.
 16. VI, 3.

32. *Eun. arcus* E. A. S. Atl. T. 274, F. 33—43, 45, 48—55. D. T. Syll. Bac. p. 790.
Pamir: Gletscherbach am Westhang des Mus-tagh-ata, selten.
var. bidens Grun. A. S., l. c., F. 46, 47. D. T., l. c., p. 791.
Tibet: Mapiek-köll, sehr selten an *Utricularia*.

III. Achnanthoideæ.

5. Achnantheæ.

Gatt. **Achnanthes** Bory.

Sect. *Microncis* Cl.

33. *A. minutissima* Kg. V. H. Syn. T. 27, F. 35—38. Cl. N. D. II, p. 188.
Pamir: Umgebung des Kleinen Kara-kul; Quellen östlich vom Jeschil-kul.
Tibet: Quellsee im Kwen-lun-Gebirge; Sorgotsu; Abdall; Kara-koschun; Kum-köll; Mapiek-köll (sehr häufig!); östlich vom Tso-ngombo; Nordufer des Panggong-tso.
34. *A. microcephala* Kg. V. H. Syn. T. 27, F. 20—23. Cl. N. D. II, p. 188.
Tibet: Kwen-lun-Gebirge; Mapiek-köll; östlich vom Tso-ngombo; Nordufer des Panggong-tso.
35. *A. linearis* W. Sm. V. H. Syn. T. 27, F. 31, 32. Cl. N. D. II, p. 188.
Tibet: Nordufer des Panggong-tso, Lager 146, 14. 12. 1901.
36. *A. pamirensis* nov. spec. Tab. IX, fig. 10, 11.
Valvis lanceolatis, in media parte inflatis, apicibus obtuse-rotundatis. Valva inferior raphe directa, area axiali angustissima, area centrali transversaliter dilatata, marginem valvæ attingenti. Valva superior eadem, sed area centrali latiore. Striis tenuissimis, radiantibus.
Long. valv. 25 μ .
Lat. valv. 6 μ .
Striæ circiter 32 in 10 μ .
Hab. in fonte ad lacum »Jeschil-kul«, Pamir, rarissime.
37. *A. Hedini* nov. spec. Tab. IX, fig. 12—14.
Valvis lanceolatis, in media parte sæpe leviter inflatis, apicibus late-rotundatis vel subtruncatis. Valva inferior raphe directa, area axiali lanceolata, striis marginalibus brevibus. Valva superior area hyalina latissima, lanceolata, striis marginalibus brevissimis.
Long. valv. 15—25 μ .
Lat. valv. 3—4 μ .
Striæ 23—26 in 10 μ .
Hab. Tibet, inter castra XXVII et XXVIII (1900).

Sect. *Achnanthidium* (Kg.) Heib.

38. *A. lanceolata* Bréb. V. H. Syn. T. 27, F. 8—11. Cl. N. D. II, p. 191.
Tibet: Östlich vom Tso-ngombo; Nordufer des Panggong-tso.
var. dubia Grun. V. H., l. c., F. 12, 13. Cl., l. c., p. 192.
Tibet: Östlich vom Tso-ngombo.
var. ventricosa Hust. Bac. Sud. p. 64. T. II, F. 32.
Pamir: Quelle am Südstrand des Kleinen Kara-kul.
39. *A. pinnata* nov. spec. Tab. IX, fig. 15—18.
Valvis late-ellipticis, apicibus rotundatis. Valva inferior raphe directa, area axiali angusta, area centrali nulla. Valva superior pseudoraphe angustissima. Striis radiantibus, validioribus.
Long. valv. 6—9 μ .
Lat. valv. 4—5 μ .
Striæ circiter 16 in 10 μ .
Hab. Tibet, prope lacum »Tso-ngombo«, castra CXXXIV (1901).
Diese kleine Form ähnelt bei flüchtiger Beobachtung außerordentlich der *Fragilaria pinnata*, besonders da die Raphe nicht leicht sichtbar ist.
40. *A. coarctata* Bréb. V. H. Syn. T. 26, F. 17—20. Cl. N. D. II, p. 192.
Pamir: Gletscherbach am Westhang des Mus-tagh-ata, sehr selten.
41. *A. brevipes* Ag. V. H. Syn. T. 26, F. 10—12. Cl. N. D. II, p. 193.
Tibet: Häufig im Tossun-nor, Tsaidam.

Gatt. *Rhoicosphenia* Grun.

42. *Rh. curvata* Kg. A. S. Atl. T. 213, F. 1—5. Cl. N. D. II, p. 165.
Pamir: Nur im östlichen Teile gefunden, Tschakker-agil; Quelle bei Bulun-kul.
Tibet: Kuku-nor (häufig!); Kum-köll (sehr häufig!); Mapiék-köll; östlich vom Tso-ngombo, bei Lager 134 (1901, häufig!).

6. *Cocconeidae*.Gatt. *Cocconeis* (E.) Cl.

43. *C. pediculus* E. A. S. Atl. T. 192, F. 56, 58—63. Cl. N. D. II, p. 169.
Tibet: Häufig in einer zarten Form im See No. 5 westlich vom Lager XV (südöstlich vom Arka-tag).
44. *C. placentula* E. A. S. Atl. T. 192, F. 38—51. Cl. N. D. II, p. 169.
Pamir: Umgebung des Kleinen Kara-kul (sehr häufig!); Tschakker-agil.

Tibet: Hier sehr verbreitet und oft massenhaft in einer kleinen Form. Quellsee im Kwen-lun-Gebirge; Nordabhang des Arka-tag, Quelle bei Lager X; See (No. 3?) zwischen Lager XII und XIII [*forma minor*, massenhaft!]; See No. 18, zwischen Lager XXVI und XXVII [ebenso!]; See No. 20, Lager XXXI [ebenso!]; Tossun-nor [ebenso!]; Sorgotsu; Kuku-nor [ebenso!]; Kara-koschun; Abdall [ebenso!]; Tschallpak, Atschik-bulak; Kum-köll (häufig!); Mapiek-köll; Gebiet nördlich vom Selling-tso; Lager 103 (1901); Umgebung des Tso-ngombo; Nordufer des Panggong-tso.

Gatt. **Eucoconeis** Cl.

45. *Eucocc. flexella* (Kg.) Cl. V. H. Syn. T. 26, F. 29—31. Cl. N. D. II, p. 179.
Pamir: Quellen östlich vom Jeschil-kul.
Tibet: Quellgewässer im Kwen-lun-Gebirge (häufig!); Gebirge nördlich vom Selling-tso; östlich vom Tso-ngombo.

IV. Naviculoideæ.

7. Naviculeæ.

a) Naviculinæ.

Gatt. **Gyrosigma** Hass.

46. *G. acuminatum* Kg. Perag. Pleuros. T. VII, F. 36, 37. Cl. N. D. I, p. 114.
Pamir: Tschakker-agil.
Tibet: Sorgotsu (häufig!).
47. *G. attenuatum* Kg. Perag. Pleuros. T. VII, F. 9. Cl. N. D. I, p. 115.
Tibet: Östlich vom Tso-ngombo, Lager 136 (1901).

Gatt. **Pleurosigma** W. Sm.

48. *Pl. elongatum* W. Sm. Perag. Pleuros. T. II, F. 20—21. T. III, F. 5—8. Cl. N. D. I, p. 38.
Tibet: Tossun-nor, Tsaidam, zerstreut.
Die Formen entsprechen der Abbildung Perag. III, F. 8.

Gatt. **Scoliopleura** Grun.

49. *Sc. Peisonis* Grun. A. S. Atl. T. 261, F. 12. Cl. N. D. I, p. 105.
Tibet: Westufer vom Selling-tso, Lager 76, sehr selten!

Bemerkenswerte Form, die bisher nur selten beachtet worden ist. Allgemeine Verbreitung, soweit bekannt: Europa (Neusiedler See), Amerika (Salzsee, Utah), Asien (Selling-tso).

Gatt. *Diploneis* E.

50. *D. interrupta* Kg. A. S. Atl. T. 12, F. 3—5, 11, 12. T. 69, F. 24, 25. Cl. N. D. I, p. 84.
Tibet: See (No. 3?) zwischen Lager XII und XIII [1896], sehr selten!
51. *D. elliptica* (Kg.) A. S. Atl. T. 7, F. 29, 32. Cl. N. D. I, p. 92.
Tibet: Mapiék-köll, selten.
52. *D. ovalis* (Hilse). A. S. Atl. T. 7, F. 30, 33—36. Cl. N. D. I, p. 92.
Tibet: Mapiék-köll, vereinzelt.
var. oblongella (Naeg.). Cl., l. c.
Tibet: Mapiék-köll, sehr selten.

Gatt. *Caloneis* Cl.

53. *C. fasciata* Lagst. V. H. Syn. T. 12, F. 34. Cl. N. D. I, p. 50.
Tibet: Mapiék-köll; nördlich und westlich vom Selling-tso; östlich vom Tso-
ngombo; Nordufer des Panggong-tso.
54. *C. silicula* (E.) Cl. N. D. I, p. 51.
var. alpina Cl., l. c. V. H. Syn. T. 12, F. 21.
Tibet: Mapiék-köll, sehr selten.
Ist in den Gebirgen Nordeuropas sehr verbreitet.
var. genuina Cl., l. c. V. H., l. c., F. 18.
Pamir: Quelle am Südstrand des Kleinen Kara-kul.
Tibet: Mapiék-köll; nördlich vom Selling-tso.
- var. inflata* Grun. Cl., l. c. V. H., l. c., F. 20.
Tibet: Quellfluß im Kwen-lun-Gebirge, sehr selten.
Die Schalen sind im Verhältnis etwas schmaler, als von Cleve angegeben
wird: 46,5 μ :8,5 μ .
- var. ventricosa* Donk. Cl., l. c., p. 52. V. H., l. c., F. 24.
Pamir: Östlich vom Bassik-kul, zerstreut.
55. *C. rubicola* Grun. Cl. N. D. I, p. 53. O. Müll. Bac. Patag. p. 12, T. 1, F. 12.
Pamir: Lagune am Oststrand des Kleinen Kara-kul; Gletscherbäche am Mus-
tagh-ata (häufig in Probe 10 [23]).
Tibet: See (No. 3?) zwischen Lager XII und XIII (1896); Kum-köll; Mapiék-
köll; Umgebung des Selling-tso (häufig bei Lager 76); östlich vom Tso-
ngombo.
Grunow erwähnt diese Form zuerst aus Turkestan in der Tafelerklärung zu
T. XII in V. H. Syn., gibt aber weder Diagnose noch Abbildung. O. Müller
fand sie später in Patagonien und gab auch die oben zitierte Abbildung.

Meine Standortsangaben zeigen, daß diese Form in Innerasien weit verbreitet ist. Die asiatischen Formen haben jedoch weniger stark radiale Streifung, als Müller sie in seiner Figur gibt, die Streifen stehen fast senkrecht zur Raphe. Die Schalenränder sind meistens vollständig parallel, wellige Verbiegungen treten nur vereinzelt und dann gewöhnlich ziemlich schwach auf. Jedenfalls sind sie sekundärer Natur und kommen als Artmerkmal kaum in Betracht. Wenn Grunow sie als spezifisch für die Art hinstellt, so erklärt sich das eben daraus, daß ihm bei Aufstellung seiner neuen Form nur einzelne Individuen vorgelegen haben, die zur Begrenzung des Formenkreises nicht ausreichen.

56. *C. Beccariana* (Grun.) Cl. N. D. I. p. 50. T. VI, F. 7.

Tibet: Abdall, an *Myriophyllum*, sehr selten!

Bemerkenswerte Form, bisher nur aus Asien bekannt.

57. *C. amphibana* Bory. A. S. Atl. T. 271, F. 29, 32. Cl. N. D. I. p. 58.

Tibet: Tossun-nor, Tsaidam; Westufer vom Selling-tso; östlich vom Tso-ngombo.

Gatt. **Neidium** Pfitz.

58. *N. bisulcatum* (Lagst.). A. S. Atl. T. 49, F. 15, 17. Cl. N. D. I. p. 68.

Tibet: Östlich vom Tso-ngombo, Lager 136 (1901).

59. *N. rectum* nov. spec. Tab. IX, fig. 23.

Valvis lineari-ellipticis, medio subconstrictis, apicibus late rotundatis. Area axiali angusta, area centrali rectangulari. Striis radiantibus, in media parte valvæ brevioribus, distincte punctatis.

Long. valv. 48 μ .

Lat. valv. 9 μ in media parte, sub apicibus 10 μ .

Striæ 18 in 10 μ .

Hab. Tibet, inter castra XII et XIII [lac. No. 3?].

Steht in gewisser Hinsicht dem *N. bisulcatum* nahe, unterscheidet sich aber wesentlich durch die viel gröbere Struktur und die Form der Area.

60. *N. mirabile* nov. spec. Tab. IX, fig. 21.

Valvis lineari-ellipticis, marginibus subparallelis, apicibus rotundatis. Area axiali angusta, area centrali rectangulari. Raphe cum fissuris centralibus diversis, altera recurvata, altera recta. Striis radiantibus, in media parte valvæ brevioribus, distinctissime punctatis.

Long. valv. 34 μ .

Lat. valv. 7—8 μ .

Striæ 13 in 10 μ .

Hab. Tibet, prope lacum »Selling-tso«, castra LXXVI.

Auch diese Art besitzt die Form von *N. bisulcatum*, hat aber noch größere Struktur als die vorige Art. Besonders eigentümlich sind die inneren Endspalten der Raphe. Während der eine Porus einen halbkreisförmig zurückgebogenen Spalt besitzt, ist der Spalt des gegenüberliegenden Porus kommaförmig seitlich abgebogen, aber nicht zurückgekrümmt.

61. *N. Iridis* (E.). A. S. Atl. T. 49, F. 2, 3. Cl. N. D. I, p. 69.

Pamir: Quelle östlich vom Jeschil-kul (*formae minores*).

Tibet: Westufer vom Selling-tso.

62. *N. affine* (E.).

var. amphirhynchus (E.). A. S. Atl. T. 49, F. 27—30. Cl. N. D. I, p. 68.

Pamir: Gletscherbäche am Mus-tagh-ata (*forma minor*), ziemlich selten.

63. *N. punctulatum* nov. spec. Tab. IX, fig. 24.

Valvis elliptici-lanceolatis, marginibus subundulatis, apicibus subrostratis, obtuse-rotundatis. Area axiali angusta, area centrali rectangulari. Striis radiantibus, in media parte valvæ brevioribus, distinctissime punctatis.

Long. valv. 50 μ .

Lat. valv. 14 μ .

Striæ 16 in 10 μ .

Hab. in aquis gelidis montis »Mus-tagh-ata«, Pamir.

Ähnelt bisher bekannten Formen aus den Formenkreisen des *N. affine* und *N. Iridis*. Von *N. affine* besonders durch die größere Struktur, von *N. Iridis* durch die regelmäßige, nicht schiefe Streifung verschieden. Obgleich ich noch unsicher über den systematischen Wert dieser Form bin, habe ich sie doch vorläufig als Art benannt, da mir die systematischen Verhältnisse innerhalb der Gattung *Nocidium* noch wenig geklärt zu sein scheinen. Vielleicht sind mehrfach Formen zusammengeworfen, die bei flüchtiger Beobachtung einander zwar gleichen, aber bei genauerer Betrachtung doch wesentliche Unterschiede aufweisen.

64. *N. didelta* nov. spec. Tab. IX, fig. 22.

Valvis lineari-lanceolatis, in media parte transversaliter constrictis, apicibus cuneatis; area axiali angusta, area centrali transversa, rectangulari; striis radiantibus, distincte punctatis; lineis longitudinalibus pluribus.

Long. valv. 46 μ .

Lat. valv. 14 μ (in media parte), 17 μ (in inflat.).

Striæ circiter 11 in 10 μ .

Hab. inter castra XXVII et XXVIII, Tibet, rarissime.

N. didelta ist durch Form und Struktur genügend von den übrigen Arten dieses Genus unterschieden. Die Form erinnert an viele Arten der Gattung

Diploneis. Man könnte sie aus dem Formenkreise des *N. Iridis* ableiten, und zwar als konstrikte Variation des *N. amphigomphus* E. Auf Grund der größeren Struktur, der regelmäßigeren Streifung, verbunden mit anderen Größenverhältnissen, trenne ich sie als besondere Art ab.

Gatt. **Pinnularia** E.

1. *Gracillima*.

65. *P. gracillima* Greg. A. S. Atl. T. 313, F. 13. Cl. N. D. II, p. 74.

Pamir: Gletscherbach am Mus-tagh-ata [No. 6 (21)].

Die Zentralarea war stauroid!

66. *P. undulata* Greg. A. S. Atl. T. 313, F. 14, 17. Cl. N. D. II, p. 74.

Pamir: Gletscherbach am Mus-tagh-ata [No. 10 (23)].

Tibet: Östlich vom Tso-ngombo, Lager 136.

Die tibetanische Form besaß eine sehr breite, bis an den Rand reichende Zentralarea!

67. *P. sublinearis* Grun. V. H. Syn. T. 6, F. 25, 26. Cl. N. D. II, p. 74.

Tibet: Kwen-lun-Gebirge, ebenfalls mit in der Mitte auf einem schmalen Raume unterbrochener Streifung!

2. *Capitata*.

68. *P. subcapitata* Greg. A. S. Atl. T. 44, F. 53, 55. T. 45, F. 59, 60. Cl. N. D. II, p. 75.

Pamir: Gletscherbach am Mus-tagh-ata.

3. *Divergentes*.

69. *P. divergentissima* Grun. A. S. Atl. T. 313, F. 15, 16. Cl. N. D. II, p. 77.

Tab. IX, fig. 6.

Tibet: See No. 5, westlich vom Lager XV, südöstlich vom Arka-tag; östlich vom Tso-ngombo, Lager 134. Selten.

var. capitata nov. var. Tab. IX, fig. 7.

Valvis lanceolatis, apicibus capitatis. Long. 18—20 μ ; lat. 4 μ . Striæ 13—14 in 10 μ .

Gletscherbach am Jambulak-Gletscher, Mus-tagh-ata, Pamir.

70. *P. Hedini* nov. spec. Tab. IX, fig. 1.

Valvis lineari-ellipticis, in media parte tumidis, apicibus inflatis, capitatis, late rotundatis. Raphe directa, poris centralibus inter se distantibus, poris terminalibus sigmatoideis. Costis divergentissimis, in media valvarum parte radiantibus, apices versus convergentibus.

Long. valv. circiter 80 μ .

Lat. valv. 12 μ .

Costæ 7—8 in 10 μ .

Hab. in aquis gelidis montis »Mus-tagh-ata«, Pamir.

P. Hedinii wiederholt gleichsam in großem Maßstabe die viel kleinere *P. divergentissima*, besonders deren *var. capitata*. Auffällig sind neben der stark divergierenden Streifung die weit voneinander entfernten Zentralporen und die S-förmig gekrümmten Polspalten. Eine Verbindung oder Verwechslung mit einer andern *Pinnularia* ist dadurch ausgeschlossen.

71. *P. microstauron* (E.). A. S. Atl. T. 44, F. 14, 16, 34, 35. T. 45, F. 31—34. Cl. N. D. II, p. 77.

Pamir: Gletscherbach am Mus-tagh-ata.

Tibet: See No. 5, westlich vom Lager XV.

72. *P. Brebissoni* (Kg.). A. S. Atl. T. 44, F. 17, 18, 24—26. Cl. N. D. II, p. 78.

Pamir: In Gletscherbächen am Mus-tagh-ata häufig; Umgebung des Kleinen Kara-kul; Quelle östlich vom Jeschil-kul; Tschakker-agil.

Tibet: Sorgotsu; Westufer vom Selling-tso; Nordufer des Panggong-tso; Mapiék-köll.

Die Formen aus Pamir sind kräftig entwickelt und zeigen häufig leicht-geschnäbelte Enden.

73. *P. tibetana* nov. spec. Tab. IX, fig. 3—5.

Valvis robustis, lineari-ellipticis, apicibus late rotundatis. Raphe directa, poris centralibus inter se distantibus. Area axiali distincta, \pm lata, area centrali magna, irregulariter rotundata. Costis radiantibus, apices versus convergentibus.

Long. valv. 45—100 μ .

Lat. valv. 15—17 μ .

Costæ 10—13 in 10 μ .

Hab. ad lacum »Selling-tso«, Tibet.

P. tibetana steht der *P. Brebissoni* nahe, ist aber wesentlich robuster. Bei den großen Formen sind die Enden leicht vorgezogen, bei den kürzeren, aber relativ breiteren sind die Schalenenden schwach keilförmig verschmälert. Die Zentralporen stehen voneinander entfernt, doch nicht so auffällig wie bei *P. Hedinii*. Die Axialarea ist gewöhnlich ziemlich weit, immer aber scharf begrenzt. Die Zentralarea ist meistens unsymmetrisch ausgebildet, indem eine Seite mehr gerundet, die andere dagegen eckig ausgeschnitten ist.

74. *P. Hartleyana* Grev. A. S. Atl. T. 313, F. 1, 2. Cl. N. D. II, p. 80.

Pamir: Gletscherbach am Mus-tagh-ata, sehr selten.

Bisher nur aus Afrika und Amerika bekannt. Die asiatischen Formen sind kleiner, 100:15 μ ; doch habe ich bereits in A. S. Atl. eine kürzere Form (Fig. 1, 185 μ) neben einer sehr großen von etwa 320 μ (Fig. 2) abgebildet.

4. *Distantes*.

75. *P. borcalis* E. A. S. Atl. T. 45, F. 15—21. Cl. N. D. II, p. 80.

Pamir: Gletscherbach des Mus-tagh-ata, selten.

76. *P. subborcalis* nov. spec. Tab. IX, fig. 8, 9.

Valvis linearibus, apicibus \pm cuneatis. Raphe directa, area axiali angusta, area centrali rectangulari, marginem valvæ attingenti. Costis paulo inter se distantibus, radiantibus, apices versus paulo convergentibus.

Long. valv. 25 μ .

Lat. valv. 5—6 μ .

Costæ 10—11 in 10 μ .

Hab. in aquis gelidis montis »Mus-tagh-ata«, Pamir.

Steht *P. borcalis* sowohl als auch der *P. intermedia* nahe. Die Streifen sind jedoch kaum voneinander getrennt, so daß diese Art den Übergang nach der vorhergehenden Gruppe bildet, und das noch umsomehr, als auch die Richtung der Rippen bei *P. subborcalis* eine größere Divergenz aufweist als bei den beiden andern Arten. Charakteristisch sind auch die keilförmigen, oft geradezu spitzen Pole, die allerdings auch in geringerem Grade bei *P. borcalis* vorkommen.

77. *P. lata* Bréb. A. S. Atl. T. 45, F. 5, 8. Cl. N. D. II, p. 81.

Pamir: Gletscherbach des Mus-tagh-ata, sehr selten.

5. *Tabellaricæ*.

78. *P. fonticola* nov. spec. Tab. IX, fig. 2.

Valvis lineari-ellipticis, apicibus late rotundatis; raphe directa, area axiali lineari, angusta; area centrali subquadrangulari, parva. Costis radiantibus, apices versus transversis vel leviter convergentibus, in apicibus absentibus.

Long. valv. 85 μ .

Lat. valv. 15 μ .

Costæ 6—7 in 10 μ .

Hab. in fonte prope »p. Kara-kul«, Pamir [3720 m altit., 6° C. temper.].

Kann als Bindeglied zwischen den *Tabellaricæ* und den *Distantes* angesehen werden. Auffällig sind die strukturlosen Apices.

79. *P. stomatophora* Grun. A. S. Atl. T. 44, F. 27—29. Cl. N. D. II, p. 83.

Pamir: Gletscherbach des Mus-tagh-ata, selten.

6. *Maiores*.

80. *P. dactylus* E. A. S. Atl. T. 42, F. 1, 3, 4, 6. Cl. N. D. II, p. 90.
Tibet: Östlich vom Tso-ngombo, Lager 134 (1901), sehr selten.

7. *Complexa*.

81. *P. viridis* Nitzsch. A. S. Atl. T. 42, F. 11—14, 19, 21—23. Cl. N. D. II, p. 91.
Pamir: Umgebung des Kleinen Kara-kul; Gletscherbäche am Mus-tagh-ata.

Gatt. *Navicula* Bory.Sect. *Orthosticha* Cl.

82. *N. cuspidata* Kg. Cl. N. D. I, p. 109. A. S. Atl. T. 211, F. 31, 34—38.
Tibet: Sorgotsu; See No. 5, westlich vom Lager XV; Kum-köll; Mapiek-köll;
Westufer vom Selling-tso (auch Craticularformen!).

Sect. *Mesoleia* Cl.

83. *N. minima* Grun. Cl. N. D. I, p. 128. V. H. Syn. T. 14, F. 15, 16.
Pamir: Jambulak-Gletscher am Mus-tagh-ata, 4300 m hoch.
84. *N. binodis* E. A. S. Atl. T. 297, F. 93, 94. Cl. N. D. I, p. 129.
Tibet: Östlich vom Tso-ngombo, Lager 136, zerstreut.
85. *N. mutica* Kg.
var. Goepfertiana Bleisch. V. H. Syn. T. 10, F. 18, 19. Cl. N. D. I, p. 129.
Pamir: Gletscherbach am Mus-tagh-ata.
var. Colni (Hilse). V. H., l. c., F. 17. Cl., l. c.
Tibet: See No. 5, westlich vom Lager XV.
var. nivalis (E.) Hust. V. H., l. c., F. 21. Cl., l. c., p. 130.
Pamir: Gletscherbach am Mus-tagh-ata.
86. *N. muticopsis* V. H. Diat. Exp. Antarct. Belge, p. 12, T. 2, F. 181. Carls. Süß-
wasseralg. Antarct., p. 14, T. 1, F. 19—21.
Pamir: Gletscherbach am Mus-tagh-ata, selten.
Bisher nur aus antarktischen Gebieten bekannt!
87. *N. pupula* Kg. V. H. Syn. T. 13, F. 15, 16. Cl. N. D. I, p. 131.
Pamir: Kleiner Kara-kul, Lagune am Oststrand.
Tibet: Sorgotsu; östlich vom Tso-ngombo, Lager 136.

Sect. *Entoleia* Cl.

88. *N. contenta* Grun.
forma biceps Grun. Cl. N. D. I, p. 132. V. H. Syn. T. 14, F. 31b.
Pamir: Gletscherbach am Mus-tagh-ata.

Sect. *Bacillares* Cl.

89. *N. pseudobacillum* Grun. V. H. Syn. T. 13, F. 9. Cl. N. D. I, p. 137.
Pamir: Tschakker-agil, sehr selten.

Sect. *Decipientes* Cl.

90. *N. protracta* Grun. Cl. N. D. I, p. 140. V. H. Syn. T. Suppl. B, F. 27.
Tibet: Tossun-nor; See No. 5, westlich vom Lager XV; zwischen Lager XXVII
und XXVIII; zerstreut. Halophile Form!
91. *N. crucicula* W. Sm. Cl. N. D. I, p. 139. A. S. Atl. T. 299, F. 24, 25.
Tibet: Mapiek-köll, sehr selten. Ebenfalls halophile Form!

Sect. *Microstigmatica* Cl.

92. *N. subrhombica* nov. spec. Tab. IX, fig. 40, 41.
Valvis convexis, elliptici-lanceolatis, apicibus subapiculatis; striis transversis
parallelis, tenue punctatis; area axiali nulla, area centrali minima. Frustula
cum copulis pluribus.
Long. valv. 40—50 μ .
Lat. valv. 10—12 μ .
Striae circiter 14—16 in 10 μ .
Hab. in lacu »Tossun-nor«, Tibet, in aqua subsalsa.

Sie steht *N. (Libellus) rhombica* Greg. und *N. (L.) Grevillei* Ag. nahe. Der Hauptunterschied liegt in der Lage der Endporen. Sie stehen bei den eben genannten Formen von den Apices entfernt, während sie bei *N. subrhombica* nahe der äußersten Spitze liegen. Sie erscheinen daher in der Gürtelansicht als kleine Knötchen (Endknoten) dicht vor dem verdickten Rande des Schalenmantels, sind aber von der Valvarseite nicht zu erkennen. Außerdem ist die Streifung bei *N. subrhombica* durchweg parallel und gröber als bei den verwandten Formen.

Sect. *Heterostichæ* Cl.

93. *N. cocconeiformis* Greg. V. H. Syn. T. 14, F. 1. Cl. N. D. II, p. 9.
Pamir: Gletscherbäche am Mus-tagh-ata, sehr zerstreut.
94. *N. Hedini* nov. spec. Tab. IX, fig. 36.
Valvis ellipticis, in media parte inflatis, apicibus protractis, capitatis, late
rotundatis vel subtruncatis; area axiali angustissima, area centrali parva;
raphe poris medianis approximatis, poris terminalibus in directionibus diversis;
striis tenuissimis, radiantibus, apices versus convergentibus, circum nodulum
centralem validioribus, alternatim longioribus brevioribusque.

Long. valv. 38—42 μ .
 Lat. valv. 8—9 μ .
 Striæ circiter 36 in 10 μ .
 Hab. Mapiék-köll, Tibet.

Eine durch Form und Struktur ausgezeichnete Art und mit keiner bekannten *Navicula* zu verwechseln.

Sect. *Lineolata* Cl.

95. *N. cryptocephala* Kg. Cl. N. D. II, p. 14. A. S. Atl. T. 272, F. 35—37.
 Pamir: Gletscherbach am Mus-tagh-ata.
 Tibet: Sorgotsu (häufig); Gebiet nördlich vom Selling-tso.
var. intermedia Grun. V. H. Syn. T. 8, F. 10.
 Pamir: Tschakker-agil, häufig.
96. *N. salinarum* Grun. Cl. N. D. II, p. 19. A. S. Atl. T. 272, F. 38, 39.
 Tibet: Tossun-nor; zwischen Lager XXVII und XXVIII (1900); Westufer vom Selling-tso, Lager 76 (1901). Halophile Form!
97. *N. rhynchocephala* Kg. Cl. N. D. II, p. 15. V. H. Syn. T. 7, F. 31.
 Pamir: Quelle östlich vom Jeschil-kul.
 Tibet: Tossun-nor; Sorgotsu; östlich vom Tso-ngombo.
98. *N. viridula* Kg. Cl. N. D. II, p. 15. V. H. Syn. T. 7, F. 25.
 Tibet: Sorgotsu.
var. pamirensis nov. var. Tab. IX, fig. 37.
 Differt a typo apicibus non protractis areaque centrali parva.
 Hab. in lacuna prope »p. Kara-kul«, Pamir.
99. *N. hungarica* Grun. Cl. N. D. II, p. 16.
 Pamir: Lagune am Oststrand des Kleinen Kara-kul, selten.
var. capitata (E.). Cl. l. c. A. S. Atl. T. 272, F. 41—43.
 Tibet: Sorgotsu, häufig.
var. linearis Oestr. Danske Diat., p. 79. T. II, F. 53.
 Tibet: Tossun-nor, Tsaidam, Brackwasser, nicht selten. Tab. IX, fig. 32, 33.
 Die Form ist bisher nur aus Dänemark bekannt, wo sie von E. OESTRUP aufgefunden wurde, und zwar ebenfalls im Brackwasser. Obgleich sie die eigenartigen verdickten Streifen vor den Polen besitzt wie *N. hungarica*, so möchte ich sie doch lieber als eigene Art ansehen.¹

¹ Während des Druckes dieser Arbeit fand ich diese Form auch in Material aus dem Kampsee bei Treptow!

100. *N. cincta* E. Cl. N. D. II, p. 16. A. S. Atl. T. 299, F. 26—30.
Tibet: See No. 20 bei Lager XXXI (1896); Sorgotsu (häufig); Mapiek-köll;
Westufer vom Selling-tso.
var. Heuffleri Grun. Cl., l. c. V. H. Syn. T. 7, F. 15.
Tibet: See No. 5, westlich vom Lager XV (1896).
101. *N. radiosa* Kg. Cl. N. D. II, p. 17. A. S. Atl. T. 47, F. 50—52.
Pamir: Lagune am Oststrand des Kleinen Kara-kul; Tschakker-agil; Quelle
bei Bulun-kul.
Tibet: Abdall; Kara-koschun; Mapiek-köll; Lager 103. Meist ziemlich häufig.
102. *N. tuscula* E. Cl. N. D. II, p. 19. A. S. Atl. T. 272, F. 23—27.
Pamir: Lagune am Oststrand des Kleinen Kara-kul; Quelle östlich vom
Jeschil-kul, selten.
103. *N. Reinhardti* Grun. Cl. N. D. II, p. 20. A. S. Atl. T. 272, F. 1—6.
Tibet: Ziemlich häufig bei Lager 136, östlich vom Tso-ngombo, sonst nicht
gesehen.
104. *N. digito-radiata* Greg. Cl. N. D. II, p. 20. V. H. Syn. T. 7, F. 4.
Tibet: Östlich vom Tso-ngombo, Lager 136 [häufig]; ferner in Probe 51 (M).
Bemerkenswertes Vorkommen dieser sonst nur im Brackwasser oder im
Meere gefundenen Form. Die asiatischen Exemplare stimmen aber genau
mit denen anderer Standorte überein, so daß an eine neue Art nicht zu
denken ist. Auch mit *N. Reinhardti* sind sie nicht zu verbinden.
105. *N. oblonga* Kg. Cl. N. D. II, p. 21. A. S. Atl. T. 47, F. 63—68.
Pamir: Quelle östlich vom Jeschil-kul.
Tibet: Mapiek-köll; östlich vom Tso-ngombo bei Lager 134.
106. *N. dicephala* (E.) W. Sm. Cl. N. D. II, p. 21. V. H. Syn. T. 8, F. 33, 34.
Pamir: Lagune beim Kleinen Kara-kul.
Tibet: Sorgotsu.
107. *N. anglica* Ralfs. Cl. N. D. II, p. 22. V. H. Syn. T. 8, F. 29, 30.
Tibet: Östlich vom Tso-ngombo, Lager 136.
108. *N. gastrum* E. Cl. N. D. II, p. 22. A. S. Atl. T. 272, F. 9—19.
Pamir: Quelle am Südstrand des Kleinen Kara-kul (*forma minor*); Gletscher-
bach am Mus-tagh-ata.
109. *N. exigua* Greg. Cl. N. D. II, p. 23. V. H. Syn. T. 8, F. 32.
Pamir: Lagune am Kleinen Kara-kul.
- Sect. *Lyratae* Cl.
110. *N. pygmaea* Kg. Cl. N. D. II, p. 65. A. S. Atl. T. 70, F. 7.
Tibet: Tossun-nor, Tsaidam.

Gatt. **Stauroneis** E.

111. *St. africana* Cl. N. D. I, p. 145.
Tibet: Abdall, an *Myriophyllum spicatum* L., sehr selten.
Die von mir gefundene Form ist etwas schlanker als bei Cleve angegeben ist.
Sie nähert sich in dieser Beziehung noch mehr der *St. constricta* (E.) W. Sm.
112. *St. salina* W. Sm. Cl. N. D. I, p. 145. V. H. Syn. T. X, F. 16.
Tibet: Tossun-nor, sehr zerstreut.
Schalen 40 μ lang, Pole stumpfer als in V. H.s Zeichnung.
113. *St. Gregoryi* Ralfs. Cl. N. D. I, p. 145. V. H. Syn. Suppl. A, F. 4.
Tibet: See (No. 3?) zwischen Lager XII und XIII (1896); See No. 20 bei Lager XXXI (1896).
Wie die beiden vorigen Arten halophil!
114. *St. anceps* E.
var. amphicephala Kg. Cl. N. D. I, p. 148. A. S. Atl. T. 242, F. 10.
Pamir: Gletscherbäche am Mus-tagh-ata; Quelle am Südstrand des Kleinen Kara-kul; Quelle östlich Jeschil-kul.
Tibet: Nördlich vom Selling-tso; östlich vom Tso-ngombo.
var. argentina Cl. N. D. I, p. 148. Cl. Diat. Grönl. Argent. T. 16, F. 4.
Pamir: Häufig in Gletscherbächen am Mus-tagh-ata.
Schalen weniger lanzettlich als bei Cleve angegeben, im Umriß mehr elliptisch.
115. *St. laticeps* nov. spec. Tab. IX, fig. 27.
Valvis lineari-ellipticis, marginibus subparallelis, paulo convexis, apicibus late protractis, capitatis, truncatis; area axiali angusta, area centrali lata, transversaliter usque ad marginem dilatata; striis tenuissimis, subradiantibus, apices versus subconvergentibus.
Long. valv. 30 μ .
Lat. valv. 7—8 μ .
Striæ circiter 33 in 10 μ .
Hab. prope lacum »Selling-tso«, Tibet.
Infolge der wesentlich abweichenden Form wohl von *St. anceps* zu trennen.
116. *St. Phœnicenteron* E. Cl. N. D. I, p. 148. A. S. Atl. T. 242, F. 16.
Pamir: Tschakker-agil.
117. *St. parvula* Grun. Cl. N. D. I, p. 149.
Tibet: Östlich vom Tso-ngombo, bei Lager 136.
118. *St. Smithi* Grun. Cl. N. D. I, p. 150. A. S. Atl. T. 241, F. 13.
Pamir: Gletscherbach am Jambulak-Gletscher des Mus-tagh-ata.
Tibet: Kwen-lun-Gebirge, bei Dalai-kurgan.

119. *St. javanica* Grun. Cl. N. D. I, p. 150. A. S. Atl. T. 241, F. 3.
Pamir: Quelle am Südstrand des Kleinen Kara-kul; häufig in den Gletscherbächen am Mus-tagh-ata.

Gatt. **Anomæoneis** Pftz.

120. *A. exilis* (Kg.) Grun. Cl. N. D. II, p. 8. V. H. Syn. T. 11, 12.
Pamir: Gletscherbach am Westhang des Mus-tagh-ata.
Tibet: Mapiék-köll, an *Utricularia*.
121. *A. sphaerophora* Kg. Cl. N. D. II, p. 6. A. S. Atl. T. 49, F. 49—51.
Tibet: Kara-koschun; Mapiék-köll; Westufer vom Selling-tso bei Lager 76.
var. Güntheri O. M. *f. truncata* O. Müll. El Kab, p. 302. T. 12, F. 8, 9.
Pamir: Östlich vom Bassik-kul.
Stimmt in Form und Struktur genau mit Müllers Angaben überein, ist aber viel größer, 65 μ lang, 32 μ breit (nach Müller 26—33 μ : 13—14 μ).

Gatt. **Amphipleura** Kg.

122. *A. pellucida* Kg. Cl. N. D. I, p. 126. V. H. Syn. T. 17, F. 14, 15 A.
Tibet: Häufig im Mapiék-köll, an *Utricularia*; ferner bei Abdall, an *Myriophyllum*.
123. *A. rutilans* Trentep. Cl. N. D. I, p. 126. V. H. Syn. T. 16, F. 15—18.
Tibet: Vereinzelt mit voriger bei Abdall; halophil!

Gatt. **Amphiprora** E.

124. *A. paludosa* W. Sm. Cl. N. D. I, p. 14
Tibet: Mapiék-köll, an *Utricularia*.
Die Exemplare stehen der *var. subsalina* Cl. nahe. Aber die Auftreibung der Verbindungslinie zwischen Kiel und Valva ist noch auffälliger und mehr abgerundet, während Cleve bei *var. subsalina* eine mehr winklige, spitze Auftreibung zeichnet.
var. duplex Donk. Cl., l. c., p. 15. V. H. Syn. T. 22, F. 15, 16.
Tibet: Häufig im Tossun-nor, Tsaidam; sehr häufig bei Tschallpak, Atschik-bulak.

Gatt. **Mastogloia** Thw.

125. *M. Smithi* Thw. Cl. N. D. II, p. 152. V. H. Syn. T. 4, F. 13.
Tibet: Kara-koschun; Tschallpak, Atschik-bulak; Kum-köll; sehr häufig im Mapiék-köll. Sehr variabel in Form und Größe.
var. lacustris Grun. Cl., l. c. V. H., l. c., F. 14.
Tibet: Unter der Art im Kara-koschun; Mapiék-köll.

var. lanceolata Grun. Cl., l. c.

Tibet: Mit voriger an denselben Standorten.

var. amphicephala Grun. Cl., l. c. A. S. Atl. T. 185, F. 13, 14.

Tibet: Ebenso, häufig im Mapiék-köll.

126. *M. elliptica* Ag. Cl. N. D. II, p. 152. V. H. Syn. T. 4, F. 19.

Tibet: Häufig im Tossun-nor, Tsaidam; ebenfalls häufig und variabel bei Abdall; ferner im Kum-köll.

var. Dansei Thw. Cl., l. c. A. S. Atl. T. 185, F. 5-8.

Tibet: Selten im Mapiék-köll.

127. *M. Brauni* Grun. Cl. N. D. II, p. 158. A. S. Atl. T. 185, F. 39, 40, 45. T. 188, F. 4-12.

Tibet: Kara-koschun; Abdall (ziemlich häufig!); Tschallpak, Atschik-bulak; Mapiék-köll (häufig!); Tossun-nor (häufig!).

Variiert außerordentlich hinsichtlich Größe und Struktur. Die Lyra-Zeichnung ist bei großen Exemplaren stark ausgeprägt, wird bei kleineren Formen aber oft sehr undeutlich. Die Raphe ist bei den größeren Exemplaren ziemlich stark wellig, bei kürzeren nur schwach verbogen, aber nie gerade, wie auf den zitierten Abbildungen dargestellt ist.

b) Gomphoneminæ.

Gatt. **Gomphonema** Ag.

Stigmatica Cl.

128. *G. parvulum* Kg. Cl. N. D. I, p. 180. A. S. Atl. T. 234, F. 2-13, 18, 19.

Tibet: See No. 5, westlich vom Lager XV; Mapiék-köll.

var. subelliptica Cl., l. c. Tab. IX, fig. 31.

Pamir: Lagune am Oststrand des Kleinen Kara-kul.

129. *G. angustatum* Kg. Cl. N. D. I, p. 181. A. S. Atl. T. 234, F. 20-25, 31-35.

Pamir: Sehr häufig in den Gletscherbächen am Mus-tagh-ata; Quelle östlich vom Jeschil-kul.

Tibet: Nordabhang des Arka-tag, Quelle bei Lager X; See No. 5, westlich vom Lager XV.

In dem Material aus Pamir befanden sich häufig Sporangialzellen. Sie sind vollständig isopol, gleichen also einer typischen *Navicula*, so daß auch daraus auf die nahe Verwandtschaft beider Gruppen geschlossen werden kann.

130. *G. Hedini* nov. spec. Tab. IX, fig. 34, 35.

Valvis pyriformibus, apicibus protractis, capitatis; area axiali angusta, area centrali transversaliter dilatata, puncto solitario unilaterale ornata; striis radiantibus, apices versus transversis vel subconvergentibus, circum nodulum centralem alternatim longioribus brevioribusque.

Long. valv. 23—26 μ .

Lat. valv. 6—7 μ .

Striæ: 15—17 in 10 μ .

Hab. in aquis dulcibus Asiæ centralis.

Diese kleine Art ist durch die Form der Zentralarea und die in der Mitte abwechselnd langen und kurzen Streifen von ähnlich geformten Varietäten anderer Arten leicht zu unterscheiden. Sie ist in Innerasien ziemlich weit verbreitet, anscheinend bevorzugt sie Gebirgswässer. Ich fand sie in

Pamir: Lagune und Quelle beim Kleinen Kara-kul; Quellen bei Bulun-kul. Tibet: Kwen-lun-Gebirge; Lager 103 (1901). 4860 m hoch; östlich vom Tso-ngombo (häufig!).

131. *G. Augur* E. var. *Gautieri* V. H. Syn. T. 23, F. 28. A. S. Atl. T. 240, F. 13—17. Tibet: Sehr selten im Mapiék-köll.

132. *G. constrictum* E. Cl. N. D. I, p. 186. A. S. Atl. T. 247, F. 3—11.

Pamir: Lagune und Quelle am Kleinen Kara-kul.

Tibet: Kum-köll; Mapiék-köll.

133. *G. intricatum* Kg. Cl. N. D. I, p. 181. A. S. Atl. T. 234, F. 47—50, 58. T. 235, F. 15—17, 34—39. T. 236, F. 1—8.

Tibet: Kum-köll; Mapiék-köll.

var. *pumila* Grun. Cl., l. c. A. S., l. c., T. 234, F. 56, 57.

Tibet: Unter der Art im Mapiék-köll.

var. *dichotoma* Kg. Cl., l. c., p. 182. A. S., l. c., T. 234, F. 51—55. T. 235, F. 30—33.

Tibet: Häufig bei Lager 134, östlich vom Tso-ngombo.

134. *G. subclavatum* Grun. Cl. N. D. I, p. 183. A. S. Atl. T. 237, F. 31—38. T. 238, F. 15—18. T. 240, F. 31—33.

Tibet: Sorgotsu, selten.

var. *montana* Schum. Cl., l. c. A. S., l. c., T. 238, F. 1—11.

Pamir: Gletscherbach am Mus-tagh-ata; Quelle östlich vom Jeschil-kul.

135. *G. acuminatum* E. Cl. N. D. I, p. 184. A. S. Atl. T. 72, F. 10. T. 239, F. 1—4, 11—15.

Tibet: Kum-köll; Mapiék-köll; Tschallpak, Atschik-bulak; stets sehr vereinzelt.

f. Brebissoni Kg. Cl., l. c. A. S., l. c., T. 239, F. 5—10.

Tibet: Kum-köll; Mapiék-köll.

f. trigonocéphala E. Cl., l. c. A. S., l. c., F. 16—18.

Tibet: Mapiék-köll, sehr selten.

Astigmatica Cl.

136. *G. olivaceum* Lyngb. Cl. N. D. I, p. 188. A. S. Atl. T. 233, F. 9—16.

Pamir: Quellen bei Bulun-kul.

Tibet: Mapiék-köll.

c) *Cymbellinæ*.

Gatt. *Cymbella* Ag.

137. *C. microcephala* Grun. Cl. N. D. I, p. 160. A. S. Atl. T. 9, F. 58—61.

Tibet: Abdall, an *Myriophyllum*; östlich vom Tso-ngombo, Lager 134, häufig.

138. *C. laevis* Naeg. Cl. N. D. I, p. 162. A. S. Atl. T. 9, F. 35.

Pamir: Tschakker-agil; Quelle bei Bulun-kul.

139. *C. tibetana* nov. spec. Tab. X, fig. 67.

Valvis lanceolatis, marginibus convexis, apicibus protractis, capitatis; raphe subcentrali, directa; area axiali distincta, circum nodulum centralem dilatata; area centrali orbiculari; striis tenuis, radiantibus.

Long. valv. 40—50 μ .

Lat. valv. 7—8 μ .

Striæ 17 in 10 μ in media valvarum parte, apices versus 23 in 10 μ .

Hab. in aquis dulcibus Asiæ centralis [Tibet].

Kwen-lun; nördlich vom Selling-tso; östlich vom Tso-ngombo; häufig.

Von den meisten ähnlichen Arten unterscheidet sie sich besonders durch die Ausbildung einer deutlichen Längs- und Zentralarea, von *C. naviculiformis* Auerswald außer durch die Form durch die viel zartere Struktur.

140. *C. austriaca* Grun. Cl. N. D. I, p. 163. A. S. Atl. T. 9, F. 10. T. 71, F. 67—69.

Tibet: Mapiék-köll; östlich vom Tso-ngombo, bei Lager 136.

141. *C. amphicephala* Naeg. Cl. N. D. I, p. 164. A. S. Atl. T. 9, F. 62, 64—66.

T. 71, F. 52.

Pamir: Häufig in Gletscherbächen am Mus-tagh-ata (*formæ minores*); Quelle östlich vom Jeschil-kul; Tschakker-agil.

Tibet: Kwen-lun-Gebirge; östlich vom Tso-ngombo.

142. *C. Ehrenbergi* Kg. Cl. N. D. I, p. 165. A. S. Atl. T. 9, F. 6—9. T. 71, F. 74.

Pamir: Quelle östlich vom Jeschil-kul, selten.

143. *C. lacustris* Ag. Cl. N. D. I, p. 167. A. S. Atl. T. 10, F. 63. T. 71, F. 1—5.
Tibet: Sehr selten im Mapiék-köll.
Bemerkenswerte Form, die bisher nur wenig beobachtet worden ist.
144. *C. prostrata* Berk. Cl. N. D. I, p. 167. A. S. Atl. T. 10, F. 64—69. T. 71, F. 6—9.
Tibet: Kara-koschun; Abdall; Mapiék-köll; stets vereinzelt.
145. *C. ventricosa* Kg. Cl. N. D. I, p. 168. A. S. Atl. T. 10, F. 42, 43. T. 71, F. 14, 15, 32—34.
Pamir: Umgebung des Kleinen Kara-kul; Gletscherbäche am Mus-tagh-ata; Quellen bei Bulun-kul (häufig!).
Tibet: Quelle bei Lager X am Nordabhang des Arka-tag; See No. 5 westlich vom Lager XV; Sorgotsu; Abdall; Kara-koschun; Ghischa, Tattlik-bulak; Mapiék-köll; nördlich vom Selling-tso; Lager 103 (1901); östlich vom Tso-ngombo; Nordufer des Panggong-tso (häufig!).
146. *C. aequalis* W. Sm. Cl. N. D. I, p. 170. A. S. Atl. T. 9, F. 41—45.
Pamir: Lagune am Oststrand des Kleinen Kara-kul; Gletscherbäche am Mus-tagh-ata; Quellen östlich vom Jeschil-kul; Tschakker-agil.
Tibet: Mapiék-köll; nördlich vom Selling-tso; östlich vom Tso-ngombo; Probe 51 (M).
Die Formen aus Pamir besitzen einen ziemlich abweichenden Habitus. Die Schalen sind fast vollkommen linealisch mit kaum gebogenen Rändern, an den Enden fast ebenso breit wie in der Mitte, die Pole selbst flach und breit abgerundet.
Die Individuen aus dem Mapiék-köll entsprachen der Abbildung V. H.'s von *C. subaequalis*.
147. *C. sinuata* Greg. Cl. N. D. I, p. 170. A. S. Atl. T. 294, F. 44—51.
Tibet: Sehr selten im See No. 5, westlich vom Lager 15.
148. *C. affinis* Kg. Cl. N. D. I, p. 171. A. S. Atl. T. 9, F. 29, 38. T. 71, F. 27—29. T. 10, F. 27.
Pamir: Umgebung des Kleinen Kara-kul; Gletscherbäche am Mus-tagh-ata (häufig!); Quellen bei Bulun-kul (massenhaft!).
Tibet: Sorgotsu (massenhaft!); Abdall; Mapiék-köll; östlich vom Tso-ngombo; Nordufer des Panggong-tso (massenhaft!).
149. *C. parva* W. Sm. Cl. N. D. I, p. 172. A. S. Atl. T. 10, F. 14, 15.
Pamir: Umgebung des Kleinen Kara-kul; Gletscherbäche am Mus-tagh-ata; Quellen östlich vom Jeschil-kul.
Tibet: Kwen-lun-Gebirge; Kum-köll; zwischen Lager XXVII und XXVIII (1900); nicht selten.

150. *C. cymbiformis* (Ag.) Kg. Cl. N. D. I, p. 172. A. S. Atl. T. 9, F. 76—79. T. 10, F. 13.
Tibet: See No. 5, westlich vom Lager XV; östlich vom Tso-ngombo; sehr vereinzelt.
151. *C. cistula* Hempr. Cl. N. D. I, p. 173. A. S. Atl. T. 10, F. 1—5, 24—26.
Pamir: Umgebung des Kleinen Kara-kul; Gletscherbäche am Mus-tagh-ata; Quellen östlich vom Jeschil-kul; Tschakker-agil (massenhaft!); östlich vom Bassik-kul; Quellen bei Bulun-kul.
Tibet: See No. 5, westlich vom Lager XV; Kara-koschun; Abdall; Ghischa. Tattlik-bulak (häufig!); Mapiek-köll; zwischen Lager XXVII und XXVIII (1900); nördlich vom Selling-tso (sehr häufig!); Selling-tso; Lager 76 westlich vom Selling-tso (massenhaft!); Lager 103 (massenhaft!); östlich vom Tso-ngombo (massenhaft!); Kum-köll.

C. cistula ist eine der verbreitetsten Diatomeen auch in Innerasien und fast überall häufig. Ihre Form ist sehr variabel. Manche Exemplare haben stark vorgezogene, oft sogar zurückgebogene Enden und nähern sich der *C. Stuxbergi* Cl. Bei andern Individuen sind die Schalen nicht verdünnt, sondern sie besitzen sehr stumpfe, breit abgestutzte Pole. Kürzere Formen haben zuweilen einen nahezu halbkreisförmigen Schalenumriß. Auch die Form und Ausdehnung der Area ist sehr verschieden. Bei einzelnen Exemplaren war die Zentralarea auffallend groß und von rundlich-viereckigem Umriß. Alle Formen gehen jedoch ineinander über, so daß ich von der Aufstellung besonderer Varietäten vorläufig abgesehen habe.

MERESCHKOWSKY hat aus dem Formenkreise zwei Formen ausgeschieden und sie als *var. asiatica* Mer. und *var. capitata* Mer. bezeichnet.

152. *C. lanceolata* E. Cl. N. D. I, p. 174. A. S. Atl. T. 10, F. 8—11.
Tibet: Sehr selten im Kum-köll.
153. *C. aspera* E. Cl. N. D. I, p. 175. A. S. Atl. T. 9, F. 1, 2. T. 10, F. 7.
Pamir: Umgebung des Kleinen Kara-kul.
Tibet: Nordabhang des Arka-tag; Kara-koschun; Nordufer des Panggong-tso; stets sehr vereinzelt.
154. *C. tumida* Bréb. Cl. N. D. I, p. 176. A. S. Atl. T. 10, F. 28—30.
Tibet: Abdall, an *Myriophyllum*, sehr selten.

Gatt. **Amphora** E.

Subgen. *Amphora* Cl.

155. *A. ovalis* Kg. Cl. N. D. II, p. 104. V. H. Syn. T. 1, F. 1.
Pamir: Umgebung des Kleinen Kara-kul; östlich vom Bassik-kul; Quellen östlich vom Jeschil-kul; Tschakker-agil.

Tibet: Tossun-nor; Sorgotsu; Kara-koschun; Kum-köll; Westufer vom Sellings-tso; Lager 103 (1901); östlich vom Tso-ngombo; Nordufer des Panggong-tso (häufig und in großen Exemplaren); Probe 51 (M).

var. pediculus Kg. Cl., l. c., p. 105. A. S. Atl. T. 26, F. 102.

Pamir: Quelle am Südstrand des Kleinen Kara-kul.

Tibet: Sorgotsu; Mapiék-köll; östlich vom Tso-ngombo; Nordufer des Panggong-tso.

156. *A. Ostenfeldi* nov. spec. Tab. IX, fig. 38—39.

Frustulis lineari-ellipticis vel subrectangularibus, apicibus plus minus truncatis; valvis leniter arcuatis, apicibus obtuse rotundatis, non protractis; raphe biarcuata; area axiali unilaterali in latere dorsali, lanceolata, area centrali nulla; striis transversis validis, parallelis, tenuissime punctatis.

Long. valv. 30—40 μ .

Lat. valv. 5—6 μ .

Lat. frust. 8—10 μ .

Striae 13—15 in 10 μ .

Hab. in aquis subsalsis prope »Tschallpak, Atschik-bulak«, Tibet.

Unterscheidet sich von *A. pusio* Cl. durch die mehr lineare Form der Frustel, die weniger gebogene Raphe und die Form der Area. Manche Exemplare sind ausgesprochen rechteckig mit in der Mitte schwach vorgewölbten Längsseiten. Auch mit *A. ovalis* nicht zu verbinden. Das Wasser war zwar nicht vom Sammler als salzhaltig bezeichnet, ich schließe jedoch aus den sonstigen darin gefundenen Diatomeen auf einen schwachen Salzgehalt.

Subgen. *Halamphora* Cl.

157. *A. Schwederi* Hust. Bacillariales in »Schröder, Zellpfl. Ostafrikas«, p. 161, T. I, F. 16—18.

Pamir: Lagune am Oststrand des Kleinen Kara-kul.

Tibet: Östlich vom Tso-ngombo; häufig am Nordufer des Panggong-tso bei Lager 146.

158. *A. geniculata* nov. spec. Tab. IX, fig. 25, 26.

Frustulis subrectangularibus, apicibus late cuneatis, truncatis, plicis numerosis. Valvis leniter arcuatis, lineari-lanceolatis, margine ventrali subrecto, margine dorsali convexo; apicibus obtusis subprotractis, incurvatis; raphe subcentrali; area axiali angusta, area centrali parva; striis tenuissimis, radiantibus, distincte punctatis.

Long. valv. 40—50 μ .

Lat. valv. 5—7 μ .

Lat. frust. 25 μ .

Striæ 27—29 in 10 μ .

Hab. in aquis dulcibus (an subsalsis?) inter castra XXVII et XXVIII, Tibet.

Durch ihre Form genügend charakterisierte Art. Die Streifen stehen zwar sehr dicht, sind aber deutlich punktiert. Die länglichen Punkte bilden wellige Längslinien, die weiter voneinander entfernt stehen als die Querstreifen. Die Zugehörigkeit zum Subgenus *Halamphora* ist noch nicht sicher, vielleicht ist sie zu *Diplamphora* zu ziehen; doch habe ich bisher keine der feinen Längslinien, die für diese Gruppe charakteristisch sein sollen, entdecken können.

Subgen. *Oxyamphora* Cl.

159. *A. lincolata* E. Cl. N. D. II, p. 126. A. S. Atl. T. 26, F. 50, 51.

Tibet: Tossun-nor, Tsaidam, häufig.

V. Epithemioideæ.

8. Epithemieæ.

Gatt. *Epithemia* Bréb.

160. *E. turgida* (E.) Kg. A. S. Atl. T. 250, F. 1—6. D. T. Syll., p. 777.

Tibet: Kum-köll, selten; Mapiék-köll.

var. granulata (E.) Kg. A. S., l. c., F. 10—19. D. T., l. c., p. 778.

Tibet: Mit voriger im Kum-köll, sehr selten.

161. *E. zebra* (E.) Kg. A. S. Atl. T. 252, F. 1. D. T. Syll., p. 784.

Pamir: Lagune am Kleinen Kara-kul; östlich vom Bassik-kul; Tschakker-agil.

var. proboscidea Grun. A. S., l. c., F. 2. D. T., l. c.

Tibet: Kara-koschun; Kum-köll; Mapiék-köll; Nordufer des Panggong-tso.

var. porcellus Kg. A. S., l. c., F. 15—21. D. T., l. c.

Tibet: Kara-koschun; häufig im Kum-köll; Mapiék-köll.

var. saxonica Kg. A. S., l. c., F. 3—14. D. T., l. c.

Pamir: Häufig in der Umgebung des Kleinen Kara-kul.

Tibet: Kara-koschun; Mapiék-köll; östlich vom Tso-gnombo.

162. *E. sorex* Kg. A. S. Atl. T. 252, F. 22—28. D. T. Syll., p. 780.

Pamir: Lagune beim Kleinen Kara-kul.

Tibet: Kara-koschun; Mapiék-köll, nicht selten.

Gatt. **Denticula** Kg.

163. *D. tenuis* Kg. V. H. Syn. T. 49, F. 28—31. Kg. Bac., p. 43. T. 17, F. 8.
 Pamir: Quelle am Südstrand des Kleinen Kara-kul; häufig in Quellen östlich vom Jeschil-kul.
 Tibet: Kum-köll; Tschallpak, Atschik-bulak (massenhaft!).
- var. intermedia* Grun. V. H., l. c., F. 22, 25.
 Tibet: Tschallpak, Atschik-bulak; häufig zwischen Lager XXVII und XXVIII; nördlich vom Selling-tso; östlich vom Tso-ngombo.
 Struktur oft sehr zart, nähert sich dann der *D. indica* Grun.
- var. mesolepta* Grun. V. H., l. c., F. 23, 24.
 Tibet: Mit voriger an denselben Standorten. Bei Individuen aus Probe 43 (I) ist die Struktur auffallend gröber als bei solchen aus Probe 41 (D).
D. tenuis Kg. ist auch in europäischen Gebirgen, stellenweise auch in der Ebene, sehr häufig. Im allgemeinen sind aber die europäischen Formen viel zarter als die asiatischen, und ich möchte fast glauben, daß wir zwei Species vor uns haben, von denen die größere asiatische übrigens leicht brackisches Wasser zu lieben scheint.

9. Rhopalodieæ.Gatt. **Rhopalodia** O. Müll.

164. *Rh. gibba* (E.) O. Müll. A. S. Atl. T. 253, F. 1—13. D. T. Syll., p. 780.
 Pamir: Lagune am Kleinen Kara-kul; Tschakker-agil.
 Tibet: Kara-koschun; Abdall (häufig!); Kum-köll (häufig!); Mapiék-köll; Nordufer des Panggong-tso.
- var. ventricosa* (E.) Grun. A. S., l. c., F. 14—17. D. T., l. c., p. 781.
 Tibet: Kum-köll, unter der Art.
165. *Rh. museulus* (Kg.) O. Müll. A. S. Atl. T. 254, F. 1—11. D. T. Syll., p. 785.
 Tibet: Tossun-nor, Tsaidam; Tschallpak, Atschik-bulak. Halophile Form!

VI. Nitzschioideæ.**10. Nitzschieæ.**Gatt. **Hantzschia** Grun.

- Wegen der abweichenden Symmetrieverhältnisse halte ich eine Trennung dieser Gattung von *Nitzschia* für notwendig.
166. *H. amphioxys* E. D. T. Syll., p. 561. A. S. Atl. T. 329, F. 11, 12, 15—20.
 Pamir: Quelle am Südstrand des Kleinen Kara-kul; östlich vom Bassik-kul; Gletscherbäche am Mus-tagh-ata.

Tibet: Quellsee im Kwen-lun-Gebirge; Quelle bei Lager X am Nordabhang des Arka-tag; See No. 5, westlich von Lager XV; zwischen Lager XXVII und XXVIII.

var. compacta nov. var. Tab. X, fig. 42.

Differt a typo valvis robustis, latioribus, apicibus obtuse protractis, truncatis, striis 16—20 in 10 μ .

Long. valv. 65—80 μ .

Lat. valv. 13—15 μ .

Hab. in aquis gelidis montis »Mus-tagh-ata«, Pamir.

var. maior Grun. D. T., l. c., p. 563. V. H. Syn. T. 56, F. 3.

Tibet: Nördlich vom Selling-tso.

var. rupestris Grun. D. T., l. c., p. 562. V. H., l. c., F. 9, 10.

Pamir: Gletscherbäche am Mus-tagh-ata.

var. vivax (Hantzsch) Grun. D. T., l. c. V. H., l. c., F. 5, 6.

Pamir: Mit voriger und durch Übergänge mit ihr verbunden.

Gatt. **Nitzschia** Hass.

Sect. *Tryblionella* Grun.

167. *N. Tryblionella* Hantzsch.

var. levidensis (W. Sm.) Grun. D. T. Syll., p. 499. A. S. Atl. T. 332, F. 20.

Tibet: Häufig bei Sorgotsu.

168. *N. angustata* (W. Sm.) Grun. D. T. Syll., p. 500. A. S. Atl. T. 331, F. 40—43.

Pamir: Lagune beim Kleinen Kara-kul; Quelle bei Bulun-kul.

Tibet: Nördlich vom Selling-tso; östlich vom Tso-ngombo.

var. acuta Grun. D. T., l. c. A. S., l. c., F. 44, 45.

Tibet: Unter der Art bei Lager 136, östlich vom Tso-ngombo.

Sect. *Apiculata* Grun.

169. *N. hungarica* Grun. D. T. Syll., p. 504. A. S. Atl. T. 331, F. 6—13.

Tibet: Sehr verbreitet! Tossun-nor (häufig!); Seen No. 5, 18, 20 (1896);

Sorgotsu (häufig!); Kara-koschun; Tschallpak, Atschik-bulak; Ghischa, Tattlik-

bulak; Mapiék-köll; Westufer vom Selling-tso bei Lager 76 (sehr häufig!).

Halophile Form!

Sect. *Pseudo-tryblionella* Grun.

170. *N. litoralis* Grun. D. T. Syll., p. 508. V. H. Syn. T. 59, F. 1—3.

Tibet: See No. 5, westlich vom Lager XV, häufig.

Sect. *Dubia* Grun.171. *N. Ostenfeldi* nov. spec. Tab. X, fig. 58, 59.

Frustulis e facie connectivali rectangularibus, medio leviter constrictis; valvis linearibus, in media parte transversaliter subconstrictis, apicibus rostratis, capitatis; punctis carinalibus 8—11 in 10 μ ; striis transversis distinctis, 24 in 10 μ .

Long. valv. 45—60 μ .

Lat. valv. 5—7 μ .

Hab. in aquis gelidis montis »Mus-tagh-ata«, Pamir.

In lacu »Kum-köll«; prope »Ghischa, Tattlik-Bulak«, Tibet.

Verwandt mit *N. commutata* Grun.

Sect. *Epithemioidea* Grun.172. *N. gradifera* nov. spec. Tab. X, fig. 65, 66.

Valvis lineari-lanceolatis, apicibus rostratis, carina centrali, punctis carinalibus 4—5 in 10 μ , in costas totam valvæ latitudinem percurrentibus productis; valvis e latere visis anguste linearibus, apicibus obtusis, subcuneatis; striis delicatissimis, inconspicuis.

Long. valv. 30—40 μ .

Lat. valv. 7—8 μ . [e carina visa].

Hab. in aquis subsalsis Asiæ centralis [Tibet]: in lacu XX probe castra XXXI; »Tossun-nor«, Zaidam; inter castra XXVII et XXVIII (1900).

Von der nächstverwandten *N. epithemioides* Grun. durch Form und die viel zartere, kaum auflösbare Struktur verschieden.

Sect. *Grunovia* (Rbh.) Grun.173. *N. denticula* Grun. D. T. Syll., p. 518. A. S. Atl. T. 331, F. 32—39.

Im Gebiet sehr verbreitet und in großen Exemplaren vorkommend.

Pamir: Umgebung des Kleinen Kara-kul (häufig!); Quellen östlich vom Jeschik-kul; Tschakker-agil; Quellen bei Bulun-kul.

Tibet: Quelle am Nordabhang des Arka-tagh; Sorgotsu; Kara-koschun; Abdall; Kum-köll; Ghischa, Tattlik-bulak; Mapiék-köll; nördlich vom Selling-tso (massenhaft!); östlich vom Tso-ngombo (häufig, bis 100 μ lang!); Probe 51 (M).

MERESCHKOWSKY hat die langen Formen als *var. elongata* Mer. ausgeschieden. Als Länge gibt er an 63—87 μ . Meines Erachtens ist eine solche Abtrennung nicht möglich, da die Annahme der unteren Grenze mit 63 μ ganz willkürlich erfolgt ist. Eine solche Grenze zwischen Art und *var. elongata* läßt sich gar nicht ziehen.

Sect. *Dissipata* Grun.

174. *N. dissipata* (Kg.) Grun. D. T. Syll., p. 527. A. S. Atl. T. 332, F. 22—24.
Tibet: See No. 5, westlich vom Lager XV.

175. *N. bacillariæformis* nov. spec. Tab. X, fig. 48—50.

Frustulis prismaticis, e facie connectivali rectangularibus, valvis linearibus, marginibus parallelis, apicibus cuneatis, carina centrali, punctis carinalibus 8—9 in 10 μ , striis inconspicuis, delicatissimis.

Long. valv. 28—40 μ .

Lat. valv. 3—4 μ .

Hab. in lacu V, prope castra XV [Tibet].

Zellen in Kiellage ähneln in ihrer Form einzelnen Frusteln von *Bacillaria paradoxa* Gmel.

Sect. *Sigmoidea* Grun.

176. *N. sigmoidea* (Nitzsch) W. Sm. D. T. Syll., p. 528. A. S. Atl. T. 332, F. 1—4.
Tibet: Östlich vom Tso-ngombo, bei Lager 136.

Sect. *Obtusa* Grun.

177. *N. obtusa* W. Sm. D. T. Syll., p. 533. A. S. Atl. T. 336, F. 20, 21.

Tibet: Abdall, an *Myriophyllum*, zerstreut.

var. *Schweinfurthi* Grun. D. T., l. c., p. 534. A. S., l. c., F. 32, 33.

Tibet: Kara-koschun; Mapiék-köll.

Halophil! Im allgemeinen seltene Form.

Sect. *Linearis* Grun.

178. *N. linearis* (Ag.) W. Sm. D. T. Syll., p. 535. A. S. Atl. T. 334, F. 22—24.
Pamir: Quelle am Südstrand des Kleinen Kara-kul; Tschakker-agil.

Tibet: Kwen-lun-Gebirge; Lager 103 (häufig!); östlich vom Tso-ngombo.

179. *N. pseudolinearis* nov. spec. Tab. X, fig. 43, 44.

Frustulis maioribus, prismaticis, e facie connectivali rectangularibus, medio constrictis; valvis linearibus, apicibus subrostratis, capitatis; punctis carinalibus 8—11 in 10 μ , striis transversalis distinctis, 22 in 10 μ , tenue punctatis.

Long. valv. 100—120 μ .

Lat. valv. 7—8 μ .

Hab. prope lacum »Selling-tso«, castra LXVI, Tibet.

Unterscheidet sich von *N. linearis* durch eine wesentlich gröbere Struktur. In der Form gleicht sie ihr so sehr, daß man sie bei flüchtiger Beobachtung mit ihr verwechselt, erst stärkere Vergrößerungen lassen die Unterschiede klar erkennen.

180. *N. subvitrea* nov. spec. Tab. X, fig. 46, 47.

Frustulis e facie connectivali oblongis, marginibus parallelis vel subconstrictis, polis subtruncatis; valvis linearibus, apicibus subprotractis, punctis carinalibus 5—7 in 10 μ , striis delicatis, circiter 30 in 10 μ .

Long. valv. 70—90 μ .

Lat. valv. 9—10 μ .

Hab. prope lacum »Tso-ngombo«, 4000 m. altit., Tibet.

Hat im Habitus gewisse Ähnlichkeit mit *N. vitrea* Norm., besitzt aber eine viel zartere Struktur.

Sect. *Bilobata* Grun.

181. *N. Kittlii* Grun. D. T. Syll. Bac., p. 515. Tab. X, fig. 45.

Tibet: Zerstreut im Tso-ngombo.

Das Vorkommen dieser Art in Tibet ist besonders bemerkenswert. DE TONI gibt sie nur als fossil in Ungarn vorkommend an, wo sie von GRUNOW entdeckt wurde. HOFMANN¹ beobachtete sie auch rezent in einem Graben im Soosmoor bei Franzensbad (fossil schon von GRUNOW angegeben), während ich sie auch in rezentem Material aus einem Tümpel im Soosmoor fand, das mir Dr. M. WEIGOLD-Plauen i. V. sandte. PANTOCSEKS Abbildungen dieser Art² sind nur sehr mäßig.

Sect. *Lanceolata* Grun.

182. *N. palca* (Kg.) W. Sm. D. T. Syll., p. 540. V. H. Syn. T. 69, F. 22 b, c.

Tibet: Tossun-nor, Tsaidam.

183. *N. Külzingiana* Hilse. D. T. Syll., p. 541. V. H. Syn. T. 69, F. 24—26.

Tibet: Häufig bei Lager 136 östlich vom Tso-ngombo.

184. *N. fonticola* Grun. D. T. Syll., p. 541. V. H. Syn. T. 69, F. 15—20.

Tibet: See No. 5, westlich vom Lager XV.

185. *N. communis* Rbh. D. T. Syll., p. 542. V. H. Syn. T. 69, F. 32.

Tibet: Abdall, an *Myriophyllum*; Lager 76 am Westufer vom Selling-tso.

186. *N. bacilliformis* nov. spec. Tab. X, fig. 62—64.

Frustulis prismaticis, sine constrictionibus, e facie connectivali rectangularibus; valvis oblongis, polis late rotundatis, punctis carinalibus 12 in 10 μ , striis transversalis 25 in 10 μ , distincte punctatis.

¹ K. HOFMANN, Die Bacillarien der Kieselgur und der Abwässer der Kaiserquelle in der Soos, I. VIII. Jahresber. d. Staats-Realsch. u. d. Staats-Ref.-Realgymnas. im VIII. Wiener Gemeindebez.

² PANTOCSEK, Foss. Bac. Ung. II. Taf. 14, F. 248, Taf. 15, F. 268.

Long. valv. 15—22 μ .

Lat. valv. 2.5—4 μ .

Hab. in aquis dulcibus prope lacus »Selling-tso« et »Tso-ngombo«, Tibet.

Nah verwandt dürfte die von O. Müller aus Afrika beschriebene *N. epiphytica* O. Müll. sein.

187. *N. amphibia* Grun. D. T. Syll., p. 543. V. H. Syn. T. 68, F. 15—17.

Tibet: Mapiék-köll, selten. Auffälligerweise habe ich diese sonst sehr verbreitete Art in keiner andern Probe gesehen.

188. *N. iugiformis* nov. spec. Tab. X, fig. 60, 61.

Frustulis e facie connectivali linearibus, lateribus subconvexis, polis truncatis; valvis iugiformibus, lanceolatis, medio valde constrictis, apicibus rostratis, subcapitatis, punctis carinalibus parvis, 13 in 10 μ , striis tenuibus, 30—32 in 10 μ .

Long. valv. 15—20 μ .

Lat. valv. 2 μ in media parte valvae, 3 μ in inflationibus.

Hab. in lacu »Mapiék-köll«, Tibet.

189. *N. tibetana* nov. spec. Tab. X, fig. 53—55.

Frustulis e facie connectivali rectangularibus; valvis lanceolatis, medio plus minus constrictis, apicibus rostratis, punctis carinalibus 9—11 in 10 μ , striis transversis tenuibus, 33 in 10 μ .

Long. valv. 22—25 μ .

Lat. valv. 3 μ in med. part. valv., 3.5—4 sub apicibus.

Hab. in aquis dulcibus vel subsalsis Asiae centralis (Tibet): in montibus »Kwen-lun«; in lacu »Kuku-nor«.

Mit voriger Form nicht zu verbinden. Die Exemplare beider genannten Standorte stimmen vollkommen überein; doch legt der beträchtliche Unterschied der Fundorte die Vermutung nahe, daß wir hier die Endglieder der Variationsreihen zweier getrennter Arten vor uns haben, die einstweilen nicht erkannt werden können.

190. *N. bacillum* nov. spec. Tab. X, fig. 51, 52.

Frustulis e facie connectivali rectangularibus; valvis fusiformibus, apicibus protractis, punctis carinalibus 14—16 in 10 μ , striis transversis delicatissimis, circiter 35 in 10 μ .

Long. valv. 12—15 μ .

Lat. valv. 2—5 μ .

Hab. in aquis subsalsis lacus »Tossun-nor«, Tibet.

Mit der folgenden verwandt.

191. *N. frustulum* (Kg.) Grun. D. T. Syll., p. 543. V. H. Syn. T. 68, F. 28, 29.
Pamir: Lagune am Kleinen Kara-kul; Gletscherbach am Mus-tagh-ata.
Tibet: See No. 5; Westufer vom Selling-tso; Nordufer des Panggong-tso
(häufig!).

var. asiatica nov. var. Tab. X, fig. 56.

Differt a typo apicibus obtuse protractis, striis circiter 32 in 10 μ .

Hab. prope lacum »Selling-tso«, Tibet.

Die Pole sind meistens noch stumpfer als in der Figur dargestellt, typischere Formen werde ich in A. Schmidts Diatomeen-Atlas bringen.

192. *N. regula* nov. spec. Tab. X, fig. 57.

Frustulis prismaticis; valvis linearibus, marginibus parallelis, apicibus sub-
rostratis, truncatis; punctis carinalibus minimis, 11—12 in 10 μ , striis trans-
versis delicatis, circiter 30 in 10 μ .

Long. valv. 87 μ .

Lat. valv. 5 μ .

Hab. in aqua gelida montis »Mus-tagh-ata«, Pamir; rarissime.

VII. Surirelloideæ.

11. Surirelleæ.

Gatt. *Cymatopleura* W. Sm.

193. *C. Solca* (Bréb.) W. Sm. A. S. Atl. T. 275, F. 3—7, 11. T. 276, F. 2, 3.
D. T. Syll. Bac., p. 599.

Pamir: Lagune am Oststrand des Kleinen Kara-kul; Tschakker-agil.

Tibet: Sorgotsu (häufig!); Kara-koschun; Westufer vom Selling-tso; östlich
vom Tso-ngombo.

var. apiculata (W. Sm.) Ralfs. A. S. Atl., l. c., T. 275, F. 8—10, 12, 13. T. 276,
F. 1. D. T., l. c.

Tibet: Sorgotsu, unter der Art.

Gatt. *Surirella* Turp.

194. *S. ovalis* Bréb. A. S. Atl. T. 24, F. 1—5. D. T. Syll. Bac., p. 579.

Tibet: Quellsee im Kwen-lun-Gebirge; Tossun-nor, Tsaidam; Westufer vom
Selling-tso.

var. ovata Kg. A. S. Atl. T. 23, F. 49—55. D. T. Syll. Bac., p. 580.

Pamir: Kleiner Kara-kul, Lagune am Oststrand; Gletscherbach am Westhang
des Mus-tagh-ata [die Individuen nähern sich der *var. Crumena*].

- Tibet: Kwen-lun-Gebirge (große Exemplare!); Sorgotsu; See No. 18 zwischen Lager XXVI und XXVII (1896); See (No. 3?) zwischen Lager XII und XIII (1896); Kara-koschun; Abdall; Kum-köll; Ghischa, Tattlik-bulak; Mapiék-köll; zwischen Lager XXVII und XXVIII (1900); Selling-tso und Umgebung (sehr häufig, große Exemplare!); Lager 103 (1901); östlich vom Tso-ngombo; Nordufer des Panggong-tso.
- var. Crumena* Bréb. A. S. Atl. T. 24, F. 7—10. D. T. Syll. Bac., p. 580.
Tibet: Westufer des Selling-tso, Lager 76 (1901).
- var. angusta* Kg. A. S. Atl. T. 24, F. 39—41. D. T. Syll., l. c.
Pamir: Gletscherbach des Mus-tagh-ata.
195. *S. apiculata* W. Sm. A. S. Atl. T. 23, F. 34, 35. W. Sm. Syn. Br. Diat. II, p. 88.
Pamir: Tschakker-agil, selten.
196. *S. linearis* W. Sm. A. S. Atl. T. 23, F. 27. W. Sm. Syn. Br. D. I, p. 31, pl. 8, F. 58.
Tibet: Östlich vom Tso-ngombo, Lager 136 (1901); nördlich vom Selling-tso; stets vereinzelt.

Erklärung der Abbildungen.

Sämtliche Figuren sind bei 1000facher Vergrößerung, mit Ausnahme F. 51 (= 2^{000}), mit Hilfe des Abbe'schen Zeichenapparates entworfen (Seibert, Obj. Imm. $1\frac{1}{2}$ Fl., Oc. 2).

Tafel IX.

1. *Pinnularia Hedinii* nov. spec.
2. *P. fonticola* nov. spec.
- 3.—5. *P. tibetana* nov. spec.
6. *P. divergentissima* Cl.
7. Dieselbe, *var. capitata* nov. var.
8. 9. *P. subborealis* nov. spec.
10. *Achnanthes panirensis* nov. spec., *valva superior*.
11. Dieselbe, *valva inferior*.
12. 13. *A. Hedinii* nov. spec., *valva inferiores*.
14. Dieselbe, *valva superior*.
15. 16. *A. pinnata* nov. spec., *valva inferiores*.
17. 18. Dieselbe, *valva superiores*.
19. *Cyclotella tibetana* nov. spec.
20. *C. lacunarum* nov. spec.
21. *Neidium mirabile* nov. spec.

22. *N. didelta* nov. spec.
 23. *N. rectum* nov. spec.
 24. *N. punctulatum* nov. spec.
 25. 26. *Amphora geniculata* nov. spec.
 27. *Stauroneis laticeps* nov. spec.
 28.—30. *Fragilaria asiatica* nov. spec.
 31. *Gomphonema parvulum* var. *subelliptica* Cl.
 32. 33. *Navicula hungarica* var. *linearis* Oestr.
 34. 35. *Gomphonema Hedini* nov. spec.
 36. *Navicula Hedini* nov. spec.
 37. *N. viridula* var. *pamirensis* nov. var.
 38. 39. *Amphora Ostenfeldi* nov. spec.
 40. 41. *Navicula subrhombica* nov. spec.

Tafel X.

42. *Hantzschia amphioxys* var. *compacta* nov. var.
 43. 44. *Nitzschia pseudolinearis* nov. spec.
 45. *N. Kittlii* Grun.
 46. 47. *N. subvitrea* nov. spec.
 48.—50. *N. bacillariaformis* nov. spec.
 51 (²⁰⁰⁰!). 52. *N. bacillum* nov. spec.
 53.—55. *N. tibetana* nov. spec.
 56. *N. frustulum* var. *asiatica* nov. var.
 57. *N. regula* nov. spec.
 58. 59. *N. Ostenfeldi* nov. spec.
 60. 61. *N. ingiformis* nov. spec.
 62.—64. *N. bacilliformis* nov. spec.
 65. 66. *N. gradifera* nov. spec.
 67. *Cymbella tibetana* nov. spec.

V

ALGEN AUS ZENTRALASIEN

GESAMMELT VON DR. SVEN HEDIN

BEARBEITET VON N. WILLE

Einleitung.

Die großen Landstrecken, die als »Zentralasien« bezeichnet werden, sind in algologischer Hinsicht nur wenig bekannt, während die umgebenden Länder wie: Sibirien, Japan, China und Indien viel besser untersucht sind.

Aus Zentralasien sind folgende Algen bisher bekannt: Zuerst hat CHR. G. EHRENBERG¹ schon 1854 durch Untersuchung von Bodenproben aus dem nördlichen Zentralasien folgende Arten beobachtet: *Closterium Lunula*, *Euastrum crenatum* (= *Cosmarium crenatum*), *Euastrum margaritiferum* (= *Cosmarium margaritiferum*) und *Micrasterias elliptica* (= *Pediastrum Boryanum*). Aus dem westlichen Himalayagebirge im südlichen Zentralasien erwähnt er: *Closterium acerosum*, *Euastrum ansatum*, *Euastrum crenatum* (= *Cosmarium crenatum*) und *Euastrum margaritiferum* (= *Cosmarium margaritiferum*). Von den in Nepal beobachteten Alpenformen erwähnt er nur: *Euastrum margaritiferum* (= *Cosmarium margaritiferum*), aber aus dem südlichen Zentralasien werden erwähnt: *Closterium acerosum*, *Euastrum ansatum*, *Euastrum crenatum* (= *Cosmarium crenatum*) und *Euastrum margaritiferum* (= *Cosmarium margaritiferum*).

1884 bestimmt JULIUS SCHAARSCHMIDT² eine Anzahl Süßwasseralgen auf Herbarienexemplaren von Phanerogamen, die Major J. E. T. AITCHISON in Afghanistan gesammelt hat. Es werden außer Diatomaceen folgende Algen aufgezählt: *Chroococcus* sp.?, *Gomphospharia aponina* Kg., *Oscillaria* sp., *Microcoleus Aitchisonii* nov. sp., *Anabaena* sp.?, *Nostoc* sp.?, *Glæotrichia* sp.?, *Euastrum spinulosum* Delp. var. *Oliveri* nov. var., *Cosmarium Botrytis* (Bory.) Menegh. var. *afghanicum* nov. var., *Cosmarium pulcherrimum* Nordst., *C. undulatum* Corda var. *ornatum* nov. var., *C. Aitchisonii* nov. sp., *C. Hookeri* nov. sp., *C. Oliveri* nov. sp., *C. pyramidatum* (Ralfs) Bréb., *C. granatum* Bréb., var. *elongatum* Nordst., *C. abruptum* Lund. form. *simplex* n. form., *C. Meneghinii* (Menegh.) Bréb., *C. minutum* Delp., *Closterium Cornu* Ehrb., *Desmidiium quadratum* (Delp.) Schaar. var. *excavatum* nov. var. *Mongcotia* sp., *Spirogyra mirabilis* (Hass.) Kg., *S. porticalis* (O. F. Müll.) Cl., *S. punctata* Cl., *Pleurococcus mucosus* (Kg.) Cooke, *Dactylococcus infusionum* Näg., *Oocystis Nägeli* A. Br.

¹ CHR. G. EHRENBERG, Mikrogeologie. Leipz. 1854.

² JULIUS SCHAARSCHMIDT, Notes of Afghanistan Algæ (Journ. of Linn. Soc. Vol. XII. London 1884).

Gloocystis vesiculosus Nägl., *Protococcus* sp., *Polyedrium minimum* A. Br., *Scenedesmus quadricauda* (Turp.) Bréb., var. *cornis* (Ehrb.) Ralfs, *Pandorina Morum* (O. F. Müll.) Bory., *Conferva* sp., *Oedogonium longicolle* Nordst. var. *senegalense* Nordst. form. *afghanicum* n. form., *Oc. Pringsheimii* Cram., *Bulbochete pygmaea* Prings., *Coleochete scutata* Bréb. und *Chara* sp. Kurz nachher hat derselbe Verfasser¹ die Algen, die PRZEWAJSKY in der Mongolei gesammelt hat, bestimmt und erwähnt folgende Arten außer den Diatomaceen: *Chroococcus minor* (Kg.) Nägl., *Merismopedium glaucum* (Ehrb.) Nägl., *Gomphospheria aponina* Kg., *Lyngbya* sp., *Cylindrospermum flexuosum* (Ag.) Rab., *Cosmarium Botrytis* (Bory.) Menegh. und var. *regularis* nov. var., *C. nitidulum* de Not. und form. *monstrosa* nov. form., *Closterium Leibleinii* Kg., *Pediastrum Boryanum* (Turp.) Meneg. var. *granulosum* (Kg.) Rab. und *Cladophora oligoclona* Kg.

G. LAGERHEIM² hat auf einer *Utricularia*-Art, gesammelt in Tibet 11 000 Fuß ü. M., folgende Desmidiaceen beobachtet: *Hyalotheca dissiliens* (Smith) Bréb., *Euastrum binale* Ralfs, *Cosmarium granatum* Bréb., *Staurastrum leptodermum* Lund und *Pleurotenium* sp.

K. E. HIRN³ hat die Algenproben, die Prof. Dr. V. F. BROTHERUS in Turkestan gesammelt hat, untersucht und gibt folgende Chlorophyceen und Myxophyceen an: ? *Closterium Lanula* (Muel.) Nitzsch, ? *Cosmarium Botrytis* (Bory) Menegh., ? *Cosmarium conspersum* Ralfs, *Zygnema stellinum* (Vauch.) Ag., *Spirogyra longata* (Vauch.) Kg., *S. Weberi* Kg., *S. Hassallii* (Jen.) Petit, *Pediastrum Boryanum* (Turp.) Ehrb. a brevicorne Br. & longicorne Reinsch, *Oedogonium crispum* (Hass.) Wittr., *Vaucheria terrestris* Lyngb., *V. racemosa* (Vauch.) D. C., *Phormidium autumnale* Gom., *Ph. favosum* Gom. var. β , *Ph. tenue* Gom., *Plectonema Nostocorum* Born., *Nostoc commune* Vauch., *Tolypothrix tenuis* Kg. und *Dichothrix Orsiniana* Born & Flah.

W. SCHMIDLE⁴ hat einige von Dr. HOLDERER in Zentralasien gesammelte Algen bestimmt und erwähnt folgende Arten: *Microspora stagnorum* (Kg.) Lagerh., *Conferva bombycina* (Ag.) Lagerh., *Hormiscia subtilis* (Kg.) De Toni, *H. tenuis* (Kg.) De Toni, *Cladophora glomerata* (L.) Kg., *Scenedesmus bijugatus* (Turp.) Kg., *Raphidium polymorphum* Fresen. var. *fusiforme* (Corda) Rabh., var. *aciculare* (A. Br.) Rabh., var. *asymmetricum* Schmidle nov. var., *Palmella stigeoclonii* Cienk., *Chlamydomonas Holdereri* Schmidle, *Closterium Venus* Kg., *Cl. acerosum* Ehrb., *Spirogyra varians* Hass., *Dichotrix Orsiniana* (Kg.) Gom., *Plectonema Tomasianum* (Kg.) Born., *Microcoleus vaginatus* Gom. & *Vaucheri* (Kg.) Gom., *Oscillatoria tenuis* Ag., *O. amphibia* Ag., *O. limosa* Ag., *Spirulina major* Kg.

¹ JUL. ISTVANFFY, Algæ nonnullæ a Cl. PRZEWAJSKI in Mongolia lectæ (Magy. Növ. Lapok. Klausenburg 1886. Bd. X).

² G. LAGERHEIM, Über Desmidiaceen aus Bengalen (Bihang t. sv. Vet. Akad. Handlingar B. 13. Afd. III No. 9. Sth. 1888).

³ K. E. HIRN, Einige Algen aus Central-Asien. (Öfersigt af Finska. Vet. Soc. Forhandlingar. B. XLII. Helsingfors 1900.)

⁴ W. SCHMIDLE, Einige von Dr. HOLDERER in Centralasien gesammelte Algen (Hedwigia. Bd. XXXIX. Dresden 1900).

Später hat R. GUTWINSKI¹ auch einige von Dr. HOLDERER gesammelte Algen aus Zentralasien und dem westlichen China untersucht und außer den Diatomaceen noch folgende Arten von Chlorophyceen und Myxophyceen bestimmt: *Hormiscia zonata* (Web. & Mohr) Aresch. var. *inacqualis* (Kg.) Rabh., *Vaucheria De Baryana* Wor., var. *Schmidlei* nov. var., *Scenedesmus quadricauda* (Turp.) Bréb., *S. obliquus* (Turp.) Kg., *Spirogyra Spreceiana* (Rabh.) Petit, *S. cateniformis* (Hass.) Kg., *S. Lutetiana* Petit, *Closterium lanceolatum* Kg., *Cl. Pritchardianum* Arch., *Cl. sp.?*, *Cl. moniliferum* (Bory.) Ehrb., *Tetmemorus granulatus* Ralfs, *Disphinctium tumens* (Nordst.) Hansg., *Cosmarium Meneghinii* Bréb., *C. Botrytis* (Bory.) Menegh., *C. tetraophthalmum* (Kg.) Bréb., *Anabacna variabilis* Kütz., *Spirulina subsalsa* (Oerst.) Gom., *Sphaerogonium incrustans* (Grun.) Rostaf., *Chamaesiphon conservicola* A. Br., *Merismopedium glaucum* (Ehrb.) Nägl., *Glæocapsa quaternata* Kg.

C. H. OSTENFELD² hat 1907 ein Verzeichnis der Algen gegeben, welche W. ELPATIEWSKY im Jahre 1903 in dem großen See Kossogol in der nordwestlichen Mongolei, sowie in Teichen und Flüssen der unmittelbaren Umgegend des Kossogol gesammelt hat. Von Chlorophyceen und Myxophyceen werden folgende Arten aufgezählt: *Oedogonium lautumnarium* Wittr., *Oc. oblongum* Wittr., *Bulbochete rectangularis* Wittr., *Coleochete scutata* Bréb., *C. pulvinata* A. Br., *Herpoteiron conservicola* Nägl., *Ulothrix zonata* (Web. et Mohr) Kg., *U. subtilis* Kg., *Homosporea ordinata* W. & G. S. West, *Microspora floccosa* (Vauch.) Thur., *Mougeotia sp.*, *Zygnema sp.*, *Spirogyra quadrata* Hass., *Gonatozygon Brébissonii* de By., *Closterium Leibleinii* Kg., *C. rostratum* Ehrb., *C. aciculare* W. West, *Cosmarium Meneghinii* Bréb., *C. crenulatum* Nägl., *C. punctulatum* Bréb., *C. Botrytis* (Bory.) Menegh., *C. tetraophthalmum* (Ralfs) Bréb., *C. phaseolus* (Bréb.), *Xanthidium antilopæum* (Bréb.) Kg., *Arthrodesmus octocornis* Ehrb., *Staurastrum muticum* Bréb., *S. dejectum* Bréb., *S. polymorphum* Bréb., *S. gracile* Ralfs, *S. oxyacanthum* Arch., *S. furcigerum* Bréb., *Sphaerosoma pulchrum* Bail., *Carteria multifilis* (Fresen.) Dill., *Pandorina morum* (O. F. Müll.) Bory., *Eudorina elegans* Ehrb., *Volvox aureus* Ehrb., *Pediastrum integrum* Nägl., *P. tetras* (Ehrb.) Ralfs, *P. Boryanum* (Turp.) Menegh., *Cælastrum sphaericum* Nägl., *Crucigenia rectangularis* (Nägl.) Gay., *Scenedesmus quadricauda* (Turp.) Bréb., *S. obliquus* (Turp.) Kg., *S. hystrix* Lagerh., *Ankistrodesmus falcatus* (Corda) Ralfs, *A. lacuster* (Chod.) nob., *A. Pfitzeri* (Schröd.) G. S. West, *Kirchneriella lunaris* (Kirchn.) Möb., *Oocystis Nägelii* A. Br., *O. solitaria* Wittr., *O. lacustris* Chod., *Nephrocystium Agardhianum* Nägl., *Dictyosphaerium Ehrenbergianum* Nägl., *Botryococcus Brauni* Kg., *Sphaerocystis Schræteri* Chod., *Glæocystis Gigas* (Kg.)

¹ R. GUTWINSKI, De Algis, praecipue Diatomaceis a Dr. J. Holderer anno 1898 in Asia centrali atque in China collectis. (Bulletin de l'Académie des sc. de Cracovie. Cl. mat. et natur. Cracovie 1903.)

² C. H. OSTENFELD, Beiträge zur Kenntnis der Algenflora des Kossogol-Beckens in der nordwestlichen Mongolei, mit spezieller Berücksichtigung des Phytoplanktons. (Hedwigia. B. XLVI. Dresden 1907.)

Lagerh., *G. infusionum* (Schrank.) W. & G. S. West, *Tetraspora gelatinosa* (Vauch.) Desv., *Tolythrix tenuis* Kg., *Hydrocoryne spongiosa* Schwabe, *Nostoc carneum* (Lyngb.) Ag., *Anabacna flos aquæ* (Lyngb.) Bréb., *A. sp. aff. A. macrospora* Kleb., *A. oscillarioides* Bory, *Oscillaria Agardhii* Gom., *Rivularia rufescens* (Nägl.) Born et Flah., *Glæotrichia pisum* (Ag.) Thur., *G. cchinula* (Engl. Bot.) Richt., *Glæothece linearis* Nägl., *Aphanothece microscopica* Nägl., *Dactylococcopsis raphidioides* Hansg., *Merismopedia glauca* (Ehrb.) Nägl., *Cælosphaerium lacustre* Chod.) nob., *Gomphospharia aponina* Kg., *Microcystis incerta* Lemm., *M. stagnalis* Lemm., *Glæocapsa sp.*, *Aphanocapsa Grevillei* (Hass.) Rabh., *Chroococcus limneticus* Lemm., *Ch. turgidus* (Kg.) Nägl. und *Ch. coharens* (Bréb.) Nägl.

Kurz nachher hat C. H. OSTENFELD in seiner Arbeit¹ über das Phytoplankton des Aralsees auch folgende Myxophyceen und Chlorophyceen als dort vorkommend erwähnt: *Anabacna oscillarioides* Bory, *A. variabilis* Kg., *A. Bergii nov. sp.*, *Cylindrospermum stagnale* (Kg.) Born. & Flah., *Nodularia sp.*, *Lyngbya æstuarii* (Mert.) Liebm., *Oscillatoria tenuis* Ag., *Spirulina major* Kg., *Arthrospira Jenneri* (Hass.) Stizb., *Aphanothece sp.*, *Dactylococcopsis raphidioides* Hansg., *Merismopedia glauca* (Ehrb.) Nägl., *M. tenuissima* Lemm., *Cælosphaerium Kützingianum* Nägl., *C. lacustre* (Chod.) Ostenf., *Gomphospharia aponina* Kg., *Microcystis æruginosa* Kg., *Aphanocapsa Grevillei* (Hass.) Rabh., *Chroococcus turgides* (Kg.) Nägl., *C. limneticus* Lemm. var. *subsalsus* Lemm., *C. minimus* (Keissl.) Lemm., *Oedogonium sp. Bulbochate sp.*, *Geminella interrupta* Turp., *Cladophora sp.*, *Mougeotia calcarea* (Cl.) Wittr., *M. gracillima* (Hass.) Wittr., *M. quadrata* (Hass.) Wittr., *Spirogyra nitida* (Dillw.) Link, *Gonatozygon Brebissonii* De By., *G. monotænium* De By., *Closterium aciculare* W. West., *C. Dianæ* Ehrb., *C. rostratum* Ehrb., *Docidium dilatatum* (Cl.) Lund., *Pleurotænium trabecula* (Ehrb.) Nägl., *Euastrum elegans* Bréb., *Micrasterias pinnatifida* (Kg.) Ralfs, *M. crux melitensis* (Ehrb.) Hass., *Cosmarium phaseolus* Bréb., *C. scenedesmus* Delp., *C. Nagelianum* Bréb., *C. Meneghini* Bréb., *C. Regnesii* Reinsch, *C. Botrytis* (Bory.) Menegh., *C. granatum* Bréb., *C. margaritifera* Menegh., *Xanthidium acanthophorum* Nordst., *Staurastrum brevispinum* Bréb., *S. dejectum* Bréb., *S. polymorphum* Bréb., *S. gracile* Ralfs, *Sphaerosoma vertebratum* Ralfs, *Hyalotheca dissiliens* (Sm.) Bréb., *Desmidiium aptogonum* Bréb., *D. Schwarzii* Ag., *Pandorina Morum* Bory, *Eudorina elegans* Ehrb., *Volvox aureus* Ehrb., *Pediastrum Boryanum* (Turp.) Menegh., *P. tetras* (Ehrb.) Ralfs, *P. integrum* Nägl., *P. duplex* Mey., *P. simplex* Mey., *Cælastrum microsporum* Nägl., *Crucigenia rectangularis* (Nägl.) Gay, *C. quadrata* Morr., *Scenedesmus bijugatus* (Turp.) Kg., *S. obliquus* (Turp.) Kg., *S. quadricauda* (Turp.) Bréb., *Dimorphococcus lunatus* A. Br., *Ankistrodesmus falcatus* (Corda) Ralfs, *Closteriopsis longissima* Lemm., *Selenastrum gracile*

¹ C. H. OSTENFELD, The Phytoplankton of the Aral Sea and its affluents with an enumeration of the Algæ observed (Wissenschaftliche Ergebnisse der Aralsee-Expedition. Lief. VIII, St. Petersburg 1908).

Reinsch, *Kirchneriella lunaris* (Kirchn.) Moeb., *Oocystis Nægeli* A. Br., *O. socialis* Ostenf., *Tetrædon minimum* (A. Br.) Hansg., *T. caudatum* (Corda) Hansg., *Dictyosphaerium Ehrenbergianum* Nägl., *Botryococcus Braunii* Kg., *Sphaerocystis Schræderi* Chod., *Glæocystis gigas* (Kg.) Lagerh., *Ophiocytium cochleare* (Eichw.) A. Br., *Tribonema bombycinum* (Ag.) Derb. & Sol.

Im Jahre 1916 hat HENRIK PRINTZ¹ sehr genaue Untersuchungen über die Chlorophyceen (mit Ausnahme der Desmidiaceen) des südlichen Sibiriens und des Uriankailandes (nördliche Mongolei) in der Nähe des Kossogolsees veröffentlicht. Er zählt folgende Arten auf: *Spirogyra varians* (Hass.) Kg., *S. lutetiana* Petit, *Z. sp.*, *Mougeotia latevirens* (A. Br.) Wittr., *Carteria multifilis* (Fres.) Dill., *C. phaseolus* Printz, *Chlamydomonas variabilis* Dang., *Ch. pisiformis* Dill., *Ch. proccra n. sp.*, *Ch. Reinhardii* Dang., *Ch. Pertyi* Goros., *Ch. glæocystiformis* Dill., *Ch. ampla n. sp.*, *Ch. monadina* Stein, *Ch. cuchlorum* (Ehrb.) Wille, *Gonium pectorale* Müll., *Pandorina morum* (Müll.) Bory., *Eudorina elegans* Ehrb., *Palmodactylon Nægeli* de Wild., *Dictyosphaerium pulchellum* Wood., *Tetraspora gelatinosa* (Vauch.) Desv., *Apiocystis Brauniana* Nägl. und var. *Caput Medusæ* Bohlin, *Schizoclamys gelatinosa* A. Br., *Miscochoccus confervicola* Nägl. und var. *tenuissima n. var.*, *Botryococcus Braunii* Kg., *B. protuberans* W. & G. S. West, *Coccomyxa dispar* Schmidle, *Elakatothrix viridis* (Snow.) Printz, *Dispora crucigenoides* Printz, *Chlorobotrys regularis* (W. West) Bohlin, *Acanthococcus pachydermus* Reinsch, *A. papillosa* (Kg.) Printz, *A. aciculifer* Lagerh., *A. reticularis* Reinsch, *A. sporoides* Reinsch, *A. obtusus* Reinsch, *Glæotanium Loitelsbergerianum* Hansg., *Chlorococcum gigas* Grun. und var. *maxima* W. West, *Ch. botryoides* Rabh., *Kentrosphæra Fasciolæ* Hansg., *Phyllobium incertum* Klebs, *Botrydiopsis arrhiza* Borzi, *Characium obtusum* A. Br., *Ch. Brunthaleri n. sp.*, *Ch. apiculatum* Rabh., *Ch. angustum* A. Br., var. *exacuatum n. var.*, *Ch. ornithocephalum* A. Br. und var. *harpochytriforme* Printz und var. *adolescens* Printz, *Characium ellipticum* Reinsch, *Ch. acuminatum* A. Br., *Ch. polymorphum n. sp.*, *Ch. rostratum* Reinsch, *Ch. Westianum* Printz, ? *Ch. apiocystiforme* Herm., *Characiopsis crassi-apex* Printz, *Ch. pyriformis* (A. Br.) Borzi und var. *subsessilis* Lemm. und var. *oteres n. var.*, *Ch. tuba* (Herm.) Lemm., *Ch. clava* (Herm.) Lemm., *Ch. spinifera* Printz, *Ch. acuta* (A. Br.) Borzi, und var. *Schræderi n. var.*, *Ch. subulata* (A. Br.) Borzi, *Ch. longipes* (Rabh.) Borzi, *Ophiocytium Arbuscula* A. Br., *O. gracilipes* (A. Br.) Rabh. und var. *obovatum* Teodoresc., *O. majus* Nägl., *O. cochleare* (Eichw.) A. Br., *O. capitatum* Wolle und var. *longispinum* (Mæb.) Lemm. und var. *brevispinum* Lemm., *O. parvulum* (Perty) A. Br. und var. *circinatum* (Wolle) Lemm., *Eremosphæra viridis* De By., *Chlorella vulgaris* Beyer., *Ch. conglomerata*

¹ HENRIK PRINTZ, Contributiones ad floram Asiæ interioris pertinentes. Die Chlorophyceen des südlichen Sibiriens und des Uriankailandes. (Det kgl. Videnskabers Selskabs Skrifter 1915 Nr. 4. Trondhjem 1916).

(Art.) Oltm., *Ch. regularis* (Art.) Oltm., *Ch. pachyderma* n. sp., *Placosphaera opaca* Dang., *Radiococcus nimbatus* (de Wild.) Schmidle, *Tetracoccus botryoides* W. West, *Micractinium paucispinum* (W. & G. S. West) Wille, *M. crassispinum* n. sp., *Oocystis crassa* Wittr., *O. parva* W. & G. S. West var. *major* n. var., *O. elliptica* W. West, *O. solitaria* Wittr. und forma *Wittrockiana* Printz und var. *asymetrica* (W. & G. S. West) Printz, und var. *apiculata* (W. West) Printz, und var. *clongata* Printz, und var. *gracilis* n. var. und var. *pachyderma* Printz, *O. gigas* Arch. var. *minor* West, *O. nodulosa* W. & G. S. West, *Lagerhemia ciliata* (Lagerh.) Chod., *Nephrocytium Agardhianum* Nägl., *N. lunatum* W. West, *N. obesum* W. & G. S. West und var. *symmetricum* Printz, *Kirchneriella lunaris* (Kirchn.) Mœb., *Quadrigula closterioides* (Bohl.) Printz, *Q. quaternata* (W. & G. S. West) Printz, *Tetraëdron trigonum* (Nägl.) Hansg., und var. *minus* Reinsch und var. *gracile* Reinsch und var. *crassum* Reinsch, *T. reticulatum* (Reinsch) Hansg., *T. muticum* (A. Br.) Hansg., form. *minima* Reinsch, *T. minimum* (A. Br.) Hansg., und form. *quadra* nov. form. und var. *apiculatum* Reinsch und var. *tetralobulatum* Reinsch, *T. quadratum* (Reinsch) Hansg., var. *minus obtusum* Reinsch, *T. lobulatum* (Nägl.) Hansg., var. *subtetradricum* Reinsch, *T. protumidum* (Reinsch) Hansg., *T. regulare* Kg., *T. caudatum* (Corda) Hansg. und var. *depauperatum* Printz, *T. tetradricum* (Nägl.) Printz, var. *minus* Reinsch, *T. tumidulum* (Reinsch) Hansg. und var. *rotundatum* Reinsch, *T. armatum* (Reinsch) De Toni, *T. enorme* (Ralfs) Hansg., *Reinschiella siamensis* W. & G. S. West, *Asterothrix longispinum* (Perty) Printz, *Euastropsis Richteri* (Schmidle) Lagerh., *Pediastrum muticum* Kg. var. *brevicorne* Racib. und var. *incrme* Racib., *P. integrum* Nägl. var. *scutum* Racib., *P. Boryanum* (Turp.) Ehrb. und var. *perforatum* Racib. und var. *longicorne* Reinsch, forma *glabra* Racib. und forma *granulata* Racib. und var. *brevicorne* A. Br., forma *glabra* Racib. und forma *punctata* Racib., und var. *granulatum* (Kg.) A. Br., *Pediastrum duplex* Mey. und var. *asperum* A. Br., *P. biradiatum* Mey. und var. *emarginatum* A. Br. und var. *granulatum* n. var., *P. Tetras* (Ehrb.) Ralfs, *P. Braunii* Wartm., *P. vagum* Kg., *Scenedesmus bijugatus* (Turp.) Kg. und var. *alternans* (Reinsch) Hansg., *S. arcuatus* Lemm., *S. curvatus* Bohlin, *S. Hystrix* Lagerh., var. *armatus* Chod. und var. *bicaudatus* (Gugliel.) Printz und var. *acutiformis* (Schröder) Chod., *S. serratus* (Corda) Bohlin, *S. quadricauda* (Turp.) Bréb. und var. *abundans* Kirchn. und var. *hyperabundans* Gutw. und var. *bicauda* Hansg. und var. *maximus* W. & G. S. West, *S. Opoliensis* Richter und var. *abundans* Printz, *S. incrassatulus* Bohlin, *S. obliquus* (Turp.) Kg. und var. *intermedius* (Bernard) Printz, *S. acuminatus* (Lagerh.) Chod., *S. costatus* Schmidle, *Crucigenia rectangularis* (Nägl.) Gay, *C. irregularis* Wille, *C. triangularis* (Chod.) Schmidle, *Tetradesmus sibiricus* n. sp., *Cælastrum sphaericum* Nägl., *C. cubicum* Nägl., *C. microsporum* Nägl., und var. *punctatum* Lagerh., *C. scabrum* Reinsch, *C. pulchrum* Schmidle und var. *intermedium* Bohlin, *C. proboscideum* Bohlin, *Sorastrum spinulosum* Nägl. und

var. triangulare Chod., *Ankistrodesmus falcatus* (Corda) Ralfs und *var. acicularis* (A. Br.) G. S. West und *var. mirabilis* G. S. West und *var. spirilliformis* G. S. West und *var. stipitatus* (Chod.) Lemm. und *var. turfusus* Chod., und *var. fusiformis* Corda, *A. convolutus* Corda *var. minutus* (Nägl.) Rabh. und *var. obtusus n. var.*, *A. Braunii* (Nägl.) Lemm. und *var. pygmaeus n. var.*, *A. lacustris* (Chod.) Ostenf., *A. spiralis* (Turner) Lemm., *Ulothrix zonata* (Web. et Mohr) Kg., *Glaxotila scopulina* (Hazen) Heering, *Geminella mutabilis* (Nägl.) Wille, *G. minor* (Nägl.) Heering, *Tribonema bombycinum* (Ag.) Derb. et Sol. und *form. tenuis* Hazen., *Tribonema minus* (Wille) Hazen, *Microspora amana* (Kg.) Rabh., *M. Læfgrœnii* (Nordst.) Lagerh. und *var. suecica* Wittr., *M. stagnorum* (Kg.) Lagerh., *M. pachyderma* (Wille) Lagerh., *M. floccosa* (Vauch.) Thur., *M. Williana* Lagerh., *M. tumidula* Hazen, *Chatophora elegans* (Rabh.) Ag., *Draparnaldia glomerata* (Vauch.) Ag., *Microthamnion Kützingerianum* Nägl., *M. strictissimum* Rabh. und *var. macrocystis* Schmidle, *M. curvatum* W. & G. S. West, *Lochnium piluliferum n. gen. et sp.*, *Gongrosira Debaryana* Rabh., *Epibolium dermaticola n. gen. et sp.*, *Chatosphaeridium globosum* (Nordst.) Klebh., *Ch. Pringsheimii* Klebh., *Aphanochæte repens* A. Br., *A. Pascheri* Heering, *Coleochæte scutata* Bréb., *Ch. orbicularis* Pringsh., *Cylindrocapsa sp.*, *Oedogonium intermedium* Wittr., *O. sphaerandrium* Wittr. & Lund. *form.*, *O. oblongum* Wittr., *O. Areschougii* Wittr., *Bulbochæte mirabilis* Wittr., *Rhizoclonium hieroglyphicum* (Kg.) Stockm., *Cladophora crispata* (Rabh.) Kg. und *var. longissima* (Kg.) Rabh., *Ch. fracta* (Wahl.) Kg. und *Chara crinita* Wall.

Im Jahre 1919 hat KAARE MÜNSTER STRÖM¹ einige Algenproben, die von N. WILLE im Jahre 1897 bei Askabad in Westturkestan gesammelt worden sind, untersucht und folgende Arten gefunden: *Microcystis sp.*, *Merismopedia glauca* (Ehrb.) Nägl., *Phormidium ambiguum* Gom., *Oscillatoria formosa* Bory, *O. sancta* Kg., *O. tenuis* Ag., *Cosmarium granatum* Bréb., *var. depressum n. var.*, *C. pseudonitidulum* Nordst., *C. impressulum* Elf. *var. punctatum n. var.*, *C. leve* Rabh., *Spirogyra sp.*, *Coccomyxa dispar* Schmidle, *Bulbochæte sp.*, *Rhizoclonium hieroglyphicum* Kg., *Cladophora fracta* (Dillw.) Kg., *f. gossypina* (Kg.) Rabh.

Auf seinen verschiedenen Reisen in Zentralasien hat SVEN HEDIN eine Menge von Süßwasseralgen an verschiedenen Stellen gesammelt, die im Folgenden von mir bearbeitet worden sind. Früher sind nur einige vorläufige Berichte² über die Algen aus dem nördlichen Tibet, die SVEN HEDIN im Jahre 1896 gesammelt hatte, veröffentlicht worden.

¹ KAARE MÜNSTER STRÖM, Freshwater Algæ from Caucasus and Turkestan. (Nyt Magazin for Naturvidenskaberne. B. 57. Christiania 1919.)

² N. WILLE, Algen aus dem nördlichen Tibet, von Dr. S. HEDIN im Jahre 1896 gesammelt. (Ergänzungsheft Nr. 131 zu Petermanns Mitteilungen.)

I.

Algen von Dr. SVEN HEDINS Reisen in Zentralasien 1893—97.

SVEN HEDIN ist am 16. Okt. 1893 von Orenburg nach Taschkent gefahren und hat von dort auf dem Weg durch Pamir Untersuchungen angestellt. Er überwinterte in Kaschgar, reiste aber im Sommer und Herbst 1894 im östlichen und mittlern Pamir herum, wo er besonders die Gletscher des Mus-tagh-ata untersuchte. Schon am 17. Febr. 1895 ist er wieder aufgebrochen und ist durch die Sandwüste Takla-makan bis an den Fluß Khotan-darya gezogen. Später im Sommer hat er das östliche und südliche Pamir untersucht und ist zuletzt durch die Takla-makan-Wüste bis zum Lop-nor und zurück nach Khotan gezogen. Im Juni 1896 ist er über das Hochland von Tibet und weiter bis Peking (2. März 1897) gezogen.

Auf diesen Reisen hat Dr. SVEN HEDIN Algen an folgenden Lokalitäten gesammelt:

- I. Süßwasserlagune am östlichen Strande des Kleinen Kara-kul, Pamir. 3720 m ü. M., 17. Juli 1894.
- II. Süße Strandlagune am östlichen Strande des Kleinen Kara-kul, Pamir. 3720 m ü. M., 17. Juli 1894.
- III. Algen auf *Polygonum pamiricum* Korsh. Am Strande des Kleinen Kara-kul im östlichen Pamir. 3720 m ü. M., 17. Juli 1894.
- IV. Süße Quelle an dem südlichen Ufer des Kleinen Kara-kul, Pamir. 20. Juli 1894. 3 Exemplare.
- V. Zwischen Moosen und *Ranunculus subsimilis* Printz. auf dem sumpfigen Quellufer auf dem westlichen Ufer des Kleinen Kara-kul, Pamir. 20. Juli 1894.
- VI. Algen aus dem Bassik-kul, Pamir, auf feinem Sandboden zwischen *Zannichellia*, 3767 m ü. M. 21. Juli 1894.
- VII. Aus dem See Tschacker-agil im östlichen Pamir. 22. Juli 1894.
- VIII. Aus einer Quelle bei Bulung-kul, Pamir. 23. Juli 1894.
- IX. Von dem Flusse, der aus dem unteren Bassik-kul herausfließt, Pamir. 3727 m ü. M., 23. Juli 1894.

- X. Aus dem Süßwassersee des unteren Bassik-kul im östlichen Pamir. 3727 m ü. M., 23. Juli 1894. 3 Exemplare, davon eines mit *Potamogeton filiformis* Pers.
- XI. Algen auf *Myriophyllum spicatum* aus dem unteren Bassik-kul im östlichen Pamir. 3727 m ü. M., 23. Juli 1894.
- XII. Algen auf *Zannichellia palustris* L., var. *pedicellata* Fr. aus dem oberen Bassik-kul in Pamir. 3720 m ü. M., 24. Juli 1894.
- XIII. Algen auf Exemplaren von *Ranunculus aquatilis* L. form. aus einem Moränen-see zwischen den Gletschern Kotschkortschu und Korumdeh an der Westseite des Mus-tagh-ata in Pamir. 4367 m ü. M., 28. Juli 1894.
- XIV. Algen aus einem Gletscherbach und von einer feuchten Wiese. Jam-bulak-baschi auf dem westlichen Mus-tagh-ata. 4300 m ü. M., 3. Aug. 1894. 2 Exemplare.
- XV. Algen aus einem Gletscherbach an dem westlichen Abhang des Mus-tagh-ata. 4300 m ü. M., 5. Aug. 1894.
- XVI. Algen aus einem Gletscherbach mit sumpfigen Wiesen an dem westlichen Abhang des Mus-tagh-ata in Pamir. 4300 m ü. M., 5. Aug. 1894.
- XVII. Von einem Gletscherbach, Jam-bulak-baschi, auf dem Mus-tagh-ata in Pamir. 18. Aug. 1894.
- XVIII. Algen aus dem Süßwassersee Jeschil-kul im inneren Pamir. 2. Sept. 1894.
- XIX. Von einer Quelle an dem östlichen Ufer des Jeschil-kul im inneren Pamir. 3799 m ü. M., 2. Sept. 1894. 5 Proben.
- XX. Algen aus dem südlichen Jeschil-kul. 2. Sept. 1894. 2 Proben.
- XXI. Stagnierender Arm des Mitschur-darya nahe dem Jeschil-kul im inneren Pamir. 3800 m ü. M., 2. Sept. 1894.
- XXII. Algen aus Tschacker-agil, Süßwassersee im östlichen Pamir, teilweise auf *Potamogeton filiformis* Pers. var. *tibeticus* Hagstr. 3319 m ü. M., 22. Juli 1895. 3 Proben.
- XXIII. Algen auf *Myriophyllum spicatum* L. aus dem See Tschacker-agil im östlichen Pamir. 3319 m ü. M., 22. Juli 1895.
- XXIV. Süßwasserquelle am Strande des Sees Bulung-kul im östlichen Pamir. 3405 m ü. M., 23. Juli 1895.
- XXV. Quelle beim Bulung-kul im östlichen Pamir. 3405 m ü. M., 23. Juli 1895. Diese Probe enthält nur Diatomaceen.
- XXVI. Algen auf *Hippuris vulgaris* L., Süßwasserquelle am Ufer des Bulung-kul im östlichen Pamir. 3405 m ü. M., 23. Juli 1895.
- XXVII. Algen auf *Ranunculus aquatilis* L. form. Von einer Süßwasserquelle im Tal von Ulugfur. Taghdumbasch im östlichen Pamir. 4589 m ü. M., 3. Aug. 1895.
- XXVIII. Wasseransammlung bei Ulutör. Auf dem nördlichen Abhang des Hindukusch im südlichen Pamir. Anfang Aug. 1895.

- XXIX. Süßwasserquelle östlich von dem Vadjir-Paß. Im südlichen Pamir. 14. Aug. 1895. Zwischen Laubmoosen.
- XXX. Algen auf Grasblättern des Flusses Tengelik-gol in Tsaidam. 20. Okt. 1895.
- XXXI. Quellensumpf mit süßem Wasser in der Nähe des Mitt-Flusses, südlich des Randgebirges von Kwen-lun, 6. August 1896.
- XXXII. Quelle im Mitt-Tal, Kwen-lun, 6. Aug. 1896.
- XXXIII. Am Lager Nr. X im nördlichen Tibet. Ein kleiner Bach am Nordabhang des Arka-tagh. 22. Aug. 1896.
- XXXIV. Der große Salzsee zwischen Lager Nr. XII und Lager Nr. XIII. 27. Aug. 1896.
- XXXV. Süßwasserlagune am Ufer des großen Sees, westlich des Lagers Nr. XV. 30. Aug. 1896.
- XXXVI. Eine andere Süßwassersammlung ebendasselbst.
- XXXVII. Der Salzsee Nr. 18. 14. Sept. 1896.
- XXXVIII. Großer Salzsee, am Lager Nr. XXXI. 21. Sept. 1896.
- XXXIX. Tossun-nor, stark salzhaltig, Tsaidam. 26. Okt. 1896.
- XL. Süßwasserquelle, Sorgotsu-namaga. 30. Okt. 1896.
- XLI. Koko-nor, salziges Wasser. 10. Nov. 1896.
- XLII. Diese Nummer umfaßt eine Anzahl Proben aus Pamir, die aber ohne bestimmte Speziallokalität sind.

In dem nachfolgenden Verzeichnis über die gefundenen Algenarten sind die Diatomaceen nicht berücksichtigt.

Systematisches Verzeichnis der Algen und Chytridiaceen,

welche Dr. SVEN HEDIN auf seiner Reise in Zentralasien 1893—96 gesammelt hat.

Ordo. Chytridinæ.

Gatt. **Harpochytrium** Lagerh.

1. *H. Hedini* Wille.¹ Taf. XI, Fig. 1—9.

Wie aus ganz jungen Stadien hervorgeht (Taf. XI, Fig. 1—3), entstehen die jungen Individuen, die zuerst eine umgekehrt eiförmige Pflanze hervorbringt. Später wächst die junge Pflanze seitwärts vom Stiele aus (Taf. XI, Fig. 4) so, der Stiel wird also scheinbar seitlich befestigt, indem das ursprünglich obere Ende in einem langen, etwas verschiedenartig gekrümmten Schlauch (Taf. XI,

¹ Die Algen aus den Proben Nr. XXXI—XLI sind schon früher von mir kurz veröffentlicht worden in N. WILLE, Algen aus dem nördlichen Tibet von Dr. SVEN HEDIN im Jahre 1896 gesammelt.

Fig. 5—9) herauswächst. Länge der Pflanze 20—40 μ , Breite 2—3 μ . Zoosporangien habe ich nicht gesehen. Dagegen zeigen einige ältere Exemplare (Taf. XI, Fig. 5, 6) eine Querwand in verschiedenem Abstand von der Stipes, wahrscheinlich die Abgrenzung eines Sporangiums.

Die Art steht offenbar den *Harpochytrium Hyalotheca* Lagerh. nahe, weicht aber dadurch ab, daß der Stiel kürzer ist und an der Seite der sichelförmigen Zelle befestigt ist, die unten abgerundet, oben spitz ist. LAGERHEIM¹ schreibt folgendes von seiner *H. Hyalotheca* Lagerh.: »Von diesem Stiel, welcher die Membran der *Hyalotheca* durchbohrt, gehen wahrscheinlich Rhizoiden aus, welche der extramatrikalen Zelle Nahrung zuführen.«

Dies stimmt nicht mit den von mir beobachteten Verhältnissen bei *H. Hedinii* Wille. Bei diesem ist der Stiel nicht hohl, aber solide und nur ganz äußerlich in der Cuticula der Wirtspflanze knopfförmig befestigt. Daß Rhizoiden aus *Harpochytrium Hedinii* Wille in die Wirtspflanze hineindringen könnten, ist meiner Meinung nach ausgeschlossen, und die Pflanze lebt offenbar nur epiphytisch, nicht parasitär auf der *Zygnema*-Art. Die organische Nahrung, die die epiphytische Pflanze nötig hat, erhält sie vielleicht aus der Schleimscheide der *Zygnema*, weil der Inhalt der *Zygnema*-Zellen nicht zerstört war.

Harpochytrium Hedinii Wille ist phylogenetisch deshalb vielleicht aus einer *Chytridium*-Art herauszuleiten, die saprophytisch und deshalb farblos geworden ist.

Fundort: XL Sorgotsu-namaga, 30. Okt. 1896.

Myxophyceæ (Wallr.) Stiz.

Fam. Chroococcaceæ Nägl.

Chroococcus Nägl.

1. *Ch. minor*. (Kg.) Nägl.

Lokalitäten: XIX, Jeschil-kul in Pamir; XX, südlich Jeschil-kul. 2. Sept. 1894.

form. violacea n. form.

Protoplasma violaceo.

Lokalität: XX, südlich vom Jeschil-kul. 2. Sept. 1894.

2. *Ch. minutus* (Kg.) Nägl.

Lokalitäten: VI, Bassik-kul in Pamir. 21. Juli 1894; XLII, unbestimmte Stelle in Pamir.

¹ G. LAGERHEIM, *Harpochytrium* und *Achlyella*, zwei neue Chytridiaceen-Gattungen. (Hedwigia 1890. S. 143.)

Form. Long. cell. sine teg. 8 μ , cum teg. 12 μ ; lat. cell. sine teg. 4 μ , cum teg. 11 μ .
Lokalitäten: XIX, Jeschil-kul in Pamir. 2. Sept. 1894. Tschacker-agil im östlichen Pamir. 22. Juli 1895.

3. *Ch. turgidus* (Kg.) Nägl.

var. *violaceus* W. West.

Long. cell. sine teg. 10—11 μ , cum teg. 24 μ ; lat. sine teg. 8.5 μ , cum teg. 15 μ .
Lokalität: XX, südlich vom Jeschil-kul. 2. Sept. 1894.

form. *cytoplasmate fuscescente* (? var. *fuscescens* [Kg.] Forti).

Lat. cytoplasm. 15 μ .

Lokalität: XXVIII, Ulutör in Pamir. Anfang Aug. 1895.

Synechococcus Nägl.

1. *S. acruiginosus* Nägl.

Lat. 18 μ und long. 14 μ .

Lokalitäten: VI, Bassik-kul in Pamir. 21. Juli 1894. Tschacker-agil in Pamir. 22. Juli 1895.

Merismopedium Mey.

1. *M. convolutum* Bréb.

form. *minor* n. form. Taf. XI, Fig. 10, 11.

Long. cell. 4—5 μ , lat. 2—3 μ .

Die Familien waren sehr groß, aus mehreren Hundert Zellen bestehend, in einer Zylinderebene gebogen, waren aber etwas unregelmäßig, weil viele Zellen abgestorben waren.

Lokalität: XIX, Jeschil-kul in Pamir. 2. Sept. 1894.

Cœlosphærium Nägl.

1. *C. Kuetzingianum* Nägl.

Lokalität: XXIX, Vakdjir-Paß in Pamir. 14. Aug. 1895.

Fam. **Chamæsiphonaceæ** Borzi.

Chamæsiphon A. B. et Grun.

1. *Ch. incrustans* Grun.

Long. cell. 6 μ , lat. 2.5 μ .

Epiphytisch auf *Ulotrix tenerrima* Kg.

Lokalität: XVI, Mus-tagh-ata in Pamir. 5. Aug. 1894.

forma *asiatica* n. form.

Long. cell. 20 μ , lat. 4 μ .

Epiphytisch auf *Rhizoclonium macromeres* Wittr. form.

Lokalität: VI, Bassik-kul in Pamir. 21. Juli 1894.

form. longissima n. form.

Long. 46 μ , lat. 2—3 μ .

Diese Form kommt mit der vorhergehenden zusammen epiphytisch auf den Fäden von *Rhizoclonium macromerces* Wittr. *form. vor.*

Lokalität: VI, Bassik-kul in Pamir. 21. Juli 1894.

Xenococcus Thur.

1. *X. Kernerii* Hansg.

Long. cell. 6 μ , lat. 3—4 μ .

Lokalität: XVIII, Jeschil-kul in Pamir. 2. Sept. 1894; XX, südlich Jeschil-kul. 2. Sept. 1894.

Diese Alge hat gewisse Ähnlichkeiten mit *Xenococcus acervatus* Setch. et Gardn. (N. L. Gardner, New Pacif. coast marine Algæ. III, S. 459, Pl. 39, Fig. 13); während aber diese letztere Art epiphytisch auf Salzwasserarten vorkommt, muß ich die zentralasiatische Art zu *X. Kernerii* Hansg. rechnen.

Fam. **Oscillatoriaceæ** (Gray) Kirchn.

Oscillatoria Vauch.

1. *O. formosa* Bory.

Lat. fil. 5.8 μ .

Lokalität: XIX, Jeschil-kul in Pamir. 2. Sept. 1894.

2. *O. princeps* Vauch.

Lat. fil. 28 μ .

Lokalität: Jeschil-kul in Pamir. 2. Sept. 1894.

3. *O. sancta* Kg.

Lat. fil. 10 μ . Der Zellinhalt war schwach veilchenfarbig.

Lokalität: XXIV, Bulung-kul in Pamir. 23. Juli 1895.

4. *O. tenuis* Ag.

Lat. fil. 8 μ .

Lokalitäten: XVI, Mus-tagh-ata in Pamir. 5. Aug. 1894; XXX, Jeschil-kul in Pamir. 2. Sept. 1894.

var. asiatica n. var.

Diese Form weicht dadurch von der Hauptart ab, daß die Fäden gerade sind ohne Einschnürungen bei den Querwänden. Die Endzellen sind abgerundet ohne hervortretende Membranverdichtungen. Die Breite der Fäden ist 10—11 μ , die Länge der Zellen ist 3—6 μ . Die Querwände haben immer 2 deutliche Körnerreihen. Der getrocknete Tallus hat eine stahlblaue Farbe

(genau wie *Oscillaria antliaria* Kg. [= *O. tenuis* Ag.] in Wittr. et Nordst. Exsic. No. 588). Diese Alge wuchs auf stark sandhaltigem Schlamm.

Lokalität: VIII, Bulung-kul in Pamir. 23. Juli 1894.

Phormidium Kg.

1. *Phormidium laminosum* (Ag.) Gom.

Lokalität: XXVI, Bulung-kul in Pamir. 23. Juli 1895.

Lyngbya Ag.

1. *crugineo-carulea* (Kg.) Gom.

Lokalität: XXVI, Bulung-kul in Pamir. 23. Juli 1895; XXXIII, Nordabhang von Arka-tagh in Tibet. 22. Aug. 1896.

form. trich. lat. 6 μ .

Lokalität: VI, Bassik-kul in Pamir. 21. Juli 1894.

2. *L. putealis* Mont.

form. fil. crass. ad 18 μ .

Lokalität: XVIII, Jeschil-kul in Pamir. 2. Sept. 1894.

Microcoleus Desmaz.

1. *Microcoleus paludosus* (Kg.) Gom.

Lat. fil. 5—6 μ .

Lokalität: III, Auf *Polygonum pamiricum* Korsk. wachsend bei dem Kleinen Kara-kul in Pamir. 17. Juli 1894.

Fam. **Nostochaceæ** (Ag.) Nägl.

Nostoc Vauch.

1. *N. commune* Vauch.

Lokalität: XXVIII, bei Ulutör in Pamir. Anfang Aug. 1895.

2. *Nostoc* sp. (*juvenilis*).

Lokalitäten: XVII, Jam-bulak-baschi auf Mus-tagh-ata in Pamir. 18. Aug. 1894; XLII, von unbestimmter Stelle in Pamir.

Fam. **Scytonemataceæ** (Kg.) Rabh.

Tolypothrix Kg.

1. *T. distorta* Kg.

Lokalität: XIX, Jeschil-kul in Pamir. 2. Sept. 1894.

2. *T. tenuis* Kg.

Lokalität: XXVIII, bei Ulutör in Pamir. Anfang Aug. 1895.

Fam. **Rivulariaceæ** (Menegh.) Kirchn.**Calothrix** Ag.

- 1.
- C. fusca*
- (Kg.) Born. et Flah.

*form. minor.*Lat. trichom. 6 μ , lat. bulb. fili 12 μ .Die Alge kommt epiphytisch im Schleime von *Nostoc commune* Vauch. vor.

Lokalität: XXVIII, bei Ulutör in Pamir, Anfang Aug. 1895.

Chlorophyceæ.Fam. **Volvocaceæ** (Cohn) Kirchn.**Haematococcus** Ag.

- 1.
- H. pluvialis*
- Flot.

Diam. d. Ruhezellen 32—36 μ .

Lokalität: XXVIII, bei Ulutör in Pamir, Anfang Aug. 1895.

Fam. **Pleurococcaceæ** Wille.**Trochiscia** Kg.

- 1.
- T. sp.*
- (=
- Acanthococcus sp.*
- N. Wille, Algen aus dem nördlichen Tibet, 1896 S. 2).

Lokalität: XXXVI, westlich des Lagers Nr. XV, Tibet, 30. Aug. 1896.

Urococcus Hass.

- 1.
- U. insignis*
- Hass.

Diese Art ist wohl als ein Teilungsstadium einer Süßwasserperidine aufzufassen.

Lokalität: XXVIII, bei Ulutör in Pamir, Anfang Aug. 1895.

Fam. **Ophiocytiaceæ** Wille.**Ophiocytium** Nägl.

- 1.
- O. majus*
- Nägl.

Lokalität: XXIX, bei dem Vakdjir-Paß in Pamir, 14. Aug. 1895.

Fam. **Hydrodictyaceæ** Wille.**Pediastrum** Mey.

- 1.
- P. Boryanum*
- (Turp.) Menegh.

Lokalitäten: I und II, bei dem Kleinen Kara-kul in Pamir, 17. Juli 1894;

IV, Kara-kul in Pamir, 20. Juli 1894; IX, Bassik-kul in Pamir, 23. Juli 1894;

XXIX, bei dem Vakdjir-Paß in Pamir, 14. Aug. 1895.

var. granulatum (Kg.) Rabh.

Lokalität: XXIII, Tschacker-agil in Pamir, 22. Juli 1895.

22. VI, 3.

Fam. **Cœlastraceæ** Wille.**Scenedesmus** Mey.

1. *S. acutiformis* Schr.
Lokalität: XLII, von unbestimmter Stelle in Pamir.
2. *S. bijugatus* (Turp.) Kg.
Lokalität: XX, Jeschil-kul, 2. Sept. 1894; XXIX, bei dem Vakdjir-Paß in Pamir,
14. Aug. 1895.
3. *S. Hystrix* Lagerh.
Lokalität: VIII, Bassik-kul in Pamir, 23. Juli 1894.

Fam. **Desmidiaceæ** (Kg.) De By.**Closterium** Nitzsch.

1. *Cl. acerosum* (Schrank) Ehrb.
var. minus Hantsch.
form. long. 135 μ , *lat.* 15 μ .
Lokalität: XXIX, bei dem Vakdjir-Paß in Pamir, 14. Aug. 1895.
2. *Cl. Dianæ* Ehrb.
Lokalität: XXIX, bei dem Vakdjir-Paß in Pamir, 14. Aug. 1895.
3. *Cl. incurvum* Breb.
form. long. 72—90 μ , *lat.* 15—17 μ (Taf. XI, Fig. 14, 15).
Lokalität: XVII, auf dem Mus-tagh-ata in Pamir, 18. Aug. 1894.
4. *Cl. lanceolatum* Kg.
Long. 430 μ , *lat.* 63 μ .
Lokalität: IV, bei dem Kleinen Kara-kul in Pamir, 20. Juli 1894.
5. *Cl. parvulum* Nägl.
form. long. 66—78—93 μ , *lat.* 14—15 μ (Taf. XI, Fig. 16, 17).
Lokalität: XIV, auf dem Mus-tagh-ata in Pamir, 5. Aug. 1894.
6. *Cl. Pritchardianum* Arch.
Long. 432 μ , *lat.* 50 μ .
Lokalität: IV, bei dem Kleinen Kara-kul in Pamir, 20. Juli 1894.
7. *Cl. tumidum* Johns.
(= *Cl. acerosum* [Schrank] Ehrb. *form.*)
form. long. 159—162 μ , *lat.* 22—24 μ (Taf. XI, Fig. 12, 13).
Lokalität: XXXVI, westlich vom Lager XV in Tibet, 30. Aug. 1896.

Penium (Breb.) Lütke.1. *P. curtum* Breb.

Long. 45 μ , lat. 19 μ , lat. isth. 16.5 μ .

Lokalität: XVI, auf dem Mus-tagh-ata in Pamir, 5. Aug. 1894.

form. major Wille.

Long. 45—51 μ , lat. 24—28 μ .

Lokalität: XVI, auf dem Mus-tagh-ata in Pamir, 5. Aug. 1894; XVII, von Jam-bulak-baschi auf dem Mus-tagh-ata, 18. Aug. 1894.

2. *P. Jenneri* Ralfs.

Long. 39.5 μ , lat. 14.5 μ .

Lokalität: XVII, von Jam-bulak-baschi auf dem Mus-tagh-ata, 18. Aug. 1894.

Docidium (Breb.) Lund.1. *D. nodulosum* Breb.

Lokalität: XXIX, von dem Vajdžir-Paß in Pamir, 14. Aug. 1895.

Cosmariium (Corda) Lund.1. *C. anomalum* Delp.

forma minor, cellulis vertice visae ellipticis.

Long. 57—63 μ , lat. 48—57 μ , lat. ist. 17—18 μ , crass. 26 μ .

Lokalität: XX, beim Jeschil-kul in Pamir, 2. Sept. 1894, XXIX, bei dem Vajdžir-Paß in Pamir, 14. Aug. 1895.

2. *C. Botrytis* Menegh.

form. major. Long. 95 μ , lat. 70 μ .

Lokalität: IV, bei dem Kleinen Kara-kul in Pamir, 20. Juli 1894.

form. minor. Long. 66 μ , lat. 57 μ , lat. ist. 16 μ .

Lokalität: XXII, Tschacker-agil in Pamir, 22. Juli 1895; XXIX, bei dem Vajdžir-Paß in Pamir, 14. Aug. 1895.

3. *C. concinnum* (Rab.) Reinsch.

β *laeve* Wille.

Long. 14 μ , lat. 12 μ , lat. ist. 4—5 μ .

Lokalität: XXIX, bei dem Vajdžir-Paß in Pamir, 14. Aug. 1865.

4. *C. granatum* Bréb.

Long. 40 μ , lat. 24 μ , lat. ist. 8 μ .

Lokalitäten: IX, bei dem unteren Bassik-kul in Pamir, 23. Juli 1894; XXIII, bei Tschacker-agil in Pamir, 22. Juli 1895, XXXII, im Mitt-Tal, Kwen-lun, 6. Aug. 1896.

5. *C. holmiense* Lund.
form. minor.
 Long. 48 μ , lat. 33 μ , lat. ap. 22 μ , lat. ist. 19 μ .
 Die Membran ist etwas deutlicher punktiert als bei der Hauptform.
 Lokalität: XVI, auf dem Mus-taggh-ata in Pamir, 5. Aug. 1894.
6. *C. impressulum* Efv.
 Lokalität: XXXII, aus dem Mitt-Tal, Kwen-lun, 6. Aug. 1896.
7. *C. Meneghinii* Bréb.
 (*Form. conf.* Ralfs, Brit. Desmid., Taf. XV, Fig. 6^b.)
 Long. 38 μ , lat. 22 μ , lat. ist. 7 μ .
 Lokalität: XVI, auf dem Mustagh-ata, 5. Aug. 1894.
form. octangularis Wille.
 Long. 16 μ , lat. 11 μ , lat. ist. 4.5 μ .
 Lokalitäten: XIX, beim Jeschil-kul in Pamir, 2. Sept. 1894; XXIX, bei dem
 Vakdjir-Paß in Pamir, 14. Aug. 1895.
8. *C. notabile* Bréb.
 Long. 36 μ , lat. 25 μ , lat. ist. 18 μ .
 Lokalitäten: XV, auf dem Mus-taggh-ata in Pamir, 5. Aug. 1894; XVII, bei
 Jam-bulak-baschi auf dem Mus-taggh-ata, 18. Aug. 1894.
9. *C. obliquum* Nordst.
 Long. 12 μ , lat. 12 μ , lat. ist. 10 μ .
 Lokalität: XXXII, aus dem Mitt-Tal, Kwen-lun, 6. Aug. 1896.
10. *C. Phaseolus* Bréb.
form. minor.
 Long. 24 μ , lat. 18 μ , lat. ist. 8 μ .
 Lokalität: XXIX, bei dem Vakdjir-Paß in Pamir, 14. Aug. 1895.
11. *C. punctulatum* Bréb.
 Long. 31 μ , lat. 24 μ , lat. ist. 11 μ .
 Lokalität: XVI, auf dem Mus-taggh-ata in Pamir, 5. Aug. 1894.
 ? β *rotundatum* Klebs, *form. indica* Turn.
 Long. 45 μ , lat. 33 μ .
 Die Bestimmung ist vielleicht nicht ganz sicher, weil die einzige Zelle etwas
 kontrahiert war und die Form deshalb nicht ganz deutlich war.
12. *Cosmarium reniforme* (Ralfs.) Arch.
form. long. 68 μ , lat. 52 μ , lat. ist. 18 μ .
 Diese Form hat große Ähnlichkeit mit der von C. S. WEST (British Des-
 midiaceæ, Pl. 79, Fig. 7) abgebildeten Form.
 Lokalität: IX, bei dem unteren Bassik-kul in Pamir, 23. Juli 1894.

13. *C. speciosum* Lund.
var. simplex Nordst. (Taf. XI, Fig. 18).
 Long. 49 μ , lat. 33 μ , lat. ist. 19 μ .
 Lokalität: XVI, auf dem Mus-tagh-ata, in Pamir. 5. Aug. 1894.
14. *C. subcrenatum* (Hantsch) Nordst.
 Long. 27—33 μ , lat. 24—25 μ , lat. ist. 8—11 μ .
 Lokalitäten: XV, auf dem Mus-tagh-ata, in Pamir. 5. Aug. 1894; XVI, ebenda;
 XVII, Jam-bulak-baschi auf dem Mus-tagh-ata, in Pamir. 16. Aug. 1894;
 XXIX, bei dem Vakdjir-Paß, in Pamir. 14. Aug. 1895.

form. major.

Long. 57 μ , lat. 43 μ , lat. ist. 15 μ .

Diese Form erinnert etwas an *C. reniforme* (Ralfs) Arch., weil der Sinus nach außen etwas offen ist; der abgeschnittene Apex, die Granulation an der Mitte der Habzellen und die Zelle von oben gesehen zeigen aber, daß diese Form zu *C. crenatum* (Hantsch) Nordst. gerechnet werden muß.

Lokalität: XII, aus dem oberen Bassik-kul in Pamir. 24. Juli 1894.

15. *C. subspeciosum* Nordst.
 Long. 42 μ , lat. 33 μ , lat. ist. 10—11 μ , crass. 21 μ .
 Lokalität: bei dem Vakdjir-Paß, in Pamir. 14. Aug. 1895.

form. isthmo latiore.

Long. 48 μ , lat. 33 μ , crass. 22 μ , lat. ist. 21 μ , lat. ap. 15 μ .

Lokalität: XXXVI, westlich des Lagers Nr. XV, in Tibet. 30. Aug. 1896.

16. *C. umbilicatum* Lütkem.

form. minor.

Long. 16 μ , lat. 13 μ , lat. ist. 4 μ .

Lokalität: II, bei dem Kleinen Kara-kul, in Pamir. 17. Juli 1894.

Staurostrum Mey.

1. *St. alternans* Bréb.
 Long. 24 μ , lat. 24 μ .
 Lokalität: XXIX, bei dem Vakdjir-Paß, in Pamir. 14. Aug. 1895.
2. *St. Kjellmani* Wille.
form. tetragona Wille.
 Lokalität: XXIX, bei dem Vakdjir-Paß, in Pamir. 14. Aug. 1895.

Fam. **Zygnemataceæ** (Menegh.) De By.**Spirogyra** Link.

1. *S. communis* (Hass.) Kg.
 Lokalität: XXXII, im Mitt-Tal, Kwen-lun. 6. Aug. 1896.

2. ?*S. decimina* Müll.

Die Fäden waren steril, und die Bestimmung ist deshalb leider etwas unsicher. Die Größenverhältnisse der Zellen stimmen aber mit *S. decimina* Müll., und in jeder Zelle waren zwei einander kreuzende schlanke Chromatophoren, wie es für diese Art charakteristisch ist.

Lokalität: IV, beim Kleinen Kara-kul, in Pamir. 20. Juli 1894.

3. *S. Hassallii* (Jenn.) Pet.

Lokalität: XXXII, im Mitt-Tal, Kwen-lun. 6. Aug. 1896.

4. *S. Lutctiana* Pet.

Lat. fil. 40 μ , lat. zygot. 38 μ , long. zygot. 100 μ .

Lokalität: XVIII, aus dem Jeschil-kul, in Pamir. 2. Sept. 1894.

5. *S. varians* (Hass.) Kg. Taf. XI, Fig. 19—22.

Lokalität: XIX, bei dem Jeschil-kul, in Pamir. 2. Sept. 1894.

form. lat. cell. veg. 32—34 μ , long. duplo-quadruplo longioribus; lat. cell. fruct. 44—74 μ , lat. zygot. 40—50 μ , long. 80—90 μ .

Die Zellen haben nur jede 1 Chromatophor und entbehren Falten an den Querwänden. Es kommt bisweilen *Rhynchonema*-Kopulation innerhalb der kopulierenden Zellen vor (Taf. XI, Fig. 20—21), aber niemals durch Kopulationskanäle außerhalb der Zellen. Bisweilen werden kurze, seitliche Kopulationskanäle gebildet, ich habe aber nicht beobachtet, daß sie zur Kopulation führen (Taf. XI, Fig. 22). Bisweilen werden Parthenosporen in aufgeschwollenen Zellen ohne Kopulation gebildet (Taf. XI, Fig. 19).

Die Zygoten sind elliptisch, braun mit glatter Membran.

Lokalität: XLII, unbestimmte Stelle in Pamir.

6. *S. sp. steriles*.

Es waren sterile und deshalb meistens unbestimmbare *Spirogyra*-Fäden in den Proben; sie stammen aus den Stellen, die bezeichnet sind mit den Nummern: IV, VIII, X, XI, XII, XIX, XXI, XXIV, XXVI, XXX, XXXI, XXXII, XXXVI, XXXVII, XI. und XLII.

Zygnema (Ag.) De By.1. *Z. stellinum* (Vauch.) Ag.

Cum zygotis immaturis. Lat. fil. veg. 33—34 μ , lat. zyg. 36 μ , long. zygot. 46 μ .

Lokalitäten: XVI, bei Jam-bulak-baschi auf dem Mus-tagh-ata, in Pamir. 3. Aug. 1894.

2. *Z. sp. steriles*.

Sterile und deshalb unbestimmbare *Zygnema*-Fäden waren in den Proben; sie stammen von den Stellen, die bezeichnet sind mit den Nummern: VII, XIV, XV, XVI, XVII, XIX und XLII.

Zygogonium (Kg.) De By.1. ? *Z. ericetorum* Kg.Lat. fil. 21 μ .

Die Zellwände waren sehr dick; weil aber nur vereinzelt kurze Fäden vorkommen, ist die Bestimmung unsicher.

Lokalität: XVI, auf dem Mus-tagh-ata in Pamir. 5. Aug. 1894.

Fam. **Mesocarpacæ** De By.**Mougeotia** (Ag.) Wittr.1. 2. *Mougeotia* sp. 2.

Die eine Art hatte eine Breite der Zellen von 15 μ , die andere eine Breite von 22 μ . Sie waren überall steril und deshalb unbestimmbar.

Ich habe solche sterile *Mougeotia*-Fäden in den Proben beobachtet, die von den Stellen stammen, die mit folgenden Nummern bezeichnet sind: IV, XII, XIV, XVIII, XIX, XXXI und XLII.

Fam. **Ulvacæ** (Lamour.) Rabh.**Enteromorpha** Link.1. *E. percursa* (Ag.) J. Ag.

Lokalität: XXXIV, in dem großen Salzsee zwischen Lager Nr. XII und Nr. XIII, in Tibet. 27. Aug. 1896.

2. *E. prolifera* (Müll.) J. Ag.

Lokalität: X, aus dem Süßwassersee des unteren Bassik-kul in Pamir. 23. Juli 1894.

Diese Alge ist nach einer Mitteilung von GUNNAR SJÖSTEDT wahrscheinlich nur eine Form von *E. intestinalis* (L.) Link. Es kamen von dieser Form nur kleine vereinzelte Stücke in der Probe vor.

Fam. **Ulothrichiacæ** Kg.**Ulothrix** Kg.1. *U. tenerrima* Kg.form. lat. 9—12 μ .

Lokalitäten: XVI, auf dem Mus-tagh-ata, in Pamir, 5. Aug. 1894; XIX, bei dem Jeschil-kul in Pamir, 2. Sept. 1894; XXXI, nahe dem Mitt-Fluß, im Kwen-lun, 6. Aug. 1896, und XXXII, im Mitt-Tal, Kwen-lun, 6. Aug. 1896.

2. ? *U. zonata* (Web. et Mohr) Kg.

Lokalität: X, aus dem unteren Bassik-kul in Pamir. 23. Juli 1894.

Es war nur ein kleines Fragment von einem Faden zu finden, und die Bestimmung ist deshalb vielleicht nicht ganz sicher.

Hediniella Wille n. gen.

Differt ab Ulothrice cellulis singulas-ternas aplanosporas continentibus, Aplanosporæ maturæ rubræ, oleum continentis.

1. *H. pamirica* n. sp. Taf. XI, Fig. 23—26.

Latitudo cellularum 11—12 μ , longitudo simplo-quadruplo longior; aplanosporæ ovales vel rotundatæ, akinetæ ovales.

Lokalität: vom Jeschil-kul, in Pamir. 2. Sept. 1894.

Leider konnte ich von dieser Alge nur getrocknetes Material untersuchen und war deshalb nicht in der Lage, die Form des Chromatophors zu beobachten. Die Zellen waren 11—12 μ breit, die Länge der Zellen war sehr wechselnd, von ein- bis mehrmals länger als die Breite (Taf. XI, Fig. 24, 26).

Die Zellwände sind dünn und besitzen keine Microspora-Struktur.

Die Alge hat sowohl Akineten wie Aplanosporen.

Die kürzeren Zellen haben jede nur 1 Akinet (Taf. XI, Fig. 23, 24), welche den Akineten von *Ulothrix Pringsheimii* Wille (N. Wille, Algolog. Mitteil. S. 501, Taf. XIX, Fig. 126—130) sehr ähnlich sind; es fehlen aber die Membranverdichtungen an den Ecken, die für *U. Pringsheimii* charakteristisch sind. In den langen Zellen werden 1—2—3 Aplanosporen gebildet (Taf. XI, Fig. 25, 26), die wenn ganz jung Stärke enthalten, als reif aber ziegelsteinrot sind und Öl enthalten.

Es scheint mir wahrscheinlich, daß diese zwei Arten: *Hediniella pamirica* Wille und *Ulothrix Pringsheimii* Wille keine Zoosporen bilden, sondern sich nur durch Akineten vermehren. Ich habe allerdings bei der Untersuchung von lebendem Material von *U. Pringsheimii* 1882 kein Anzeichen der Zoosporenbildung entdecken können.

Die roten Aplanosporen von *Hediniella pamirica* Wille sind offenbar Ruhestadien zur Überwinterung. Ob solche rote Aplanosporen auch bei *Ulothrix Pringsheimii* vorkommen, weiß ich nicht; wenn sie aber auch dort auftreten, würde die Art zur Gattung *Hediniella* Wille zu überführen sein.

Binuclearia Wittr.1. *B. tatrana* Wittr. Taf. XI, Fig. 27.

Die Abbildung zeigt, daß die jungen *Binuclearia*-Fäden mit einem Stiele befestigt sind.

Lokalitäten: XXXI, in der Nähe des Mitt-Flusses, Kwen-lun, in Tibet, 6. Aug. 1896; XXXII, Quelle im Mitt-Tal, Kwen-lun, in Tibet, 6. Aug. 1896; XLII, von unbestimmter Stelle in Pamir.

Microspora Thur.

1. *M. floccosa* Thur.
Lat. fil. 7—8 μ .
Lokalität: XXIX, bei dem Vakdjir-Paß, in Pamir. 14. Aug. 1895.
2. *M. stagnorum* (Kg.) Lagerh.
Lokalitäten: XVII, im Tal von Ulutör, in Pamir. 3. Aug. 1895.

Tribonema Derb. et Sol.

1. *T. bombycina* (Ag.) Derb. et Sol.
Lokalitäten: XVI, auf dem Mus-taggh-ata, in Pamir, 5. Aug. 1894; XXXI, in der Nähe des Mitt-Flusses, Kwen-lun, in Tibet. 6. Aug. 1896; XXXII, Quelle im Mitt-Tal, Kwen-lun, in Tibet, 6. Aug. 1896.
2. *T. minor* (Wille) Hazen.
Lat. fil. 6—7 μ .
Lokalitäten: XXIX, bei dem Vakdjir-Paß, in Pamir, 14. Aug. 1895; XXXII, Quelle im Mitt-Tal, Kwen-lun, in Tibet, 6. Aug. 1896.

Fam. **Chætophoraceæ** (Harv.) Hass.**Stigeoclonium** Kg.

1. *S. sp.?*
Es waren Polster auf Blättern von *Potamogeton filiformis* Pers. var. *tibeticus* Hagstr., die vielleicht als *Stigeoclonium*-Sohle aufzufassen sind. Sie sind aber unbestimmbar, weil Zoosporangien und Zweige fehlen.
Lokalität: XXII, aus dem Tschacker-agil, Süßwassersee in Pamir. 22. Juli 1895.

Fam. **Oedogoniaceæ** De By.**Oedogonium** Link.

1. *Oe. Franklinianum* Wittr.
Lat. cell. veg. 7—9 μ , long. oogon. 22—27 μ , lat. oogon. 25 μ , long. sp. 21 μ ,
lat. sp. 23 m.
Lokalität: XXIX, bei dem Vakdjir-Paß, in Pamir. 14. Aug. 1895.
2. *Oe. rufescens* Wittr.
form. exiguum (Elfv.) Hirn.
Lat. cell. veg. 6 μ , lat. oogon. 29 μ , long. sp. 19 μ , lat. sp. 27 μ .
Lokalität: XXIX, bei dem Vakdjir-Paß, in Pamir. 14. Aug. 1895.
2. *Oe. sociale* Wittr.
Lat. fil. 15 μ , lat. oogon. 38 μ , long. oogon. 40 μ , lat. sp. 35 μ .
Lokalität: XVIII, bei Ulutör in Pamir. Anfang Aug. 1895.
23. VI. 3.

4. *Oc. varians* Wittr. et Lund.

Lat. cell. veg. 12—15 μ , long. oogon. 45 μ , lat. oogon. 48 μ , long. sp. 36 μ ,
lat. sp. 39 μ , lat. anth. 12 μ .

Lokalität: XIX, bei dem Jeschil-kul, in Pamir. 19. Aug. 1894.

5. *Oc. sp. (steriles)*.

Sterile Oedogoniumfäden, die unbestimmbar waren, wurden an folgenden Lokalitäten gefunden: I, bei dem Kleinen Kara-kul, in Pamir, 17. Juli 1894; in der Strandlagune bei dem Kleinen Kara-kul, in Pamir, 17. Juli 1894; V, auf dem westlichen Ufer des Kleinen Kara-kul, in Pamir, 20. Juli 1894; IX, bei dem Bassik-kul, in Pamir, 23. Juli 1894; XI, aus dem unteren Bassik-kul, in Pamir, 23. Juli 1894; XIII, an der Westseite des Mus-taggh-ata, in Pamir, 28. Juli 1894; XVI, im Gletscherbach auf dem Mus-taggh-ata, in Pamir, 5. Aug. 1894; XVIII, aus dem Jeschil-kul, in Pamir, 2. Sept. 1894; XXI, vom Mitschur-darya, nahe dem Jeschil-kul in Pamir, 2. Sept. 1894; XXVII, in dem Tal von Ulutör, in Pamir, 3. Aug. 1895; XXX, von dem Fluß Tengelik-gol, in Tsaidam, 20. Okt. 1895, und XXXVI, westlich des Lagers Nr. XV in Tibet, 30. Aug. 1896.

Bulbochæte Ag.1. ? *B. mirabilis* Wittr.

Lokalität: XIII, auf dem Mus-taggh-ata, in Pamir. 28. Juli 1894.

Die Art war steril und also nicht sicher bestimmbar, die vegetativen Zellen waren aber dieser Art sehr ähnlich.

2. ? *B. varians* Wittr.

Lokalität: XXIX, bei dem Vakdjir-Paß, in Pamir. 14. Aug. 1895.

Die Art war steril und also nicht sicher bestimmbar, die vegetativen Zellen waren aber dieser Art sehr ähnlich.

3. *B. sp. (sterilis)*.

Lokalitäten: I, von dem Kleinen Kara-kul in Pamir, 17. Juli 1894; IX, bei dem unteren Bassik-kul in Pamir, 23. Juli 1894.

Fam: **Cladophoraceæ** (Hass.) Wittr.**Rhizoclonium** Kg.1. *R. hieroglyphicum* (Kg.) Stockm.a. *typicum* Stockm.

Lat. fil. 16—20 μ in Lokalität I, 23—48 μ in Lokalität IV.

Lokalitäten: I, von dem Kleinen Kara-kul, in Pamir, 17. Juli 1894; IV, Quelle bei dem Kleinen Kara-kul, 20. Juli 1894.

β. *riparium* (Harv.) Stockm.

Lokalität: XXXVIII, bei dem großen Salzsee am Lager XXXI in Tibet, 21. Sept. 1896; XLI, im salzigen Wasser, Koko-nor in Tibet, 10. Nov. 1896.

γ. *Kernerii* Stockm.

Lokalität: XXXVIII, bei dem großen Salzsee am Lager XXXI in Tibet, 21. Sept. 1896.

δ. *macromeres* Wittr.

Cellulæ longiores, non inflatae, lat. cell. 18—22 μ, longit. 2.5—10-plo longiores.
Lokalität: VI, aus dem Bassik-kul, in Pamir, 21. Juli 1894.

form. inflata n. f. Taf. XI, Fig. 28.

Lat. fil. 30—36 μ.

Lokalität: XXXIV, in dem großen Salzsee zwischen Lager Nr. XII und Lager Nr. XIII, in Tibet, 27. Aug. 1896.

Bei dieser Form sind die Zellen an der Mitte, wo die jüngsten Querwände (Taf. XI, Fig. 28) sind, aufgeschwollen (36 μ breit), während die Zelle bei den älteren Querwänden nur eine Breite von 30 μ hat. Es gibt aber viele Zwischenformen zu den normalen Fäden.

Cladophora Kg.

1. *C. crispata* (Roth) Kg.

var. genuina (Kg.) Rabh.

Lokalität: Süßwasserlagune westlich des Lagers Nr. XV, in Tibet, 30. Aug. 1896.

2. *C. fracta* (Dillw.) Kg.

Lokalitäten: I, II, von dem Kleinen Kara-kul, in Pamir, 17. Juli 1894; XVIII, in dem Jeschil-kul, in Pamir, 2. Sept. 1894; aus dem südlichen Jeschil-kul, in Pamir, 2. Sept. 1894.

3. *C. glomerata* (L.) Kg.

Lokalität: XXII, aus dem Tschacker-agil, in Pamir, 22. Juli 1895.

4. *C. gossypina* Kg.

Lokalitäten: VI, aus dem Bassik-kul, in Pamir, 21. Juli 1894; IX, vom Flusse bei dem unteren Bassik-kul, in Pamir, 23. Juli 1894, und XI, auf *Myriophyllum spicatum* L. aus dem unteren Bassik-kul.

5. *C. macrogonia* Kg.

Lokalitäten: X, aus dem Bassik-kul, in Pamir, 23. Juli 1894, und aus dem Tschacker-agil, in Pamir, 22. Juli 1895.

6. *C. vaga* Kg.

Lokalitäten: XXXVII, in dem Salzsee Nr. 18, in Tibet, 14. Sept. 1896; XXXVIII, in dem großen Salzsee am Lager XXXI, in Tibet, 21. Sept. 1894, und XXXIX, in dem stark salzhaltigen Tossun-nor, Tsaidam, 26. Okt. 1896.

Fam. **Vaucheriaceæ** (Gray) Dumort.**Vaucheria** D. C.

- 1.
- V. dichotoma*
- (L.) Ag.

form. marina Hauch.

Lokalität: XXXVIII, bei dem großen Salzsee am Lager XXXI, in Tibet.
21. Sept. 1894.

- 2.
- V. hamata*
- (Vauch.) Lyngb.

form. major. Taf. XI, fig. 29.

Lat. fil. 45—75 μ , long. oospor. 150 μ , lat. oospor. 104—129 μ .
Lokalität: XXXI, Quelle im Mitt-Tal, Kwen-lun. 6. Aug. 1896.

3. ?
- V. littorea*
- Hoffm. et Ag.

Lat. fil. 120 μ , sterilis.

Lokalität: XII, im salzigen Wasser, Koko-nor, in Tibet. 10. Nov. 1896.

- 4.
- V. terrestris*
- Lyngb.

Die Zygoten waren unreif, aber die Art doch bestimmbar.

Lokalität: XVI, auf dem Mus-tagh-ata, in Pamir. 5. Aug. 1894.

Fam. **Characeæ.****Chara** (Vail.) A. B.

- 1.
- C. tomentosa*
- L.

forma incrustata (= *Ch. ceratophylla* Wallr.).

Micrantha gracilis et *humilis* ♂ et ♀ (junior). Determ. O. Nordstedt.

Lokalitäten: Aus dem unteren Bassik-kul in Pamir, 23. Juli 1894, und aus dem Tschacker-agil, in Pamir, 22. Juli 1895.

Diese Alge wird nach Dr. SVEN HEDIN in der chinesischen Sprache »Tjitir«
genannt.

II.

Algen von Dr. SVEN HEDINS Reisen in Ostturkestan und Tibet 1900 und 1901.

SVEN HEDIN ist am 24. Juni 1899 nach dem oberen Tarimfluß gefahren. Später ist er nach der Wüste Takla Makan und zum Lop-nor gezogen und von dort durch Tibet, bis er im Dez. 1901 in Leh bei dem oberen Indusfluß angekommen ist.

Auf diesen Reisen hat Dr. SVEN HEDIN Algen in folgenden Lokalitäten gesammelt:

A. Probe aus dem Kara-koschun beim Lop-nor in Ostturkestan, 816 m ü. M., 10. April 1900.

I. Eine Probe von *Myriophyllum spicatum* L. im Tarimfluß bei Abdal genommen, 22. Juni 1900.

Die Probe ist bezeichnet mit »Ölen-ott«, was den türkischen Namen der Pflanzen bedeutet. Diese Probe enthält keine Algen.

II. Drei Proben beim »Mapiek-köl«, einem der ersten Seen des Tarimflusses unterhalb von Abdal. In einer Probe war *Chara hispida* Wallr., in einer anderen waren Blätter und Zweige von *Utricularia minor* L. und in der dritten kam *Utricularia vulgaris* L. vor, sowie sterile Reste von einer *Nitella*-Art. Die *Utricularia*-Arten werden in der türkischen Sprache »Killagan-ak« genannt. 23. Juni 1900.

III. Diese Probe stammt von salzigen Wassern in Atschik-bulak, kurz unterhalb des Sees Kara-koschun, 1. Juli 1900. Die dort vorkommende Alge *Cladophora vaga* Kg. wird in der türkischen Sprache »Tschallpak« genannt.

IV. Zwei Proben einer Süßwasserquelle bei »Tatlik-bulak«, etwas nördlich vom Astin-tag, 1953 m ü. M., 3. Juli 1900. Die Temperatur des Wassers war 10° C. Der türkische Name der dort vorkommenden *Cladophora fracta* (Vahl) Kütz ist »Ghischa«.

- V. Die Algen wuchsen auf *Hippuris vulgaris*, die von den begleitenden Kosaken bei »Kasch-utak« in der Nähe des Sees »Gas-nor« auf der Grenze zwischen dem Tschimental und Tsaidam gesammelt wurde. Dieser See hat salziges Wasser und liegt 2980 m ü. M. Auf der Westseite des Sees sind einige Süßwasserlagunen, von denen die größte »Ajik-köl« genannt wird und reich an Vegetation ist. Die Art ist wahrscheinlich aus dem Süßwassersee oder dem Bach, aus dem die untersuchten Proben stammen. 15. Juli 1900.
- VI. Zwei Proben aus einem Süßwassersee »Kum-köl« im nördlichen Tibet, 3882 m ü. M. gesammelt, 29. Juli 1900. Der See, der von Quellwasser gespeist wird, hat nur eine Tiefe von 3.73 m mit Sandboden. In der einen Probe war *Myriophyllum spicatum* L. mit verschiedenen epiphytischen Algen.
- VII. Vier Proben gesammelt zwischen Lager XXVII und XXVIII in einer Höhe von 5000 m ü. M. auf dem Plateaulande des nördlichen Tibet. Süßwasser, 17. Aug. 1900.
- VIII. Die Probe ist bei Lager LXIX in einer Höhe von 5000 m ü. M. auf dem Plateaulande des nördlichen Tibet gesammelt. Süßwasser, 30. Aug. 1901.
- IX. Die Probe ist bei Lager LXX ca. 4900 m ü. M. gesammelt. Süßwasser, 31. Aug. 1901.
- X. Die Probe ist im nördlichsten Teil des Selling-tso, der ein schwach salzhaltiger See in einer Höhe von 4600 m ü. M. ist, gesammelt, 5. Sept. 1901. Wo die Probe gesammelt worden ist, mündet ein großer Fluß (Satschu-tsangpo) in den See, und der Salzgehalt des Wassers wird deshalb ganz unbedeutend.
- XI. Die Probe ist bei Lager Nr. LXXVI in einer Süßwasserquelle am Ufer des Flusses Jaggju-rapga, nahe seiner Mündung in den Salzsee Selling-tso, 4550 m ü. M. gesammelt worden, 9. Sept. 1901.
- XII. Die Probe ist bei Lager CIII im inneren Tibet, in einem kleinen kristallklaren Quellbach, 4860 m ü. M. gesammelt worden. 12. Okt. 1901.
- XIII. Drei Proben, gesammelt bei Lager CXXXVI im Flusse Tsanger-schar im westlichen Tibet, 4380 m ü. M. 27. Nov. 1901.
- XIV. Die Probe ist bei Lager CXLVI, Serdse, in einer Süßwasserquelle am nördlichen Ufer des Panggong-tso gesammelt worden. Die Temperatur des Wassers war 16.2° C. 14. Dez. 1901.
- XV. Zwei Proben von derselben Stelle ohne nähere Mitteilungen über Datum oder Lokalität. Süßwasser. In der einen von diesen Proben war auch ein Exemplar von der Crustacee *Gammarus Pulex* L., die von Prof. G. O. Sars gütigst bestimmt worden ist.

Systematisches Verzeichnis der Algen,

die Dr. SVEN HEDIN auf seinen Reisen in Ostturkestan und Tibet 1900 und 1901 gesammelt hat.

Myxophyceæ (Wallr.) Stiz.

Fam. Chroococcaceæ Nägl.

Chroococcus Nägl.

1. *Ch. miniatus* (Kg.) Nägl.
Diam. cytopl. 9 μ . Diam. cell. c. tegum. 11—12 μ .
Lokalitäten: V, auf *Hippuris vulgaris* bei Kasch-utak nahe Tsaidam, 15. Juli 1900, und VII, zwischen Lager XXVII und XXVIII in Tibet, 17. Aug. 1900.
2. *Ch. minutus* (Kg.) Nägl.
Diam. cytopl. 6 μ .
Lokalitäten: Aus dem Kara-koschun beim Lop-nor in Ostturkestan, 10. April 1900, und VIII, bei Lager LXIX im nördlichen Tibet, 30. Aug. 1901.
3. *Ch. turgidus* Nägl.
Lokalität: II, bei dem Mapiék-köl in Ostturkestan. 23. Juni 1900.
Die Alge war in der Probe mit *Chara hispida* Wallr. zusammen.

Aphanothece Nägl.

1. *A. microscopica* (Menegh.) Rabh.
Long. cell. 10 μ , lat. cell. 4.5—5 μ .
Lokalität: V, auf *Hippuris vulgaris* L. bei Kasch-utak nahe Tsaidam, 15. Juli 1900.

Merismopedium Meyen.

1. *M. glaucum* (Ehrb.) Nägl.
Lokalität: XIII, bei Lager CXXXVI im Flusse Tsanger-schar, in Tibet, 27. Nov. 1901.
2. *M. hyalinum* Kg.
forma salina n. f.
Familiæ minimæ, e cellulis 4—8 constitutæ.
Long. cell. 3 μ , ante div. 4 μ , lat. cell. 2—2.5 μ .
Die Familien bei dieser Form sind sehr klein. Wenn eine Familie durch Teilung der Zellen vergrößert wird, werden bald durch Spaltungen Tochterfamilien gebildet.
Lokalität: Aus salzigem Wasser bei Kara-koschun, in Ostturkestan, 1. Juli 1900.

Die Hauptart kommt im Süßwasser vor, aber G. LAGERHEIM (Sveriges Algflora S. 41) hat früher aus Salzwasser in Böhusslän in Schweden eine Unterart *M. hyalinum* Kg. **Warmüngianum* Lagh. beschrieben, die sich von der Hauptart durch kleinere Zellen trennt. Die *forma salina* hat aber Zellen von derselben Größe wie die Hauptart.

3. *M. punctulatum* Mey.

Lokalität: VIII, bei Lager LXIX, im nördlichen Tibet. 30. Aug. 1901.

Fam. **Oscillatoriaceæ** (Gray) Kirchn.

Lyngbya Ag.

1. *L. major* Menegh.

Lat. fil. 21 μ , lat. cell. 15 μ , long. cell. 2 μ .

Lokalität: II, im Mapiék-köl bei dem Tarimfluß in Ostturkestan. 23. Juni 1900. Die Bestimmung ist nicht ganz sicher, weil ich nur einen einzigen und etwas beschädigten Faden gesehen habe.

Oscillatoria Vauch.

1. *O. Boryana* Bory.

Lat. fil. 6 μ .

Lokalität: IX, bei Lager LXX, in Tibet. 31. Aug. 1901.

Es waren nur vereinzelte Fäden von dieser Art zwischen *Phormidium laminosum* (Ag.) Gom.

2. *O. brevis* Kg.

form. variabilis n. f.

Stratum obscure ærugineum, cellulis inflatis irregulariter dispositis.

Lat. fil. 5—6.5 μ .

Lokalität: X, aus dem schwach salzhaltigen See Selling-tso, in Tibet. 5. Aug. 1901.

Die Fäden sind sehr verschieden zugespitzt; bald sind sie abgerundet (conf. *O. brevis* in GOMONT, Monogr. Oscill., Pl. 7, Fig. 15), bald sind sie sehr spitzig (conf. *O. jantiphora* in GOMONT, Monogr. Oscill., Pl. 7, Fig. 20, 21). Die angeschwollenen Zellen in dem Faden waren weniger hervortretend als bei der Hauptart und kommen mit sehr wechselndem Abstand vor; bald liegen solche Zellen dicht beisammen, bald liegen sie weit voneinander. Die Querswände waren körnig wie die der Hauptart.

3. *O. sp.*

Lokalität: VII, zwischen Lager XXVII und XXVIII, in Tibet. 17. Aug. 1900.

Es waren nur vereinzelte abgebrochene Fäden, die nicht bestimmbar waren.

Phormidium Kg.

- 1.
- Ph. laminosum*
- (Ag.) Gom.

Lokalität: IX, bei Lager LXX, in Tibet. 31. Aug. 1901.

Spirulina Turp.

- 1.
- S. major*
- Kg.

Lokalität: X, im nördlichsten Teil des Selling-tso, in Tibet. 5. Sept. 1901.

Zusammen mit *Oscillatoria brevis* Kg. *form. variabilis* n. f.Fam. **Rivulariaceæ** (Menegh.) Kirchn.**Rivularia** (Roth.) Ag.

- 1.
- R. dura*
- Roth.

form. viridis.

Junge Individuen von dieser Alge bilden dünne, grüspanig gefärbte Überzüge, die bisweilen kleine Erhöhungen auf den Blättern von *Myriophyllum spicatum* L. hervorrufen.

Lokalität: VI, von dem Süßwassersee Kum-köl im nördlichen Tibet. 29. Juli 1900.

Chlorophyceæ.Fam. **Pleurococcaceæ** Wille.**Trochiscia** Kg.

- 1.
- T. sp.*

Lokalität: II, beim Mapiék-köl bei dem Tarimfluß in Ostturkestan. 23. Juni 1900.

Ein einziges unreifes Exemplar wurde gefunden, das wohl zu dieser Gattung gerechnet werden muß. Die Art war aber unbestimmbar.

Fam. **Protococcaceæ** (Menegh.) Wille.**Characium** A. Br.

- 1.
- Ch. minutum*
- A. Br.

Long. 13—14 μ , lat. 5 μ .Lokalität: V, auf *Hippuris vulgaris* L. bei Kasch-utak, nahe Tsaidam. 15. Juli 1900.Fam. **Ophiocytiaceæ** Wille.**Ophiocytium** Nägl.

- 1.
- O. parvulum*
- (Perty) A. Br.

Lokalität: A, aus dem Kara-koschun beim Lop-nor in Ostturkestan, 10. April 1900, und II, im Mapiék-köl bei dem Tarimfluß in Ostturkestan, 23. Juni 1900.

24. VI, 3.

Fam. *Hydrodictyaceæ* Wille.***Pediastrum*** Meyen.1. *P. Tetras* (Ehrb.) Ralfs.

Lokalität: XIII, im Flusse Tsanger-schar bei Lager CXXXVI, in Tibet, 27. Nov. 1901. Es wurde nur ein einziges vierzelliges Individuum beobachtet.

Fam. *Cœlastraceæ* Wille.***Crucigenia*** Morren.1. *C. irregularis* Wille.

Lokalität: VI, aus dem Süßwassersee Kum-köl im nördlichen Tibet, 29. Juni 1900.

Scenedesmus Meyen.1. *Sc. quadricauda* (Turp.) Bréb.

Lokalität: XIII, im Flusse Tsanger-schar bei Lager CXXXVI, in Tibet. 27. Nov. 1901.

2. *S. bijugatus* (Turp.) Kg.

Lokalität: XIII, im Flusse Tsanger-schar bei Lager CXXXVI, in Tibet. 27. Nov. 1901.

Ein Exemplar hatte nur 3 Zellen und zeigte eine Länge von 21 μ , Breite 16 μ . Die mittlere Zelle hatte auf der einen Seite einen kleinen Zahn, der etwas an *Sc. denticulatus* Lagerh. erinnerte.

Fam. *Desmidiaceæ* (Kg.) De By.***Cosmarium*** (Corda) Lund.1. *C. Botrytis* (Bory.) Menegh.

form. long. 64 μ , lat. 19 μ , lat. ist. 6 μ .

Lokalität: II, beim Mapiék-köl bei dem Tarimflusse, in Ostturkestan. 23. Juni 1900.

Diese Form ist der von DELPONTE (*Desm. subalp.* Tab. VIII, fig. 32) sehr ähnlich, weicht aber dadurch ab, daß der Isthmus schmaler ist.

var. afghanicum Schaarsm.

form. long. 45 μ , lat. 40 μ , lat. ist. 12 μ .

Lokalität: II, beim Mapiék-köl bei dem Tarimflusse, in Ostturkestan. 23. Juni 1900.

Diese Form weicht von der von J. SCHAARSCHMIDT (*Notes on Afghanistan Algæ*, Pl. V, fig. 19) abgebildeten Form dadurch ab, daß die Zellen in dem Verhältnis zur Breite etwas kürzer sind und eine schwache Andeutung zur Apex haben. Sie lebt mit der Hauptart zusammen.

2. *C. Broomei* (Thw.) Ralfs.
form. rotundata n. f.
 Long. 57 μ , lat. 51 μ , lat. ist. 17 μ .
 Diese Form weicht von der Hauptart dadurch ab, daß die Zellen in der Spitze nicht eingebogen sind, sondern abgerundet und daß der Mittelhöcker auf jeder Seite der Zelhälfte etwas kleiner ist als bei der Hauptart.
 Lokalität: II, beim Mapiék-köl bei dem Tarimflusse, in Ostturkestan. 23. Juni 1900.
3. *C. granatum* Bréb.
 Long. 35 μ , lat. 22 μ , lat. ist. 6 μ .
 Lokalität: A, aus dem Kara-koschun beim Lop-nor, in Turkestan. 10. April 1900.
4. *C. subcrenatum* Hantsch.
 Lokalität: A, aus dem Kara-koschun beim Lop-nor, in Turkestan. 10. April 1900.
5. *C. leve* Rabh.
 Long. 30 μ , lat. 19 μ , lat. ist. 6 μ .
 Lokalität: II, beim Mapiék-köl bei dem Tarimflusse, in Ostturkestan. 23. Juni 1900.
6. *C. Meneghinii* Bréb.
form. octangularis Wille.
 Lokalität: II, beim Mapiék-köl bei dem Tarimflusse, in Ostturkestan. 23. Juni 1900.
 Die Art war in zwei Proben, zusammen mit *Chara hispida* Wall. und zusammen mit *Utricularia minor* L.
7. *C. punctulatum* Bréb.
 β . *rotundatum* Klebs.
form. minor.
 Long. cell. 33 μ , lat. 27 μ , lat. ist. 8 μ .
 Lokalität: II, beim Mapiék-köl bei dem Tarimflusse, in Ostturkestan. 23. Juni 1900.
 Diese Form ist abweichend von TURNER, *form. indica* (Freshw. Alg. of Ind., S. 54, Tab. VIII, Fig. 53) dadurch, daß sie kleiner ist und weniger deutliche Granulierung besitzt. Sie kam in der Probe mit *Utricularia vulgaris* L. vor.

Cylindrocystis (Menegh.) De By.

1. *C. crassa* De By.
 Long. 31 μ , lat. 21 μ .
 Lokalität: II, beim Mapiék-köl bei dem Tarimflusse, in Ostturkestan. 23. Juni 1900.
 Nur ein einziges Exemplar war in der Probe mit *Utricularia vulgaris* L. vorhanden.

Euastrum (Ehrb.) Ralfs.1. *E. Ralfsii* Kg.

Lokalität: II, beim Mapiek-köl bei dem Tarimflusse, in Ostturkestan. 23. Juni 1900.

Fam. **Zygnemataceæ** (Menegh.) De By.

Spirogyra Link.1. *S. affinis* (Hass.) Petit.

form. tibetica n. form.

Cell. veget.: Long. —, 120, 120, 117 μ .

Lat. 33 36, 45, 45, 42 »

Cell. fructif.: Long. 150, 117, 136, 105, 102 μ .

Lat. 51, 51, 52, 52, 55 »

Zygote: Long. 112, 96, 132, 105, 141, 111, 114, 102, 87 μ .

Lat. 48, 52, 54, 45, 45, 45, 48, 45, 48 »

Die Zellen haben nur ein breites, dicht gewundenes Spiralband. Zwischen den fruktifizierenden Zellen, die sehr lang sein können, kommen auch ganz kurze, etwas aufgequollene Zellen vor. Die Zygoten waren viel mehr zugespitzt-ellipsoidisch als bei der Hauptart, nach den Abbildungen von PETIT (Spirog. env. Paris, Pl. III, Fig. 13, 14) zu urteilen. Die Zygoten können bisweilen den Raum der Mutterzelle beinahe ganz ausfüllen oder es bleibt ein größerer oder kleinerer leerer Raum zurück.

Diese Form scheint ein Zwischenglied zu *Sp. cateneformis* Kg. zu bilden.
Lokalität: XV, von unbestimmter Stelle in Tibet.

2. *S. (Rhynchonema) varians* (Hass.) Kg.

Lat. cell. veg. 36—42 μ , lat. zygot. 39 μ , long. zygot. 72—120 μ .

Lokalität: XIII, im Flusse Tsanger-schar, im westlichen Tibet. 27. Nov. 1901.

Die Zellwände waren auffallend dick und es waren zwei Spiralbänder in den Zellen. Die Zygoten waren unreif, und die Bestimmung ist deshalb vielleicht etwas unsicher.

3. *S. sp. (sterilis)*.

Unbestimmbare sterile Fäden wurden in verschiedenen Proben gefunden.

Lokalitäten: V, bei Kasch-utak nahe Tsaidam, in Ostturkestan, 15. Juli 1900; XI, bei Lager LXXVI, in Tibet, 9. Sept. 1901; XII, bei Lager CIII, in Tibet, 12. Okt. 1901, und XIII, bei Lager CXXXVI, im westlichen Tibet, 27. Nov. 1901.

Zygnema (Ag.) De By.1. ? *Z. stellinum* (Vauch.) Ag.

Lat. fil. 30 μ . Weil die Fäden steril waren, ist die Bestimmung unsicher.

Lokalitäten: VIII, bei Lager LXX, im nördlichen Tibet, 30. Aug. 1901; XII, bei Lager CIII, in Tibet, 12. Okt. 1901; XIII, bei Lager CXXXVI, im westlichen Tibet, 27. Nov. 1901, und XV, von unbestimmten Stellen in Tibet.

Zygogonium (Kg.) De By.1. *Z. cricetorum* Kg.

Lokalität: XIII, bei Lager CXXXVI, im westlichen Tibet. 27. Nov. 1901.

2. *Z. sp. (sterilis)*.

Lokalität: VII, zwischen Lager XXVII und XXVIII, im nördlichen Tibet. 17. Aug. 1900.

Fam. **Mesocarpacæ** De By.**Mougeotia** (Ag.) Wittr.1. ? *M. parvula* Hass.

Lokalität: VIII, beim Lager LXIX, im nördlichen Tibet. 30. Aug. 1901.

Die Zellen waren freilich steril, und die Bestimmung der Art ist deshalb unsicher, die Größe der Fäden stimmt aber mit dieser gewöhnlichen Art.

2. ? *M. robusta* (De By.) Wittr.

Lat. cell. veget. 27 μ .

Lokalität: XIII, im Flusse Tsanger-schar bei Lager CXXXVI, im westlichen Tibet. 27. Nov. 1901.

Die Fäden hatten kopuliert, die Zygoten waren aber noch nicht reif. Die Bestimmung ist deshalb vielleicht nicht ganz sicher.

3. *M. sp. (sterilis)*.

Lokalitäten: XI, in einer Süßwasserquelle beim Lager LXXVI, in Tibet, 9. Sept. 1901, und XII, beim Lager CIII, im innern Tibet, 12. Okt. 1901.

Fam. **Ulothrichiaceæ** Kg.**Microspora** Thur.1. *M. stagnorum* (Kg.) Lagerh.

Lokalitäten: VII, zwischen Lager XXVI und XXVIII, im nördlichen Tibet (lat. fil. 7—8 μ), 17. Aug. 1900; XI, beim Lager LXXVI, in Tibet (lat. fil. 9 μ), 9. Sept. 1901.

Tribonema Derb. et Sol.

- 1.
- T. minor*
- (Wille) Hazen.

Lokalität: XI, beim Lager LXXVI, in Tibet. 9. Sept. 1901.

Fam. **Chætophoraceæ** (Harv.) Hass.**Stigeoclonium** Kg.

- 1.
- St. sp.*

Lokalität: VI, aus dem Süßwassersee Kum-köl, im nördlichen Tibet. 29. Juli 1900. Auf *Myriophyllum spicatum* L. kommen mehrere Bodenplatten von *Stigeoclonium* vor, die Art war aber unbestimmbar.

Fam. **Oedogoniaceæ** De By.**Oedogonium** Link.

- 1.
- Oe. undulatum*
- (Bréb.) A. Br.

Lokalität: II, beim Mapiék-köl bei dem Tarimflusse, in Ostturkestan. 23. Juni 1900.

Diese Art war in zwei von den Proben, sowohl zusammen mit *Chara hispida* Wallr. wie mit *Nitzella sp.* Die Fäden waren freilich steril, aber die Art ist wegen der charakteristischen Wandskulptur leicht zu erkennen.

- 2.—4.
- Oe. sp.*
3. (
- steriles*
-).

Lokalitäten: A, aus dem Kara-koschun beim Lop-nor, in Turkestan, 10. April 1900; II, beim Mapiék-köl bei dem Tarimflusse, 23. Juni 1900, und beim Lager LXXVI, in Tibet, 9. Sept. 1901.

Die *Oedogonium*-Fäden waren alle steril und deshalb unbestimmbar, aus der Struktur war aber zu sehen, daß sie drei verschiedenen Arten angehören.

Bulbochæte Ag.

- 1.
- B. nana*
- Wittr.

Lokalität: II, beim Mapiék-köl bei dem Tarimflusse, in Ostturkestan, 23. Juni 1900. Die Algen waren freilich steril und wuchsen auf *Chara hispida* Wallr., sie haben aber so genau Form und Größe der Art *B. nana* Wittr., daß ich glaube, Grund zu haben, die Fäden zu dieser Art zu rechnen.

- 2.
- B. sp.*
- (
- sterilis*
-).

Lokalitäten: A, aus dem Kara-koschun beim Lop-nor, in Ostturkestan, 10. April 1900, und beim Mapiék-köl bei dem Tarimflusse, 23. Juni 1900.

Fam. **Cladophoraceæ** (Hass.) Wittr.**Cladophora** Kg.1. *Cl. fracta* (Vahl.) Kg.

Lokalitäten: A, aus dem Kara-koschun beim Lop-nor, in Ostturkestan, 10. April 1900, und VI, aus einem Süßwassersee Kum-köl im nördlichen Tibet, 29. Juli 1900.

Bei den Exemplaren dieser letzten Lokalität waren die Zellen keulenförmig angeschwollen, wie gewöhnlich bei überwinternden Formen von *Cladophora fracta*. Die Probe ist schon am 29. Juli genommen, und so früh scheint eine Ruheform recht auffällig; vielleicht muß sie als eine für die Sommerruhe ausgebildete Form aufgefaßt werden.

2. *Cl. vaga* Kg.

Lokalität: III, aus salzigem Wasser im Atschik-bulak kurz unterhalb des Kara-koschun beim Lop-nor, in Ostturkestan. 1. Juli 1900.

Fam. **Vaucheriaceæ** (Gray) Dumort.**Vaucheria** D. C.1. *V. sp. (sterilis)*.

Lokalität: XIV, aus einer Süßwasserquelle bei Lager CXLXI, in Tibet. 14. Dez. 1901.

Fam. **Characeæ** (Rich.)

Die Algen dieser Gruppe sind gütigst von Prof. Dr. OTTO NORDSTEDT untersucht und bestimmt.

Chara (Vail.) A. Br.1. *Ch. hispida* Wallr.

Lokalität: II, aus dem Mapiék-köl bei dem Tarimflusse. 23. Juni 1900.

Es waren dort zwei Exemplare, von welchen Prof. O. NORDSTEDT folgendes schreibt: »Das eine sieht etwas *polyacantha*-ähnlich aus, ich konnte aber dies nicht bestätigt finden und mußte deshalb beide zu *Ch. hispida* Wallr. rechnen. Das eine hat zerstreute, kürzere Stammstachel, das andere hat diese etwas länger und dichter, und die hinteren Brakteen sind hier auch lang (♀ unreif).»

Nitella Ag.1. *N. sp. (sterilis)*.

Lokalität: II, aus dem Mapiék-köl bei dem Tarimflusse. 23. Juni 1900.

III.

Algen von Dr. SVEN HEDINS Reisen in Tibet 1907.

Dr. SVEN HEDIN hat auf seiner letzten Reise in Tibet von 1905--1909, wobei er die gewaltige Gebirgskette des Transhimalaja entdeckte, nur sehr wenig Algen sammeln können.

Es gibt von dieser Reise nur zwei Proben:

- I. Auf *Ranunculus aquatilis* L. *form.* aus Lager CLXXXIX in Dongbo, im oberen Tal des Tsangpo im südlichen Tibet, 4598 m. 29. Juni 1907.
- II. Von dem Wege zwischen Lager CCIII (Darasumhar), 4931 m und Lager CCIV (Bukgyäyorap), 4870 m. Nahe dem Tsangpo (die Quellen des Brahmaputra) im südwestlichen Tibet. 16. Juli 1907.

Verzeichnis der im Jahre 1907 in Tibet gefundenen Algen.

Fam. **Oscillatoriaceæ** (Gray) Kirchn.

Phormidium Kg.

1. *Ph. tenue* (Menegh.) Gom.

Lokalität: II, zwischen Lager CCIII und Lager CCIV, nahe dem Tsangpo im südwestlichen Tibet. 16. Juli 1907.

Fam. **Cœlastraceæ** Wille.

Scenedesmus Meyen.

1. *Sc. dispar* Bréb.

Lokalität: I, aus Lager CLXXXIX in Dongbo, im südlichen Tibet. 29. Juni 1907.

Fam. **Desmidiaceæ** (Kg.) De By.**Cosmarium** (Corda) Lund.1. *C. granatum* Bréb.

Lokalität: I, aus Lager CLXXXIX in Dongbo, im südlichen Tibet. 29. Juni 1907.

2. *C. umbellatum* Lütkm.

Long. 18 μ , lat. 14 μ , lat. ist. 6 μ .

Lokalität: II, zwischen Lager CCIII und Lager CCIV, im südwestlichen Tibet. 16. Juli 1907.

Fam. **Zygnemataceæ** (Menegh.) De By.**Spirogyra** Link.1. *S. inflata* (Vauch.) Rabh.

Lokalität: II, zwischen Lager CCIII und Lager CCIV, im südwestlichen Tibet. 16. Juli 1907.

Die Fäden waren leider steril, aber die vegetativen Zellen mit gefalteten Querwänden und einer Breite von 16 μ sprechen dafür, daß sie *Sp. inflata* (Vauch.) Rabh. zugerechnet werden müssen.

Fam. **Oedogoniaceæ** De By.**Oedogonium** Link.1. und 2. *O. sp.* 2. (*steriles*).

Lokalität: I, aus Lager CLXXXIX in Dongbo, im südlichen Tibet. 29. Juni 1907.

Es waren zwei Arten, aber unbestimmbar, weil nur sterile Fäden vorkommen.

Zitierte Literatur.

- EIRENBERG, CHR. G., *Mikrogeologie. Das Erden und Felsen schaffende Wirken des unsichtbar kleinen selbständigen Lebens auf der Erde.* Leipzig 1854.
- GARDNER, N. L., *New pacific Coast marine Algae.* III. (University of California publications in Botany. Vol. 6, No. 17. Berkeley 1918.)
- GUTWINSKI, R., *De Algis, præcipue Diatomaceis a Dre J. Holderer anno 1898 in Asia centrali atque in China collectis.* (Bulletin de l'Académie des sciences de Cracovie. Cl. mat. nat. Cracovie 1903.)
- HUHN, K. E., *Einige Algen aus Zentralasien.* (Öfversigt af Finska Vet.-Soc. Förhandlingar. B. XLII. Helsingfors 1900.)
- ISTVANEFY, GU., *Alge nonnullæ a cl. Przewalski in Mongolia lectæ.* (Magy. Nov. Lapok Vol. X. Klausenburg 1886.)
- LAGERHEIM, G., *Harpochytrium und Achlyella, zwei neue Chytridiaceengattungen.* (Hedwigia. B. 29. Dresden 1890.)
— *Über Desmidiaceen aus Bengalen nebst Bemerkungen über die geographische Verbreitung der Desmidiaceen in Asien.* (Bihang till k. svenska Vet. Akad. Handlingar. B. 13, Afd. III, No. 9. Stockholm 1888.)
- OSTENFELD, C. H., *Beiträge zur Kenntnis der Algenflora des Kossogol-Beckens in der nordwestlichen Mongolei, mit spezieller Berücksichtigung des Phytoplanktons.* (Hedwigia. B. XLVI. Dresden 1907.)
— *The Phytoplankton of the Aral Sea and its affluents, with an Enumeration of the Algae observed.* (Wissenschaftliche Ergebnisse der Aralsee-Expedition. Lief. VIII. St. Petersburg 1906.)
- PETIT, P., *Spirogyra des environs de Paris.* Paris 1880.
- PRINTZ, H., *Contributions ad floram Asiæ interiores pertinentes. I. Die Chlorophyceen des südlichen Sibiriens und des Uriankailandes.* (Det kgl. norske Videnskabers Selskabs skrifter 1915, No. 4. Trondhjem 1916.)
- SCHAARSCHMIDT, JULIUS, *Notes on Afghanistan Algae.* (Journal of Linnæan Society. Botany. Vol. XXI. London 1884.)
- SCHMIDLE, W., *Einige von Dr. Holderer in Centralasien gesammelte Algen.* (Beiblatt zur Hedwigia. B. XXXIX. Dresden 1900.)
- STRÖM, KAARE MÜNSTER, *Freshwater Algae from Caucasus and Turkestan.* (Nyt Magazin for Naturvidenskaberne. B. 57. Kristiania 1920.)
- TURNER, W. B., *Algae aquæ dulcis Indiæ orientalis. The Freshwater Algae (principally Desmidiaceæ of East India).* (Kongl. Svenska Vetenskaps-Akademiens Handlingar. B. 25, No. 5. Stockholm 1892.)
- W. & G. S. WEST, *A Monograph of the British Desmidiaceæ.* Vol. 1—IV. London 1904—1912.
- WILLE, N., *Algen aus dem nördlichen Tibet, von Dr. Sven Hedin im Jahre 1896 gesammelt.* (Ergänzungsheft No. 131 zu Petermanns Mitteilungen. Gotha 1900.)
— *Algologische Mitteilungen.* IX. (Pringsheims Jahrbücher für wissenschaftliche Botanik. B. XVIII. Leipzig 1907.)
- WITTRÖCK, V. et NORDSTEDT, O., *Algae aquæ dulcis exsiccatae præcipue scandinavicae.* Fasc. 12. Holmiæ 1983.

Figurenerklärung.

Tafel XI.

- Fig. 1—9. *Harpochytrium Hedinii* Wille (VergröÙ. $\frac{570}{1}$).
Fig. 1—3. Junge Keimungsstadien von Zoosporen.
Fig. 4. Junge Pflanze, die in zwei Richtungen herauswuchs.
Fig. 5. 6. Die Zelle hat eine besondere Querwand, welche wahrscheinlich ein Zoosporangium abgrenzen soll.
Fig. 7—9. Vollständig entwickelte Pflanzen.
- Fig. 10. 11. *Merismopedium convolutum* Bréb. *f. minor n. form.* (VergröÙ. $\frac{570}{1}$).
Fig. 10. Ein Stück von der Mitte eines Individuums.
Fig. 11. Ein kleines Stück, von der Oberfläche gesehen.
- Fig. 12. 13. *Closterium tumidum* Johns.
Fig. 12. VergröÙ. $\frac{242}{1}$.
Fig. 13. VergröÙ. $\frac{790}{1}$.
- Fig. 14. 15. *Closterium incurvum* Bréb. *form.* (VergröÙ. $\frac{242}{1}$).
Fig. 16. 17. *Closterium parvulum* Nägl. *form.* (VergröÙ. $\frac{570}{1}$).
Fig. 18. *Cosmarium speciosum* Lund. *var. simplex* Nordst. (VergröÙ. $\frac{570}{1}$).
Fig. 19—22. *Spirogyra varians* (Hass.) Kg. *form.* (VergröÙ. $\frac{146}{1}$).
Fig. 19. Faden mit Zellen, die jede ein Chromatophor zeigen und in der dritten Zelle eine Parthenospore.
Fig. 20. Eine Zelle mit einer Zygote, die durch *Rhynchonema*-Kopulation entstanden ist.
Fig. 21. Bildung von einer Parthenospore und in den zwei Nachbarzellen Bildung von Zygoten durch *Rhynchonema*-Kopulation.
Fig. 22. Zygotenbildung durch *Rhynchonema*-Kopulation. Die unterste Zelle hat einen Anfang zum seitlichen Kopulationskanal gebildet.
- Fig. 23—26. *Hediniella pamirica* Wille. *n. gen. et sp.*
Fig. 23. Drei Zellen mit ovalen Akineten und eine abgestorbene Zelle (VergröÙ. $\frac{570}{1}$).
Fig. 24. Ein Faden mit ovalen Akineten in den kurzen Zellen und eine lange abgestorbene Zelle (VergröÙ. $\frac{570}{1}$).
Fig. 25. Ein Faden mit 1—3 jungen Aplanosporen in jeder Zelle (VergröÙ. $\frac{570}{1}$).
Fig. 26. Ein Faden mit 1—3 reifen und ziegelsteinroten Aplanosporen in den Zellen (VergröÙ. $\frac{242}{1}$).
- Fig. 27. Faden von *Binuclearia tatrana* Wittr. mit einem Stiele befestigt (VergröÙ. $\frac{570}{1}$).
Fig. 28. *Rhizoclonium macromeres* Wittr. *form. inflata n. f.* (VergröÙ. $\frac{210}{1}$).
Fig. 29. Zygote von *Vaucheria hamata* (Vauch.) Lyngb. (VergröÙ. $\frac{242}{1}$).
-



Fig. 1 *Ephedra Fedtschenkoæ* O. Pauls.
 „ 2 *Hedinia tibetica* (Thoms.) Ostf. n. gen.
 „ 3/4 *Myricaria Hedinii* O. Pauls. n. sp.
 „ 5 *Delphinium chrysotrichum* Finet et Gagnep. var. *pygmæum* Ostf. n. var.
 (all nat. size).



Fig. 1 *Delphinium chrysotrichum*, var. *pygmæum* (petala).
 „ 2 *Delphinium candelabrum* Ostf. n. sp.
 „ 3 *Delphinium candelabrum* (petala).
 „ 4 *Polygonum peregrinatoris* O. Pauls. n. sp.
 „ 5 *Carex Moorcroftii* Falcon. forma.
 (Figs. 1 and 3 are $\frac{2}{1}$ nat. size; Figs. 2, 4 and 5 nat. size.)



Fig. 1 *Artemisia Hedinii* Ostf. n. sp.
 „ 2 *Chondrilla polydichotoma* Ostf. n. sp.
 „ 3/4 *Incarvillea Youngusbandii* Sprague, in fruit and flower.
 (Figs. 1, 3 and 4 nat. size; Fig. 2 about 1/2 nat. size.)



Fig. 1 *Oxytropis Hedinii* Ulbrich
 " 2 *Acantholimon Hedinii* Ostf. n. sp.
 " 3 *Euphorbia altotibetica* O. Pauls. n. sp.
 " 4 *Myricaria prostrata* Benth. et Hook.
 (all about nat. size).



Fig. 1 *Astragalus toktjenensis* Ulbrich n. sp.
 " 2 *Oxytropis thionantha* Ulbrich n. sp.
 " 3 *Astragalus Hedinii* Ulbrich
 " 4 *Saussurea humilis* Ostf. n. sp.

(Fig. 3 somewhat over $\frac{1}{2}$ nat. size, Fig. 2 about $\frac{2}{3}$ nat. size, Figs. 1 and 2 nat. size.)



Fig. 1/2 *Potentilla hololeuca* Boiss. var. *tibetica*, Ostf. n. var. from SW Tibet (1) and N. Tibet, Ara-tagh (2).

" 3/4 *Heracleum millefolium* Diels, in fruits and flowers.

" 5/6 *Pleurospermum Hedinii* Diels. n. sp., seen from the underside (5, N. Tibet) and from above (6, E. Tibet, the type).
(all nearly nat. size).



Fig. 1 *Pedicularis Svenhedinii* O. Pauls. n. sp.
" 2 *Sedum dubium* O. Pauls. n. sp.
" 3 *Sedum stamineum* O. Pauls. n. sp.
(all nat. size).

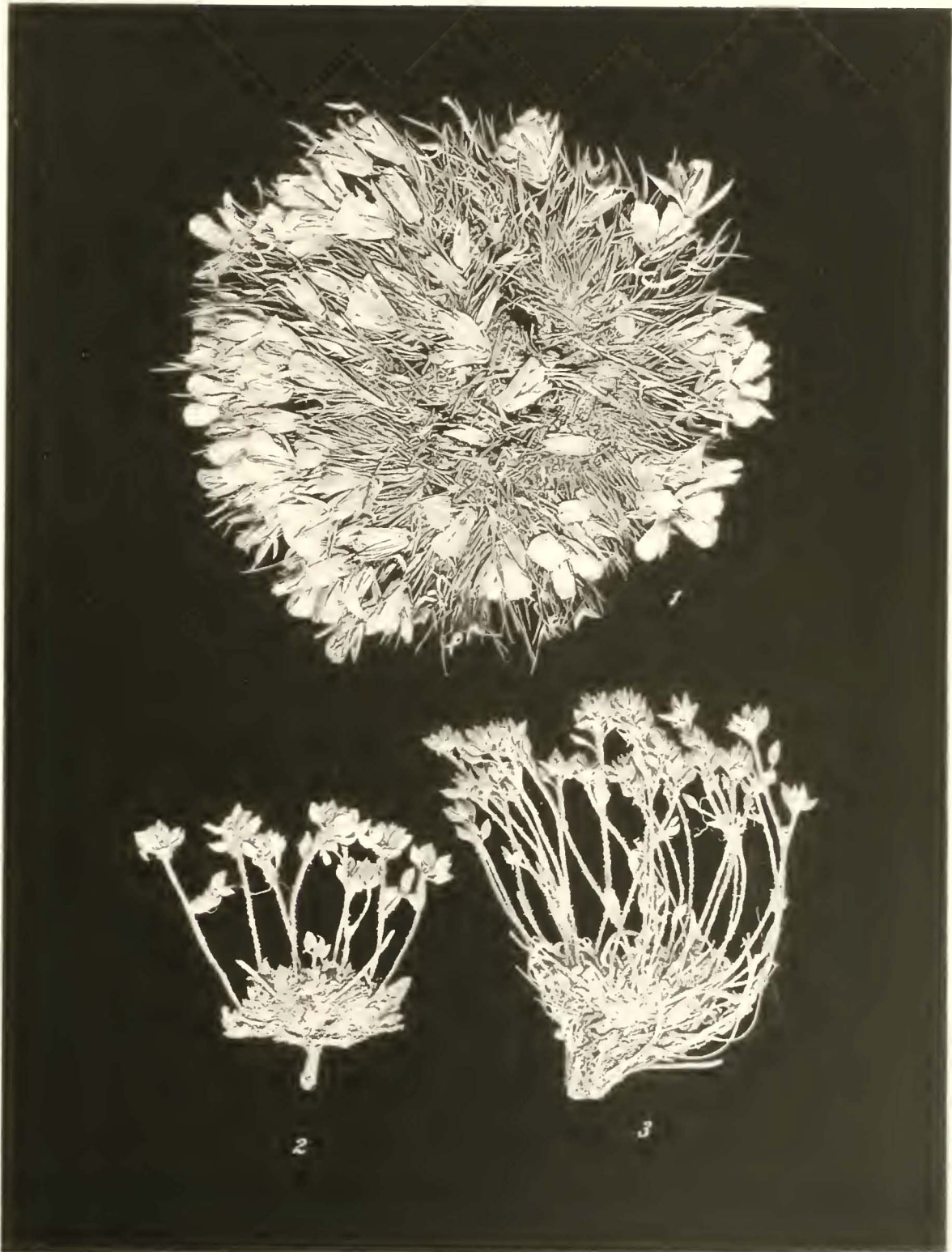
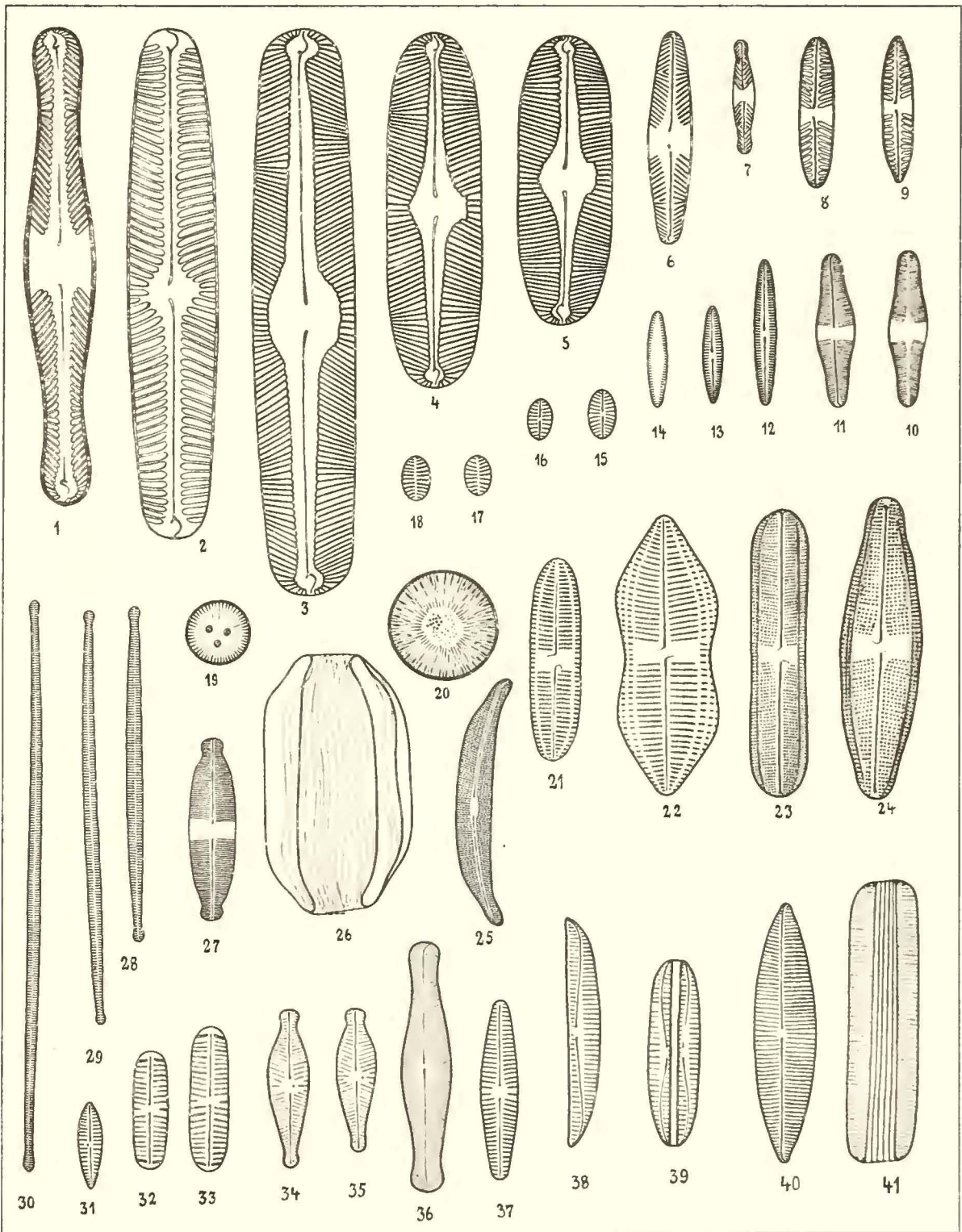
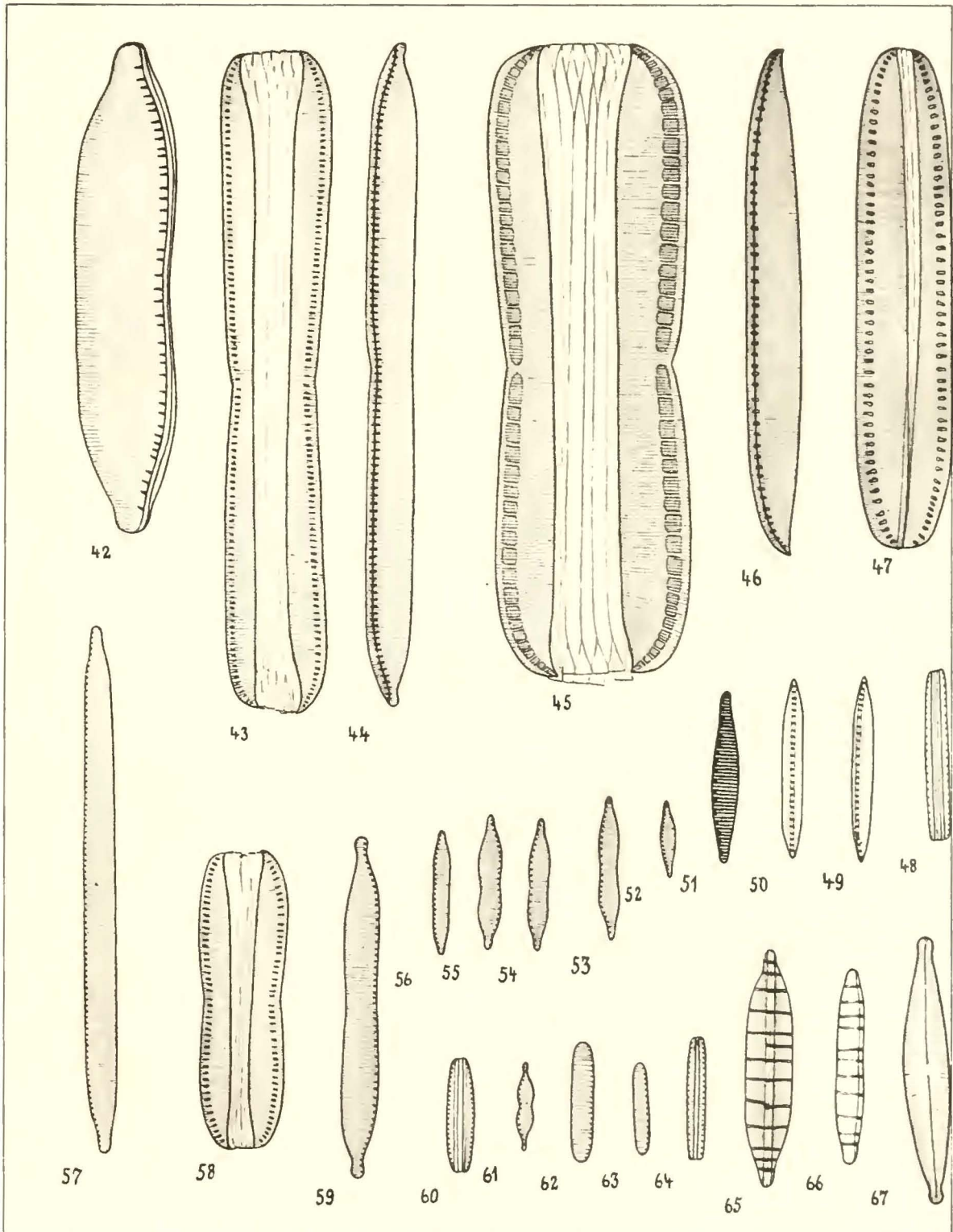


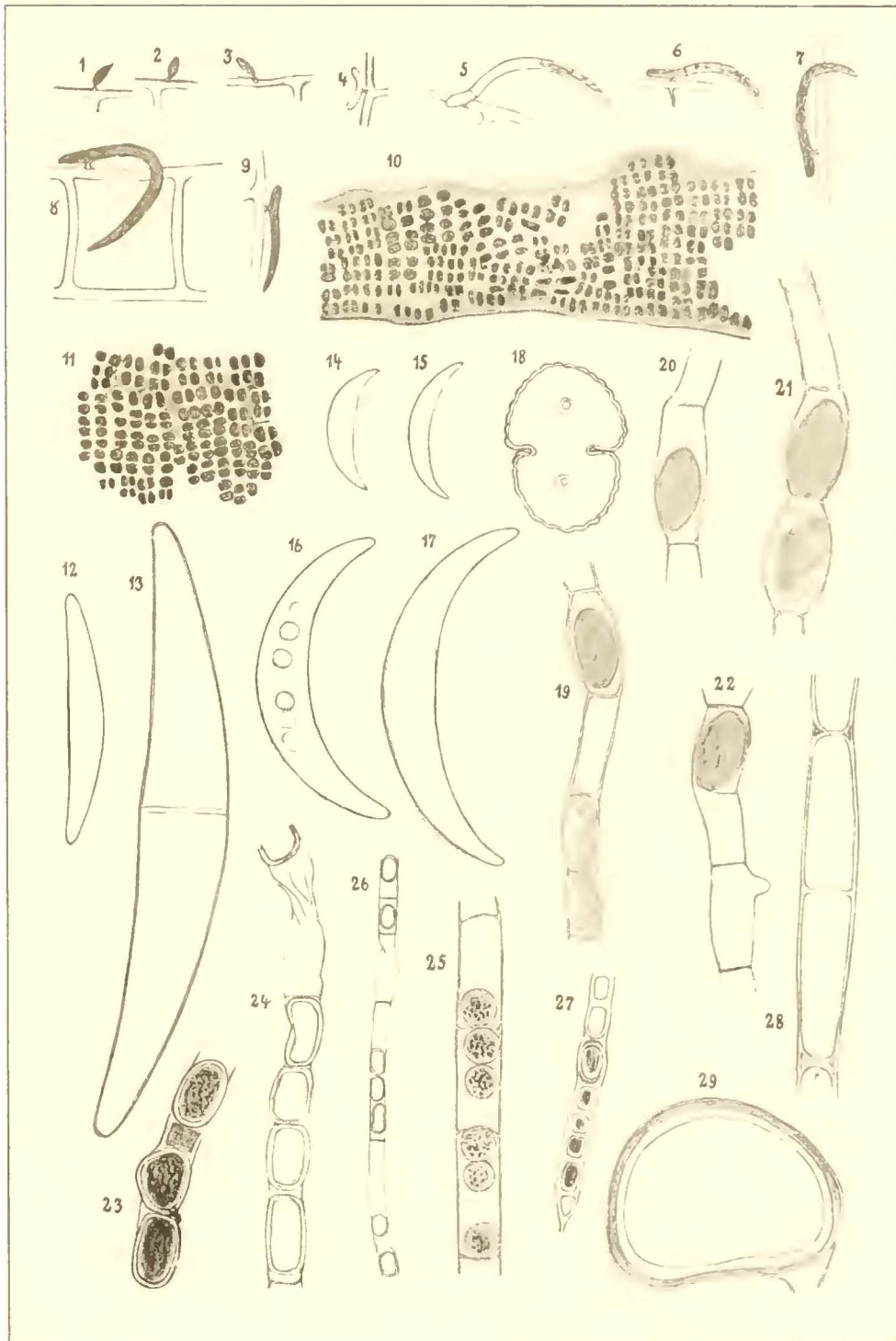
Fig. 1 *Arenaria festucoides* Benth. var. *imbricata* Edgew. et Hook.
,, 2/3 *Draba fladnizensis* Wulf, var. *heterotricha* (Lindbl.) Hook. f., from Tibet (2) and Pamir (3)
(all nat. size).



Dr. Günsberg ad nat. Zool.



Fr. Süssfeldt ad nat. del.



N. Wille del.

